

Mineral.
&

ATLAS
DER
KRYSTALLFORMEN
VON
VICTOR GOLDSCHMIDT

TAFELN

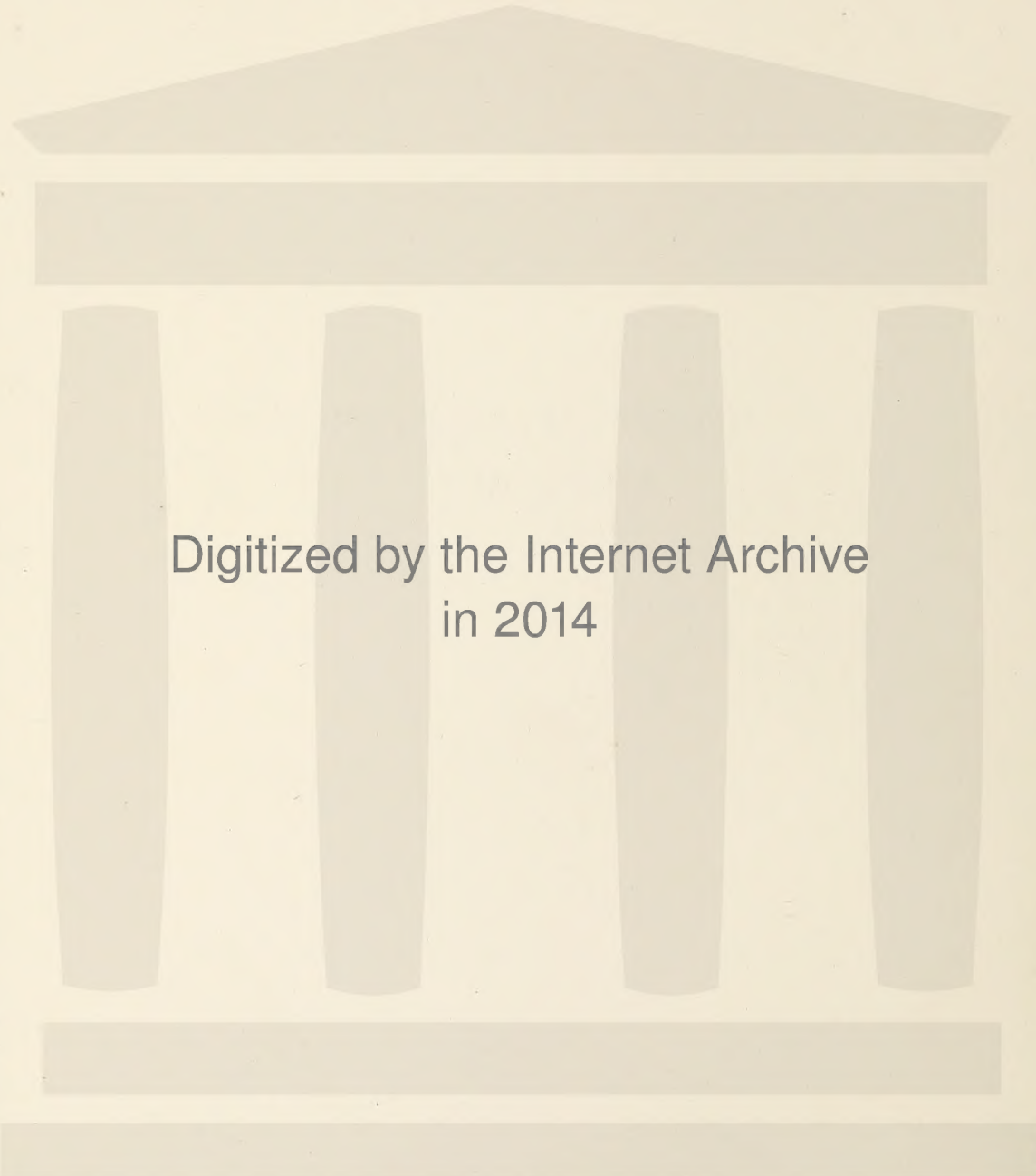
BAND I.
ADAMIN – BUNTKUPFERERZ



CARL WINTERS UNIVERSITÄTSBUCHHANDLUNG
HEIDELBERG 1913

128981
30/7/13

MEINER LIEBEN FRAU
GEWIDMET



Digitized by the Internet Archive
in 2014

<https://archive.org/details/atlasderkrystalltaf01gold>

Adamin

Fig. 1.

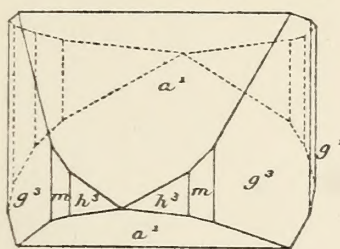


Fig. 2.

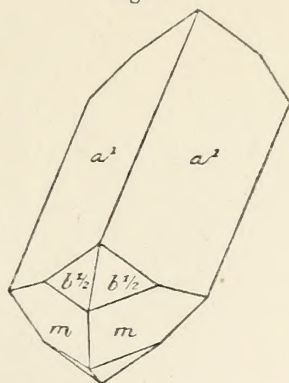


Fig. 3.

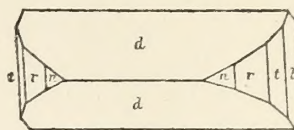


Fig. 4.



Fig. 5.

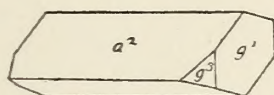


Fig. 6.

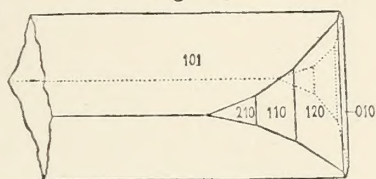


Fig. 7.

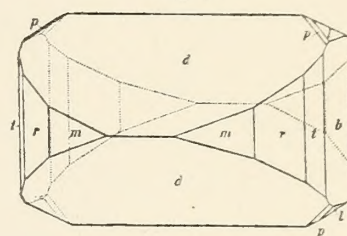


Fig. 8.

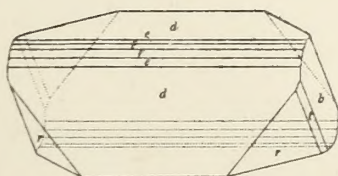


Fig. 9.

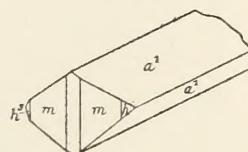
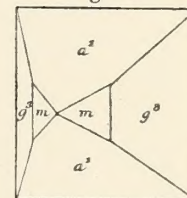


Fig. 10.



Adelit

Fig. 1.

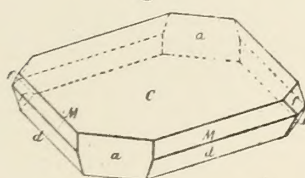
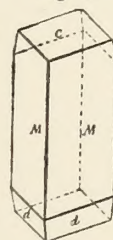


Fig. 2.



Aeschnit

Fig. 1.

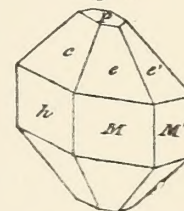


Fig. 2.

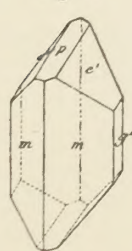


Fig. 3.

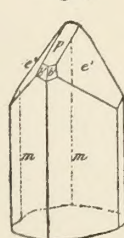
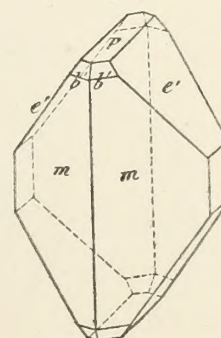


Fig. 4.



Aeschnit Fig. 5.

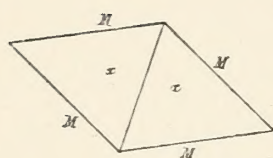
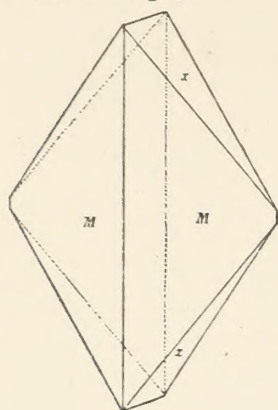


Fig. 6.

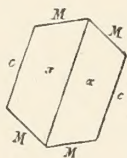
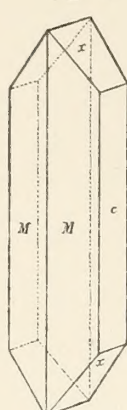


Fig. 7.

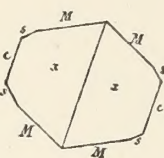
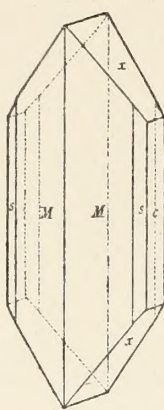


Fig. 8.

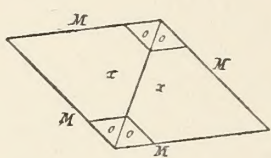
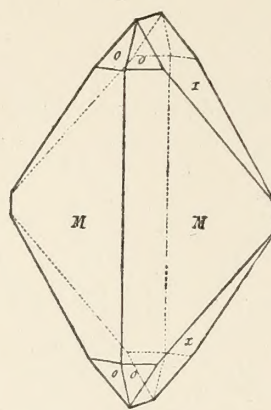


Fig. 9.

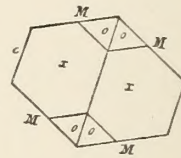
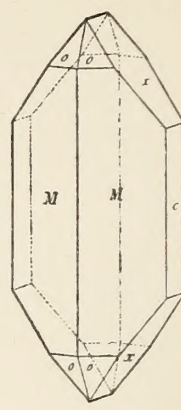


Fig. 10.

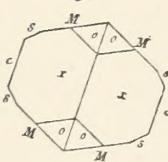
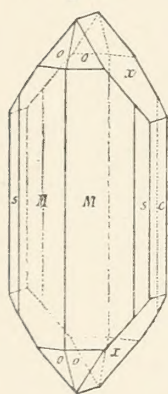


Fig. 11.

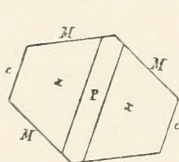
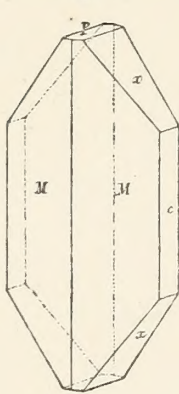


Fig. 12.

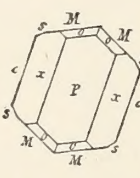


Fig. 13.

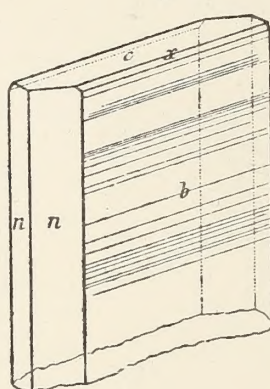


Fig. 14.

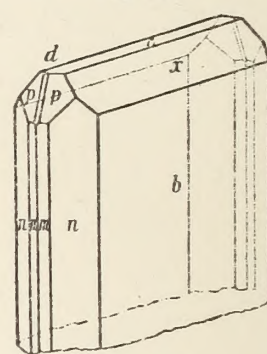
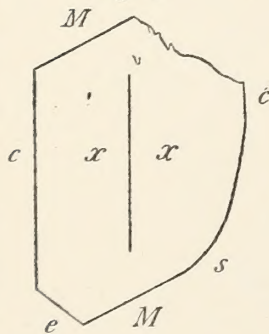


Fig. 15.



Akanthit

Fig. 1.

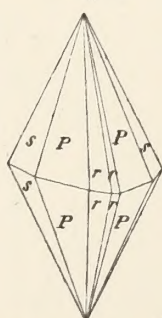


Fig. 2.

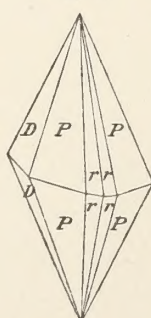


Fig. 3.

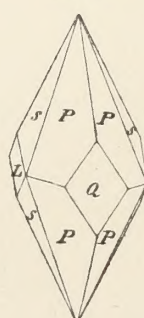


Fig. 4.

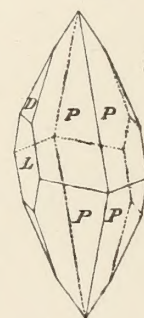
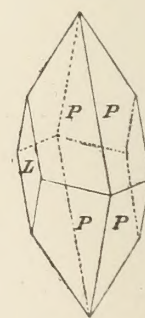


Fig. 5.



Kern G.H.

Akanthit

Fig. 6.

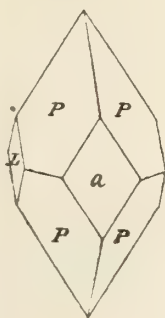


Fig. 7.

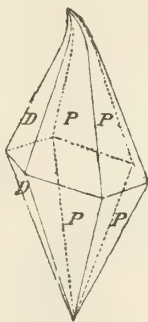


Fig. 8.

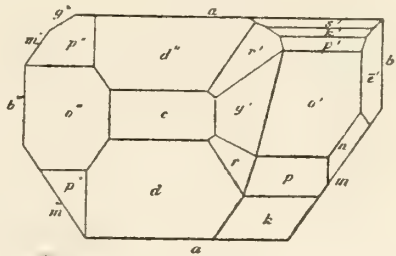


Fig. 9.

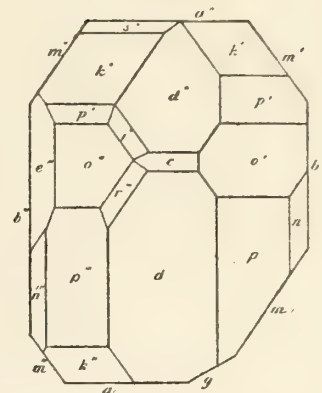


Fig. 10.

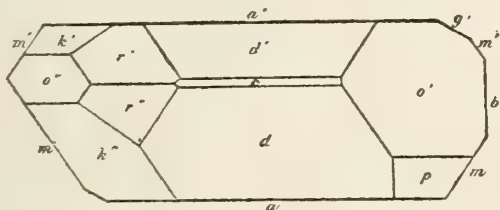


Fig. 11.

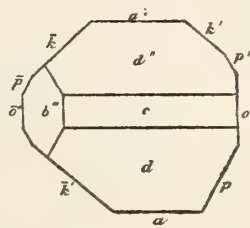


Fig. 12.

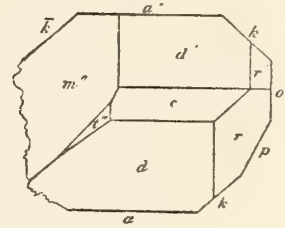


Fig. 13.

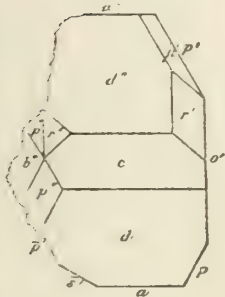


Fig. 14.

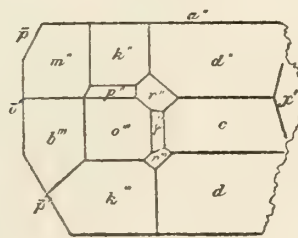


Fig. 15.

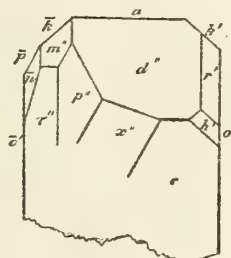


Fig. 16.

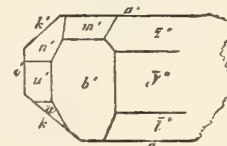


Fig. 17.

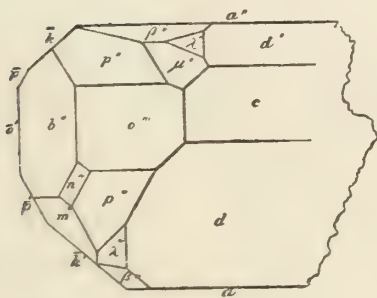


Fig. 18.

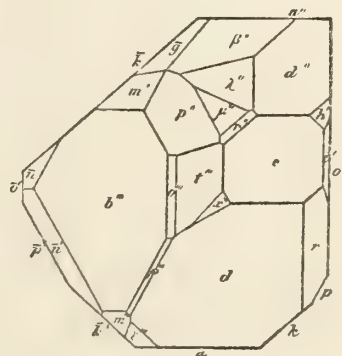
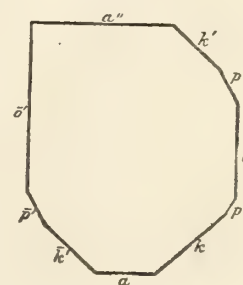


Fig. 19.



Akanthit Fig. 20.

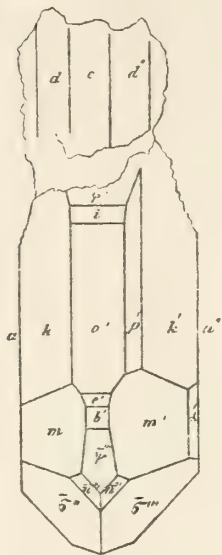


Fig. 21.

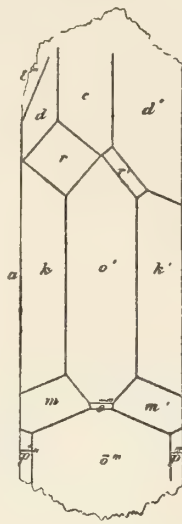


Fig. 22.

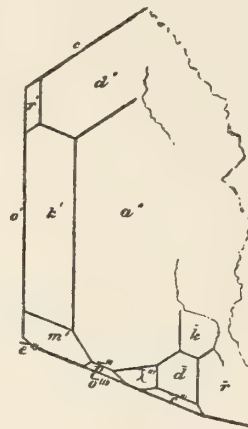


Fig. 23.



Fig. 24.



Fig. 25.

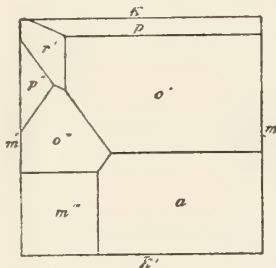


Fig. 26.



Fig. 27.

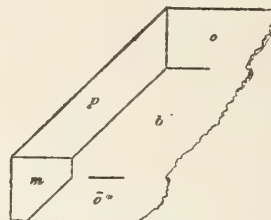


Fig. 28.

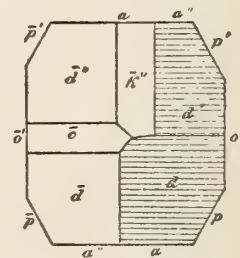


Fig. 29.

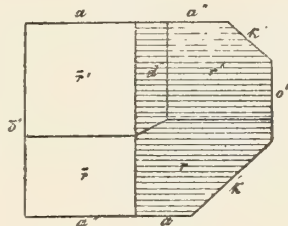


Fig. 30.

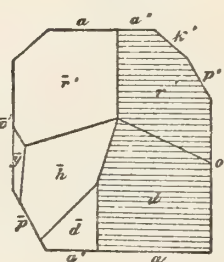


Fig. 31.

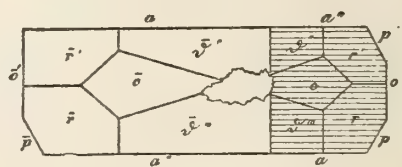


Fig. 32.

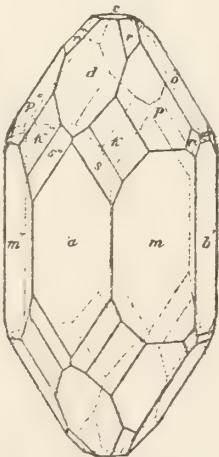


Fig. 33.

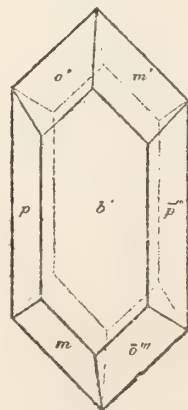
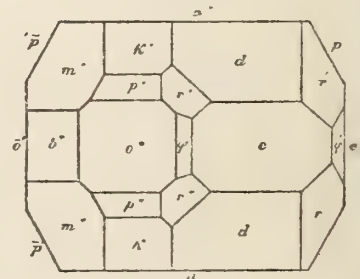


Fig. 34.



Fig. 35.



Akanthit

Fig. 36.

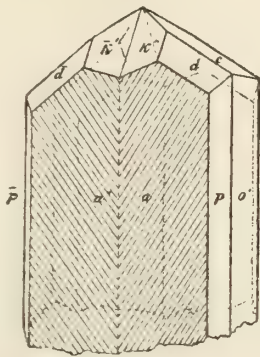


Fig. 37.

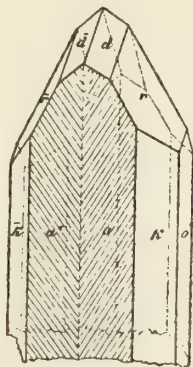


Fig. 38.

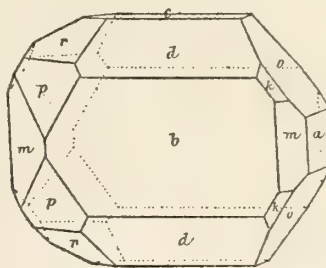


Fig. 39.

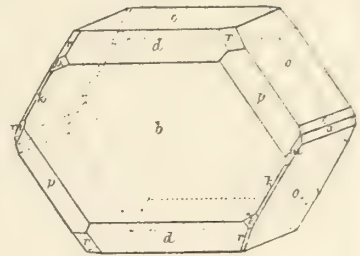


Fig. 40.

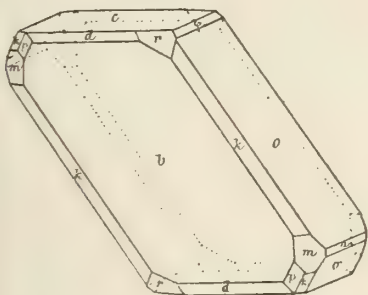


Fig. 41.

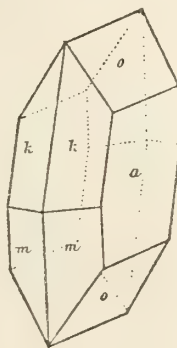


Fig. 42.

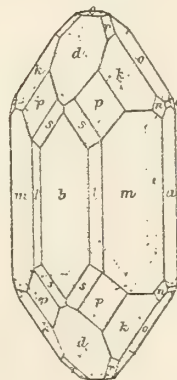


Fig. 43.

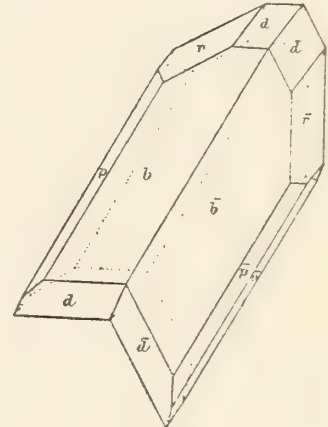


Fig. 44.

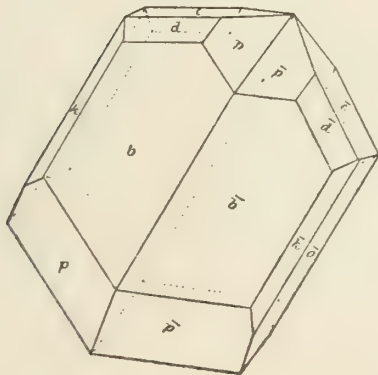


Fig. 45.

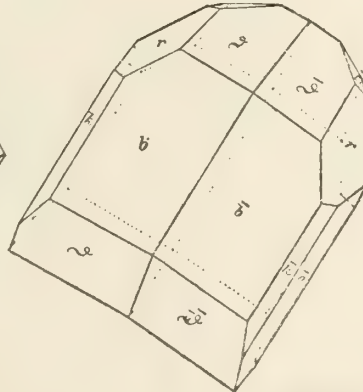
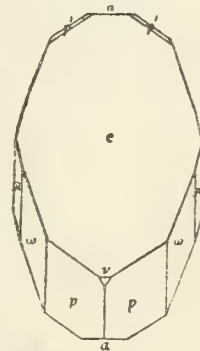
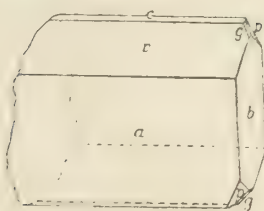


Fig. 46.



Alamosit

Fig. 1.



Alaun

Fig. 1.

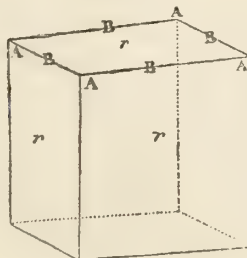


Fig. 2.

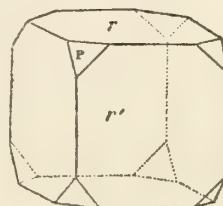
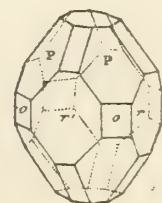


Fig. 3.



Alaun

Fig. 4.

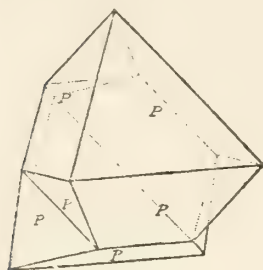


Fig. 5.

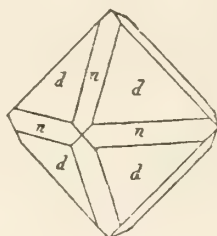


Fig. 6.

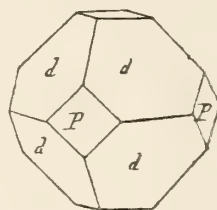


Fig. 7.

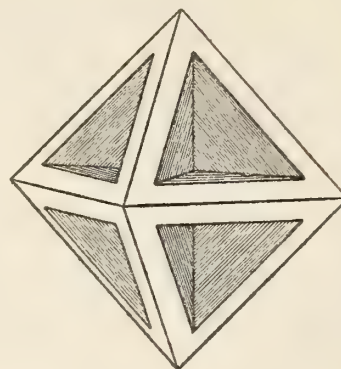


Fig. 8.

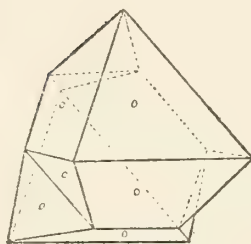


Fig. 9.

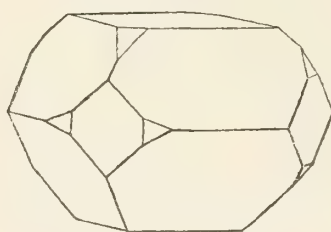


Fig. 10.

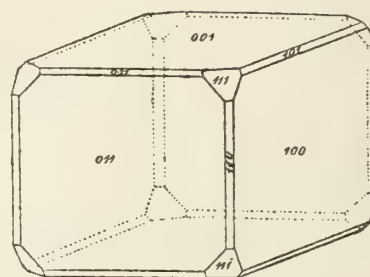


Fig. 11.

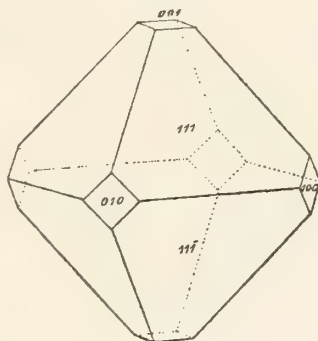


Fig. 12.

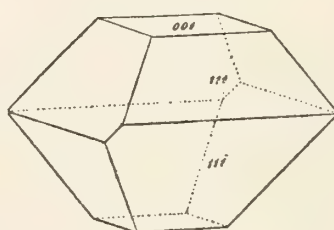


Fig. 13.

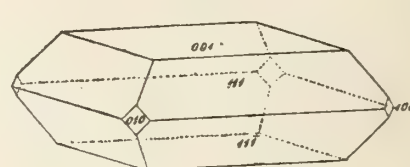


Fig. 14.

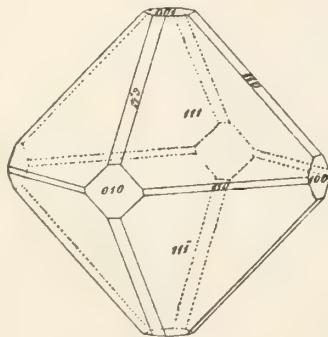


Fig. 15.

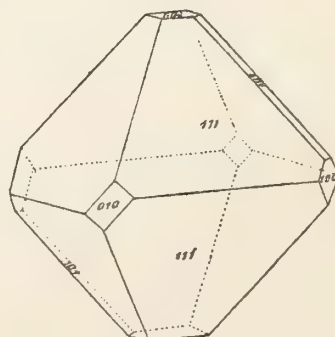
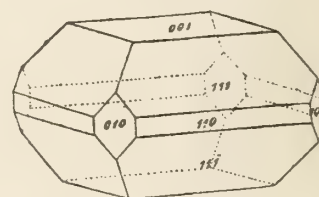


Fig. 16.



Allaktit

Fig. 1.

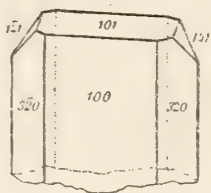


Fig. 2.

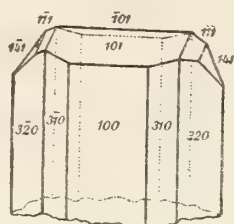


Fig. 3.

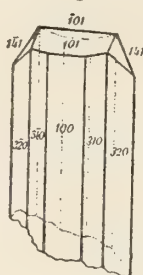


Fig. 4.

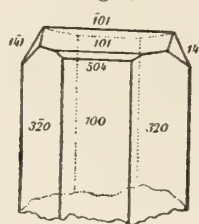


Fig. 5.

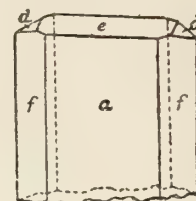


Fig. 6.

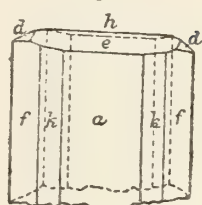
**Alloklas**

Fig. 1.

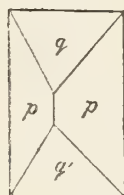


Fig. 2.

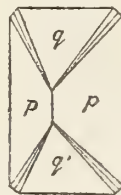
**Alstonit**

Fig. 1.

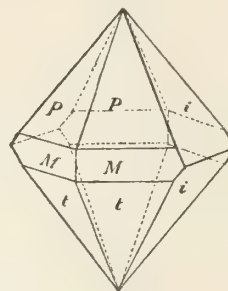


Fig. 2.

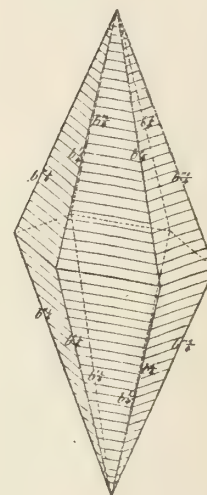


Fig. 3.

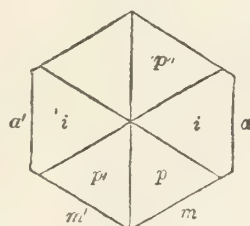


Fig. 4.

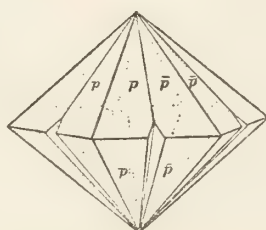


Fig. 5.

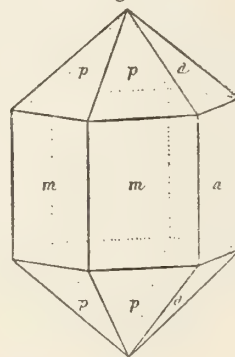


Fig. 6.

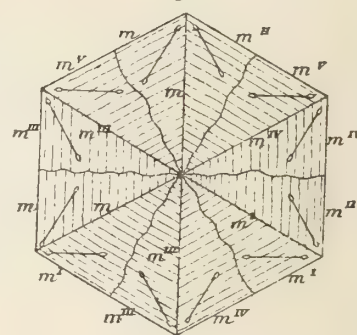


Fig. 7.

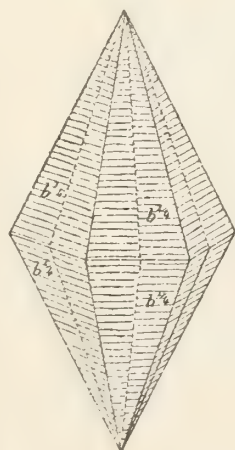
**Altait**

Fig. 1.

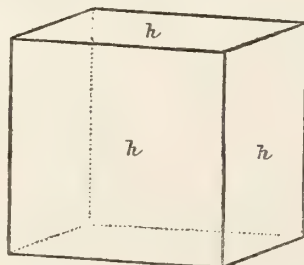


Fig. 2.

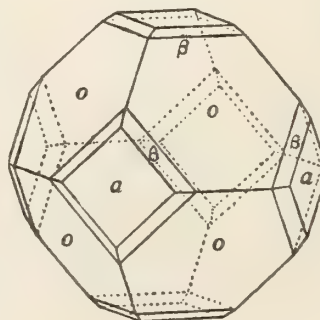
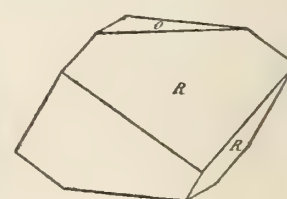
**Alunit**

Fig. 1.



Alunit

Fig. 2.

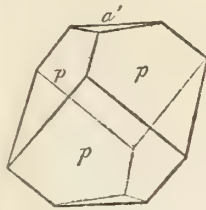


Fig. 3.

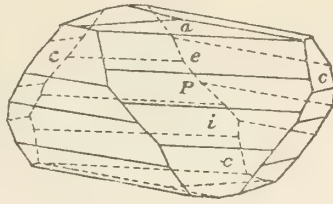


Fig. 4.

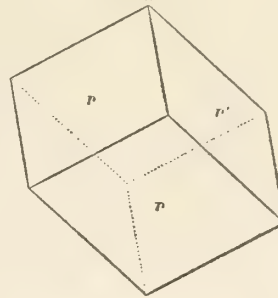


Fig. 5.

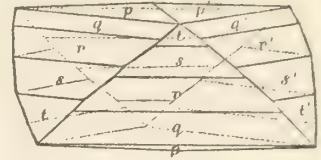


Fig. 6.

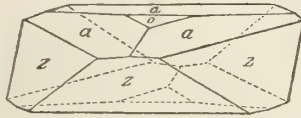


Fig. 7.

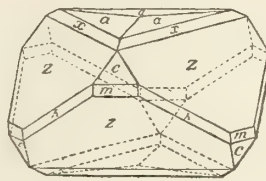
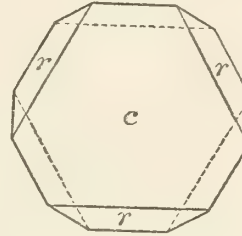
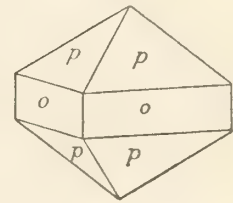


Fig. 8.



Alvit

Fig. 1.



Amalgam

Fig. 1.

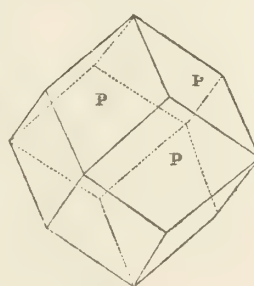


Fig. 2.

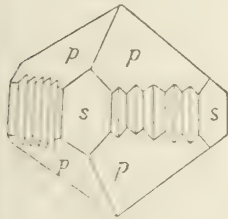


Fig. 3.

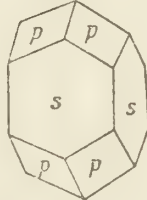


Fig. 2.

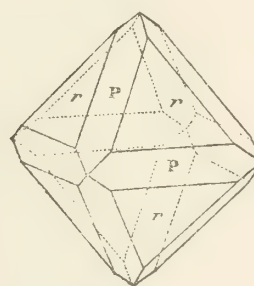


Fig. 3.

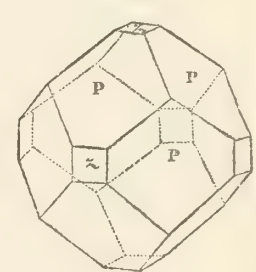


Fig. 4.

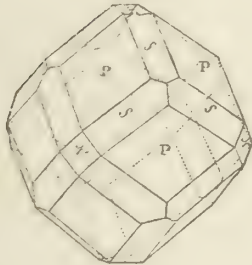


Fig. 5.

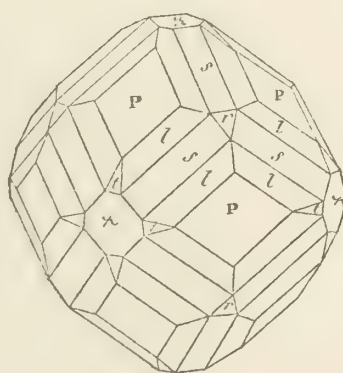


Fig. 6.

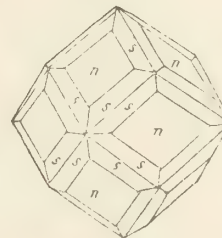


Fig. 7.

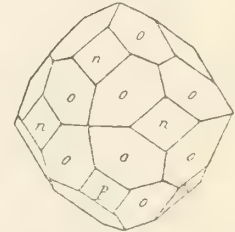


Fig. 8.

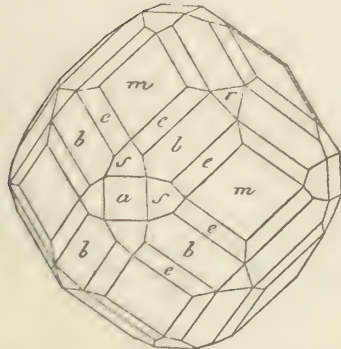


Fig. 9.

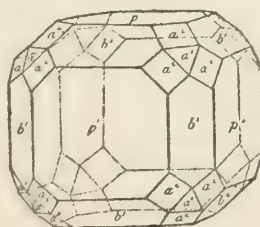


Fig. 10.

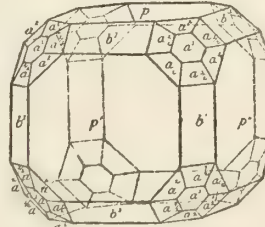
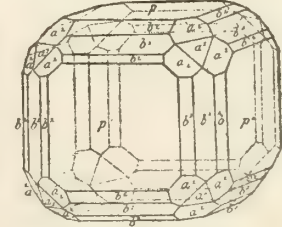
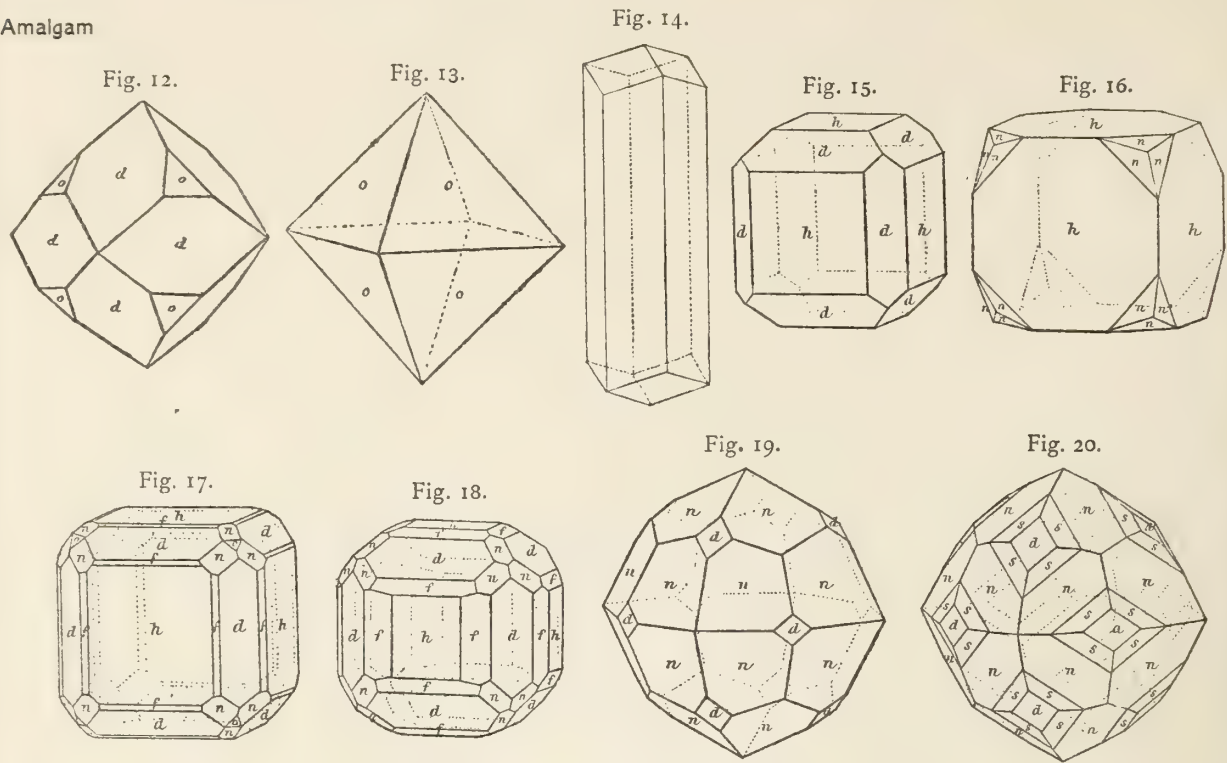


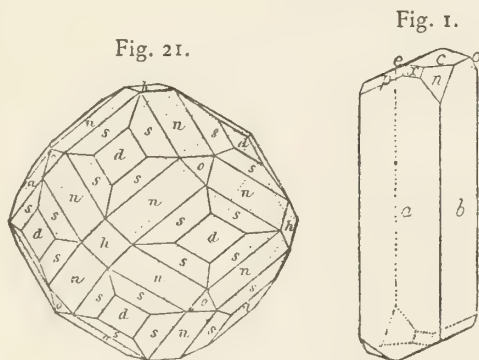
Fig. 11.



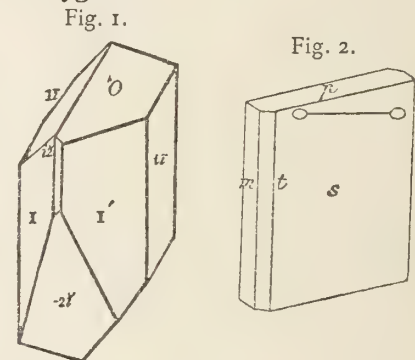
Amalgam



Amarantit



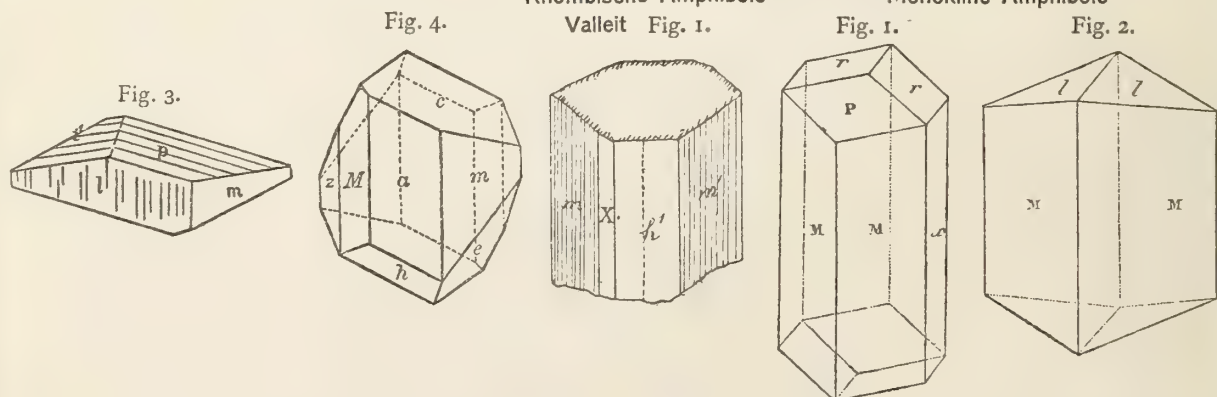
Amblygonit



Amphibol-Gruppe

Rhombische Amphibole

Monokline Amphibole



Amphibol (Monoklin)

Fig. 3.



Fig. 4.

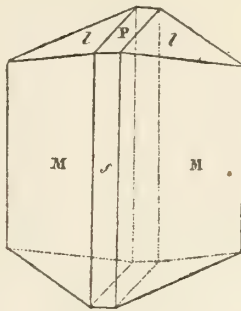


Fig. 5.

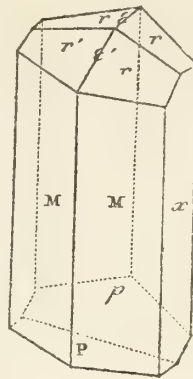


Fig. 6.

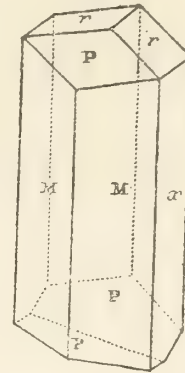


Fig. 7.

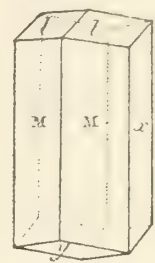


Fig. 8.



Fig. 9.

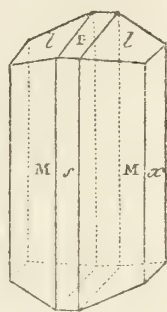


Fig. 10.

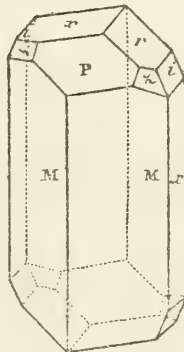


Fig. 11.

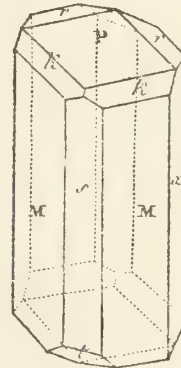


Fig. 12.

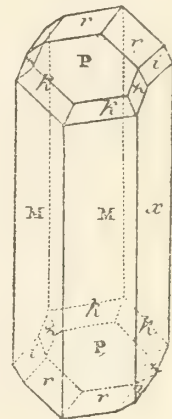


Fig. 13.

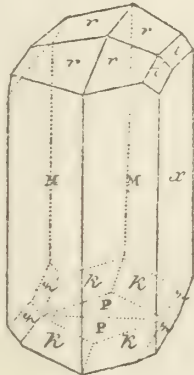


Fig. 14.

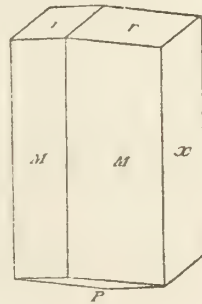


Fig. 15.

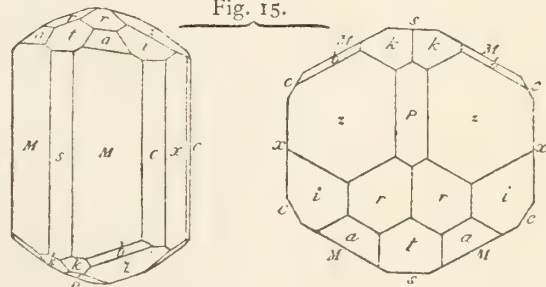


Fig. 16.

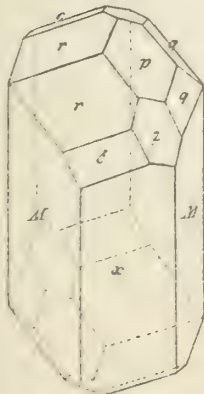


Fig. 17.

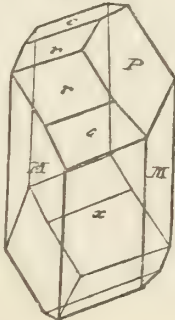


Fig. 18.

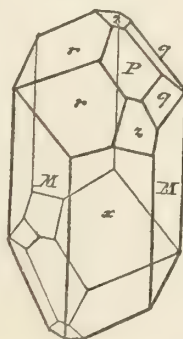


Fig. 19.

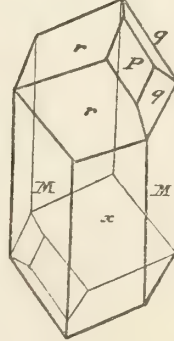


Fig. 20.

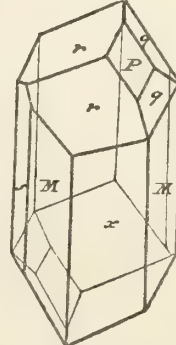
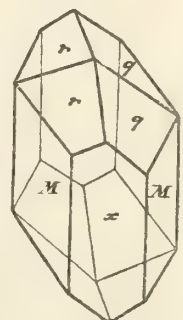
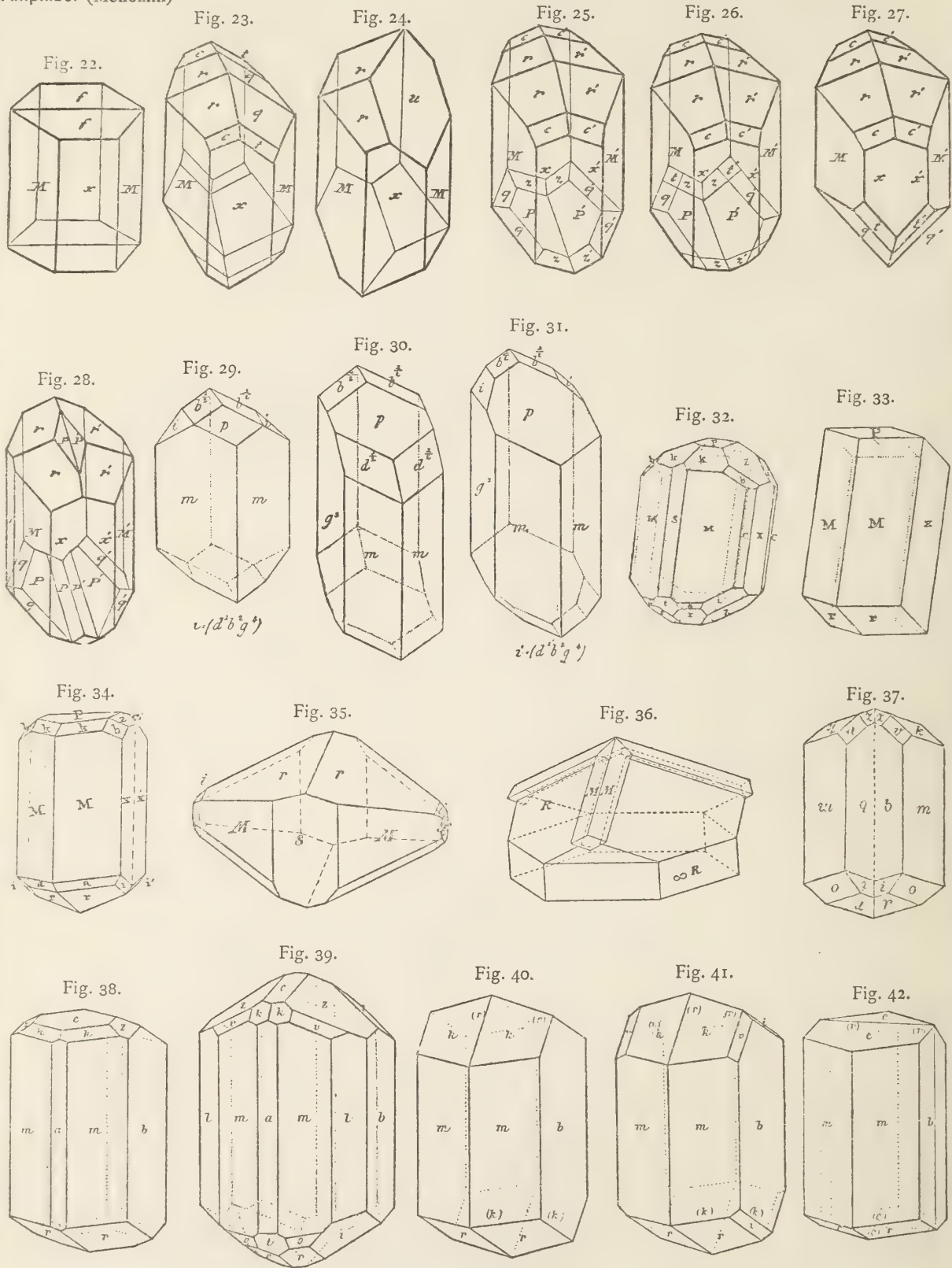


Fig. 21.



Amphibol (Monoklin)



Amphibol (Monoklin)

Fig. 43.

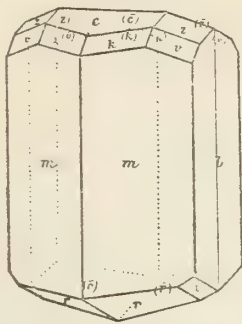


Fig. 44.

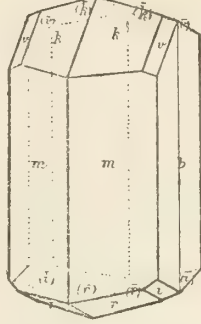


Fig. 45.

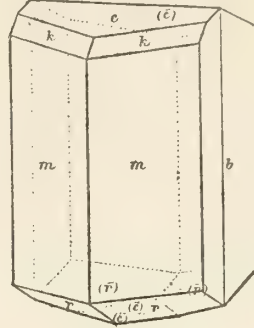


Fig. 46.

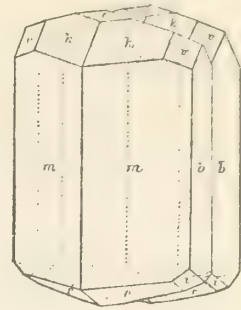


Fig. 48.

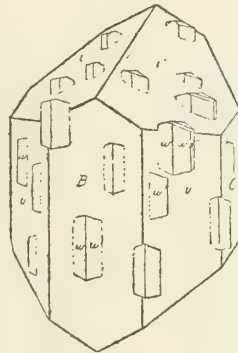


Fig. 49.

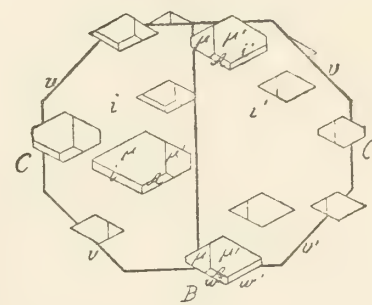


Fig. 47.

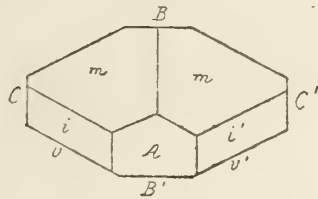


Fig. 50.

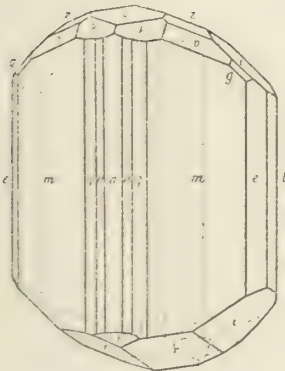


Fig. 51.

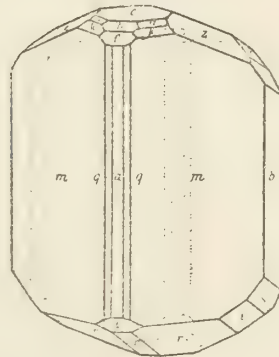


Fig. 52.

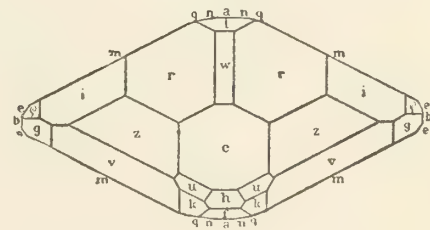


Fig. 53.

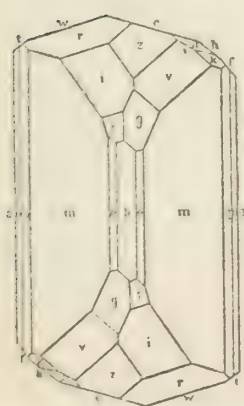


Fig. 54.

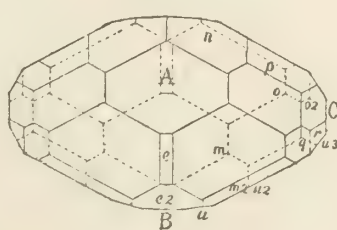
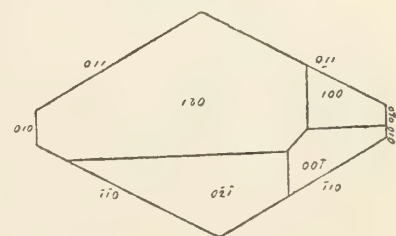


Fig. 55.



Amphibol (Monoklin)

Fig. 56.

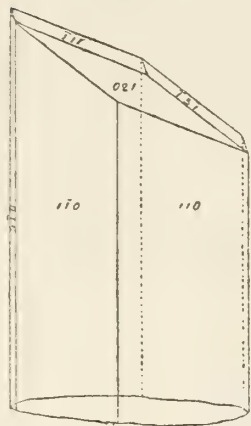


Fig. 57.

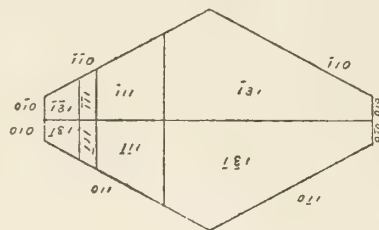


Fig. 58.

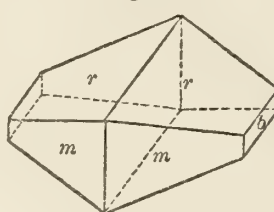


Fig. 59.

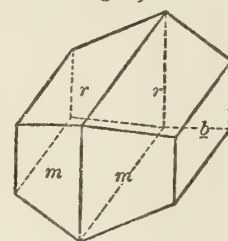


Fig. 62.

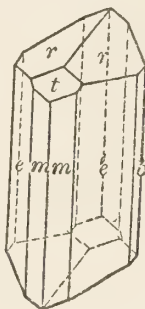


Fig. 63.

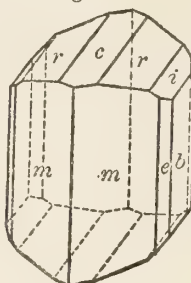


Fig. 64.

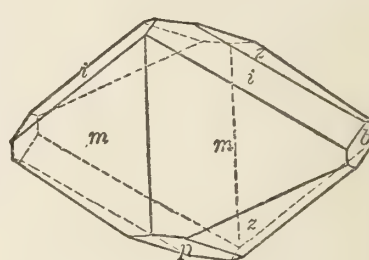


Fig. 60.

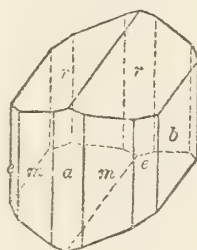


Fig. 61.

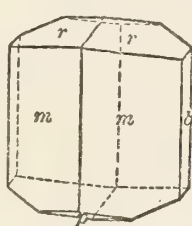


Fig. 65.

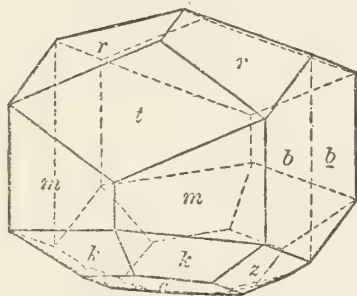


Fig. 66.

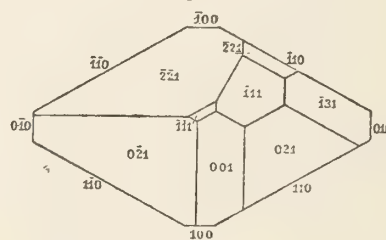


Fig. 67.

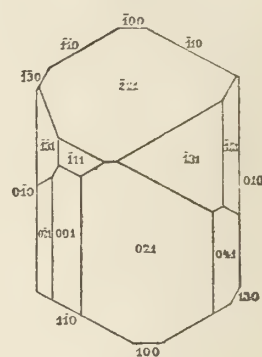


Fig. 68.

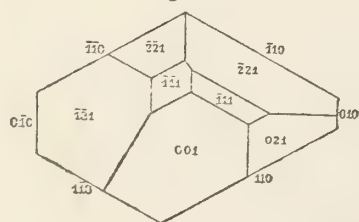


Fig. 69.

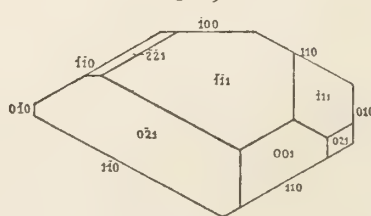
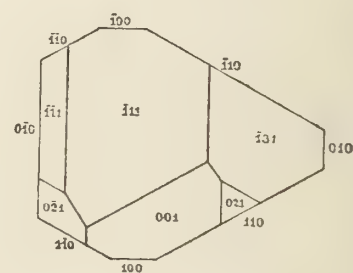


Fig. 70.



Amphibol (Monoklin)

Fig. 71.

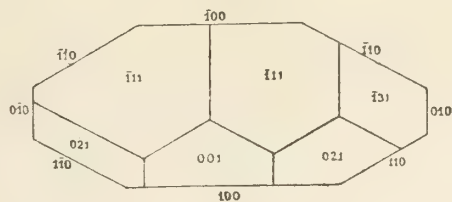


Fig. 72.

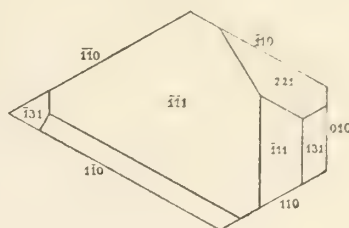


Fig. 73.

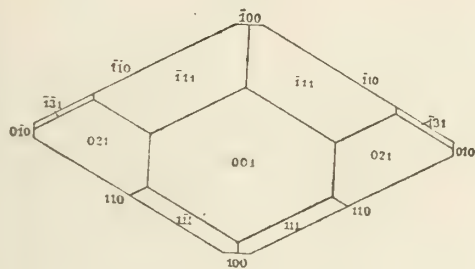


Fig. 74.

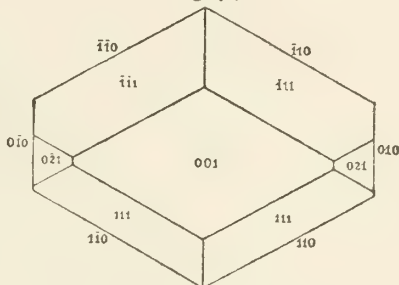


Fig. 75.

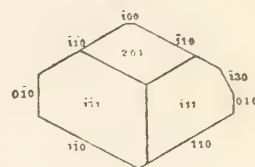


Fig. 76.

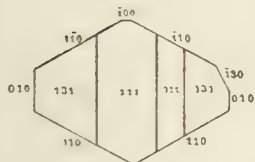


Fig. 77.

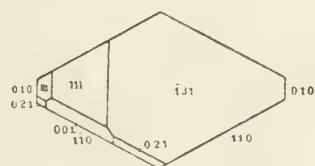


Fig. 78.

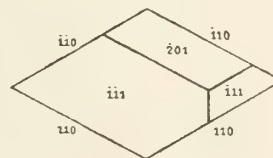


Fig. 79.

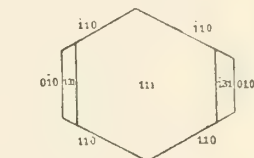


Fig. 80.

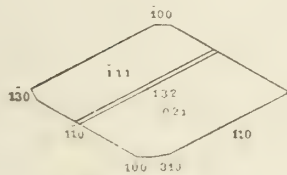


Fig. 81.

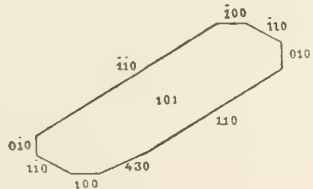


Fig. 82.

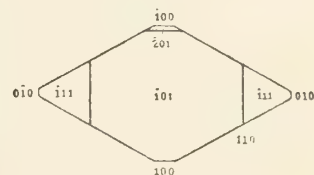


Fig. 83.

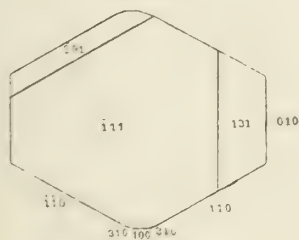


Fig. 84.

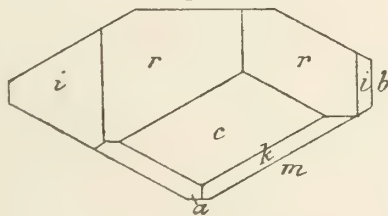


Fig. 85.

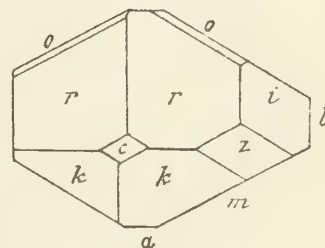


Fig. 86.

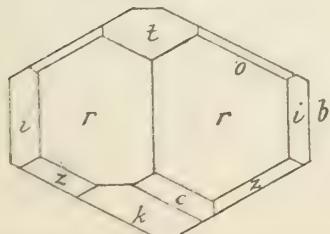


Fig. 87.

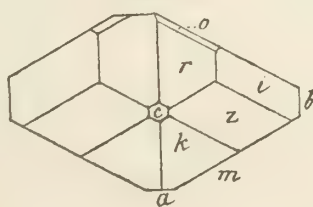
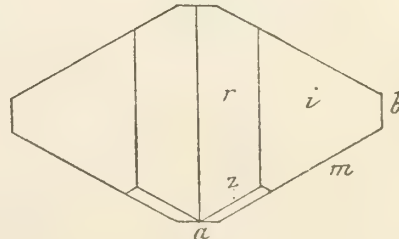


Fig. 88.



Amphibol (Monoklin)

Fig. 89.

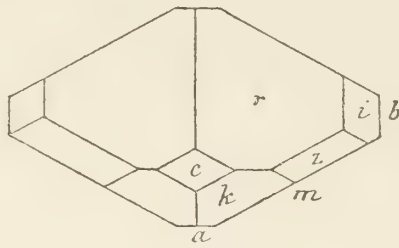


Fig. 90.

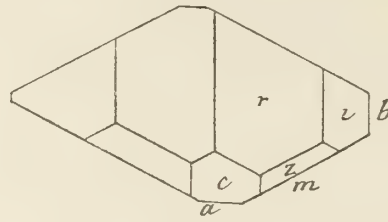


Fig. 91.

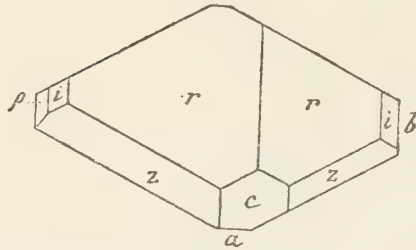
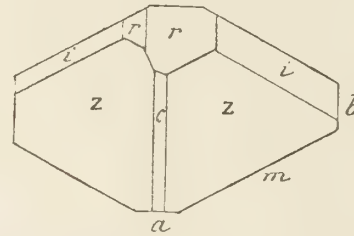


Fig. 92.



Hornblende Fig. 94.

Fig. 93.

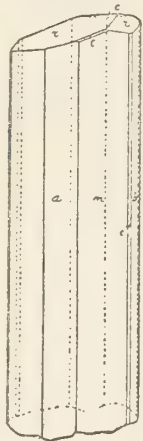


Fig. 95.

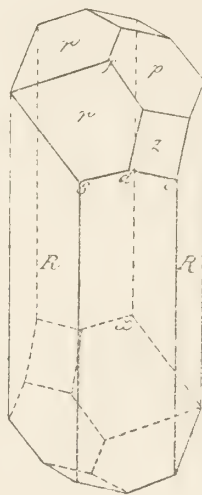


Fig. 96.

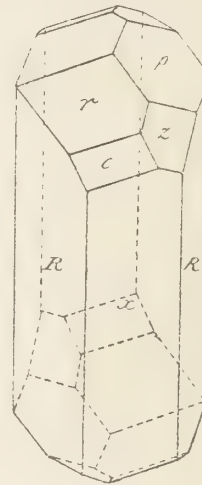


Fig. 97.

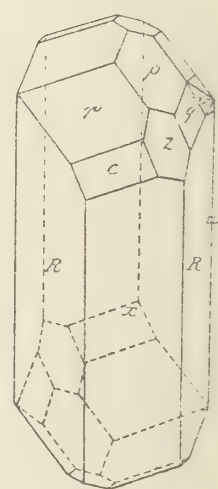


Fig. 98.

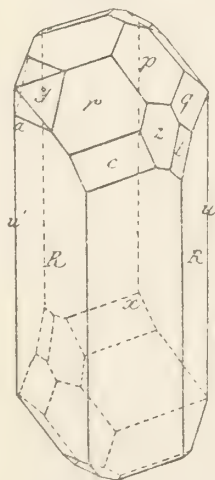


Fig. 99.

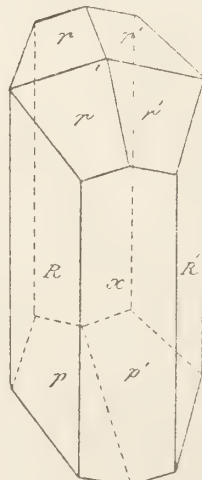


Fig. 100.

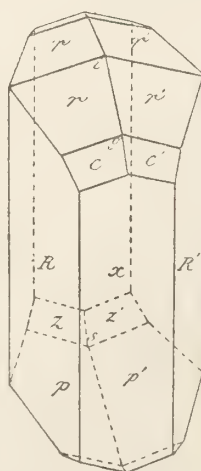


Fig. 101.

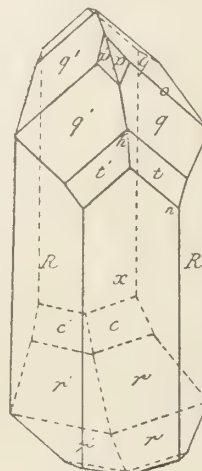
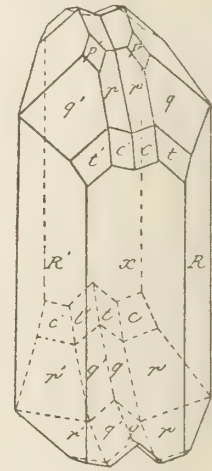


Fig. 102.



Amphibol (Monoklin)
Hornblende

Fig. 119.

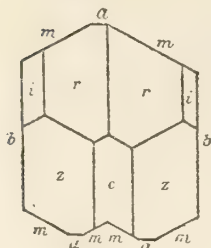


Fig. 120.

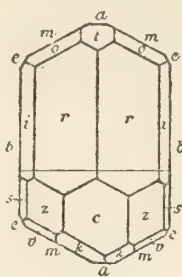


Fig. 121.

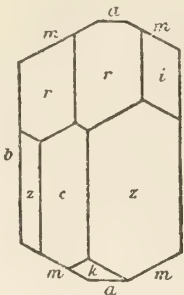


Fig. 122.

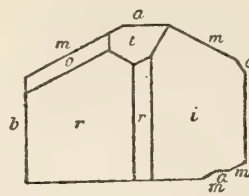


Fig. 123.

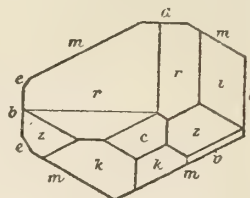


Fig. 124.

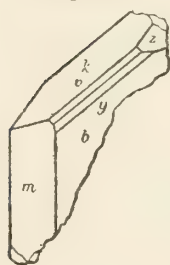


Fig. 125.

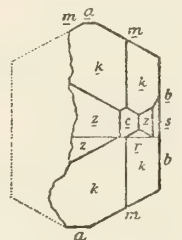


Fig. 126.

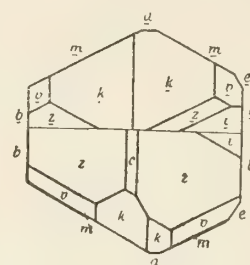


Fig. 127.



Fig. 128.

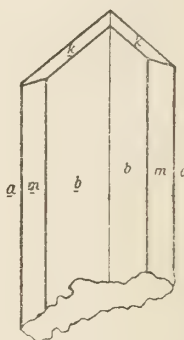


Fig. 129.

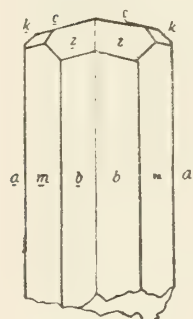


Fig. 130.

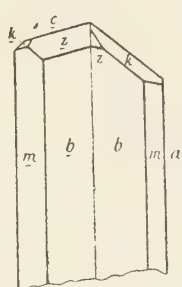


Fig. 131.

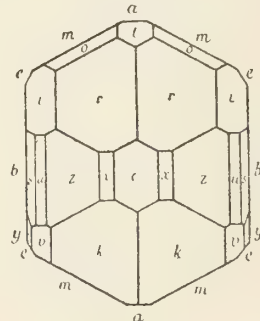


Fig. 132.

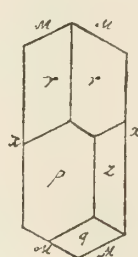


Fig. 133.

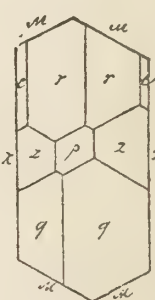


Fig. 134.

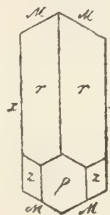


Fig. 135.

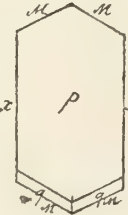


Fig. 136.

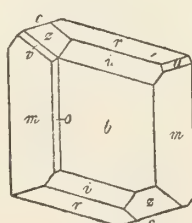


Fig. 137.

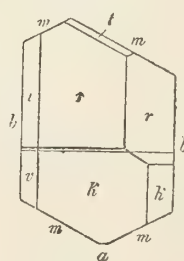


Fig. 138.

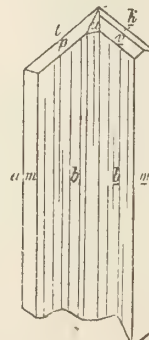


Fig. 139.

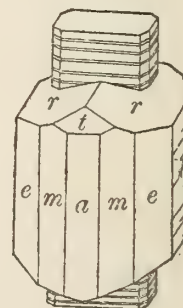


Fig. 140.

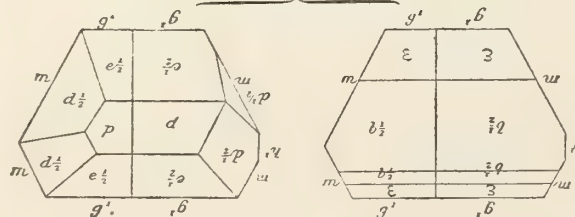


Fig. 141.

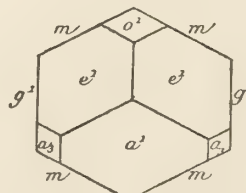
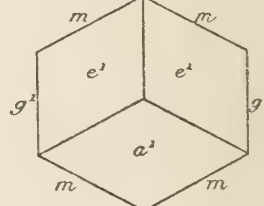


Fig. 142.



Amphibol (Monoklin)
Hornblende

Fig. 143.

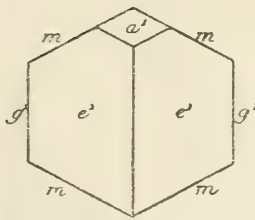


Fig. 144.

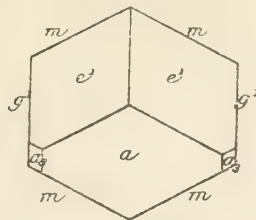


Fig. 145.

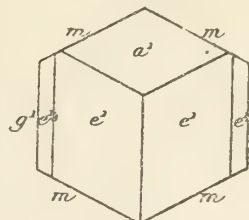


Fig. 146.

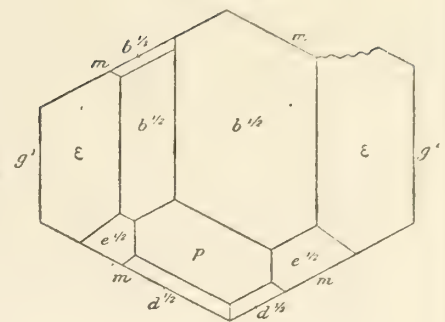


Fig. 148.

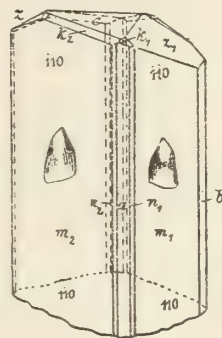


Fig. 149.

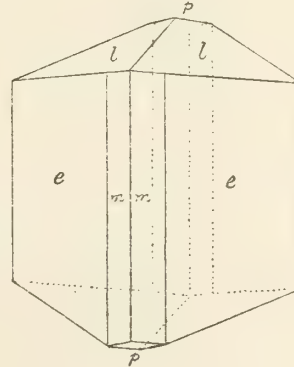


Fig. 150.

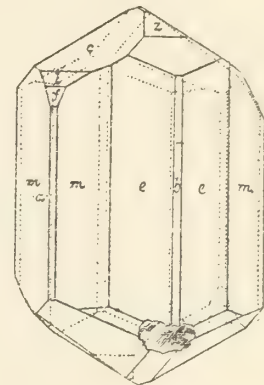


Fig. 151.

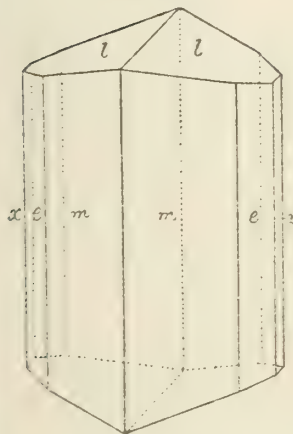


Fig. 152.

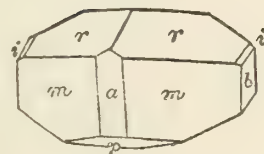


Fig. 153.

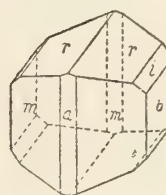
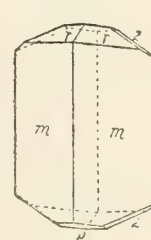


Fig. 154.



Aktinolith

Fig. 155.

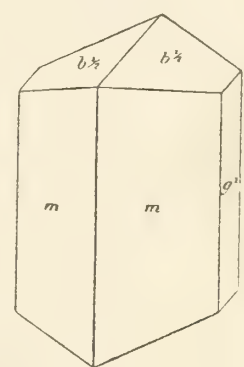


Fig. 157.

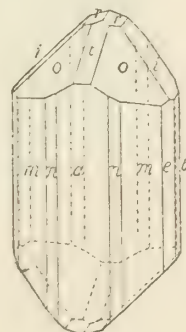
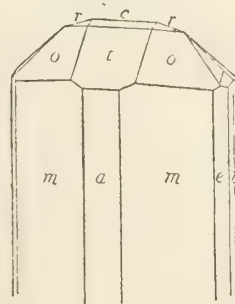


Fig. 158.



Arfvedsonit

Fig. 159.

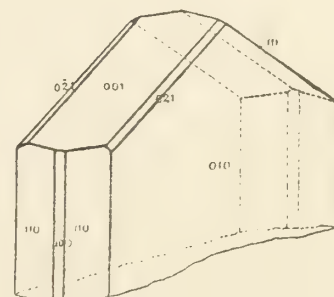
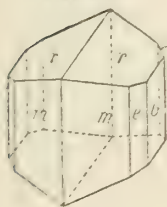
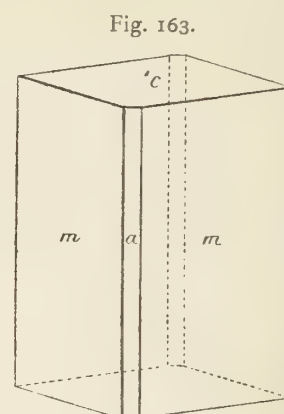
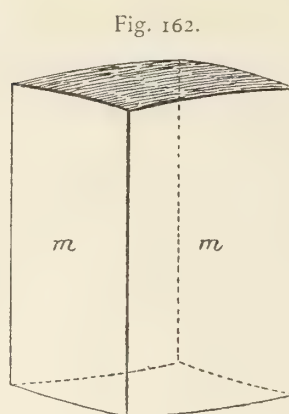
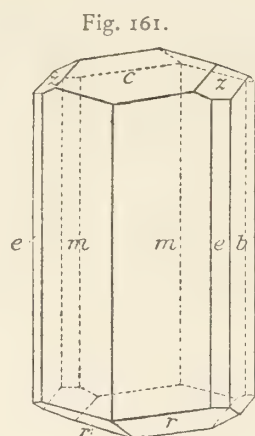
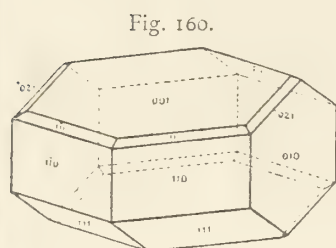


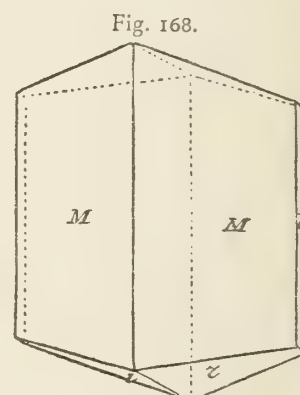
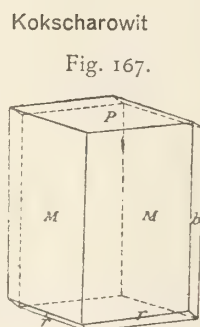
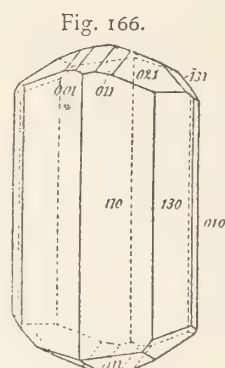
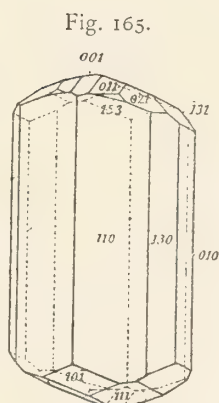
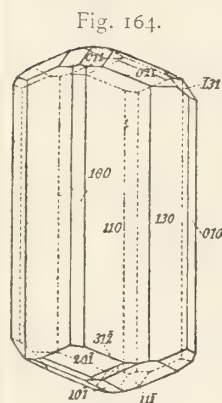
Fig. 156.



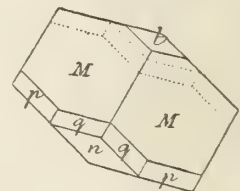
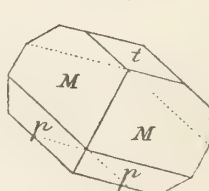
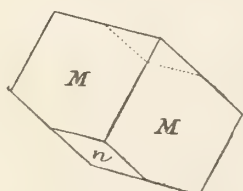
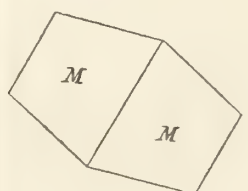
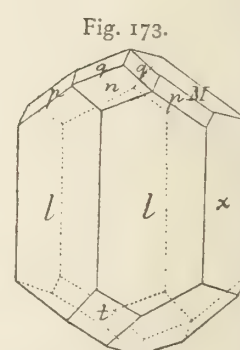
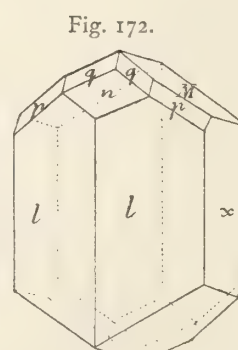
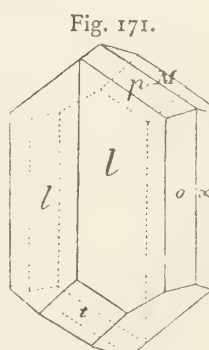
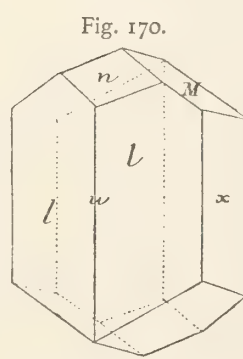
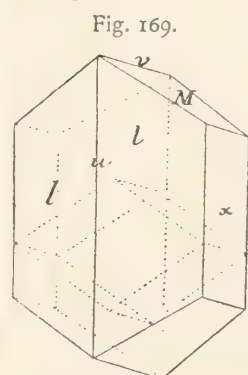
Amphibol (Monoklin)
Arfvedsonit



Grammatit



Pargasit



Amphibol (Monoklin)

Pargasit

Fig. 174.

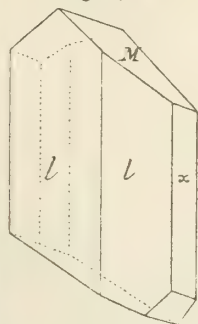


Fig. 175.

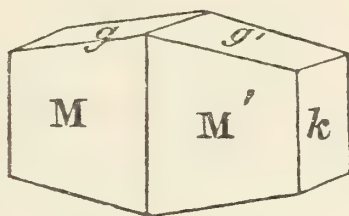


Fig. 176.

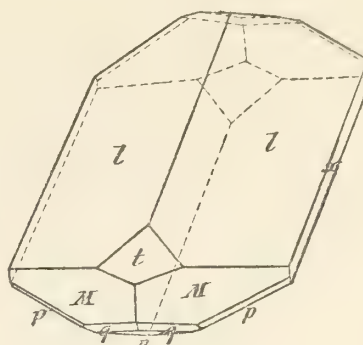
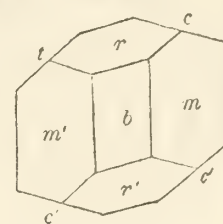


Fig. 177.



Riebeckit

Fig. 179.

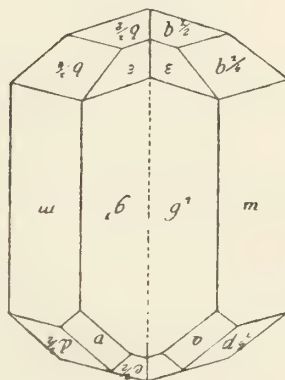


Fig. 180.

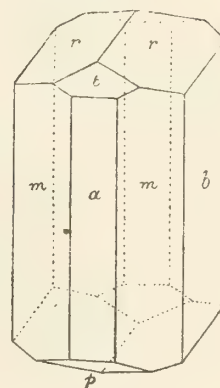


Fig. 181.

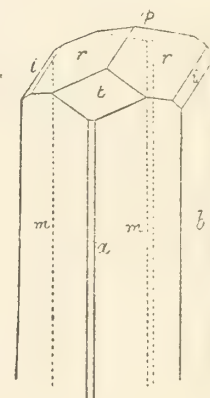


Fig. 178.

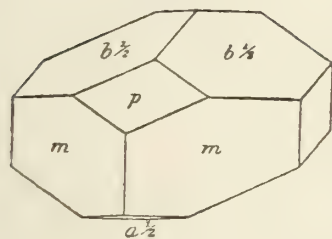


Fig. 183.

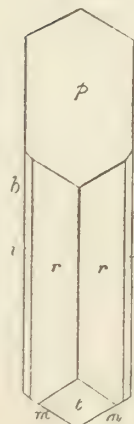


Fig. 184.

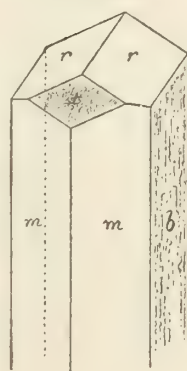
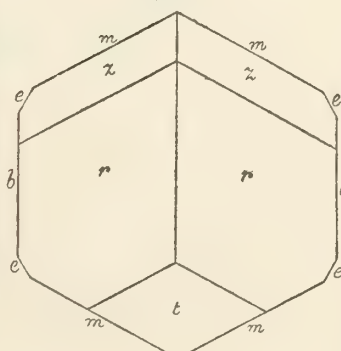


Fig. 185.



Tremollith

Fig. 186.

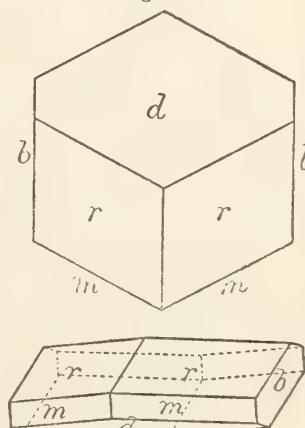
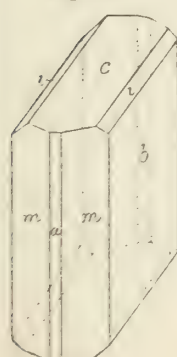


Fig. 182.



Trikline Amphibole
Aenigmatit

Fig. 1.

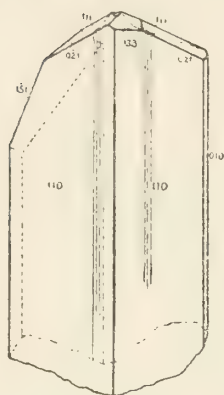
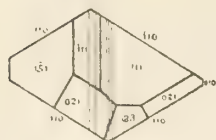


Fig. 5.

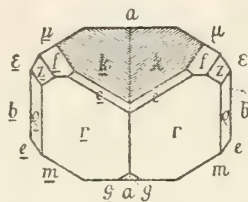


Fig. 9.

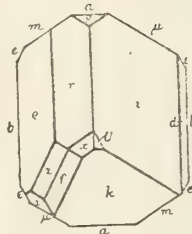


Fig. 13.

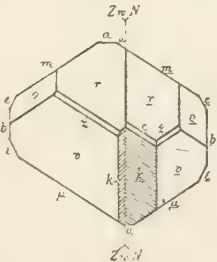

Cossyrit

Fig. 2.

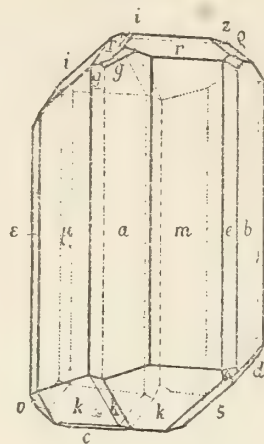


Fig. 6.

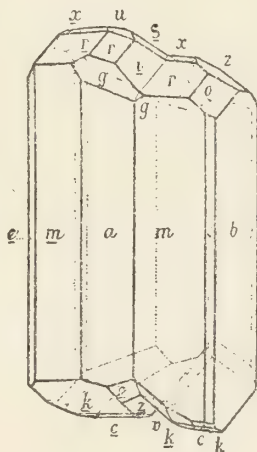


Fig. 10.

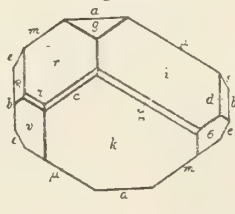


Fig. 14.

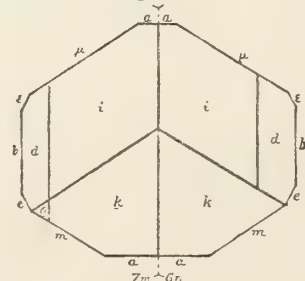


Fig. 3.

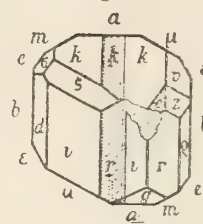


Fig. 7.

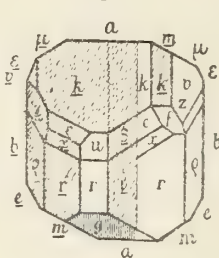


Fig. 11.

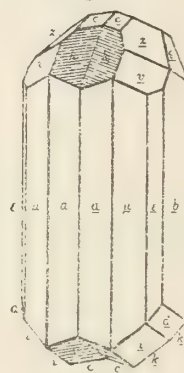


Fig. 15.

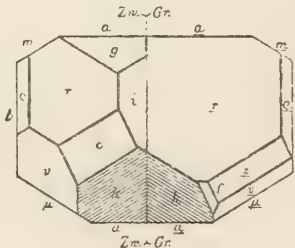


Fig. 4.

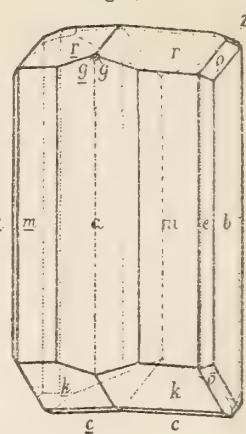


Fig. 8.

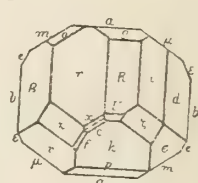


Fig. 12.

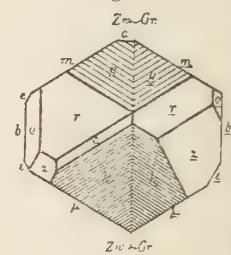
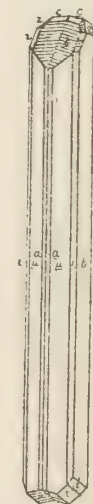
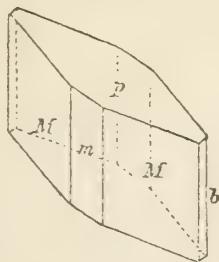


Fig. 16.



Amphibol (Triklin)
Kölbingit

Fig. 17.



Analcim

Fig. 1.

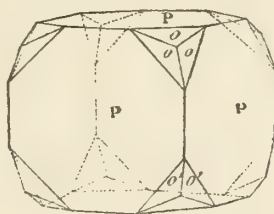


Fig. 2.

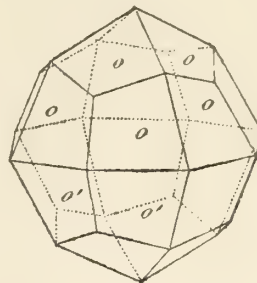


Fig. 3.

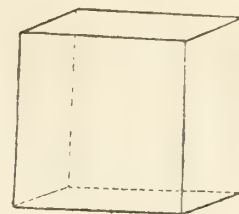


Fig. 4.

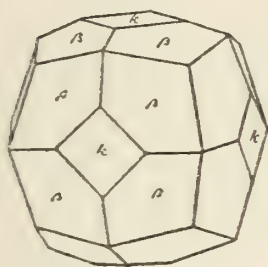


Fig. 5.

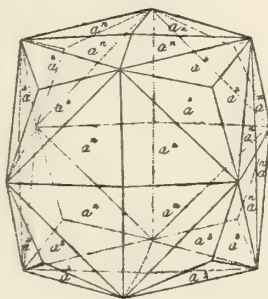


Fig. 6.

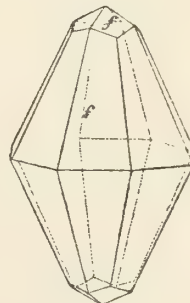


Fig. 7.

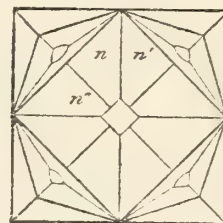


Fig. 8.

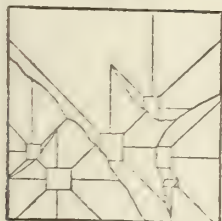


Fig. 9.

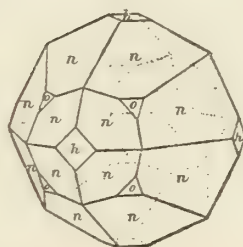


Fig. 10.

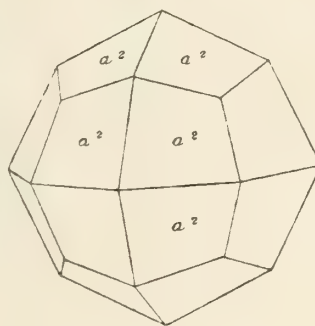


Fig. 11.

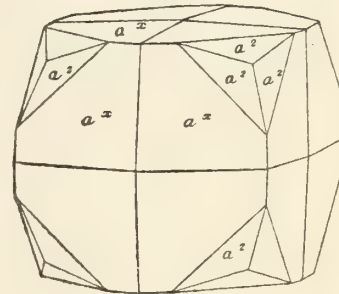


Fig. 12.

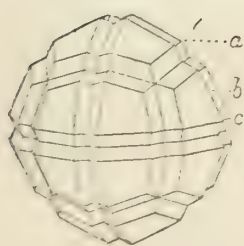


Fig. 13.



Fig. 14.

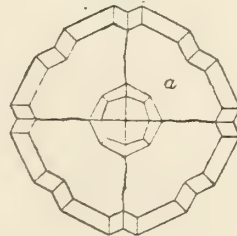
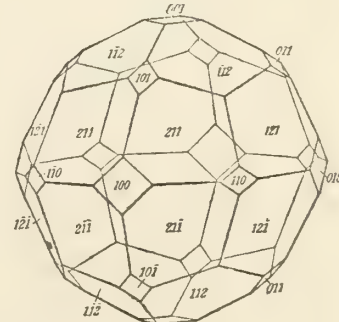


Fig. 15.



Analcim

Fig. 16.

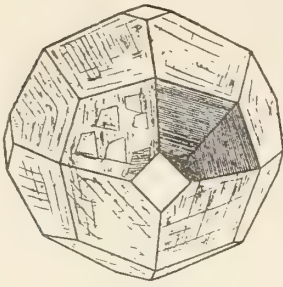


Fig. 17.

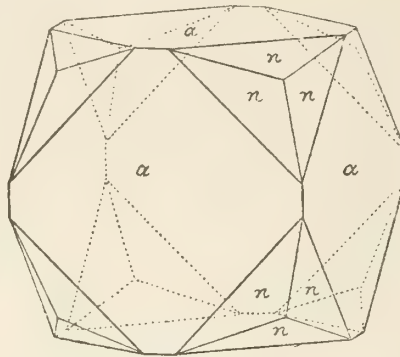


Fig. 18.

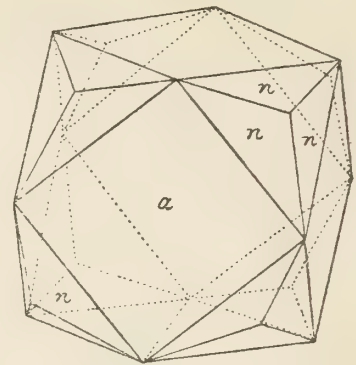


Fig. 19.

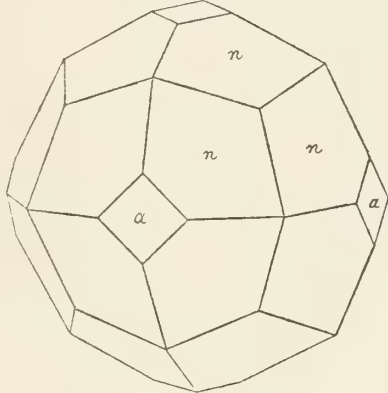


Fig. 20.

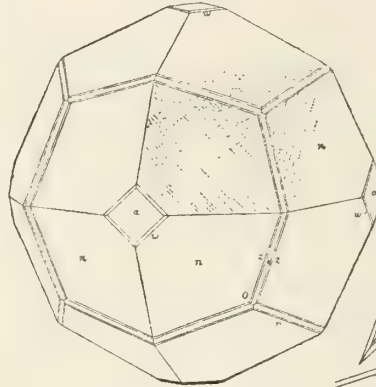


Fig. 21.

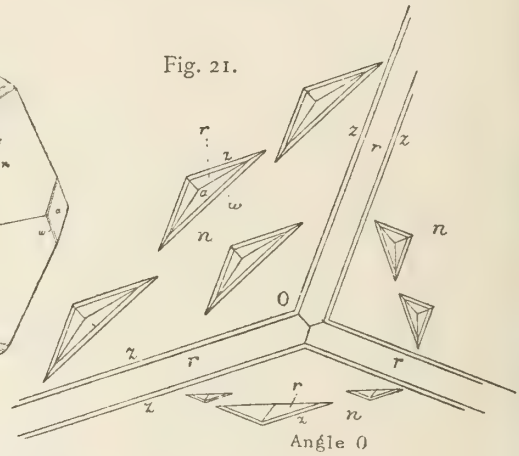


Fig. 22.

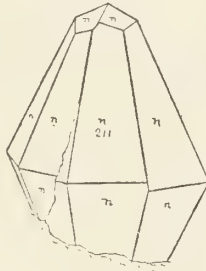


Fig. 23.

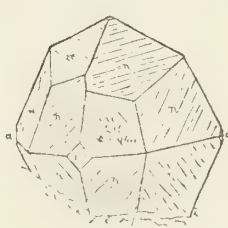


Fig. 24.

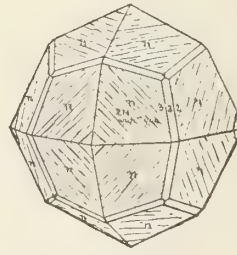
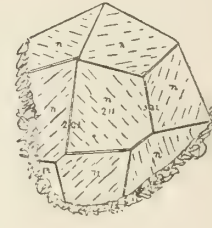


Fig. 25.



Anatas

Fig. 1.

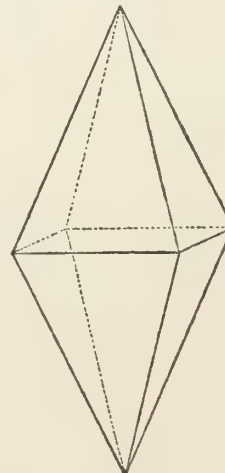
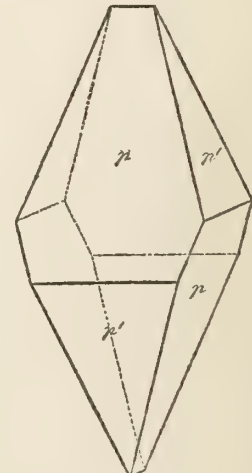


Fig. 2.



Anapait

Fig. 1.

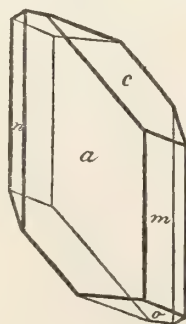


Fig. 26.



Anatas

Fig. 3.

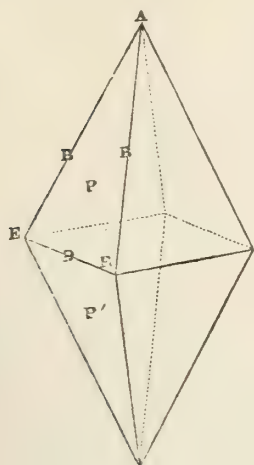


Fig. 4.

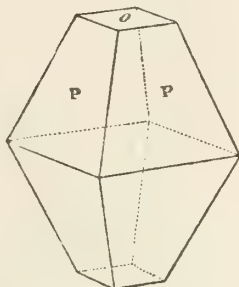


Fig. 5.

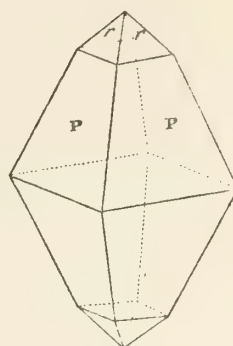


Fig. 6.

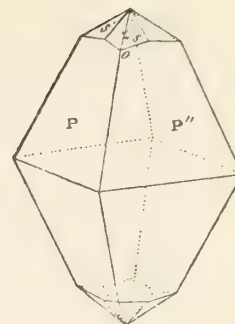


Fig. 7.

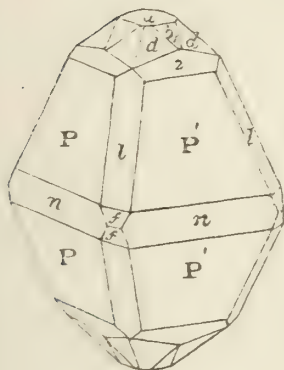


Fig. 8.

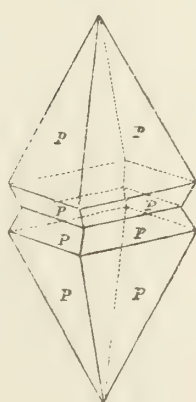


Fig. 9.

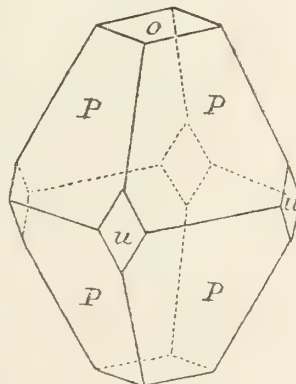


Fig. 10.

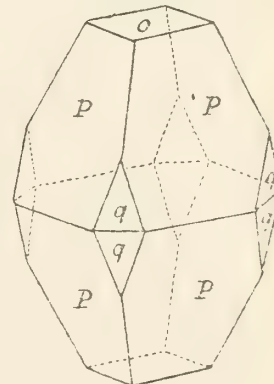


Fig. 11.

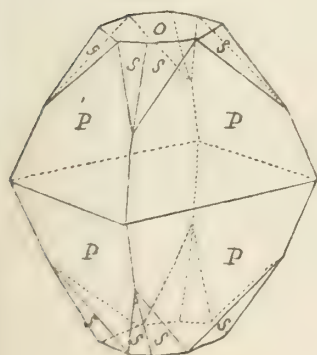


Fig. 12.

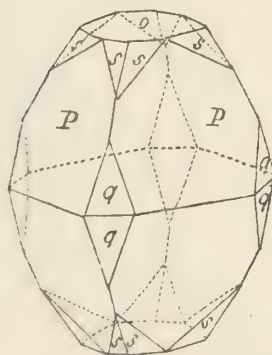


Fig. 13.

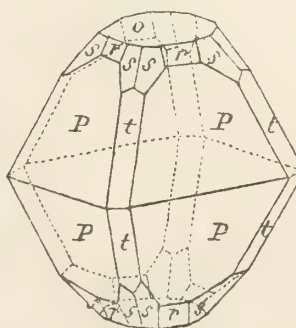
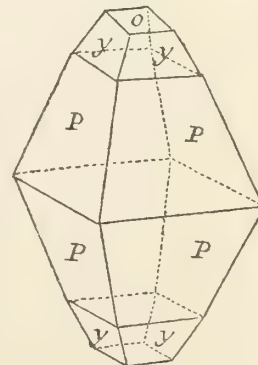


Fig. 14.



Anatas

Fig. 15.

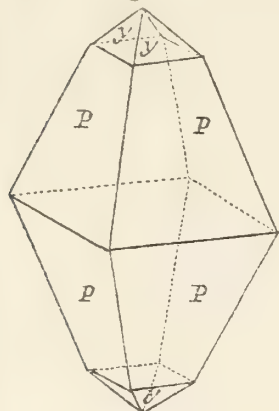


Fig. 16.

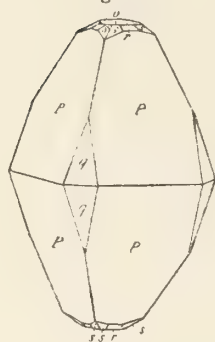


Fig. 17.

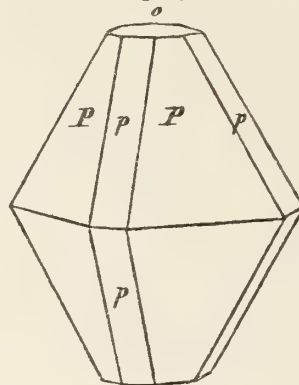


Fig. 18.

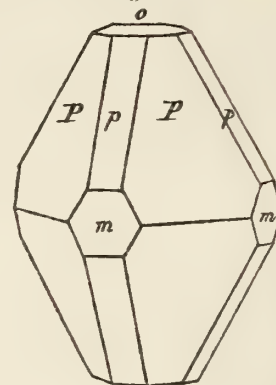


Fig. 19.

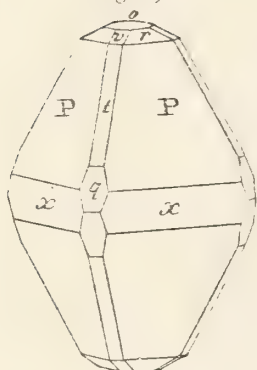


Fig. 20.

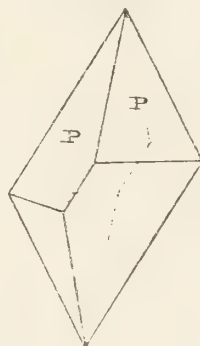


Fig. 21.

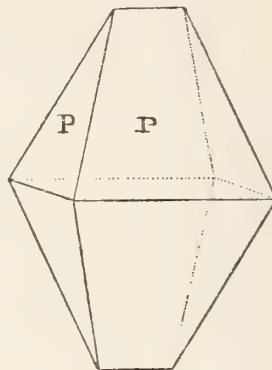


Fig. 22.

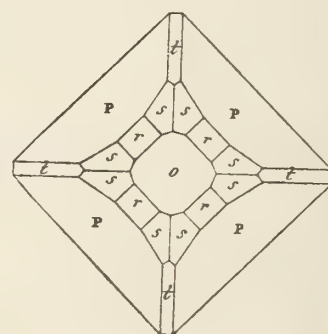


Fig. 23.

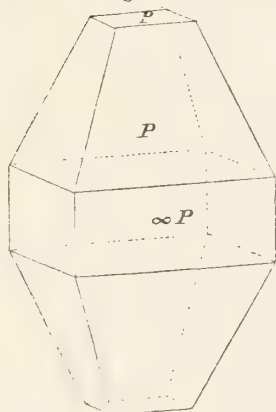


Fig. 24.

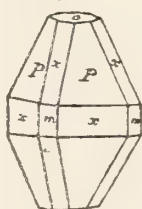


Fig. 25.



Fig. 26.

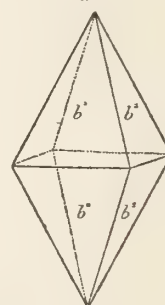


Fig. 27.

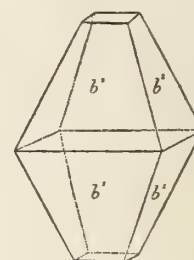


Fig. 28.

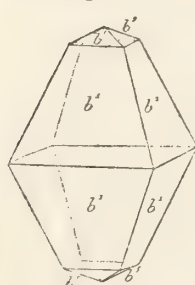


Fig. 29.

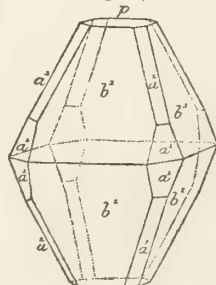


Fig. 30.

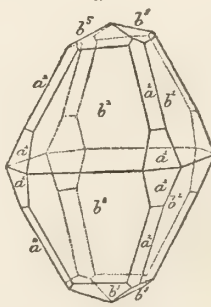


Fig. 31.

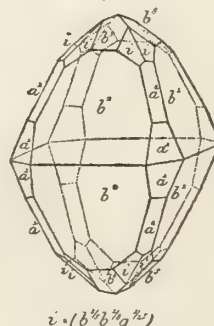
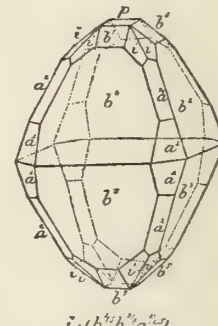


Fig. 32.



Anatas

Fig. 33.

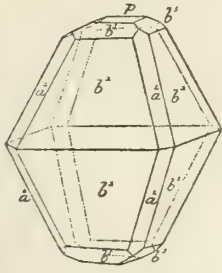


Fig. 34.

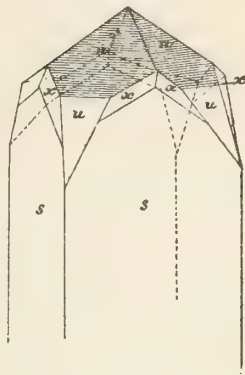


Fig. 35.

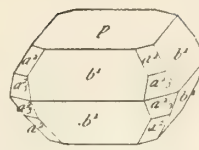


Fig. 36.

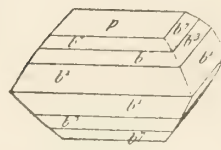


Fig. 37.

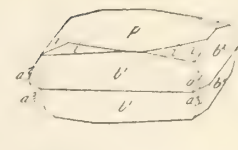


Fig. 41.

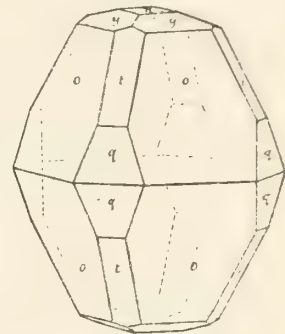


Fig. 40.

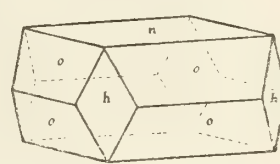


Fig. 38.

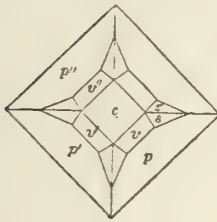


Fig. 39.

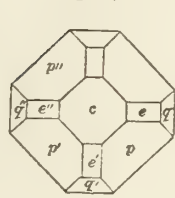


Fig. 42.

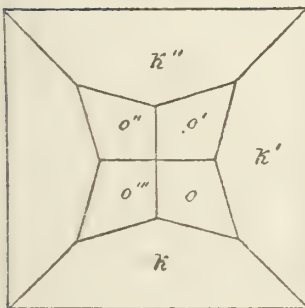


Fig. 43.

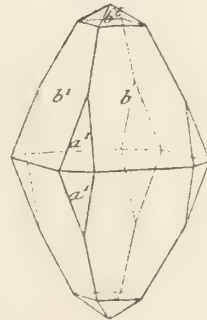


Fig. 44.

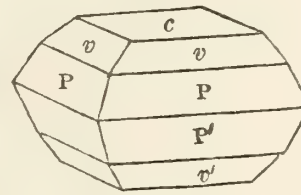


Fig. 45.

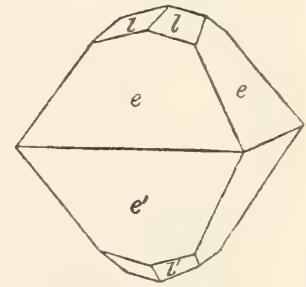


Fig. 48.

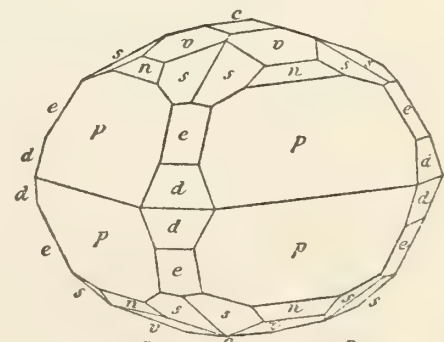


Fig. 46.

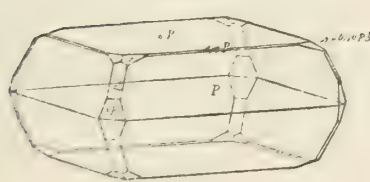
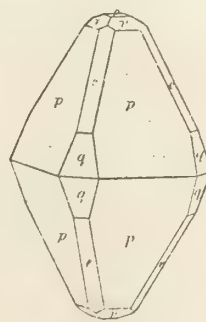


Fig. 47.



$$\begin{aligned} p &= P \\ n &= \frac{2}{3}P \\ v &= \frac{1}{2}P \\ e &= P\infty \\ d &= 3P\infty \\ s &= \frac{1}{2}P\infty \end{aligned}$$

Anatas

Fig. 63.

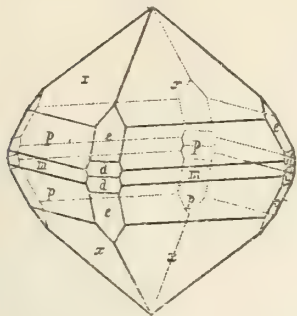


Fig. 64.

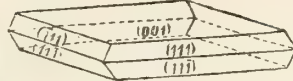


Fig. 65.

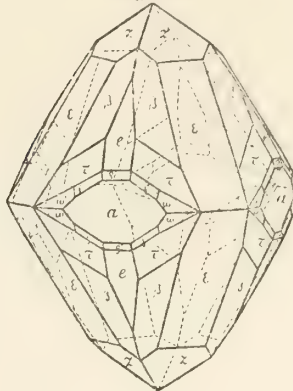


Fig. 66.

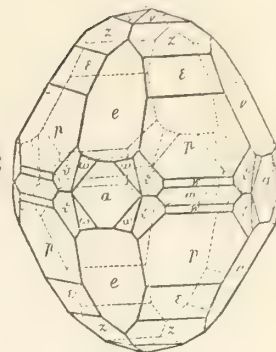


Fig. 67.

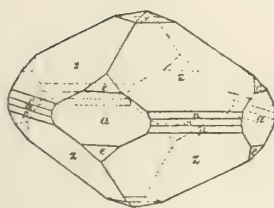


Fig. 68.

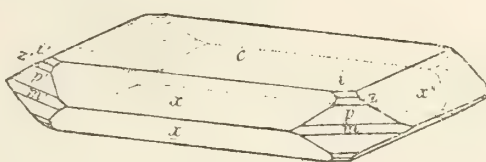


Fig. 69.

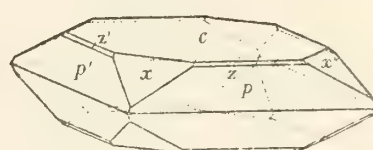


Fig. 70.

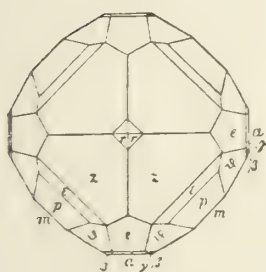


Fig. 71.

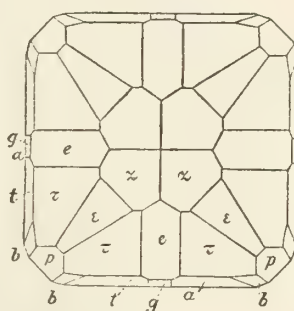


Fig. 72.

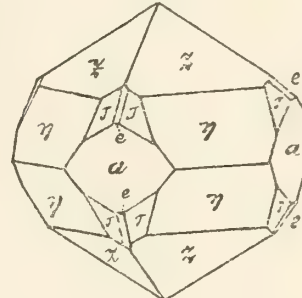


Fig. 73.

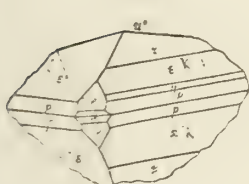


Fig. 74.

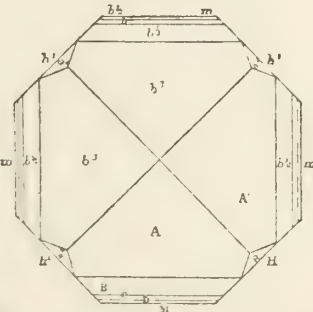


Fig. 75.

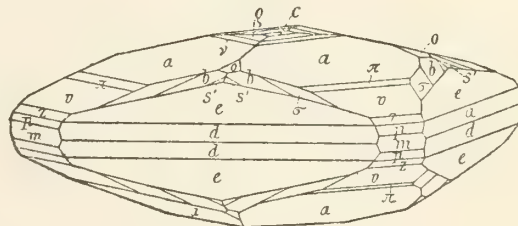


Fig. 76.

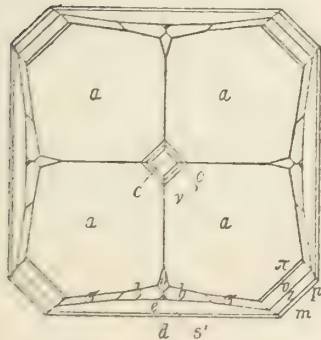


Fig. 77.

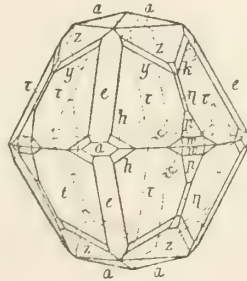
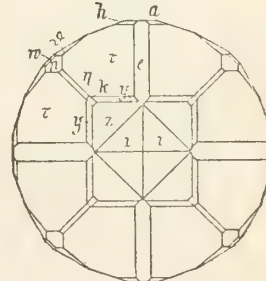


Fig. 78.



Anatas

Fig. 79.

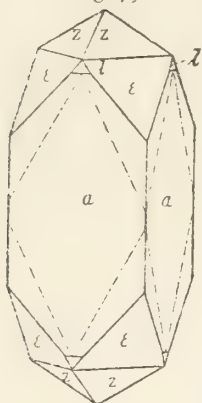


Fig. 81.

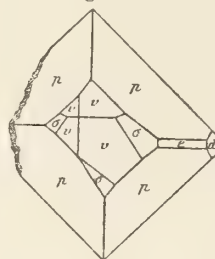


Fig. 80.

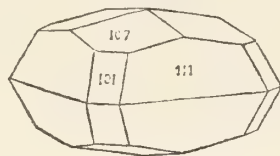


Fig. 82.

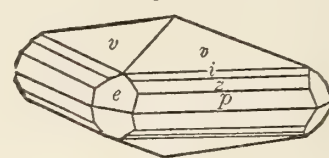


Fig. 83.

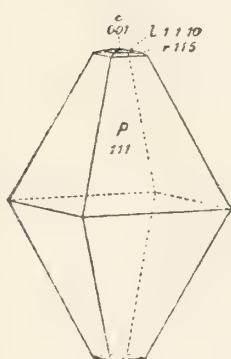


Fig. 84.

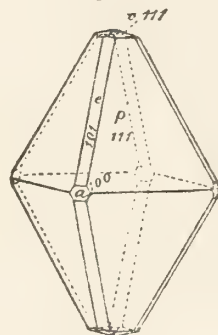


Fig. 85.

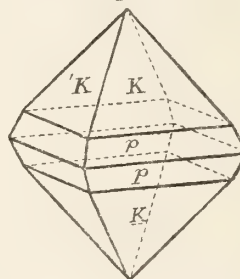


Fig. 86.

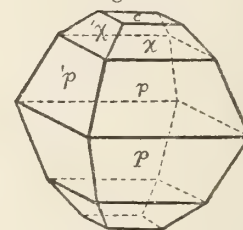


Fig. 87.

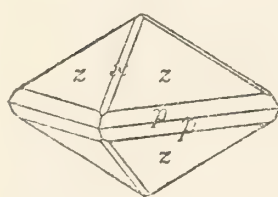


Fig. 88.

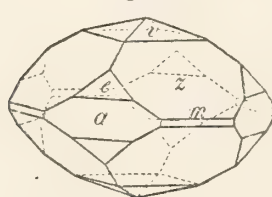


Fig. 89.

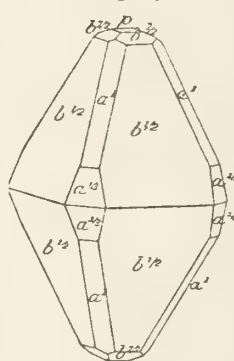


Fig. 90.

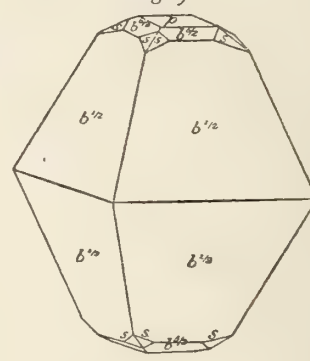


Fig. 91.

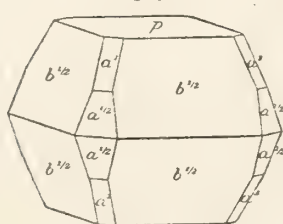


Fig. 92.

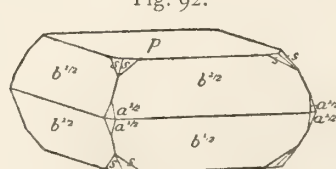
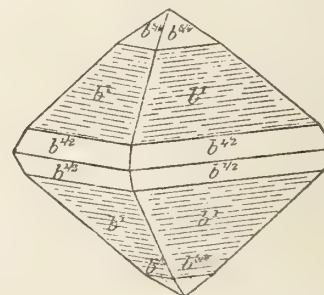


Fig. 93.



Anatas

Fig. 94.

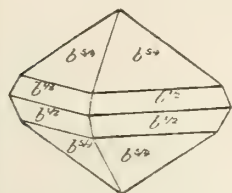
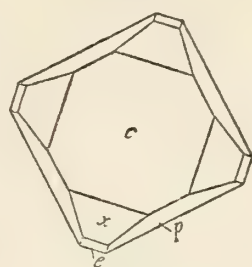


Fig. 95.



(b)

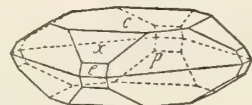
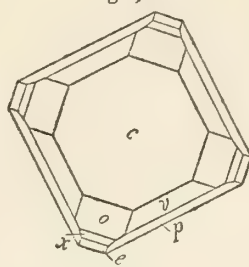


Fig. 96.



(b)



Fig. 97.

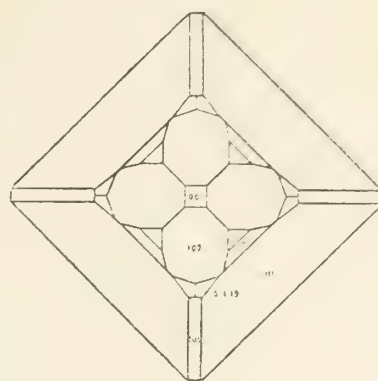


Fig. 98.

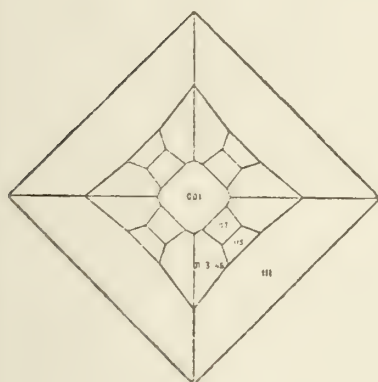


Fig. 99.

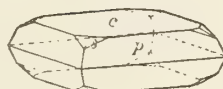
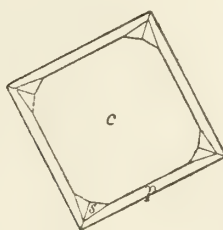


Fig. 100.

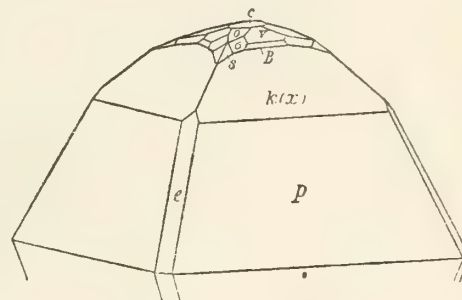


Fig. 101.

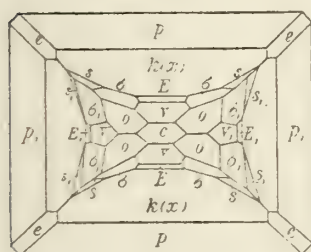


Fig. 102.

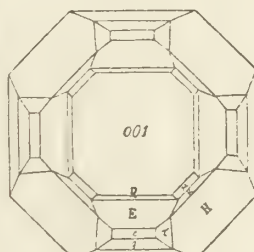


Fig. 103.

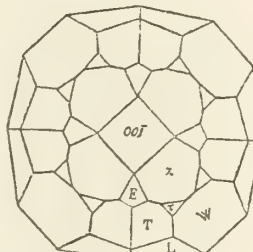


Fig. 104.

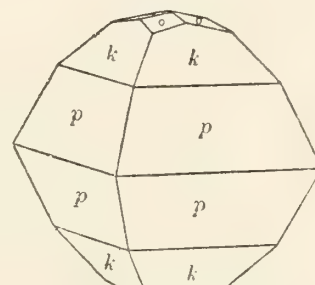


Fig. 105.

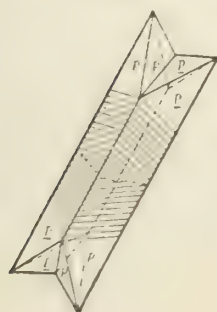


Fig. 106.

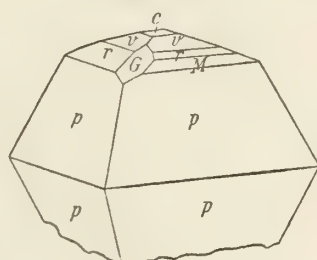


Fig. 107.

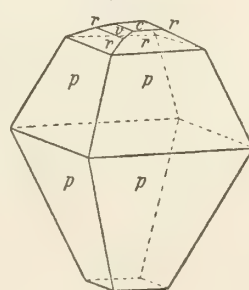
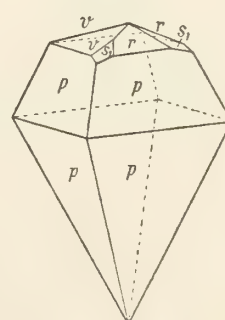


Fig. 108.



Anatas

Fig. 109.

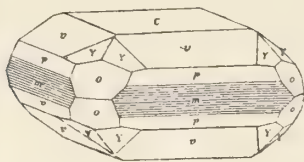


Fig. 110.

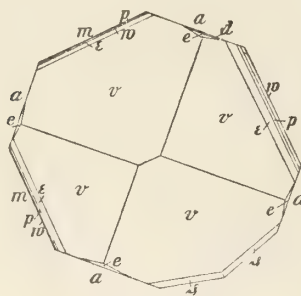


Fig. 112.

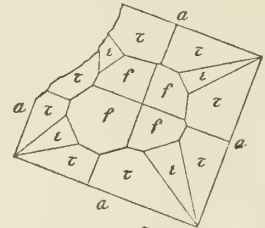


Fig. 111.

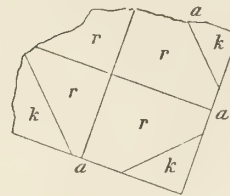


Fig. 113.

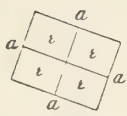


Fig. 114.

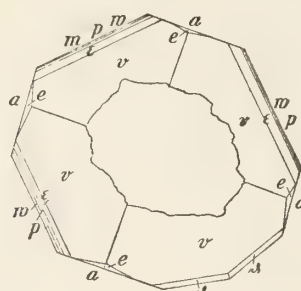
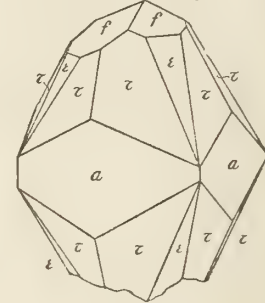
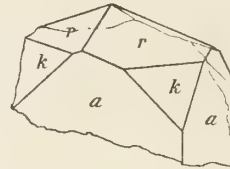
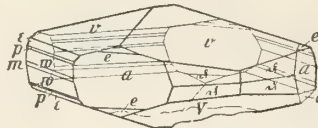
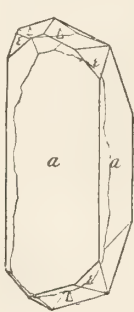
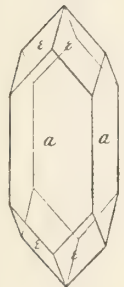
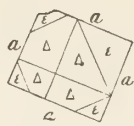


Fig. 115.

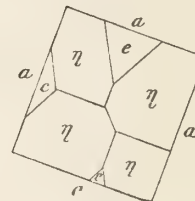


Fig. 116.

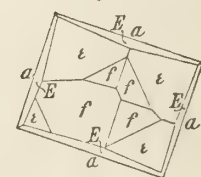


Fig. 117.

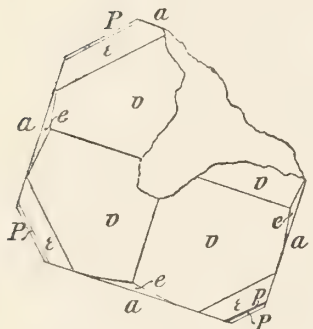


Fig. 118.

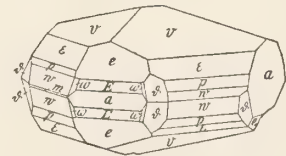
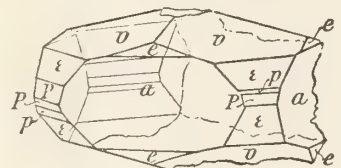
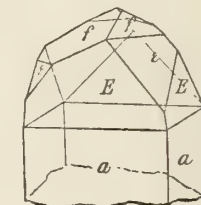
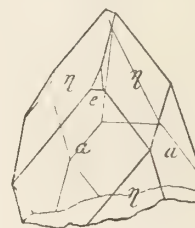
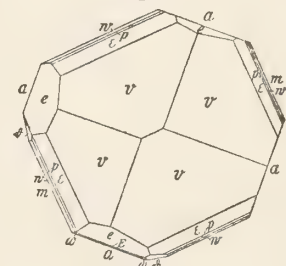


Fig. 119.

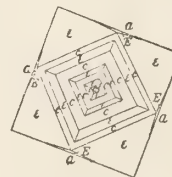
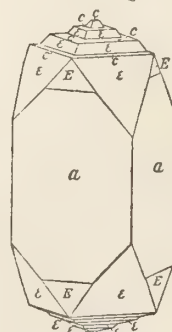
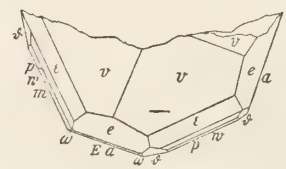
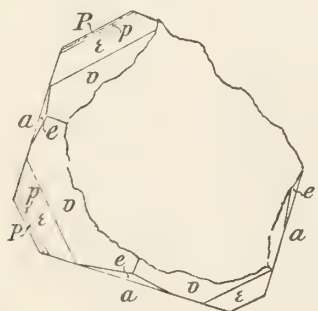
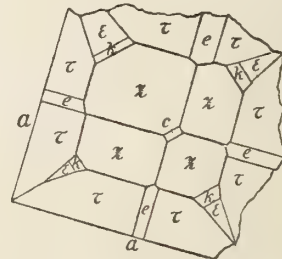


Fig. 120.



Anatas

Fig. 121.

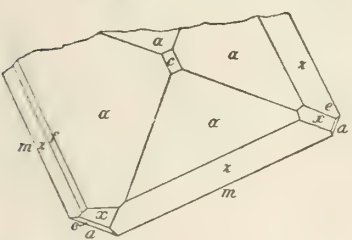
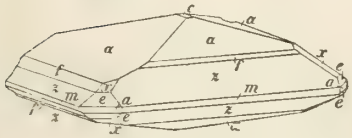
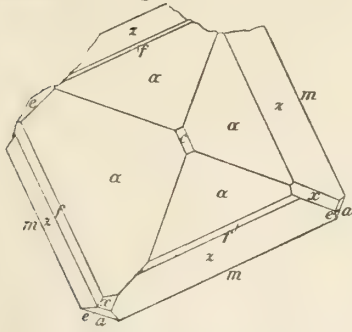


Fig. 126.

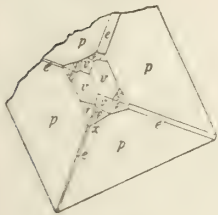


Fig. 3.

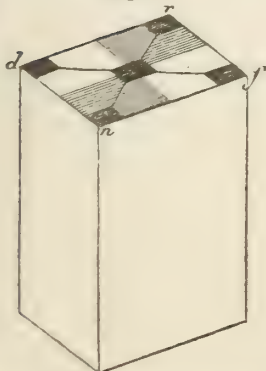


Fig. 4.

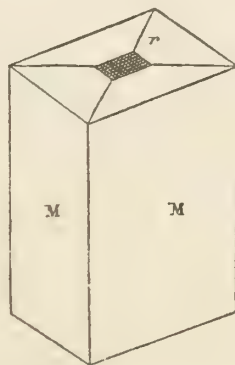


Fig. 124.

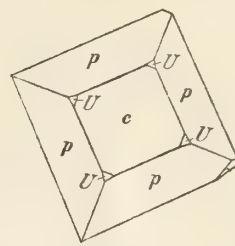


Fig. 125.

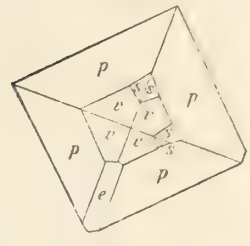
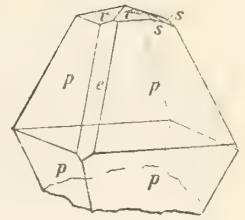
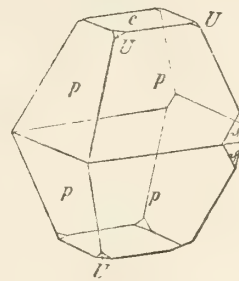
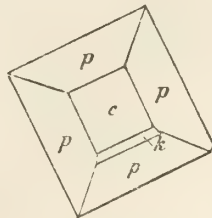


Fig. 123.



Andalusit

Fig. 128.

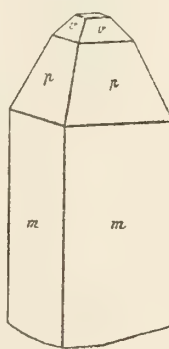


Fig. 1.

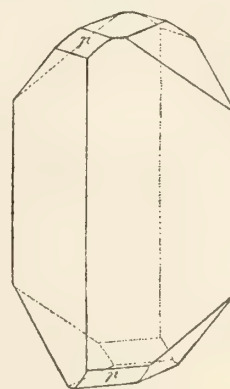


Fig. 2.

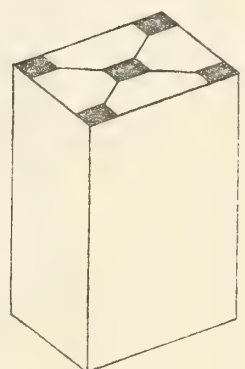


Fig. 5.

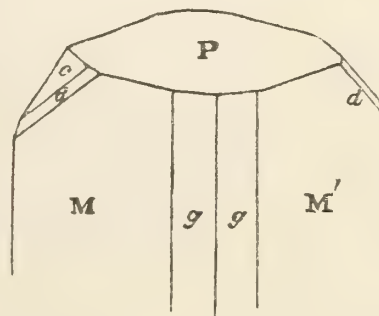
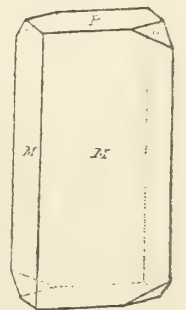


Fig. 6.



Andalusit

Fig. 7.

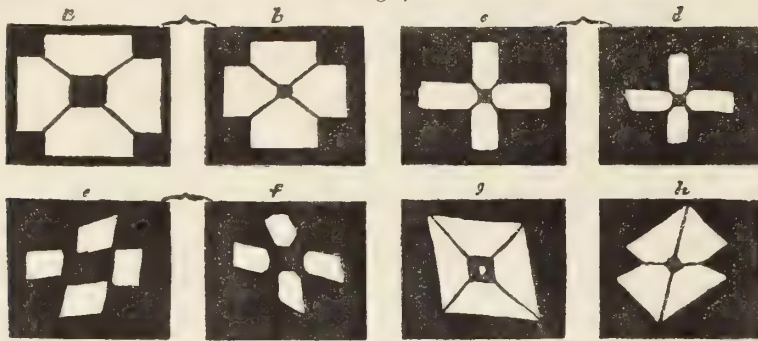


Fig. 8.

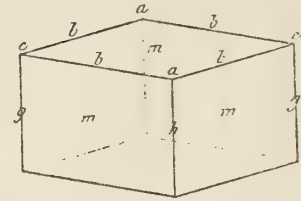


Fig. 9.

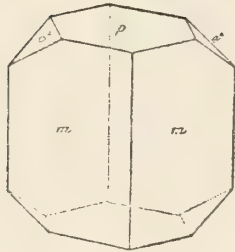


Fig. 10.

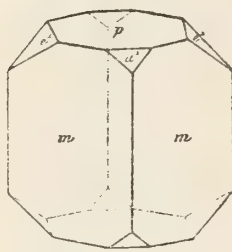


Fig. 11.

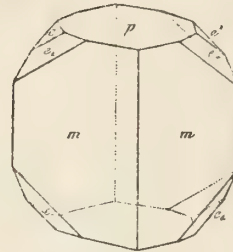


Fig. 12.

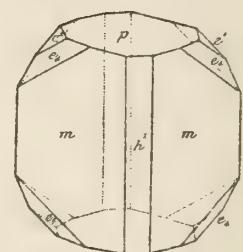


Fig. 13.

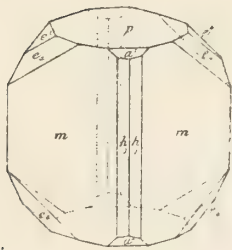


Fig. 14.

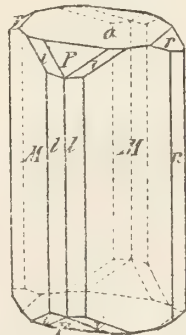


Fig. 15.

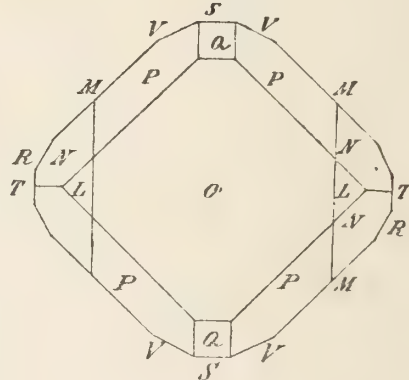


Fig. 16.

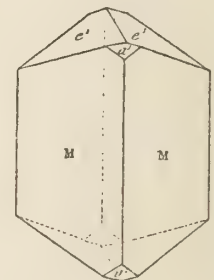


Fig. 17.

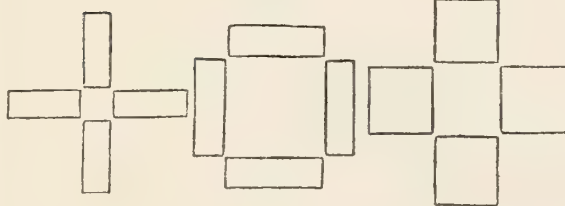


Fig. 17.

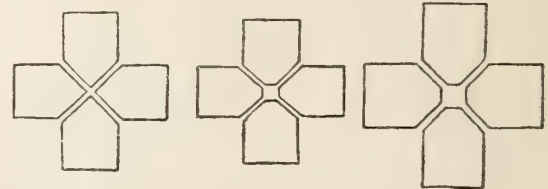


Fig. 18.

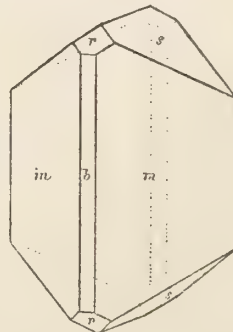


Fig. 19.

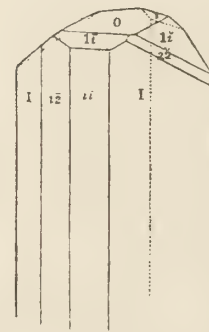


Fig. 20.

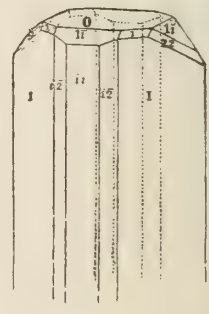
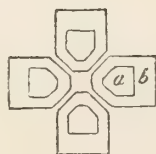
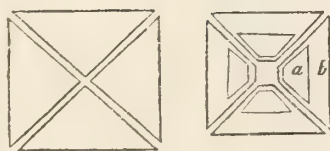


Fig. 17.



Andalusit

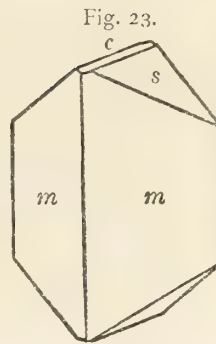
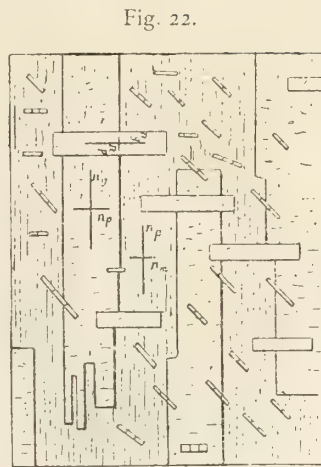
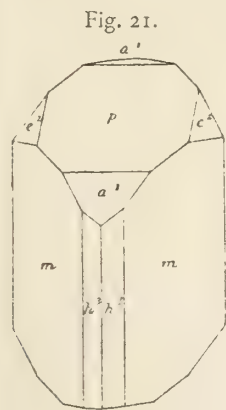
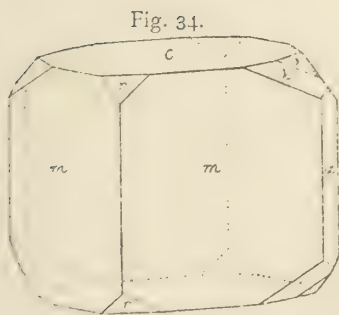
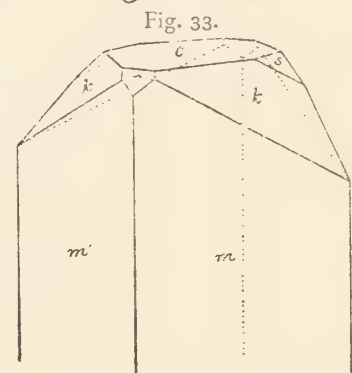
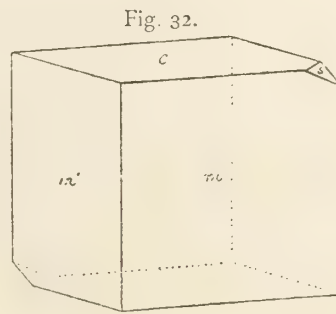
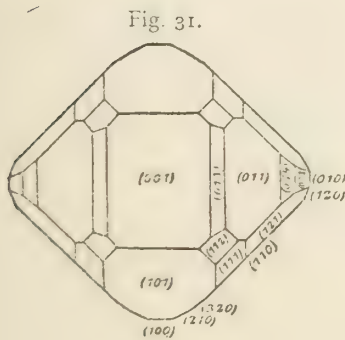
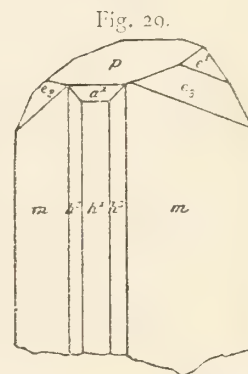
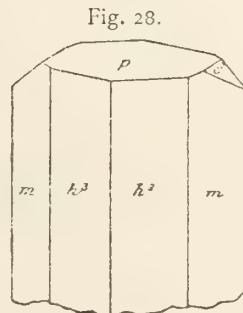
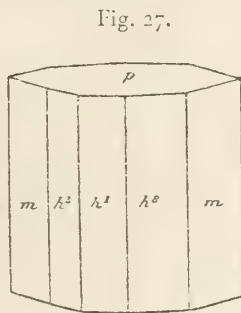
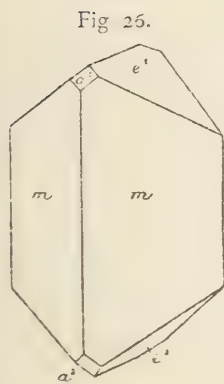
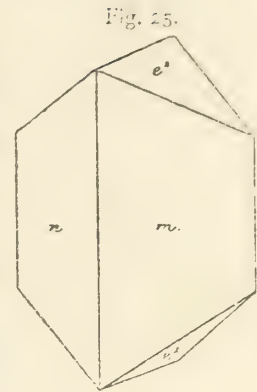
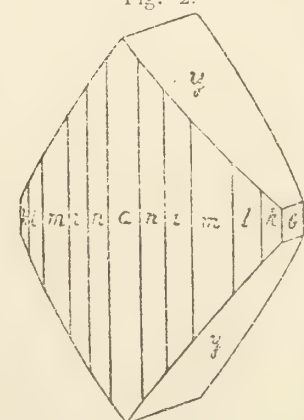
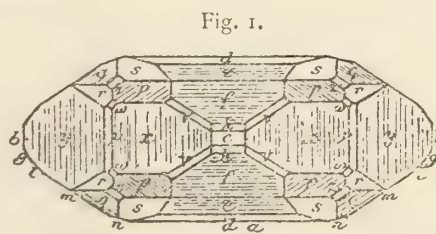


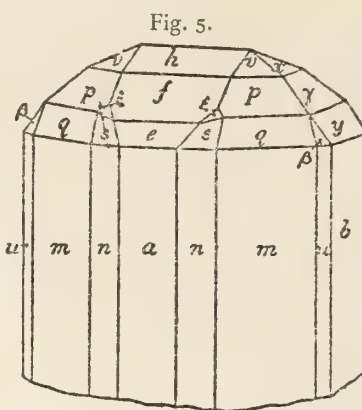
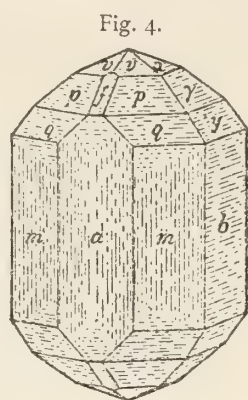
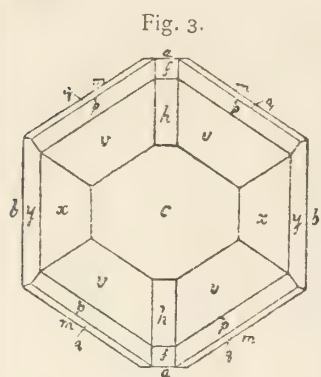
Fig. 24.



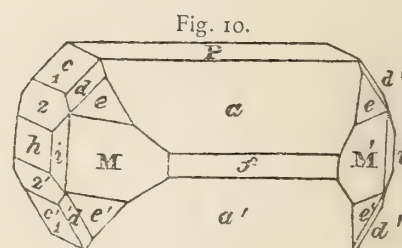
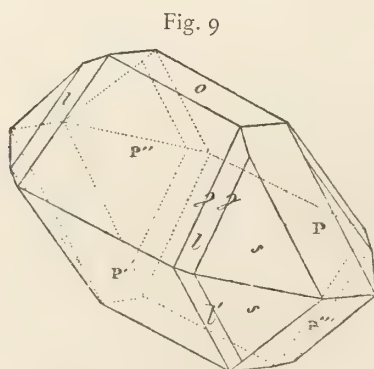
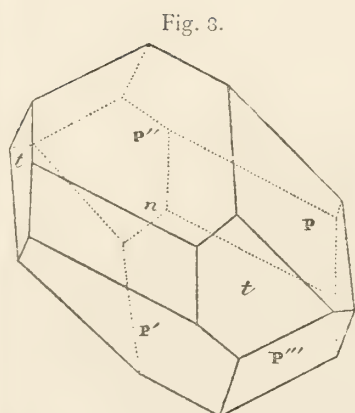
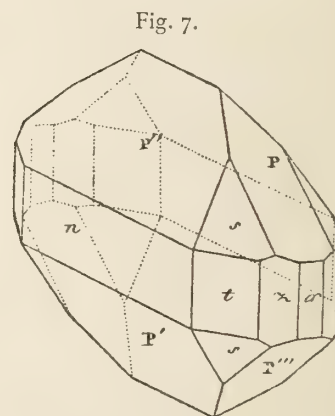
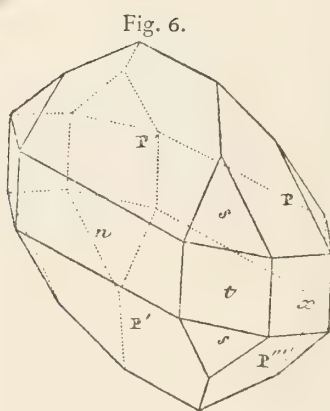
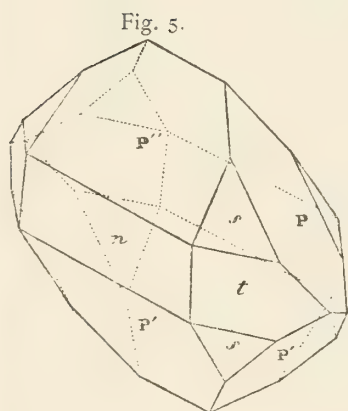
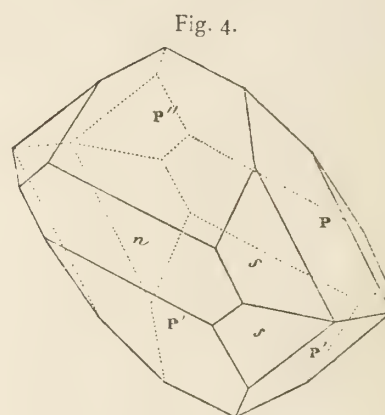
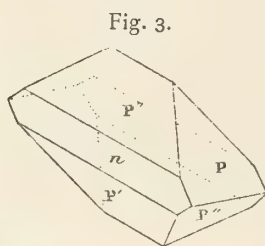
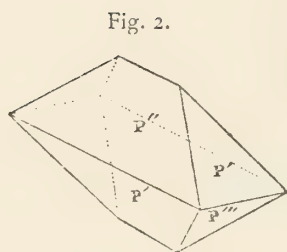
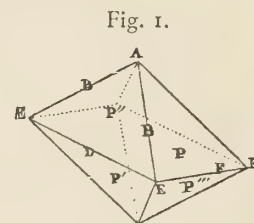
Andorit



Andorit



Anglesit



Anglesit

Fig. 11.

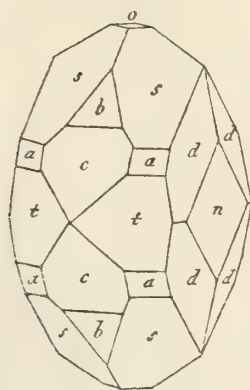


Fig. 12.



Fig. 13.

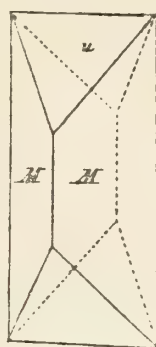


Fig. 14.

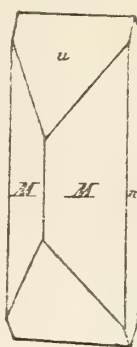


Fig. 15.

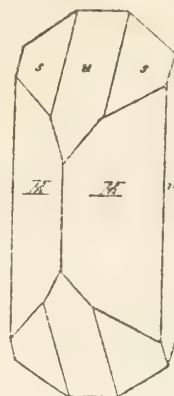


Fig. 16.

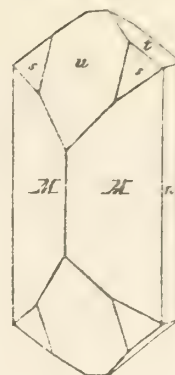


Fig. 17.

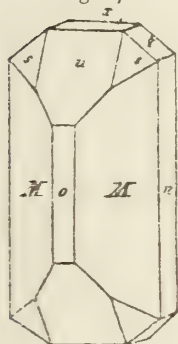


Fig. 18.

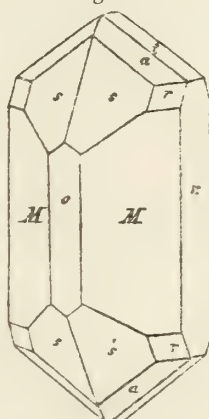


Fig. 19.

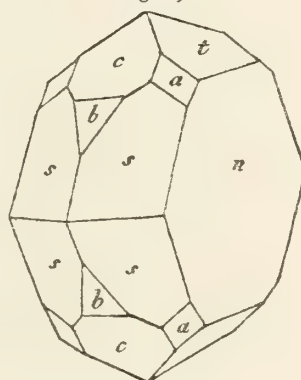


Fig. 20.

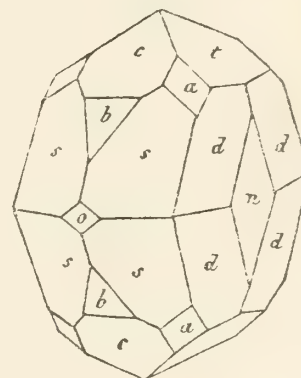


Fig. 21.

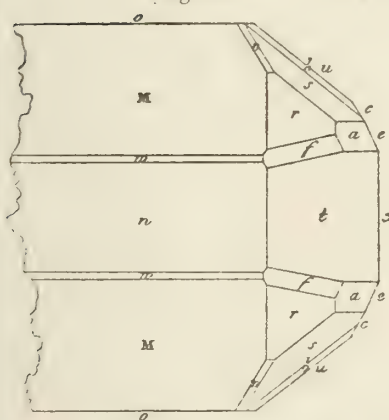


Fig. 22.

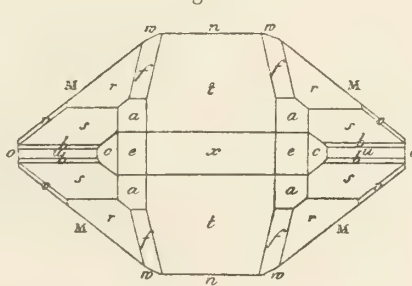


Fig. 23.



Fig. 24.



Fig. 25.

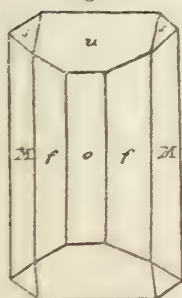


Fig. 26.

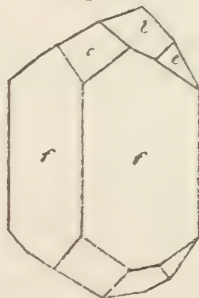


Fig. 27.

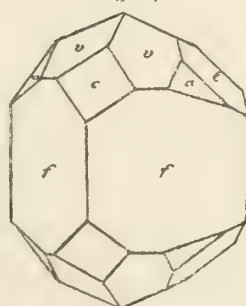


Fig. 28.

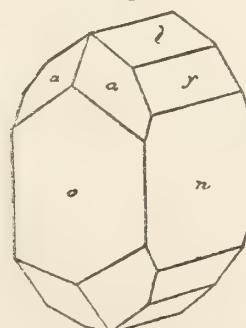
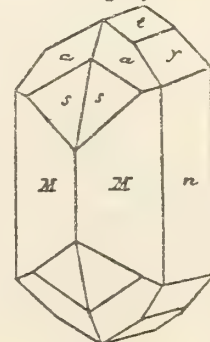


Fig. 29.



Anglesit

Fig. 30.

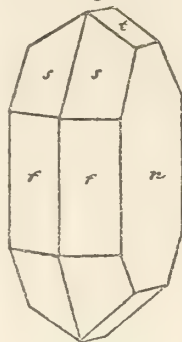


Fig. 31.

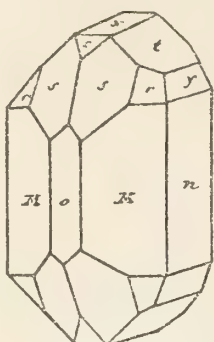


Fig. 32.

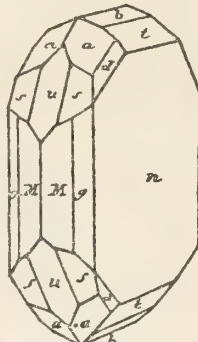


Fig. 33.

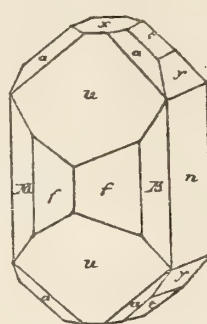


Fig. 34.

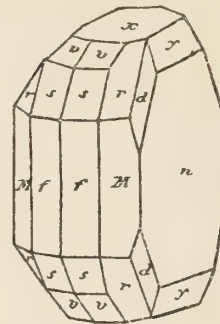


Fig. 35.

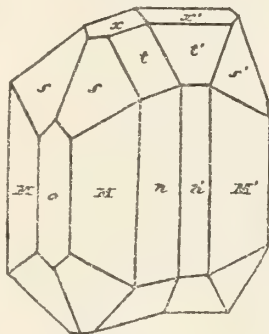


Fig. 36.

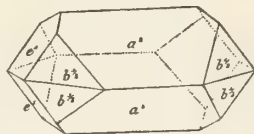


Fig. 37.

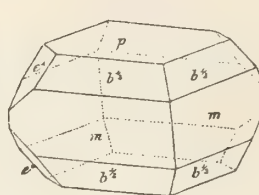


Fig. 38.

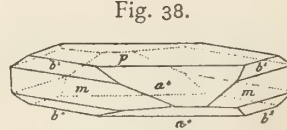


Fig. 39.

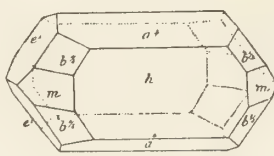


Fig. 42.

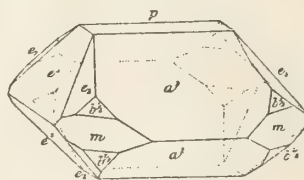


Fig. 43.

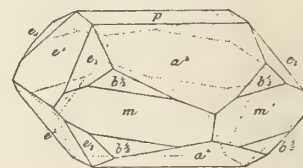


Fig. 40.

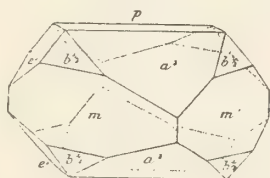


Fig. 41.

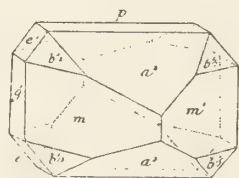


Fig. 46.

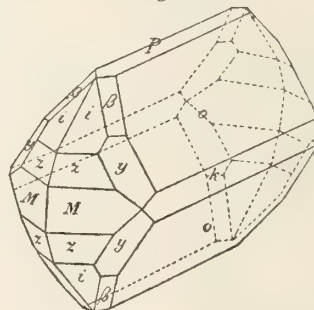


Fig. 47.

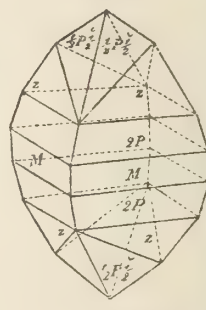


Fig. 44.

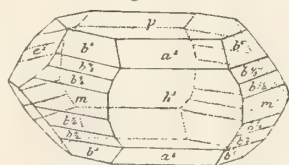


Fig. 45.

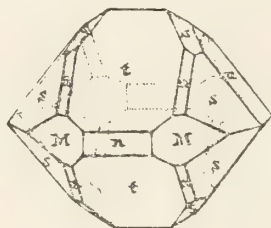


Fig. 48 a.

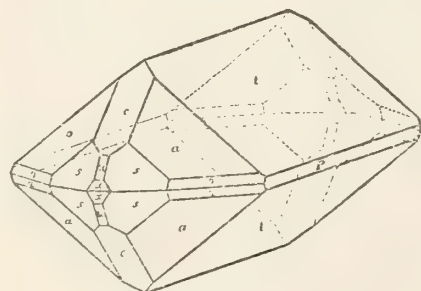


Fig. 48 b.

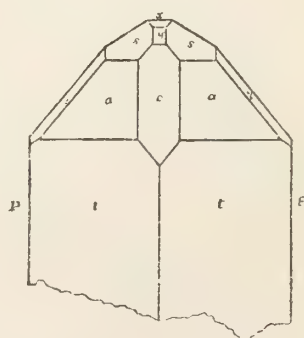


Fig. 49 a.

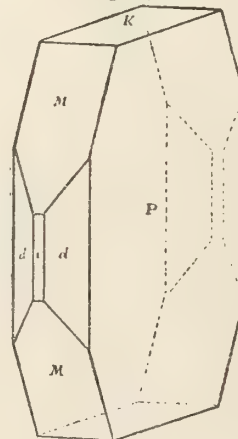
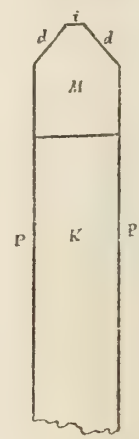


Fig. 49 b.



Anglesit

Fig. 50a.

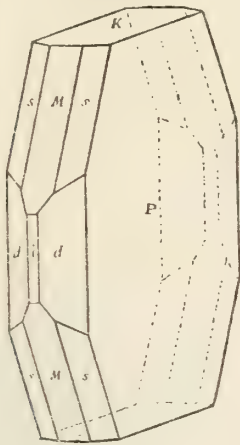


Fig. 50b.

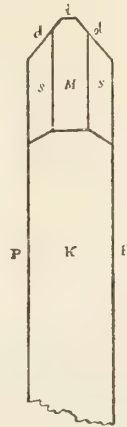


Fig. 51.

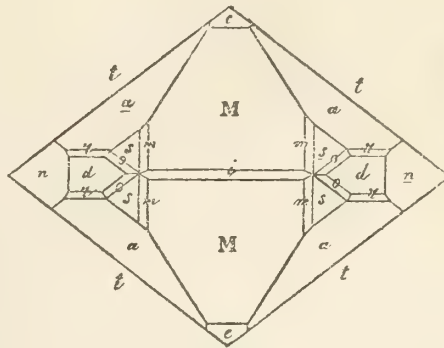


Fig. 52.

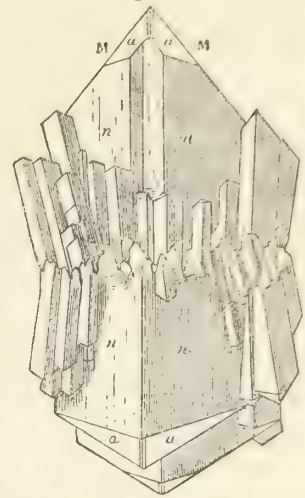


Fig. 53.

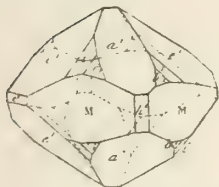


Fig. 54.

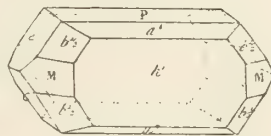


Fig. 55.

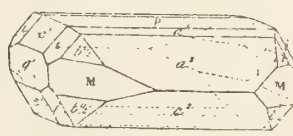


Fig. 56.

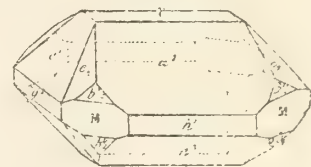


Fig. 57.



Fig. 58.

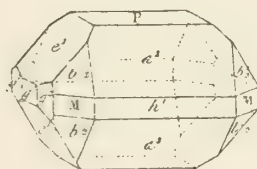


Fig. 60.

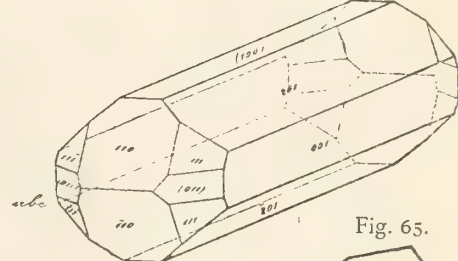


Fig. 61.

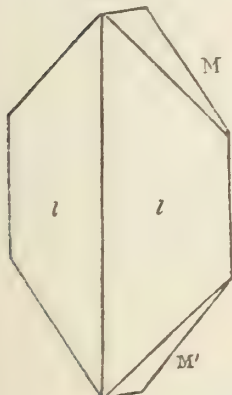


Fig. 59.

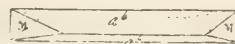


Fig. 65.

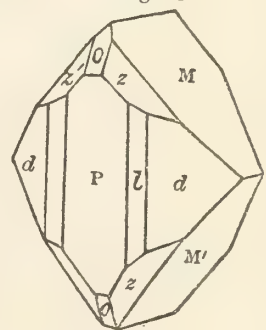


Fig. 62.

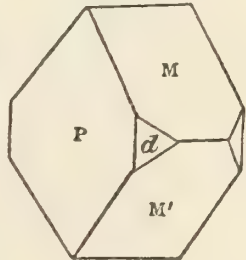


Fig. 63.

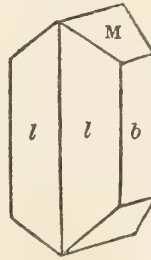


Fig. 64.



Fig. 66.

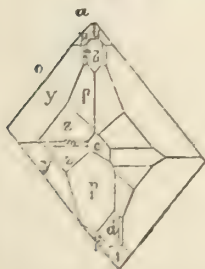


Fig. 67.

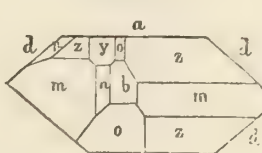


Fig. 68.

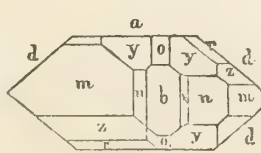


Fig. 69.

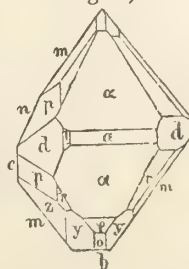
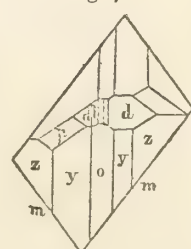


Fig. 70.



Anglesit

Fig. 71.

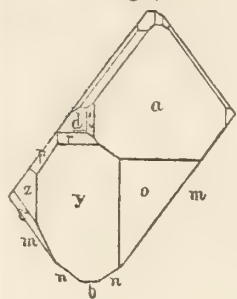


Fig. 72.

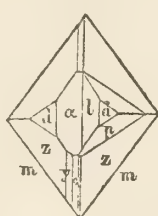


Fig. 73.

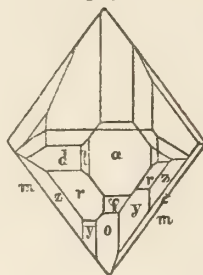


Fig. 74.

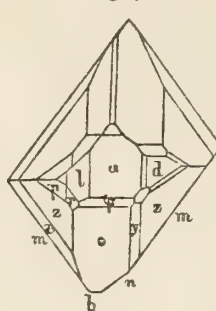


Fig. 75.

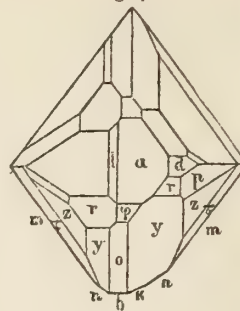


Fig. 76.

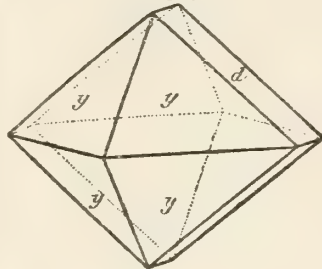


Fig. 77.

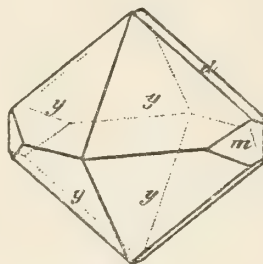


Fig. 78.

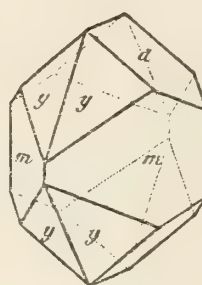


Fig. 79.

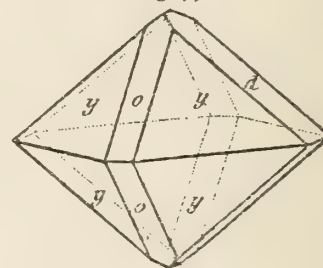


Fig. 80.

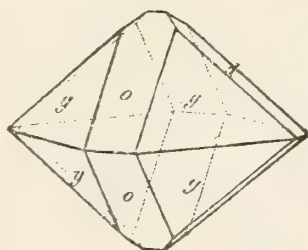


Fig. 81.

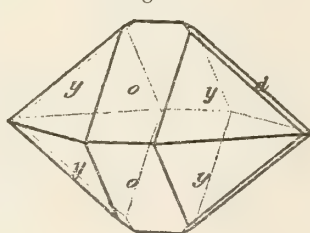


Fig. 82.

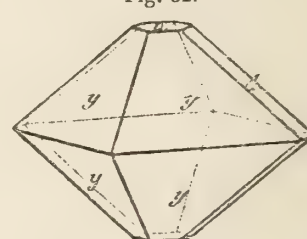


Fig. 83.

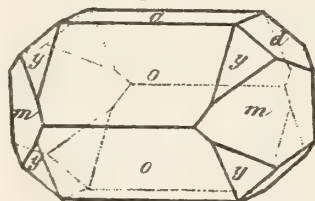


Fig. 84.

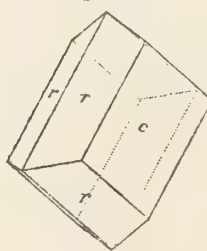


Fig. 85.

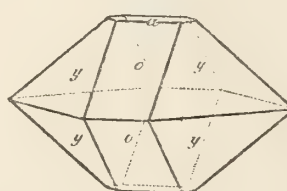


Fig. 86.

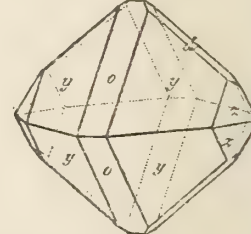


Fig. 87.

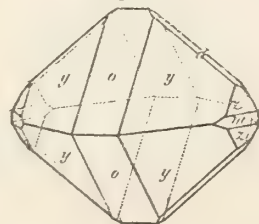


Fig. 88.

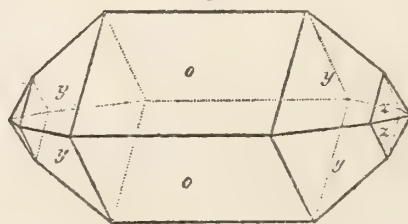
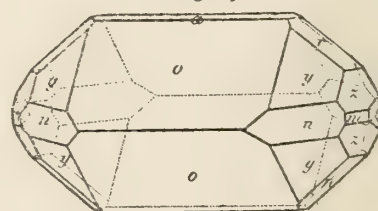


Fig. 89.



Anglesit

Fig. 90.

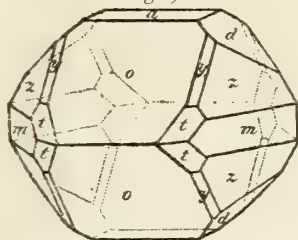


Fig. 91.

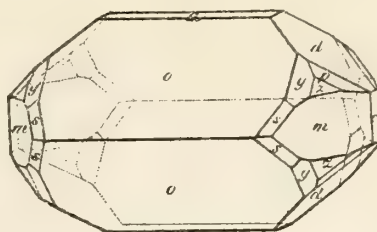


Fig. 92.

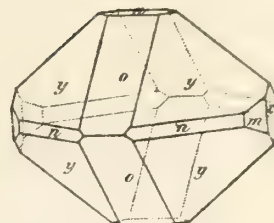


Fig. 93.

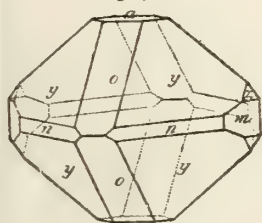


Fig. 94.

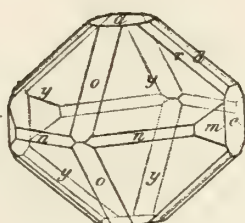


Fig. 95.

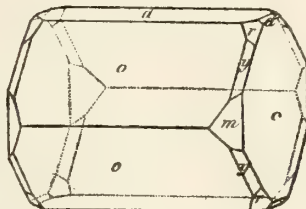


Fig. 96.

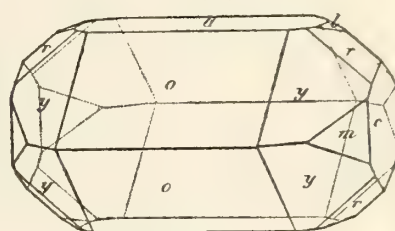


Fig. 97.

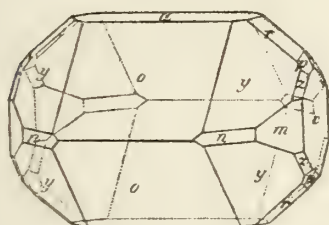


Fig. 98.

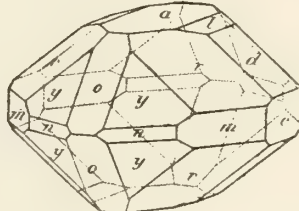


Fig. 99.

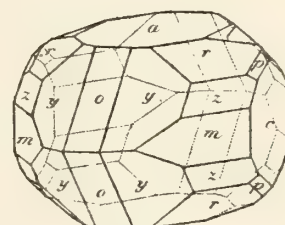


Fig. 100.

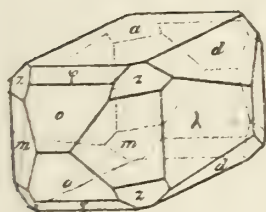


Fig. 101.

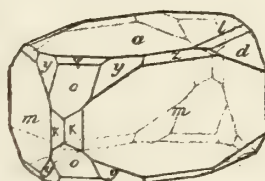


Fig. 102.

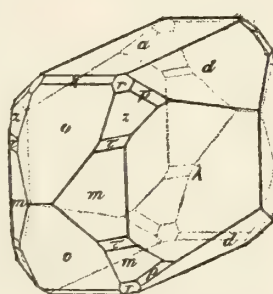


Fig. 103.

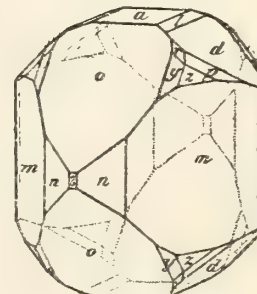


Fig. 104.

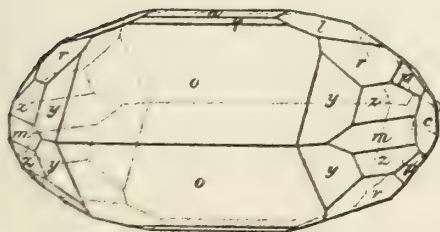


Fig. 105.

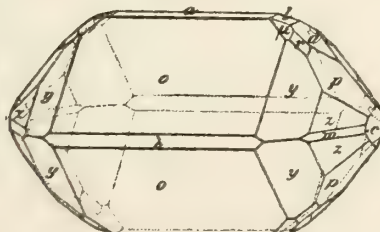
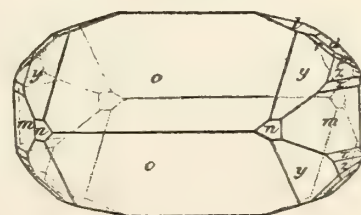


Fig. 106.



Anglesit

Fig. 107.

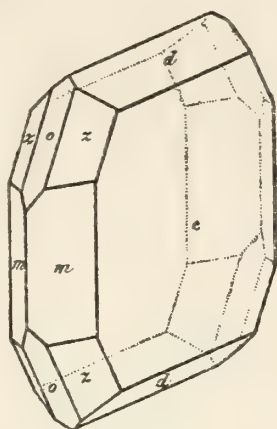


Fig. 108.

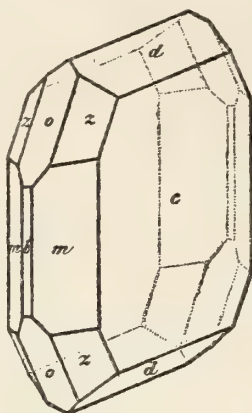


Fig. 109.

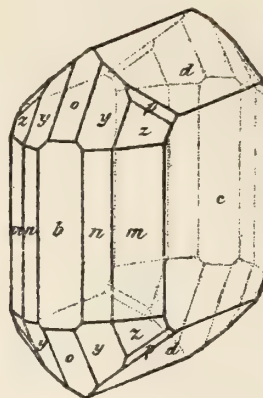


Fig. 110.

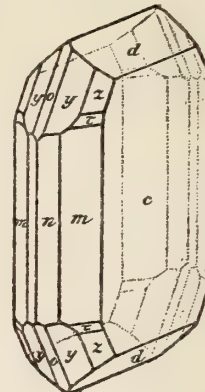


Fig. 111.

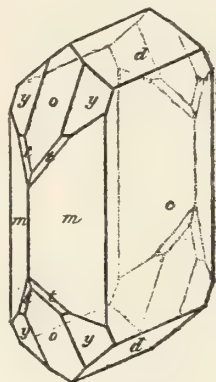


Fig. 112.

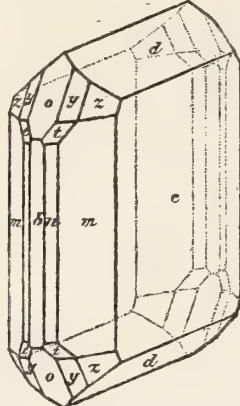


Fig. 113.

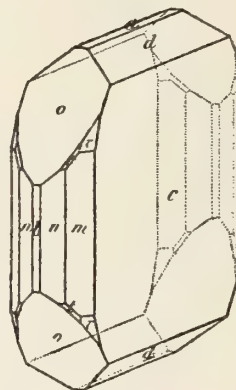


Fig. 114.

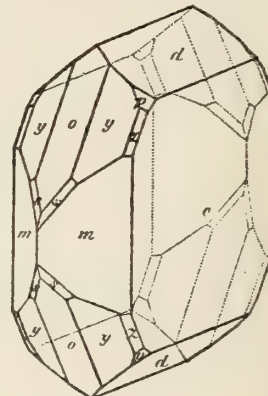


Fig. 115.

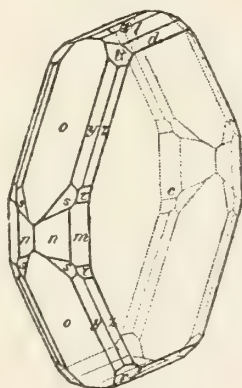


Fig. 116.

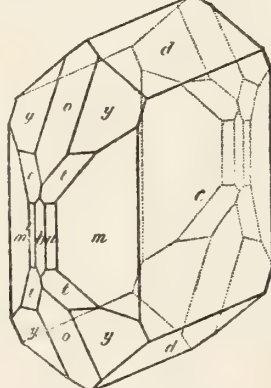


Fig. 117.

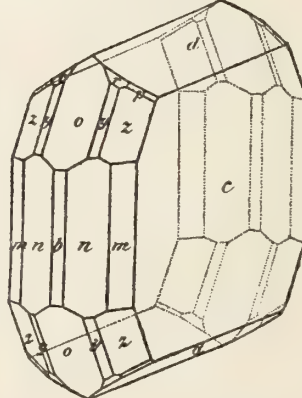


Fig. 118.

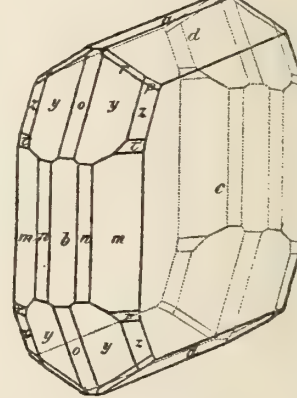


Fig. 119.

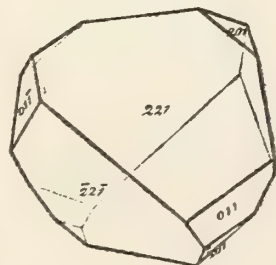


Fig. 120.

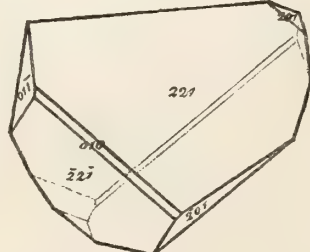


Fig. 121.

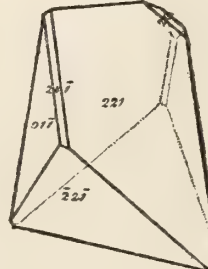
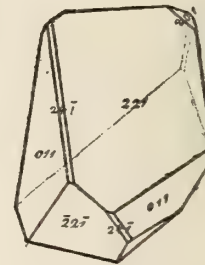


Fig. 122.



Anglesit

Fig. 123.

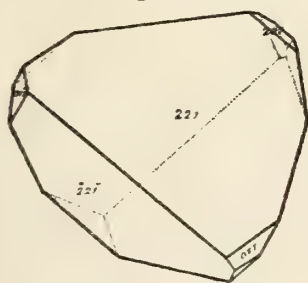


Fig. 124.

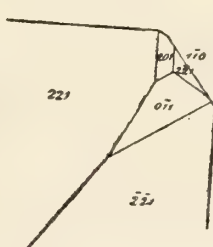


Fig. 125.

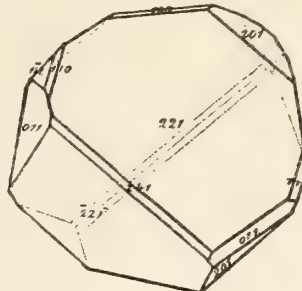


Fig. 126.

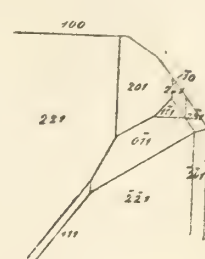


Fig. 127.

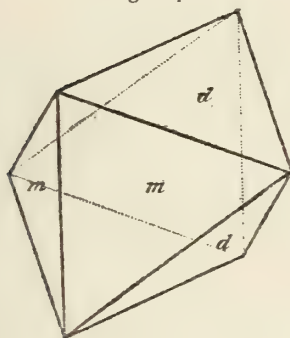


Fig. 128.

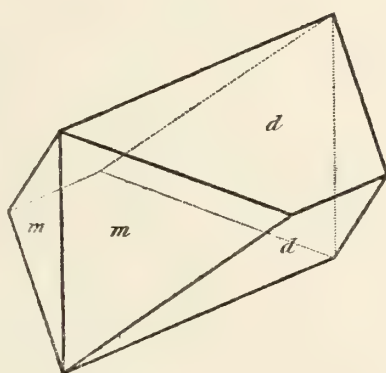


Fig. 129.

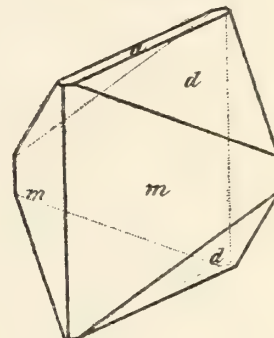


Fig. 130.

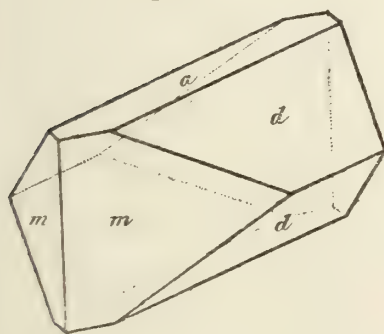


Fig. 131.

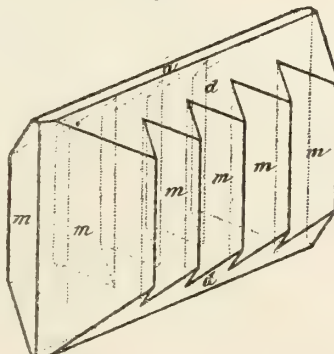


Fig. 132.

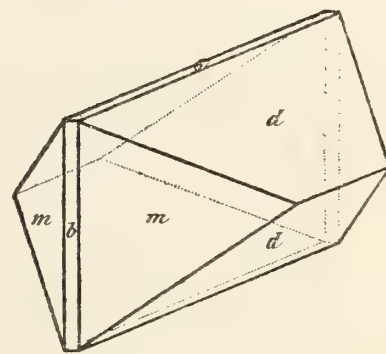


Fig. 133.

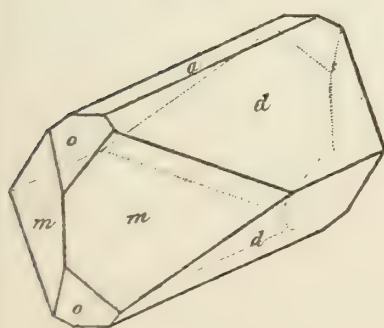


Fig. 134.

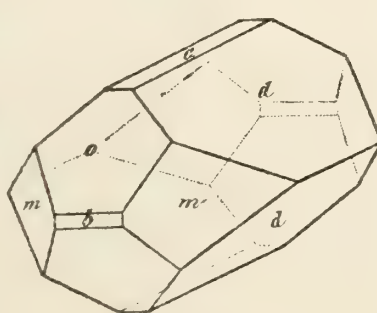
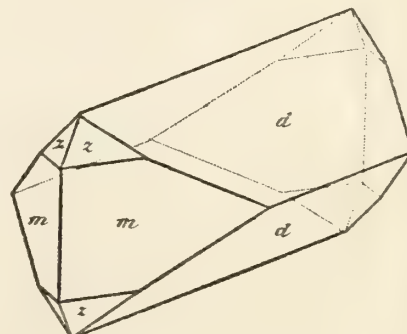


Fig. 135.



Anglesit

Fig. 136.

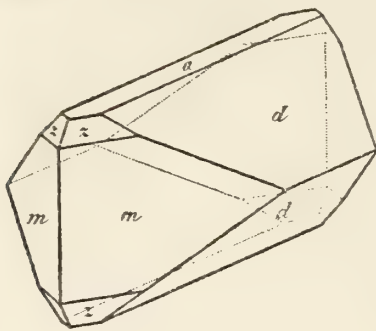


Fig. 137.

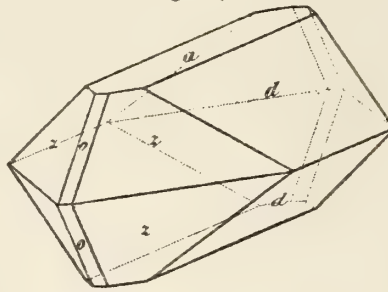


Fig. 138.

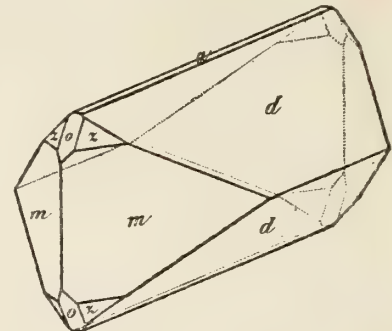


Fig. 139.

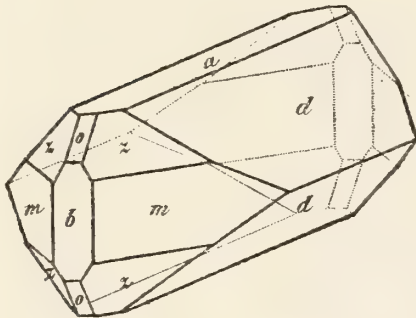


Fig. 140.

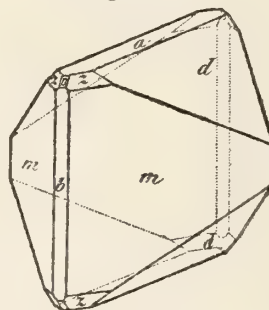


Fig. 141.

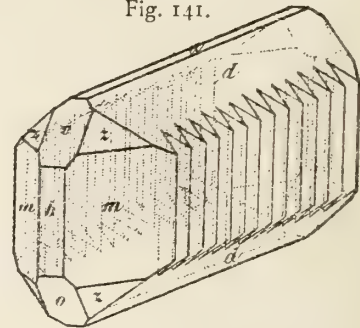


Fig. 142.

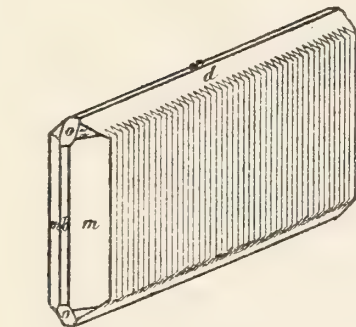


Fig. 143.

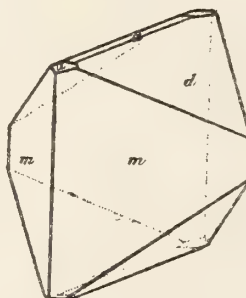


Fig. 144.

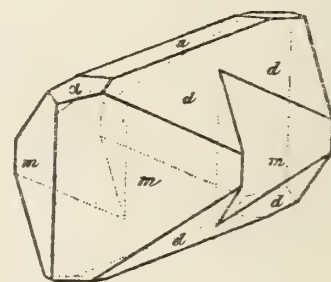


Fig. 145.

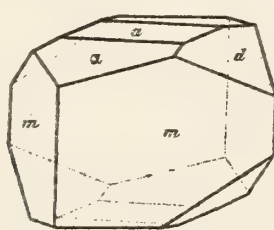


Fig. 146.

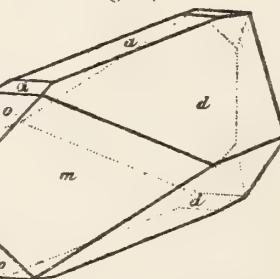


Fig. 147.

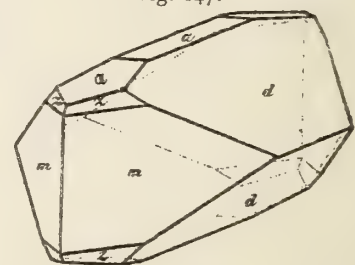


Fig. 148.

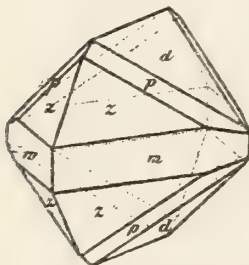


Fig. 149.

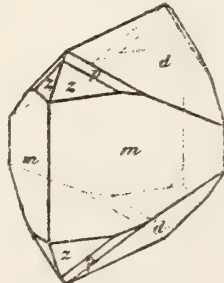


Fig. 150.

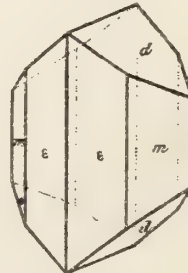
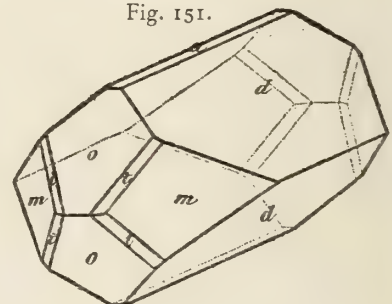


Fig. 151.



Anglesit

Fig. 152.

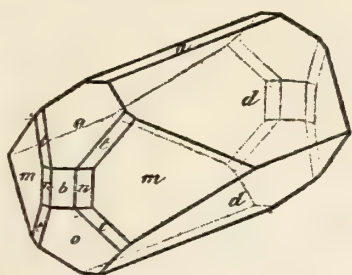


Fig. 153.

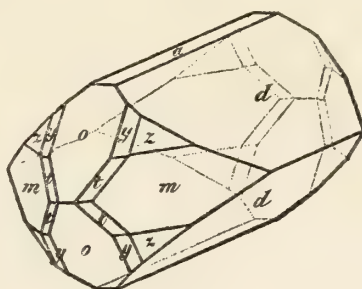


Fig. 154.

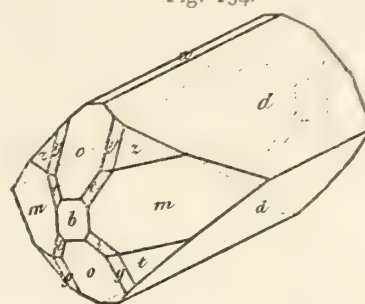


Fig. 155.

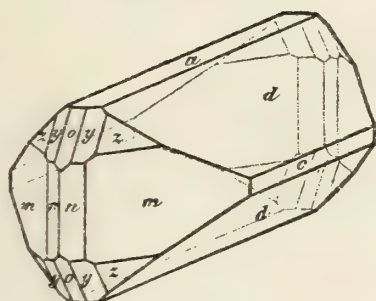


Fig. 156.

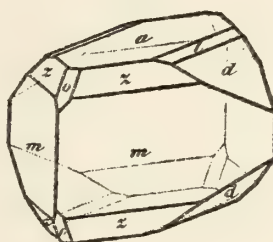


Fig. 157.

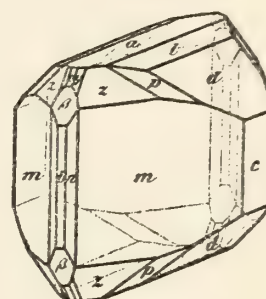


Fig. 158.

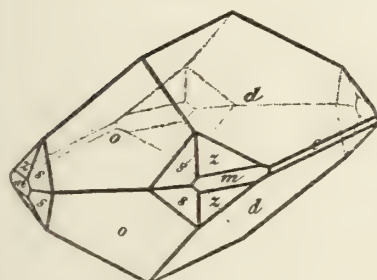


Fig. 159.

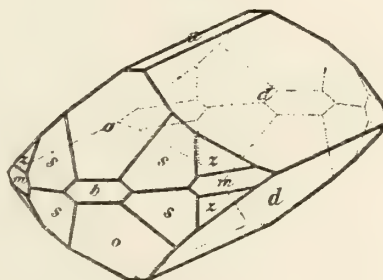


Fig. 160.

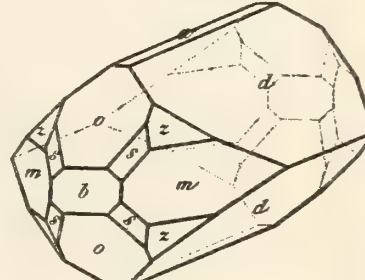


Fig. 161.

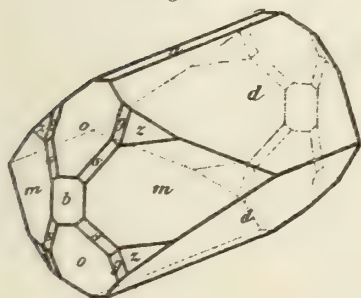


Fig. 162.

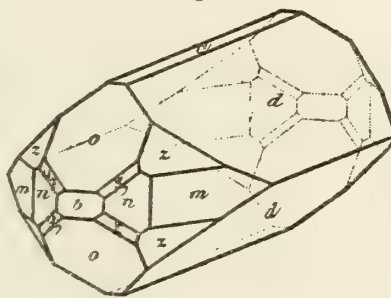


Fig. 163.

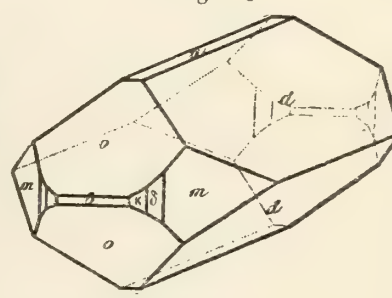


Fig. 164.

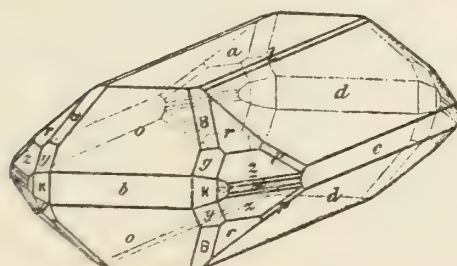
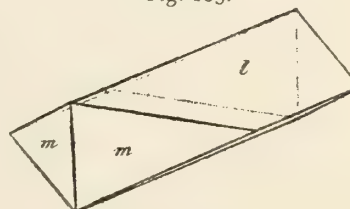


Fig. 165.



Anglesit

Fig. 166.

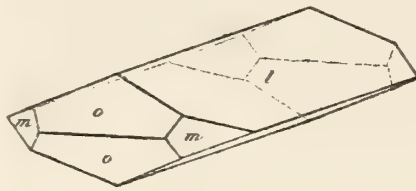


Fig. 167.

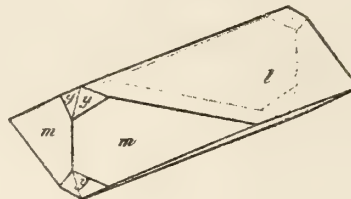


Fig. 168.

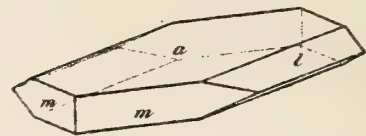


Fig. 169.

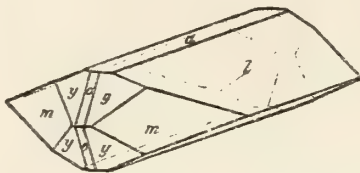


Fig. 170.

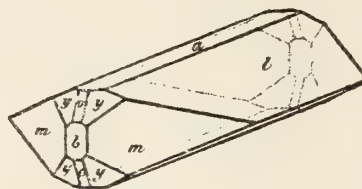


Fig. 171.

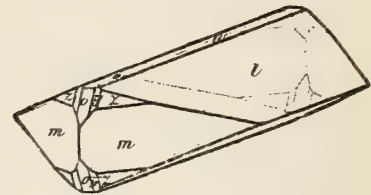


Fig. 172.

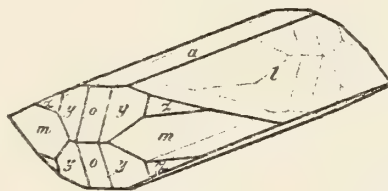


Fig. 173.

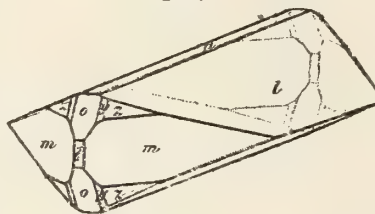


Fig. 174.

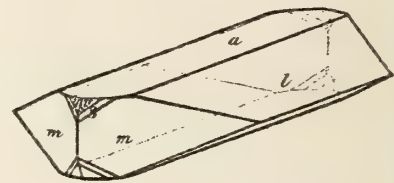


Fig. 175.

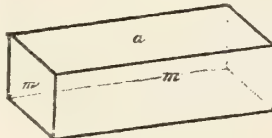


Fig. 176.

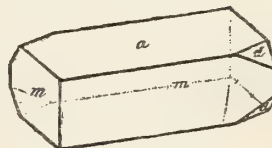


Fig. 177.

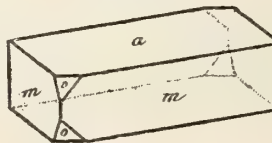


Fig. 178.



Fig. 179.

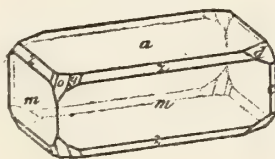


Fig. 180.

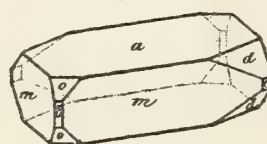


Fig. 181.

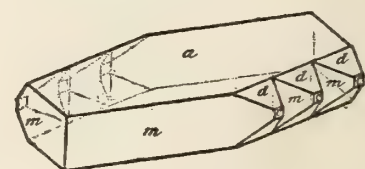


Fig. 182.

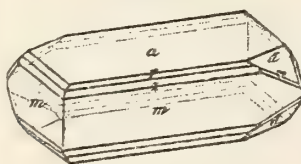


Fig. 183.

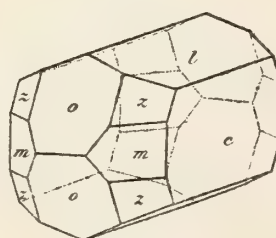


Fig. 184.

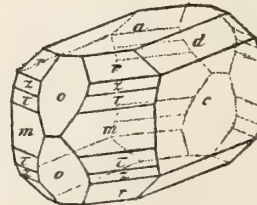


Fig. 185.



Fig. 186.



Fig. 187.

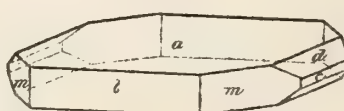
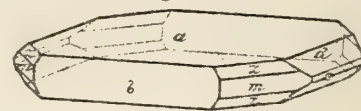


Fig. 188.



Anglesit

Fig. 189.

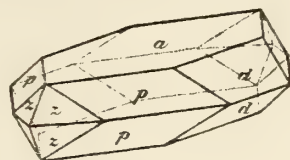


Fig. 190.

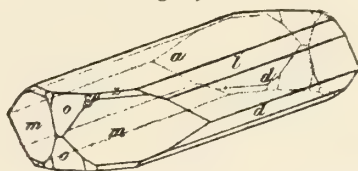


Fig. 191.

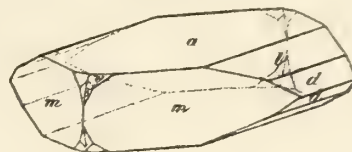


Fig. 192.

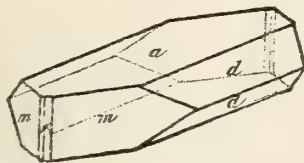


Fig. 193.

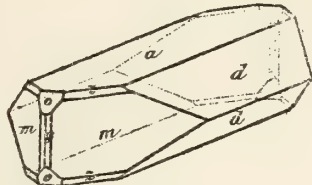


Fig. 194.

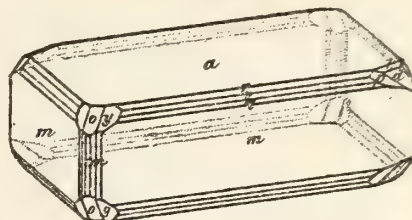


Fig. 195.

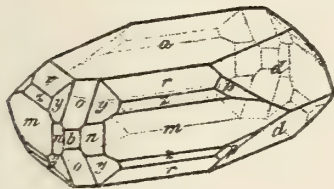


Fig. 196.

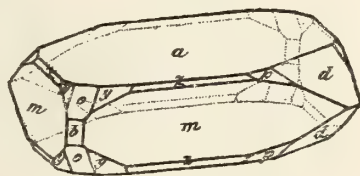


Fig. 197.

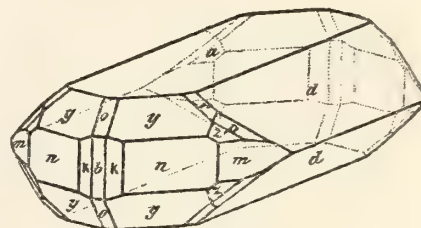


Fig. 198.

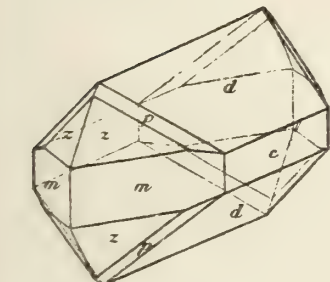


Fig. 199.

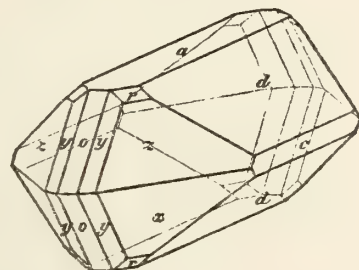


Fig. 200.

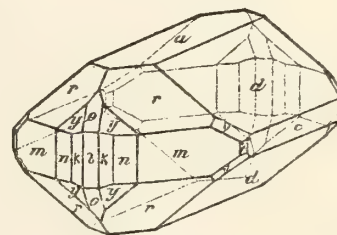


Fig. 201.

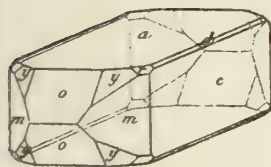


Fig. 202.

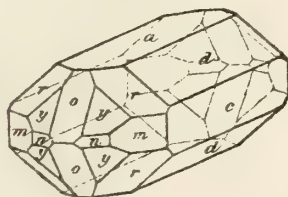


Fig. 203.

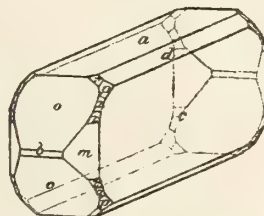


Fig. 204.

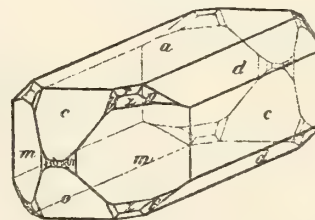


Fig. 205.

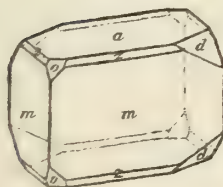


Fig. 206.

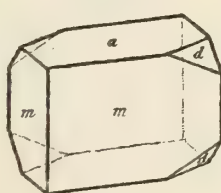


Fig. 207.

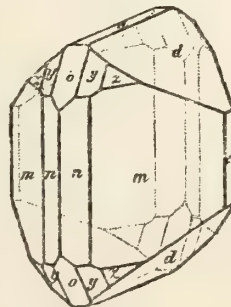
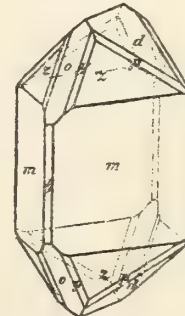


Fig. 208.



Anglesit

Fig. 209.

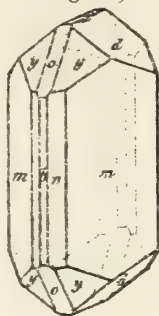


Fig. 210.

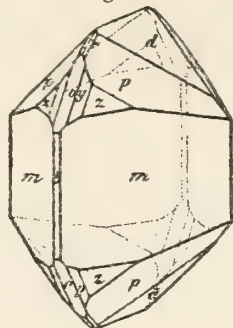


Fig. 211.

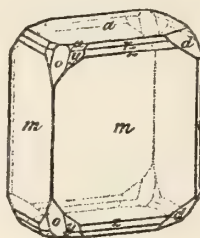


Fig. 212.

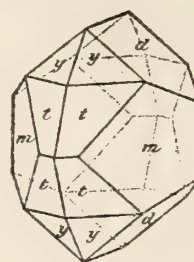


Fig. 213.



Fig. 214.

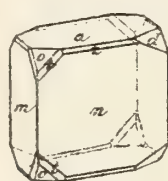


Fig. 215.

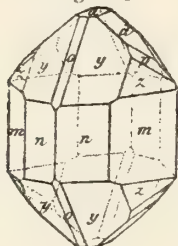


Fig. 216.

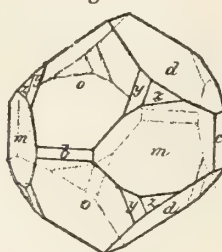


Fig. 217.



Fig. 218.

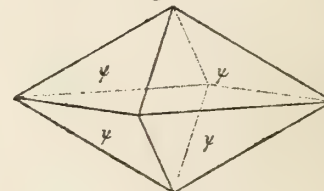


Fig. 219.

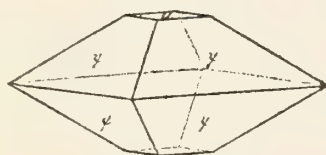


Fig. 220.

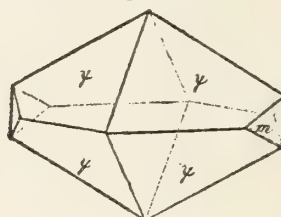


Fig. 221.

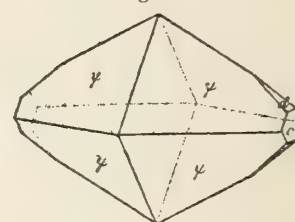


Fig. 222.

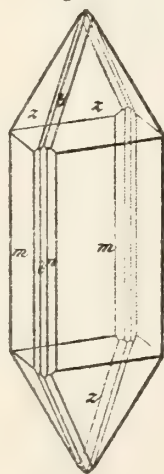


Fig. 223.

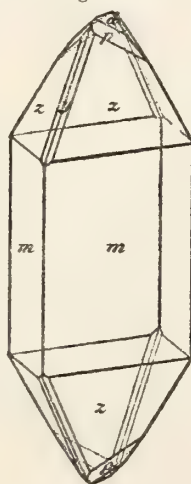


Fig. 224.



Fig. 225.

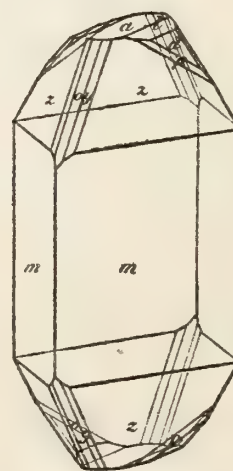
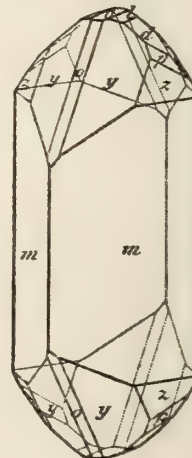


Fig. 226.



Anglesit

Fig. 227.

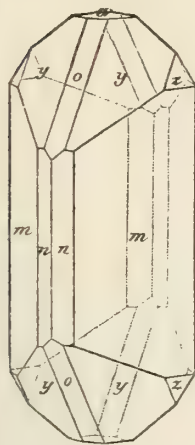


Fig. 228.

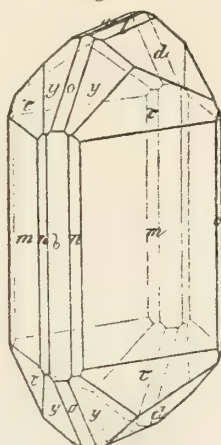


Fig. 229.

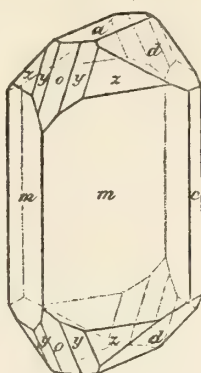


Fig. 230.

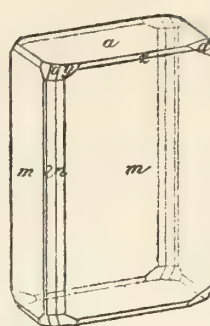


Fig. 231.

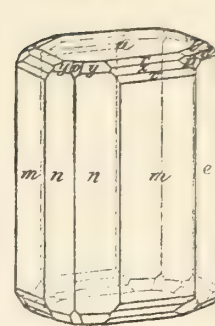


Fig. 232.

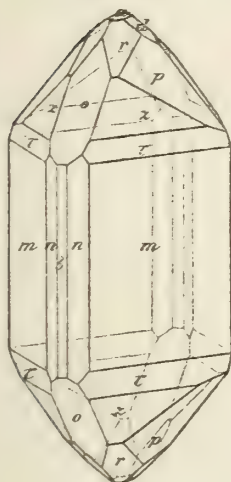


Fig. 233.

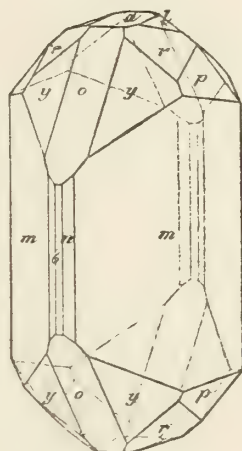


Fig. 234.

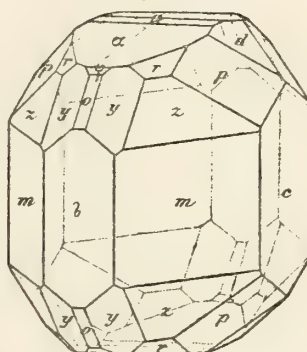


Fig. 235.

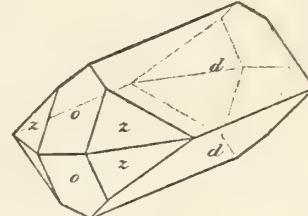


Fig. 236.

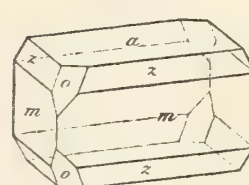


Fig. 237.

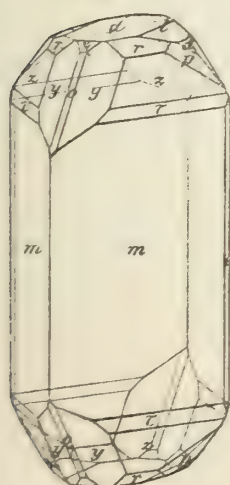


Fig. 238.

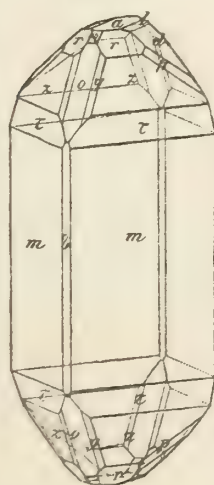


Fig. 239.

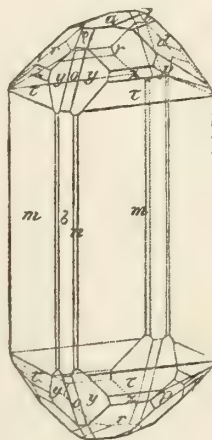


Fig. 240.

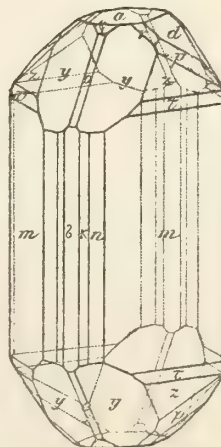
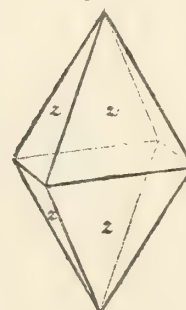


Fig. 241.



Anglesit

Fig. 242.

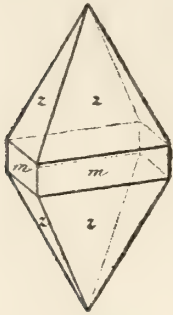


Fig. 243.

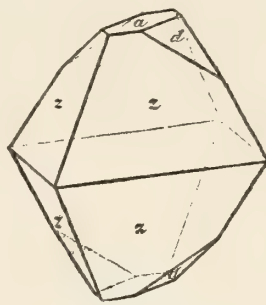


Fig. 244.

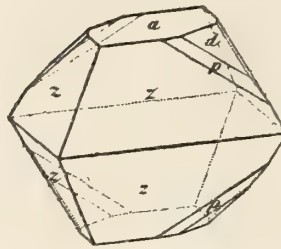


Fig. 245.

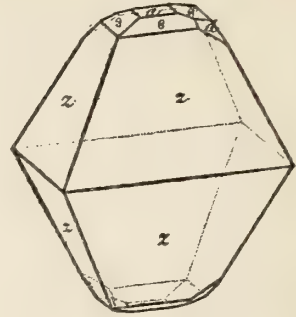


Fig. 246.

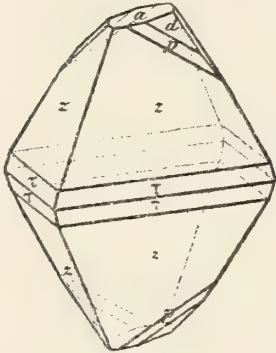


Fig. 247.

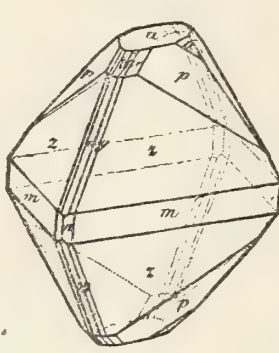


Fig. 248.

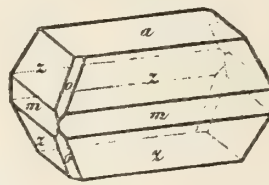


Fig. 249.

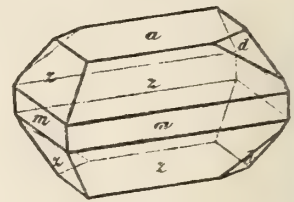


Fig. 250.

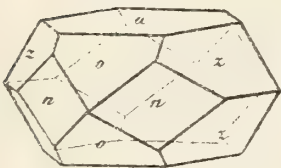


Fig. 251.

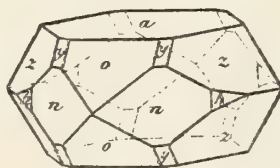


Fig. 252.

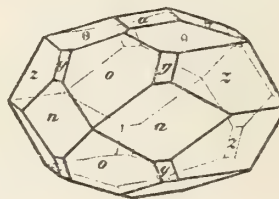


Fig. 253.

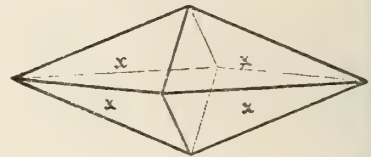


Fig. 254.

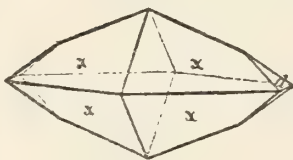


Fig. 255.

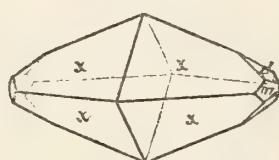


Fig. 256.

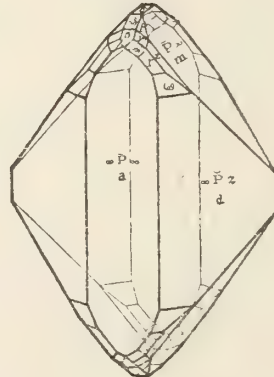


Fig. 257.

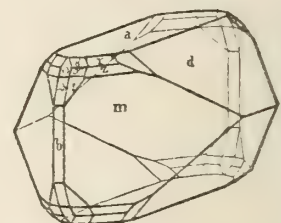


Fig. 258.

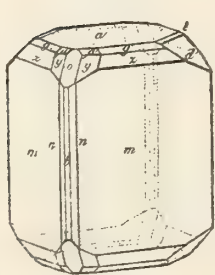


Fig. 259.

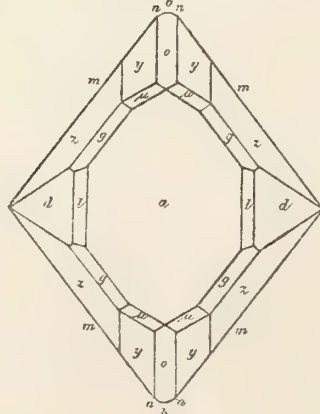


Fig. 260.

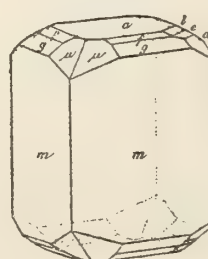
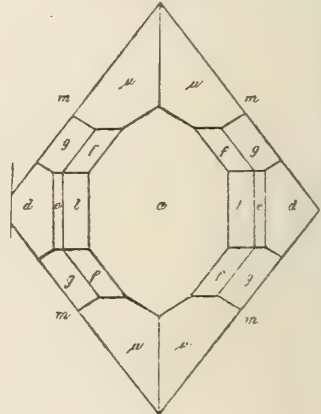


Fig. 261.



Anglesit

Fig. 262.



Fig. 263.

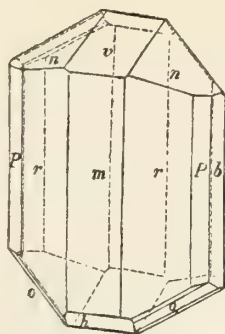


Fig. 264.

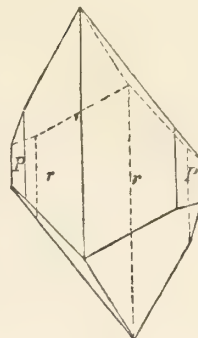


Fig. 265.

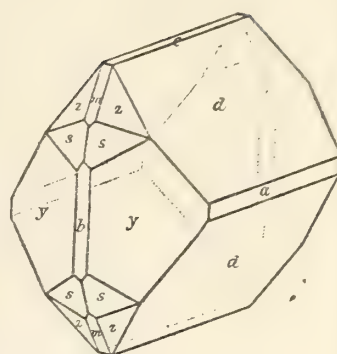


Fig. 266.

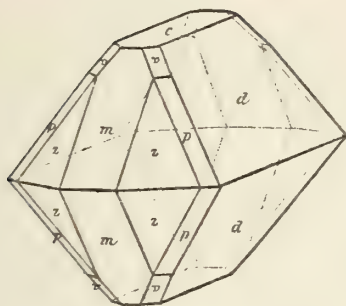


Fig. 267.

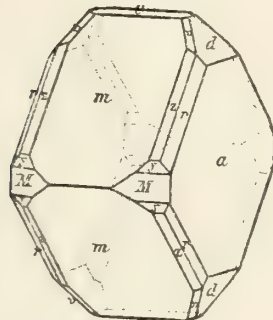


Fig. 268.

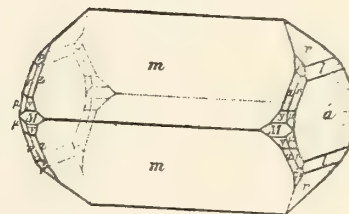


Fig. 269.

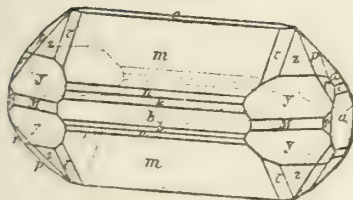


Fig. 270.

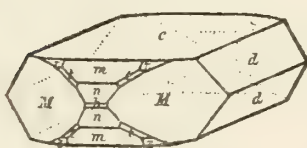


Fig. 271.

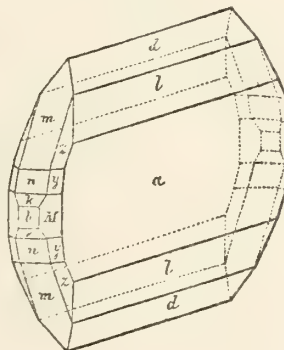


Fig. 272.

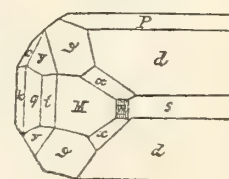


Fig. 273.

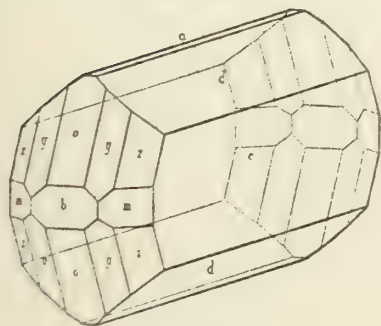


Fig. 274.

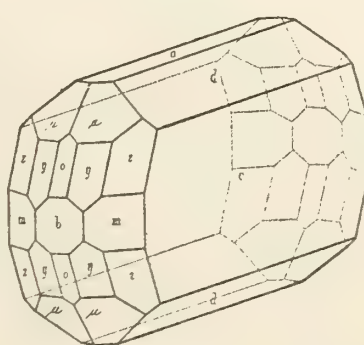
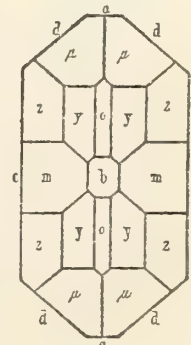


Fig. 275.



Anglesit

Fig. 289.

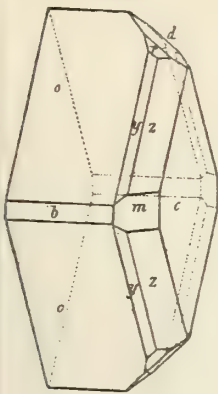


Fig. 290.

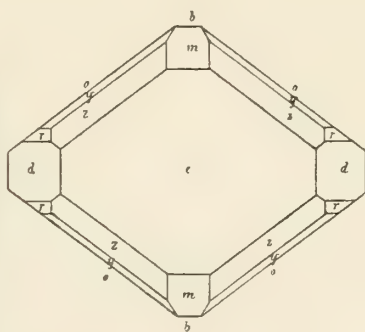


Fig. 291.

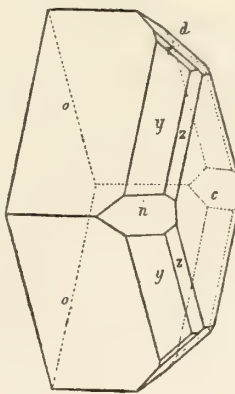


Fig. 292.

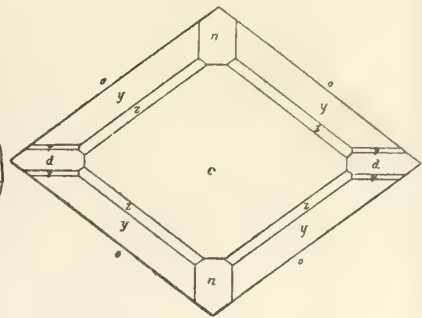


Fig. 293.

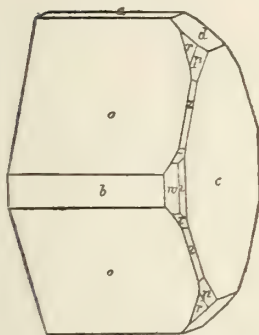


Fig. 294.

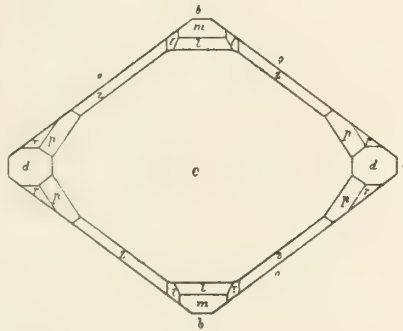


Fig. 295.

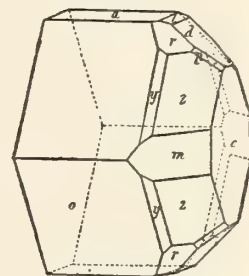


Fig. 296.

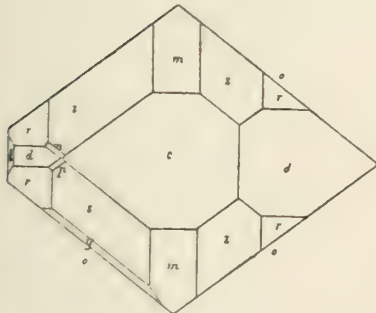


Fig. 297.

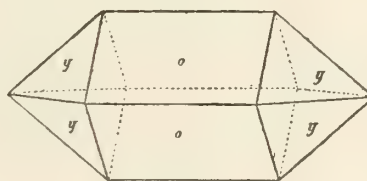


Fig. 298.

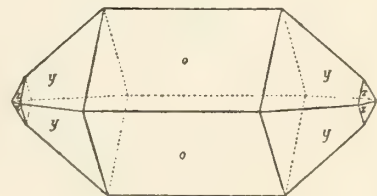


Fig. 299.

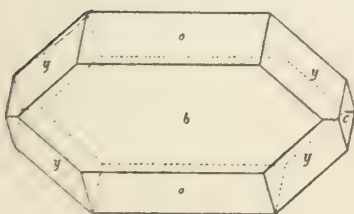


Fig. 300.

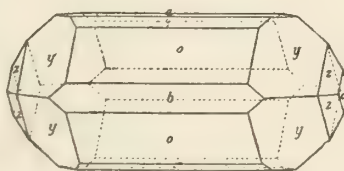
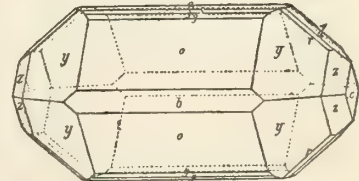


Fig. 301.



Anglesit

Fig. 302.

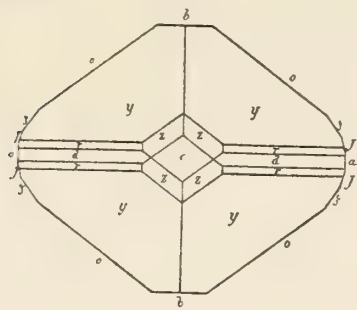


Fig. 303.

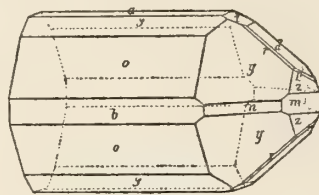


Fig. 304.

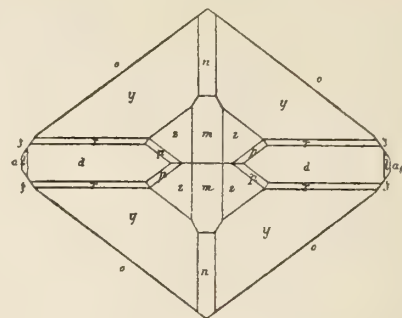


Fig. 305.

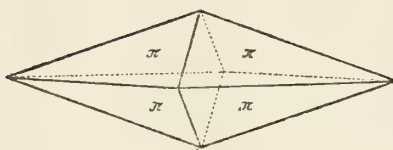


Fig. 306.

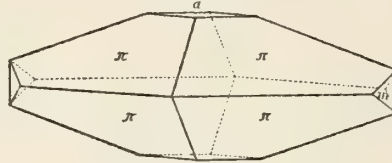


Fig. 307.

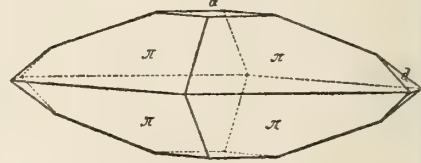


Fig. 308.

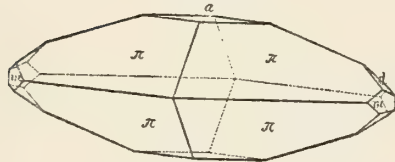


Fig. 309.

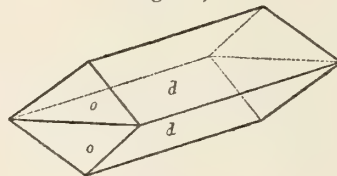


Fig. 310.

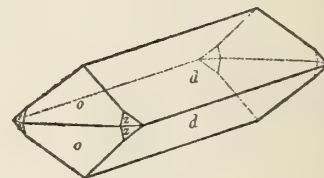


Fig. 311.

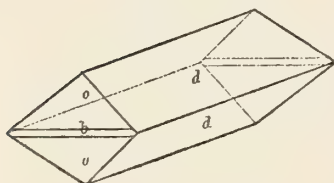


Fig. 312.

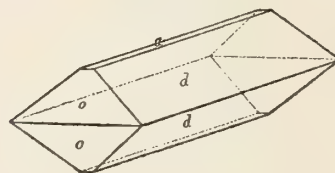


Fig. 313.

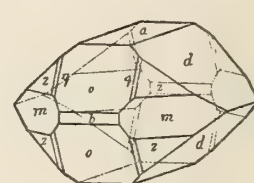


Fig. 314.

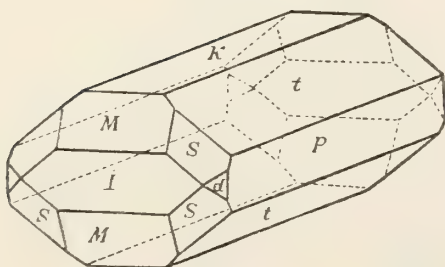


Fig. 315.

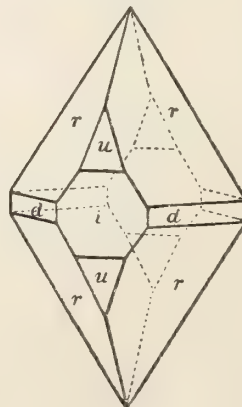
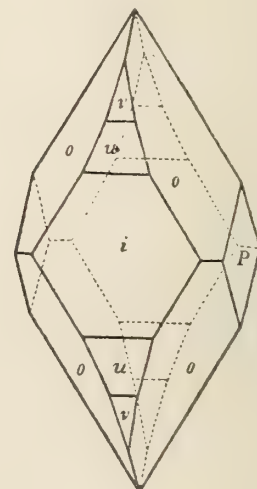


Fig. 316.



Anglesit

Fig. 317.

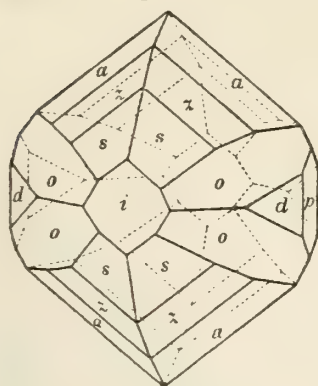


Fig. 318.

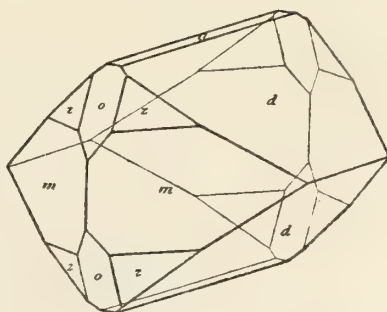


Fig. 319.

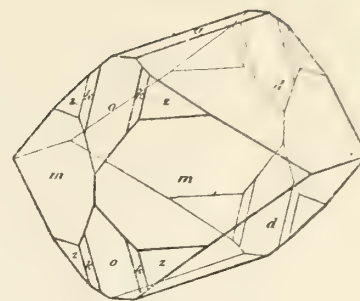


Fig. 320.

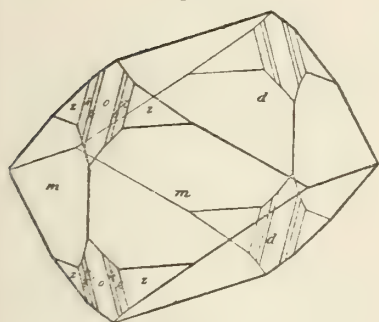


Fig. 321.

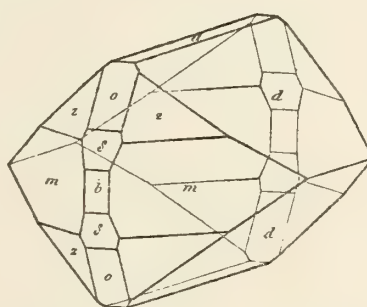


Fig. 322.

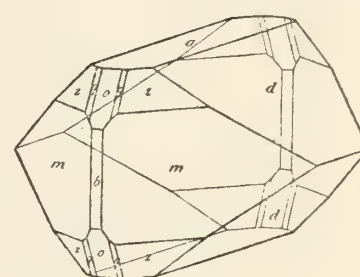


Fig. 323.

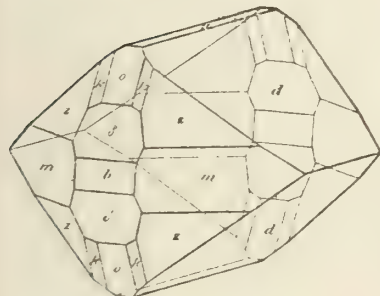


Fig. 324.

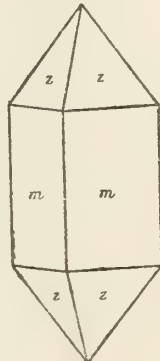


Fig. 325.

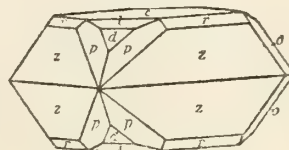


Fig. 326.

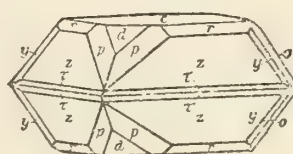


Fig. 327.

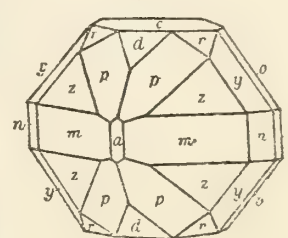


Fig. 328.

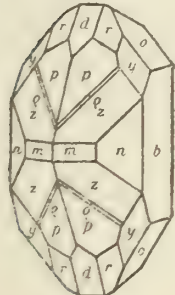


Fig. 330.

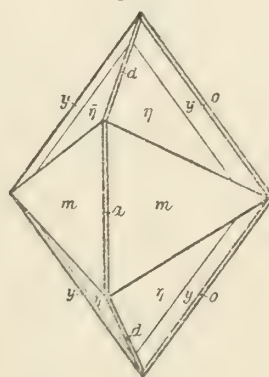


Fig. 331.

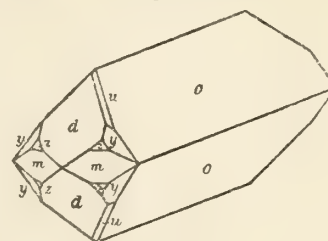


Fig. 329.

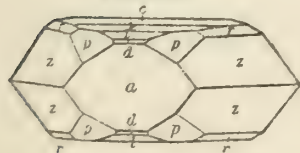
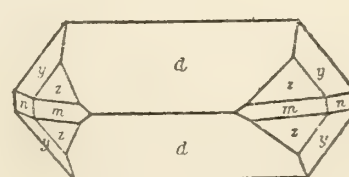


Fig. 332.



Anglesit

Fig. 333.

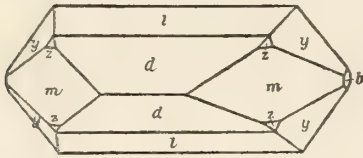


Fig. 334.

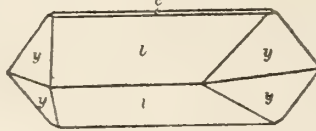


Fig. 335.

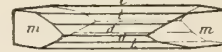


Fig. 336.

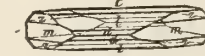


Fig. 337.



Fig. 338.

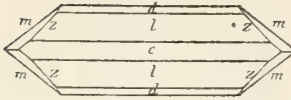


Fig. 339.

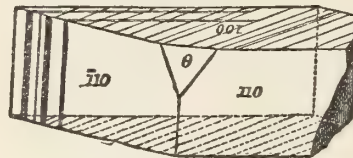


Fig. 340.

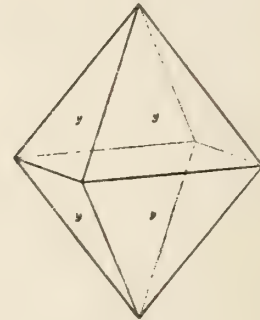


Fig. 341.

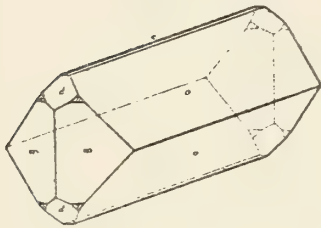


Fig. 342.

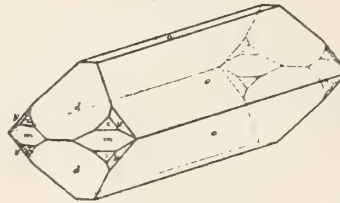


Fig. 343.

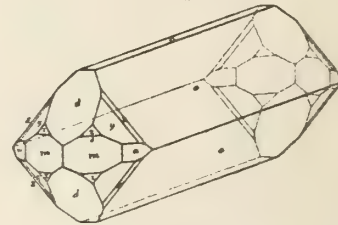


Fig. 344.

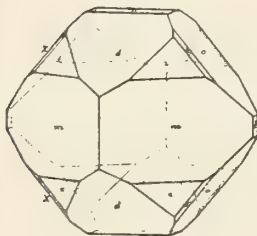


Fig. 345.

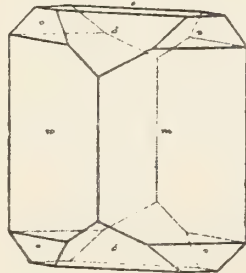


Fig. 346.

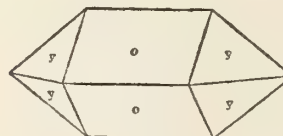


Fig. 347.

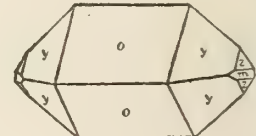


Fig. 350.

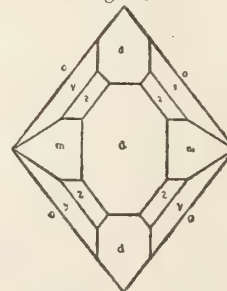


Fig. 351.

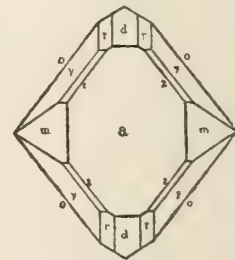


Fig. 348.

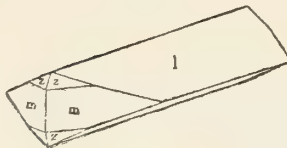


Fig. 349.

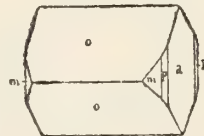


Fig. 352.

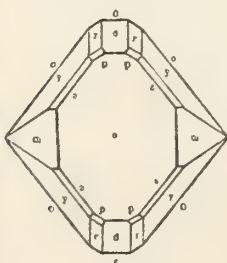


Fig. 353.

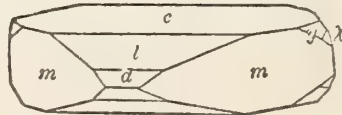


Fig. 354.

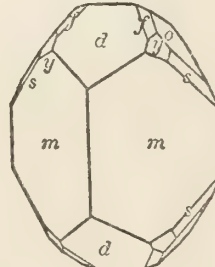
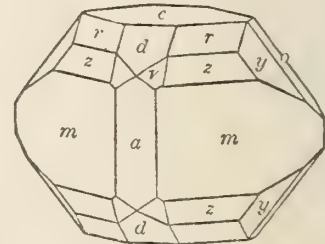


Fig. 355.



Anglesit

Fig. 356.

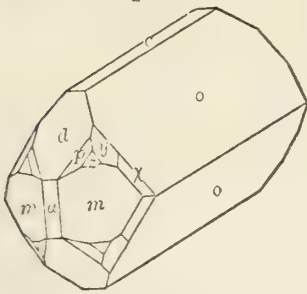


Fig. 357.

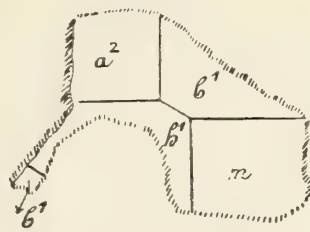


Fig. 358.

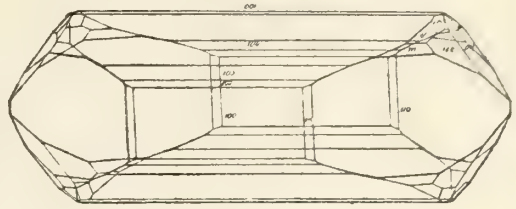


Fig. 359.

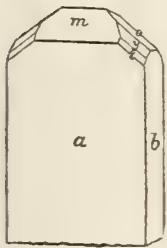


Fig. 360.

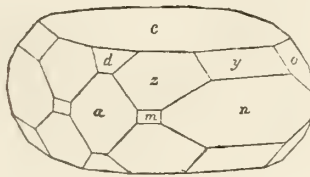


Fig. 361.

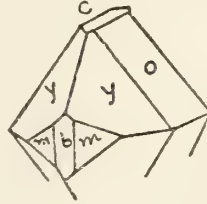


Fig. 362.

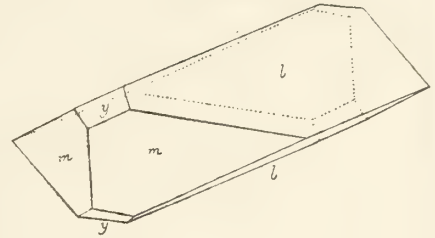


Fig. 363.

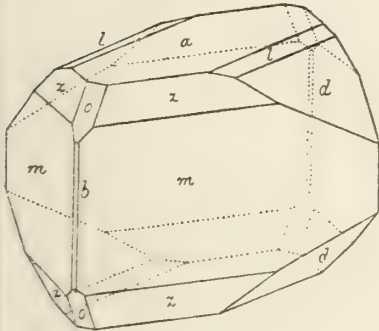


Fig. 364.

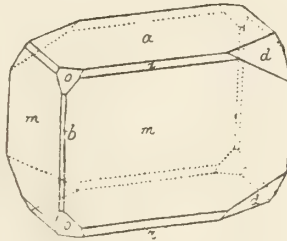


Fig. 365.

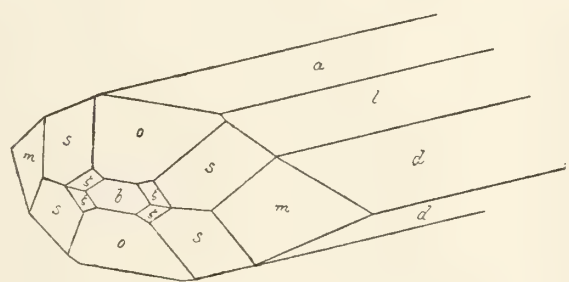


Fig. 367.

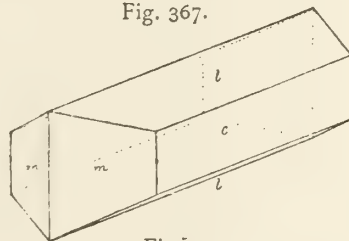


Fig. 366.

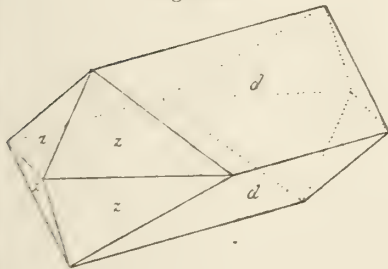


Fig. 368.

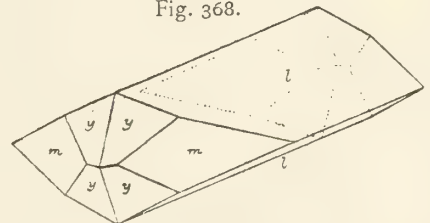


Fig. 369.

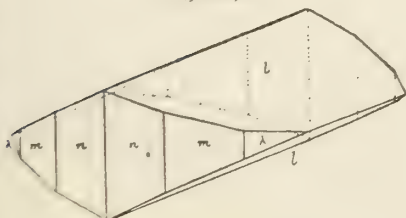


Fig. 370.

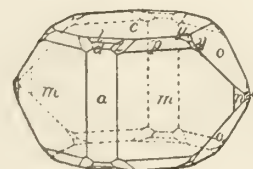
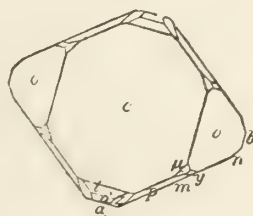
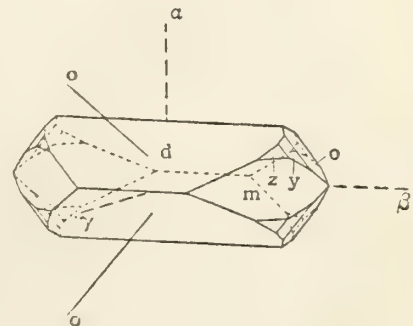


Fig. 371.



Anglesit

Fig. 372.

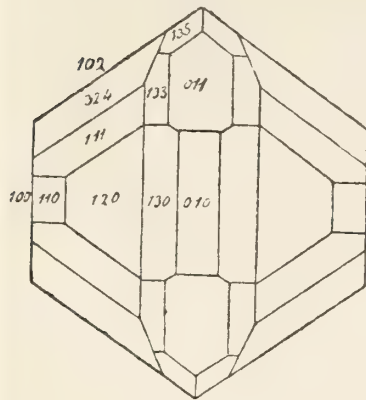


Fig. 373.

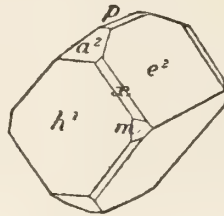


Fig. 374.

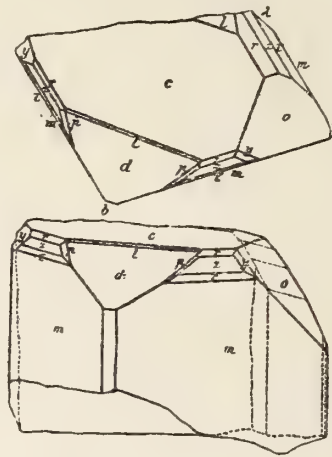


Fig. 375.

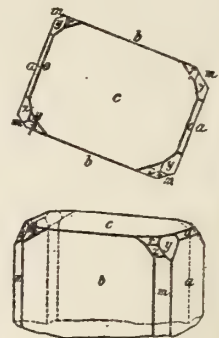


Fig. 376.

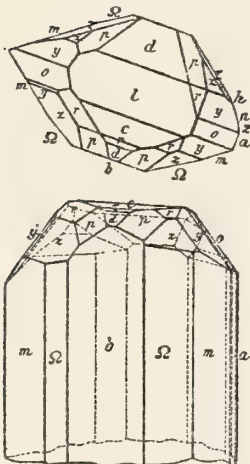


Fig. 377.

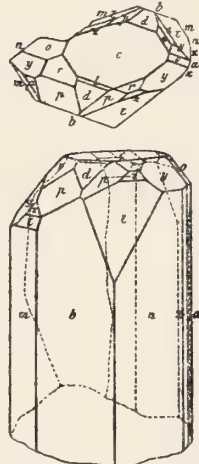


Fig. 378.

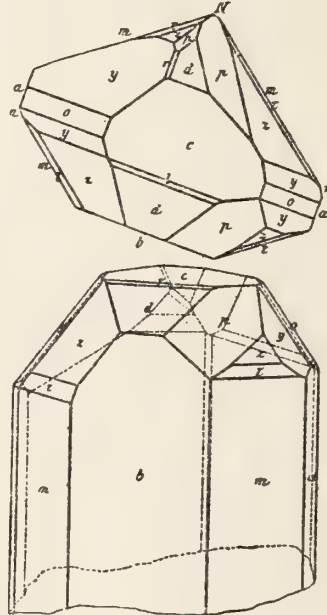


Fig. 379.

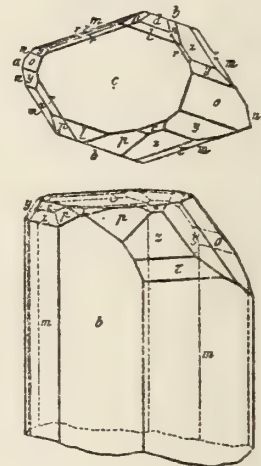


Fig. 380.

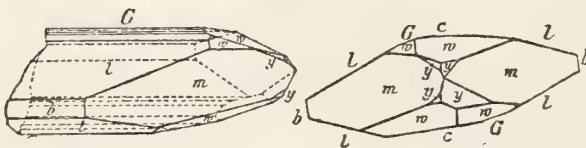


Fig. 381.

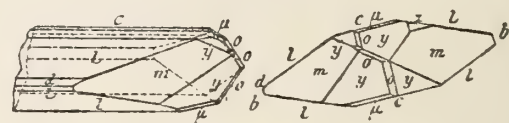


Fig. 382.

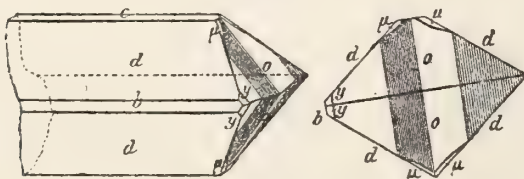
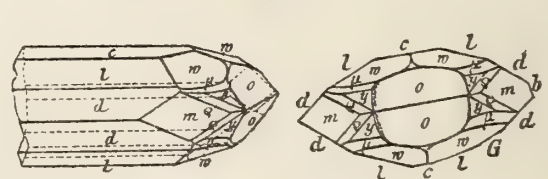


Fig. 383.



Anglesit

Fig. 384.

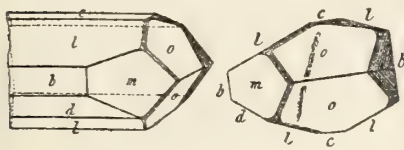


Fig. 385.

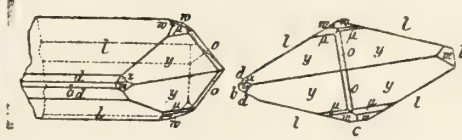


Fig. 388.

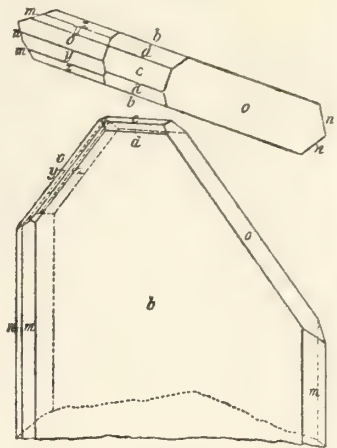


Fig. 386.

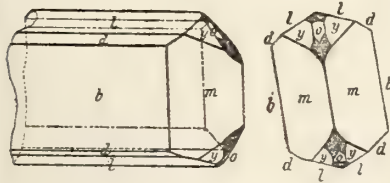


Fig. 387.

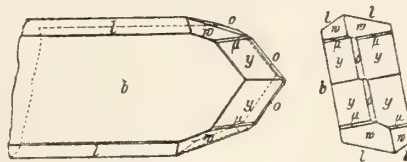


Fig. 389.

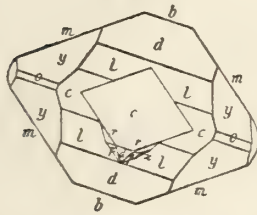


Fig. 390.

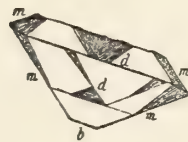


Fig. 391.

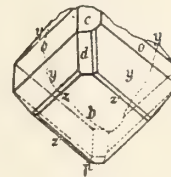


Fig. 392.

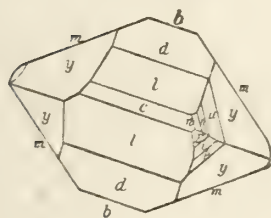
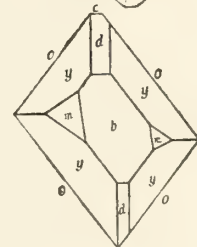
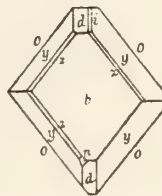
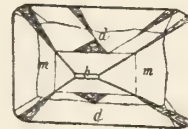
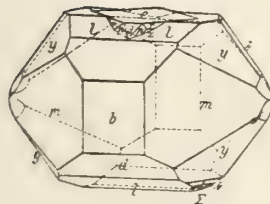
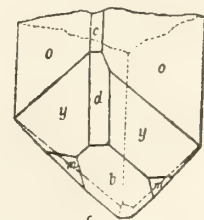


Fig. 394.



Fig. 395.

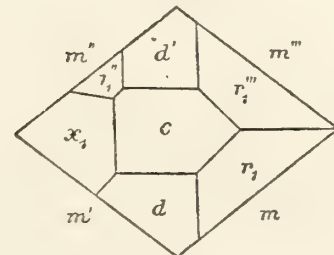


Fig. 393.

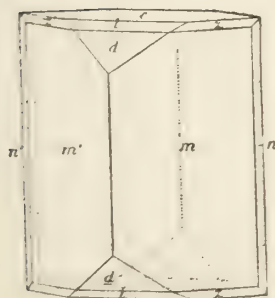
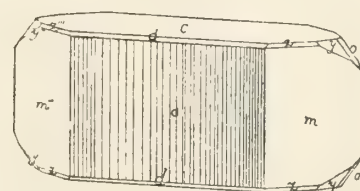


Fig. 396.



Anglesit

Fig. 397.

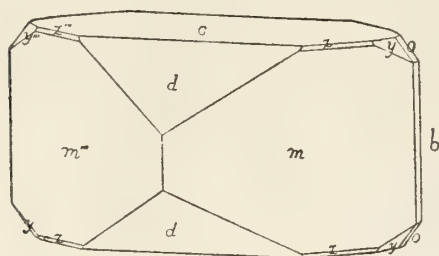


Fig. 398.

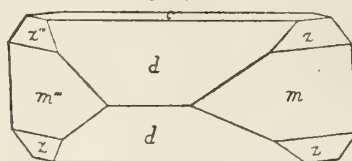


Fig. 399.

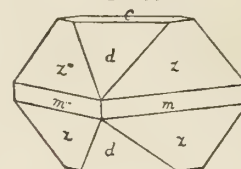


Fig. 400.

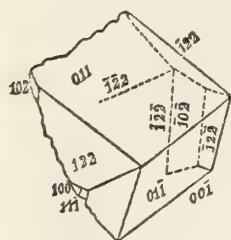


Fig. 401.

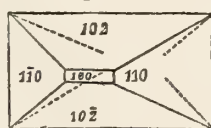


Fig. 402.

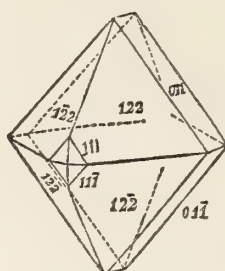


Fig. 403.

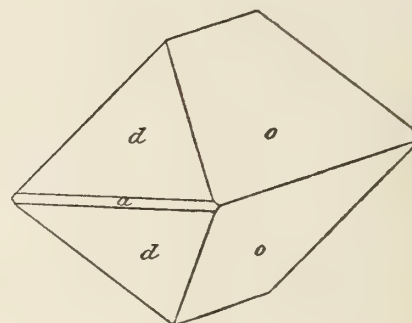


Fig. 404.

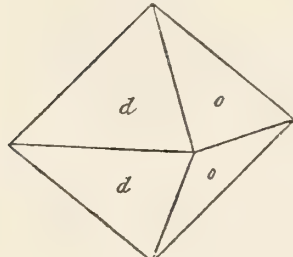


Fig. 405.

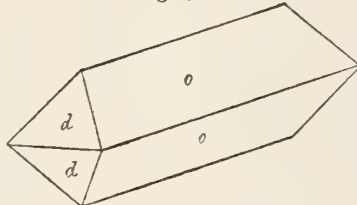


Fig. 406.

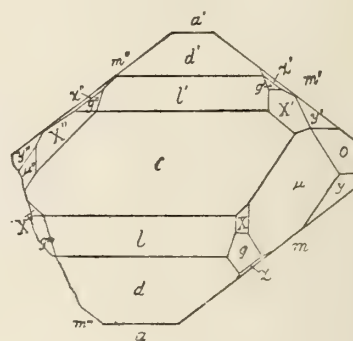


Fig. 407.

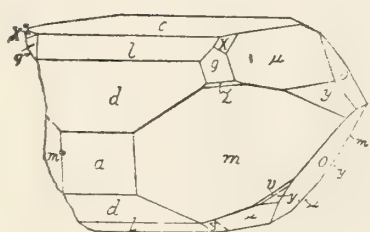


Fig. 408.

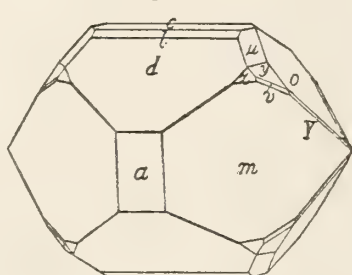


Fig. 409.

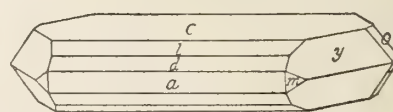


Fig. 410.

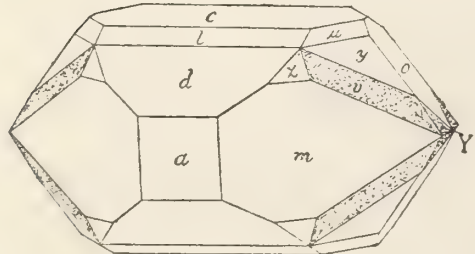


Fig. 411.

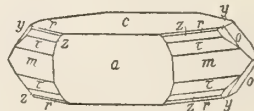


Fig. 412.

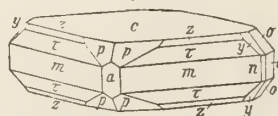
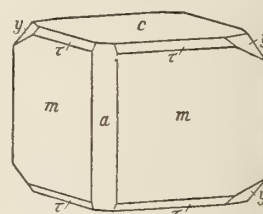


Fig. 413.



Anglesit

Fig. 414.

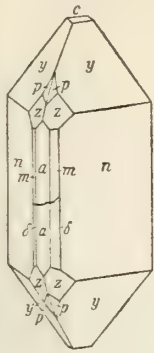


Fig. 415.

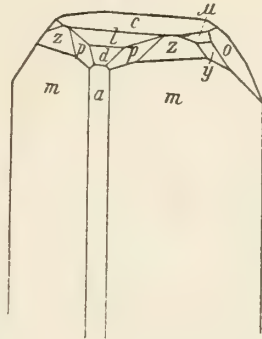


Fig. 416.

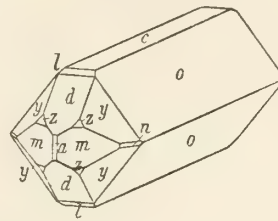


Fig. 417.

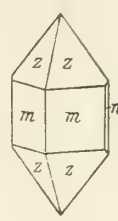


Fig. 418.

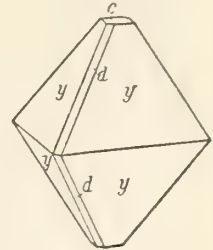


Fig. 419.

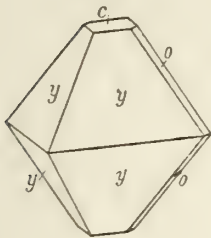


Fig. 420.

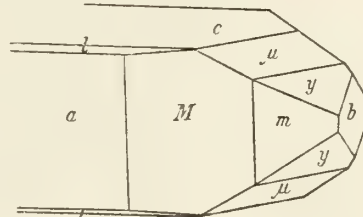


Fig. 421.

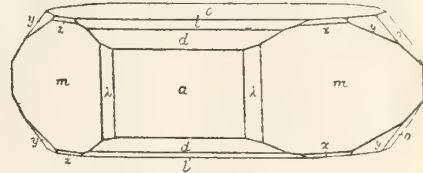


Fig. 422.

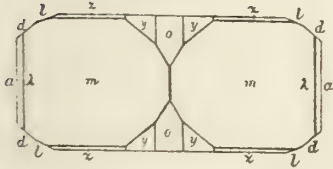


Fig. 423.

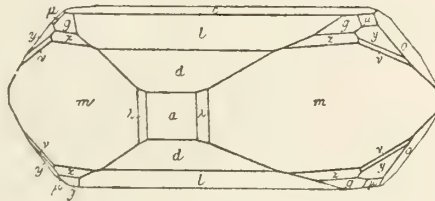


Fig. 424.

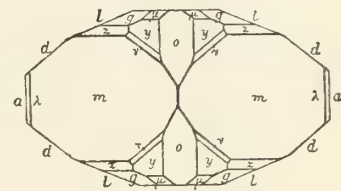


Fig. 425.

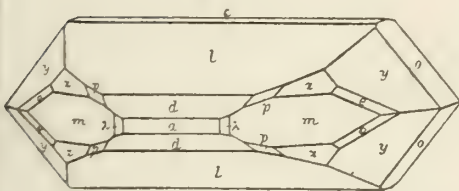


Fig. 426.

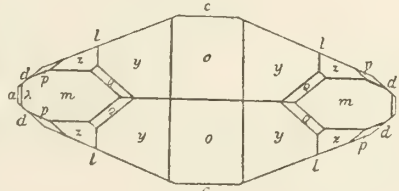


Fig. 427.

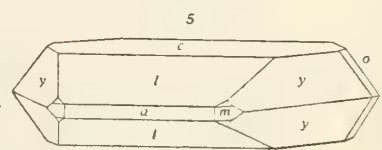


Fig. 428.

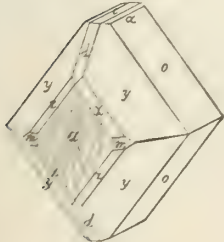


Fig. 429.

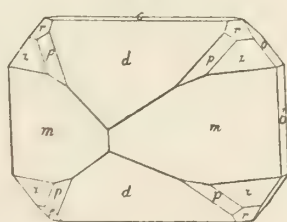


Fig. 430.

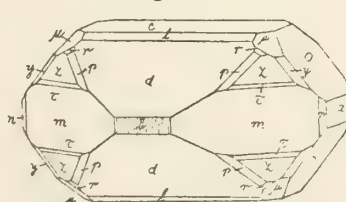
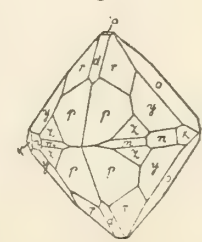


Fig. 431.



Anglesit

Fig. 432.

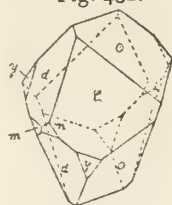


Fig. 433.

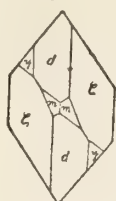


Fig. 434.

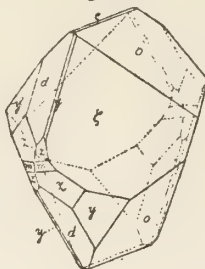


Fig. 435.



Fig. 436.



Fig. 437.

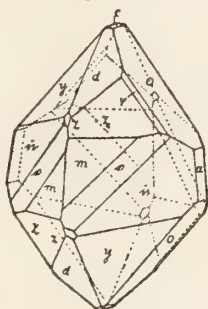


Fig. 438.

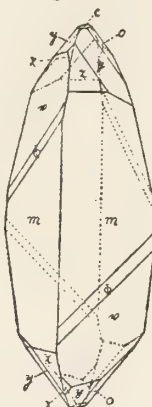


Fig. 439.

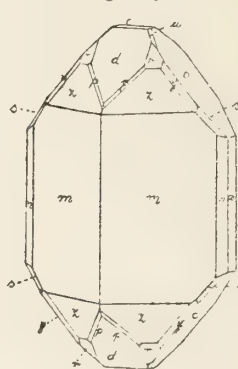


Fig. 440.

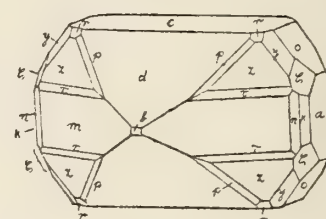


Fig. 441.

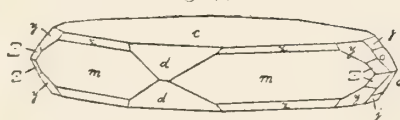


Fig. 442.

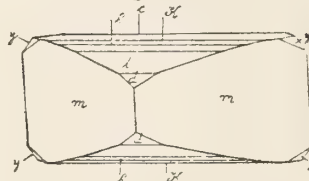


Fig. 443.

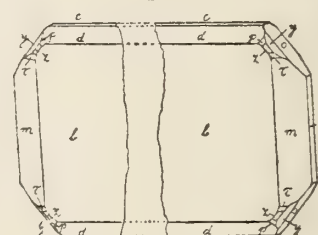


Fig. 444.

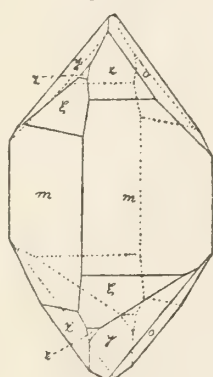


Fig. 445.

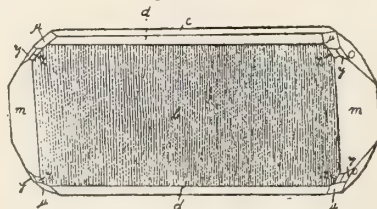


Fig. 447.

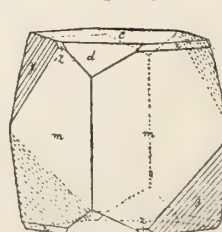


Fig. 448.

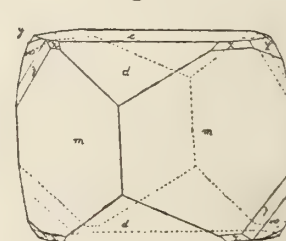
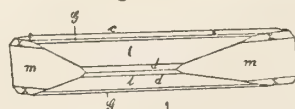
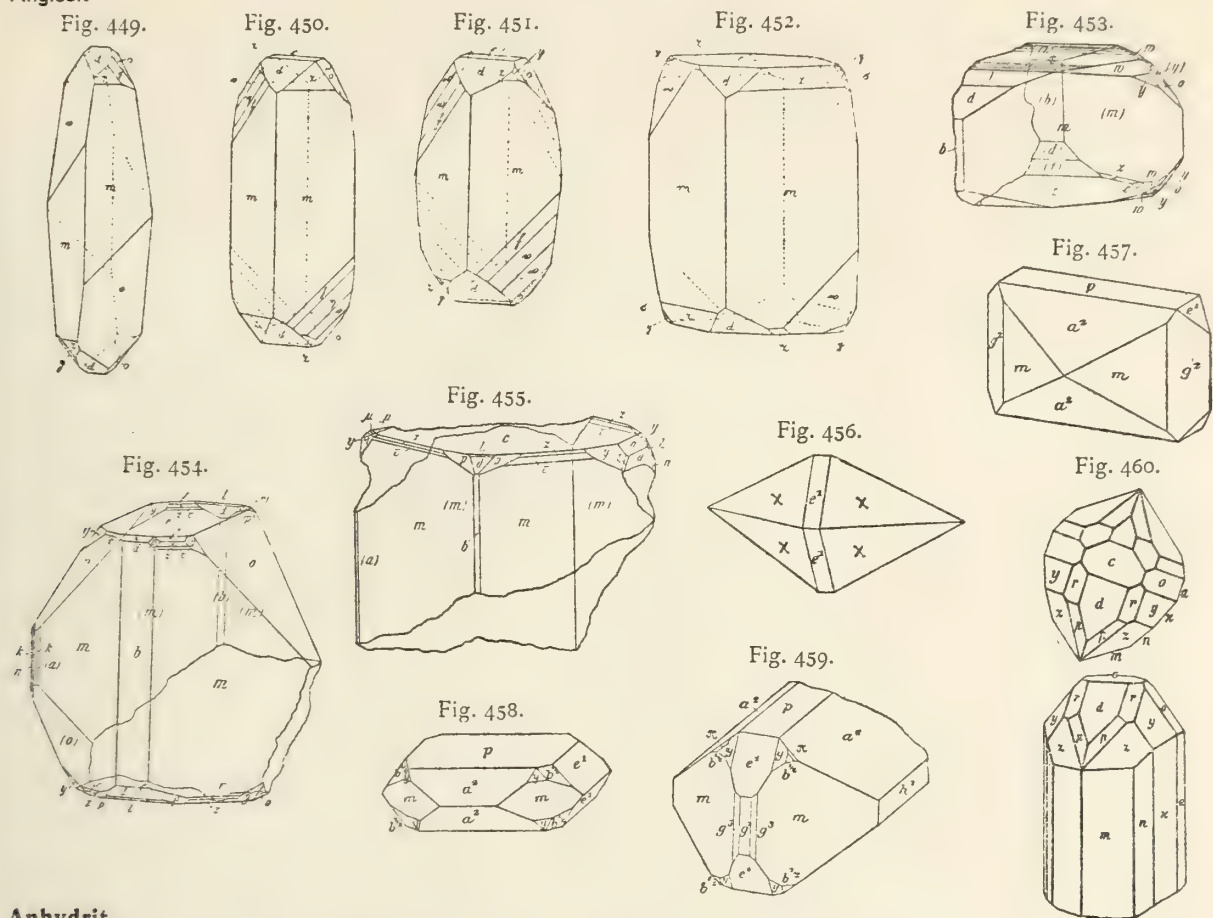


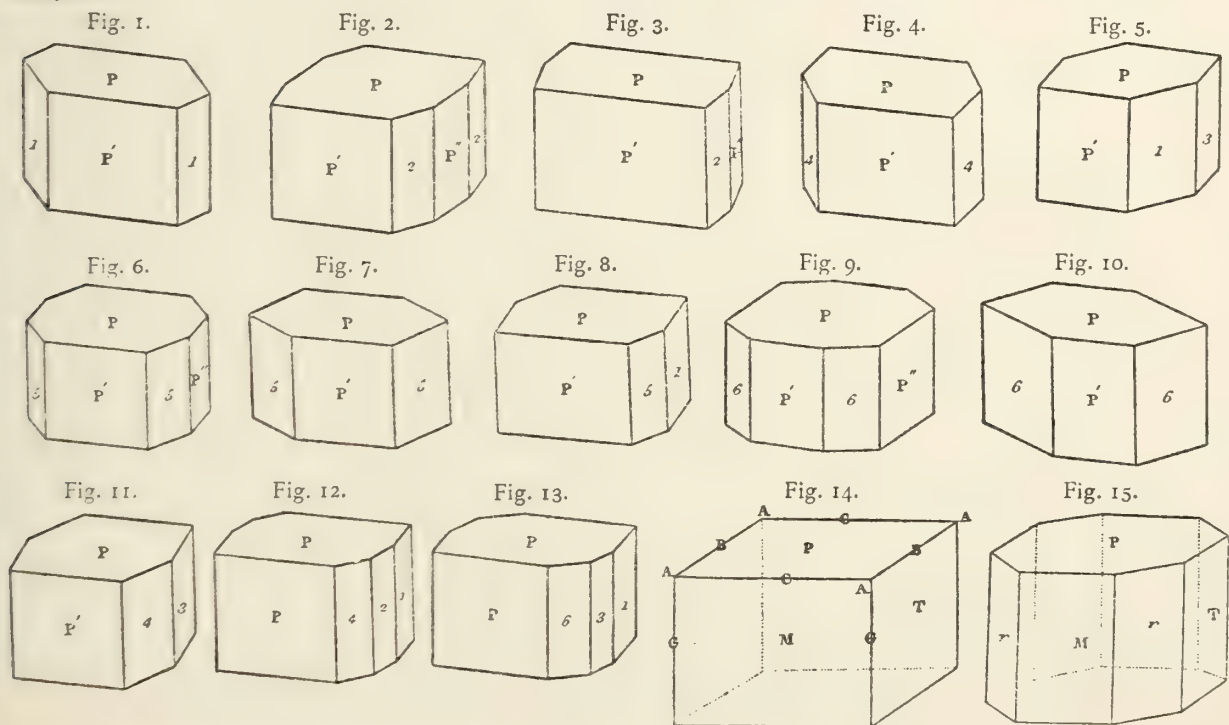
Fig. 446.



Anglesit



Anhydrit



Anhydrit

Fig. 36.

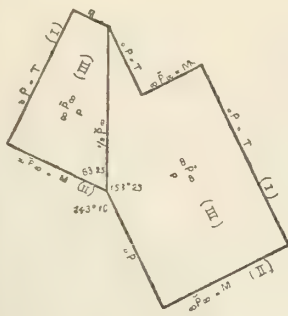


Fig. 37.

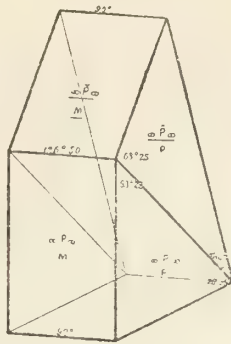


Fig. 38.

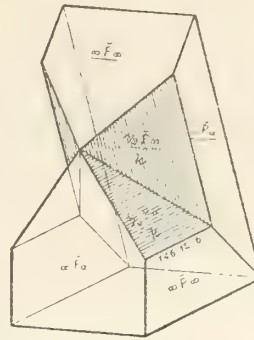


Fig. 39.

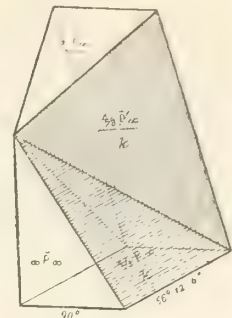


Fig. 40.



Fig. 41.

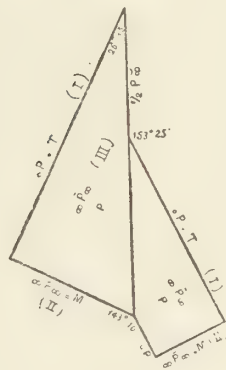


Fig. 42.

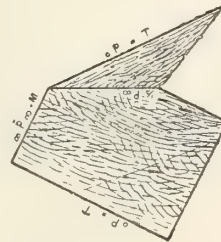


Fig. 43.

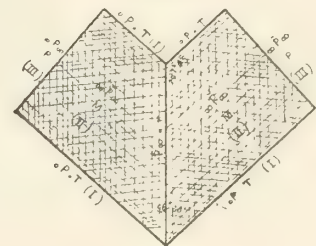


Fig. 45.

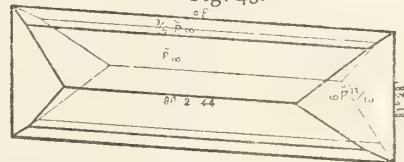
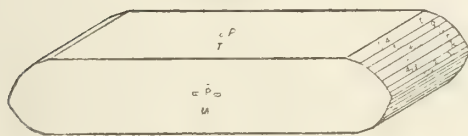


Fig. 44.



$\frac{1}{2}P\alpha = L$
 $\frac{1}{2}P\alpha = V$
 $\frac{1}{2}P\alpha = L$
 $P\alpha = P$
 $\frac{1}{2}P\alpha = h$
 $\frac{1}{2}P\alpha = i$
 $\frac{1}{2}P\alpha = h$
 $\frac{1}{2}P\alpha = P$

Fig. 48.

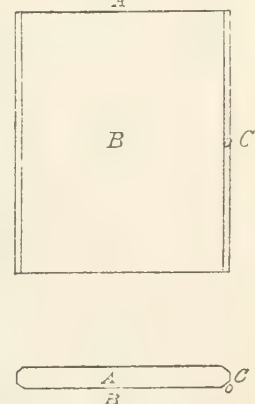


Fig. 46.

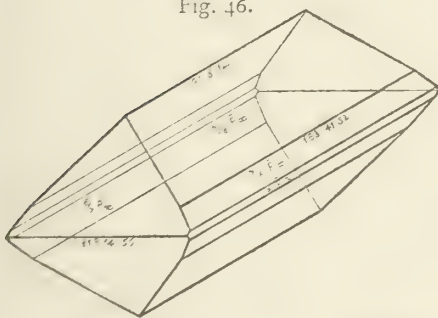


Fig. 47.

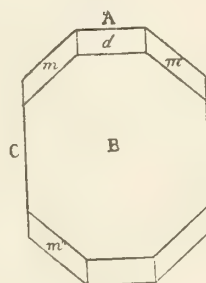


Fig. 50.

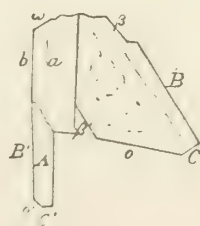


Fig. 49.

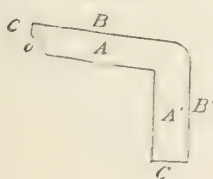


Fig. 51.

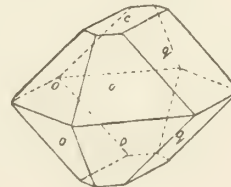
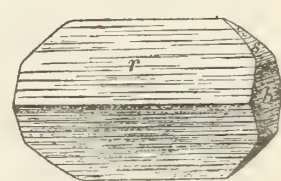


Fig. 52.



Anhydrit

Fig. 53.



Fig. 54.

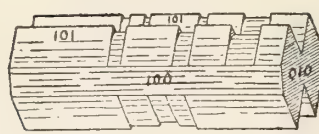


Fig. 55.

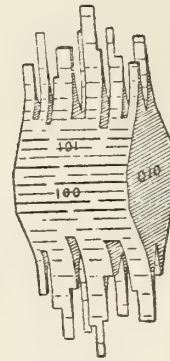


Fig. 56.

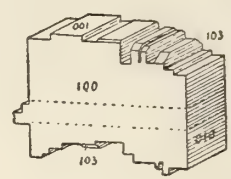


Fig. 59.

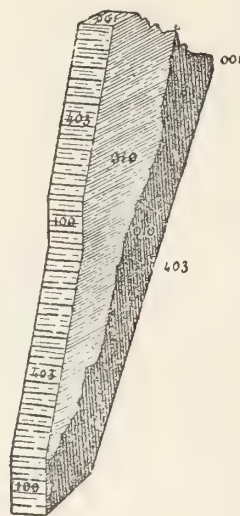


Fig. 60.

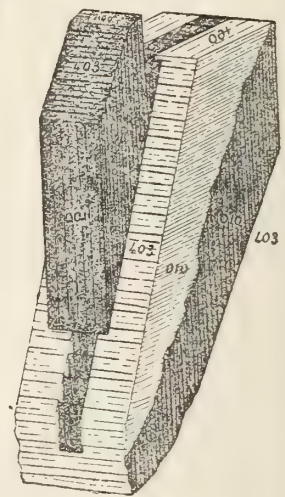


Fig. 57.

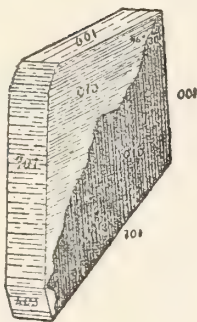


Fig. 58.

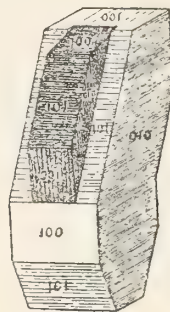


Fig. 62.

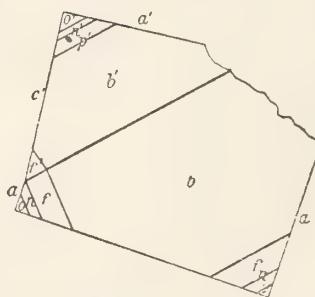


Fig. 61.

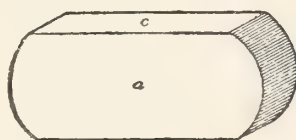


Fig. 63.

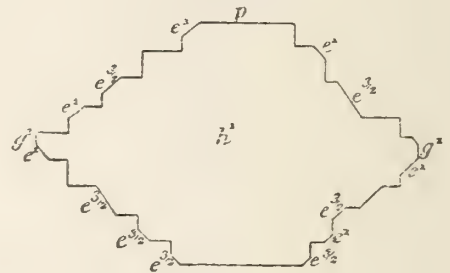


Fig. 64.

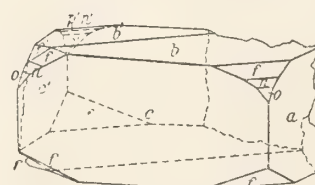
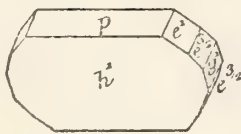


Fig. 66.

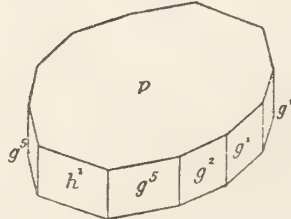


Fig. 67.

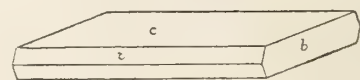


Fig. 68.

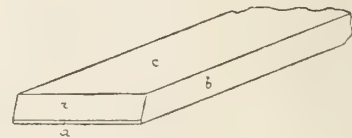
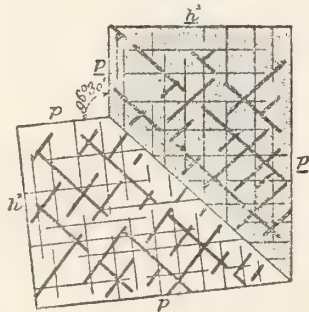


Fig. 65.



Anhydrit

Fig. 69.

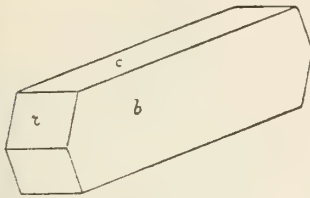
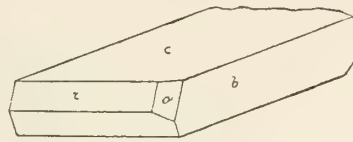
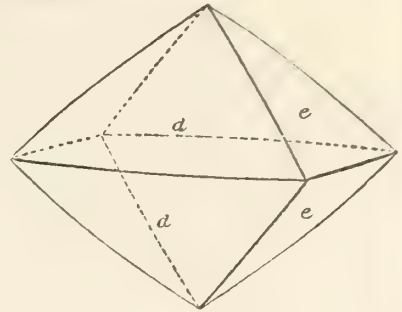


Fig. 70.



Ankyllit

Fig. 1.



Antimon

Fig. 1.

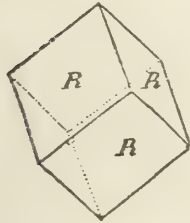


Fig. 2.

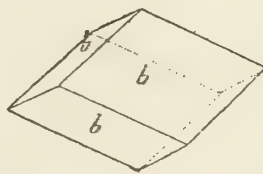


Fig. 3.

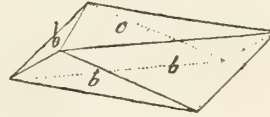


Fig. 4.

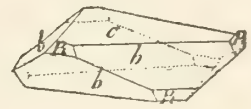


Fig. 6.

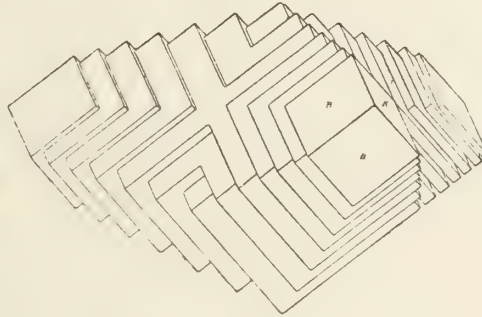


Fig. 5.

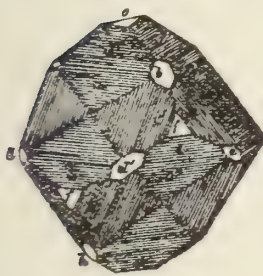


Fig. 7.

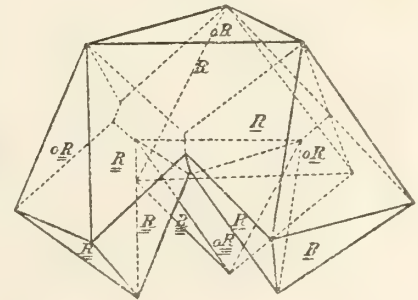


Fig. 8.

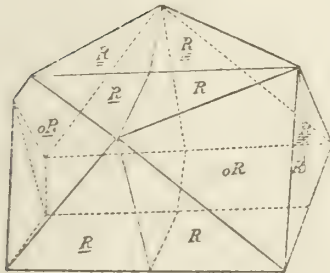


Fig. 9.

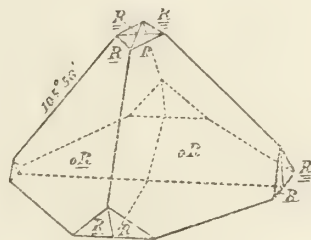


Fig. 10.

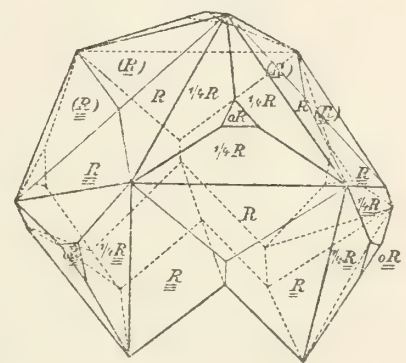


Fig. 11.

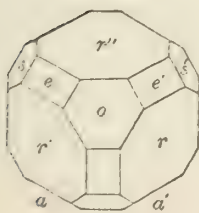


Fig. 12.

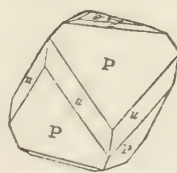


Fig. 13.

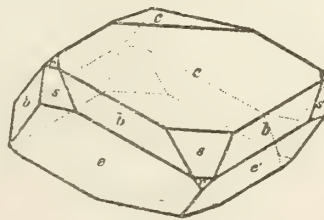
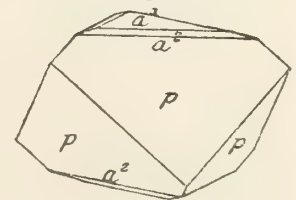


Fig. 14.



Antimon

Fig. 15.

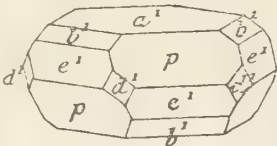


Fig. 16.

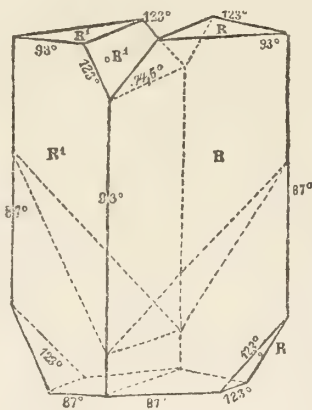


Fig. 17.

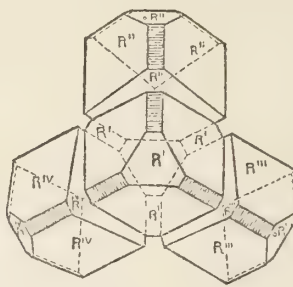


Fig. 18.

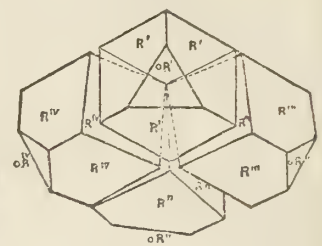


Fig. 21.

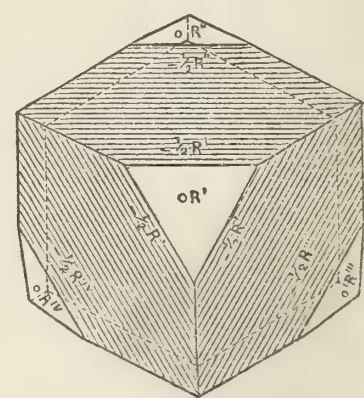


Fig. 20.

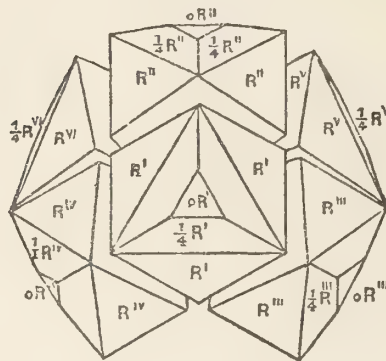


Fig. 19.

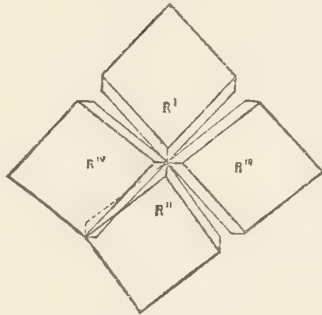


Fig. 22.

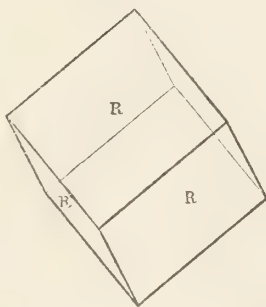


Fig. 23.

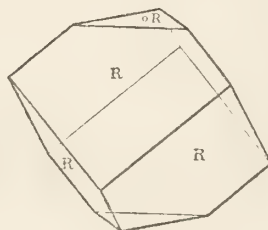


Fig. 24.

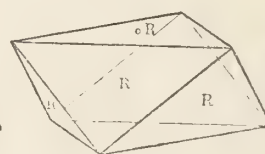


Fig. 25.

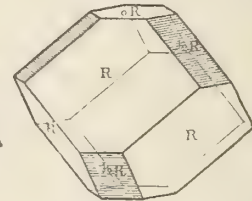


Fig. 28.

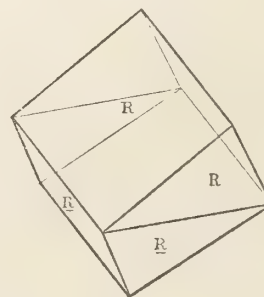


Fig. 29.

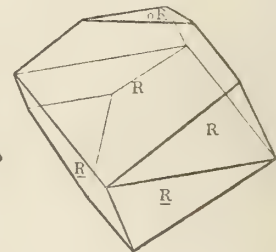


Fig. 26.

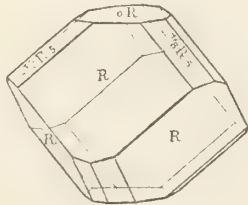
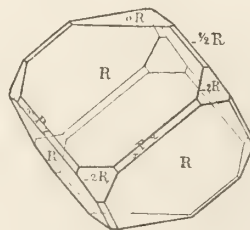


Fig. 27.



Antimon

Fig. 30.

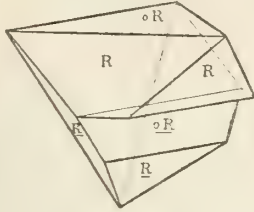


Fig. 31.

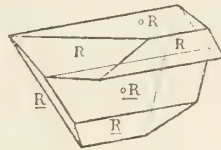


Fig. 32.

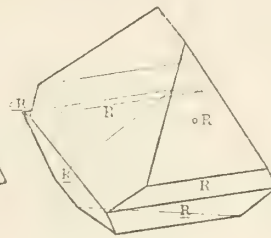


Fig. 33.

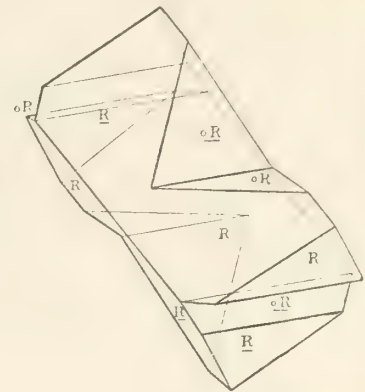


Fig. 34.

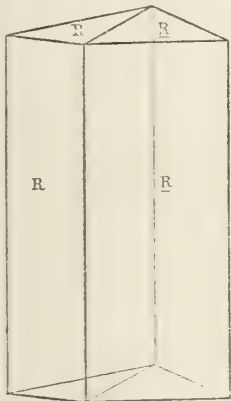


Fig. 35.

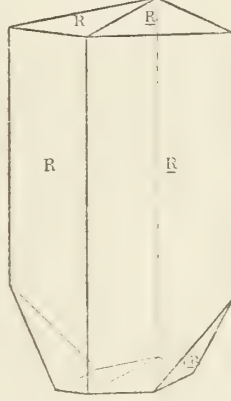


Fig. 36.

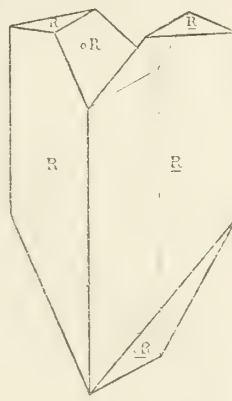


Fig. 37.

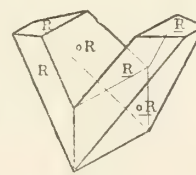


Fig. 38.

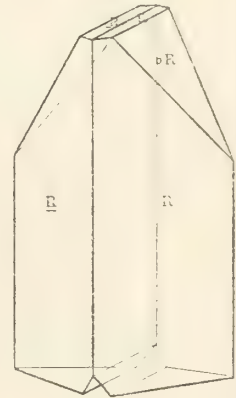


Fig. 39.

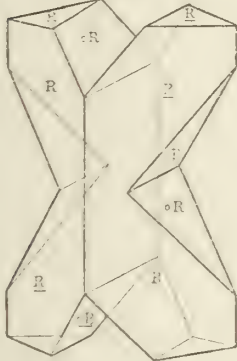


Fig. 40.

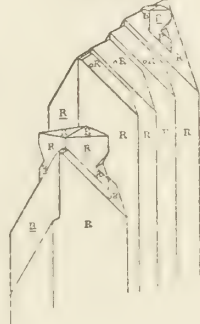


Fig. 41.

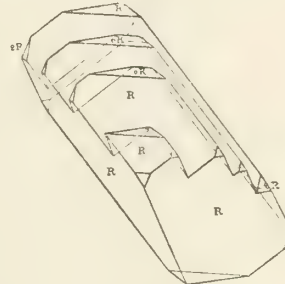


Fig. 42.

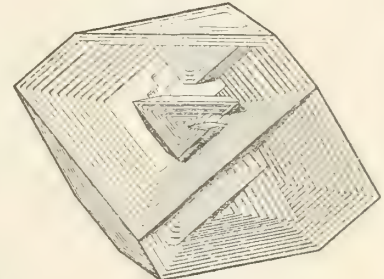


Fig. 45.

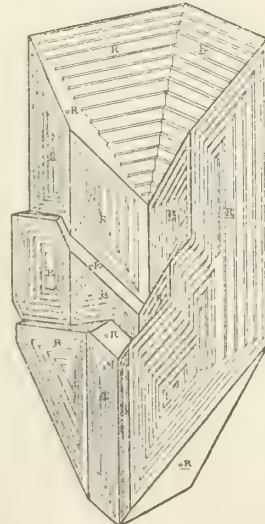


Fig. 44.

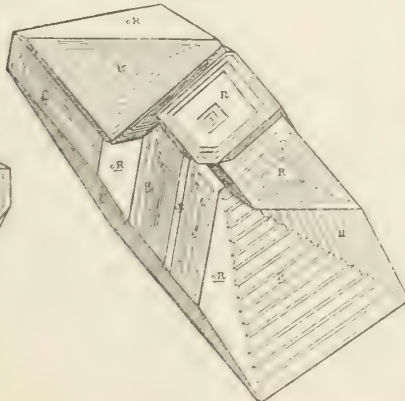


Fig. 43.

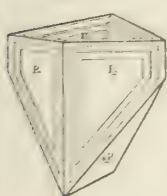


Fig. 46.

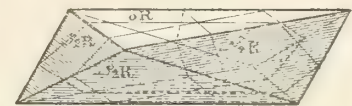


Fig. 47.



Fig. 48.



Antimonblende

Fig. 1.

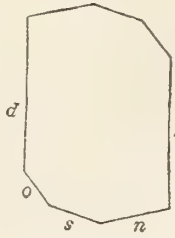


Fig. 2.

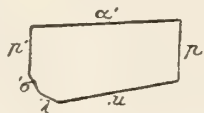


Fig. 3.

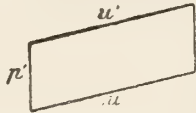


Fig. 4.

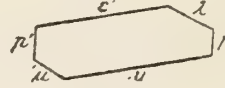


Fig. 5.

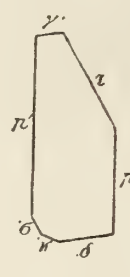


Fig. 6.

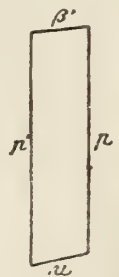


Fig. 7.

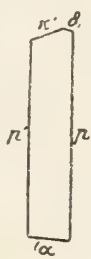


Fig. 8.

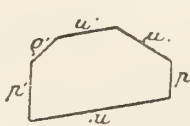


Fig. 9.

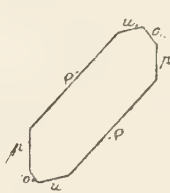


Fig. 10.

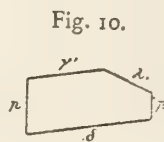


Fig. 11.



Fig. 12.

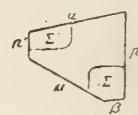
**Antimonglanz**

Fig. 13.

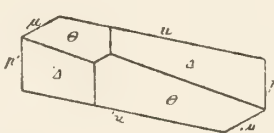


Fig. 14.

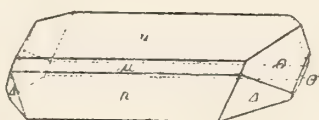


Fig. 1.

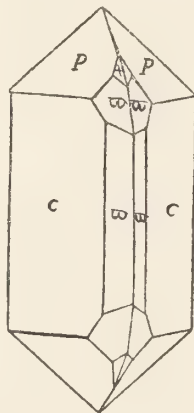


Fig. 2.

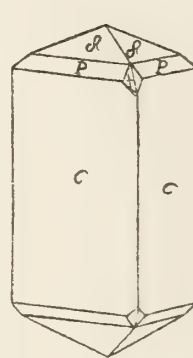


Fig. 3.

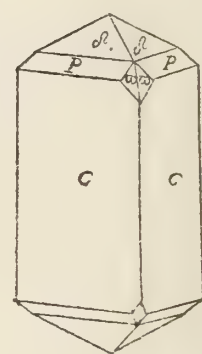


Fig. 4.

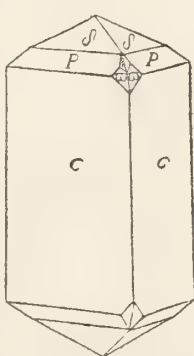


Fig. 5.



Fig. 6.

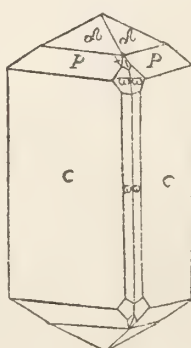


Fig. 7.

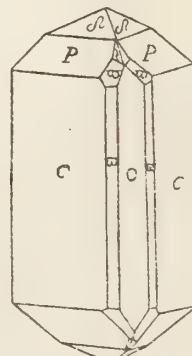
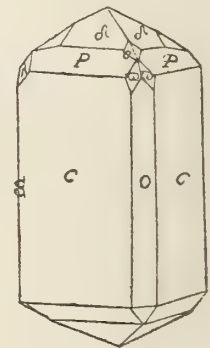


Fig. 8.



Antimonglanz

Fig. 9.

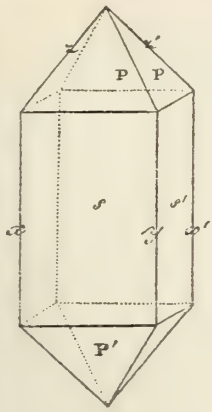


Fig. 10.

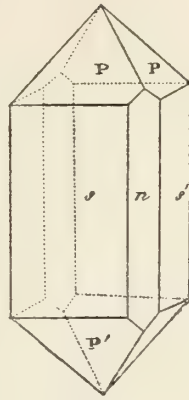


Fig. 11.

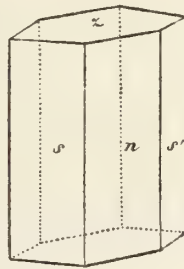


Fig. 12.

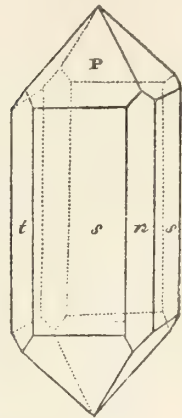


Fig. 13.

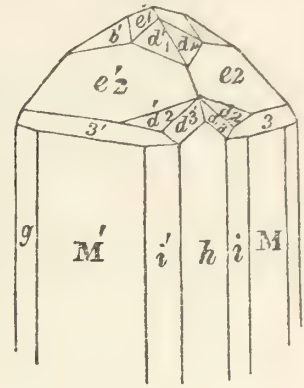


Fig. 14.

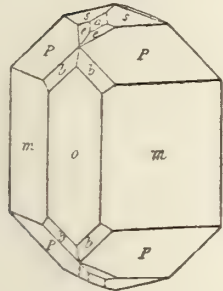


Fig. 15.

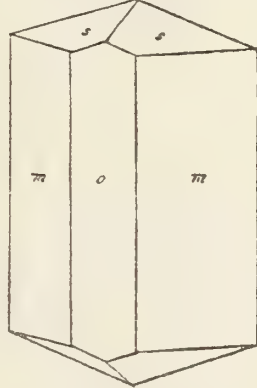


Fig. 16.

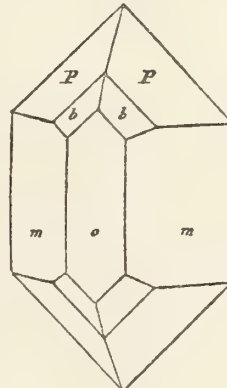


Fig. 17.

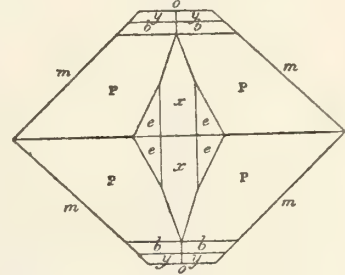


Fig. 18.

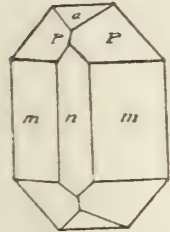


Fig. 19.

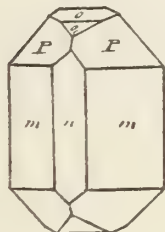


Fig. 20.

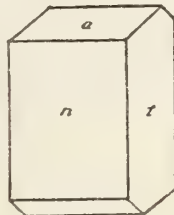


Fig. 21.

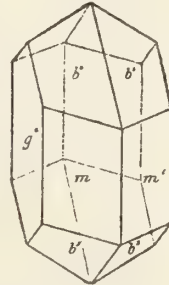


Fig. 22.

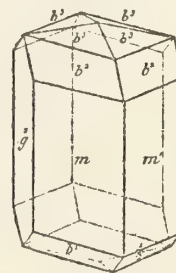


Fig. 23.

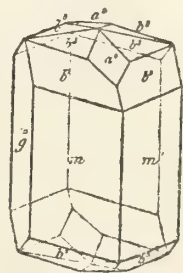


Fig. 24.

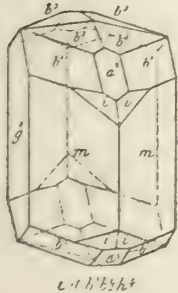


Fig. 25.

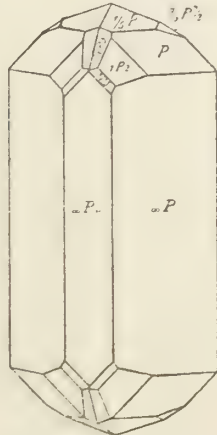


Fig. 26.

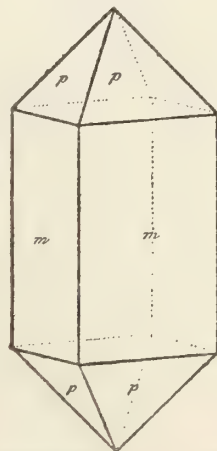


Fig. 27.

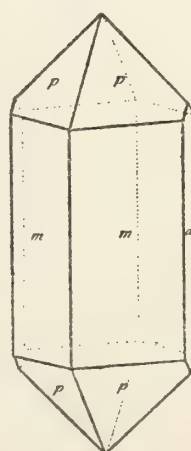
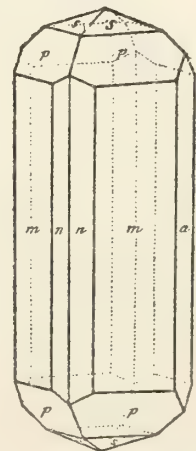


Fig. 28.



Antimonglanz

Fig. 29.

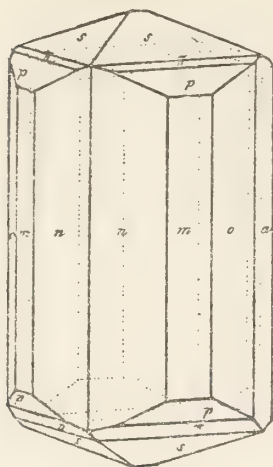


Fig. 30.

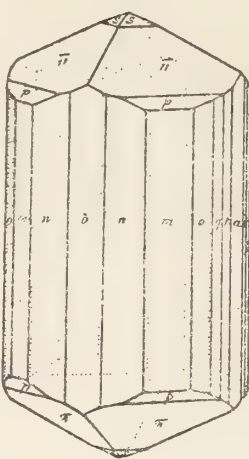


Fig. 31.

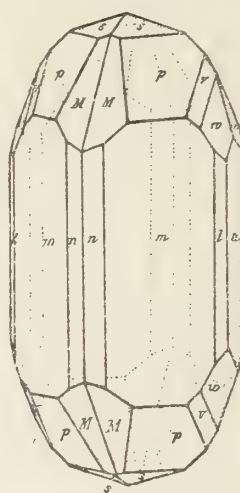


Fig. 32.

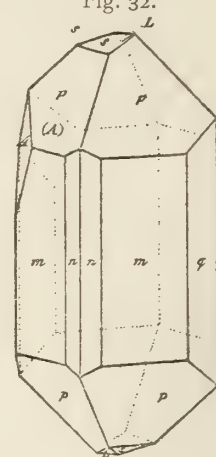


Fig. 33.

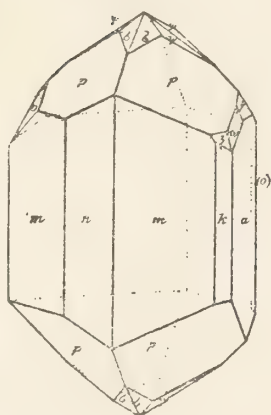


Fig. 34.

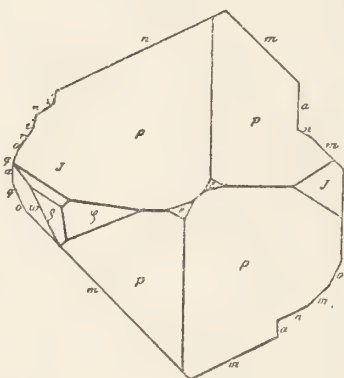


Fig. 35.

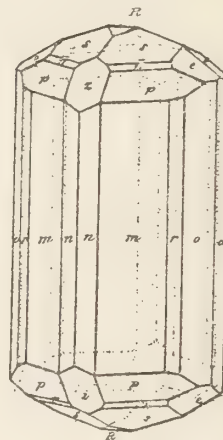


Fig. 36.

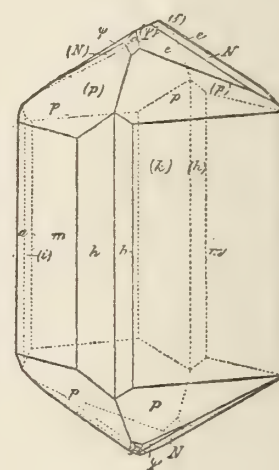


Fig. 37.

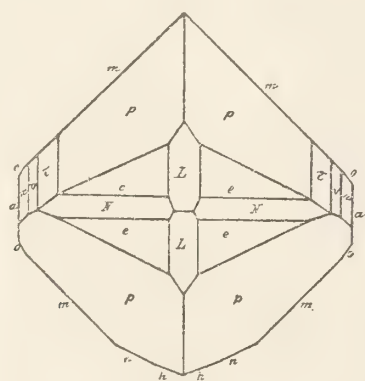


Fig. 38.

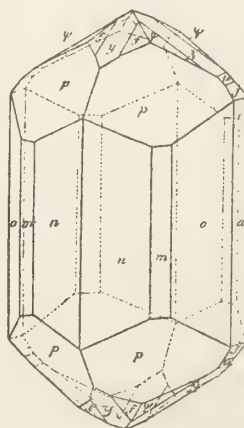


Fig. 39.

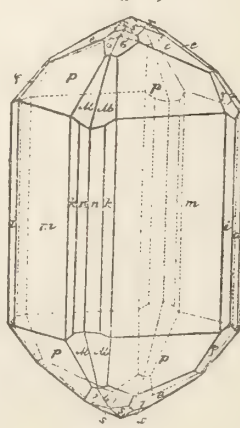
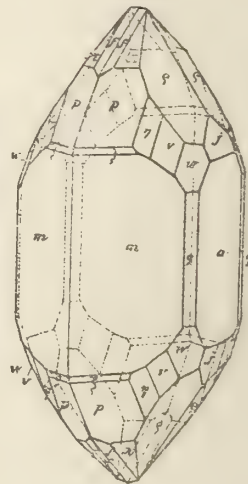


Fig. 40.



Antimonglanz

Fig. 41.

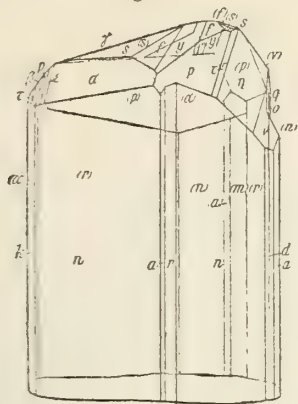


Fig. 42.

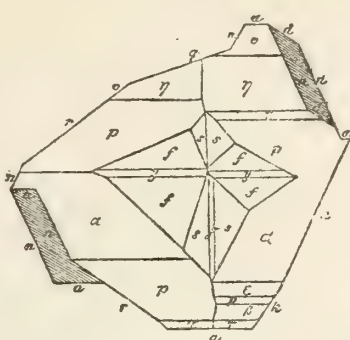


Fig. 43.

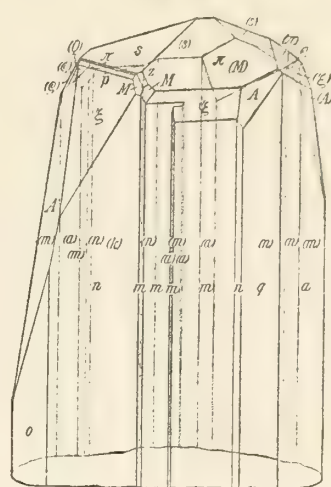


Fig. 44.

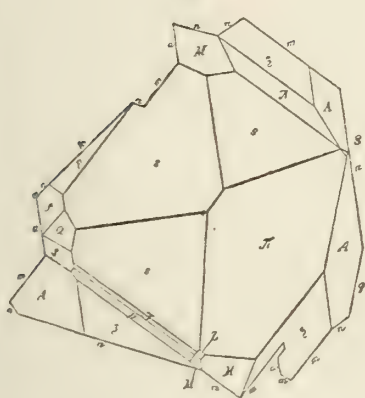


Fig. 45.

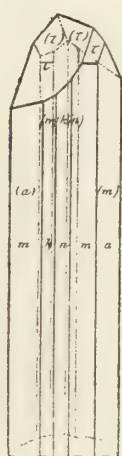


Fig. 46.



Fig. 47.

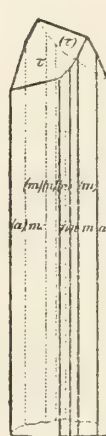


Fig. 48.

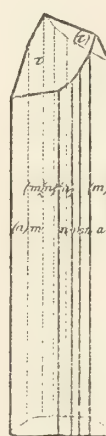


Fig. 49.

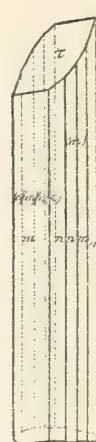


Fig. 50.

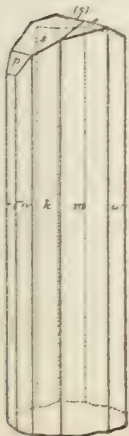


Fig. 51.

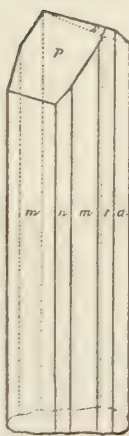


Fig. 52.

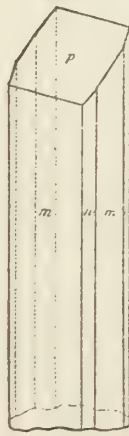


Fig. 53.

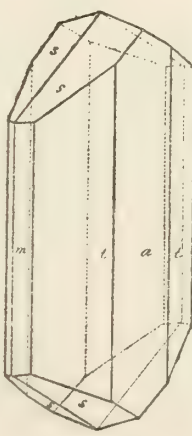


Fig. 54.

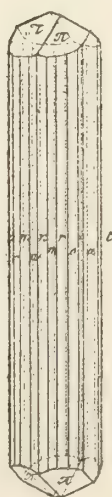


Fig. 55.

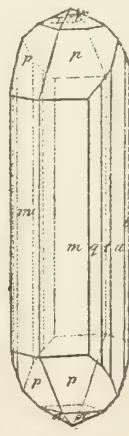
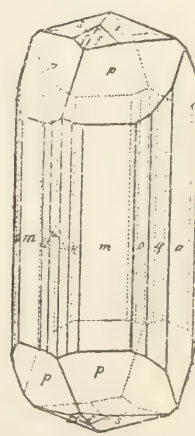


Fig. 56.



Antimonglanz

Fig. 57.

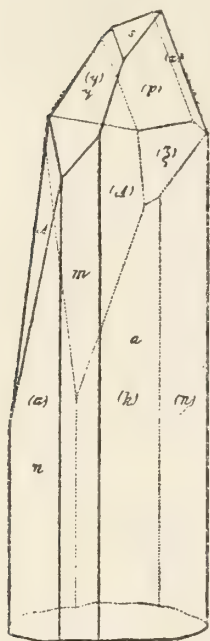


Fig. 58.

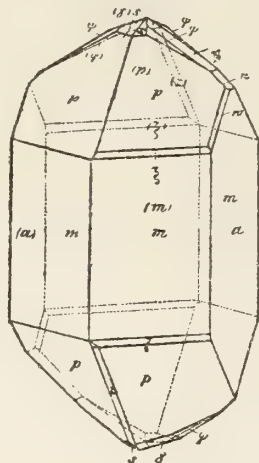


Fig. 59.

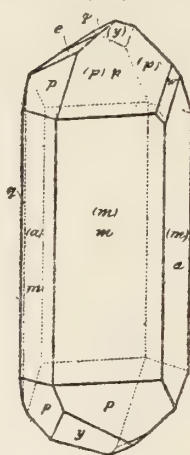


Fig. 60.

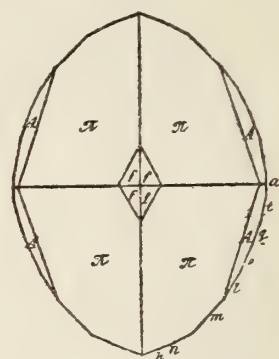


Fig. 61.

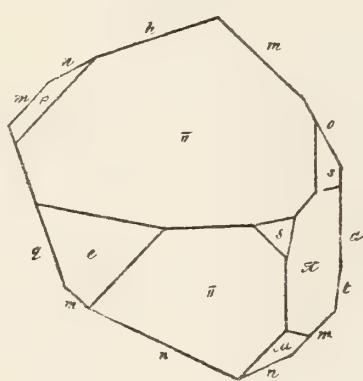


Fig. 62.

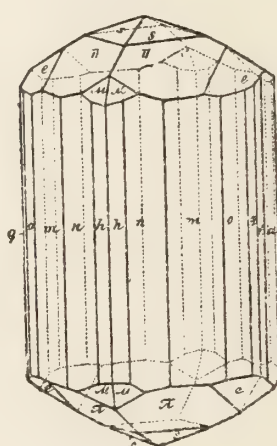


Fig. 63.

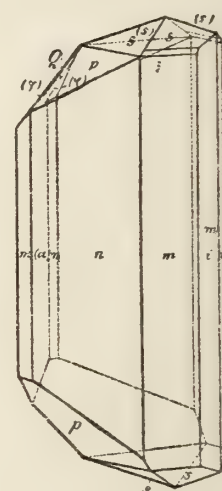


Fig. 64.

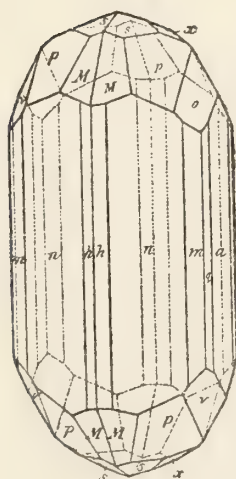


Fig. 65.

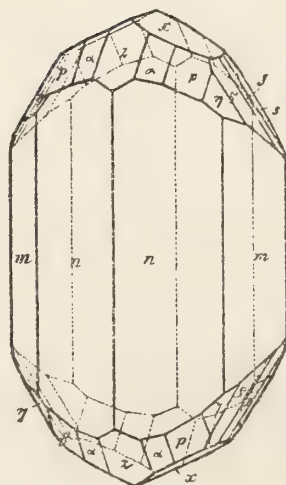


Fig. 66.

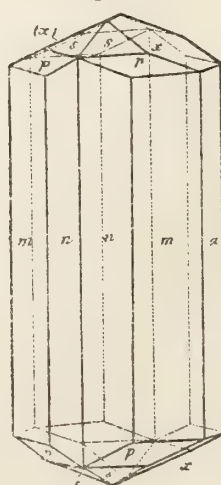
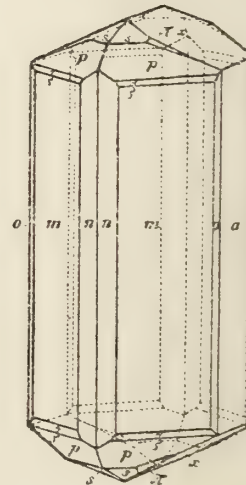


Fig. 67.



Antimonglanz

Fig. 68.



Fig. 69.



Fig. 70.

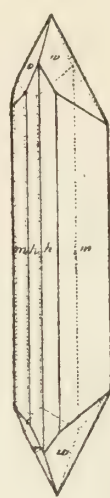


Fig. 71.



Fig. 72.



Fig. 73.



Fig. 74.



Fig. 75.



Fig. 76.



Fig. 77.



Fig. 78.

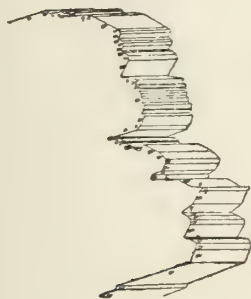


Fig. 79.



Fig. 80.



Fig. 81.

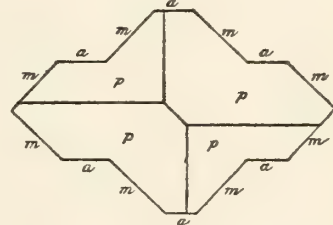


Fig. 83.

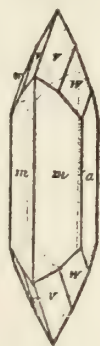


Fig. 84.



Fig. 85.



Fig. 86.

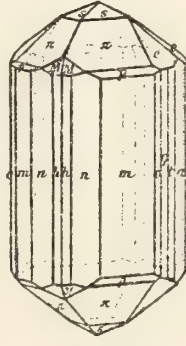


Fig. 87.

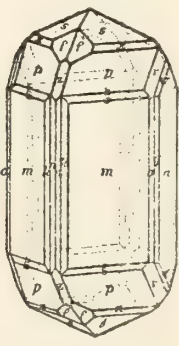


Fig. 82.

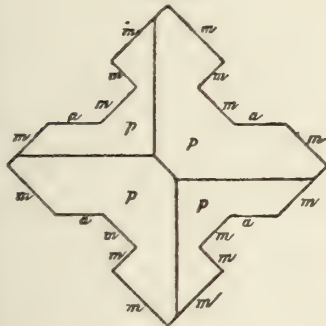


Fig. 88.

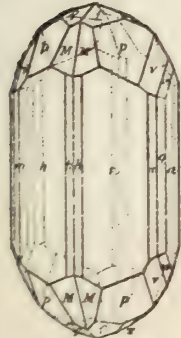


Fig. 89.



Fig. 90.

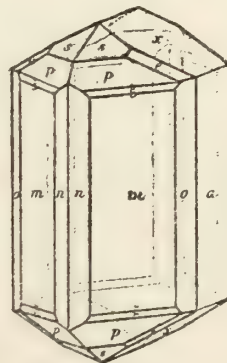


Fig. 91.

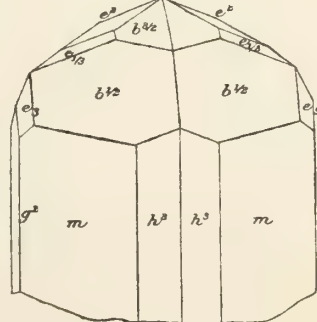


Fig. 92.



Antimonglanz

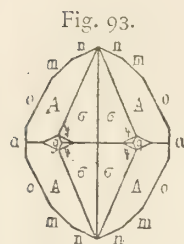


Fig. 93.



Fig. 94.

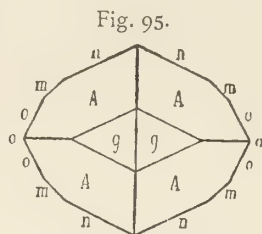


Fig. 95.

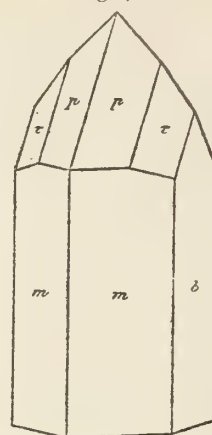


Fig. 96.

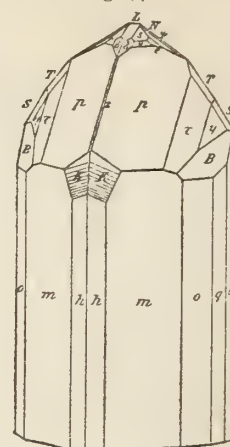


Fig. 97.

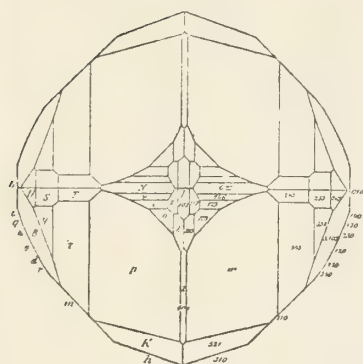


Fig. 98.



Fig. 99.

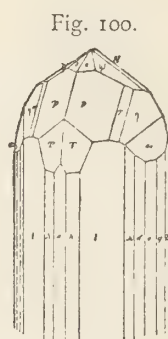


Fig. 100.

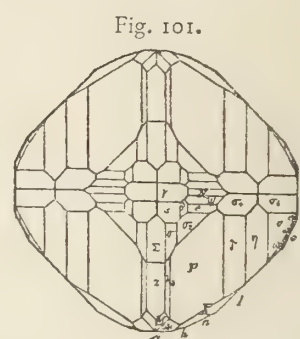


Fig. 101.

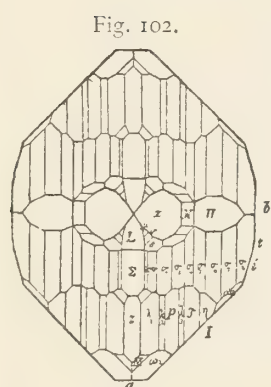


Fig. 102.

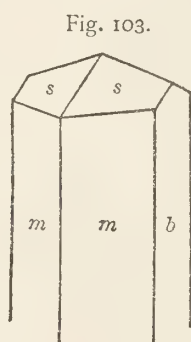


Fig. 103.

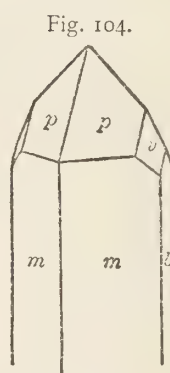


Fig. 104.

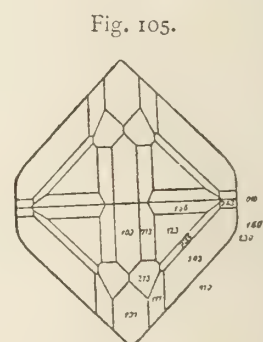


Fig. 105.

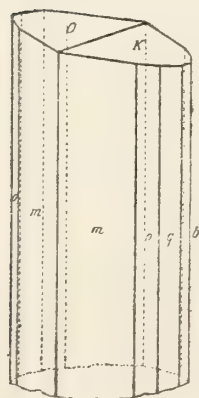


Fig. 106.

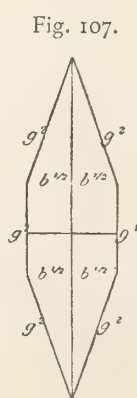


Fig. 107.

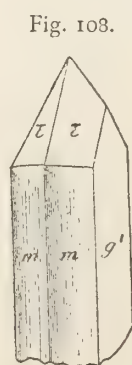


Fig. 108.

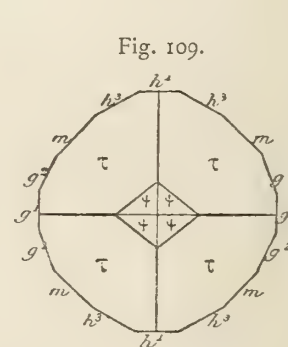


Fig. 109.

Antimonglanz

Fig. 110.

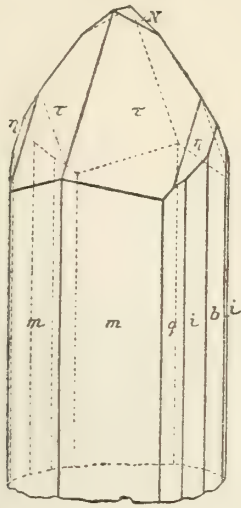


Fig. 111.

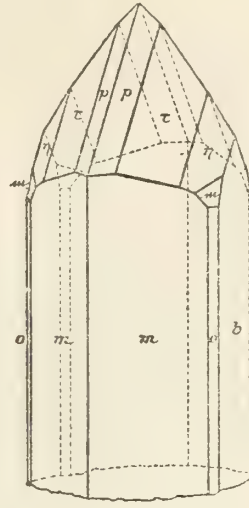


Fig. 112.

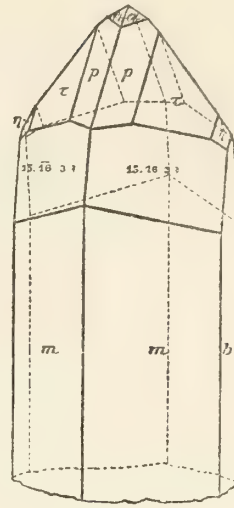


Fig. 113.

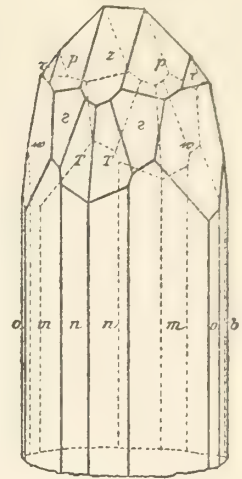


Fig. 114.

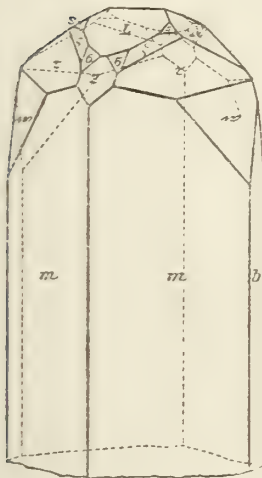


Fig. 115.

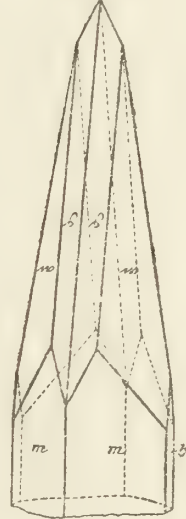


Fig. 116.

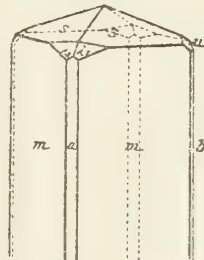


Fig. 117.

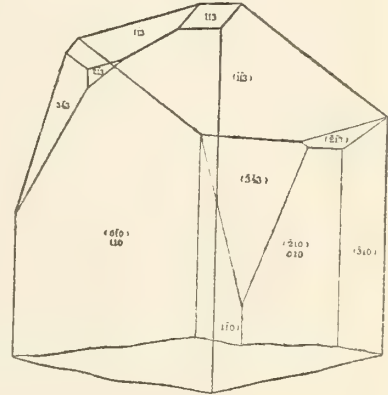


Fig. 118.

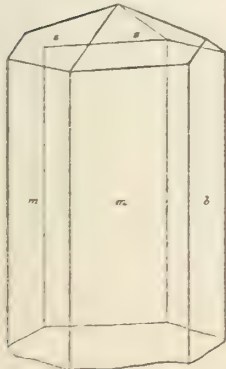


Fig. 119.

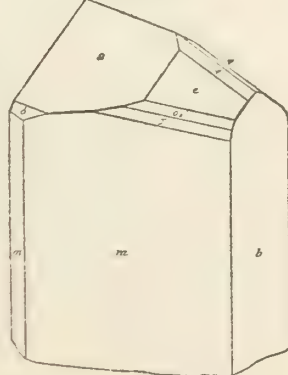


Fig. 120.

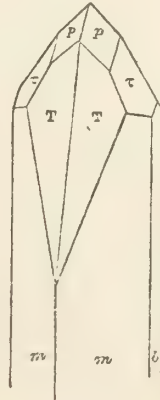
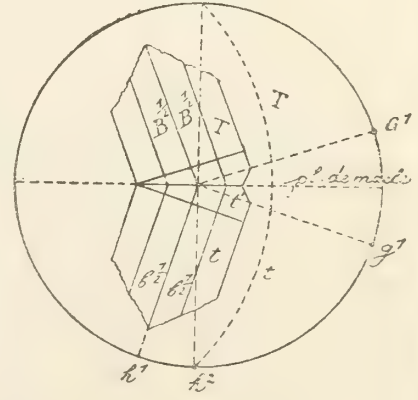


Fig. 121.



Antimonglanz

Fig. 122.

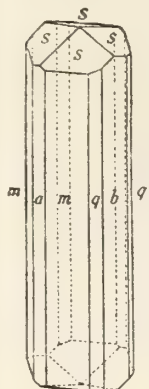


Fig. 123.

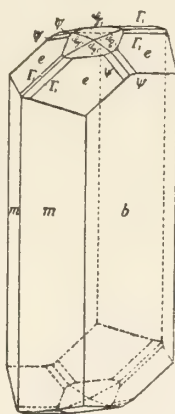


Fig. 124.

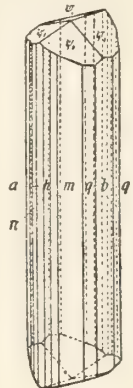


Fig. 125.

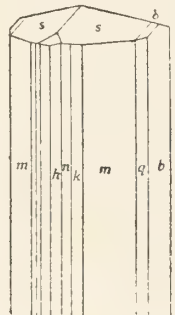
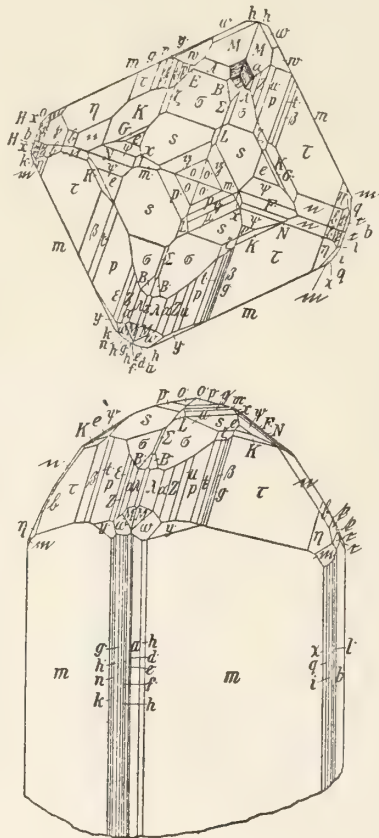


Fig. 126.



Apatit

Fig. 1.

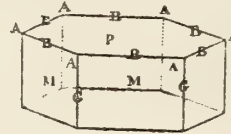


Fig. 2.

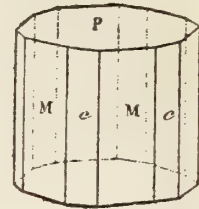


Fig. 3.

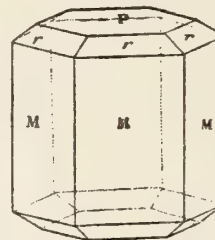


Fig. 4.

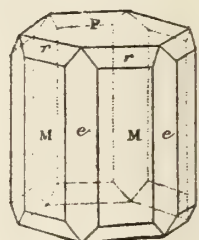


Fig. 5.

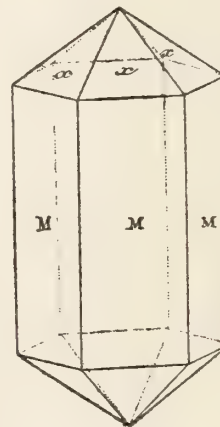


Fig. 6.

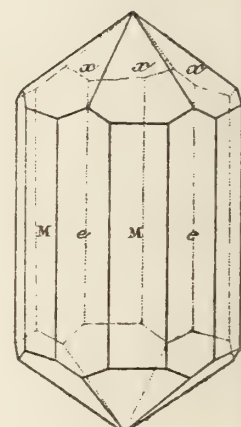


Fig. 7.

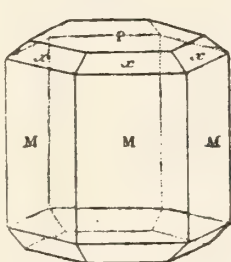


Fig. 8.

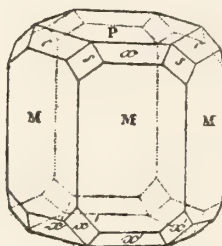


Fig. 9.

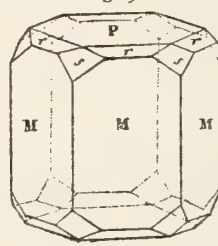


Fig. 10.

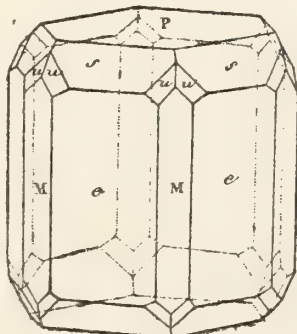


Fig. 11.

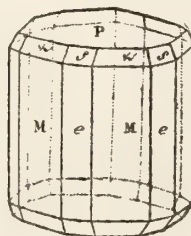


Fig. 12.

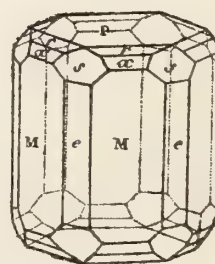
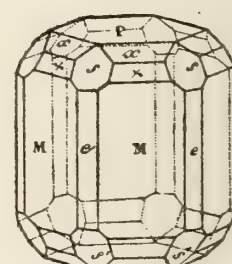


Fig. 13.



Apatit

Fig. 14.

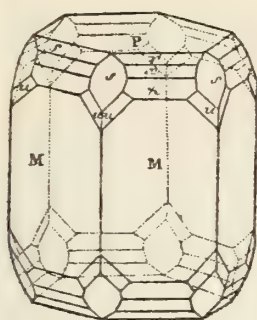


Fig. 15.

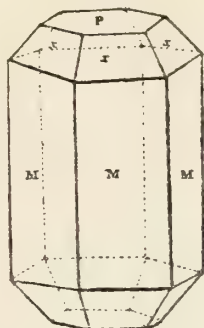


Fig. 16.

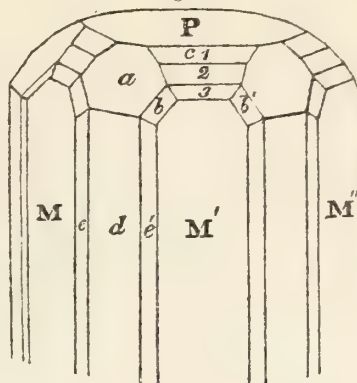


Fig. 17.

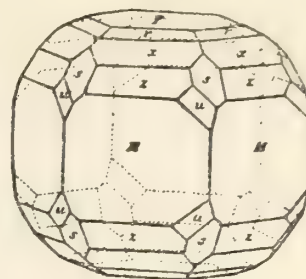


Fig. 18.

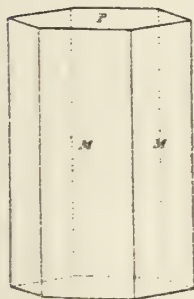


Fig. 19.

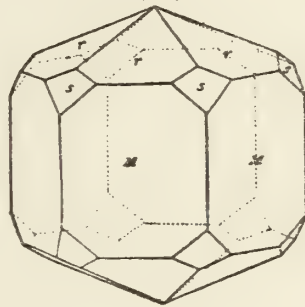


Fig. 20.

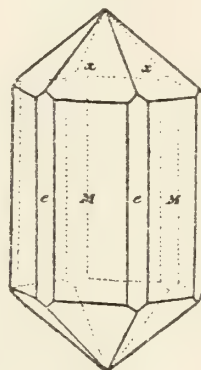


Fig. 21.

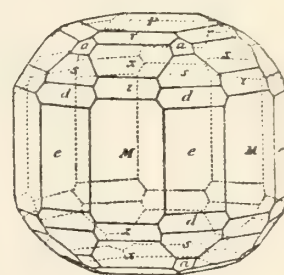


Fig. 22.

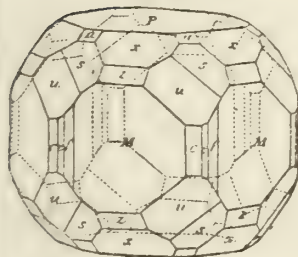


Fig. 23.

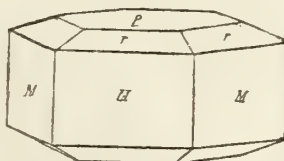


Fig. 24.

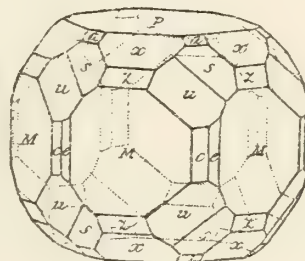


Fig. 25.

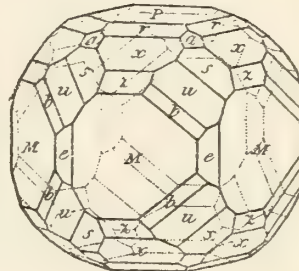


Fig. 26.

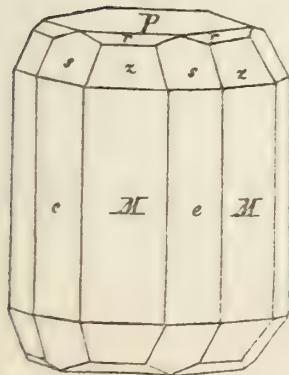


Fig. 27.

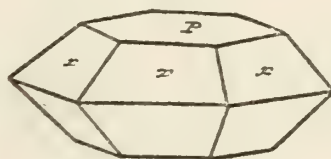


Fig. 28.

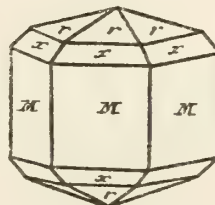
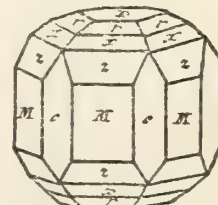


Fig. 29.



Apatit

Fig. 30.

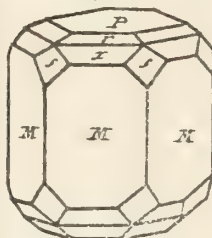


Fig. 31.

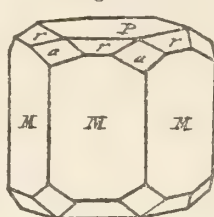


Fig. 32.

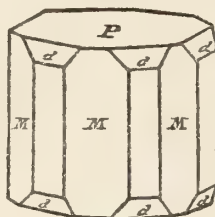


Fig. 33.

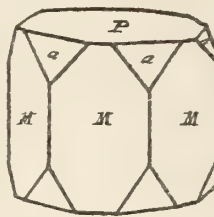


Fig. 34.

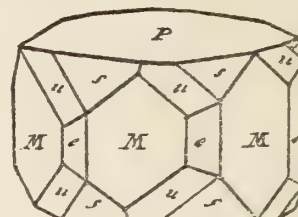


Fig. 35.

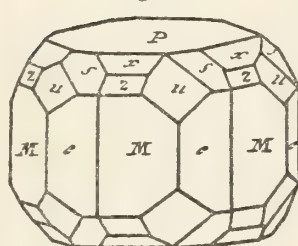


Fig. 36.

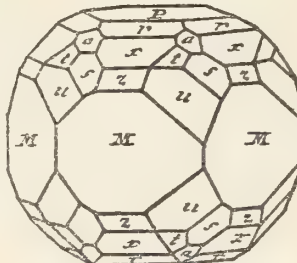


Fig. 37.

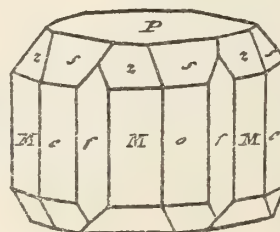


Fig. 38.

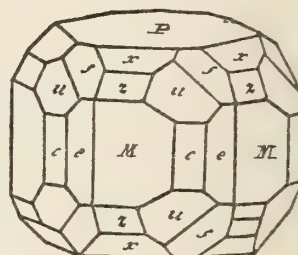


Fig. 39.

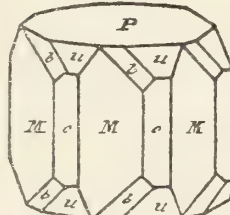


Fig. 40.

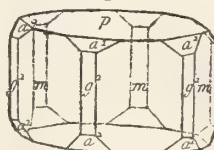


Fig. 41.

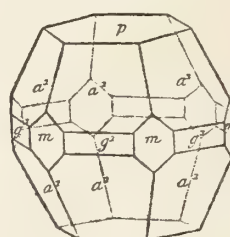


Fig. 42.

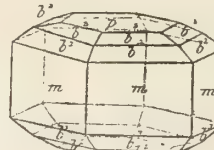


Fig. 43.

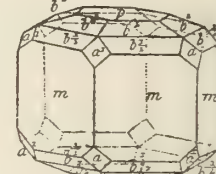


Fig. 44.

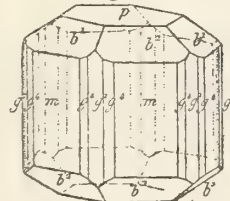


Fig. 45.

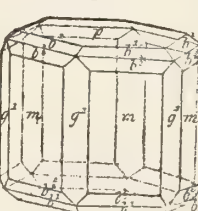


Fig. 46.

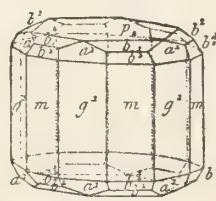


Fig. 47.

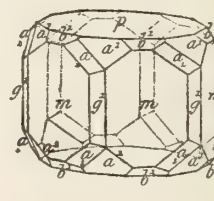


Fig. 48.

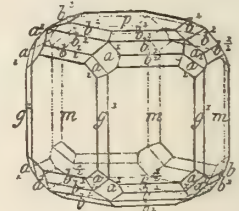


Fig. 49.

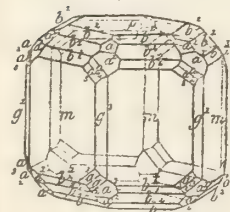


Fig. 50.

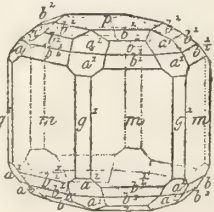


Fig. 51.

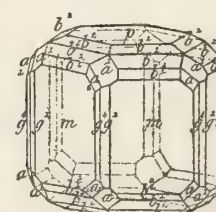


Fig. 52.

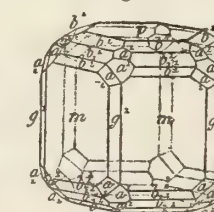
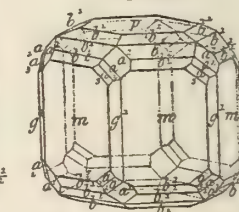


Fig. 53.



Apatit

Fig. 54.

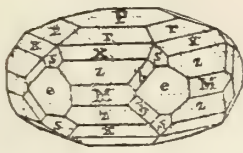


Fig. 55.

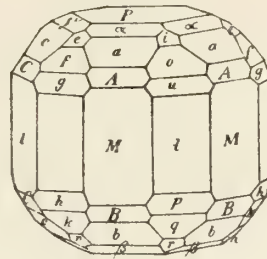


Fig. 56.

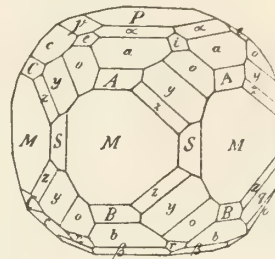


Fig. 57.

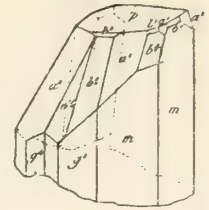


Fig. 59.

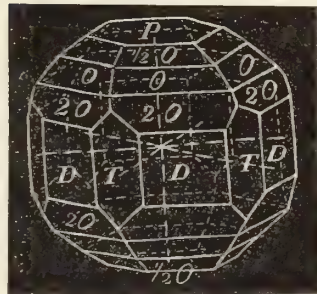


Fig. 58.

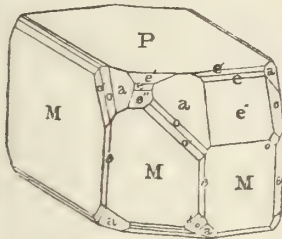


Fig. 61.

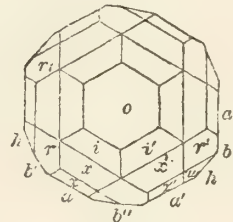


Fig. 60.

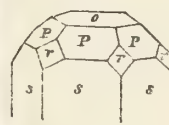


Fig. 62.

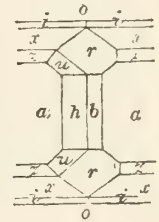


Fig. 63.

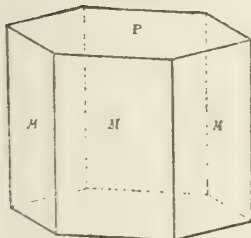


Fig. 64.

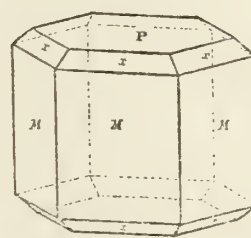


Fig. 65.

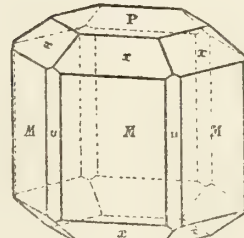
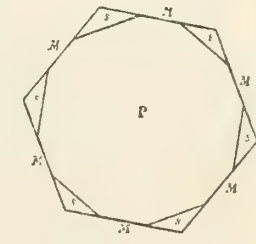
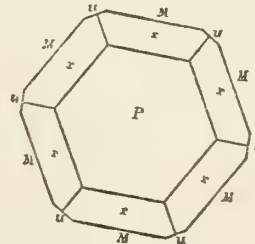
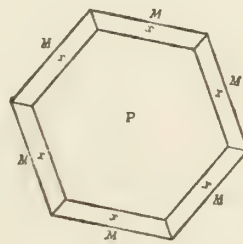
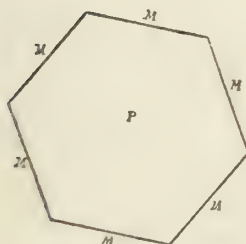
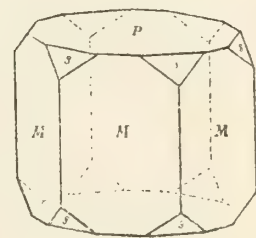


Fig. 66.



Apatit

Fig. 67.

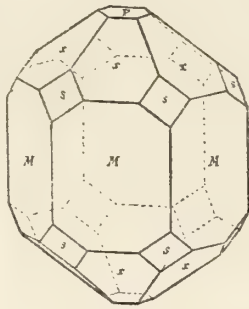


Fig. 68.

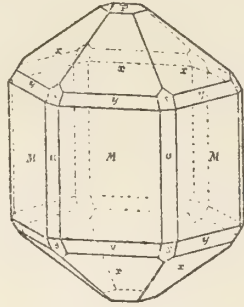


Fig. 69.

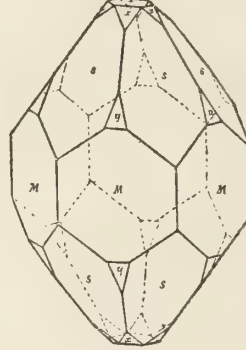


Fig. 70.

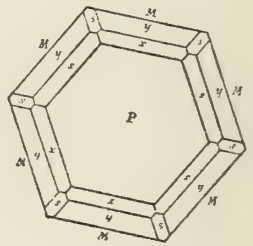
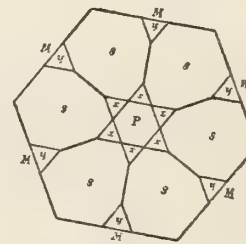
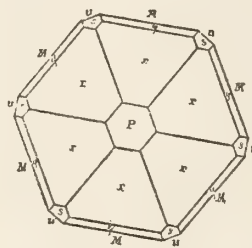
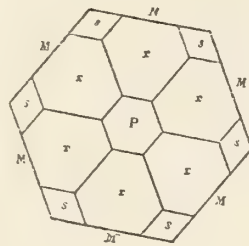
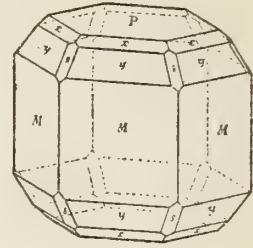
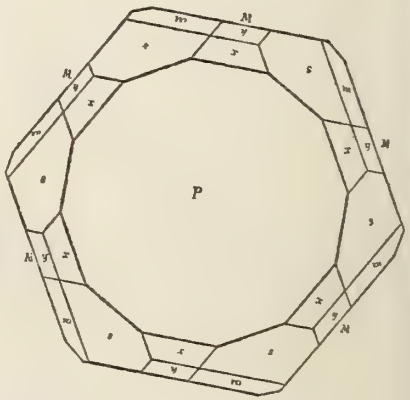
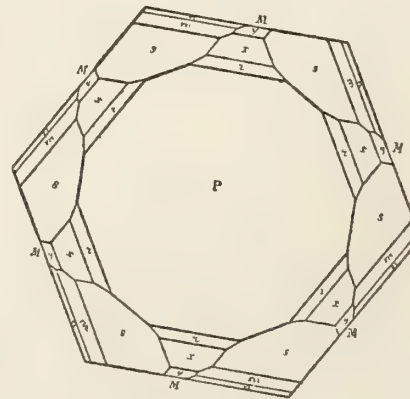
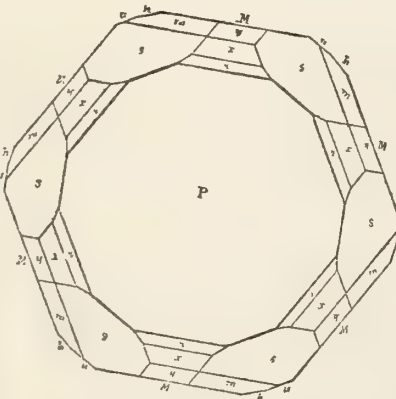
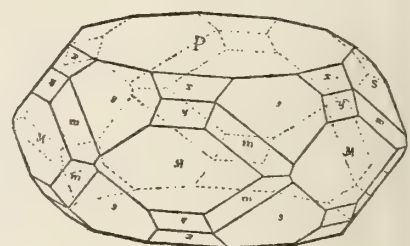
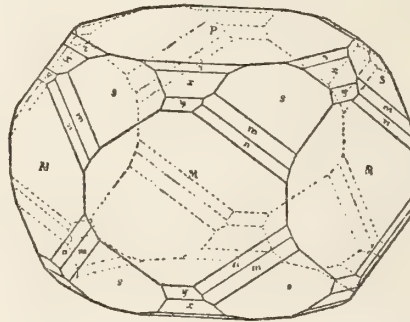
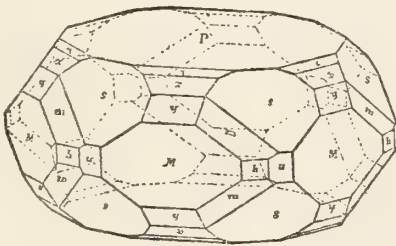


Fig. 71.

Fig. 72.

Fig. 73.



Apatit

Fig. 74.

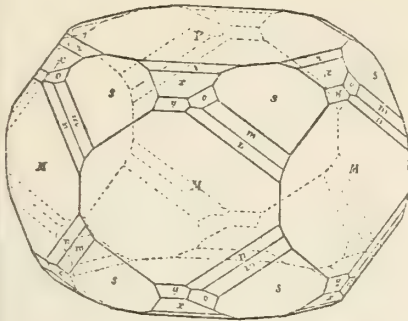


Fig. 75.

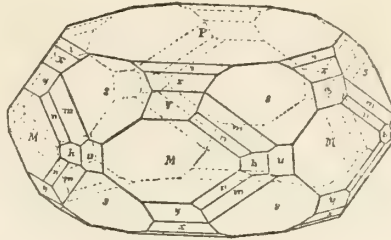


Fig. 76.

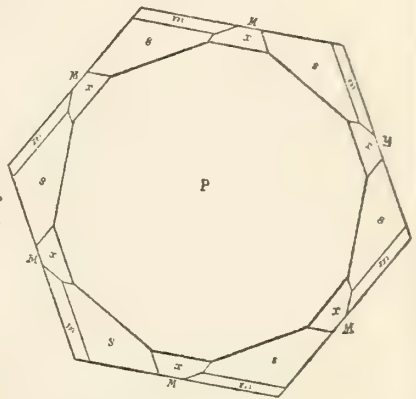
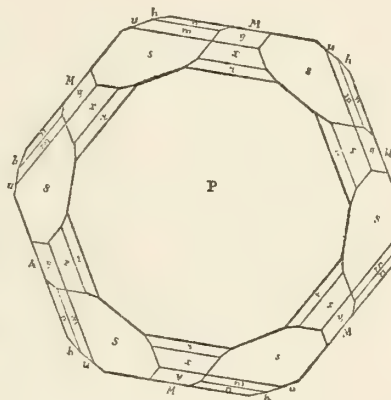
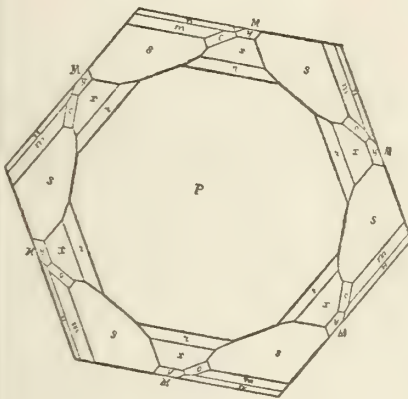
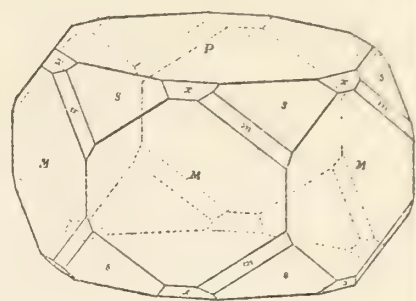


Fig. 79.

Fig. 77.

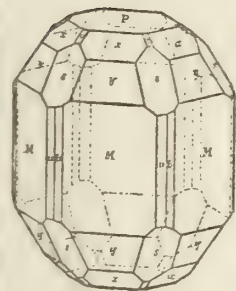


Fig. 78.

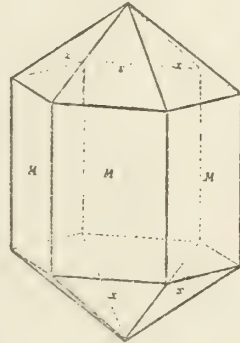
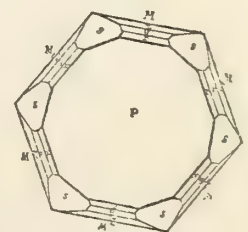
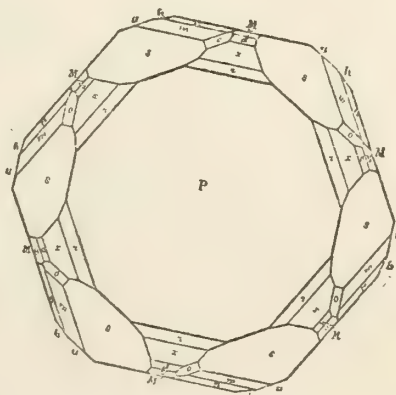
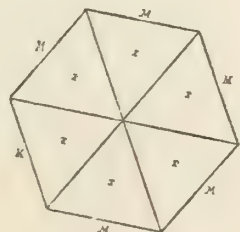
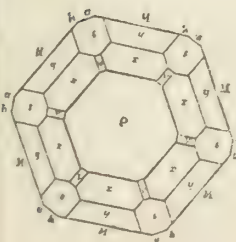
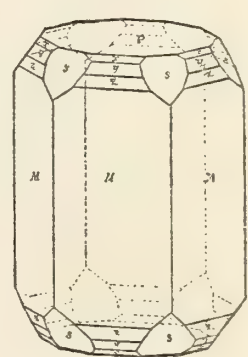


Fig. 80.



Apatit Fig. 81.

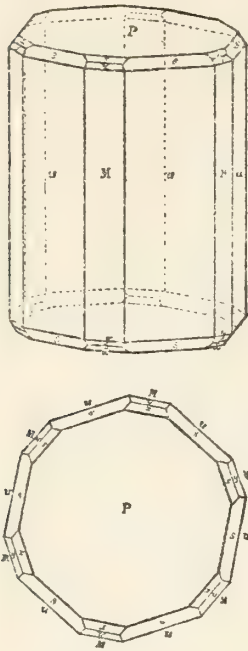


Fig. 82.

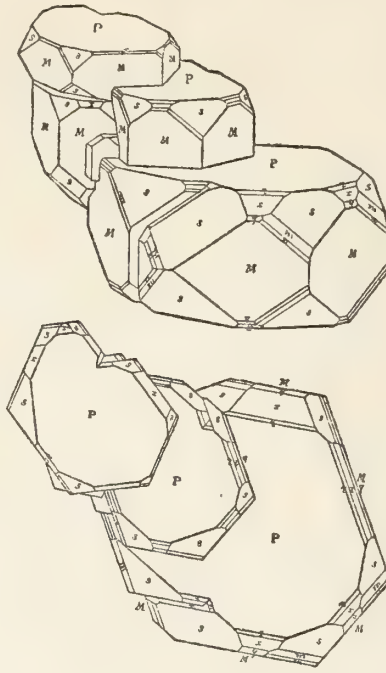


Fig. 83.

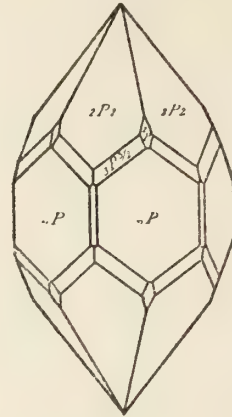


Fig. 84.

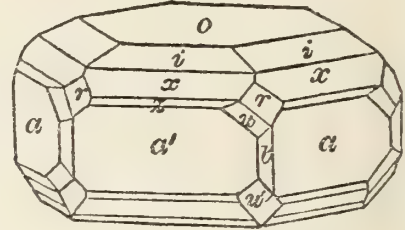


Fig. 85.

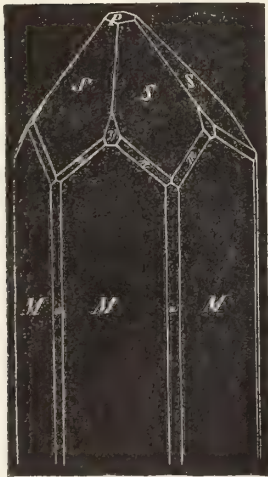


Fig. 86.

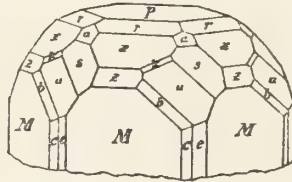


Fig. 87.

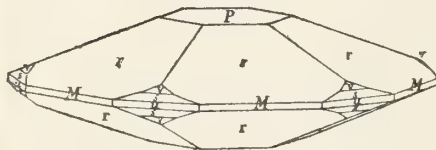


Fig. 88.

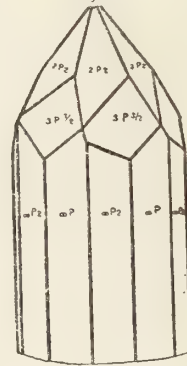


Fig. 89.

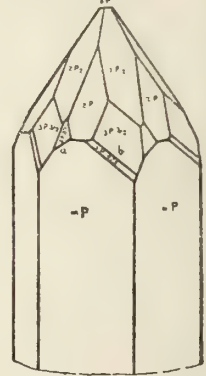


Fig. 90.

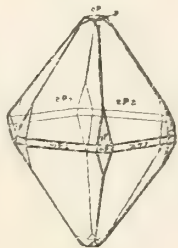


Fig. 91.

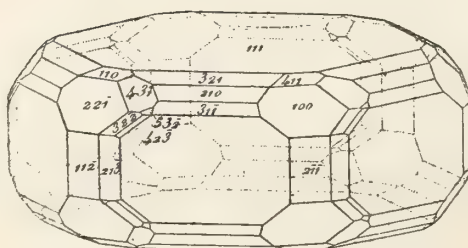


Fig. 92.

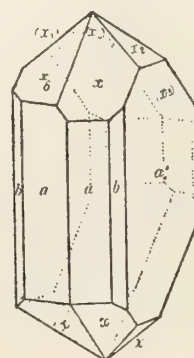
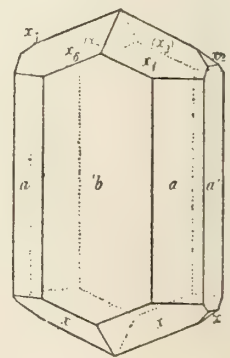


Fig. 93.



Apatit

Fig. 94.

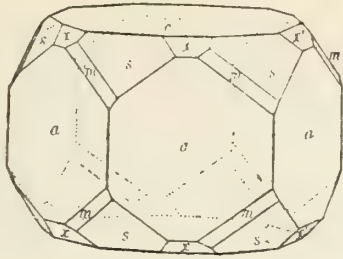


Fig. 95.

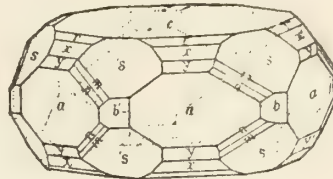


Fig. 96.

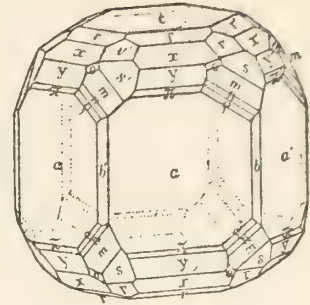


Fig. 97.

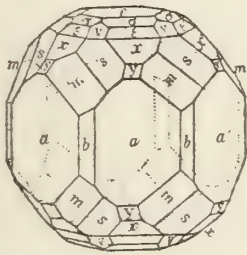


Fig. 98.

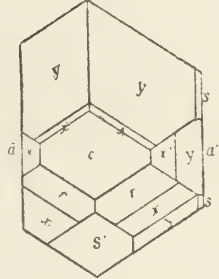


Fig. 99.

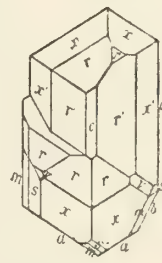


Fig. 100.

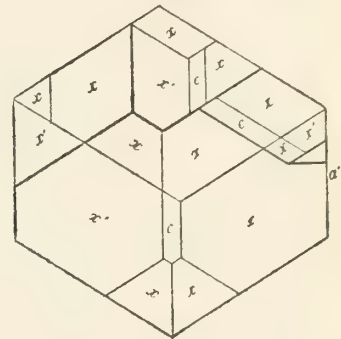


Fig. 101.



Fig. 102.

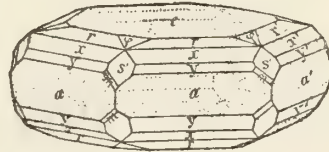


Fig. 103.

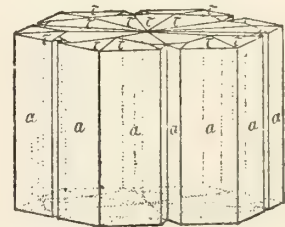


Fig. 106.

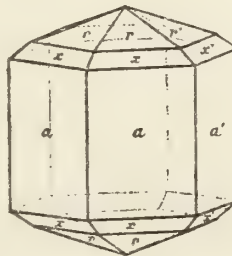


Fig. 107.

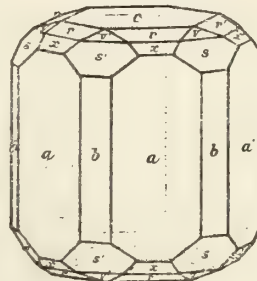


Fig. 108.

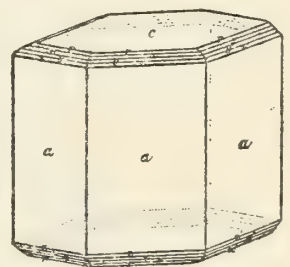


Fig. 104.

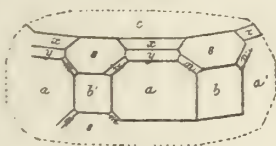


Fig. 105.



Fig. 109.

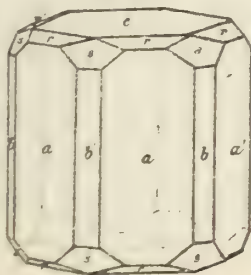


Fig. 110.

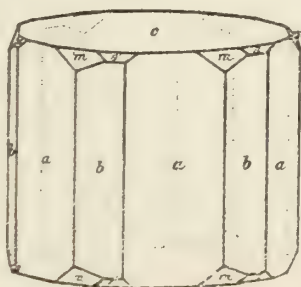


Fig. 111.

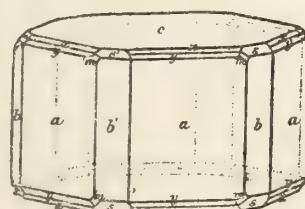
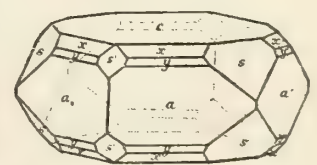


Fig. 112.



Apatit

Fig. 113.

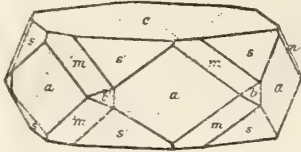


Fig. 114.

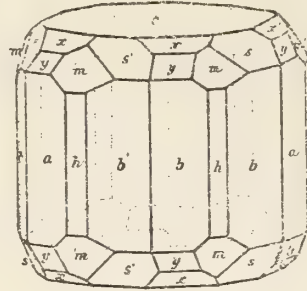


Fig. 115.

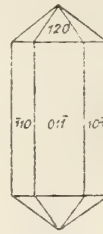


Fig. 116.

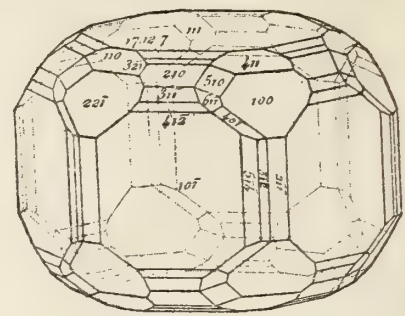


Fig. 117.

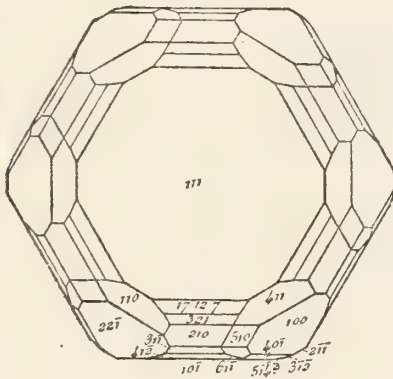


Fig. 118.

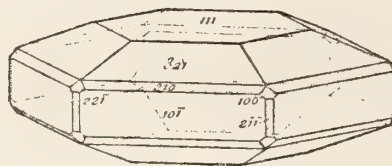


Fig. 119.



Fig. 120.

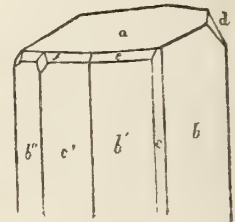


Fig. 122.

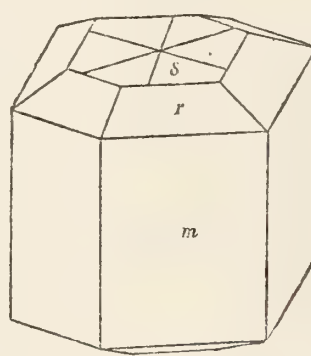


Fig. 123.

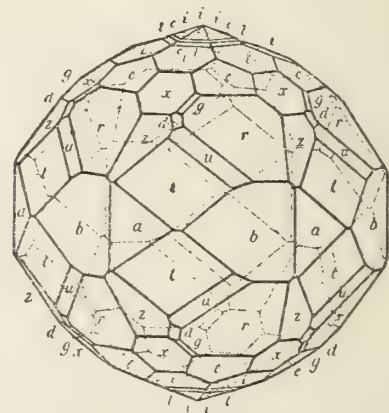


Fig. 121.

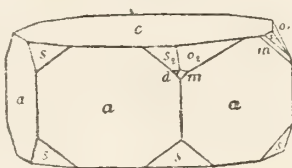


Fig. 124.

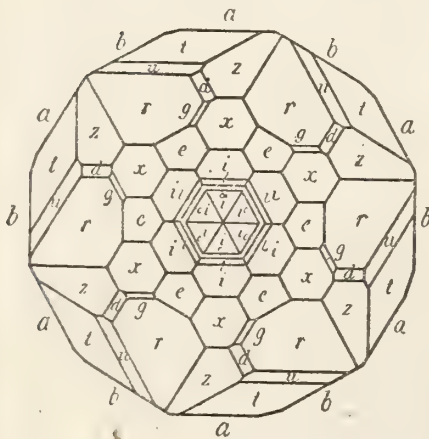


Fig. 125.

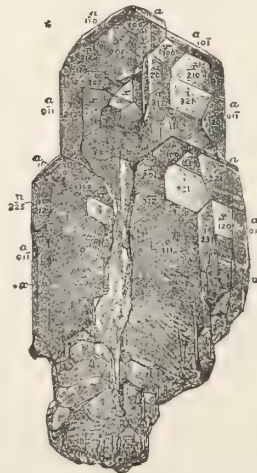


Fig. 126.

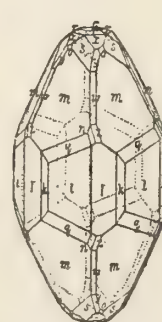
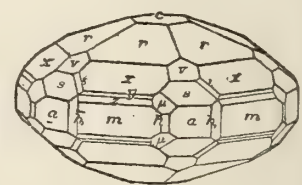


Fig. 127.



Apatit

Fig. 145.

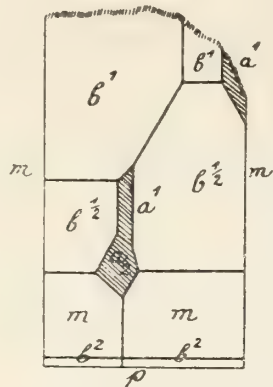


Fig. 146.

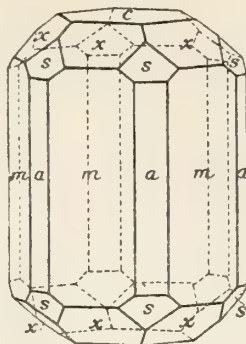


Fig. 147.

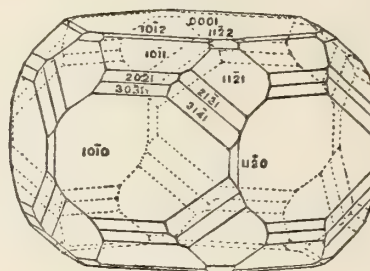


Fig. 148.

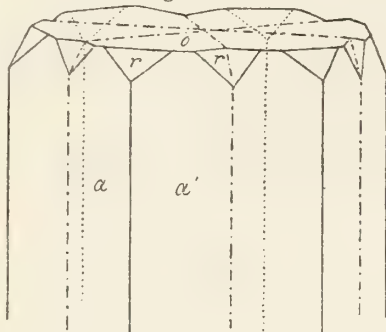


Fig. 149.

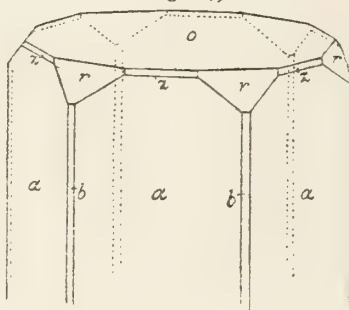


Fig. 150.

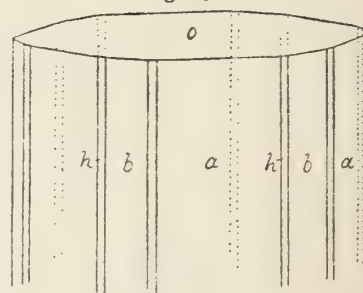


Fig. 151.

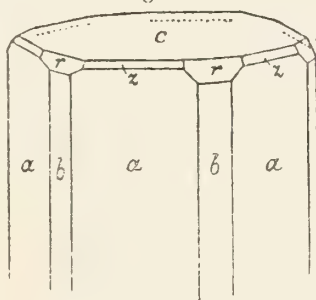


Fig. 152.

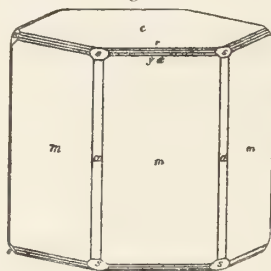


Fig. 153.

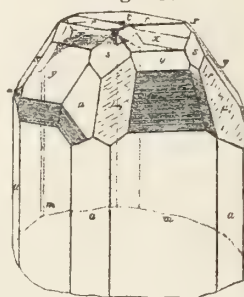


Fig. 154.

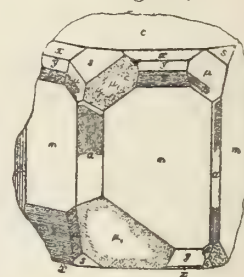


Fig. 156.

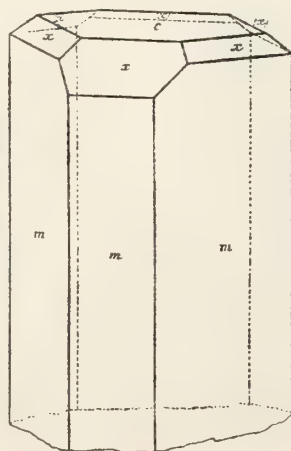


Fig. 158.

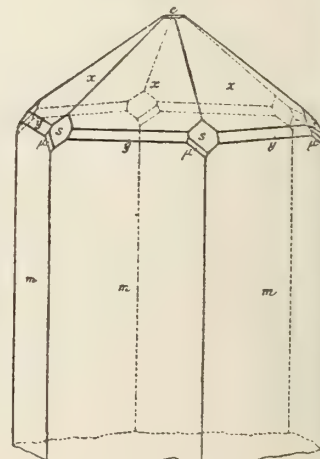


Fig. 155.

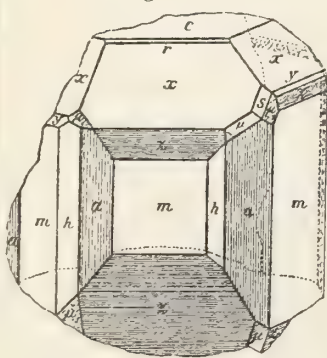
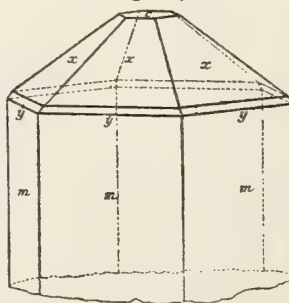


Fig. 157.



Apatit

Fig. 159.

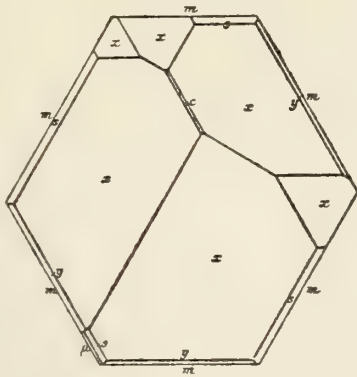


Fig. 160.

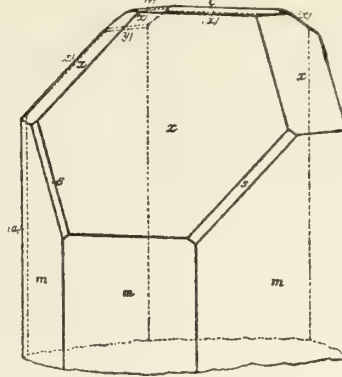


Fig. 161.

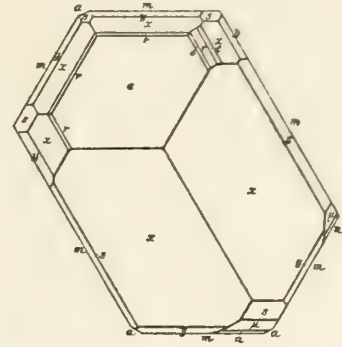


Fig. 162.

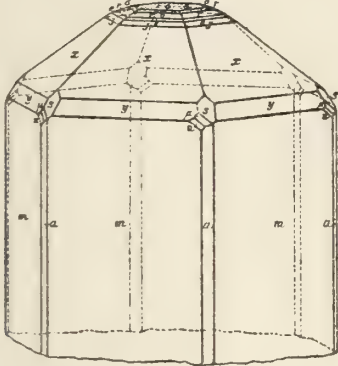


Fig. 163.

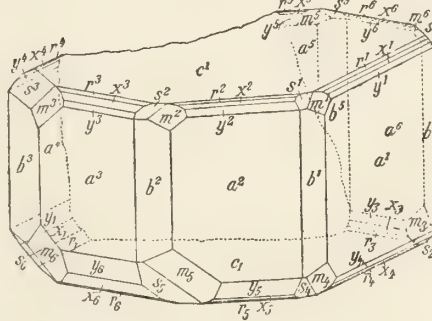


Fig. 164.

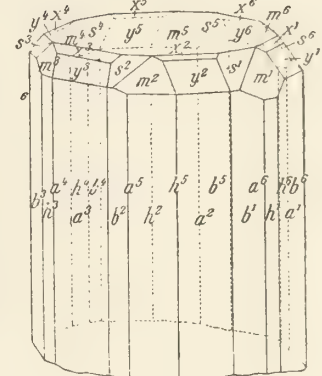


Fig. 165.



Fig. 166.

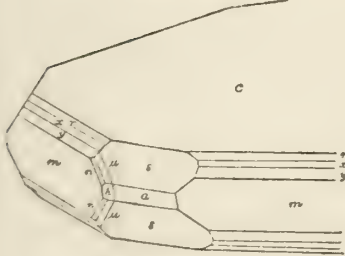


Fig. 170.

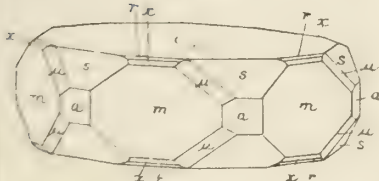


Fig. 167.



Fig. 168.

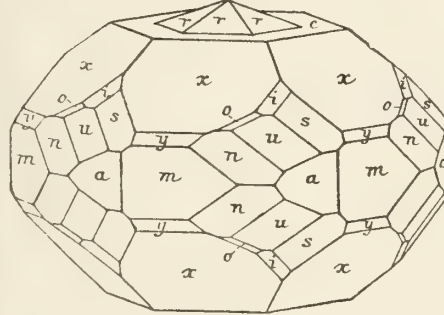


Fig. 169.

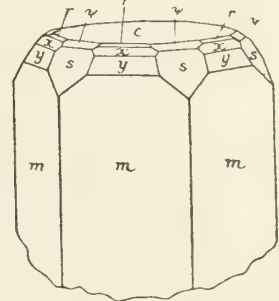


Fig. 171.

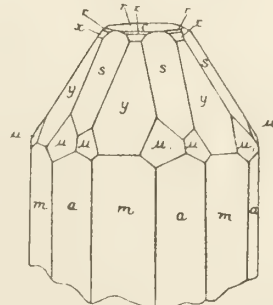
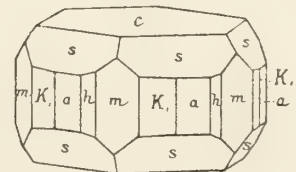


Fig. 172.



Apophyllit

Fig. 8.

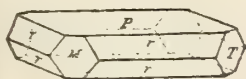


Fig. 9.



Fig. 10.

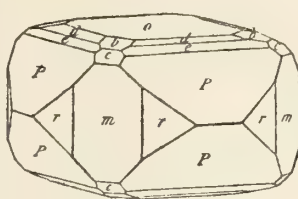


Fig. 11.

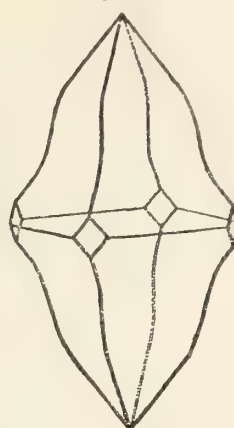


Fig. 12.

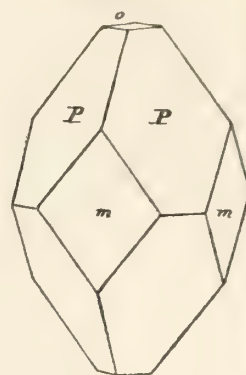


Fig. 13.

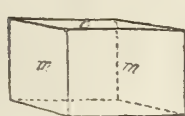


Fig. 14.

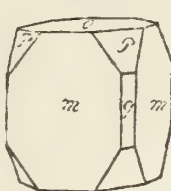


Fig. 15.

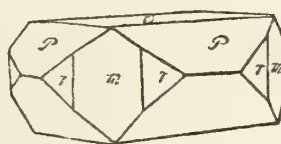


Fig. 16.

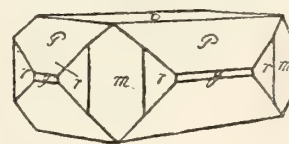


Fig. 17.

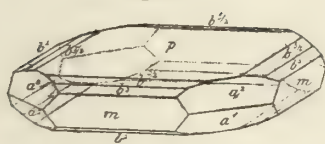


Fig. 18.

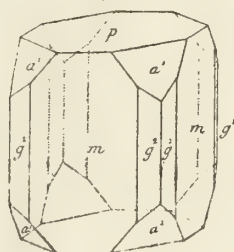


Fig. 19.

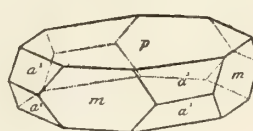


Fig. 20.

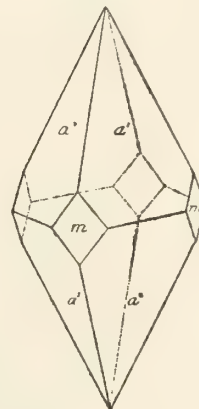


Fig. 21.



Fig. 22.

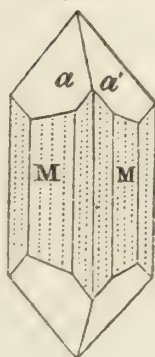


Fig. 23.

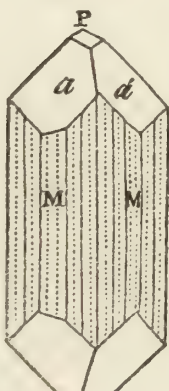


Fig. 24.

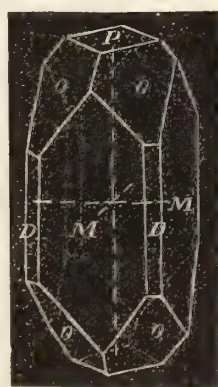


Fig. 25.

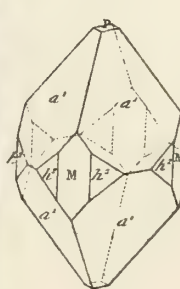
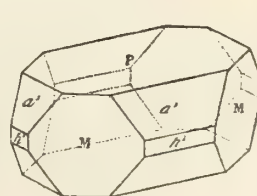


Fig. 26.



Apophyllit

Fig. 27.

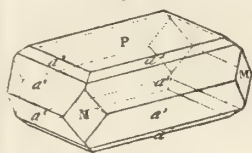


Fig. 28.

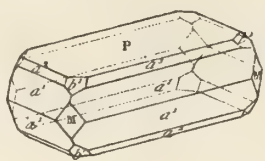


Fig. 29.

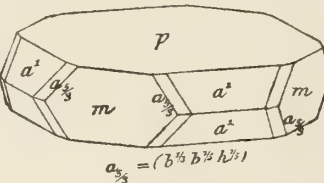


Fig. 30.

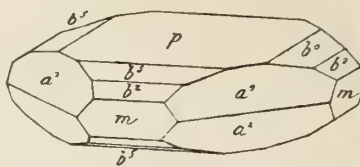


Fig. 31.



Fig. 32.

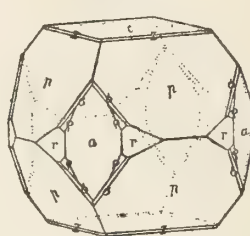


Fig. 33.

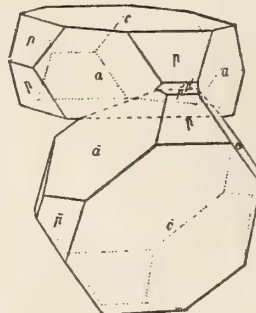


Fig. 34.

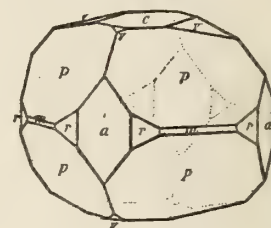


Fig. 35.

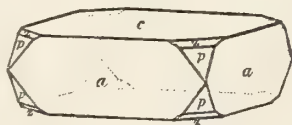


Fig. 36.

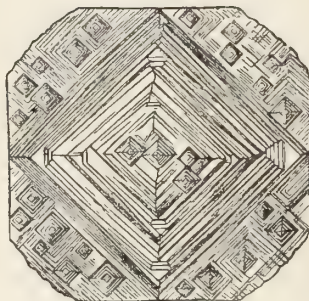


Fig. 37.

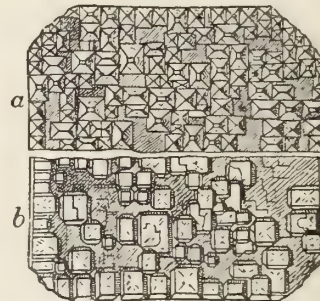


Fig. 38.

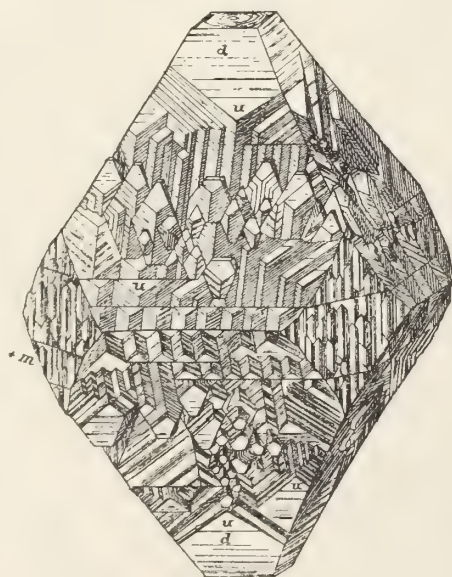
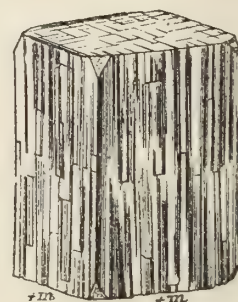


Fig. 39.



Fig. 40.



Apophyllit

Fig. 41.

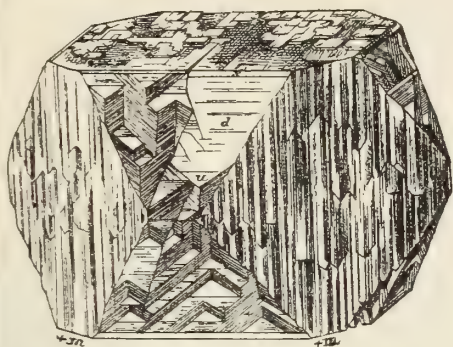


Fig. 42.

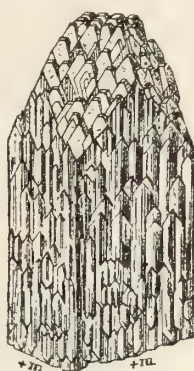


Fig. 43.

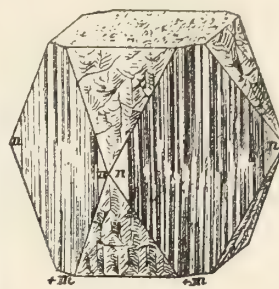


Fig. 44.

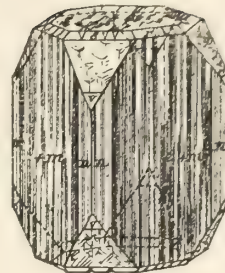


Fig. 45.

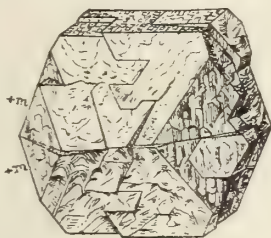


Fig. 46.

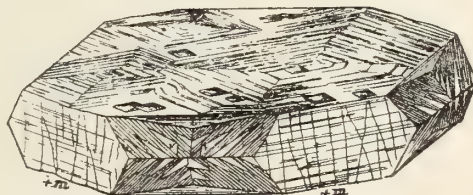


Fig. 47.

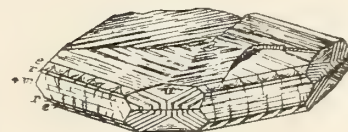


Fig. 48.

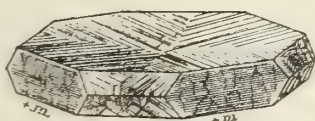


Fig. 49.

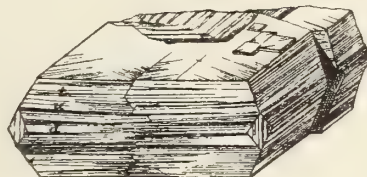


Fig. 50.

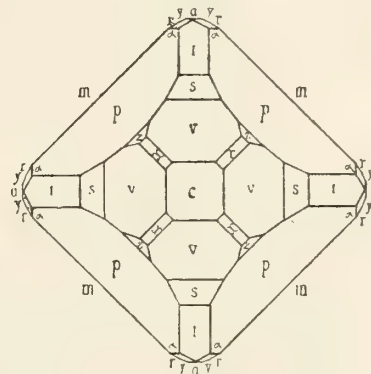


Fig. 51.

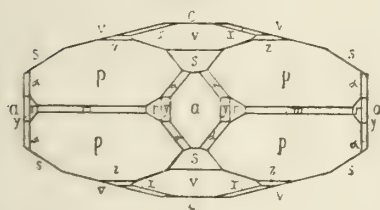


Fig. 52.

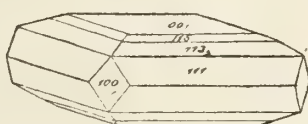


Fig. 53.

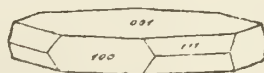


Fig. 54.

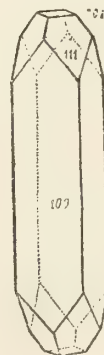


Fig. 55.

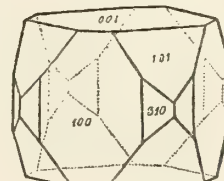


Fig. 56.



Fig. 57.

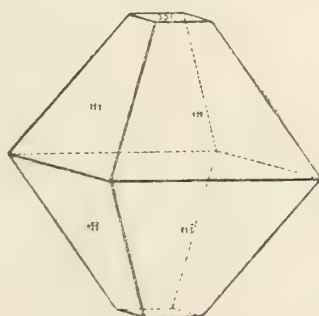
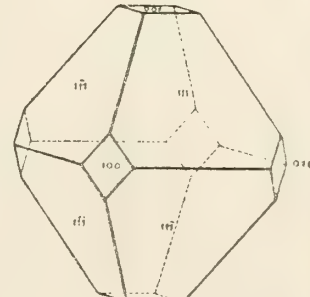


Fig. 58.



Apophyllit

Fig. 59.

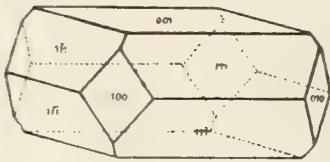


Fig. 60.

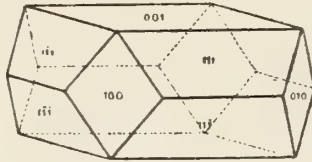


Fig. 61.

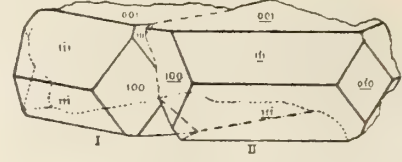


Fig. 62.

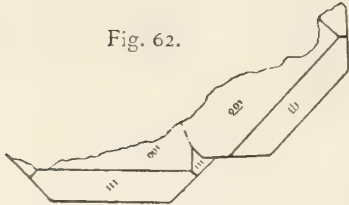


Fig. 63.

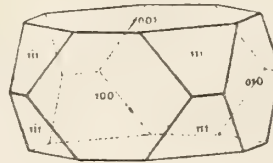


Fig. 64.

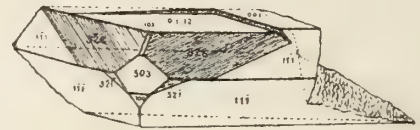


Fig. 65.

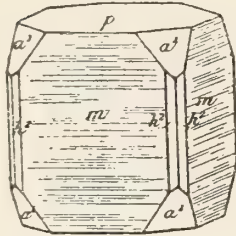


Fig. 66.

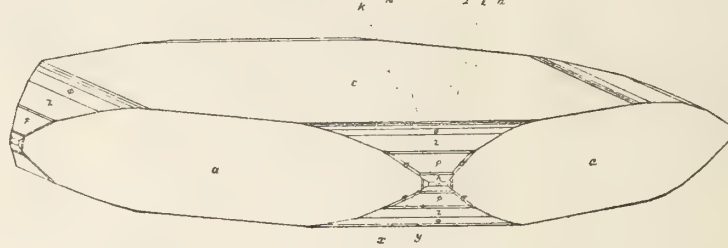


Fig. 67.

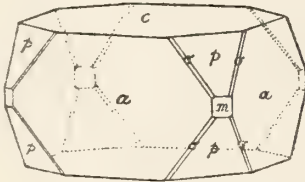


Fig. 69.



Fig. 70.

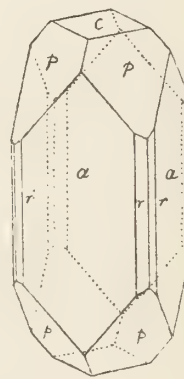


Fig. 71.

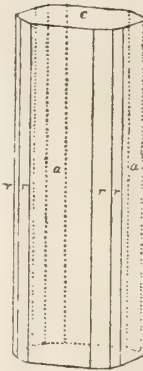


Fig. 72.



Fig. 68.



Fig. 73.

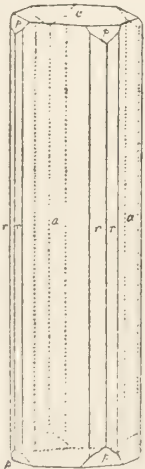


Fig. 74.

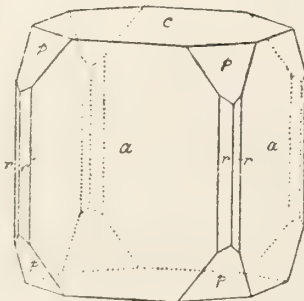


Fig. 75.

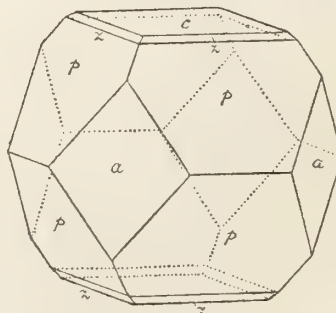
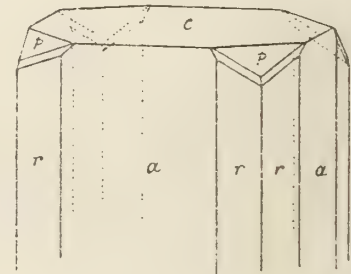


Fig. 76.



Apophyllit

Fig. 77.

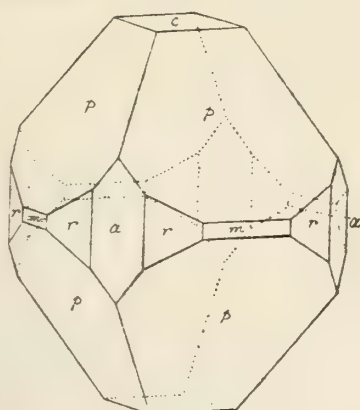


Fig. 78.

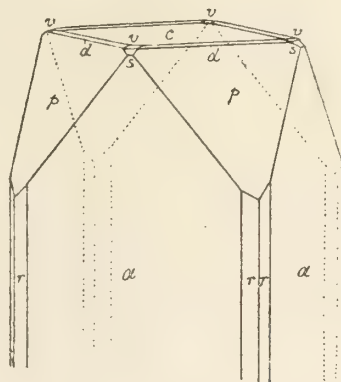


Fig. 79.

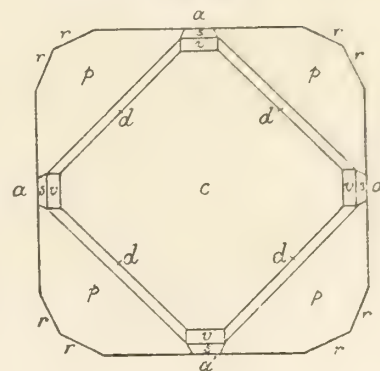


Fig. 80.

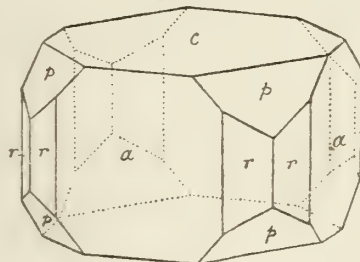


Fig. 81.

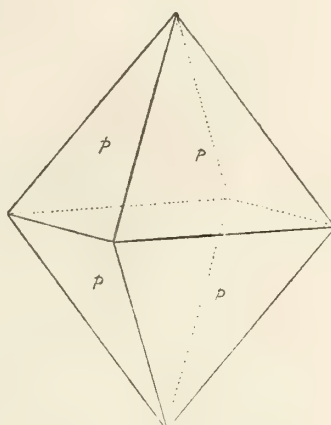


Fig. 82.

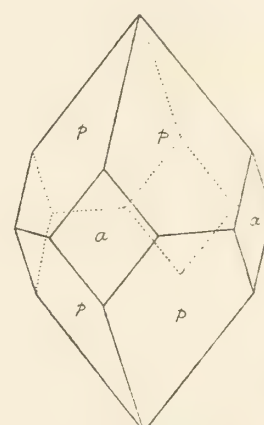


Fig. 83.

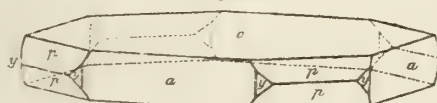


Fig. 84.

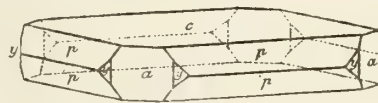


Fig. 85.

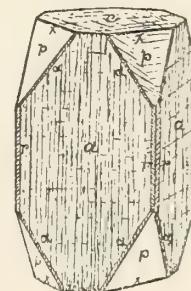


Fig. 86.

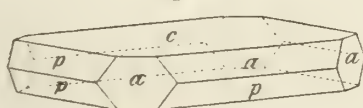


Fig. 87.

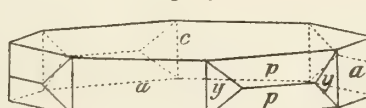


Fig. 89.

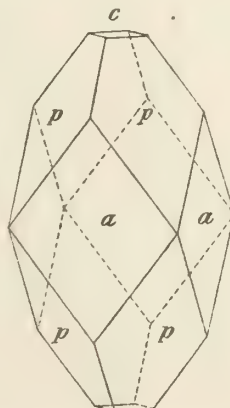


Fig. 90.

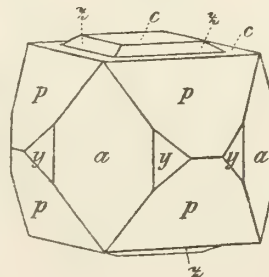


Fig. 88.

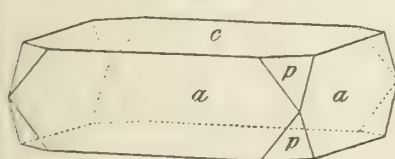
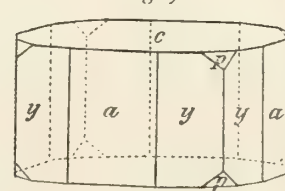


Fig. 91.



Apophyllit

Fig. 92.

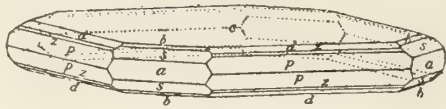


Fig. 95.

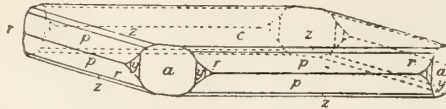


Fig. 93.

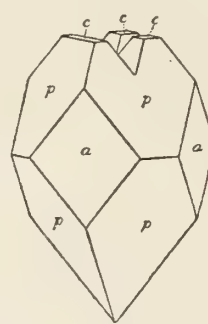


Fig. 94.

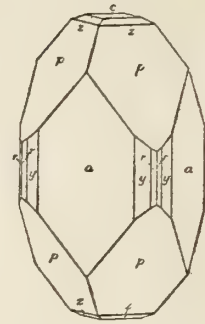


Fig. 96.

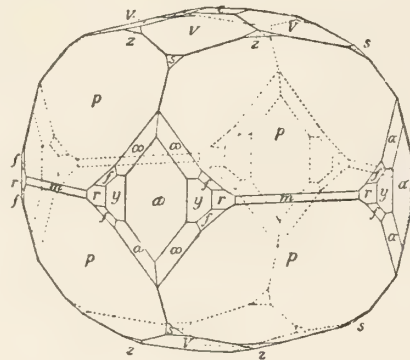


Fig. 97.

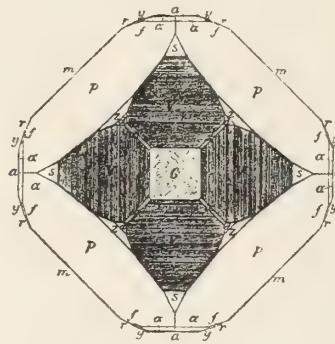


Fig. 98.

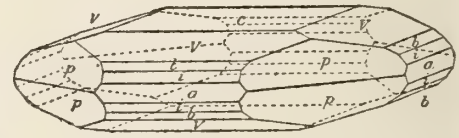


Fig. 99.

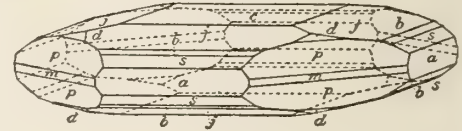


Fig. 100.

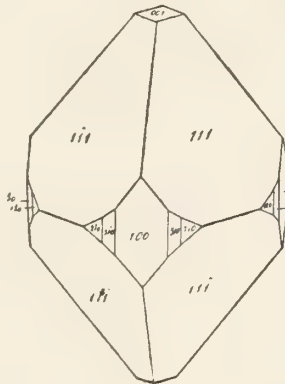


Fig. 101.

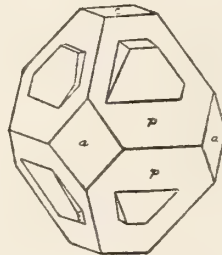


Fig. 102.

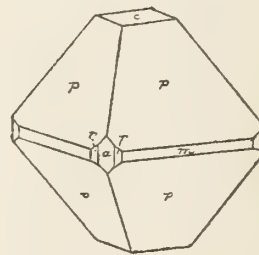
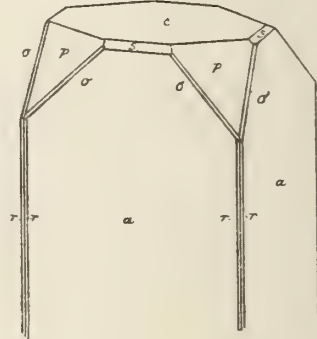


Fig. 103.



Aragonit

Fig. 1.

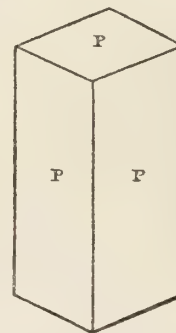


Fig. 2.

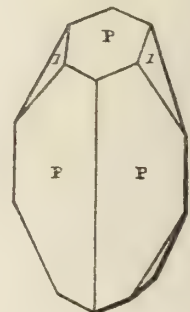


Fig. 104.

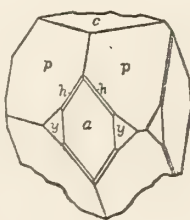


Fig. 105.

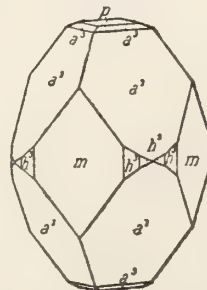
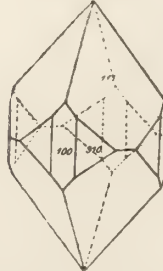
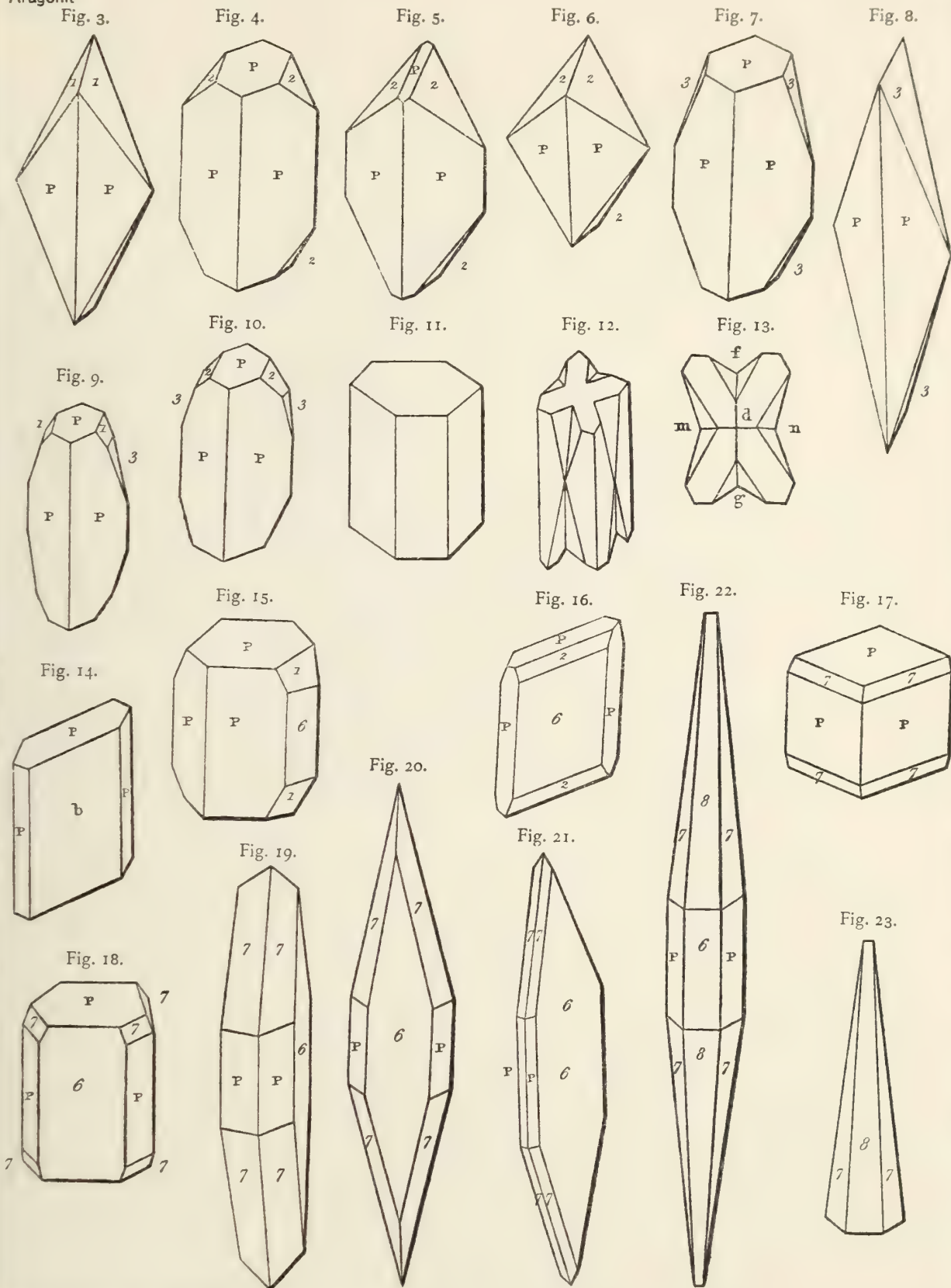


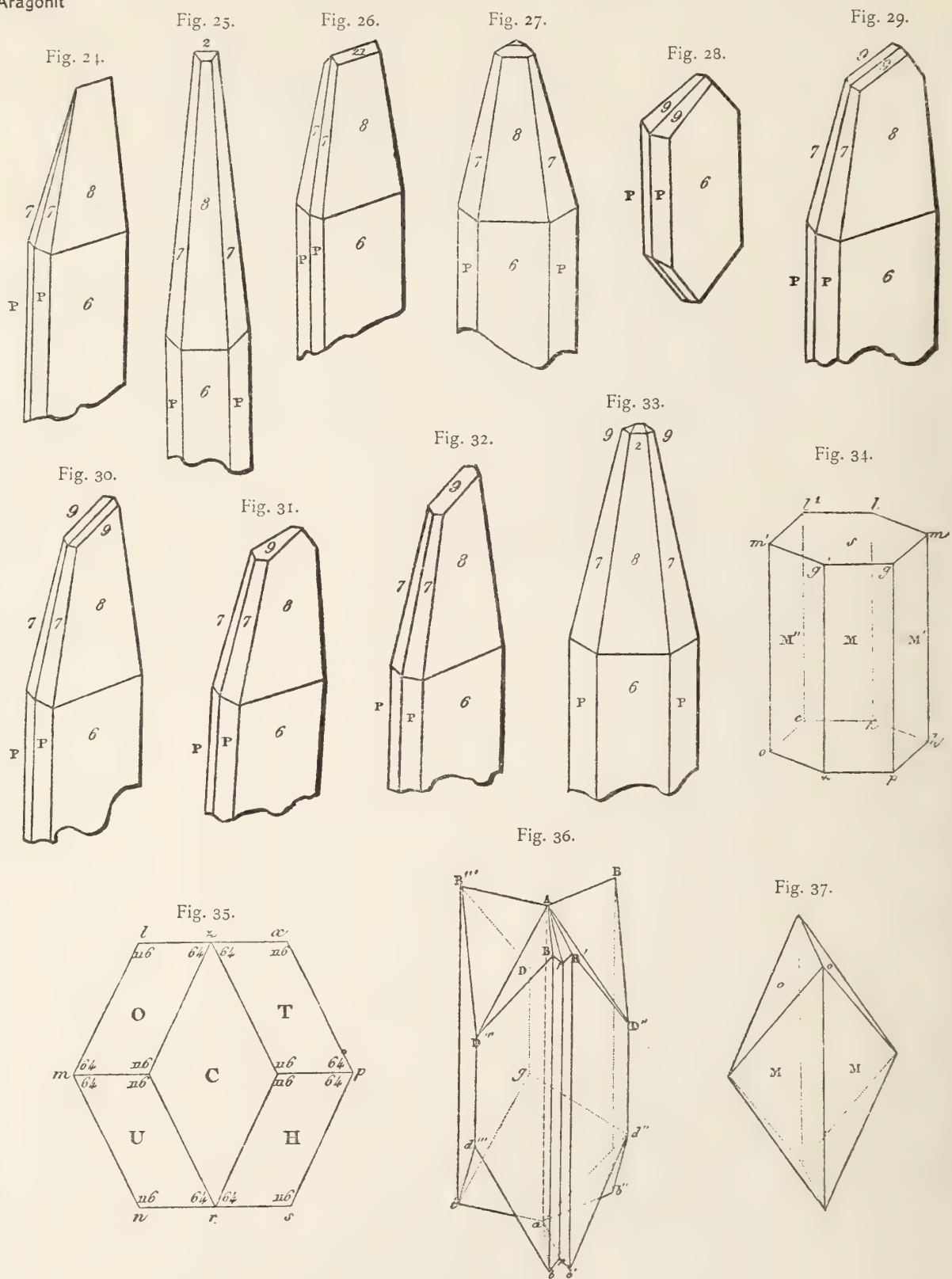
Fig. 106.



Aragonit



Aragonit



Aragonit

Fig. 38.

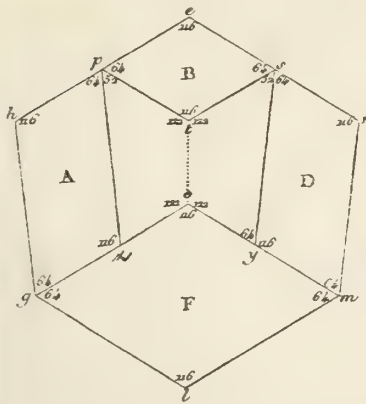


Fig. 39.

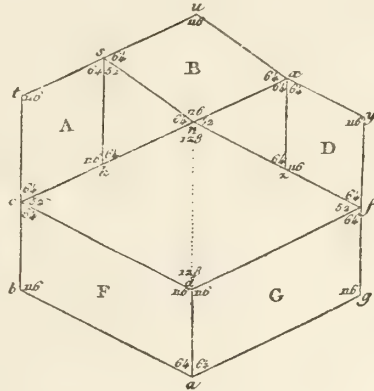


Fig. 40.

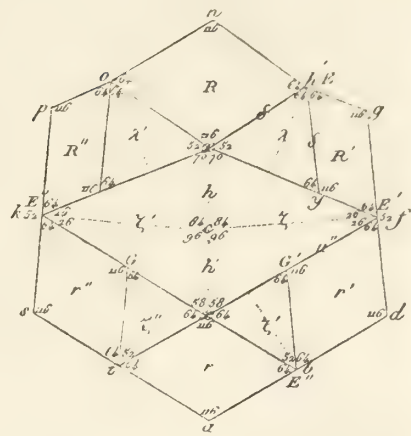


Fig. 41.

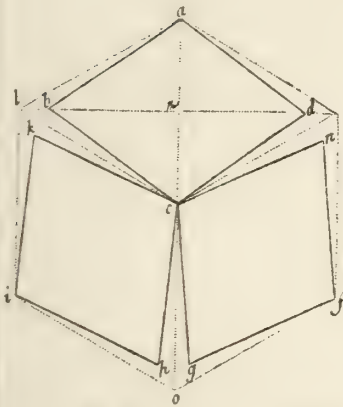


Fig. 42.

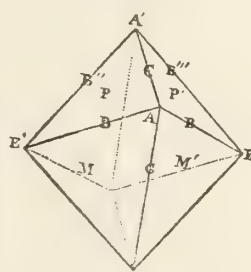


Fig. 43.

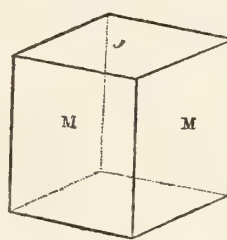


Fig. 44.



Fig. 45.

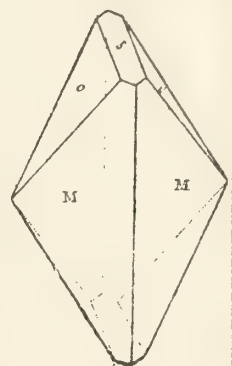


Fig. 46.

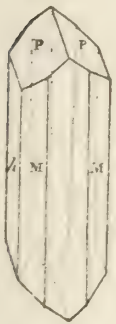


Fig. 47.

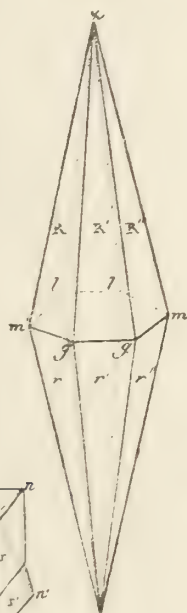


Fig. 48.

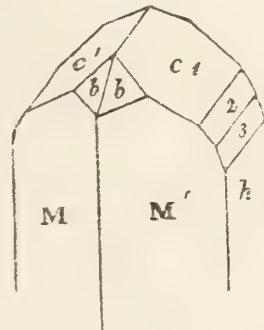


Fig. 49.

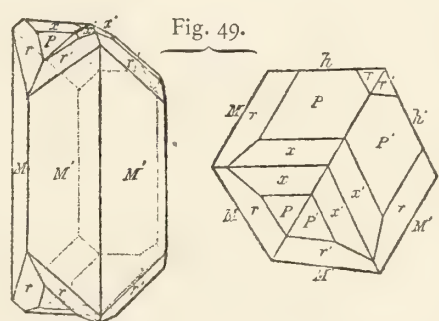


Fig. 52.

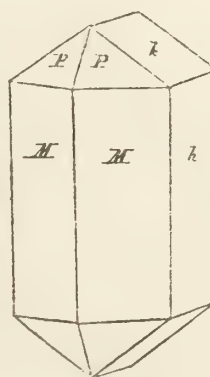


Fig. 53.

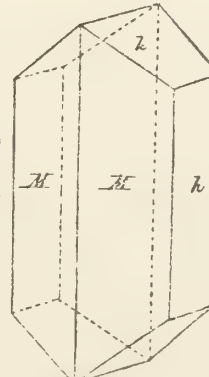


Fig. 54.

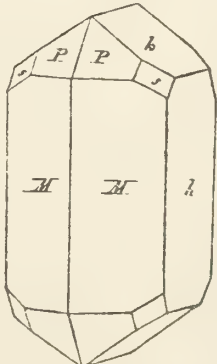


Fig. 50.

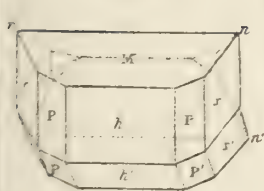
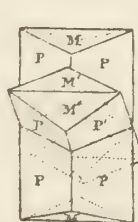


Fig. 51.



Aragonit

Fig. 55.

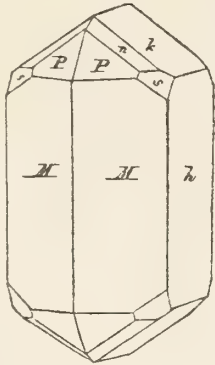


Fig. 56.

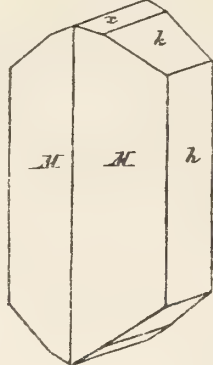


Fig. 57.

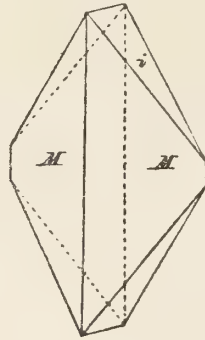


Fig. 58.

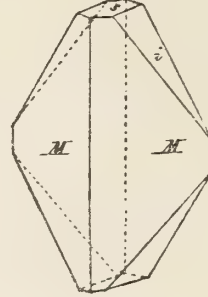


Fig. 59.

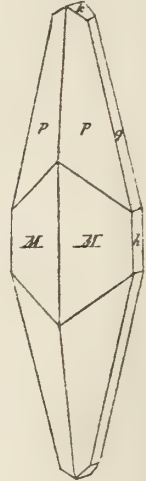


Fig. 60.

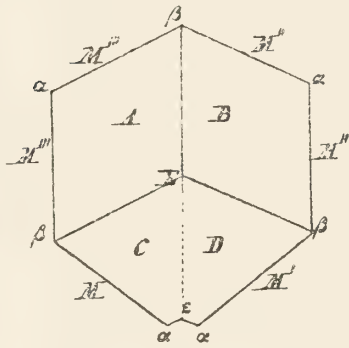


Fig. 61.

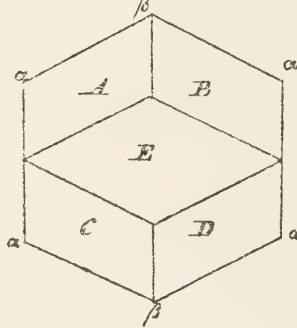


Fig. 62.

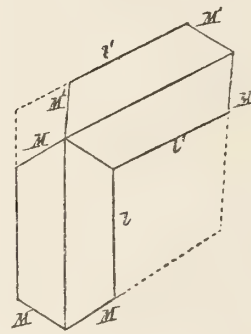


Fig. 63.

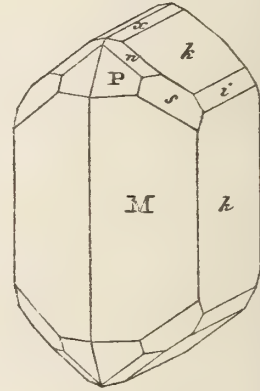


Fig. 64.

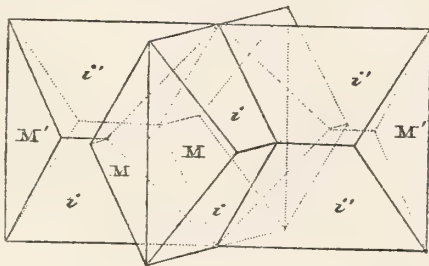


Fig. 65.

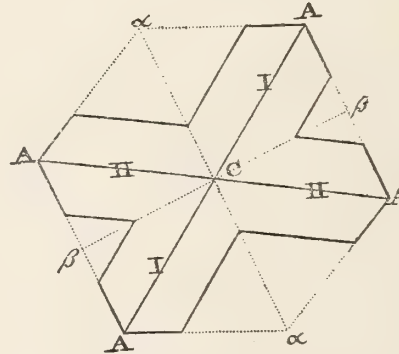


Fig. 66.

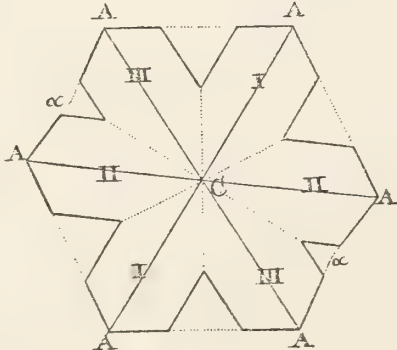


Fig. 67.

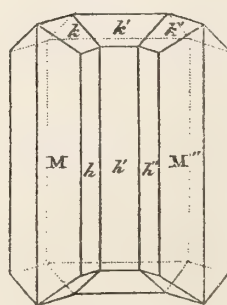
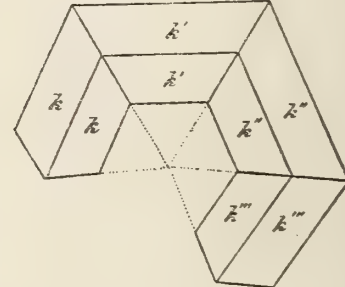


Fig. 68.



Aragonit

Fig. 69.

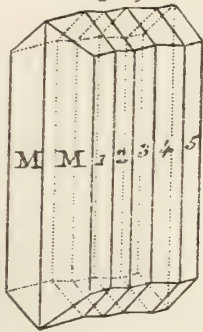


Fig. 70.

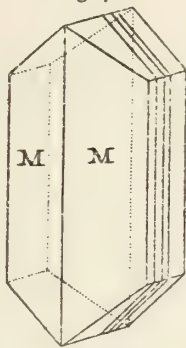


Fig. 71.

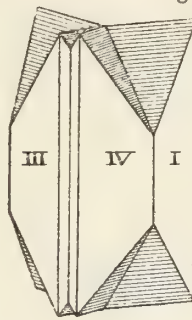


Fig. 72.

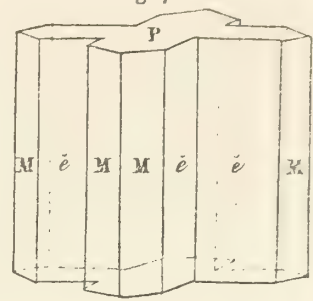


Fig. 73.

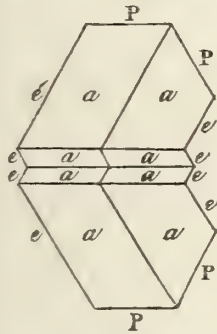


Fig. 74.

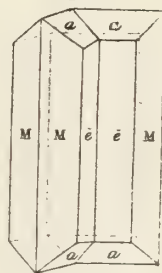


Fig. 75.

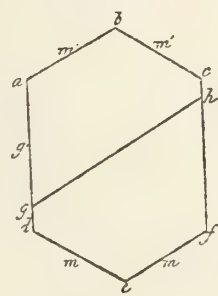


Fig. 76.

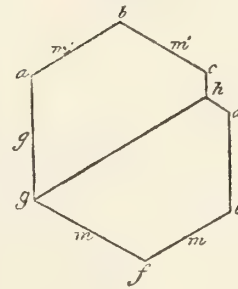


Fig. 77.

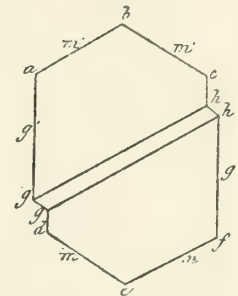


Fig. 78.

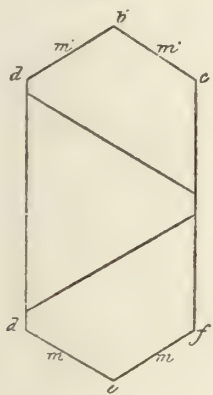


Fig. 79.

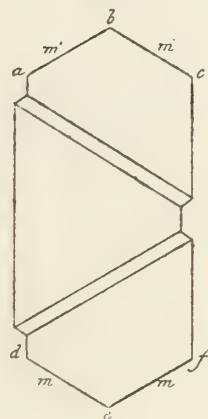


Fig. 80.

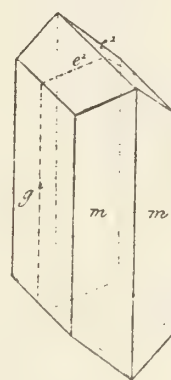


Fig. 81.

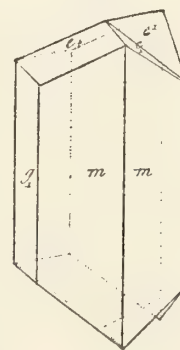


Fig. 82.

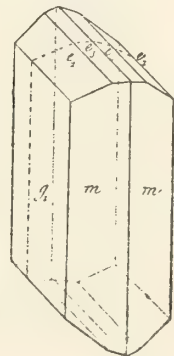


Fig. 83.



Fig. 84.

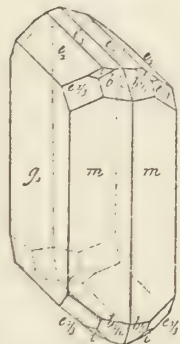


Fig. 85.

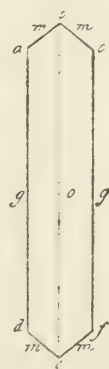


Fig. 86.

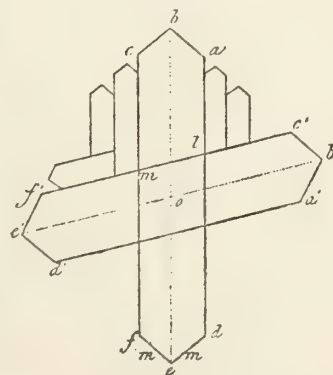
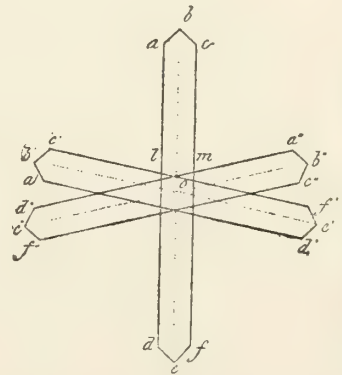


Fig. 87.



Aragonit

Fig. 88.



Fig. 89.



Fig. 90.

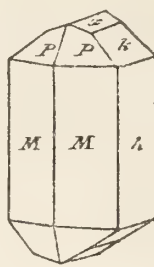


Fig. 91.

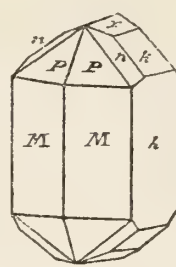


Fig. 92.



Fig. 93.

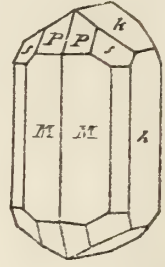


Fig. 94.

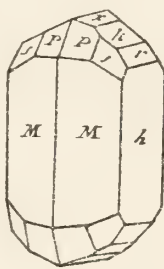


Fig. 95.

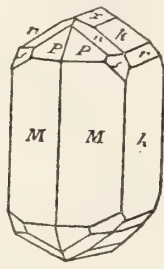


Fig. 96.

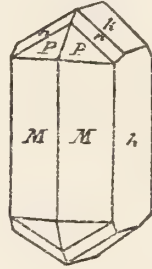


Fig. 97.



Fig. 98.



Fig. 99.

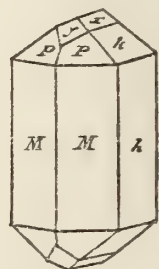


Fig. 100.

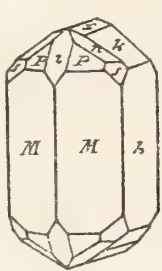


Fig. 101.

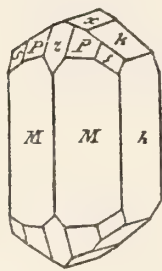


Fig. 102.

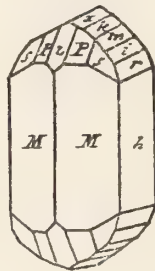


Fig. 103.



Fig. 104.



Fig. 105.

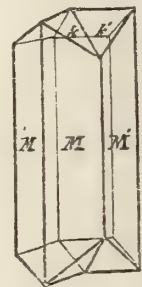


Fig. 106.

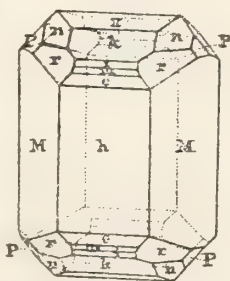


Fig. 107.

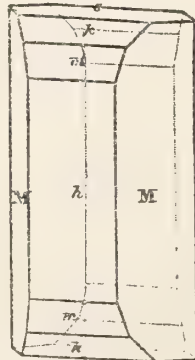


Fig. 108.

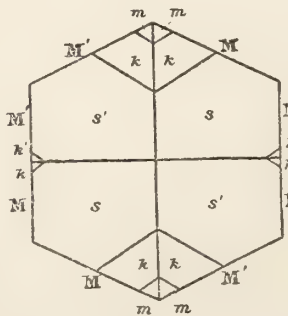


Fig. 109.

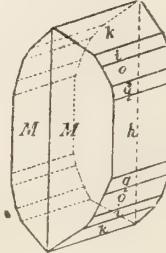
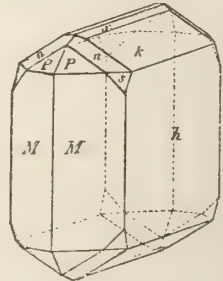


Fig. 110.



Aragonit

Fig. 133.

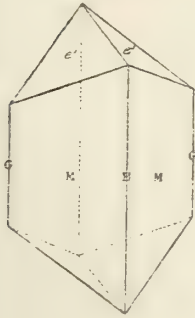


Fig. 134.

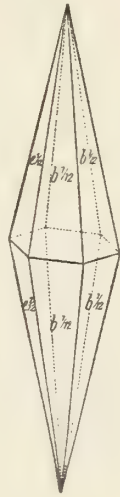


Fig. 136.

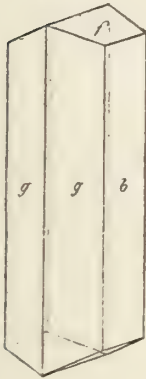


Fig. 137.

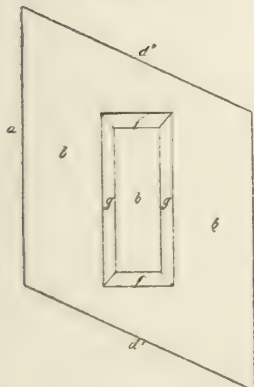


Fig. 135.

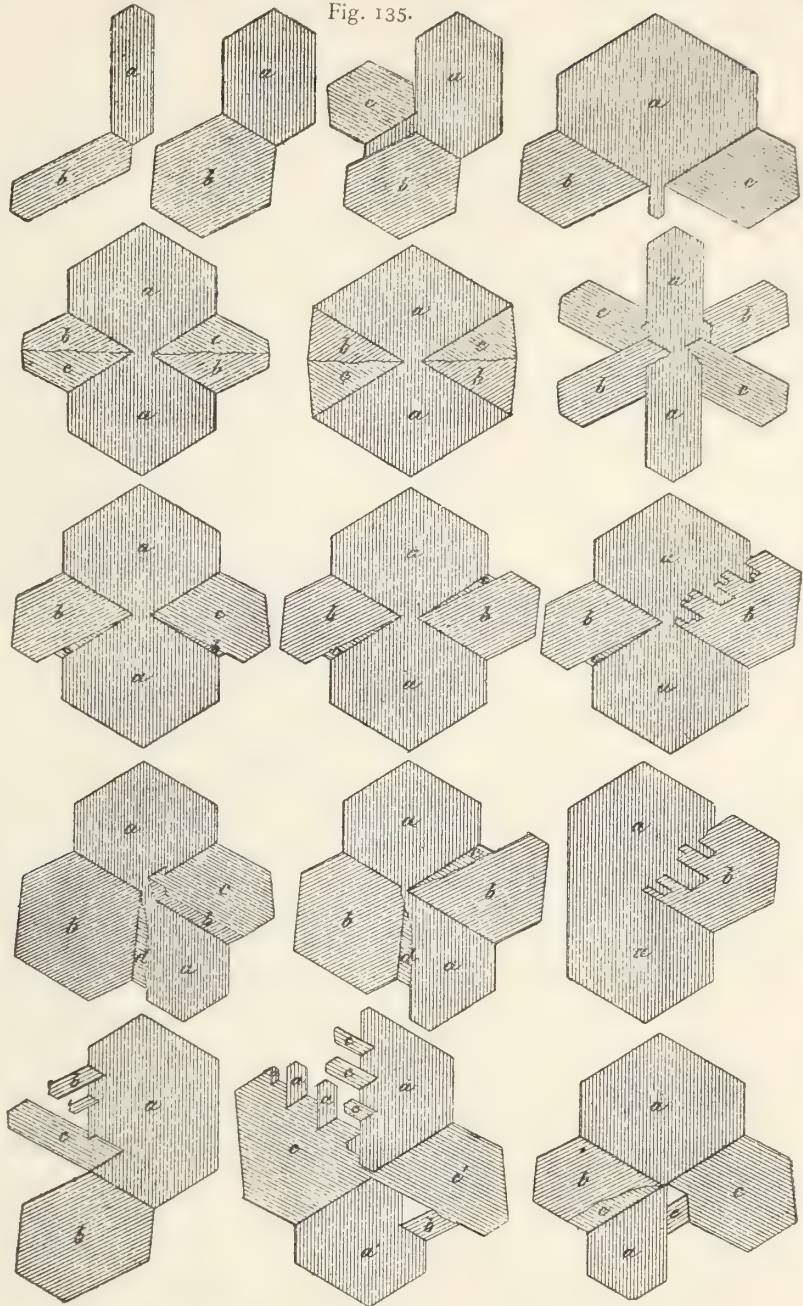
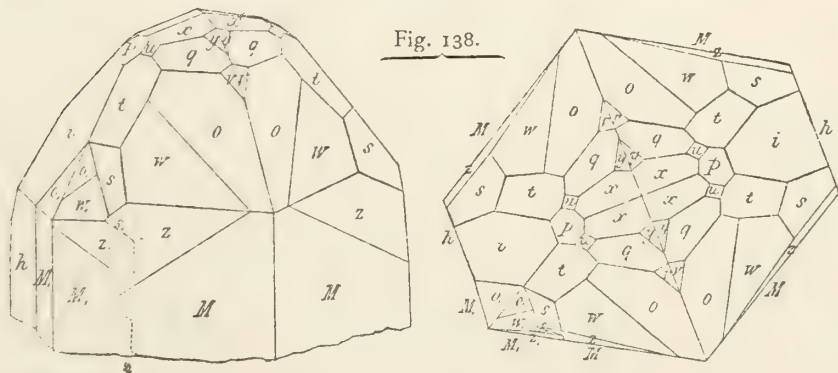


Fig. 138.



Aragonit

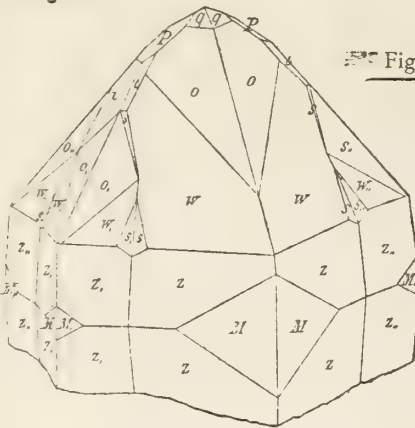


Fig. 139.

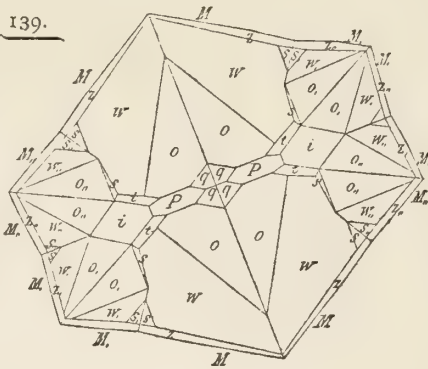


Fig. 140.

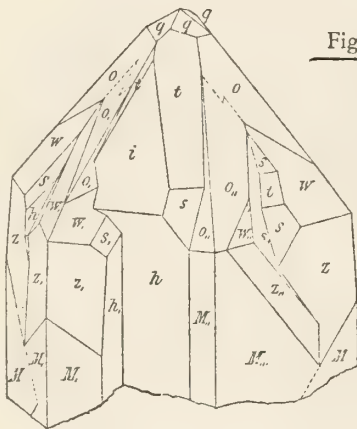


Fig. 141.

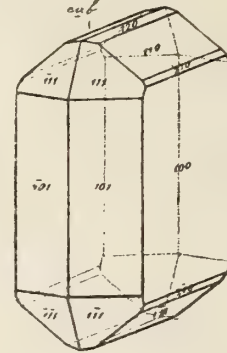


Fig. 142.

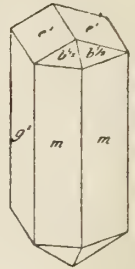


Fig. 143.



Fig. 144.

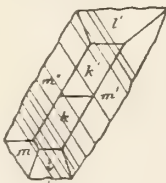


Fig. 145.

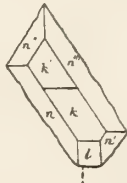


Fig. 146.



Fig. 147.

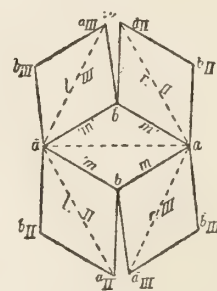


Fig. 148.

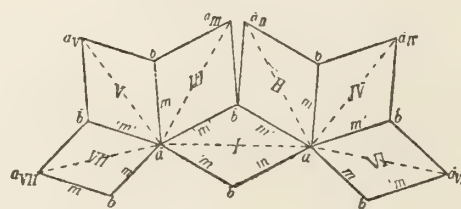
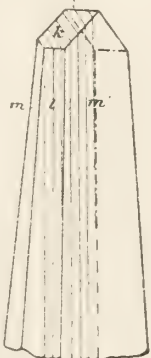
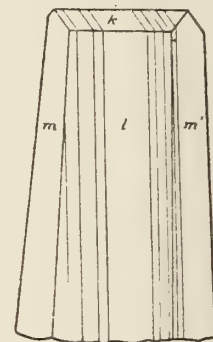


Fig. 149.



Aragonit

Fig. 175.

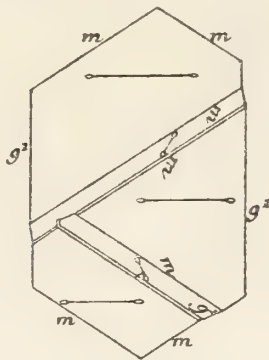


Fig. 176.

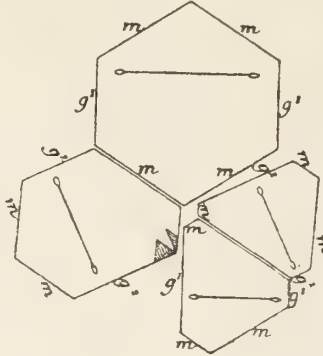


Fig. 177.

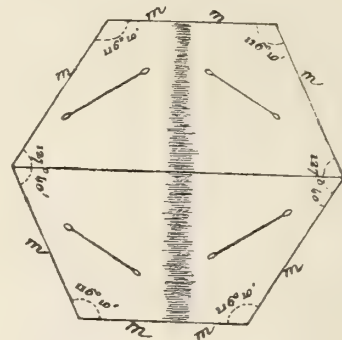


Fig. 178.

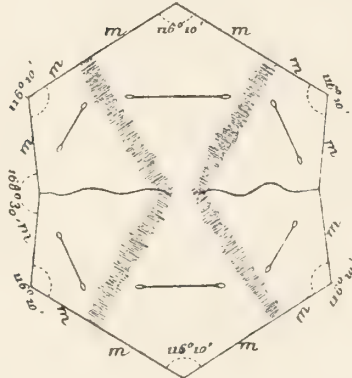


Fig. 179.

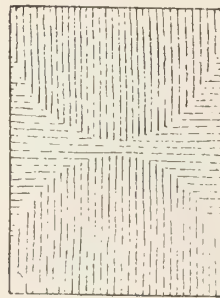


Fig. 180.

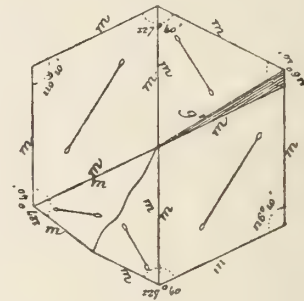


Fig. 181.

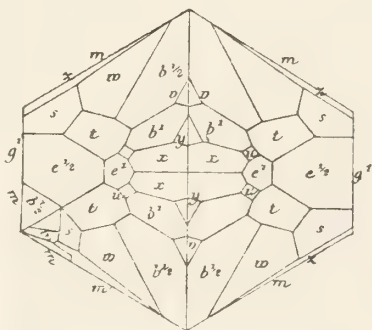


Fig. 182.

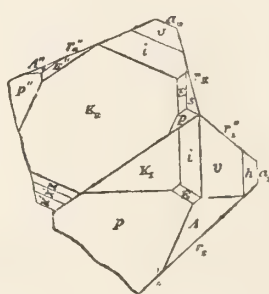


Fig. 183.

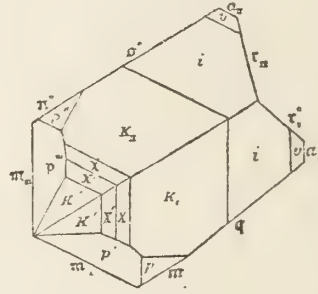


Fig. 184.

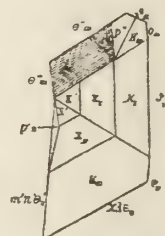


Fig. 186.

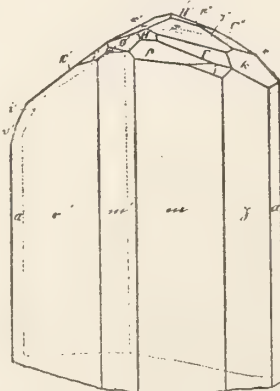


Fig. 187.

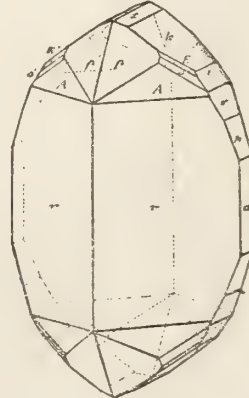


Fig. 188.

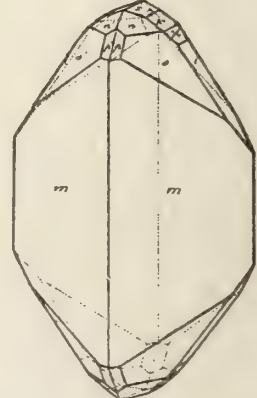
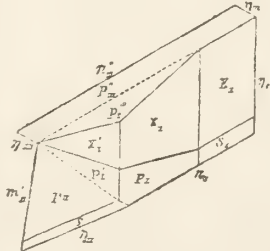


Fig. 185.



Aragonit

Fig. 189.

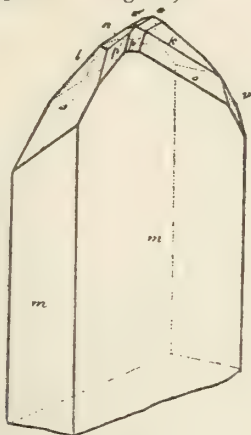


Fig. 190.

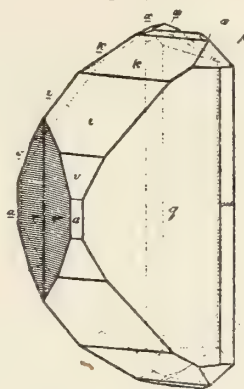


Fig. 191.

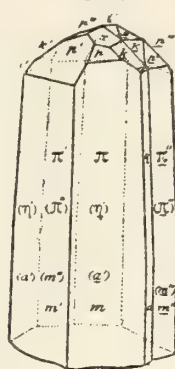


Fig. 192.

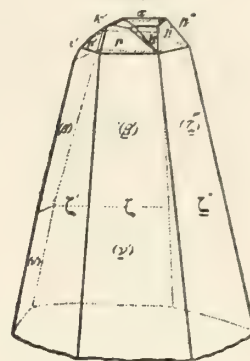


Fig. 193.

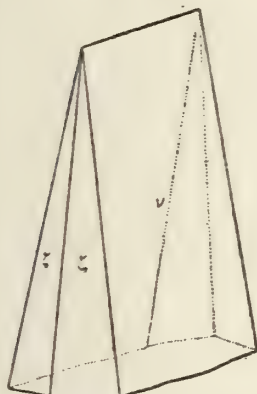


Fig. 194.

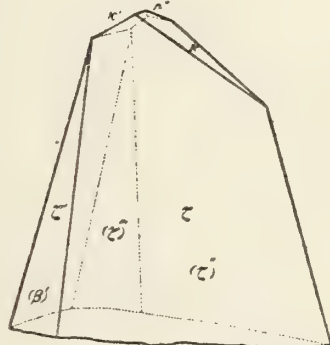


Fig. 195.

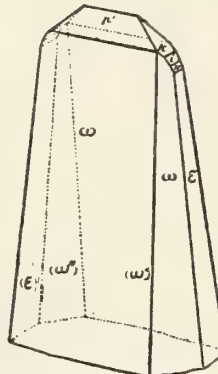


Fig. 196.

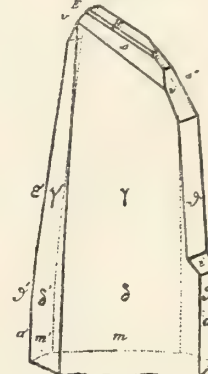


Fig. 197.

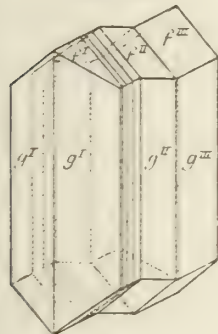


Fig. 198.

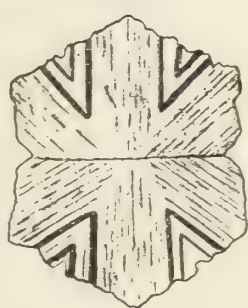


Fig. 199.

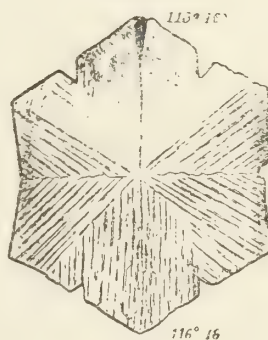


Fig. 200.

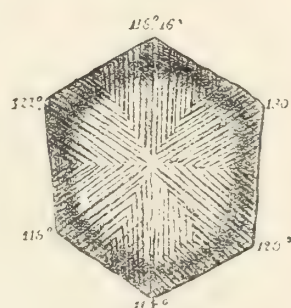


Fig. 201.

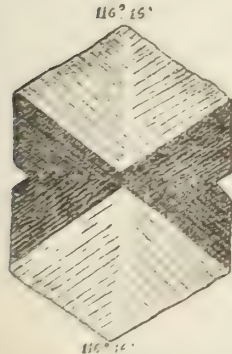


Fig. 202.

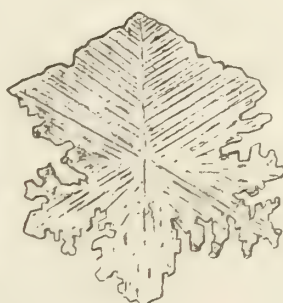


Fig. 203.

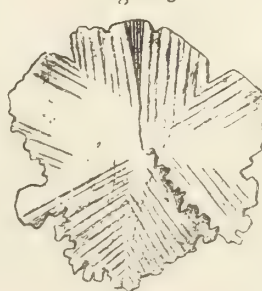
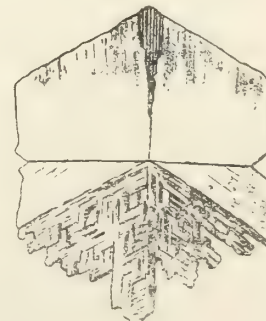


Fig. 204.



Aragonit

Fig. 223.

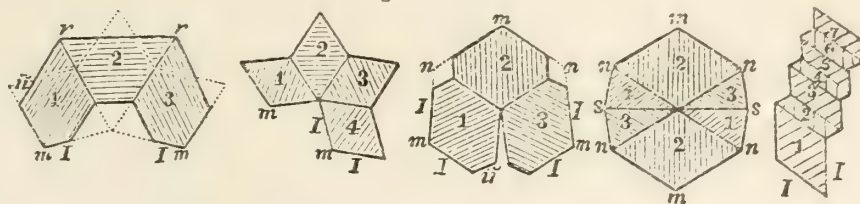


Fig. 224.

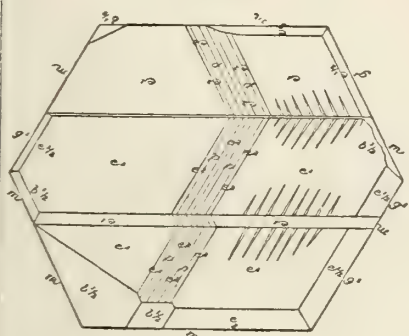


Fig. 225.

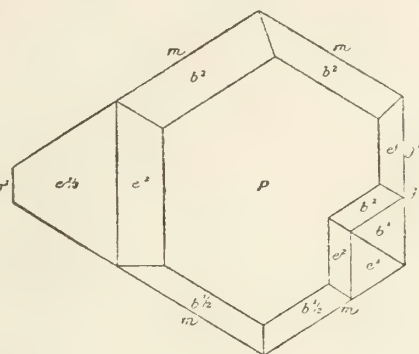


Fig. 226.

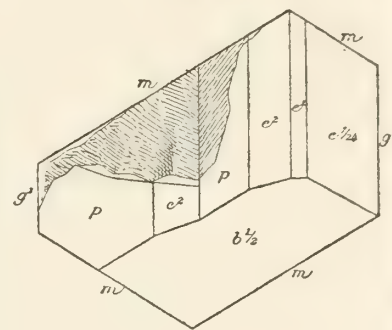


Fig. 227.

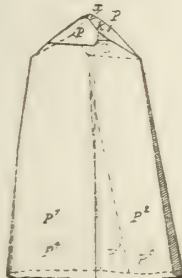


Fig. 228.

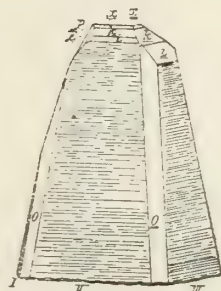


Fig. 229.

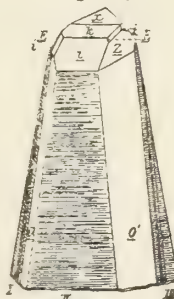


Fig. 230.

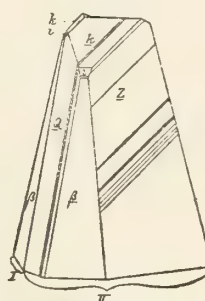


Fig. 231.

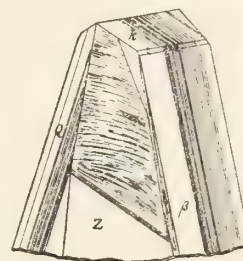


Fig. 232.

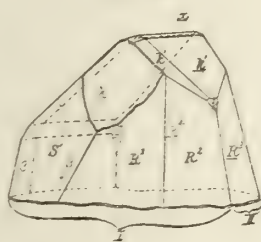


Fig. 233.

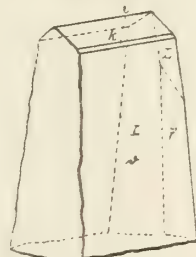


Fig. 234.

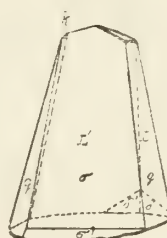


Fig. 235.

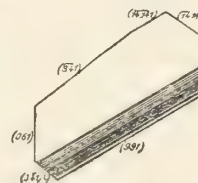


Fig. 236.

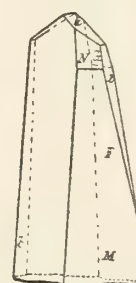


Fig. 237.

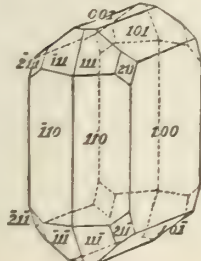


Fig. 238.

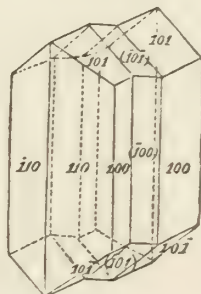


Fig. 239.

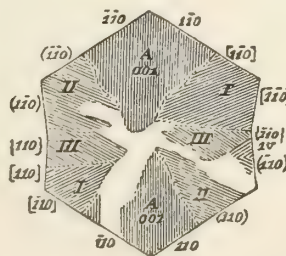
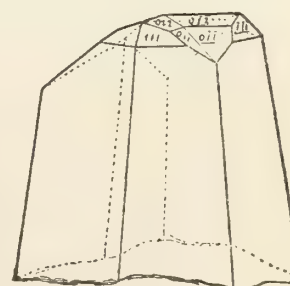


Fig. 240.



Aragonit

Fig. 264.

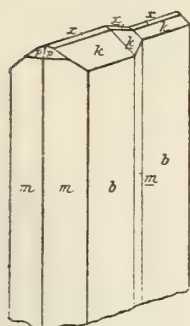


Fig. 265.

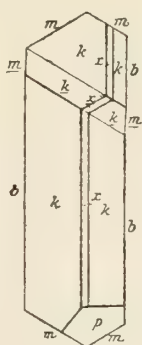


Fig. 266.

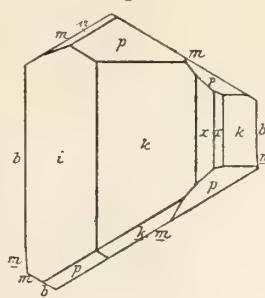


Fig. 267.

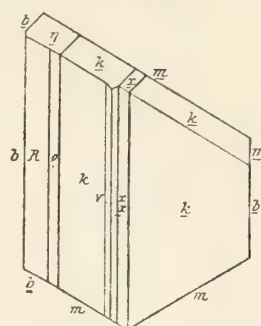


Fig. 268.

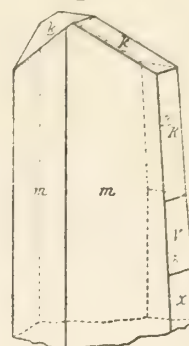


Fig. 269.

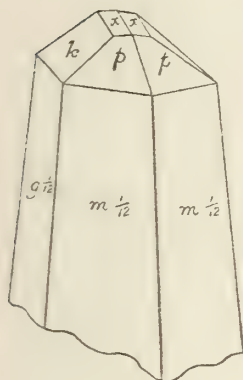


Fig. 270.

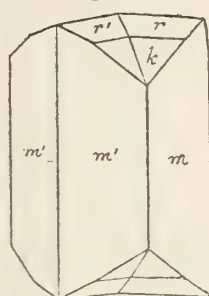


Fig. 271.

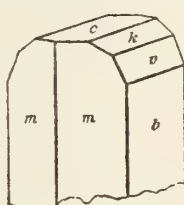


Fig. 272.

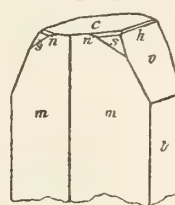


Fig. 273.

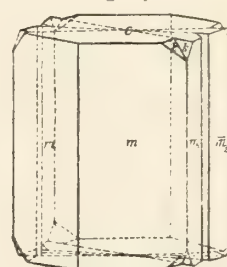


Fig. 274.

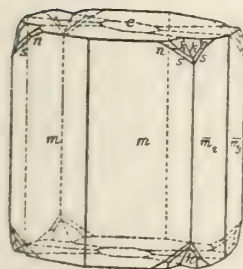


Fig. 275.

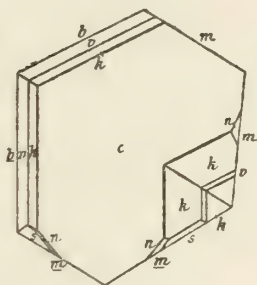


Fig. 276.

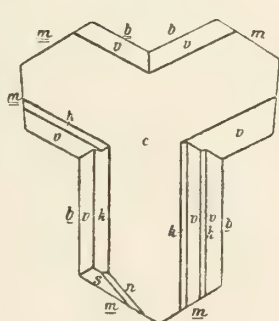


Fig. 277.

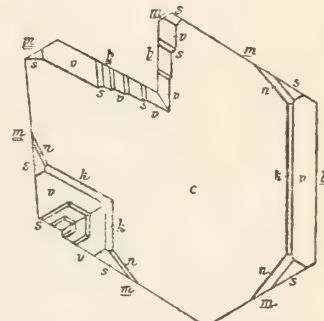


Fig. 278.

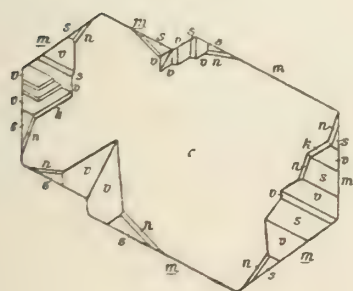


Fig. 279.

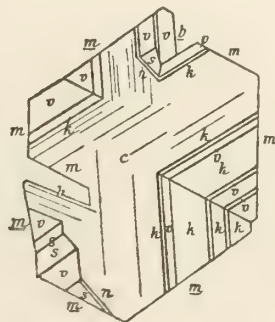
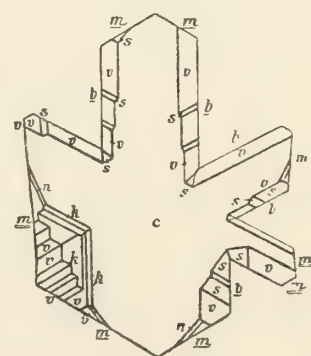


Fig. 280.



Aragonit

Fig. 281.

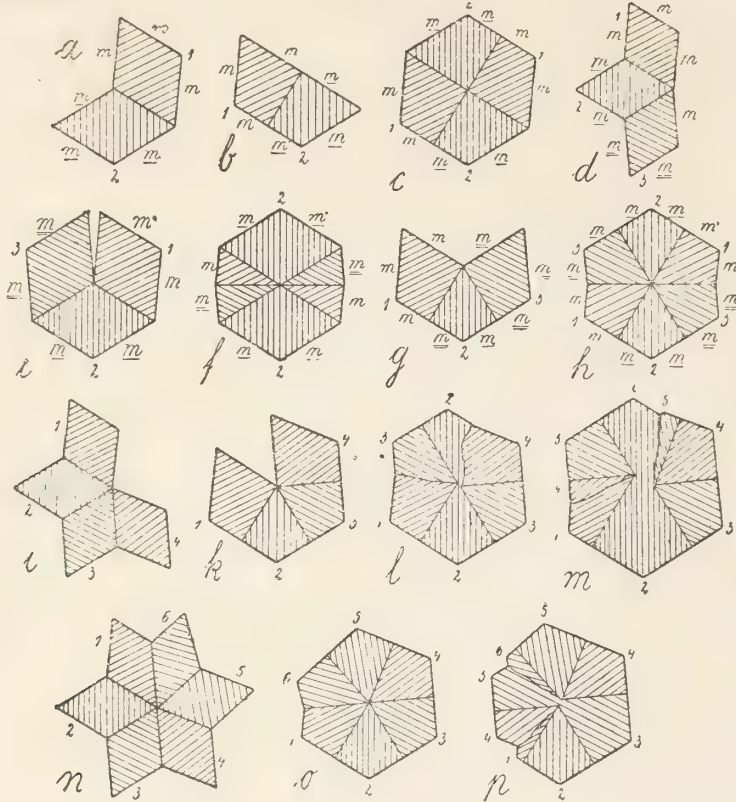


Fig. 282.

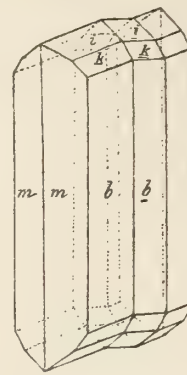


Fig. 283.

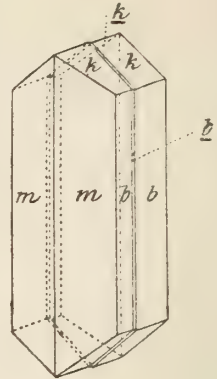


Fig. 284.



Fig. 285.

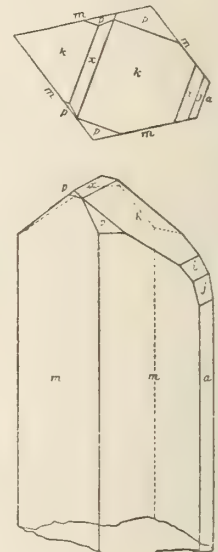


Fig. 287.

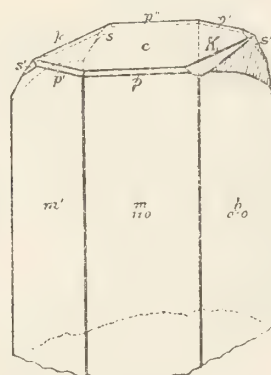


Fig. 288.

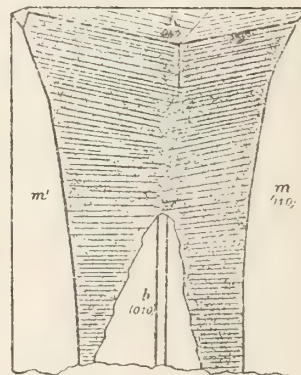


Fig. 286.

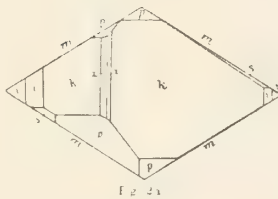


Fig. 289.

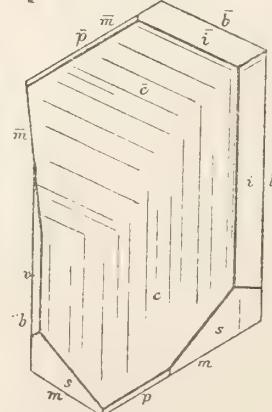


Fig. 290.

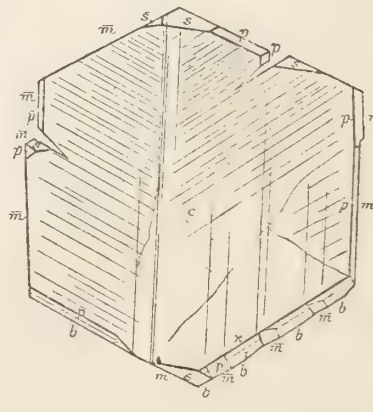
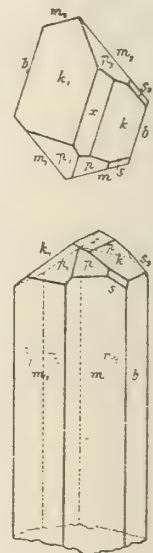


Fig. 291.



Aragonit

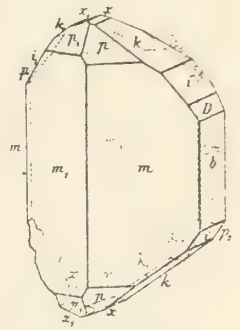
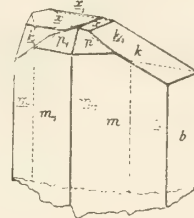
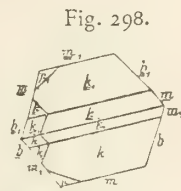
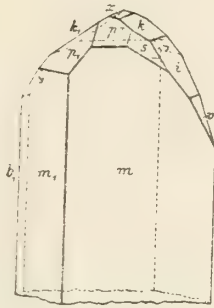
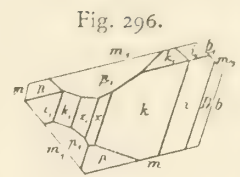
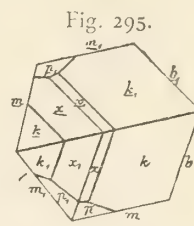
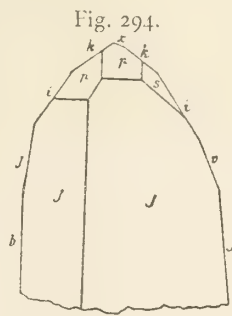
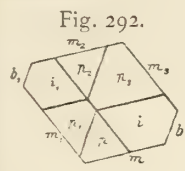


Fig. 297.

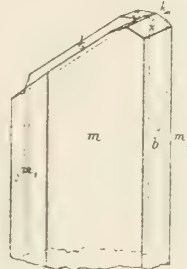
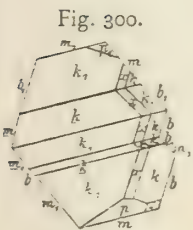
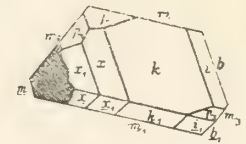
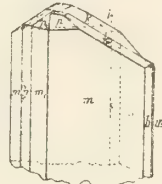
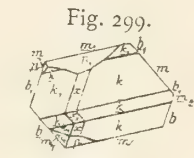
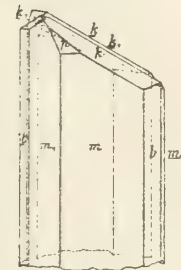
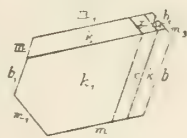


Fig. 301.

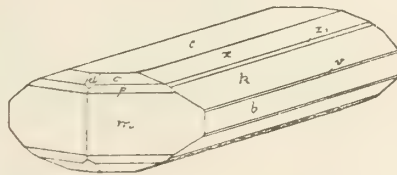
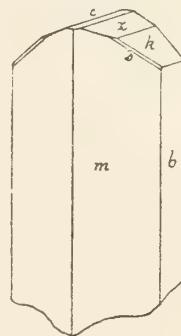


Fig. 302.



Ardennit

Fig. 1.

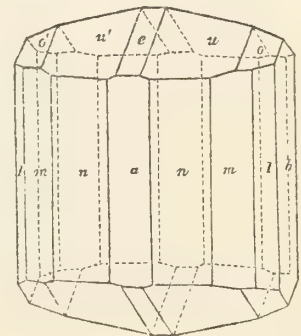
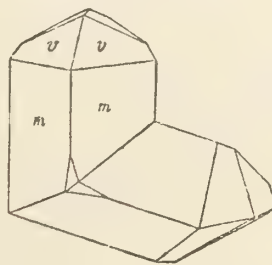


Fig. 2.



Argyrodit

Fig. 1.

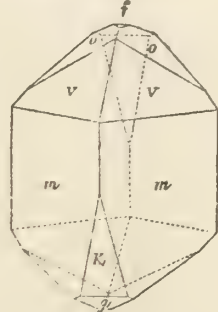
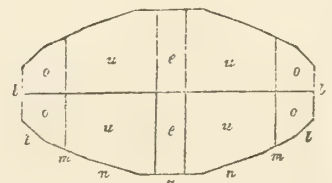
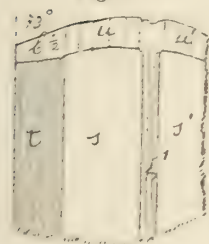


Fig. 2.



Argyrodit

Fig. 3.

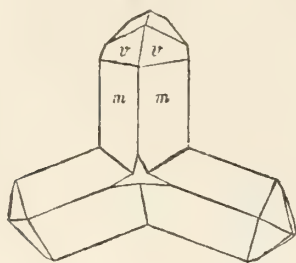


Fig. 4.

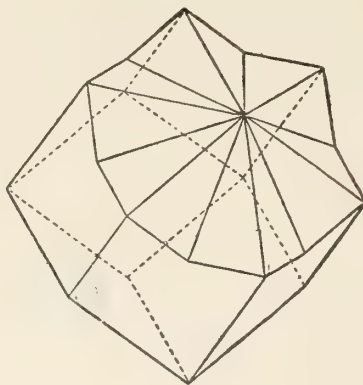


Fig. 5.

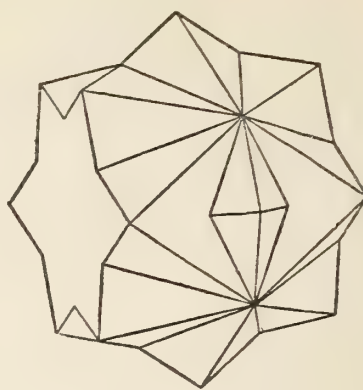


Fig. 6.

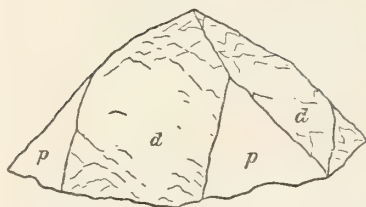


Fig. 7.

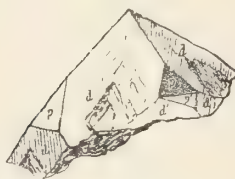
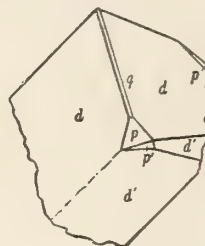


Fig. 8.



Arsen

Fig. 1.

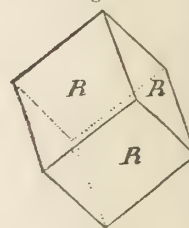


Fig. 2.

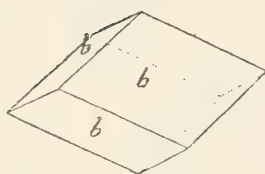


Fig. 3.

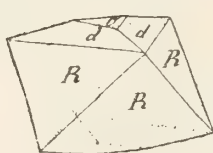


Fig. 4.

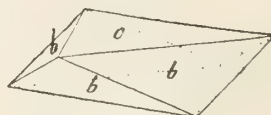


Fig. 5.

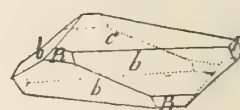


Fig. 6.

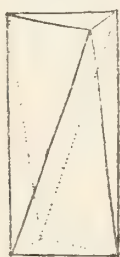


Fig. 7.

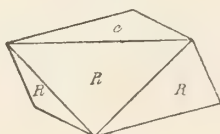


Fig. 8.

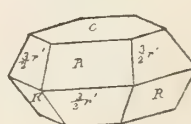
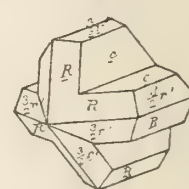


Fig. 9.



Arsenit

Fig. 1.

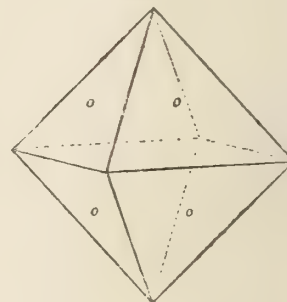


Fig. 11.

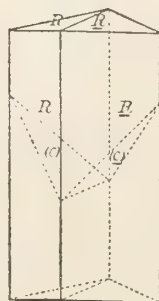


Fig. 12.

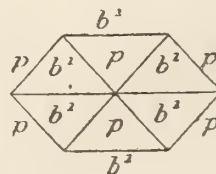
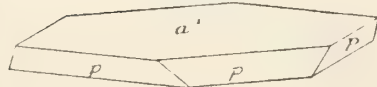


Fig. 10.



Arsenit

Fig. 2.

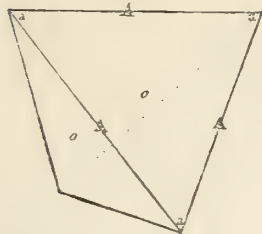


Fig. 3.

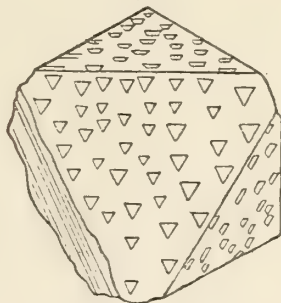
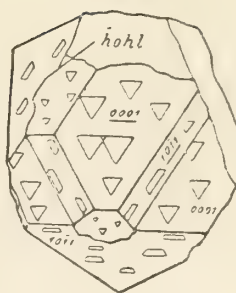


Fig. 4.



Arsen kies

Fig. 1.

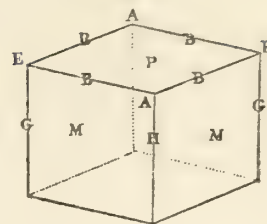


Fig. 2.

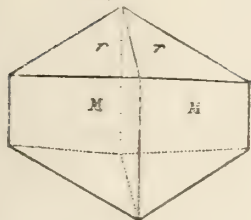


Fig. 3.

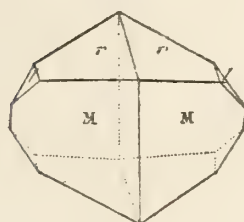


Fig. 4.

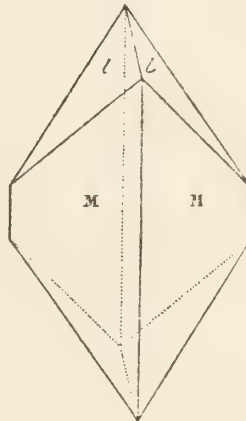


Fig. 5.

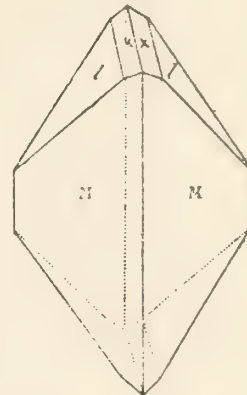


Fig. 6.

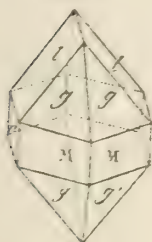


Fig. 7.



Fig. 8.

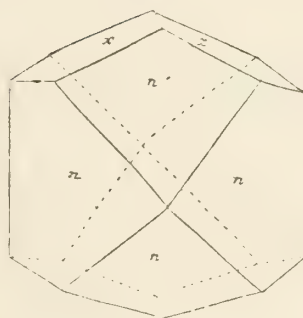


Fig. 9.

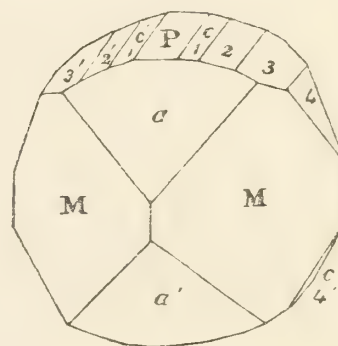


Fig. 10.

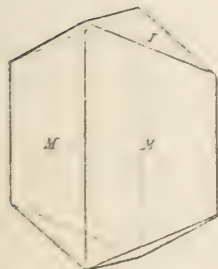


Fig. 11.

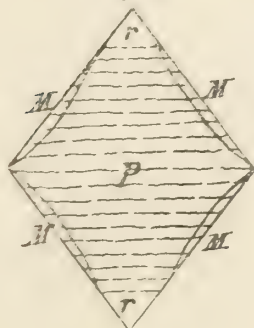


Fig. 12.

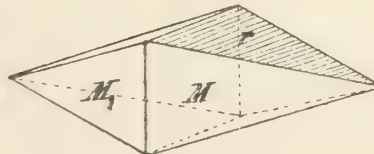
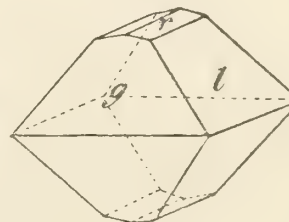
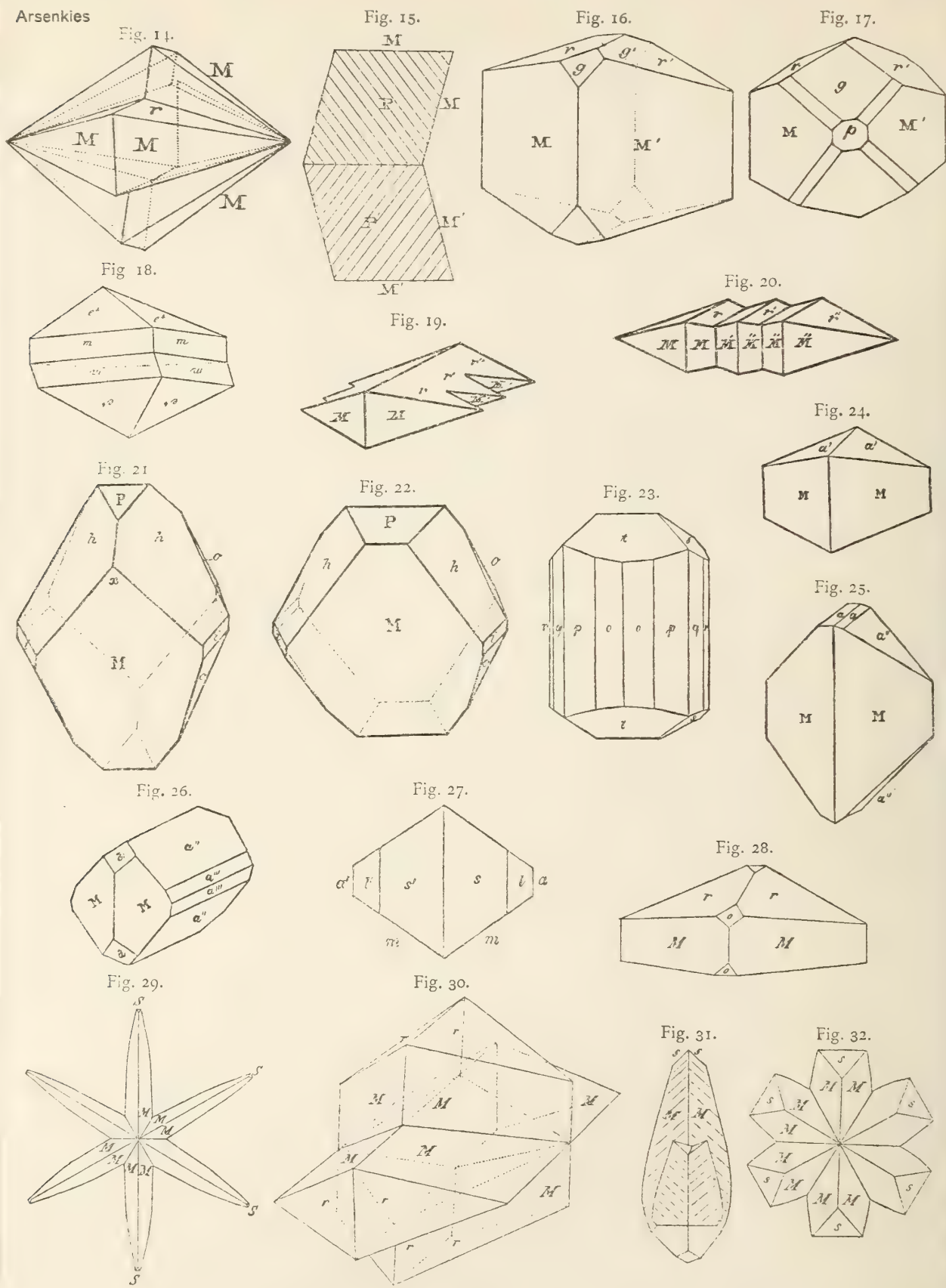


Fig. 13.



Arsenikies



Arsenikies

Fig. 33.



Fig. 34.

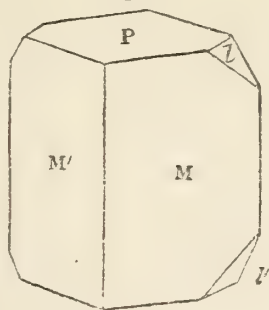


Fig. 35.

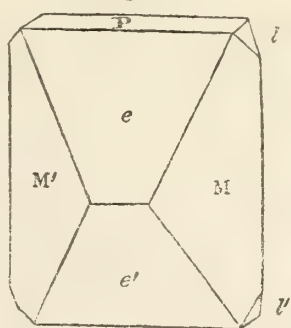


Fig. 36.

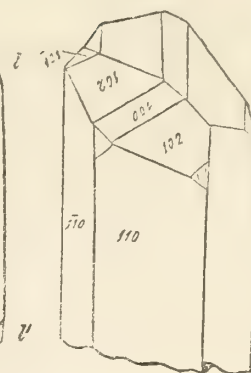


Fig. 37.

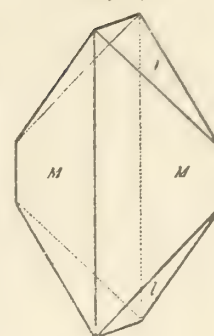


Fig. 38.

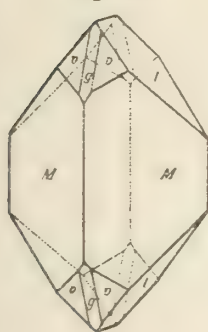


Fig. 39.

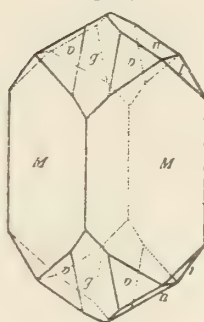


Fig. 40.

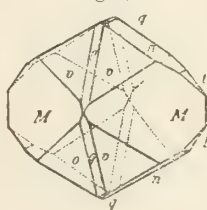


Fig. 41.

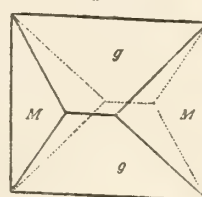


Fig. 42.

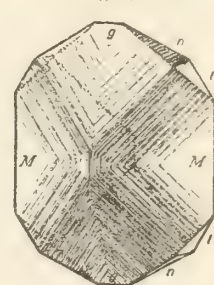


Fig. 43.

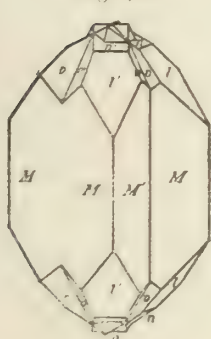


Fig. 44.

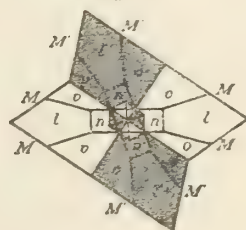


Fig. 45.

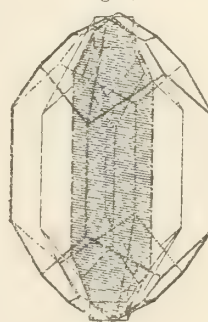


Fig. 46.

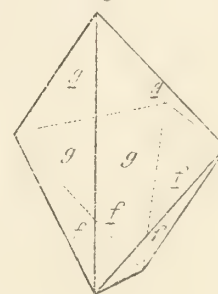


Fig. 47.

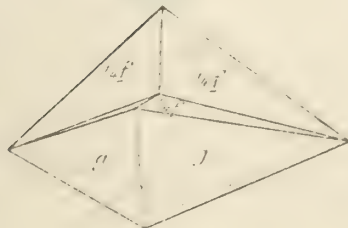


Fig. 48.

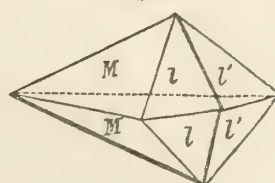
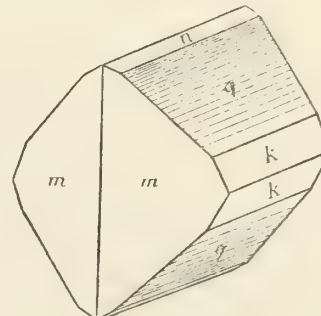


Fig. 49.



Arsenikies

Fig. 50.

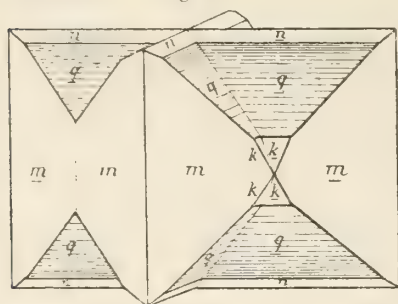


Fig. 51.

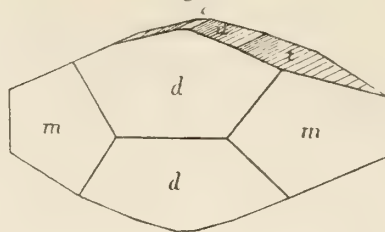


Fig. 52.

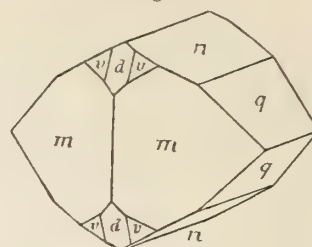


Fig. 53.

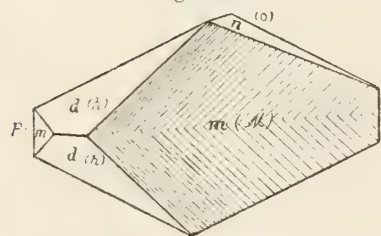


Fig. 54.

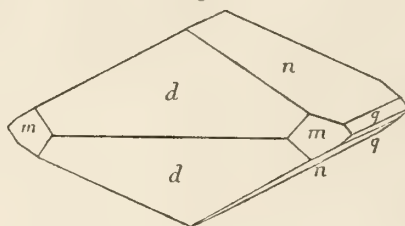


Fig. 55.

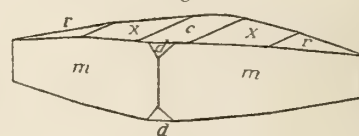


Fig. 58.

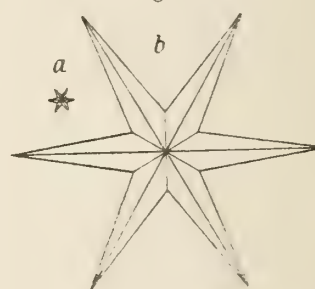


Fig. 56.

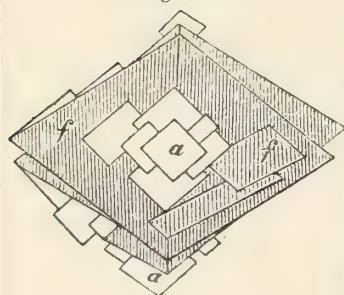


Fig. 60.

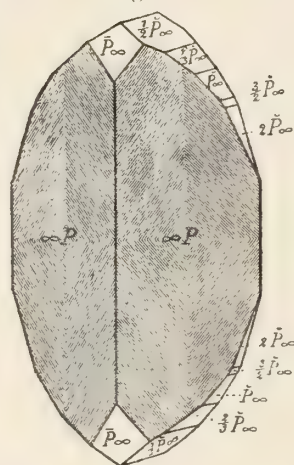


Fig. 61.

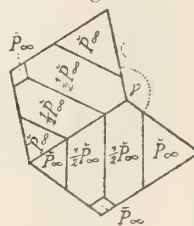


Fig. 62.

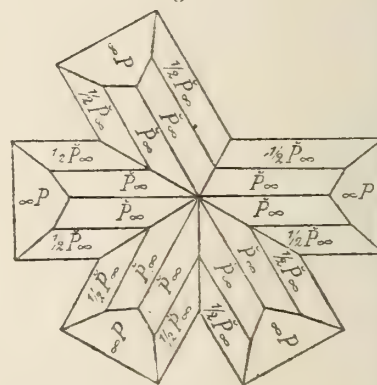


Fig. 59.

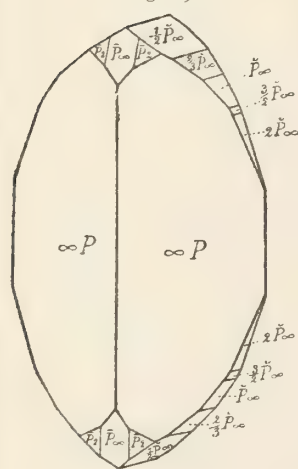


Fig. 63.

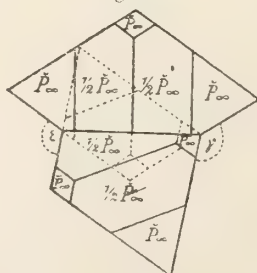


Fig. 64.

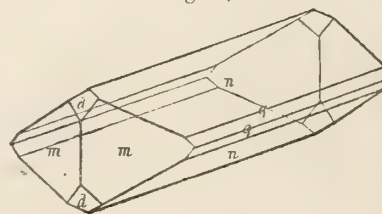
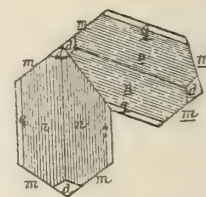


Fig. 65.



Arsenikies

Fig. 66.

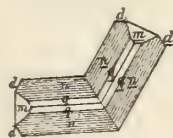


Fig. 67.

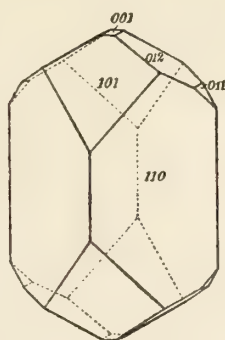


Fig. 68.

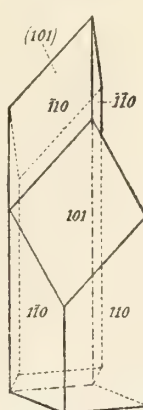


Fig. 69.

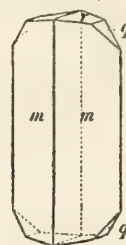


Fig. 70.

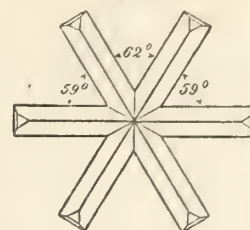


Fig. 71.

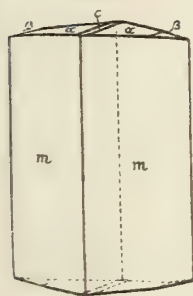


Fig. 72.

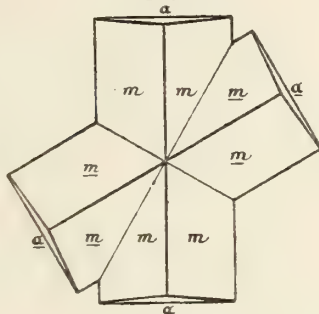


Fig. 73.

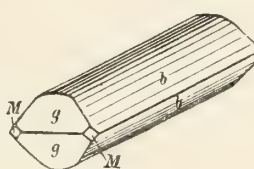


Fig. 74.

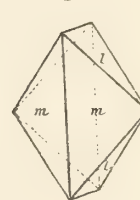


Fig. 77.

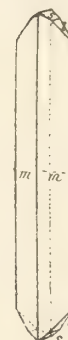


Fig. 75.

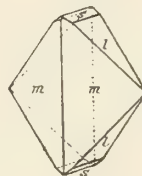


Fig. 76.

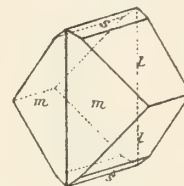


Fig. 78.



Fig. 79.

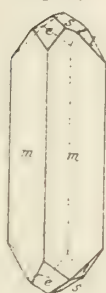


Fig. 80.

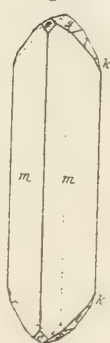


Fig. 81.

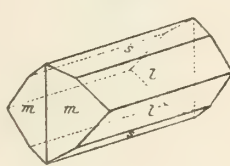


Fig. 82.

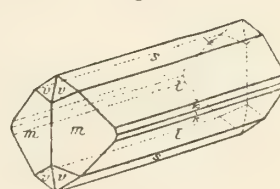


Fig. 83.

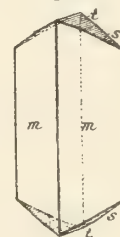


Fig. 84.

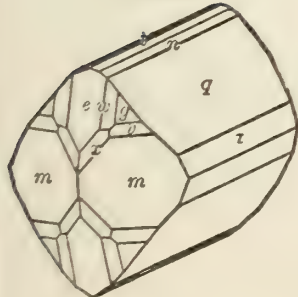


Fig. 85.

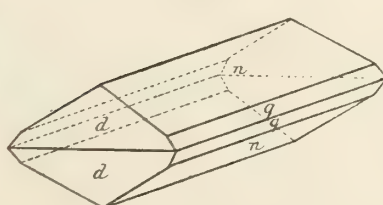


Fig. 86.

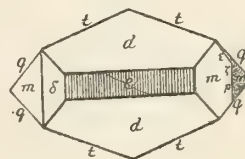
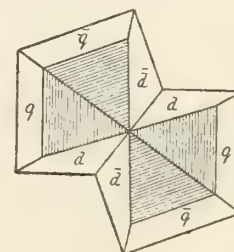


Fig. 87.



Arsenikies

Fig. 88.

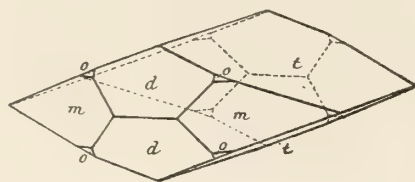


Fig. 89.

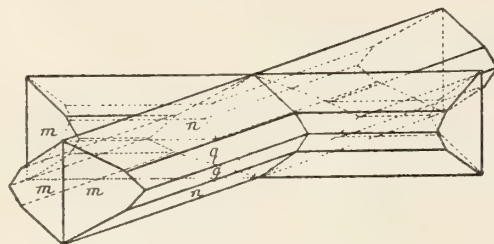


Fig. 90.

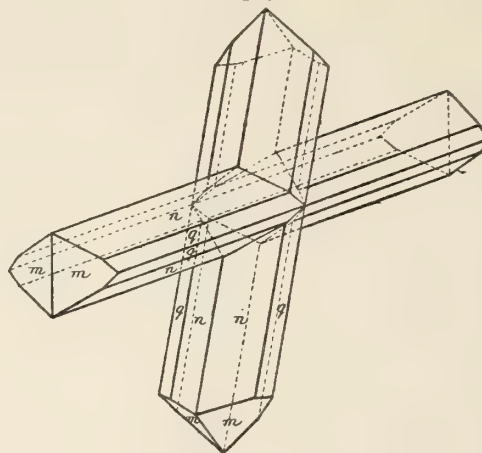


Fig. 91.

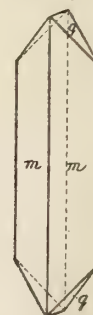


Fig. 92.

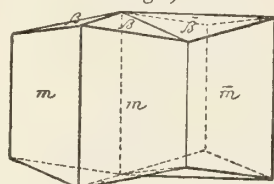


Fig. 93.

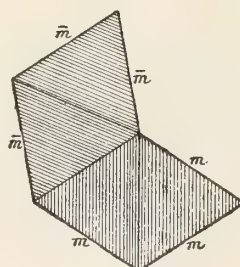


Fig. 94.

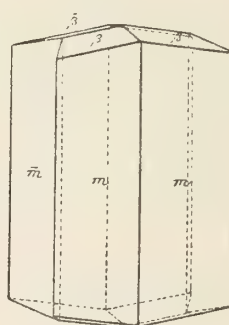


Fig. 95.

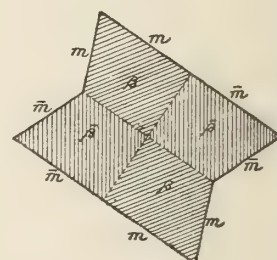


Fig. 96.

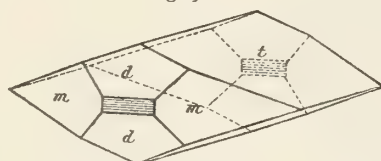


Fig. 97.

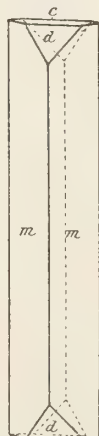


Fig. 98.

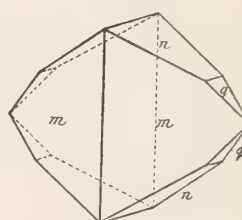


Fig. 99.

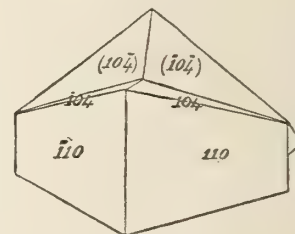


Fig. 100.

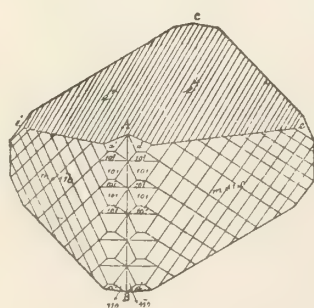


Fig. 101.

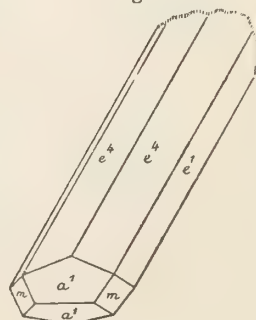
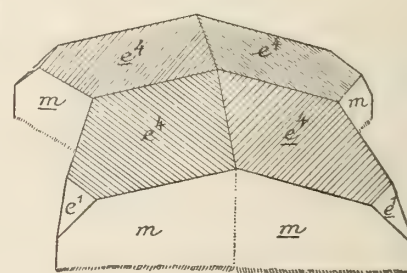


Fig. 102.



Arsenikies

Fig. 103.

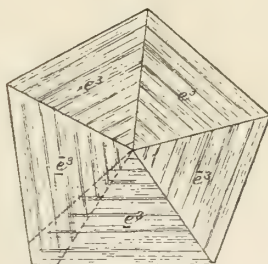


Fig. 104.

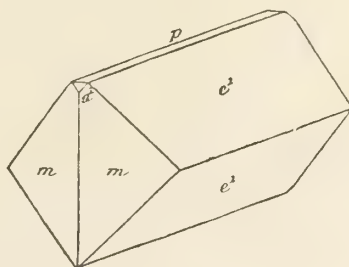


Fig. 105.

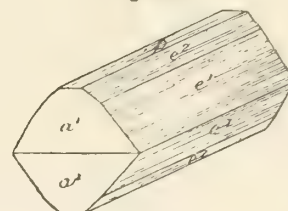


Fig. 106.

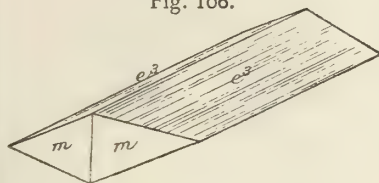


Fig. 107.

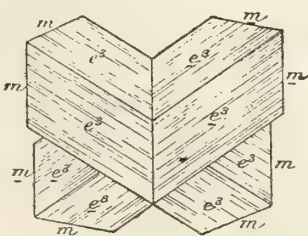


Fig. 108.

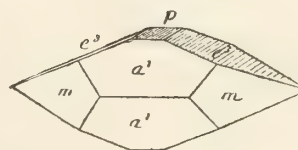


Fig. 109.

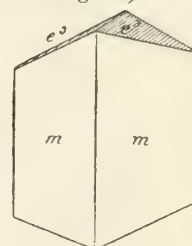


Fig. 110.

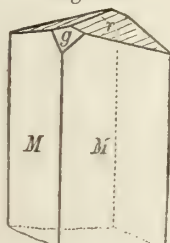


Fig. III.

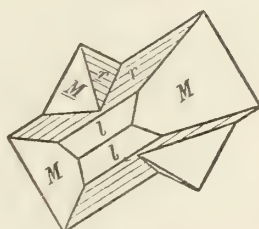


Fig. 112.

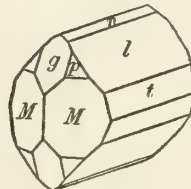


Fig. 113.

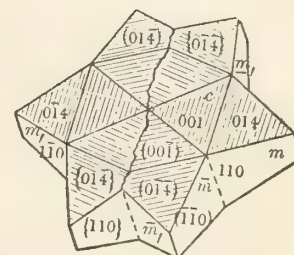


Fig. 114.

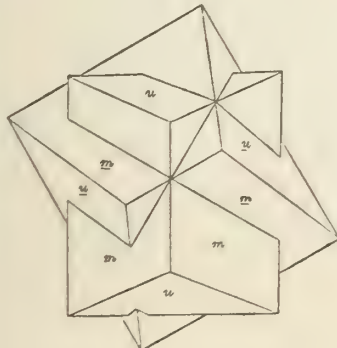


Fig. 115.

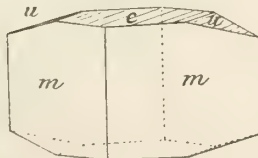
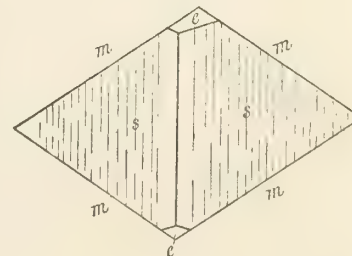


Fig. 116.



Fig. 117.



Arsenikies

Fig. 118.

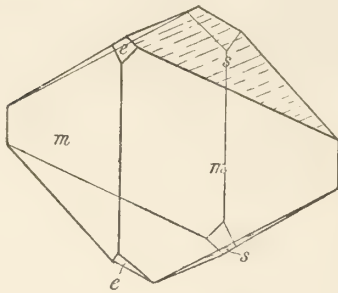


Fig. 119.

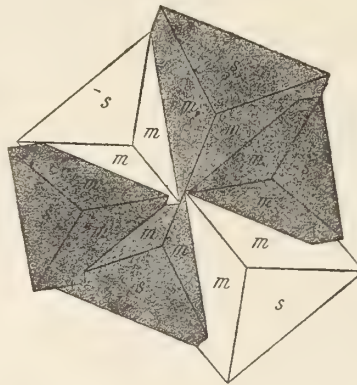


Fig. 120.

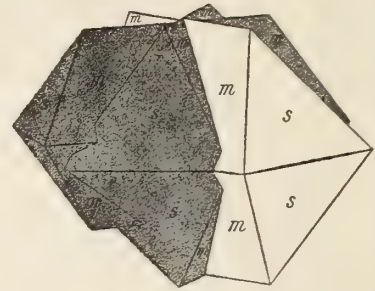


Fig. 121.

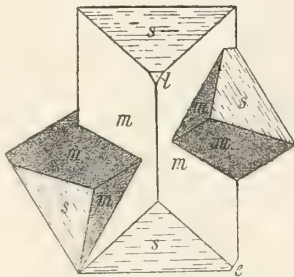


Fig. 122.

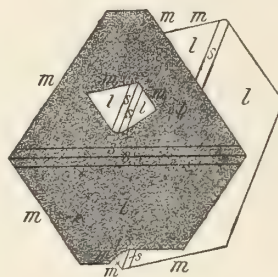


Fig. 123.

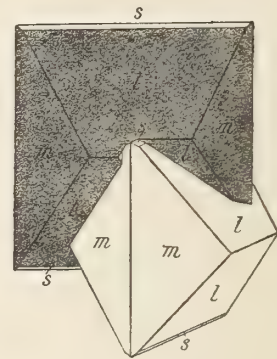
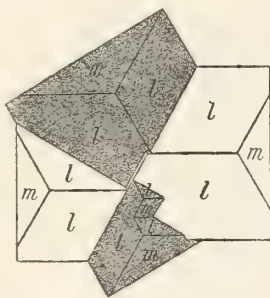


Fig. 124.



Astrophyllit

Fig. 1.

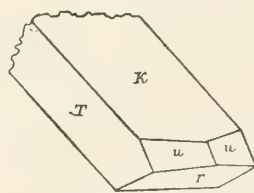


Fig. 2.

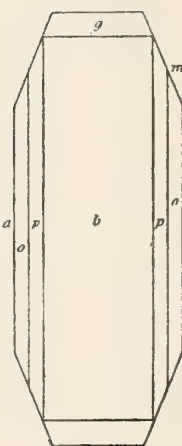


Fig. 3.

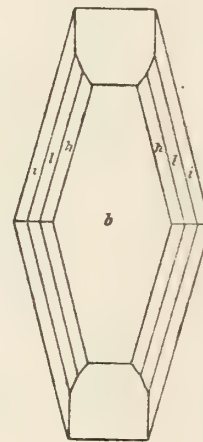


Fig. 4.

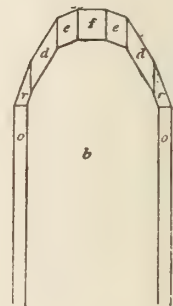


Fig. 5.

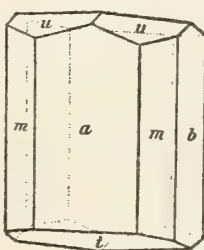


Fig. 6.

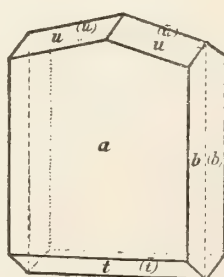


Fig. 7.

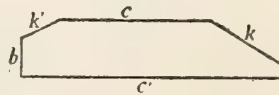
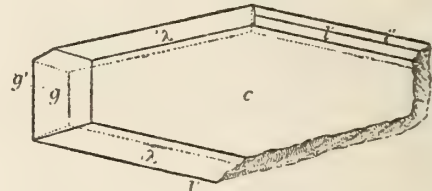


Fig. 8.



Astrophyllit

Fig. 9.

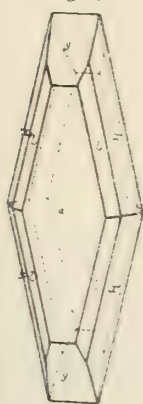


Fig. 10.

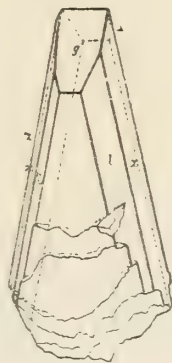


Fig. 11.

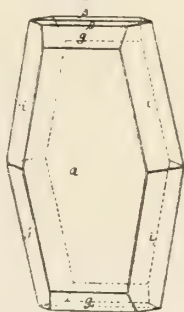


Fig. 12.

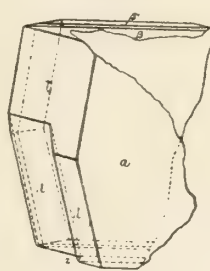


Fig. 13.

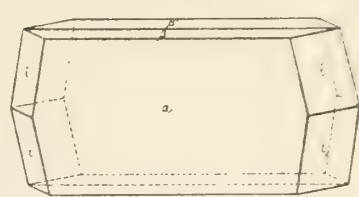


Fig. 17.

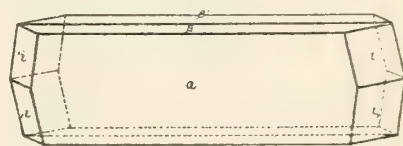


Fig. 16.

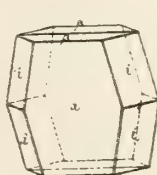


Fig. 18.



Fig. 14.

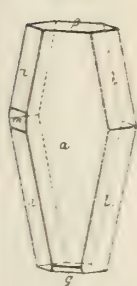


Fig. 15.

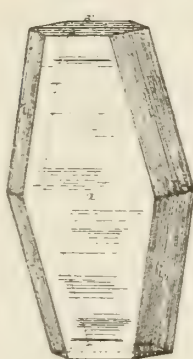


Fig. 19.

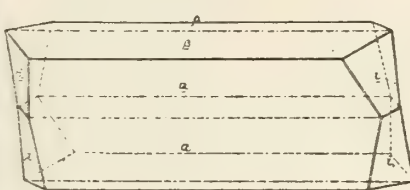
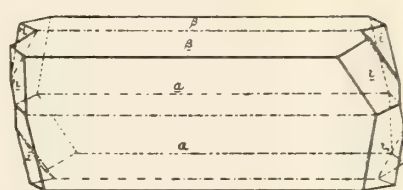


Fig. 20.



Atakamit

Fig. 1.

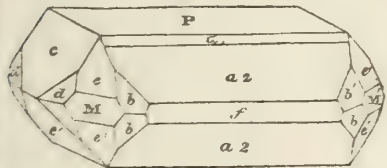


Fig. 2.

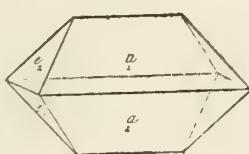


Fig. 3.

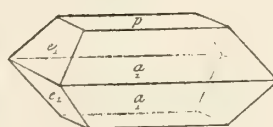


Fig. 4.

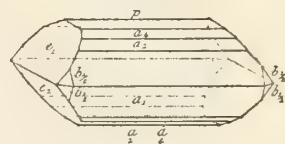


Fig. 5.

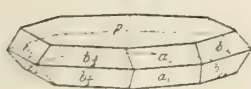


Fig. 7.

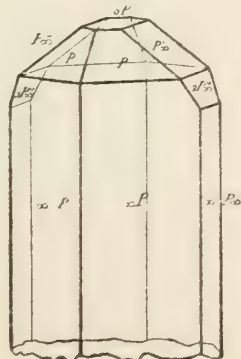


Fig. 8.

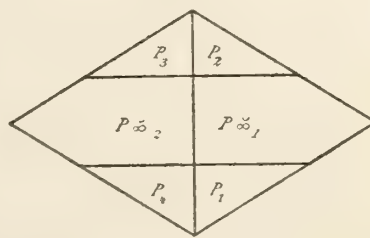


Fig. 9.



Fig. 6.



Atakamit

Fig. 10.

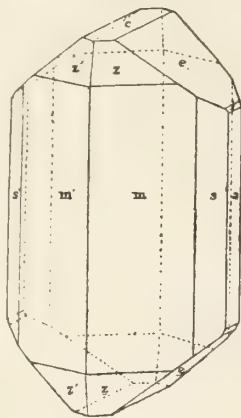


Fig. 11.

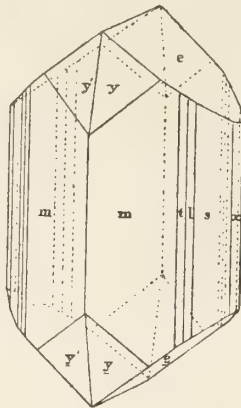


Fig. 12.

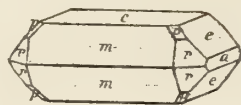


Fig. 15.

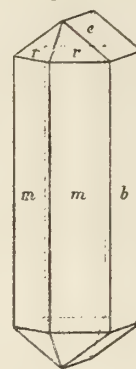


Fig. 16.

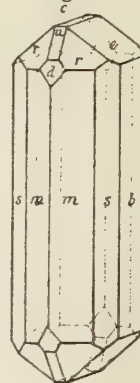


Fig. 13.

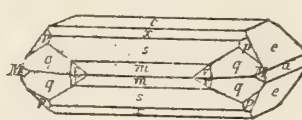


Fig. 14.

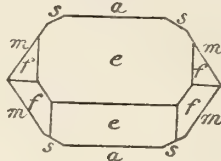


Fig. 17.

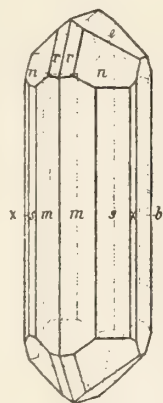


Fig. 18.

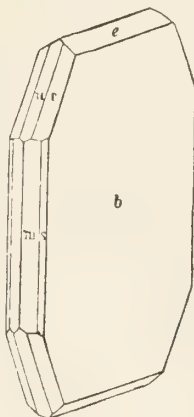


Fig. 19.

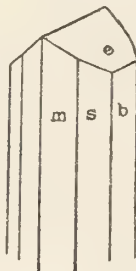


Fig. 20.

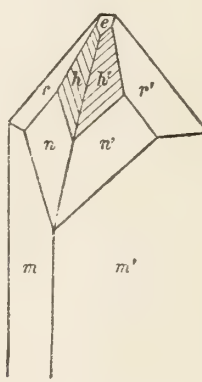


Fig. 21.

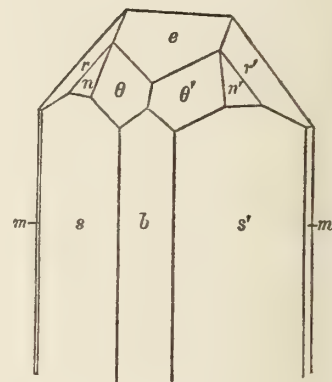


Fig. 22.

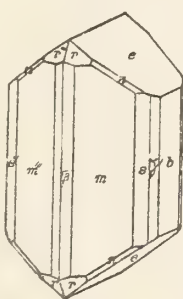


Fig. 23.

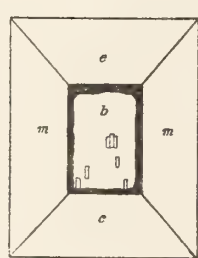


Fig. 24.

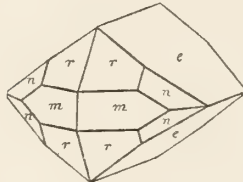


Fig. 25.

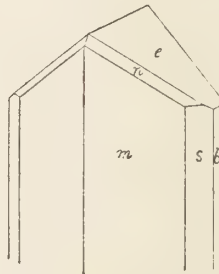


Fig. 26.

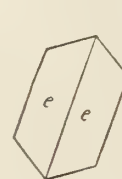


Fig. 27.

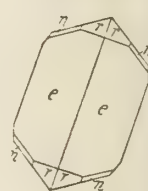


Fig. 28.

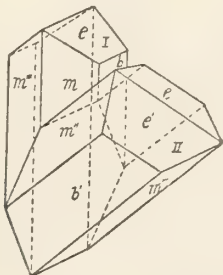


Fig. 29.

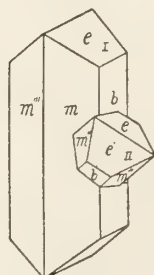


Fig. 30.

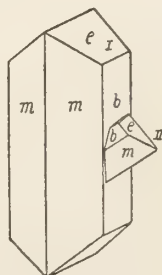
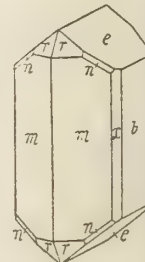
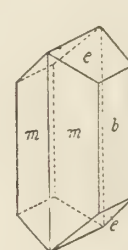
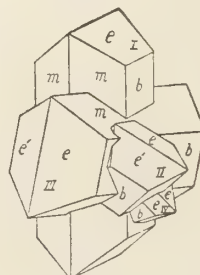
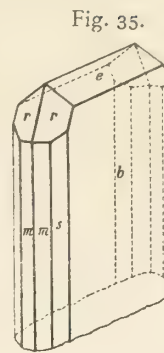
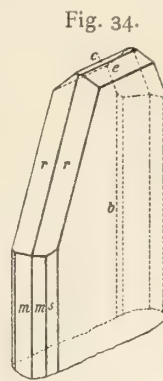
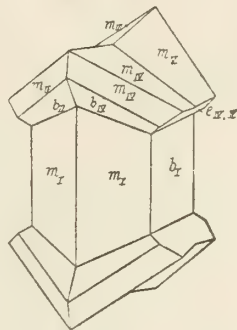
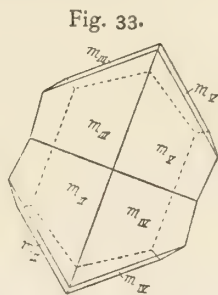
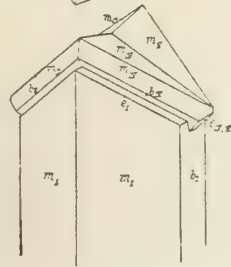
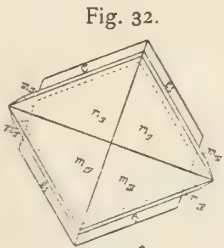


Fig. 31.



Atakamit



Atelestite

Fig. 1.

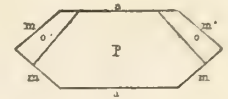


Fig. 2.



Fig. 3.

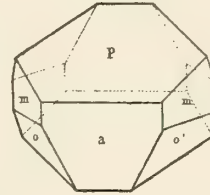


Fig. 4.

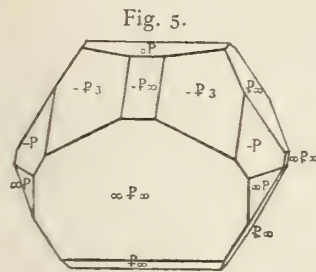
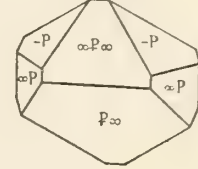
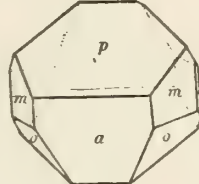


Fig. 6.



Atopit

Fig. 1.

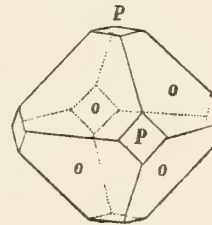


Fig. 2.

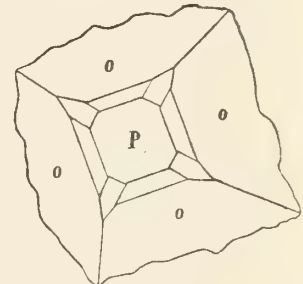


Fig. 3.

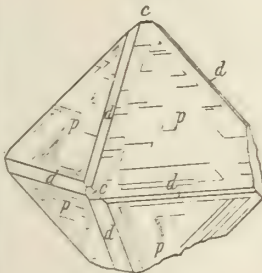
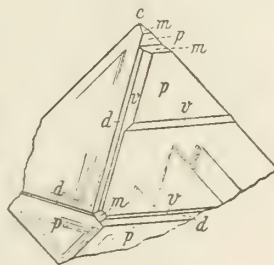


Fig. 4.



Augelit

Fig. 1.

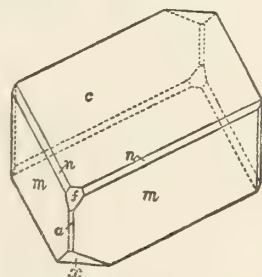
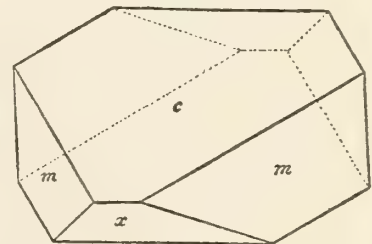


Fig. 2.



Aurichalcit

Fig. 1.

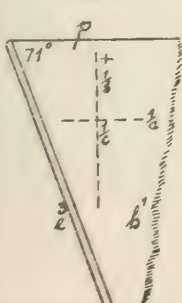


Fig. 2.

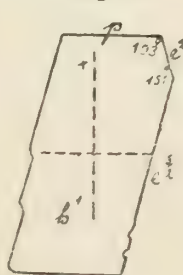
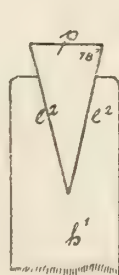


Fig. 3.



Auripigment

Fig. 1.

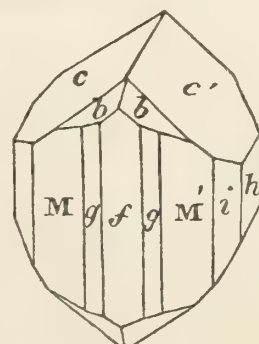
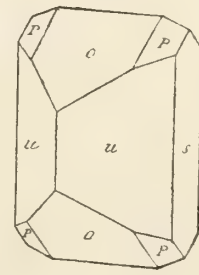


Fig. 2.



Auripigment

Fig. 3.

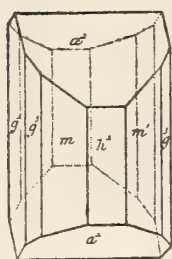


Fig. 4.

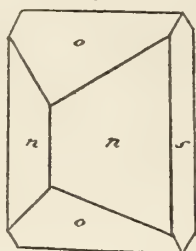


Fig. 5.

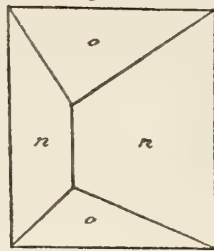


Fig. 6.

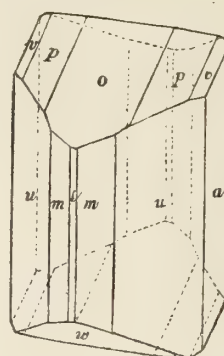


Fig. 7.

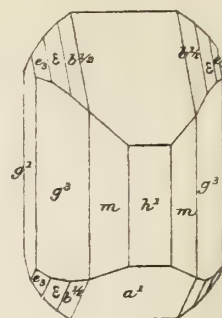


Fig. 8.

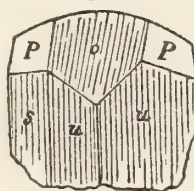


Fig. 9.

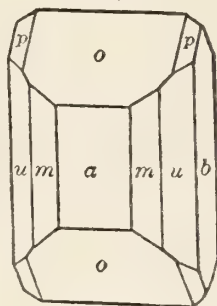


Fig. 10.

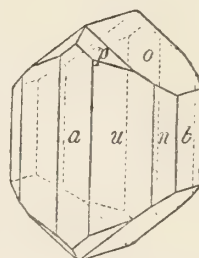


Fig. 11.

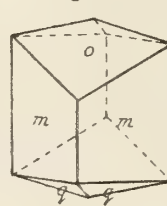


Fig. 12.

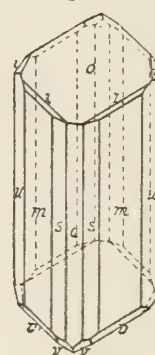


Fig. 13.

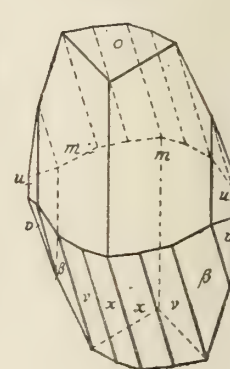


Fig. 14.

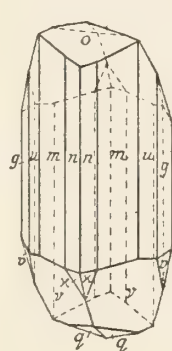


Fig. 15.

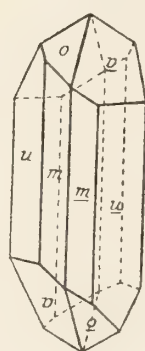


Fig. 16.

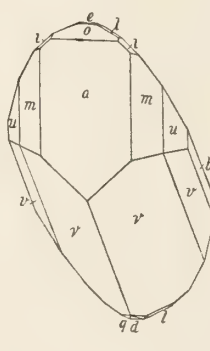


Fig. 17.

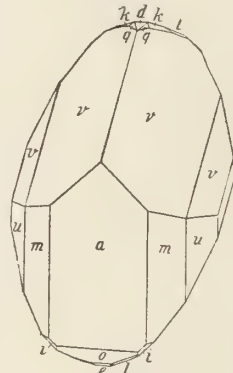
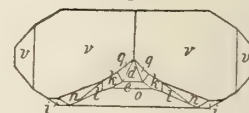


Fig. 18.



Axinit

Fig. 1.

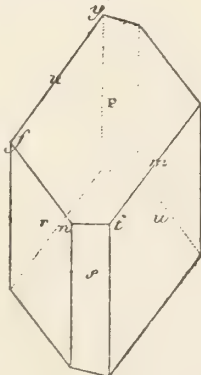


Fig. 2.

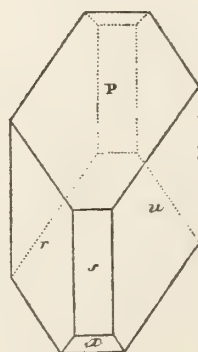


Fig. 3.



Fig. 4.

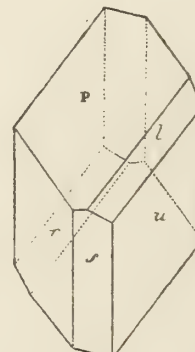
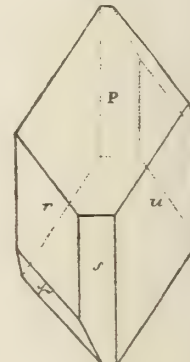


Fig. 5.



Axinit Fig. 6.

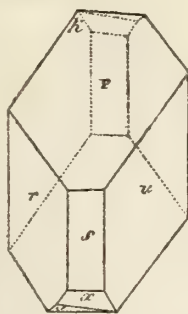


Fig. 7.

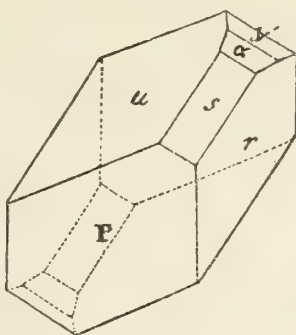


Fig. 8.

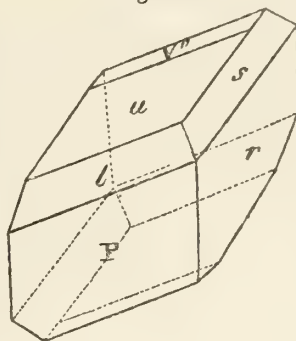


Fig. 9.

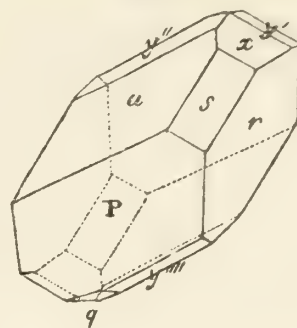


Fig. 10.

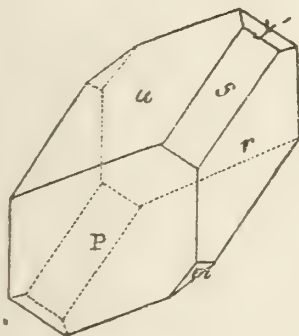


Fig. 11.

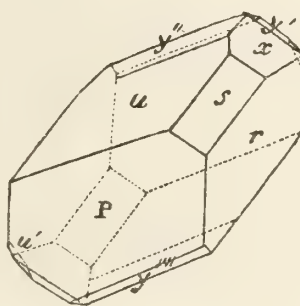


Fig. 12.

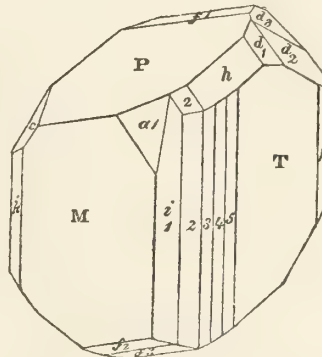


Fig. 13.

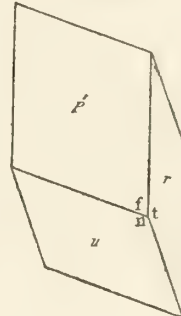


Fig. 14.

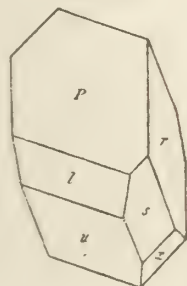


Fig. 15.

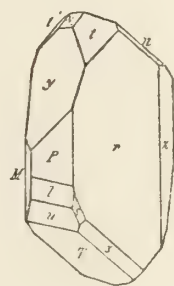


Fig. 16.

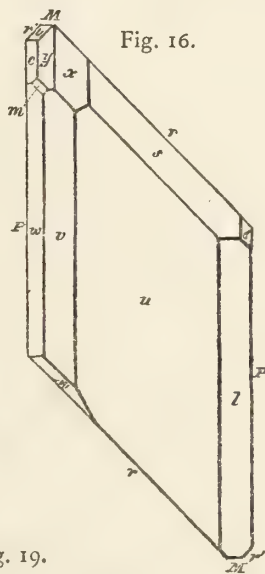


Fig. 17.

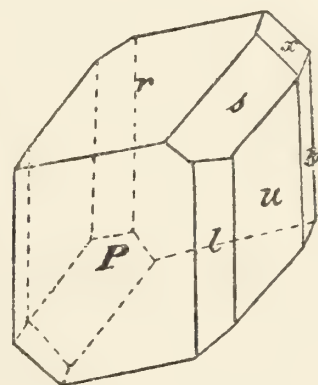


Fig. 18.

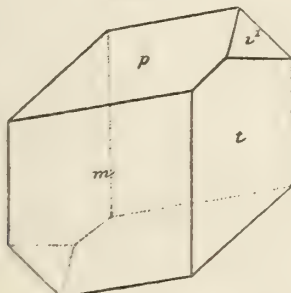


Fig. 19.

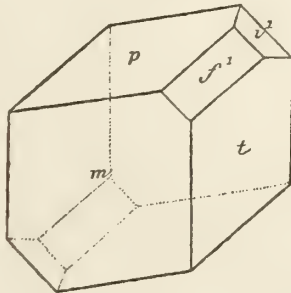
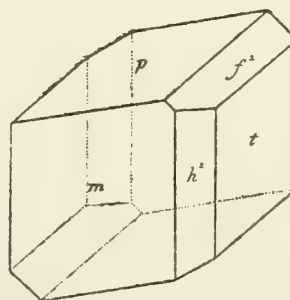


Fig. 20.



Axinit

Fig. 21.

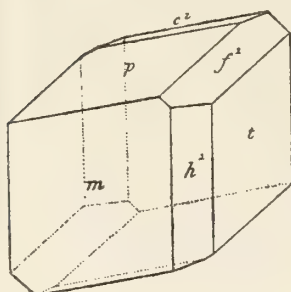


Fig. 22.

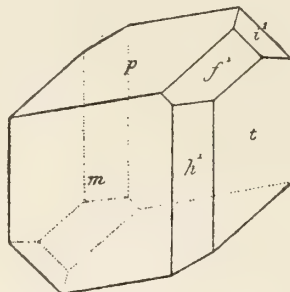


Fig. 23.

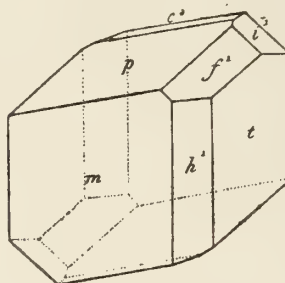


Fig. 24.

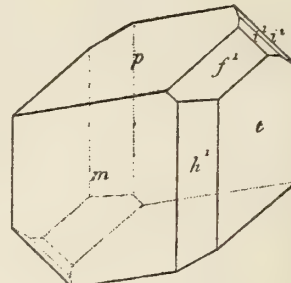


Fig. 25.

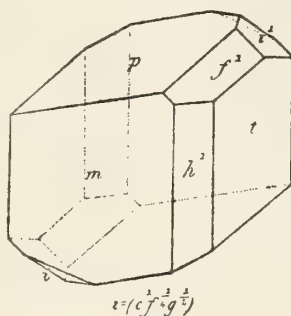


Fig. 26.

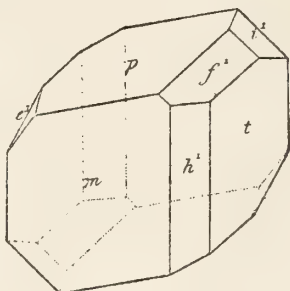


Fig. 27.

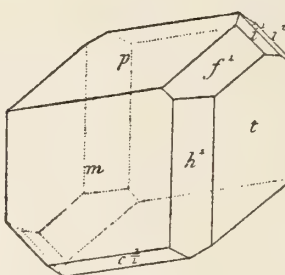


Fig. 28.

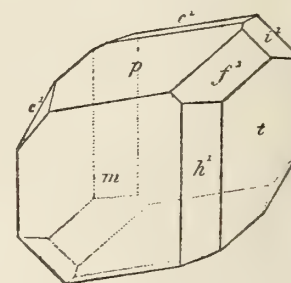


Fig. 29.

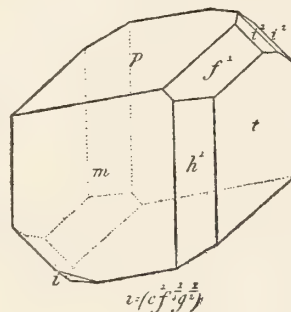


Fig. 30.

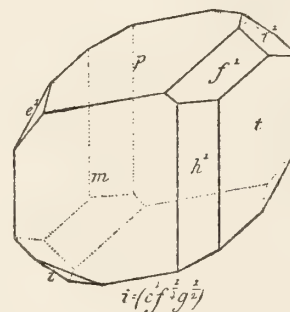


Fig. 31.

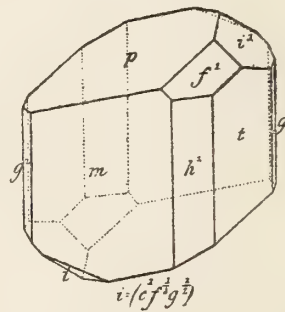


Fig. 32.

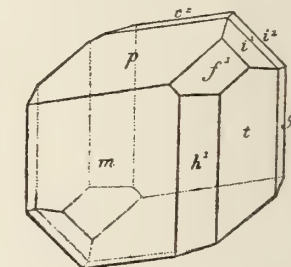


Fig. 33.

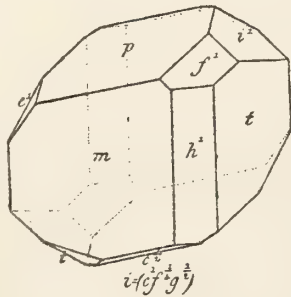


Fig. 34.

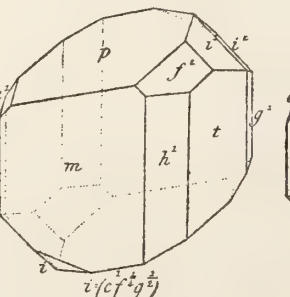


Fig. 35.

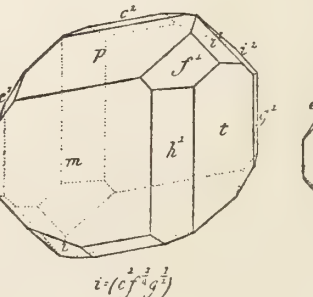
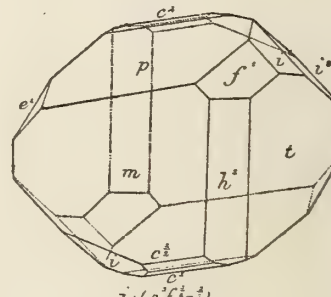


Fig. 36.



Axinit

Fig. 37.

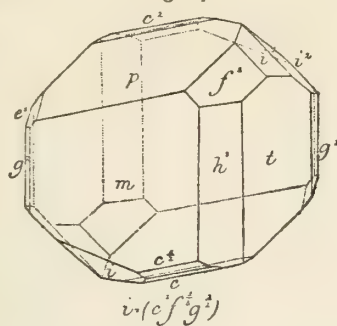


Fig. 38.

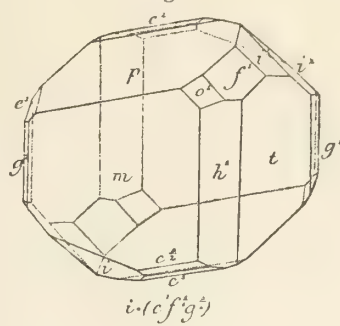


Fig. 39.

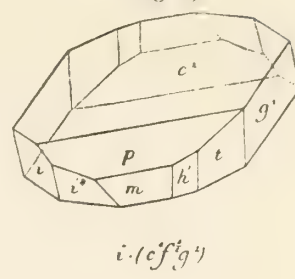


Fig. 40.

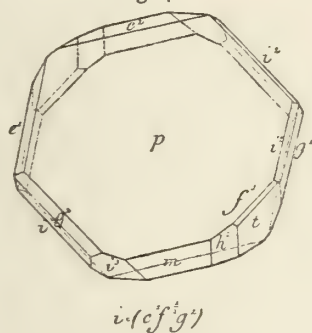


Fig. 41.

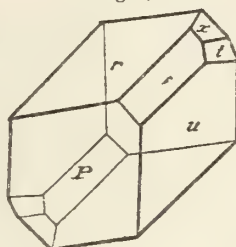


Fig. 42.

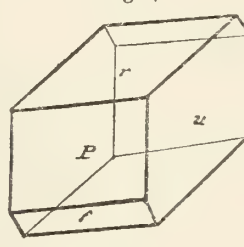


Fig. 43.

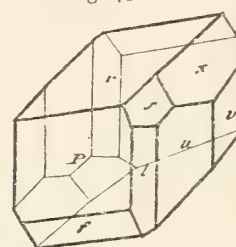


Fig. 44.



Fig. 45.

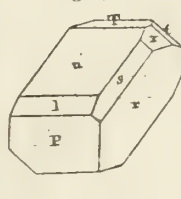


Fig. 46.

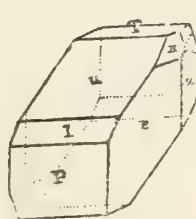


Fig. 47.

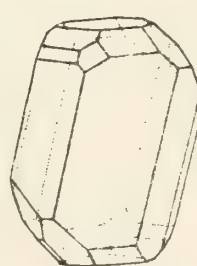


Fig. 48.

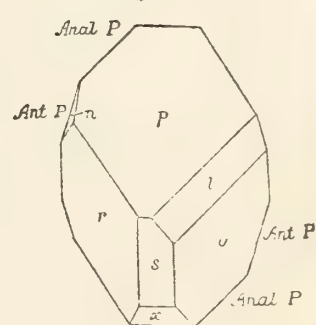


Fig. 49.

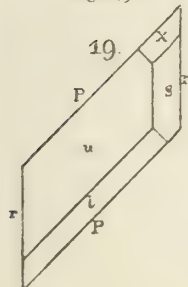


Fig. 50.

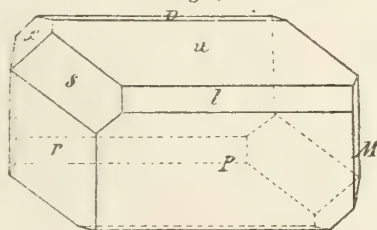


Fig. 51.

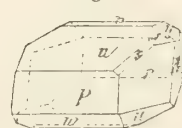


Fig. 52.

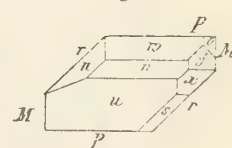


Fig. 53.

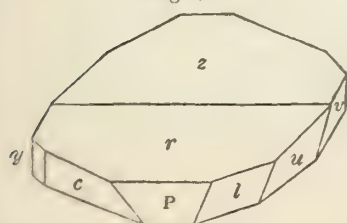


Fig. 54.

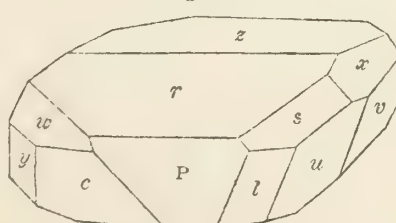
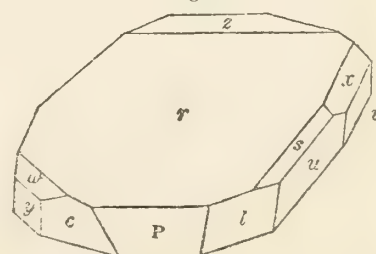


Fig. 55.



Axinit

Fig. 56.

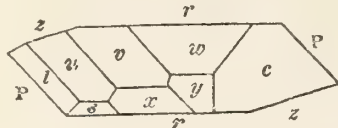


Fig. 57.

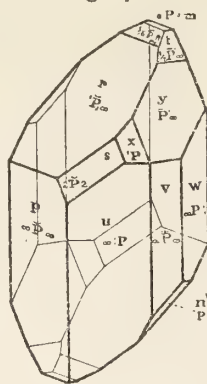


Fig. 58.

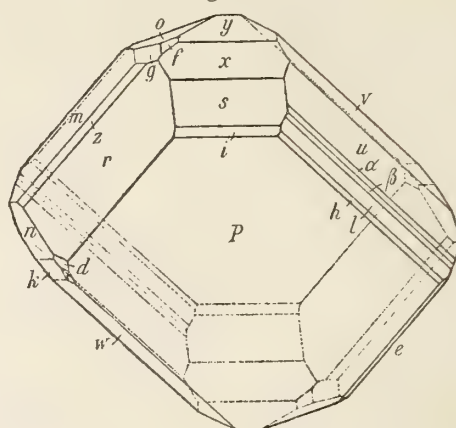


Fig. 60.

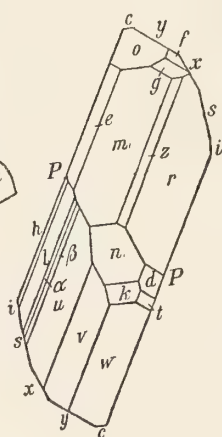


Fig. 62.

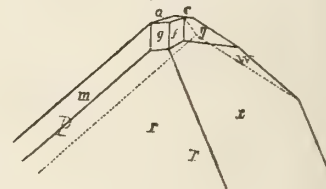


Fig. 61.

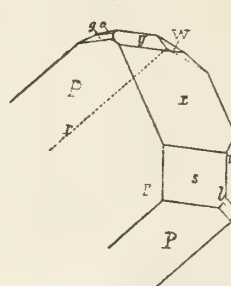


Fig. 63.

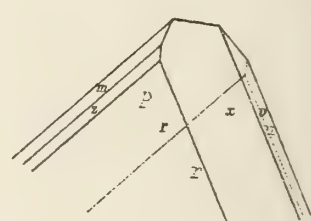


Fig. 59.

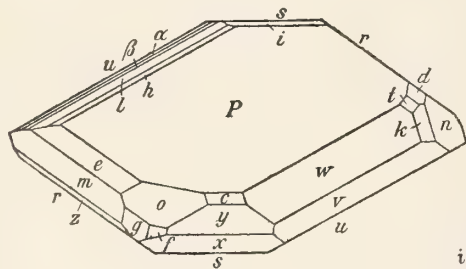


Fig. 65.

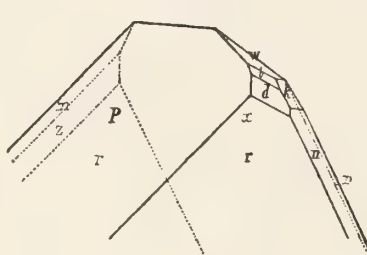


Fig. 66.

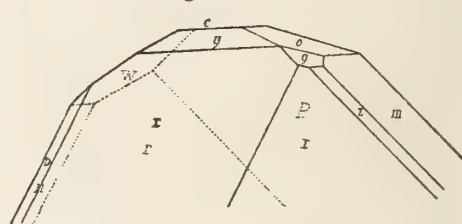


Fig. 64.

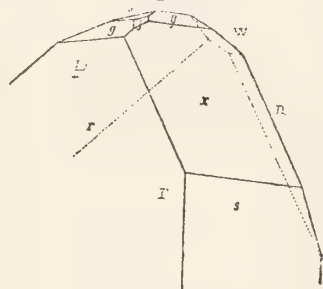


Fig. 68.

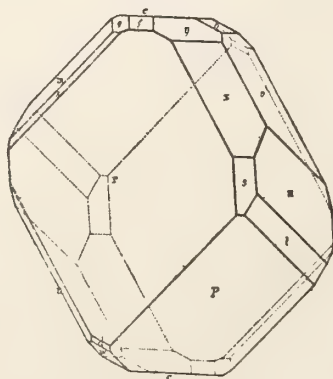


Fig. 69.

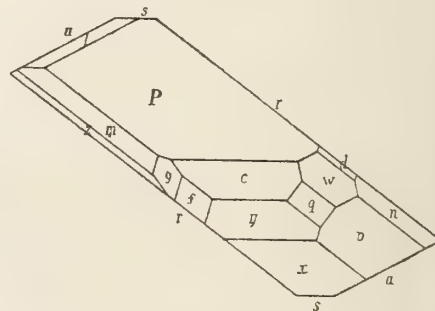
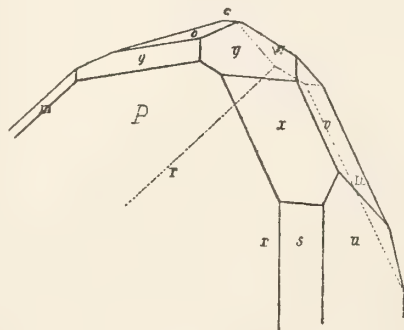


Fig. 67.



Axinit

Fig. 70.

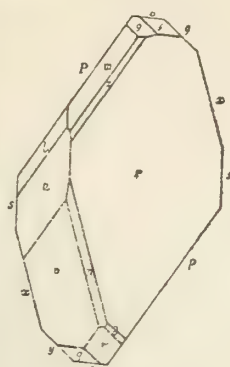


Fig. 71.

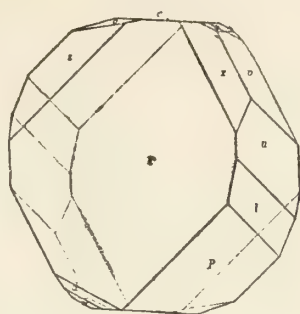


Fig. 72.

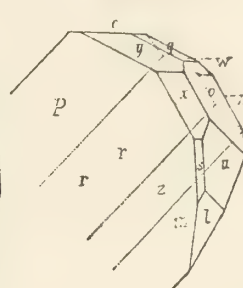


Fig. 73.

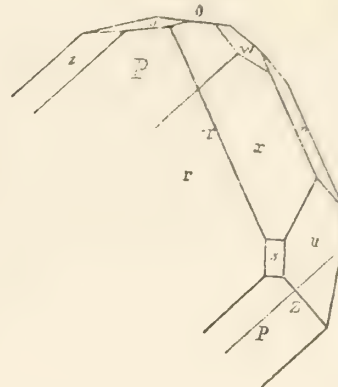


Fig. 75.

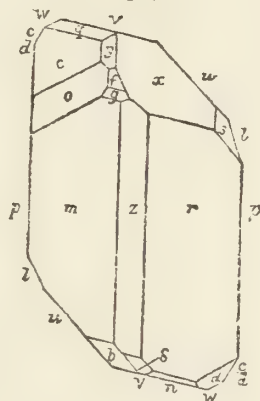


Fig. 74.

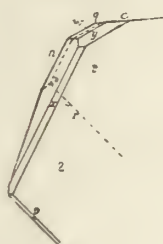


Fig. 76.

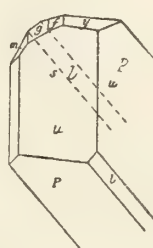


Fig. 77.

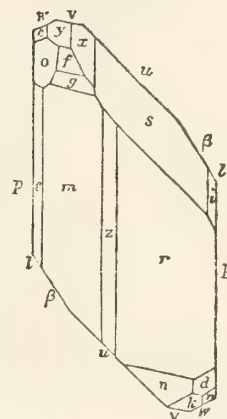


Fig. 78.



Fig. 79.

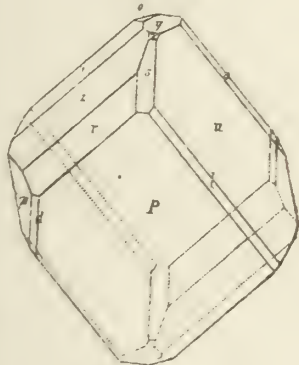


Fig. 80.

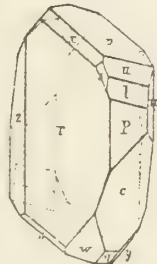


Fig. 81.

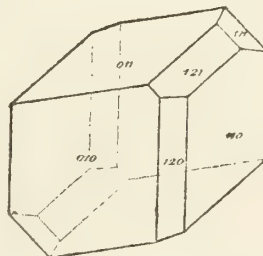


Fig. 82.

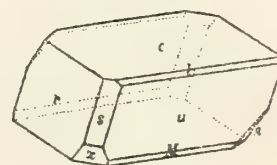


Fig. 83.

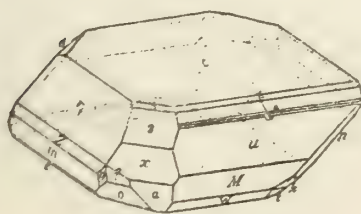


Fig. 84.

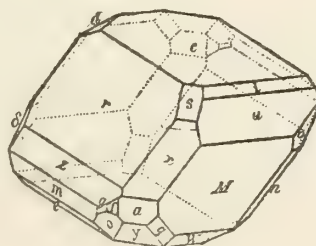
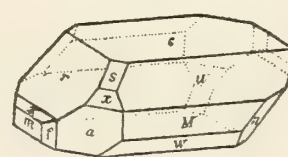


Fig. 85.



Axinit

Fig. 86.

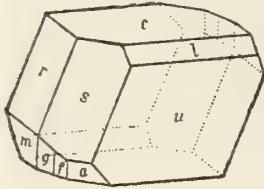


Fig. 87.

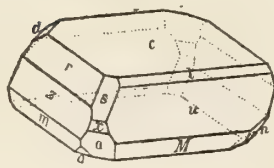


Fig. 88.

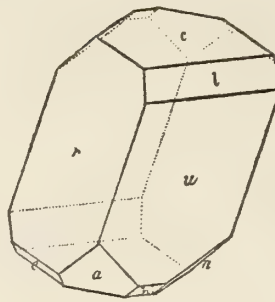


Fig. 89.

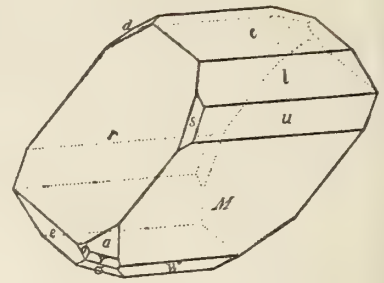


Fig. 90.

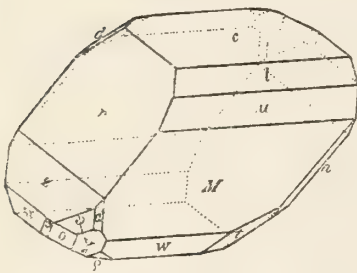


Fig. 91.

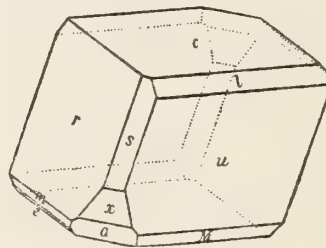


Fig. 92.

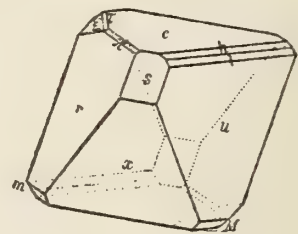


Fig. 93.

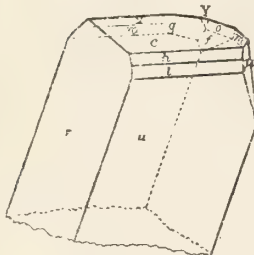


Fig. 94.

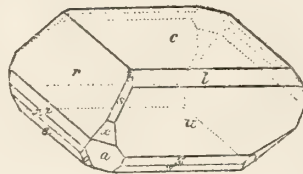


Fig. 95.

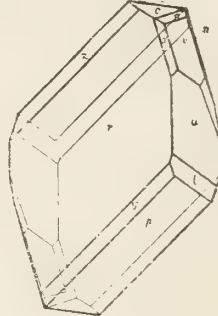


Fig. 96.

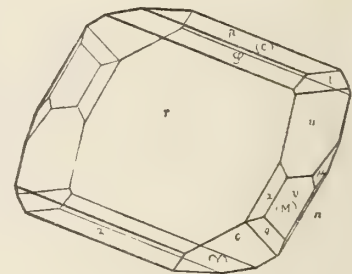


Fig. 97.

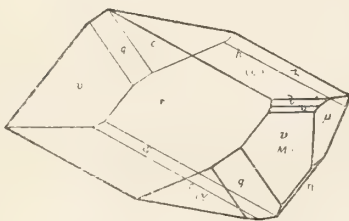


Fig. 98.

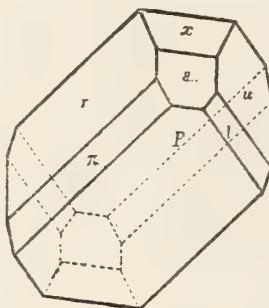


Fig. 99.

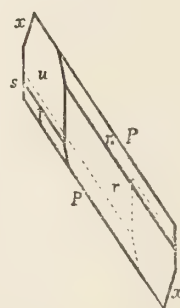


Fig. 100.

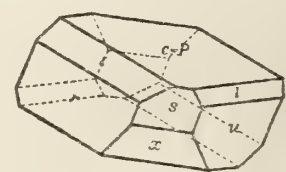


Fig. 101.

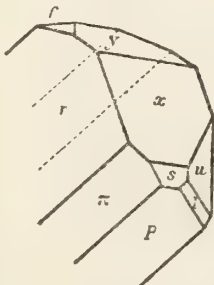


Fig. 102.

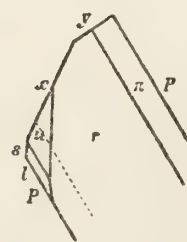


Fig. 103.

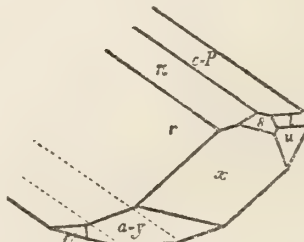
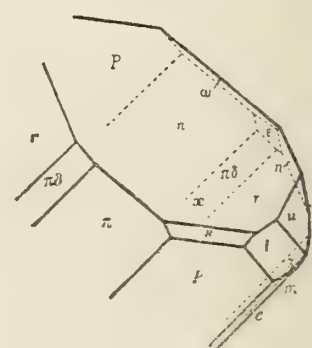


Fig. 104.



Axinit

Fig. 105.

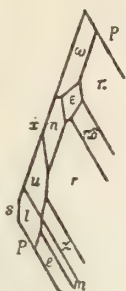


Fig. 106.

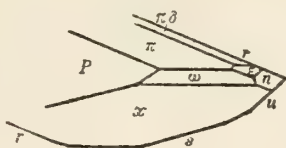


Fig. 107.

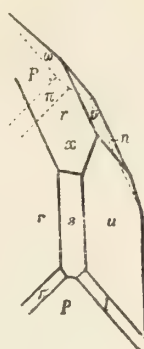


Fig. 108.



Fig. 109.

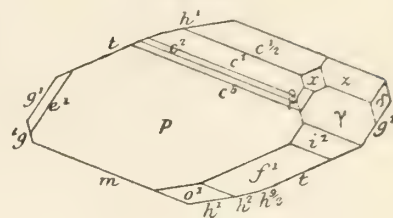


Fig. 110.

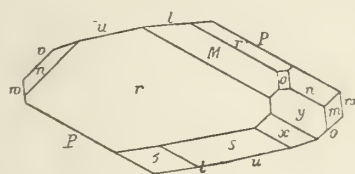


Fig. 111.

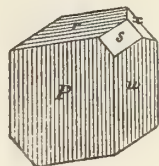


Fig. 112.

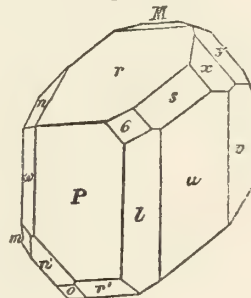


Fig. 113.

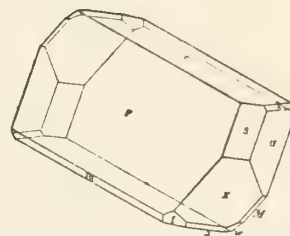


Fig. 114.

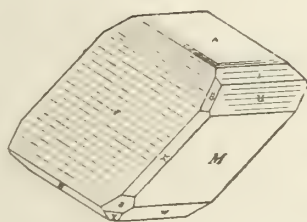


Fig. 115.

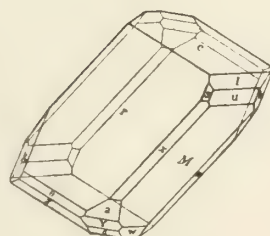


Fig. 116.

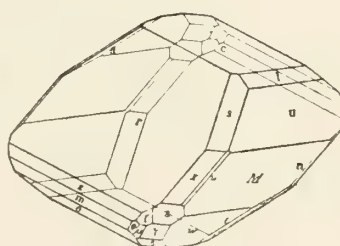


Fig. 117.

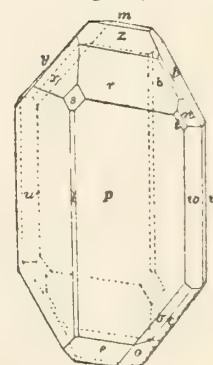


Fig. 118.

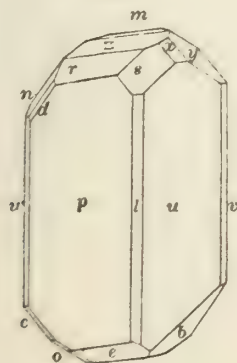


Fig. 119.

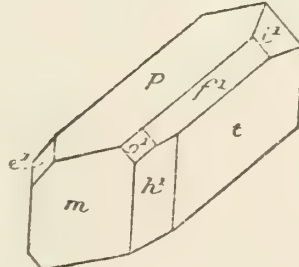


Fig. 120.

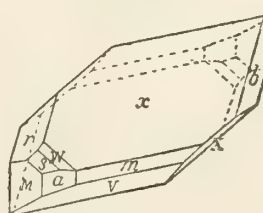
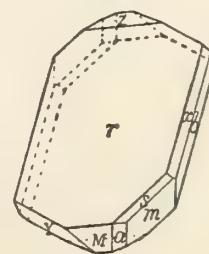


Fig. 121.



Axinit

Fig. 122.

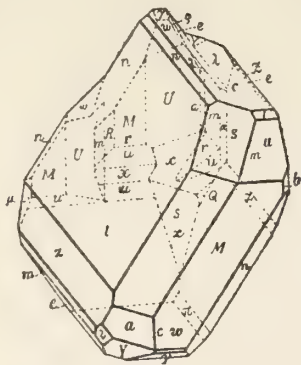


Fig. 123.

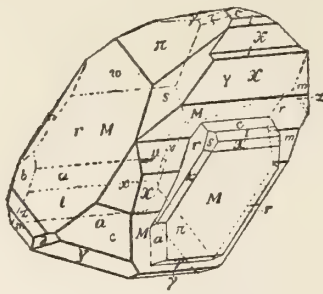


Fig. 124.

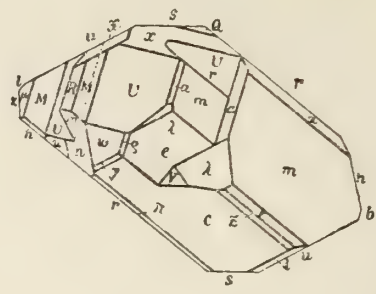


Fig. 125.

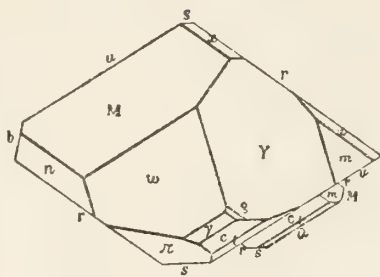


Fig. 126.

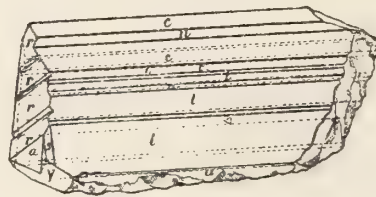


Fig. 127.

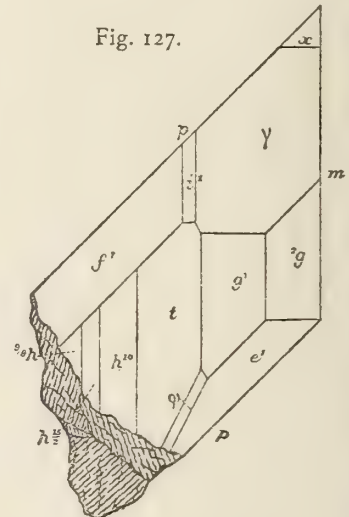


Fig. 128.

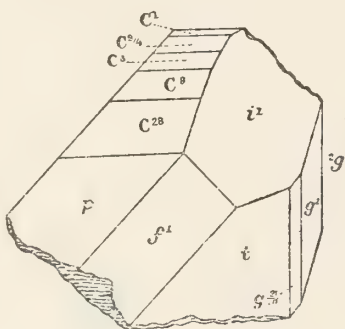


Fig. 129.

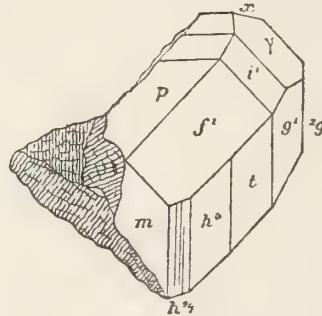


Fig. 133.

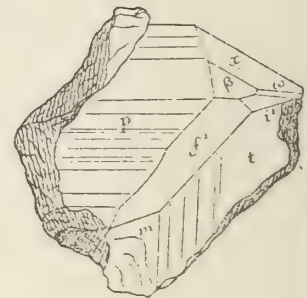


Fig. 130.

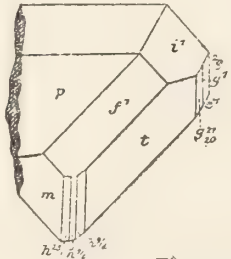


Fig. 131.

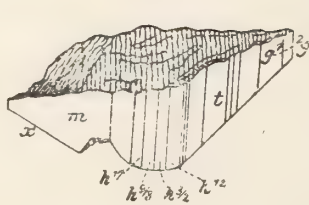


Fig. 132.

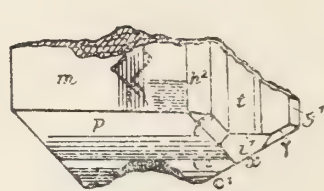


Fig. 136.

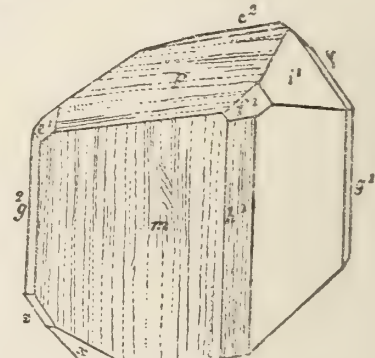


Fig. 134.

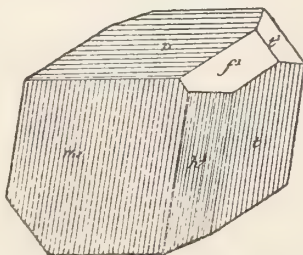
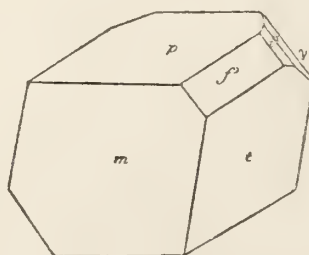


Fig. 135.



Axinit

Fig. 137.

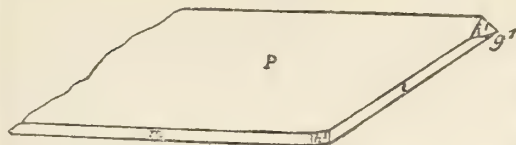


Fig. 138.

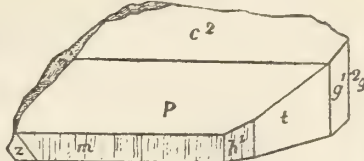


Fig. 139.

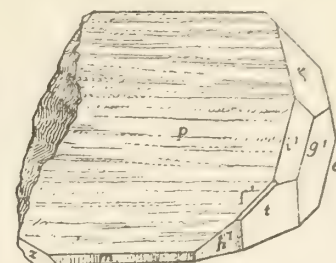


Fig. 140.

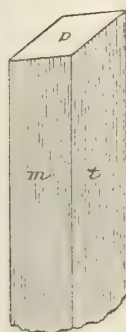


Fig. 141.



Fig. 142.

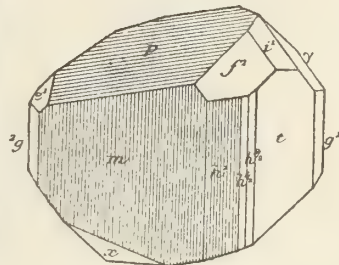


Fig. 143.

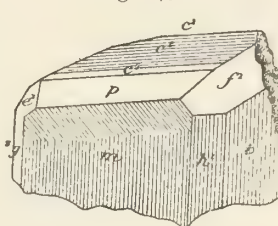


Fig. 144.

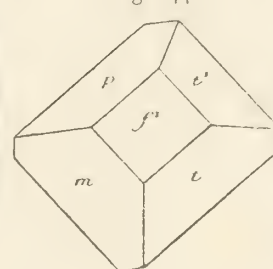


Fig. 147.

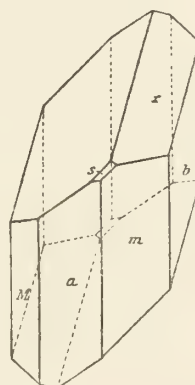


Fig. 148.

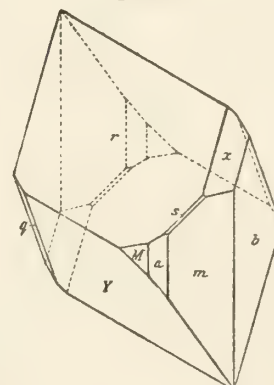


Fig. 145.

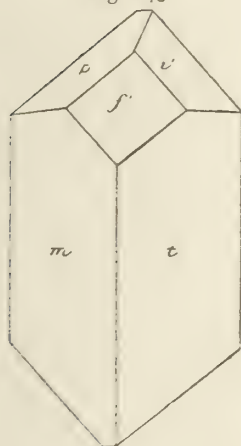


Fig. 146.

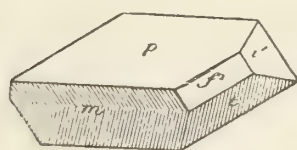


Fig. 149.

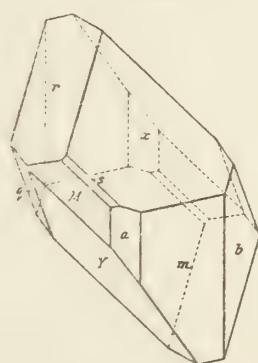


Fig. 150.

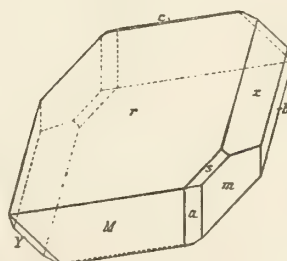


Fig. 151.

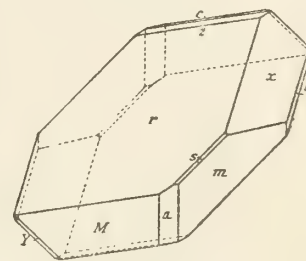


Fig. 152.

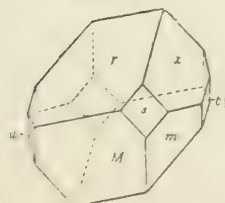


Fig. 153.

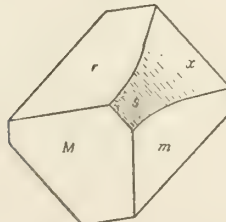
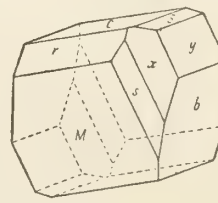


Fig. 154.



Axinit

Fig. 155.

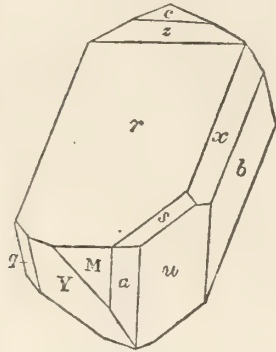


Fig. 156.

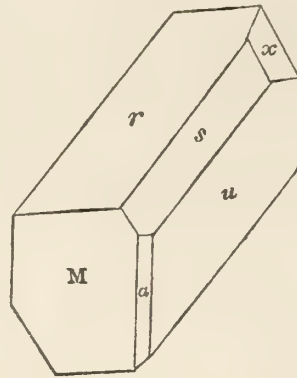


Fig. 157.

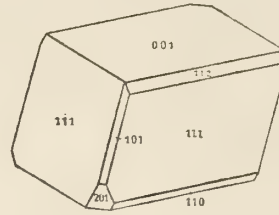


Fig. 158.

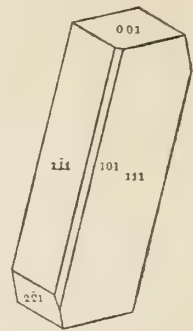


Fig. 159.

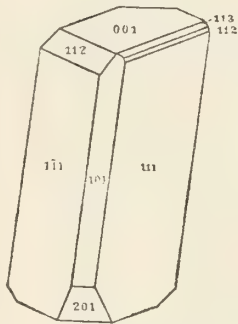


Fig. 160.

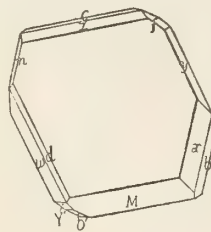


Fig. 161.

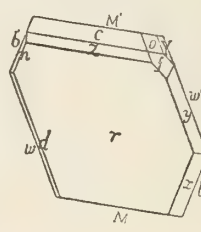


Fig. 162.

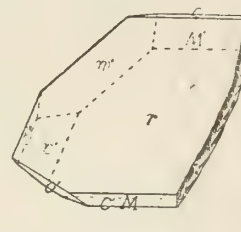


Fig. 163.

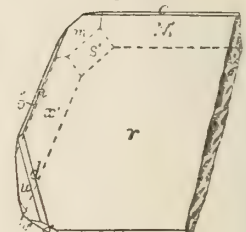


Fig. 164.

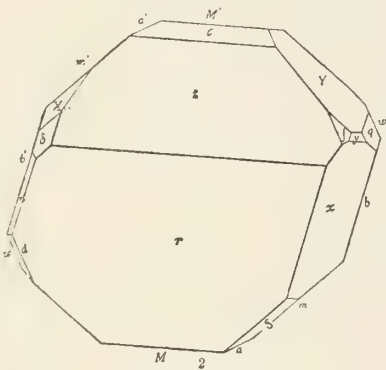


Fig. 165.

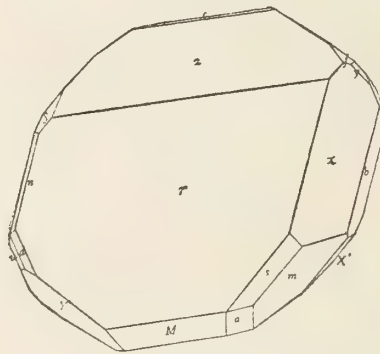


Fig. 166.

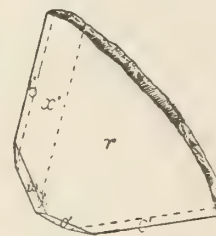


Fig. 167.

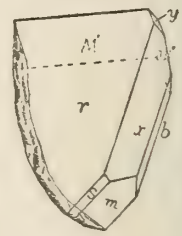


Fig. 168.

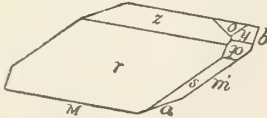


Fig. 169.

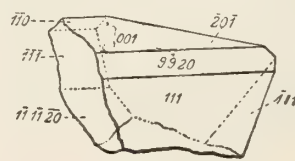


Fig. 170.

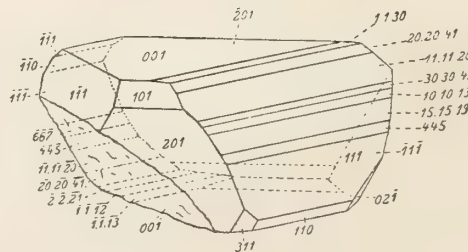


Fig. 171.

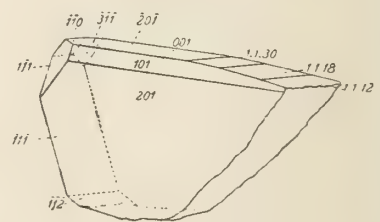
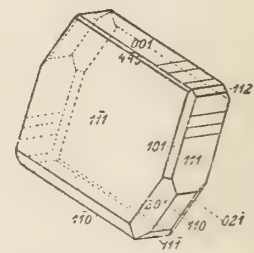


Fig. 172.



Baddeleyit

Fig. 1.

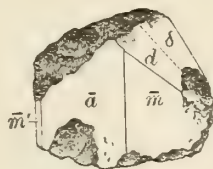


Fig. 2.

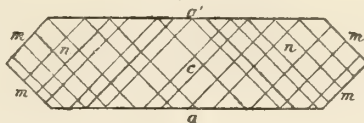


Fig. 3.

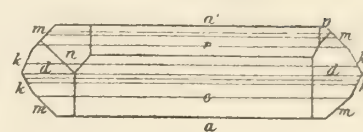


Fig. 4.

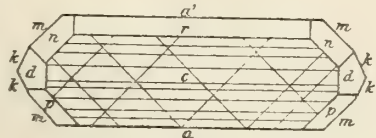


Fig. 5.

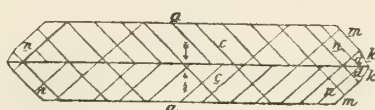


Fig. 6.

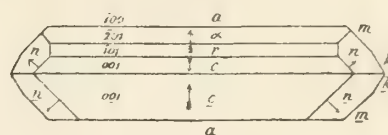


Fig. 7.

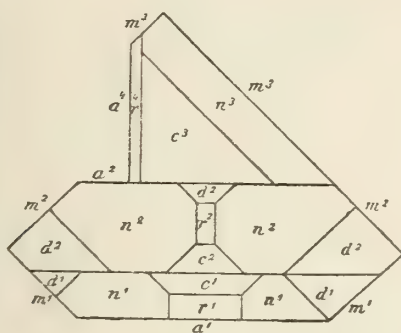


Fig. 8.

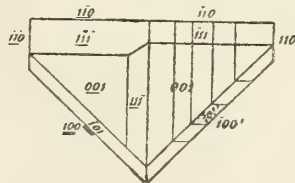


Fig. 9.

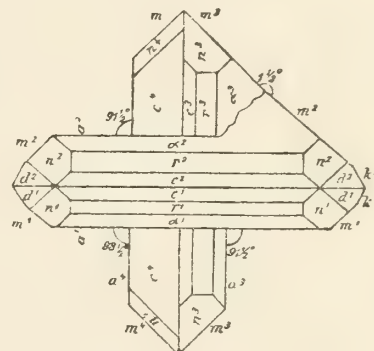


Fig. 10.

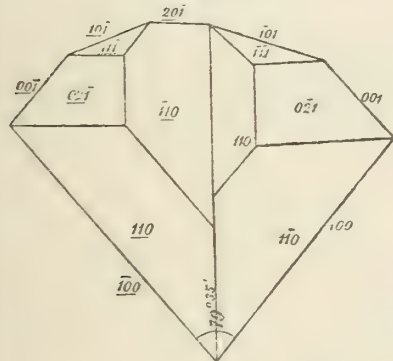


Fig. 11.

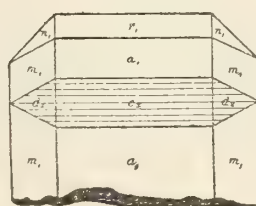


Fig. 12.

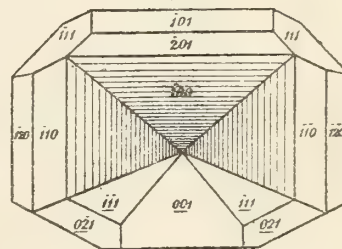


Fig. 13.

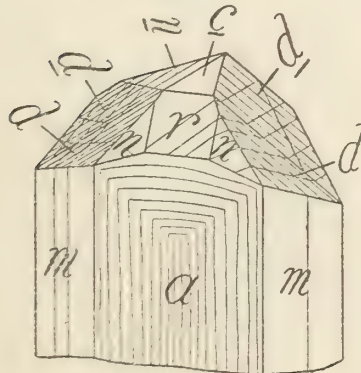
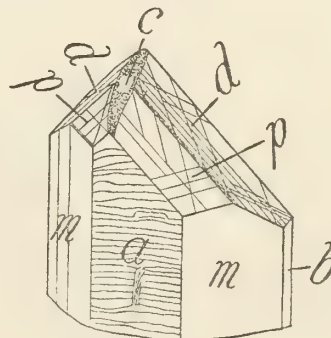


Fig. 14.



Barysilit

Fig. 1.

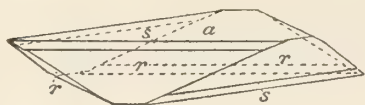


Fig. 2.

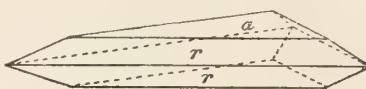


Fig. 3.

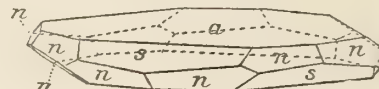
**Baryt**

Fig. 1.

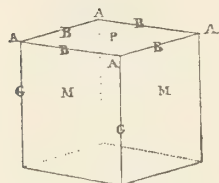


Fig. 2.

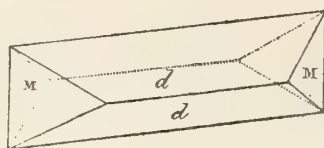


Fig. 3.

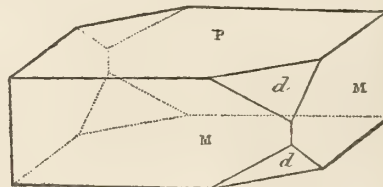


Fig. 4.

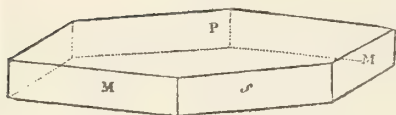


Fig. 5.

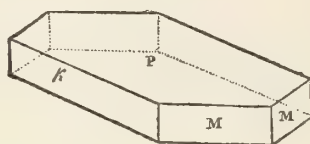


Fig. 6.

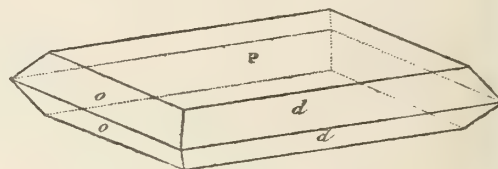


Fig. 7.

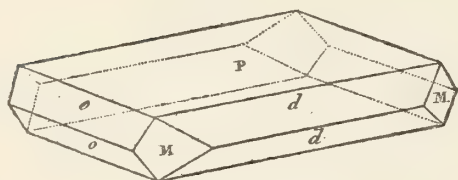


Fig. 8.

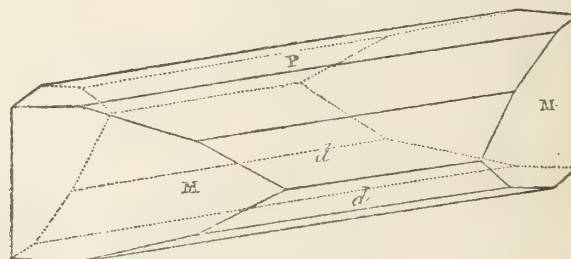


Fig. 9.

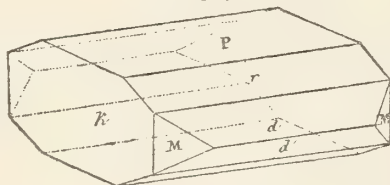


Fig. 10.

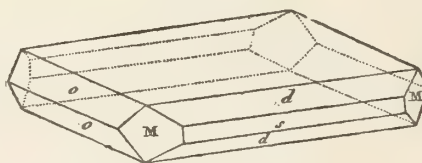


Fig. 11.

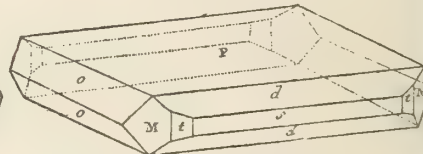


Fig. 12.

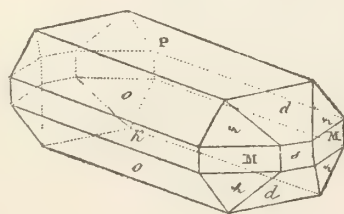


Fig. 13.

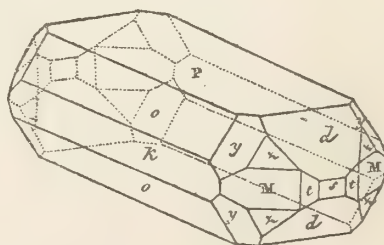
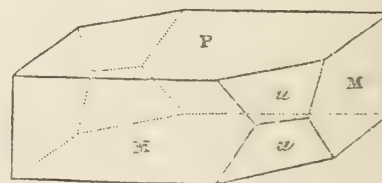


Fig. 14.



Baryt

Fig. 15.

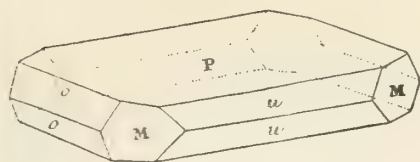


Fig. 16.

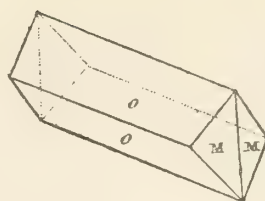


Fig. 17.

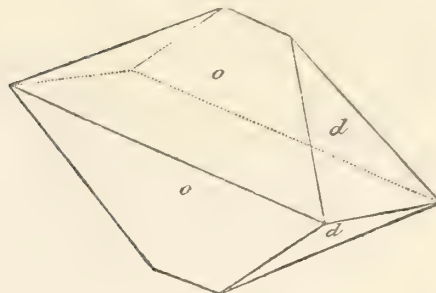


Fig. 18.

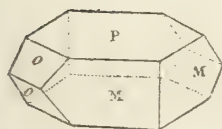


Fig. 19.

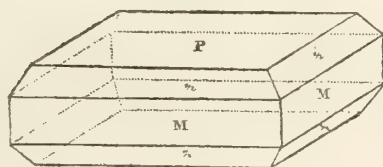


Fig. 20.

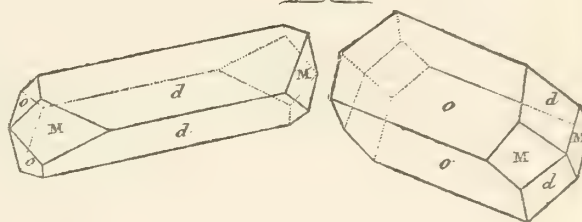


Fig. 21.

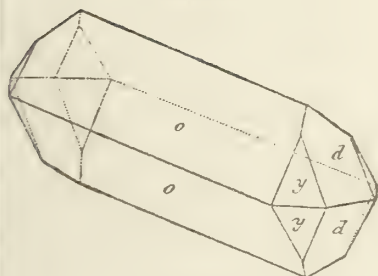


Fig. 22.

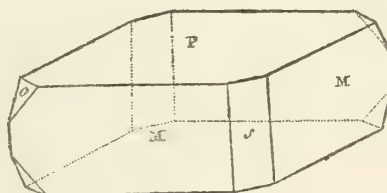


Fig. 23.

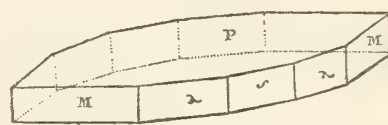


Fig. 24.

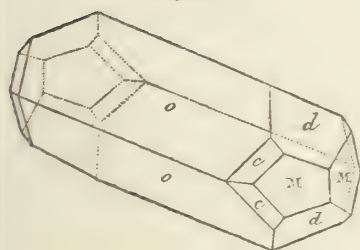


Fig. 25.

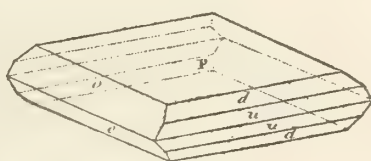


Fig. 27.

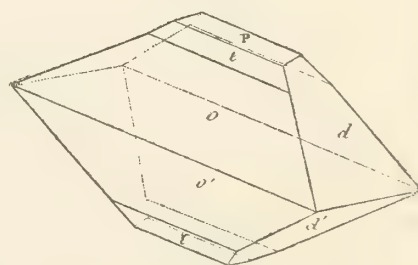


Fig. 26.



Fig. 29.

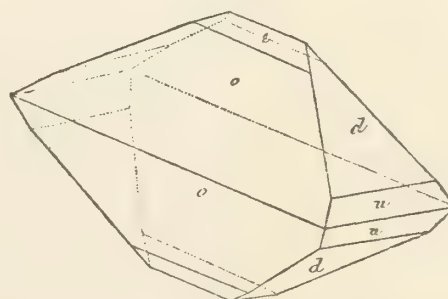
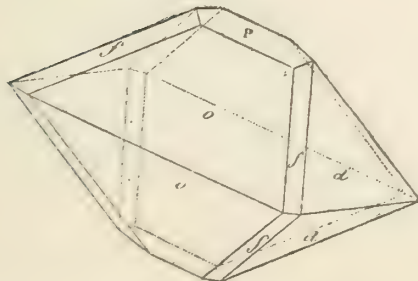


Fig. 28.



Baryt

Fig. 30.

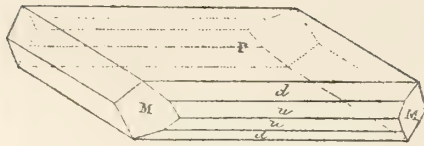


Fig. 31.

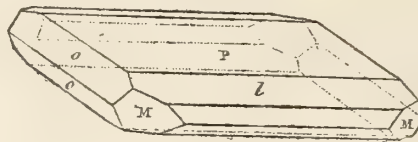


Fig. 32.

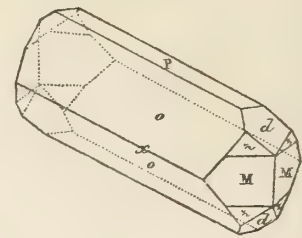


Fig. 33.

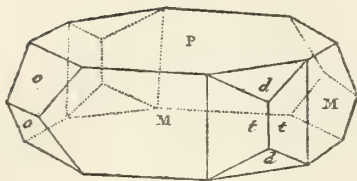


Fig. 34.

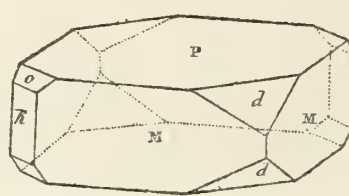


Fig. 35.

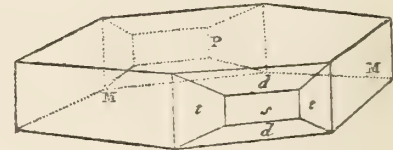


Fig. 36.

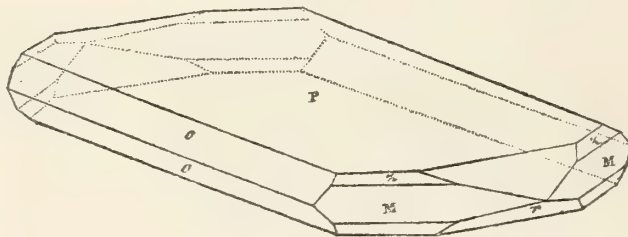


Fig. 37.

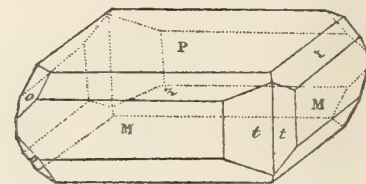


Fig. 38.

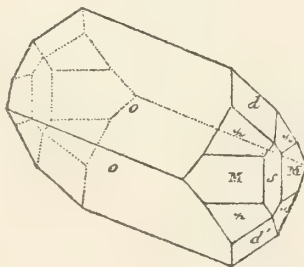


Fig. 39.

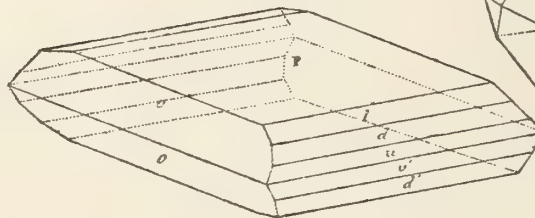


Fig. 40.

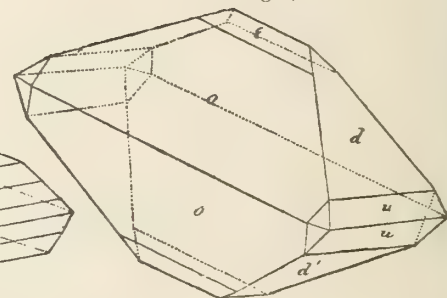


Fig. 41.

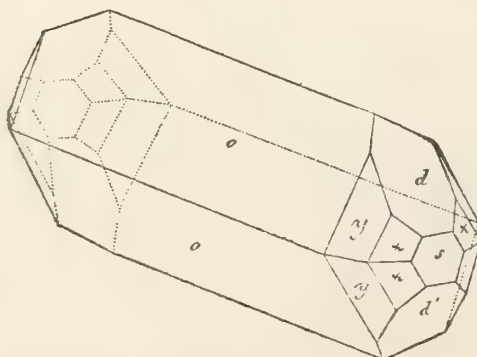
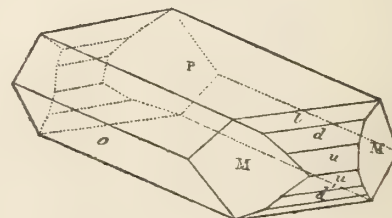


Fig. 42.



Baryt

Fig. 43.

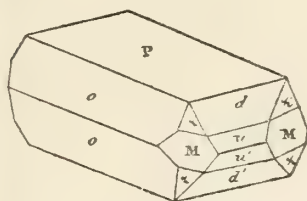


Fig. 44.

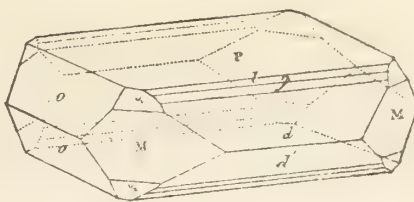


Fig. 45.

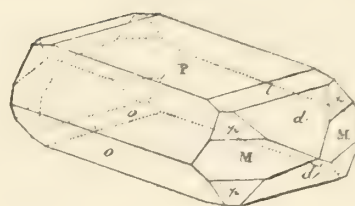


Fig. 46.

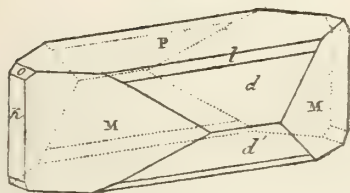


Fig. 47.

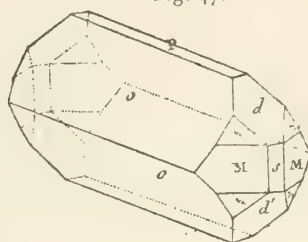


Fig. 48.

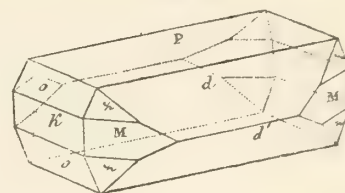


Fig. 49.

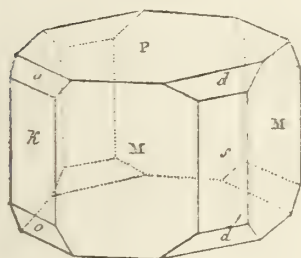


Fig. 50.

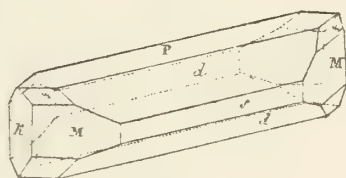


Fig. 51.

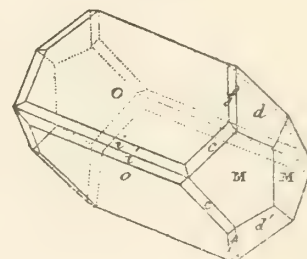


Fig. 52.

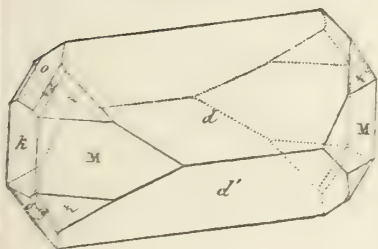


Fig. 53.

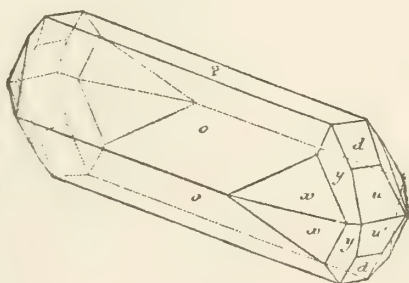


Fig. 54.

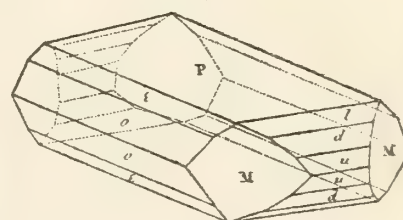


Fig. 55.

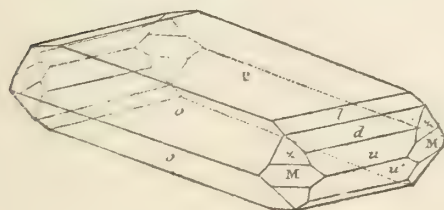
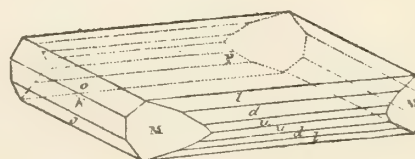


Fig. 56.



Baryt

Fig. 57.

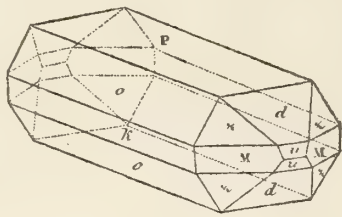


Fig. 58.

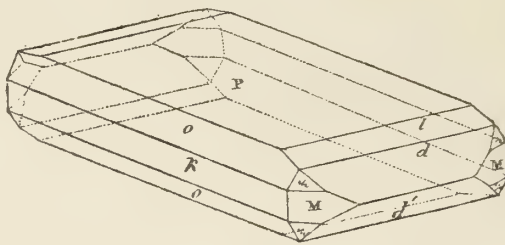


Fig. 59.

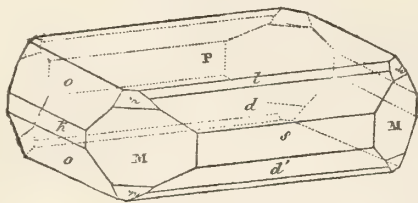


Fig. 60.

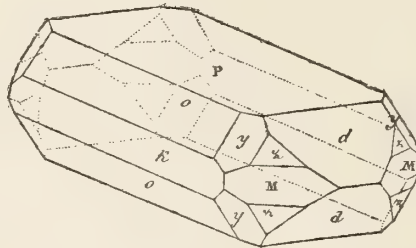


Fig. 61.

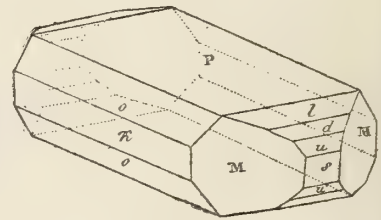


Fig. 62.

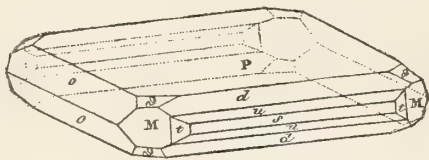


Fig. 63.

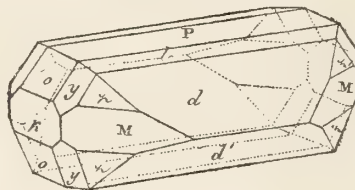


Fig. 64.

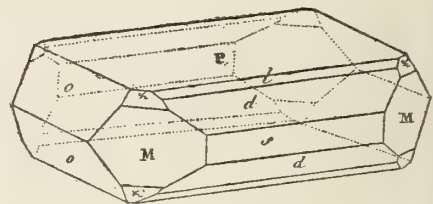


Fig. 65.

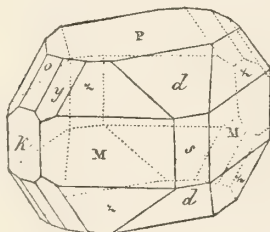


Fig. 66.

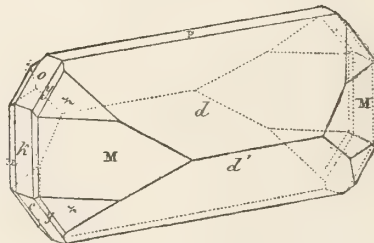


Fig. 67.

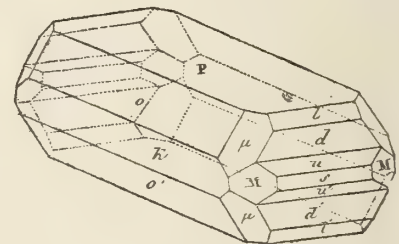


Fig. 68.

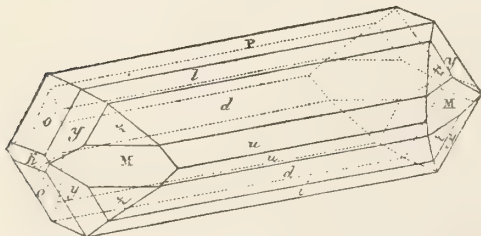
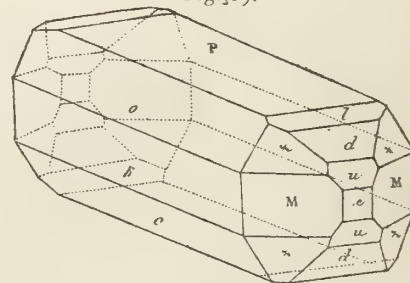


Fig. 69.



Baryt

Fig. 70.

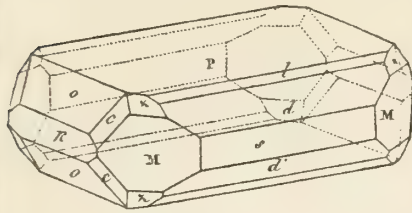


Fig. 71.

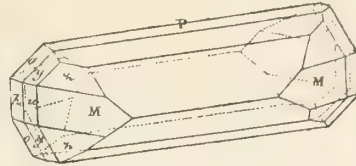


Fig. 72.

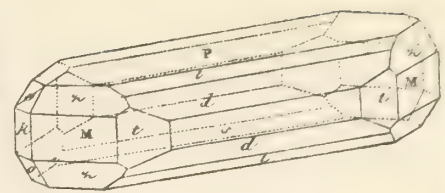


Fig. 73.

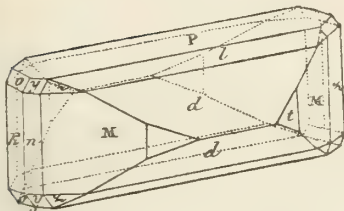


Fig. 74.

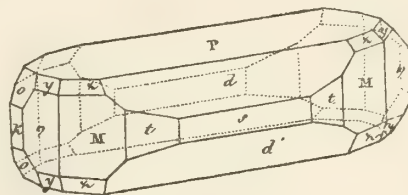


Fig. 75.

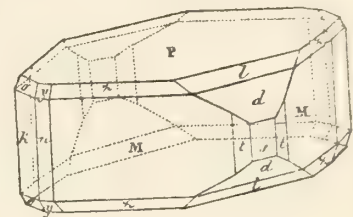


Fig. 76.

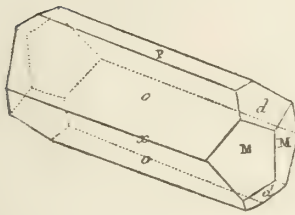


Fig. 77.

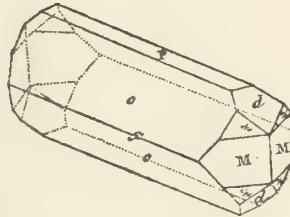


Fig. 78.

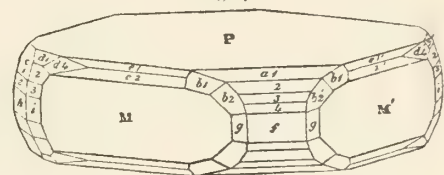


Fig. 79.

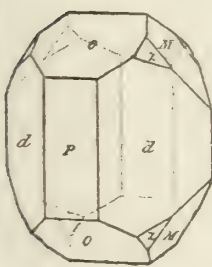


Fig. 80.

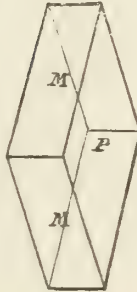


Fig. 81.

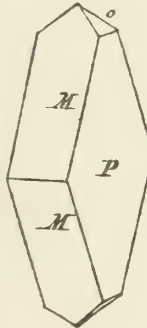


Fig. 82.

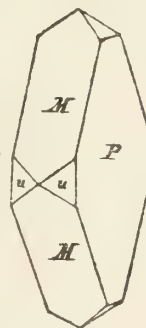


Fig. 83.

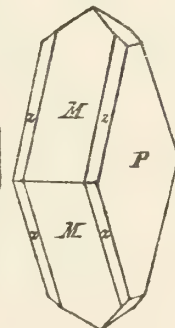


Fig. 84.

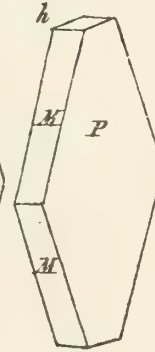


Fig. 85.

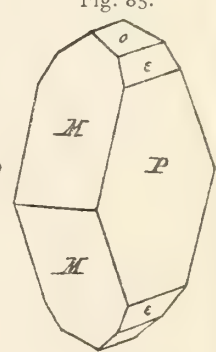


Fig. 86.

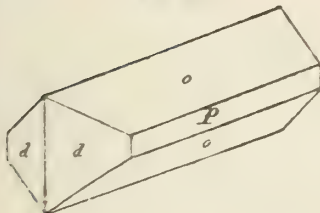


Fig. 87.

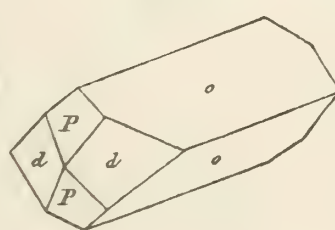


Fig. 88.

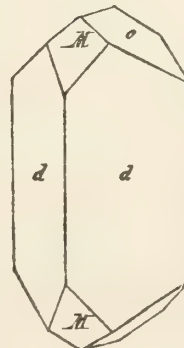


Fig. 89.

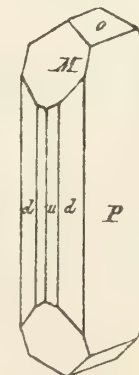
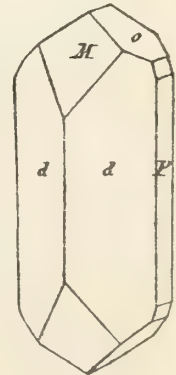


Fig. 90.



Baryt

Fig. 91.

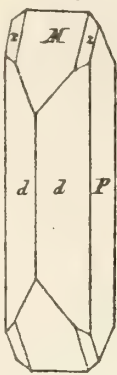


Fig. 92.

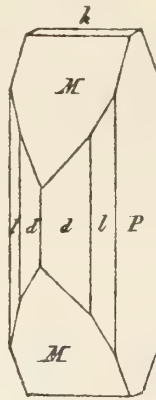


Fig. 93.

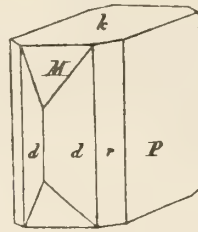


Fig. 94.

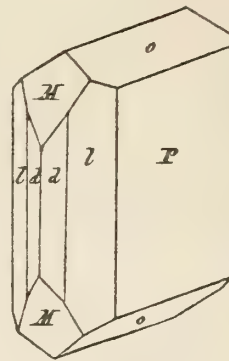


Fig. 96.

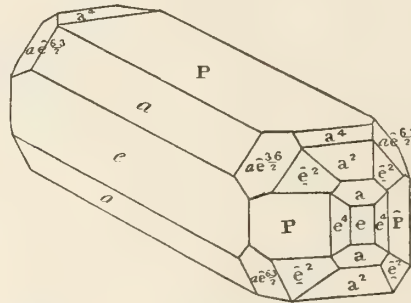


Fig. 97.

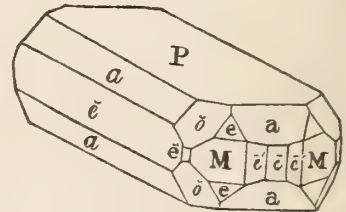


Fig. 95.

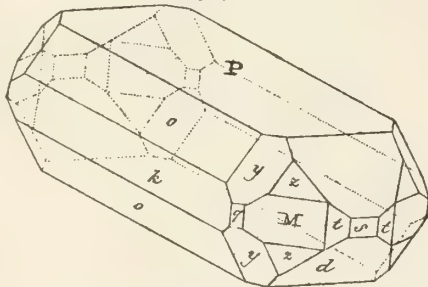


Fig. 98.

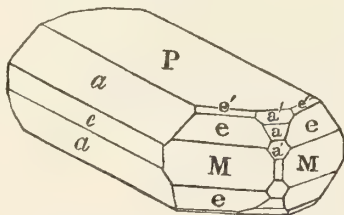


Fig. 99.

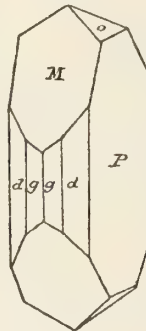


Fig. 100.

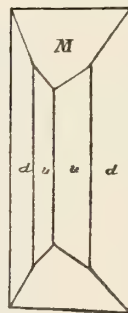


Fig. 101.

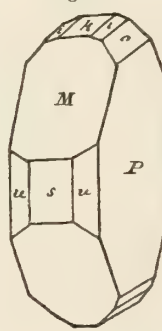


Fig. 102.

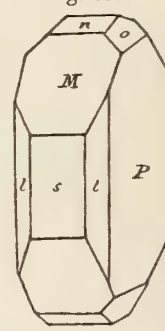


Fig. 103.

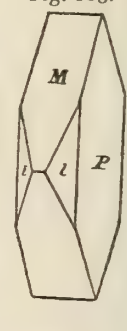


Fig. 104.

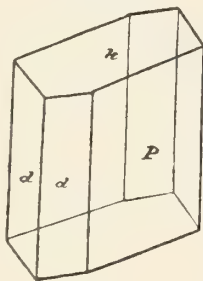


Fig. 105.

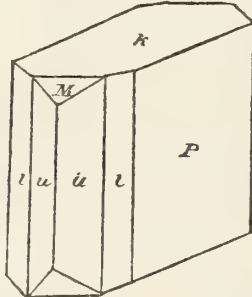


Fig. 106.

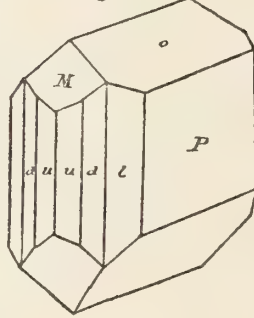


Fig. 107.

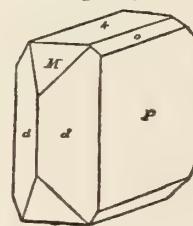


Fig. 108.

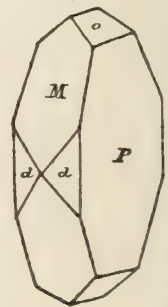


Fig. 109.

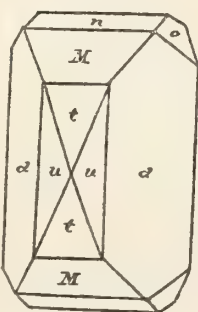


Fig. 110.

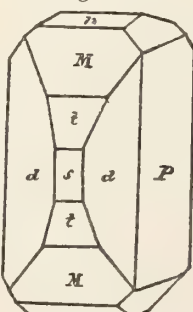


Fig. 111.

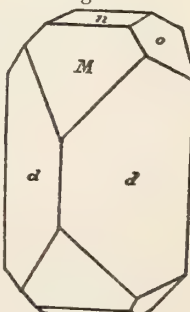


Fig. 112.

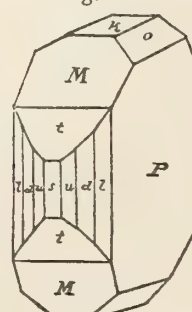


Fig. 113.

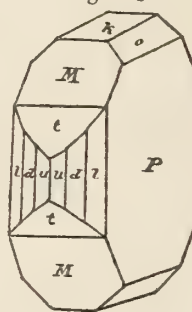
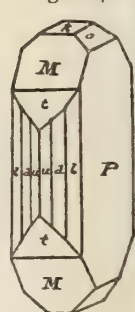


Fig. 114.



Baryt

Fig. 115.

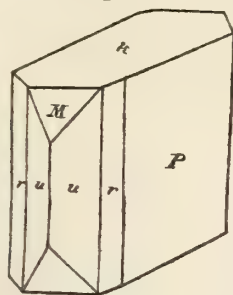


Fig. 116.

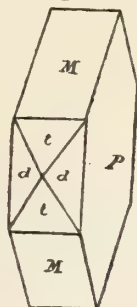


Fig. 117.

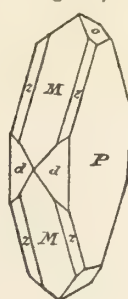


Fig. 118.

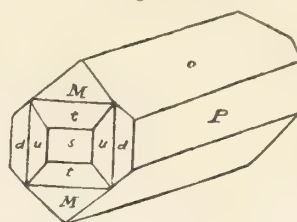


Fig. 119.

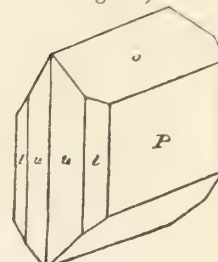


Fig. 120.

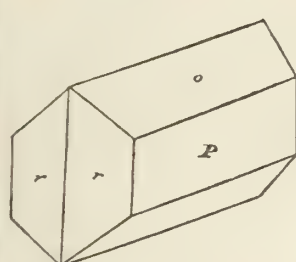


Fig. 121.

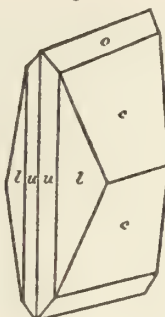


Fig. 122.

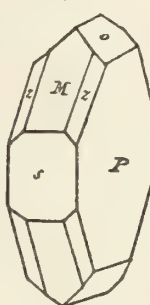


Fig. 123.

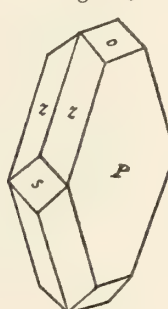


Fig. 124.

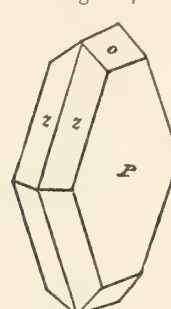


Fig. 125.

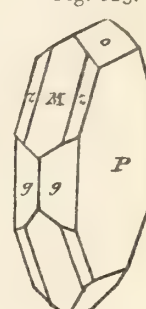


Fig. 126.

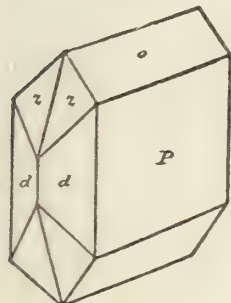


Fig. 127.

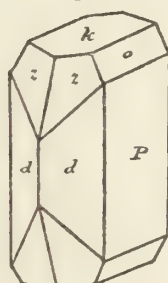


Fig. 128.

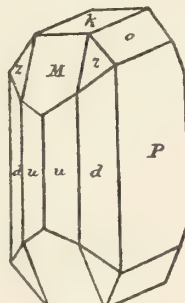


Fig. 129.

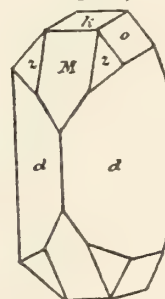


Fig. 130.

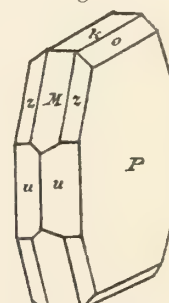


Fig. 131.

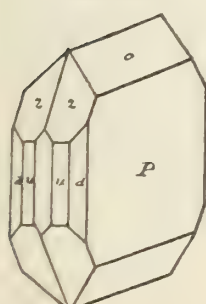


Fig. 132.

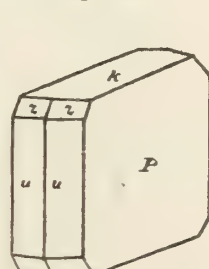


Fig. 133.

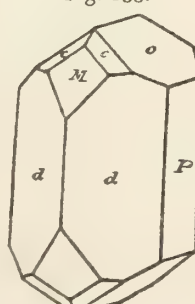


Fig. 134.

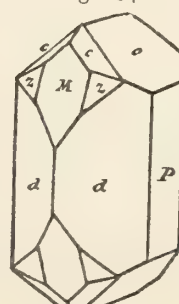
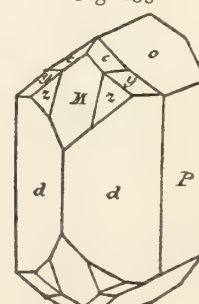


Fig. 135.



Baryt

Fig. 136.

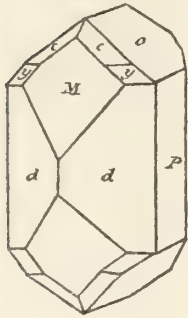


Fig. 137.

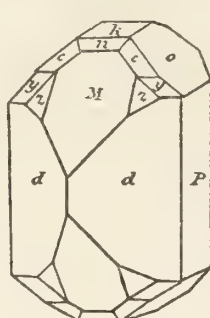


Fig. 138.

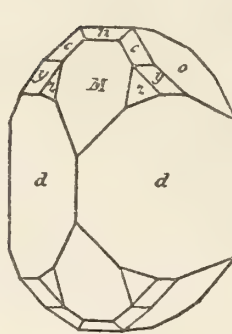


Fig. 139.

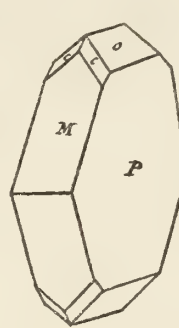


Fig. 140.

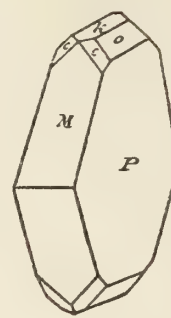


Fig. 141.

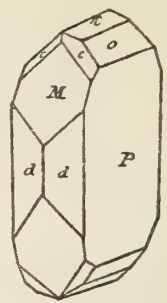


Fig. 142.

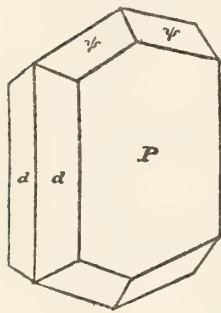


Fig. 143.

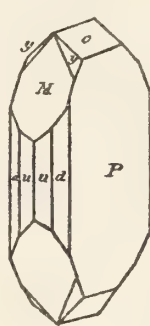


Fig. 144.

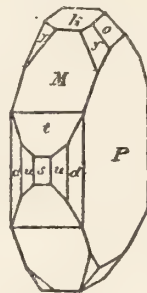


Fig. 145.

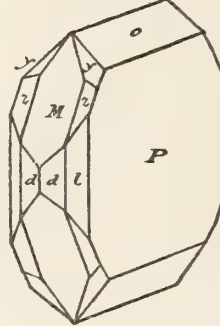


Fig. 146.

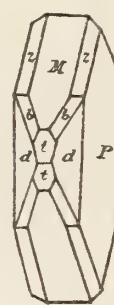


Fig. 147.

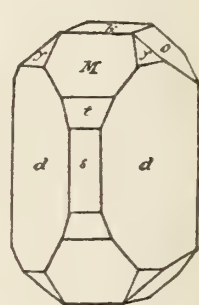


Fig. 148.

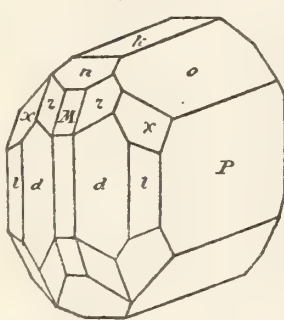


Fig. 149.

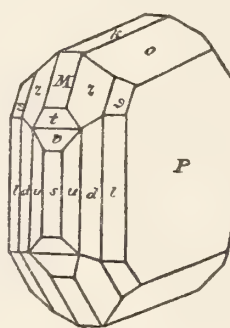


Fig. 150.

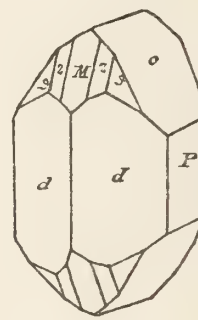


Fig. 151.

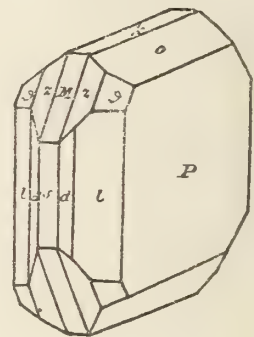


Fig. 152.

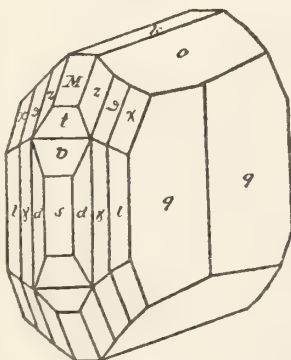


Fig. 153.

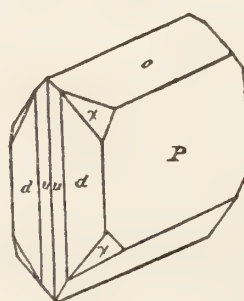


Fig. 154.

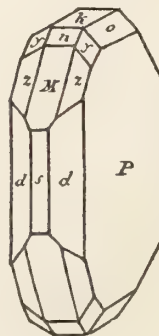


Fig. 155.

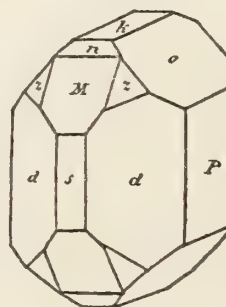
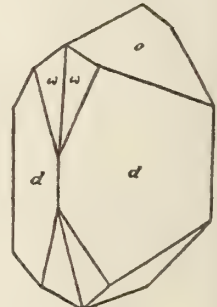


Fig. 156.



Baryt

Fig. 157.

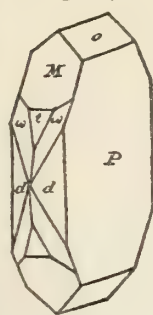


Fig. 158.

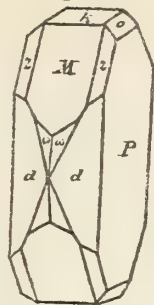


Fig. 159.

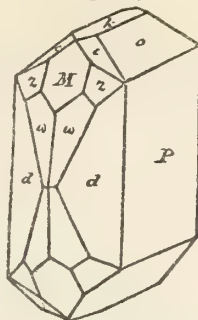


Fig. 160.

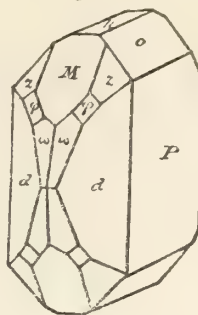


Fig. 161.

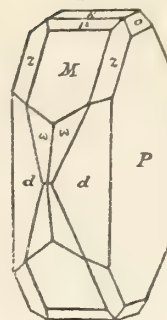


Fig. 162.

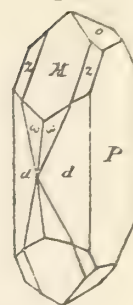


Fig. 163.

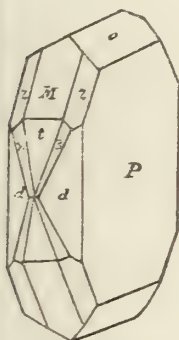


Fig. 164.

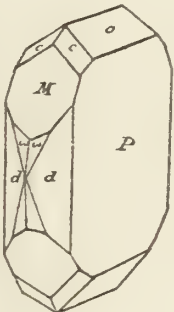


Fig. 165.

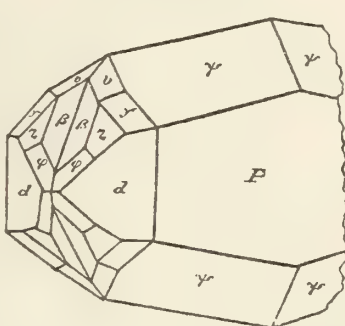


Fig. 166.

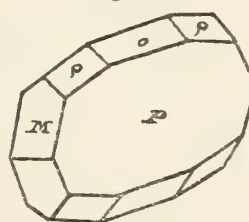


Fig. 167.

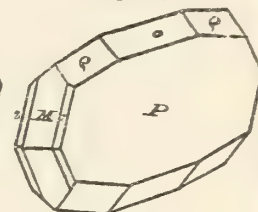


Fig. 168.

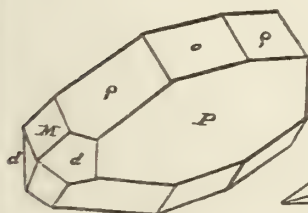


Fig. 169.

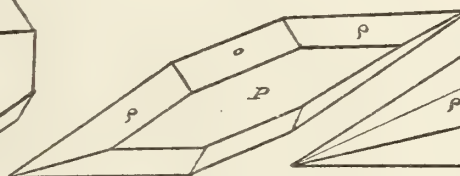


Fig. 170.

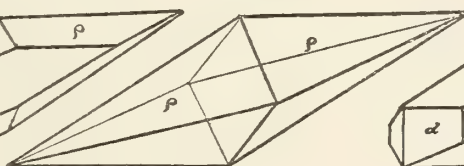


Fig. 171.

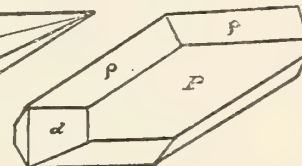


Fig. 172.

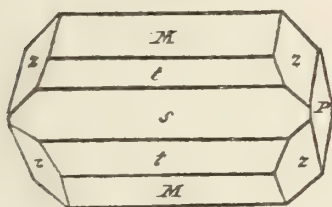


Fig. 173.

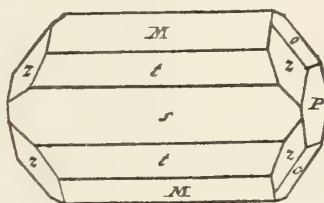


Fig. 174.

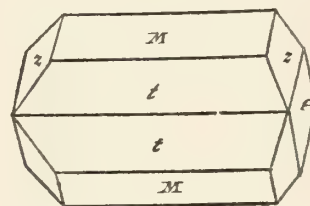


Fig. 175.

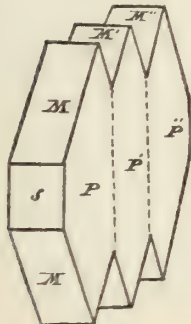


Fig. 176.

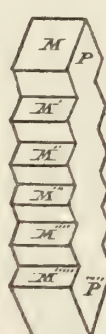


Fig. 177.

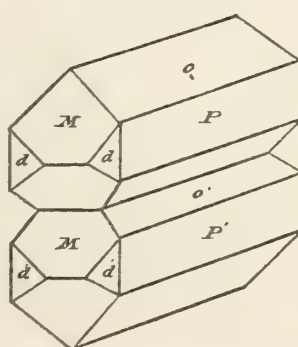


Fig. 178.

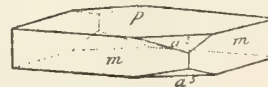
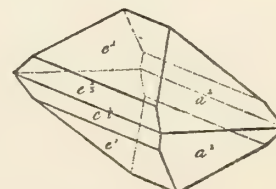


Fig. 179.



Baryt

Fig. 180.

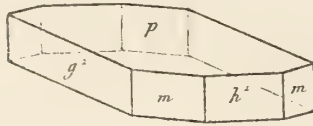


Fig. 181.

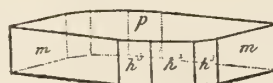


Fig. 182.

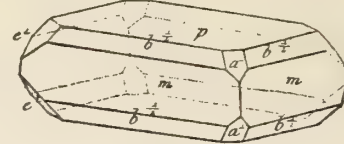


Fig. 183.

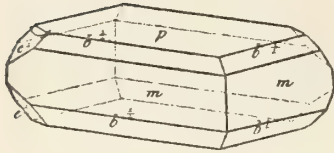


Fig. 184.

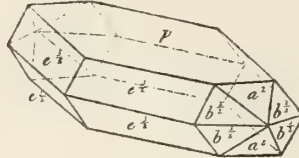


Fig. 185.

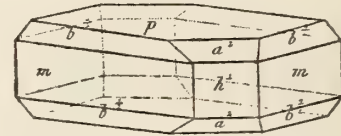


Fig. 186.

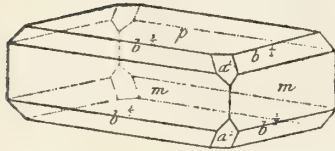


Fig. 187.

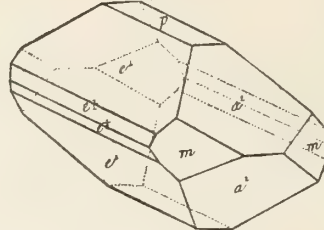


Fig. 188.

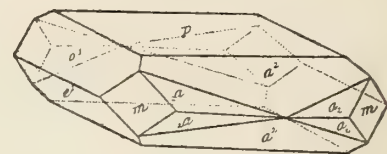


Fig. 189.

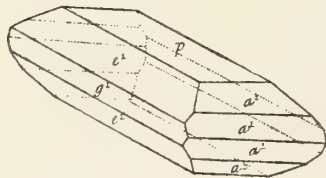


Fig. 190.

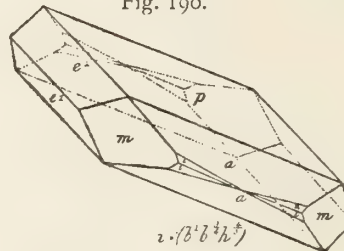


Fig. 191.

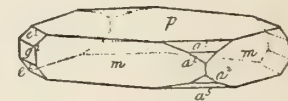


Fig. 192.

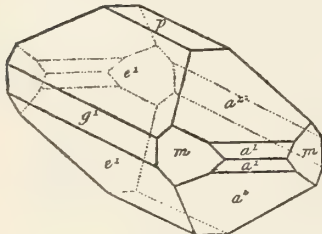


Fig. 193.

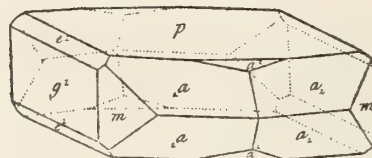


Fig. 194.

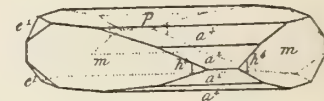


Fig. 195.

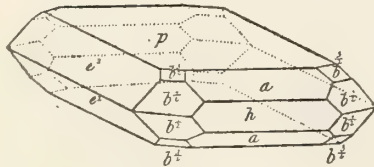


Fig. 196.

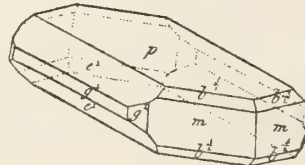


Fig. 197.

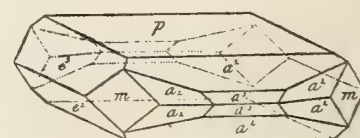


Fig. 198.

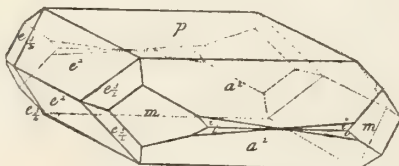


Fig. 199.

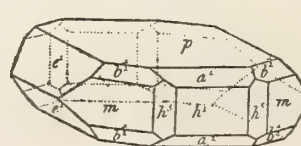
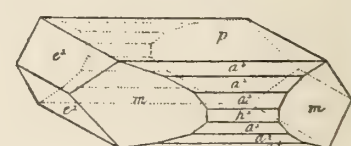


Fig. 200.



$$r = (b^2 b^2 h^2)$$

Baryt

Fig. 201.

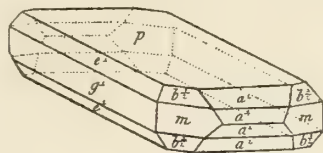


Fig. 202.

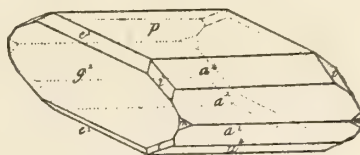


Fig. 203.

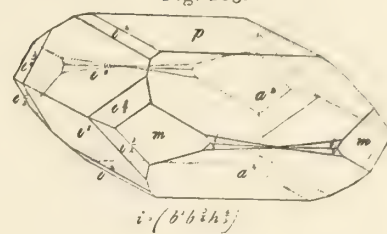


Fig. 204.

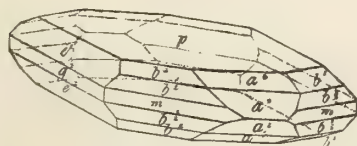


Fig. 205.

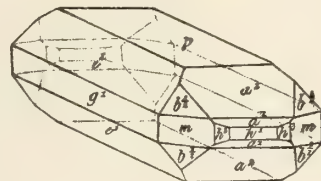


Fig. 206.

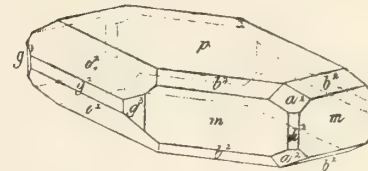


Fig. 207.



Fig. 208.

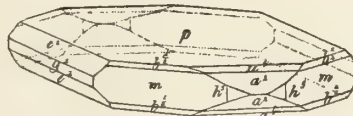


Fig. 209.

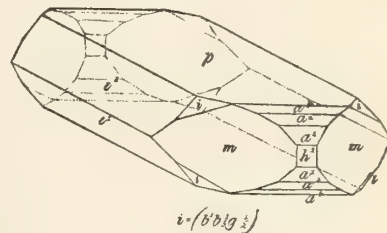


Fig. 210.

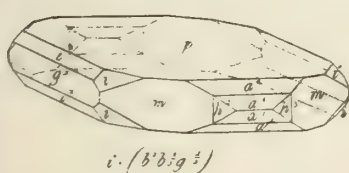


Fig. 211.

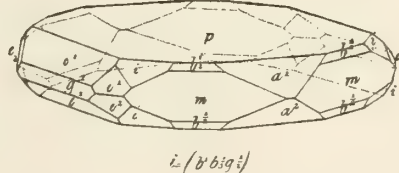


Fig. 212.

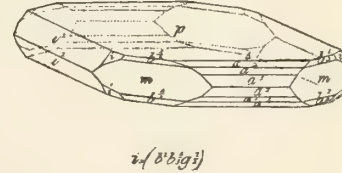


Fig. 213.



Fig. 214.

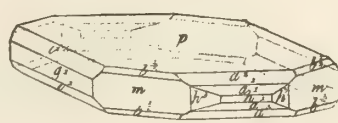


Fig. 215.

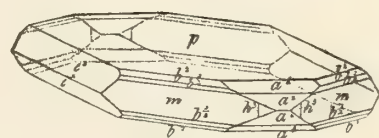


Fig. 216.

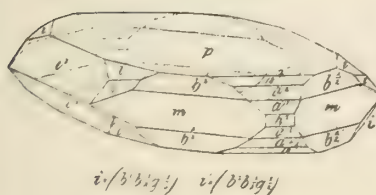


Fig. 217.

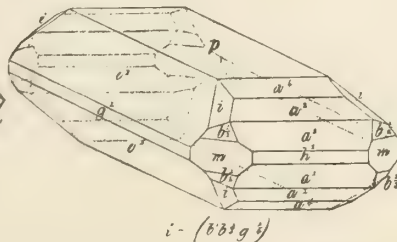
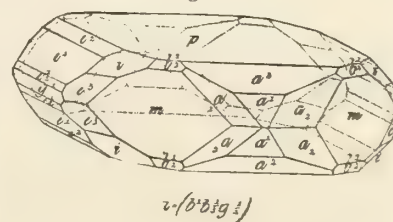


Fig. 218.



Baryt

Fig. 219.

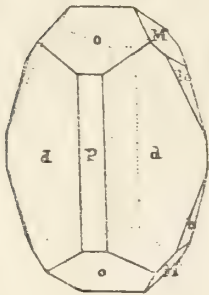


Fig. 220.

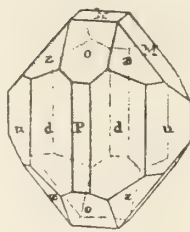


Fig. 221.

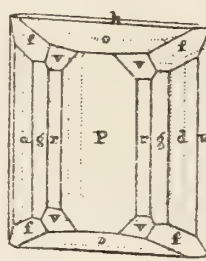


Fig. 222.

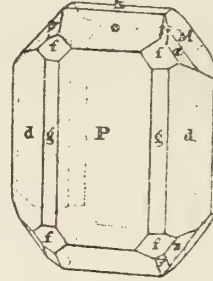


Fig. 223.

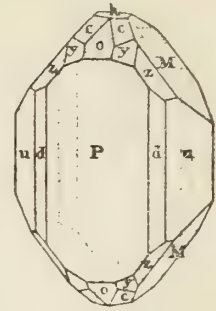


Fig. 224.

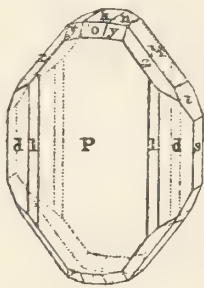


Fig. 225.

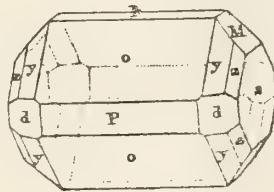


Fig. 226.

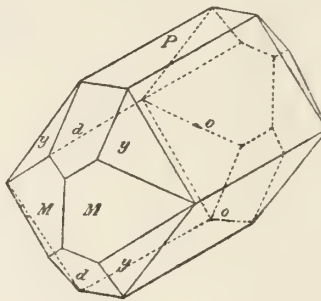


Fig. 227.

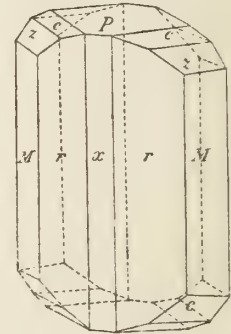


Fig. 228.

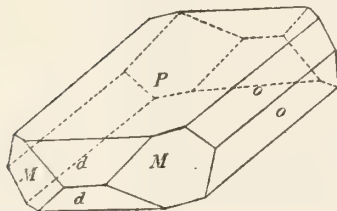


Fig. 229.

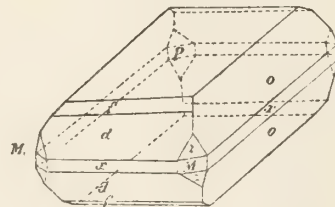


Fig. 230.

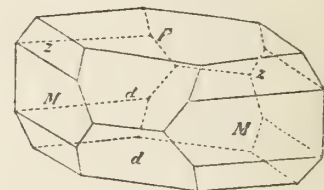


Fig. 231.

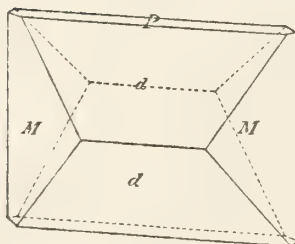


Fig. 232.

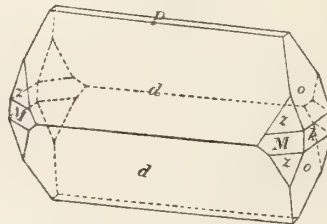


Fig. 233.

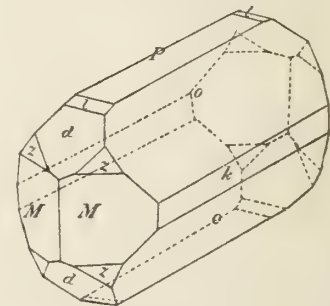


Fig. 234.

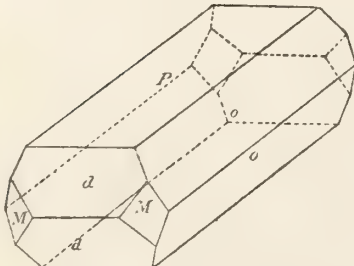


Fig. 235.

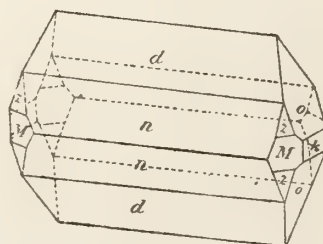
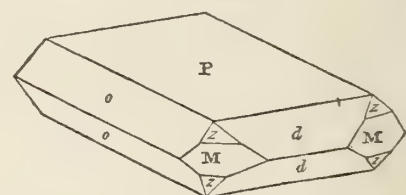


Fig. 236.



Baryt

Fig. 237.

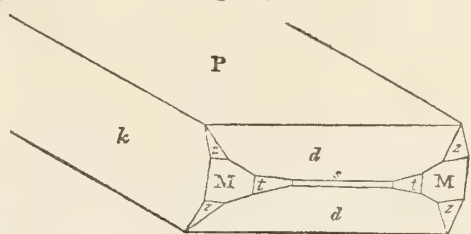


Fig. 238.

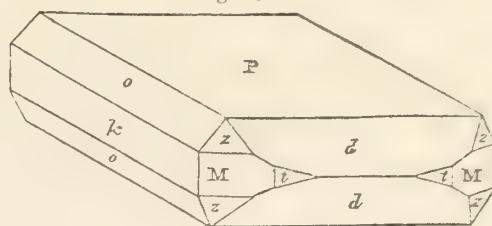


Fig. 239.

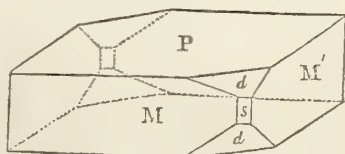


Fig. 241 a.

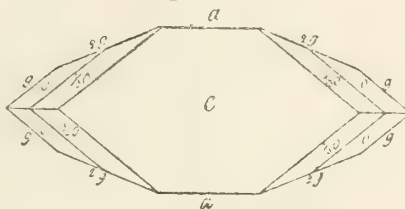


Fig. 241 b.

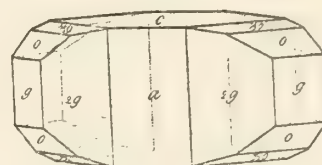


Fig. 240.

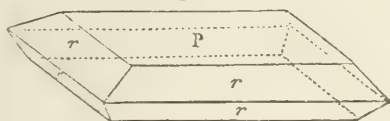


Fig. 243.

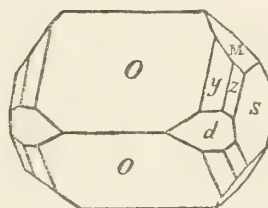


Fig. 244.

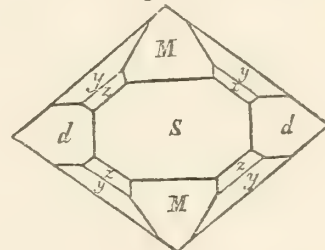


Fig. 242.

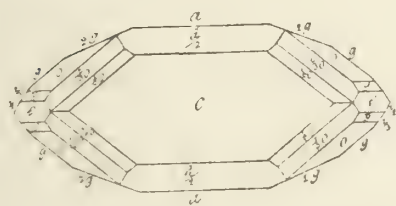


Fig. 245.



Fig. 246.

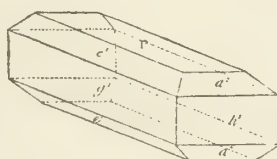


Fig. 247.

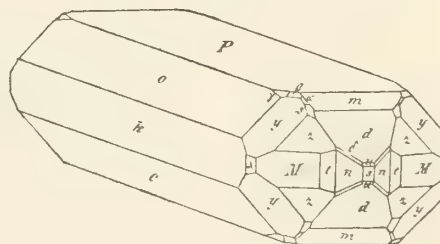


Fig. 248.

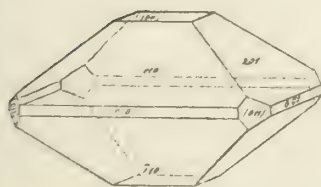


Fig. 249.

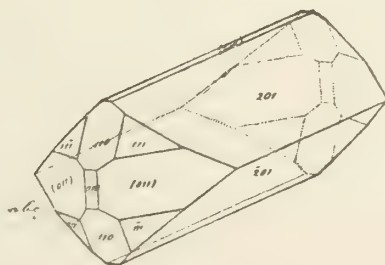


Fig. 250.

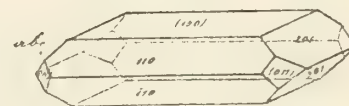
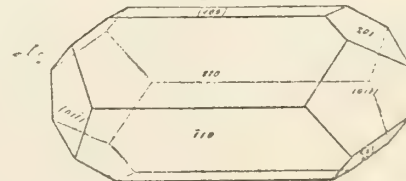


Fig. 251.



Baryt

Fig. 252.

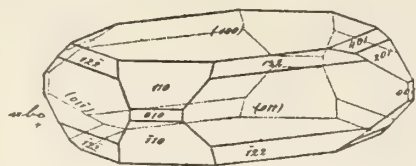


Fig. 253.

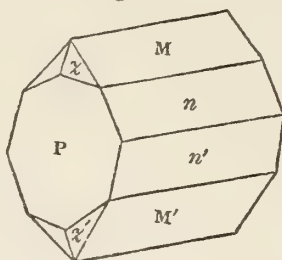


Fig. 254.

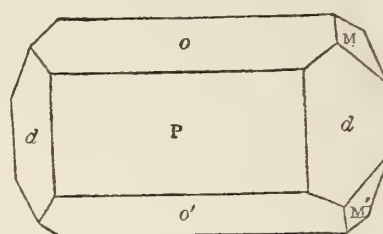


Fig. 255.

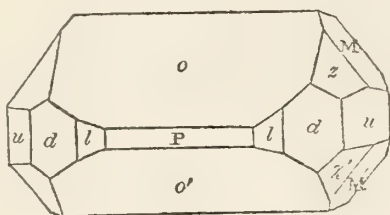


Fig. 256.

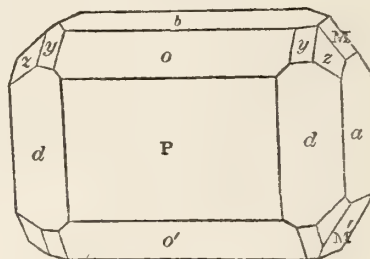


Fig. 257.

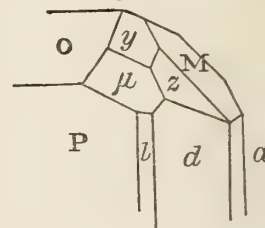


Fig. 258.

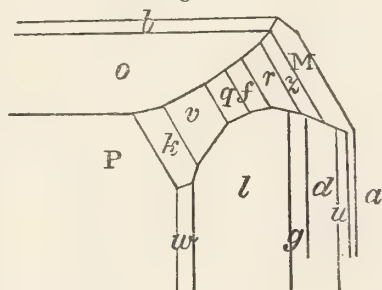


Fig. 259.

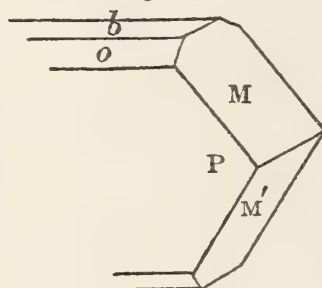


Fig. 260.

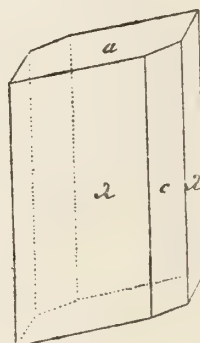


Fig. 261.

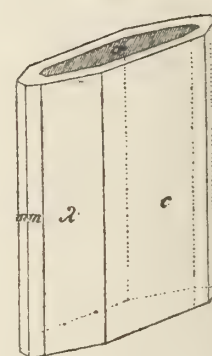


Fig. 262.

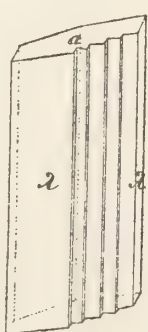


Fig. 263.

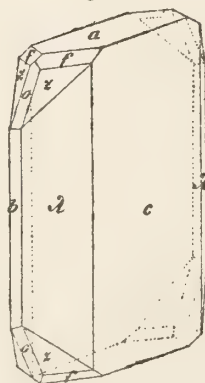


Fig. 264.

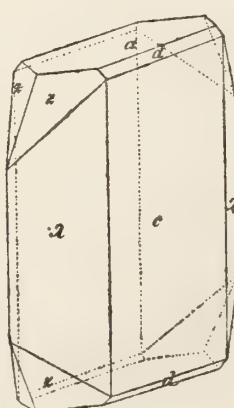


Fig. 265.

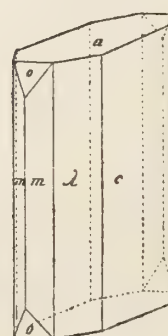
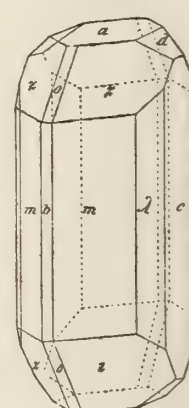


Fig. 266.



Baryt

Fig. 267.

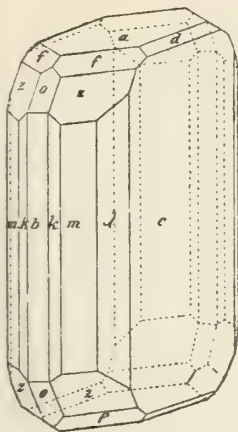


Fig. 268.

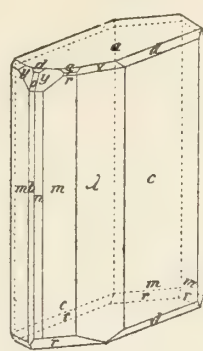


Fig. 269.

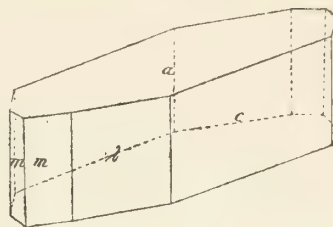


Fig. 270.

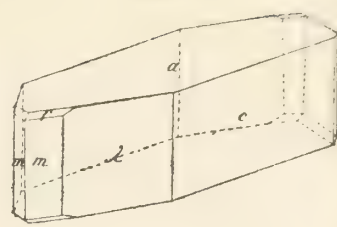


Fig. 271.

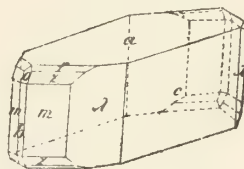


Fig. 272.

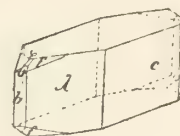


Fig. 273.

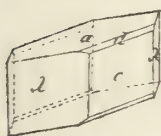


Fig. 274.

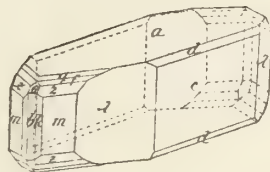


Fig. 275.

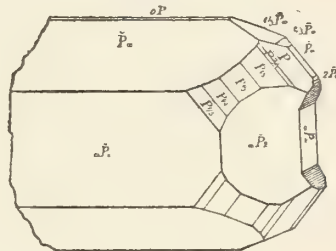


Fig. 276.

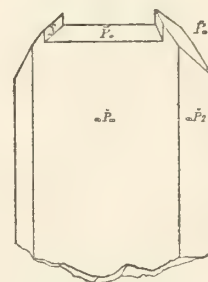


Fig. 277.

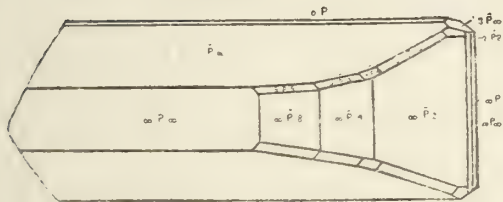


Fig. 278.

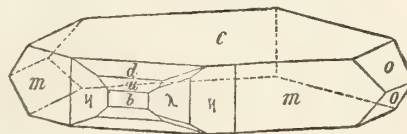


Fig. 279.

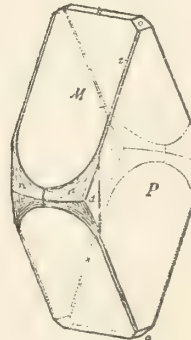


Fig. 281.

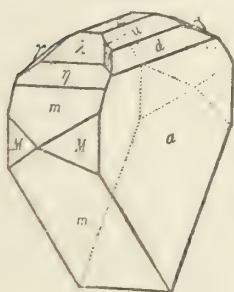


Fig. 282.

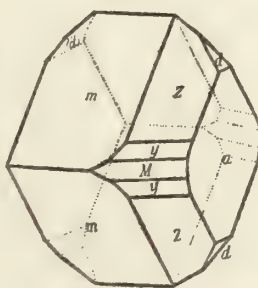


Fig. 283.

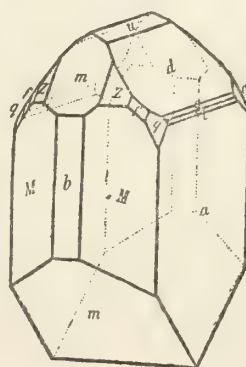
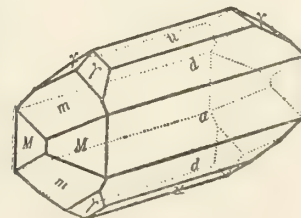


Fig. 280.



Fig. 284.



Baryt

Fig. 285.

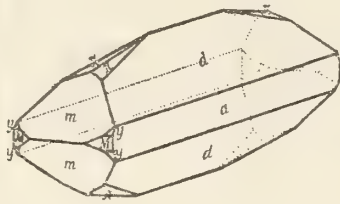


Fig. 286.

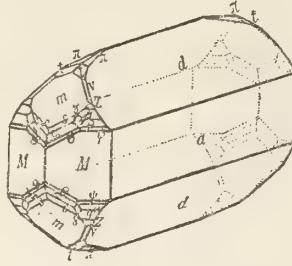


Fig. 287.

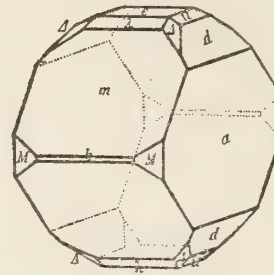


Fig. 288.

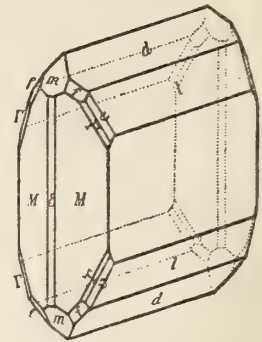


Fig. 289.

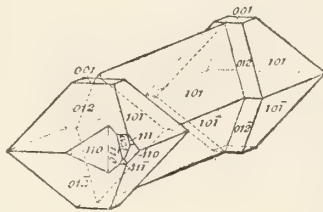


Fig. 290.

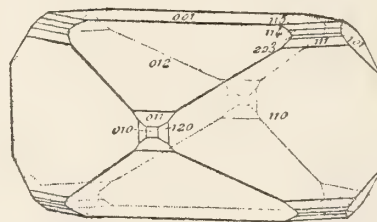


Fig. 291.

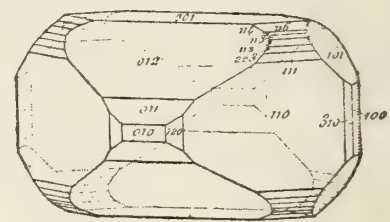


Fig. 292.

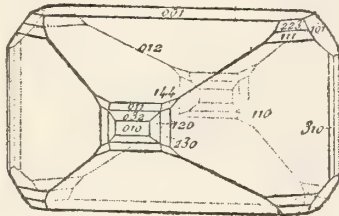


Fig. 293.

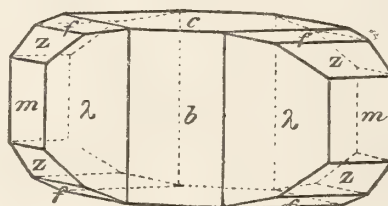


Fig. 294.

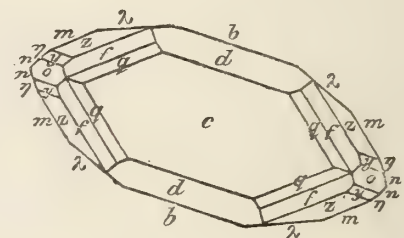


Fig. 295.

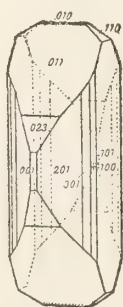


Fig. 296.

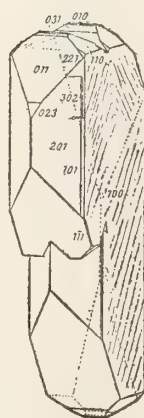


Fig. 297.

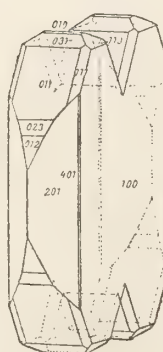


Fig. 298.

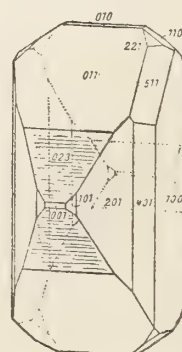
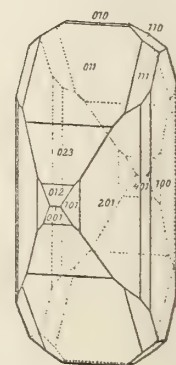


Fig. 299.



Baryt

Fig. 300.

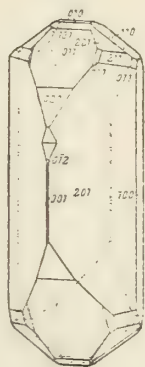


Fig. 301.

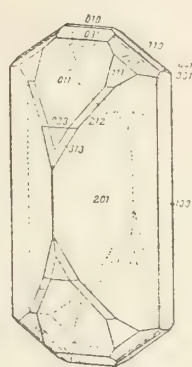


Fig. 302.

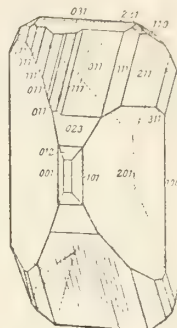


Fig. 303.

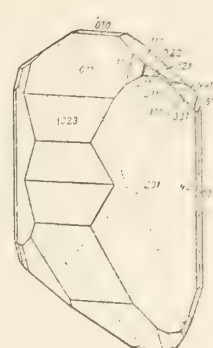


Fig. 304.



Fig. 305.

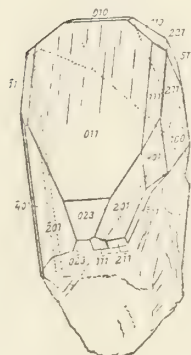


Fig. 306.

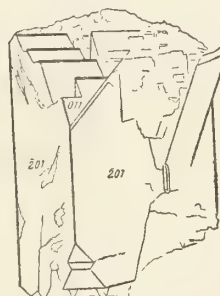


Fig. 307.

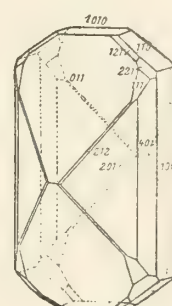


Fig. 308.

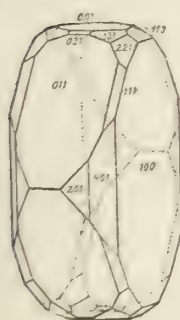


Fig. 309.

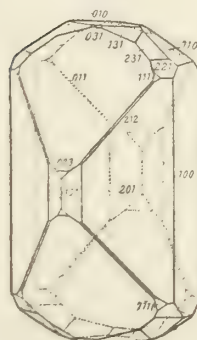


Fig. 310.

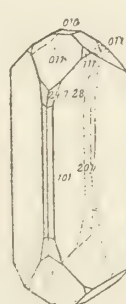


Fig. 311.

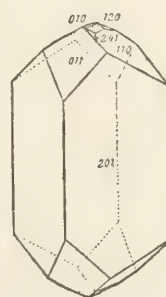
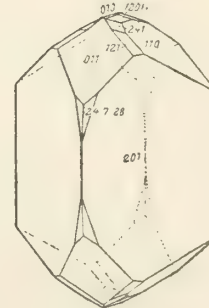


Fig. 312.



Baryt Fig. 330.

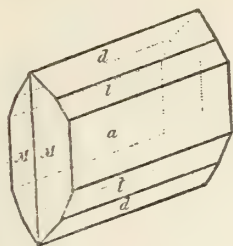


Fig. 331.

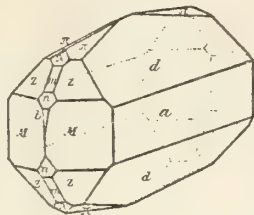


Fig. 332.

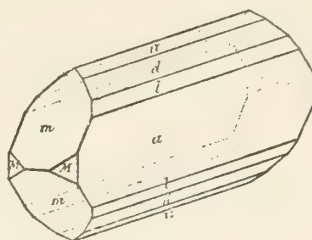


Fig. 333.

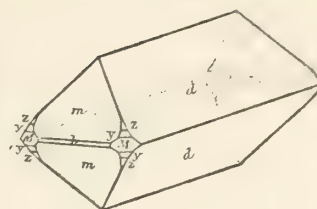


Fig. 334.

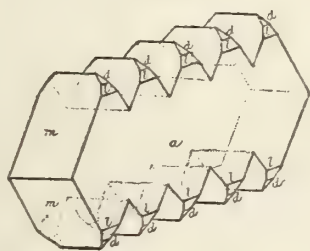


Fig. 335.

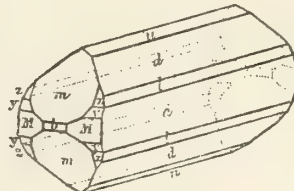


Fig. 336.

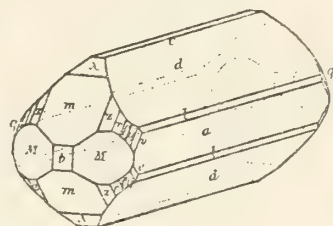


Fig. 337.

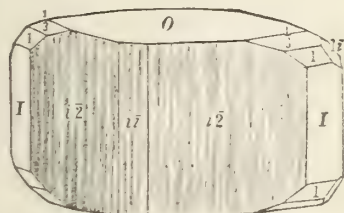


Fig. 338.

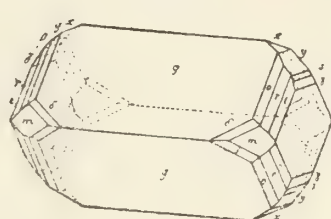


Fig. 339.

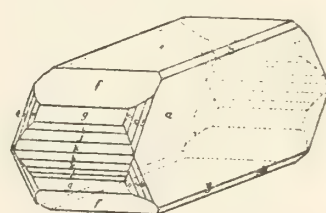


Fig. 341.

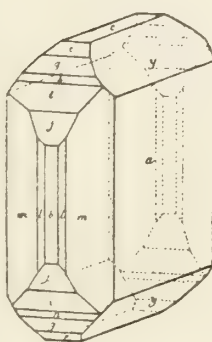


Fig. 342.

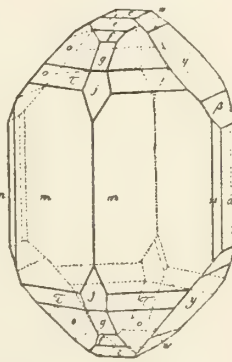


Fig. 340.

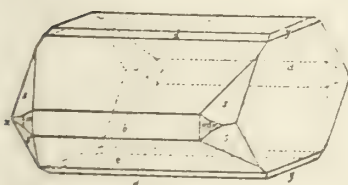


Fig. 343.

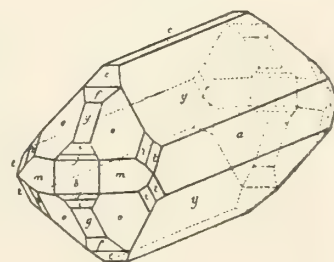


Fig. 344.

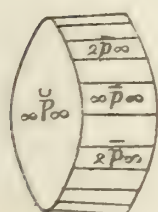


Fig. 345.

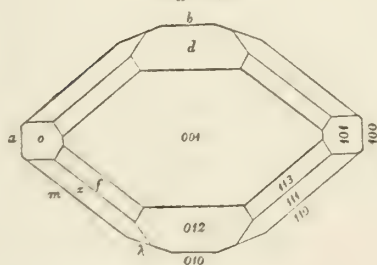


Fig. 346.

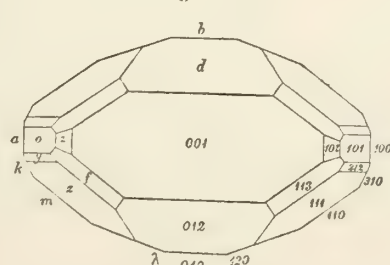
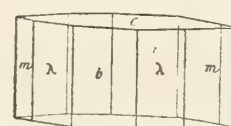


Fig. 347.



Baryt

Fig. 348.



Fig. 349.



Fig. 350.



Fig. 351.



Fig. 352.



Fig. 353.



Fig. 354.



Fig. 355.



Fig. 356.



Fig. 357.

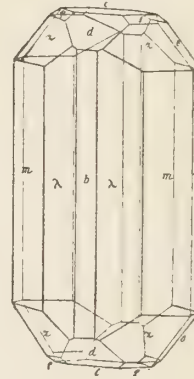


Fig. 358.



Fig. 359.

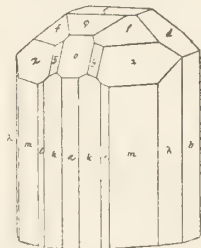


Fig. 360.

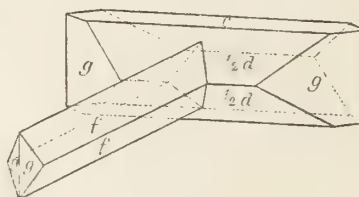


Fig. 361.

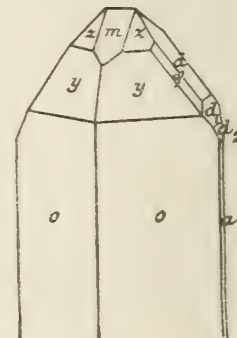


Fig. 362.

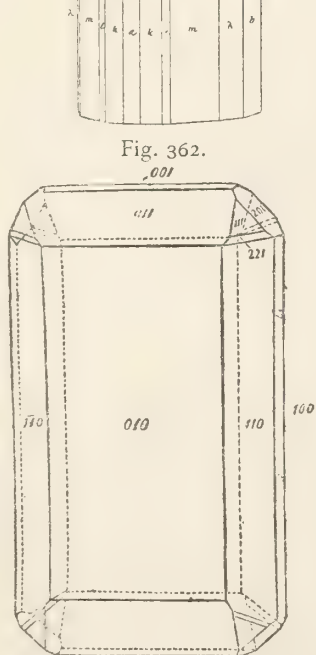


Fig. 364.

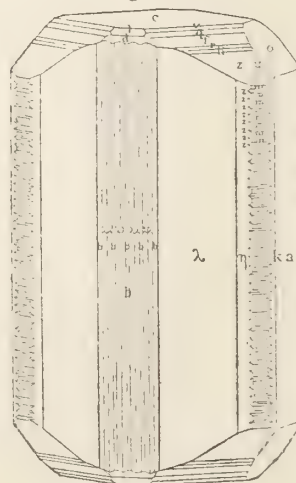
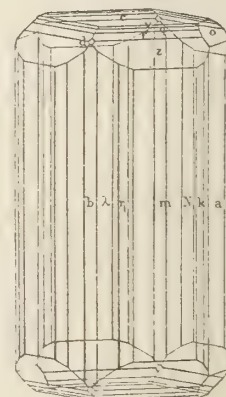


Fig. 365.



Baryt

Fig. 366.

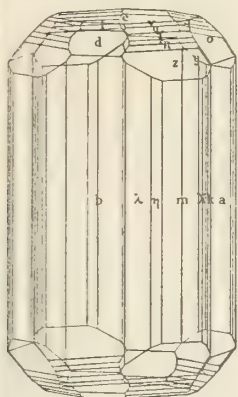


Fig. 367.

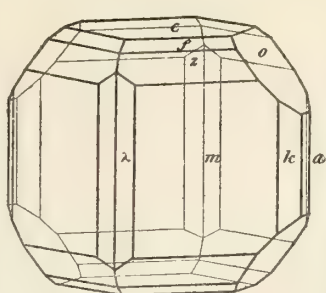


Fig. 368.

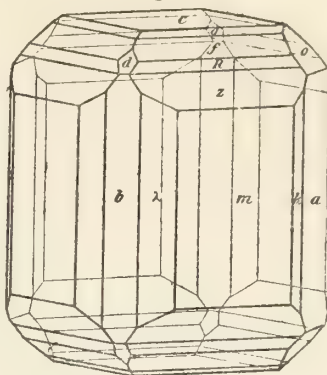


Fig. 369.

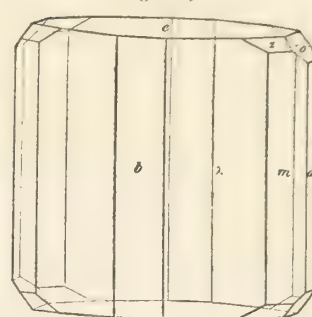


Fig. 370.

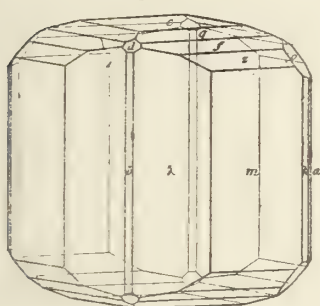


Fig. 371.

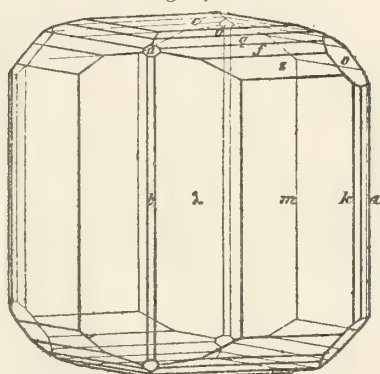


Fig. 372.

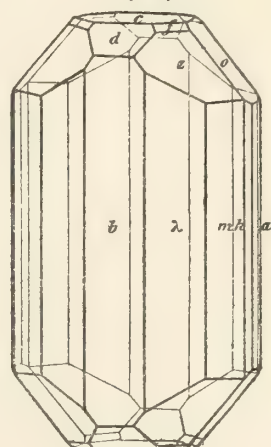


Fig. 373.

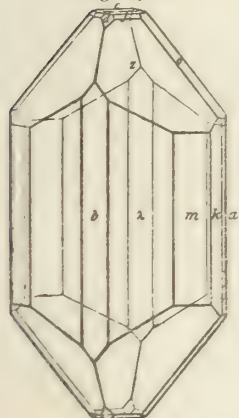


Fig. 374.

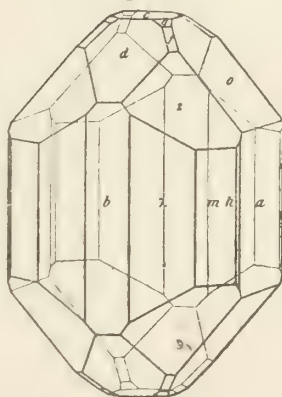


Fig. 375.

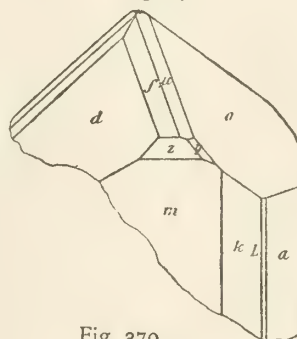


Fig. 376.

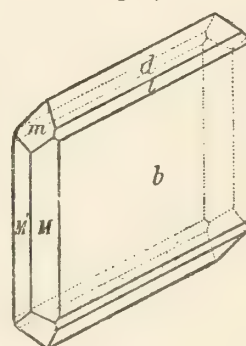


Fig. 377.

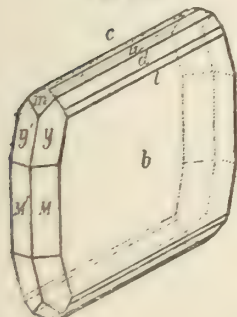


Fig. 378.

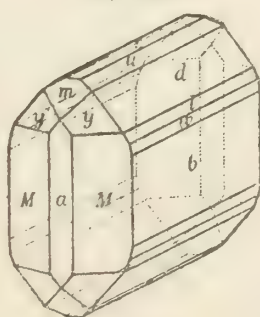


Fig. 379.

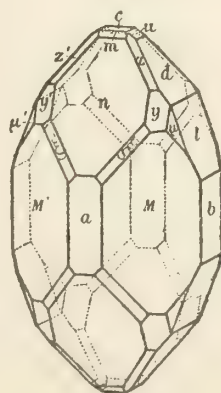
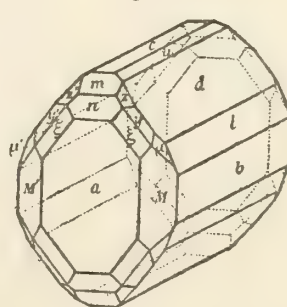


Fig. 380.



Baryt

Fig. 381.

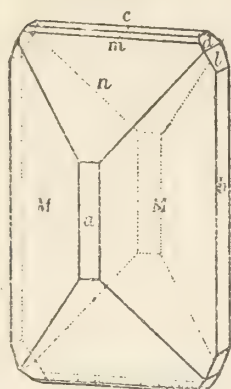


Fig. 382.

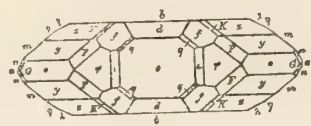


Fig. 384.

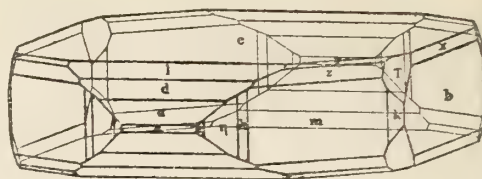


Fig. 383.

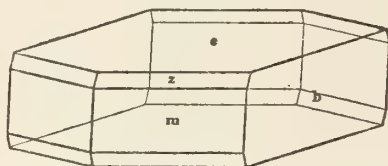


Fig. 385.

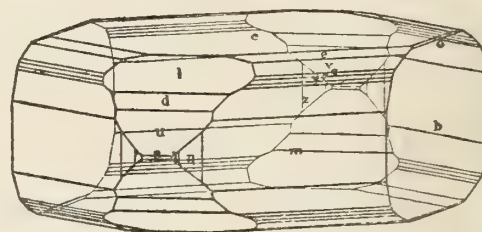


Fig. 387.

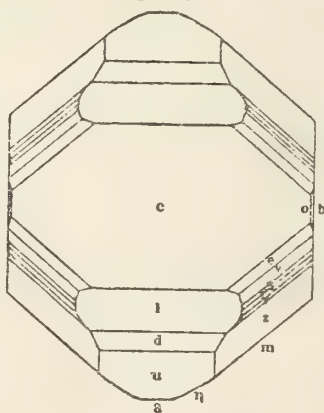


Fig. 388.

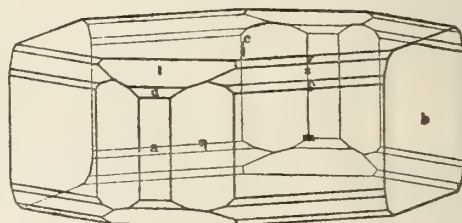


Fig. 386.



Fig. 389.

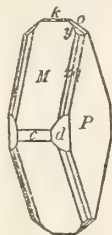


Fig. 390.

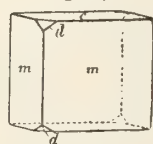


Fig. 391.

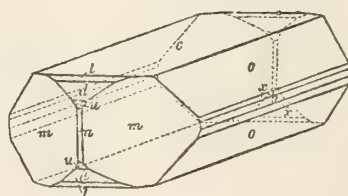


Fig. 392.



Fig. 393.

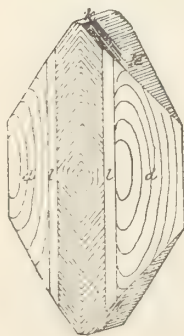


Fig. 394.

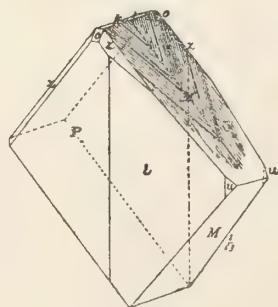


Fig. 395.

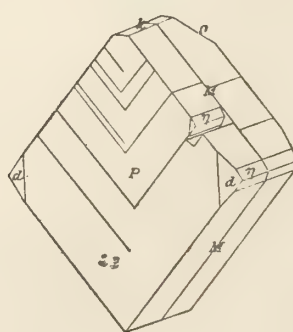
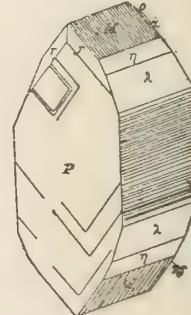


Fig. 396.



Baryt

Fig. 397.

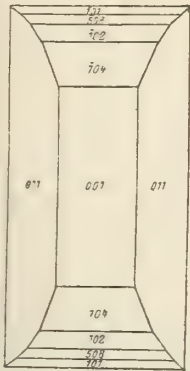


Fig. 398.

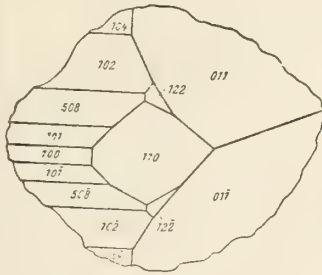


Fig. 399.

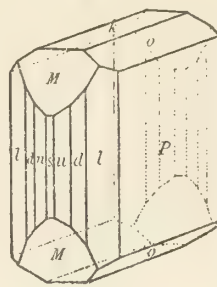


Fig. 400.

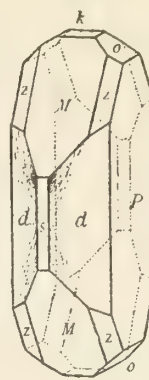


Fig. 401.

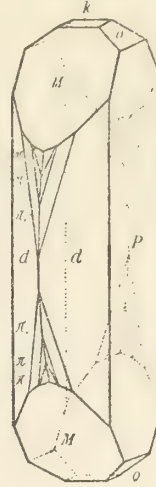


Fig. 402.

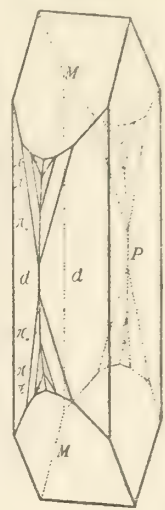


Fig. 403.

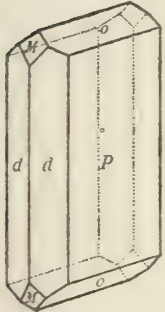


Fig. 404.

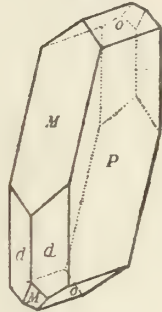


Fig. 405.

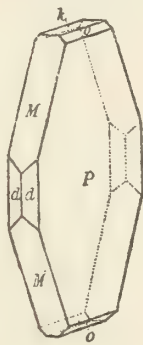


Fig. 406.

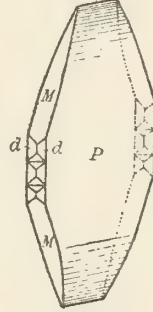


Fig. 407.

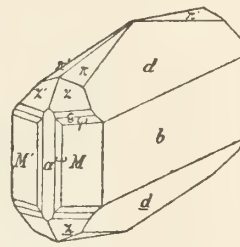


Fig. 408.

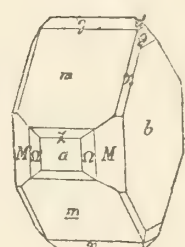


Fig. 409.

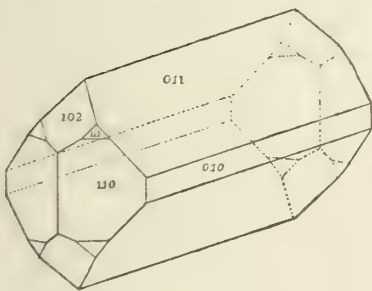


Fig. 410.

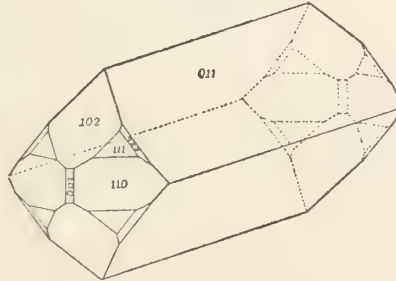


Fig. 411.

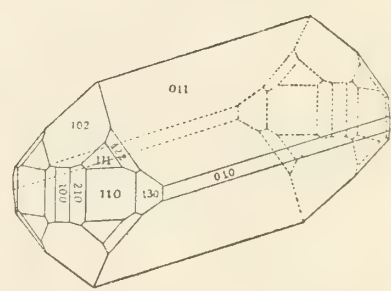


Fig. 412.

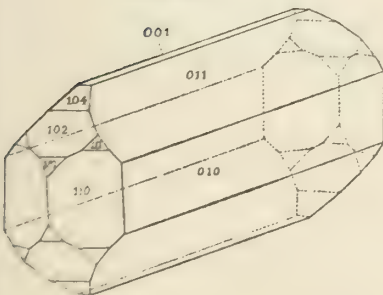


Fig. 413.

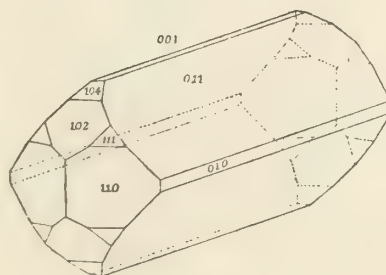
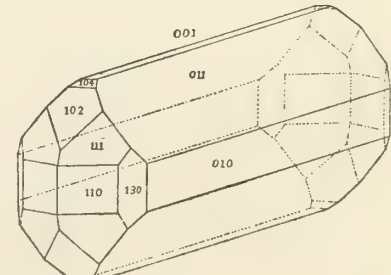


Fig. 414.



Baryt

Fig. 415.

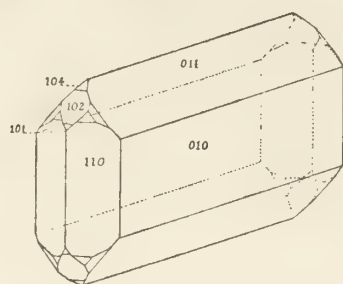


Fig. 416.

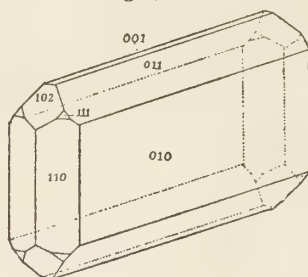


Fig. 417.

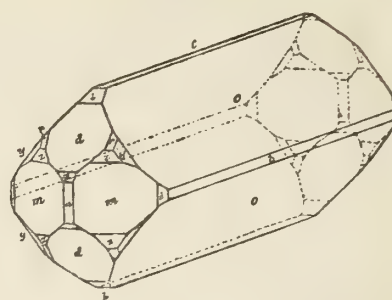


Fig. 418.

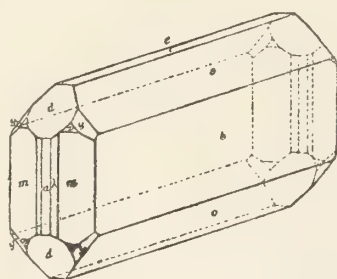


Fig. 419.

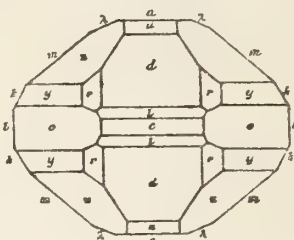


Fig. 420.

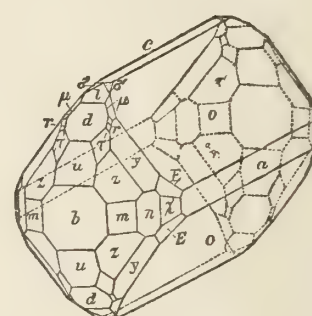


Fig. 421.

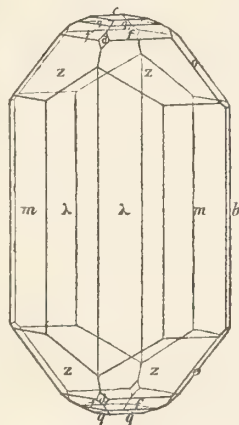


Fig. 422.

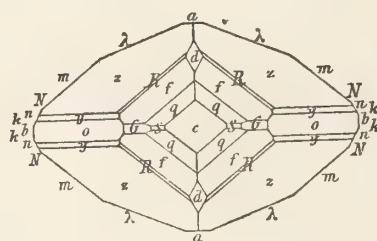


Fig. 424.

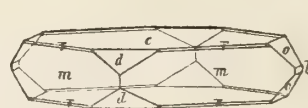


Fig. 426.

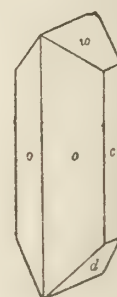


Fig. 425.

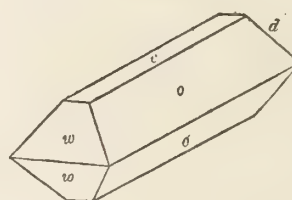


Fig. 423.

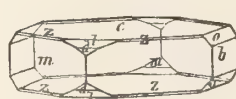


Fig. 431.

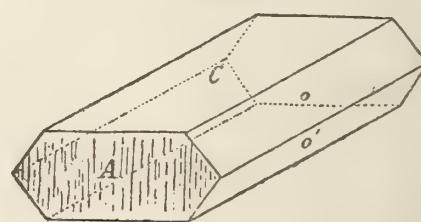


Fig. 432.

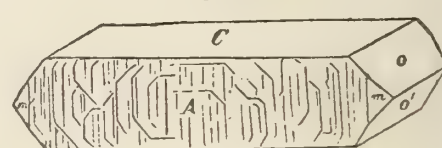


Fig. 428.

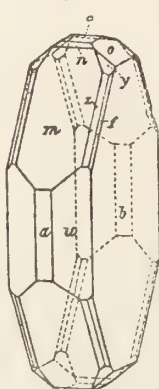


Fig. 429.

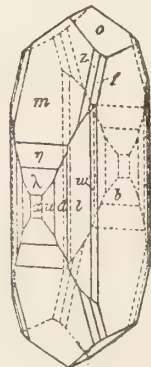


Fig. 430.

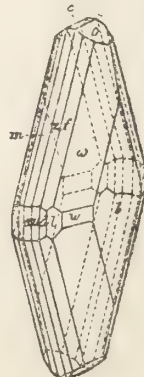
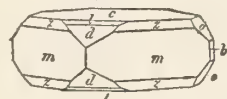


Fig. 427.



Baryt

Fig. 452.

Fig. 451.

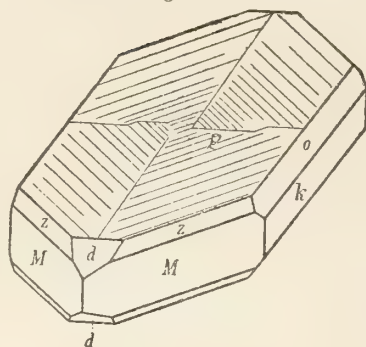
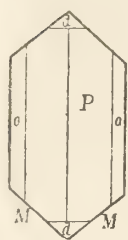


Fig. 453.



Fig. 454.

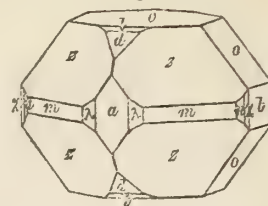


Fig. 455.

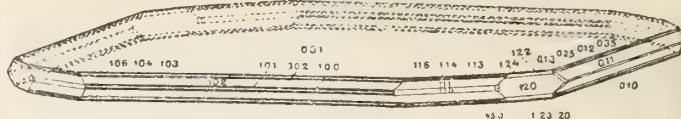


Fig. 456.

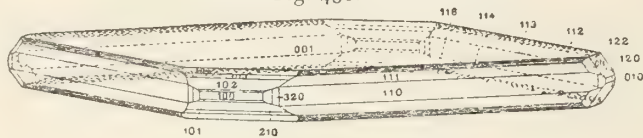


Fig. 457.



Fig. 458.

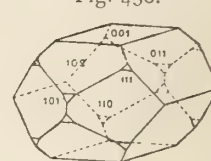


Fig. 459.

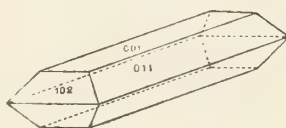


Fig. 460.

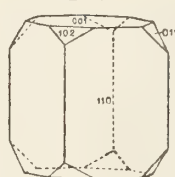


Fig. 461.

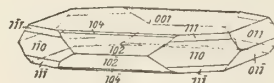


Fig. 462.

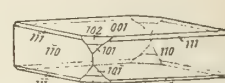


Fig. 463.

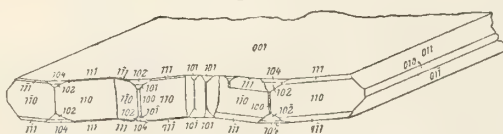


Fig. 464.

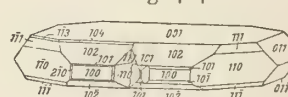


Fig. 465.

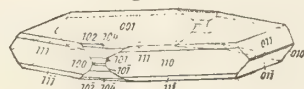


Fig. 466.

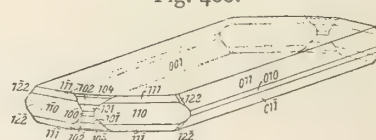


Fig. 467.

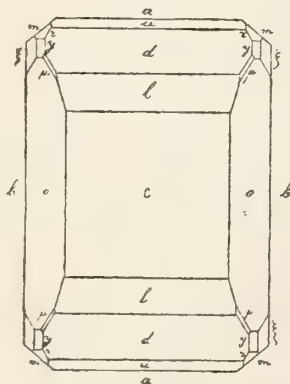


Fig. 468.

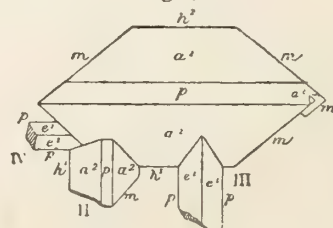


Fig. 469.

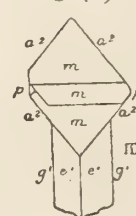
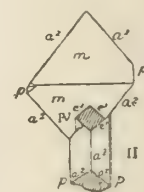


Fig. 470.



Baryt

Fig. 471.

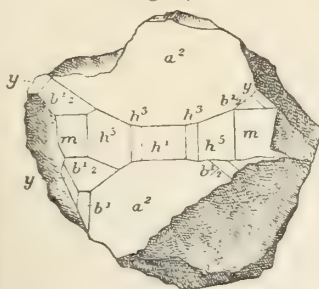


Fig. 472.

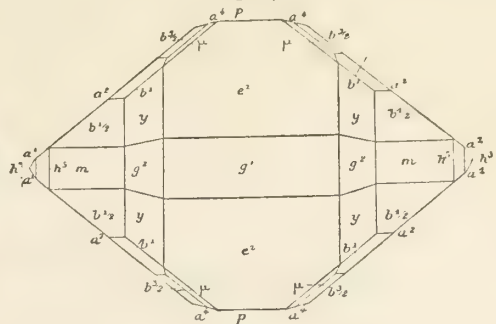


Fig. 473.

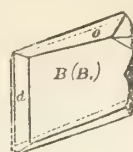


Fig. 474.

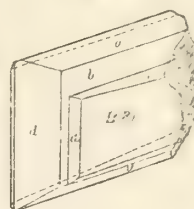


Fig. 475.

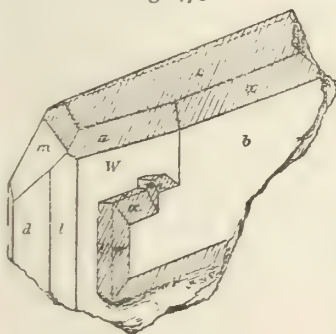


Fig. 476.

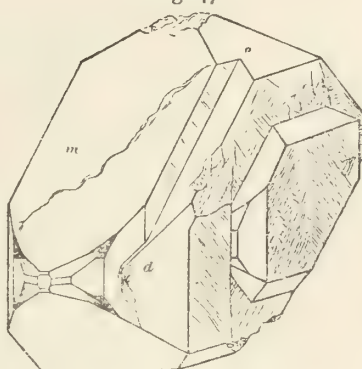


Fig. 477.

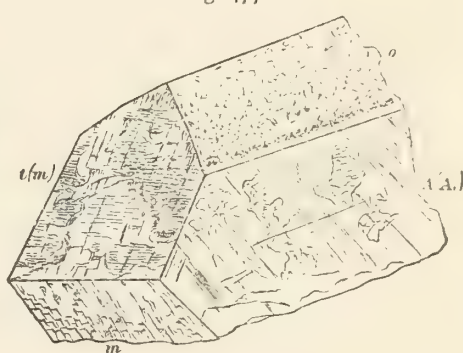


Fig. 479.

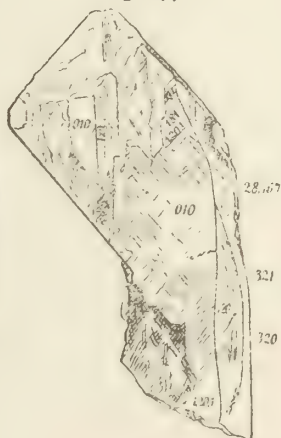


Fig. 478.

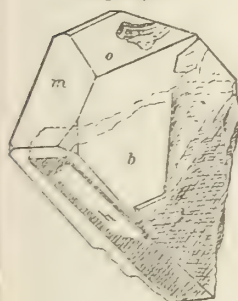


Fig. 480.

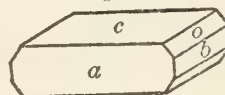


Fig. 481.

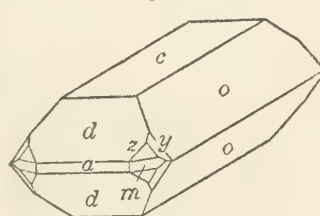


Fig. 482.

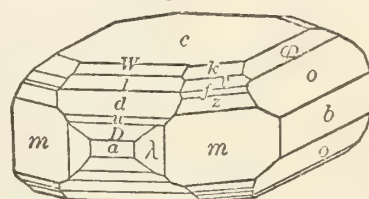


Fig. 483.

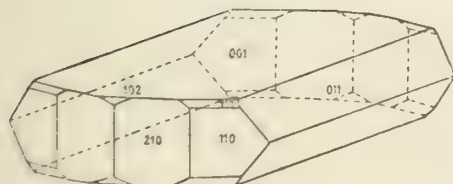


Fig. 484.

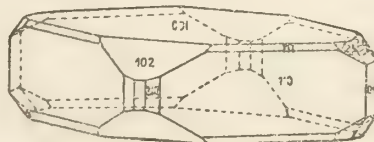
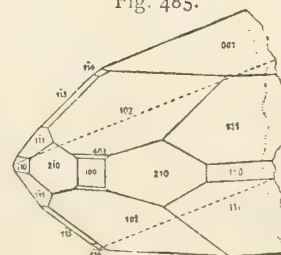


Fig. 485.



Baryt

Fig. 486.

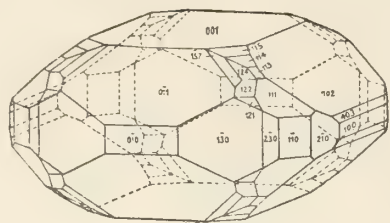


Fig. 487.

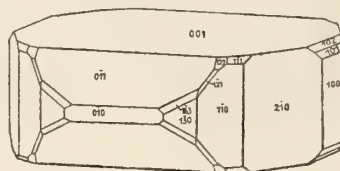
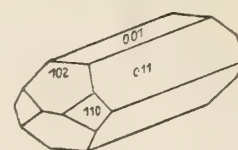


Fig. 488.



Baryt

Fig. 505.

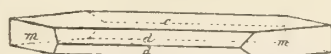


Fig. 506.

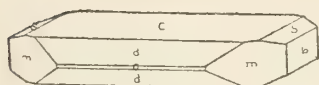


Fig. 509.

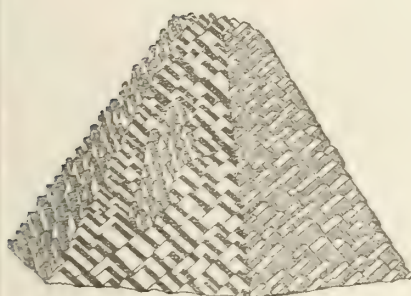


Fig. 507.

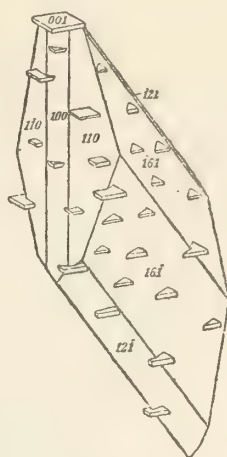


Fig. 508.

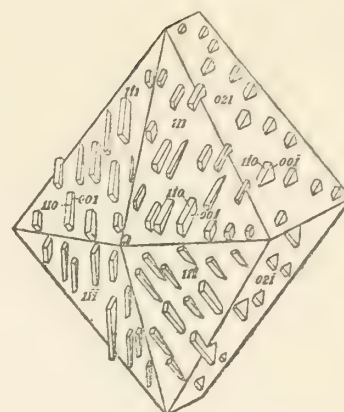


Fig. 510.

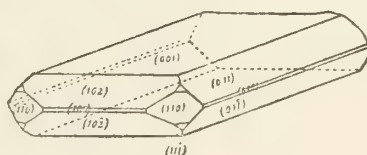


Fig. 511.

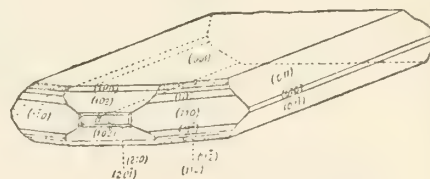


Fig. 512.

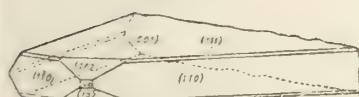


Fig. 513.

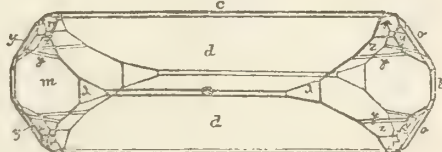


Fig. 514.

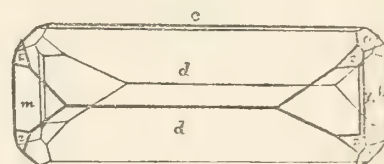


Fig. 515.

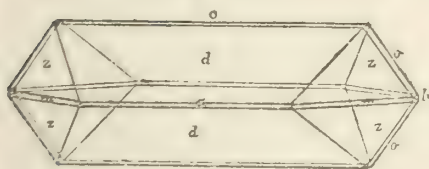


Fig. 516.

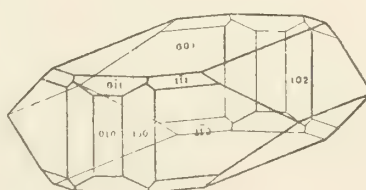


Fig. 517.

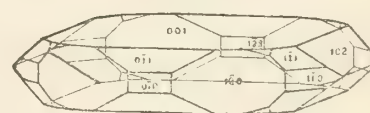


Fig. 518.



Fig. 519.

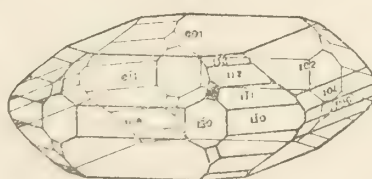
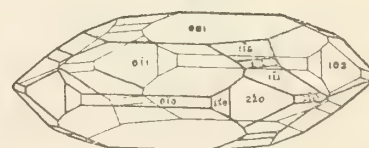


Fig. 520.



Baryt

Fig. 521.

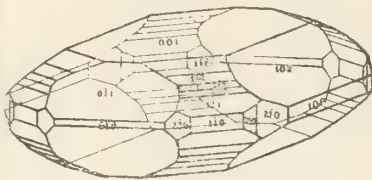


Fig. 522.

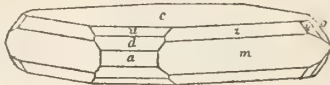


Fig. 523.

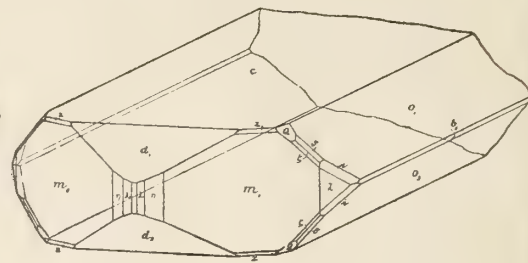


Fig. 524.

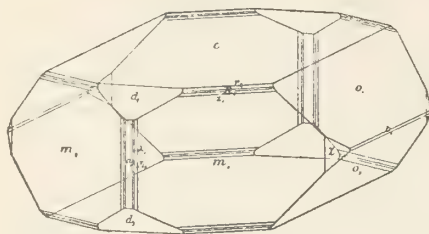


Fig. 525.

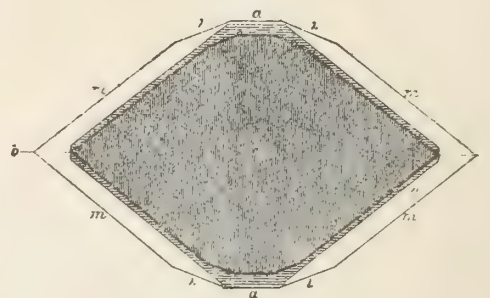


Fig. 526.

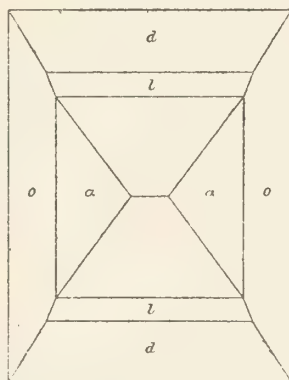


Fig. 527.

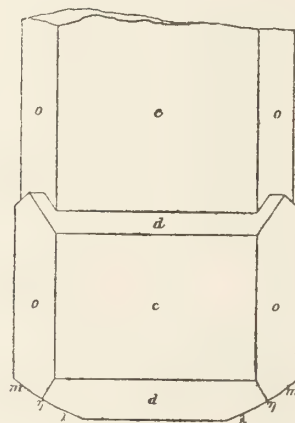


Fig. 528.

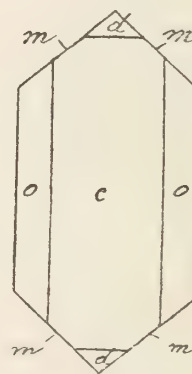


Fig. 529.

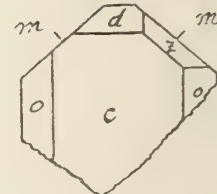


Fig. 530.

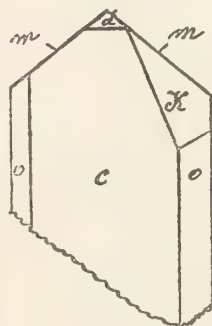


Fig. 531.

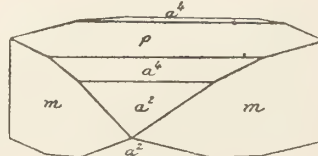


Fig. 532.

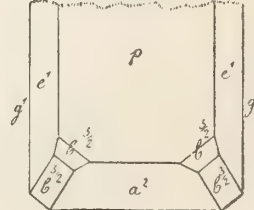
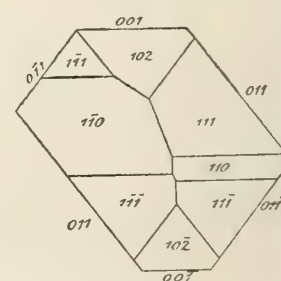


Fig. 533.



Baryt

Fig. 534.

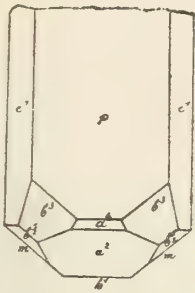


Fig. 535.

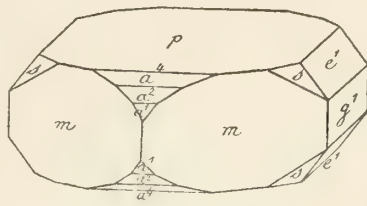


Fig. 536.

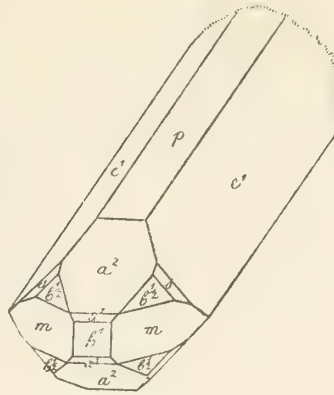


Fig. 537.

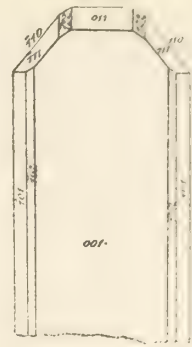


Fig. 538.

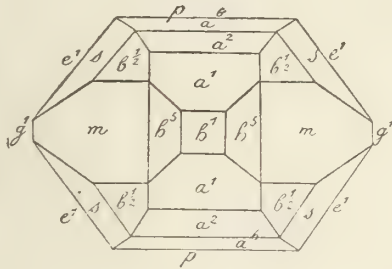


Fig. 539.

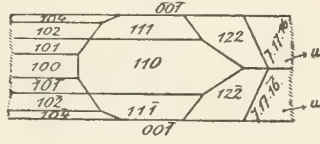


Fig. 540.

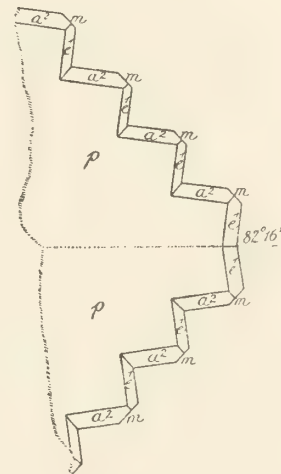


Fig. 542.

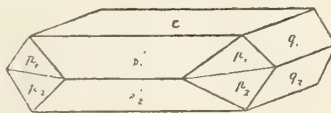


Fig. 541.

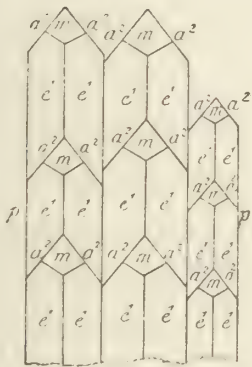


Fig. 543.

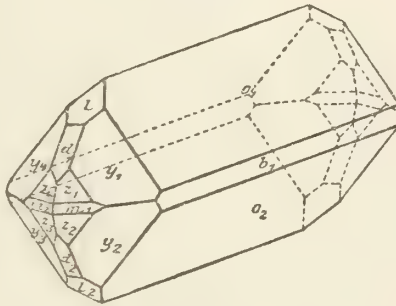


Fig. 544.

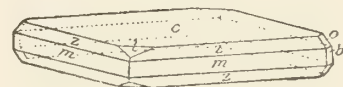


Fig. 545.

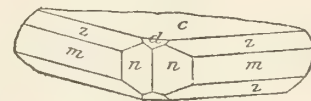


Fig. 546.

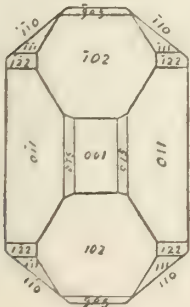


Fig. 547.

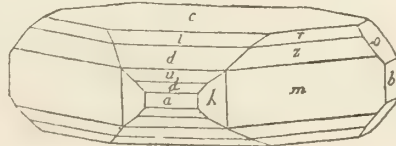
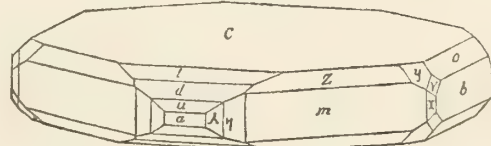


Fig. 548.



Baryt

Fig. 549.

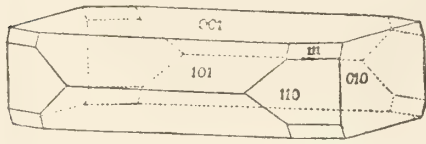


Fig. 550.

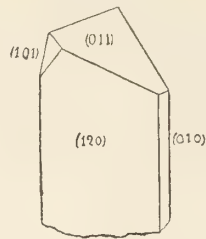


Fig. 551.

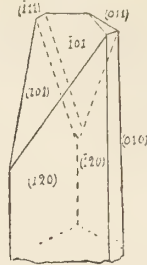


Fig. 552.

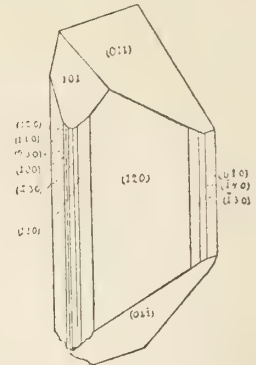


Fig. 553.

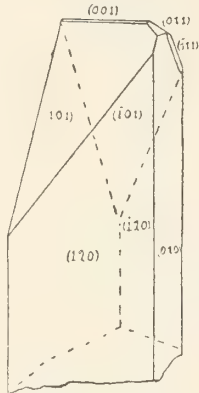


Fig. 554.

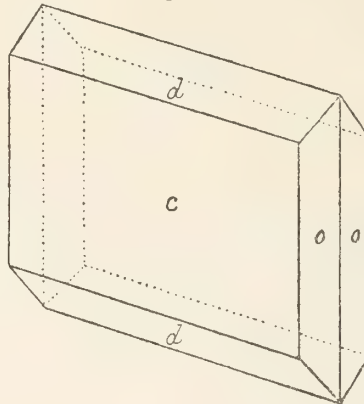


Fig. 555.

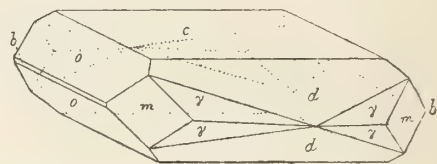


Fig. 556.

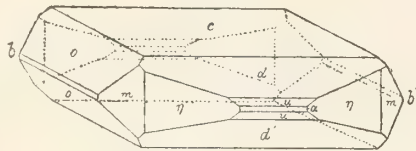


Fig. 557.



Fig. 558.

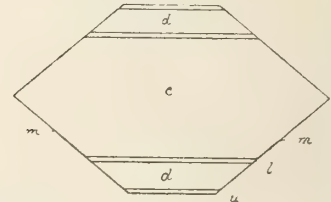


Fig. 560.

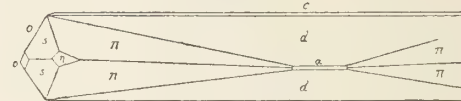


Fig. 559.

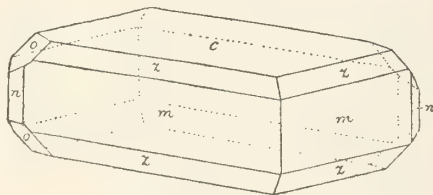


Fig. 561.

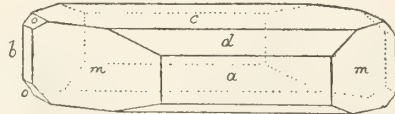


Fig. 563.

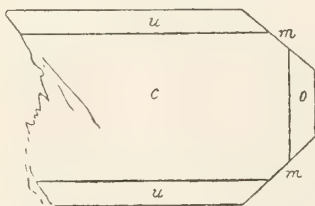
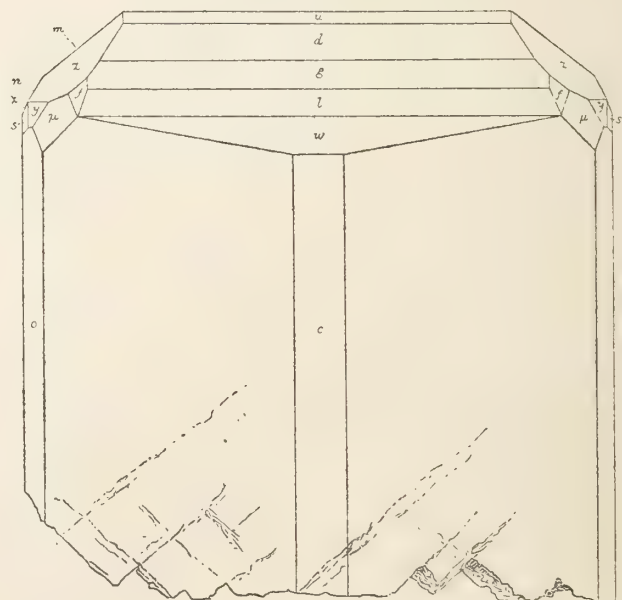


Fig. 562.



Baryt

Fig. 564.

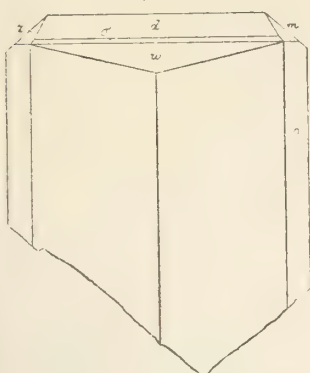


Fig. 565.



Fig. 566.

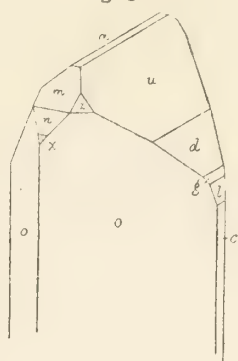


Fig. 567.

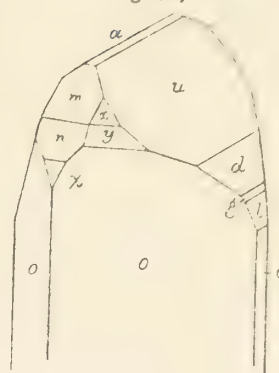


Fig. 568.

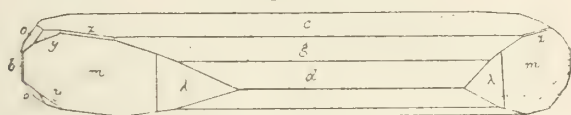


Fig. 569.

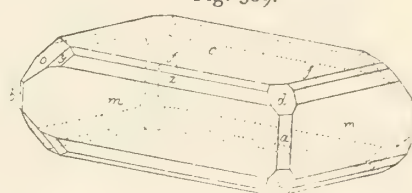


Fig. 570.

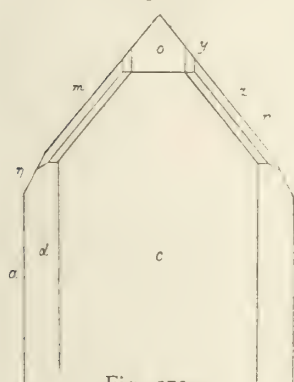


Fig. 571.

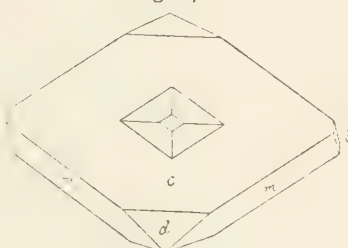


Fig. 572.

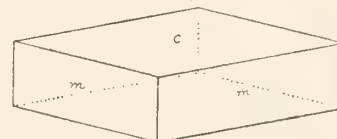


Fig. 574.

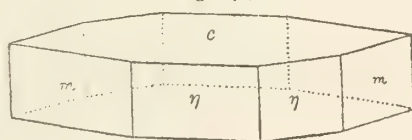


Fig. 573.

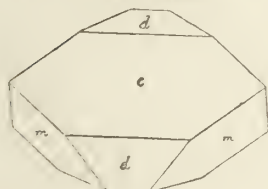


Fig. 575.

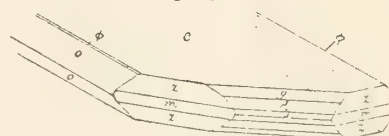


Fig. 577.

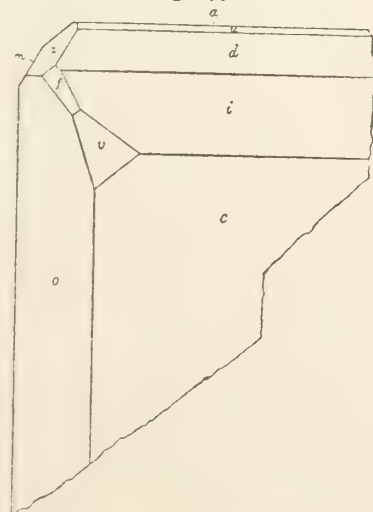


Fig. 576.

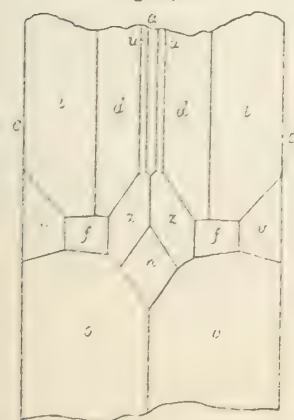
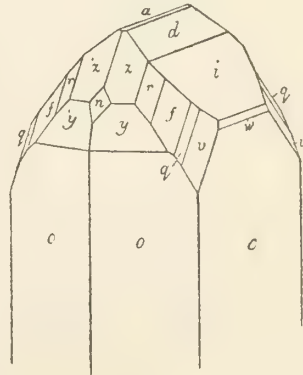


Fig. 578.



Baryt Fig. 579.

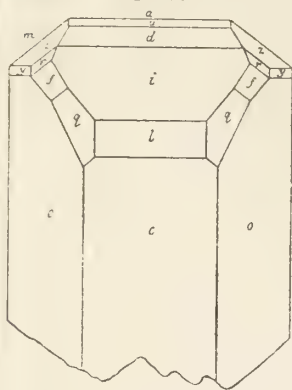


Fig. 580.

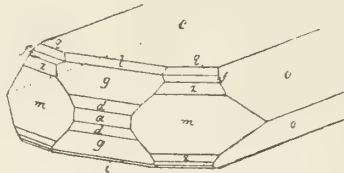


Fig. 581.

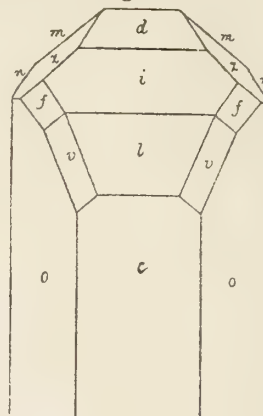


Fig. 582.

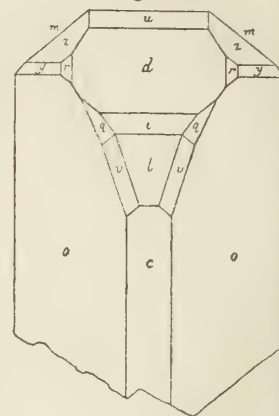


Fig. 583.

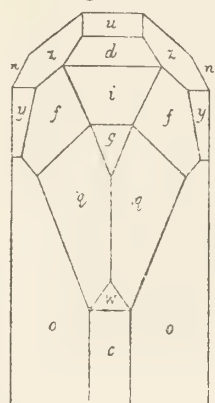


Fig. 584.

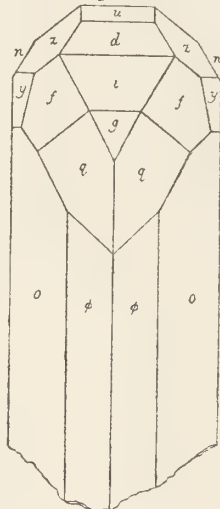


Fig. 585.

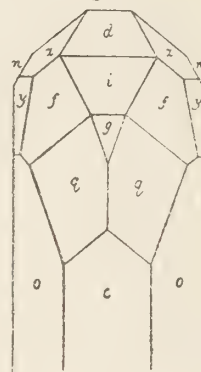


Fig. 586.

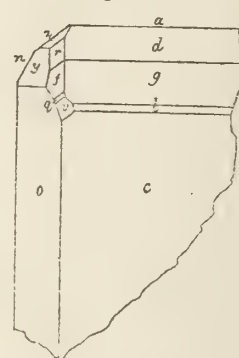


Fig. 587.

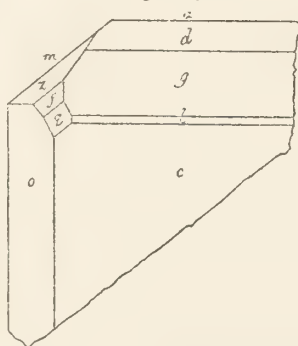


Fig. 588.

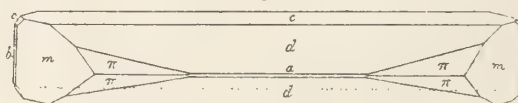


Fig. 589.

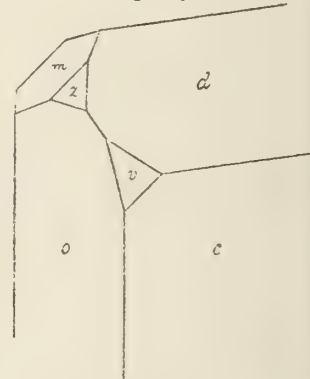


Fig. 590.

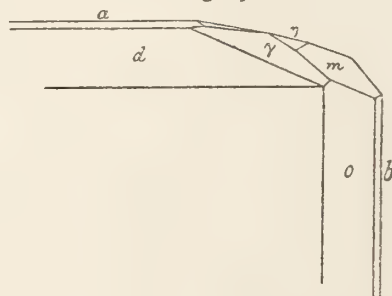


Fig. 591.

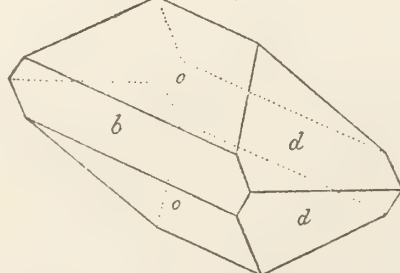
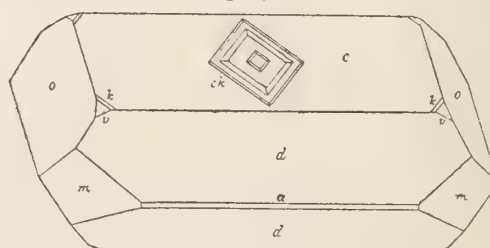


Fig. 592.



Baryt

Fig. 593.

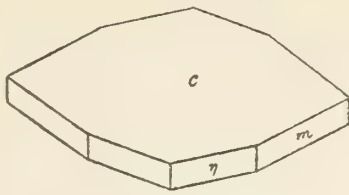


Fig. 594.

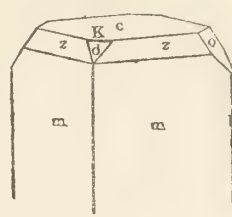


Fig. 595.

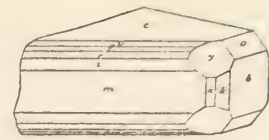


Fig. 596.

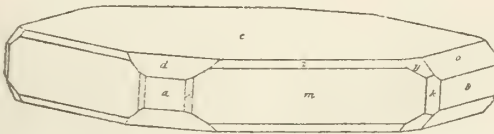


Fig. 597.

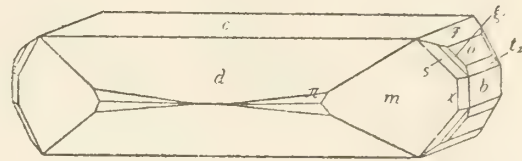


Fig. 598.

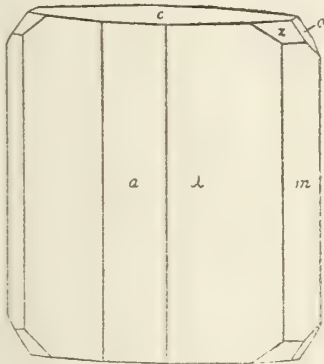


Fig. 599.

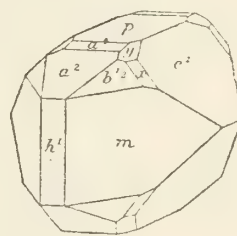


Fig. 600.

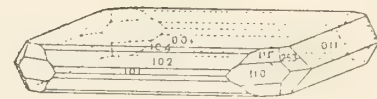


Fig. 601.

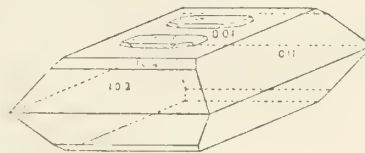


Fig. 602.

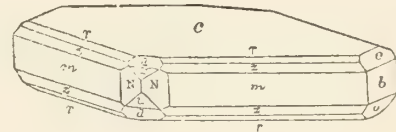


Fig. 603.

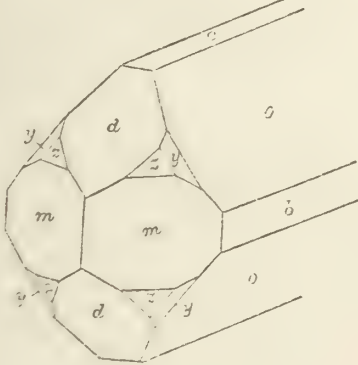


Fig. 604.

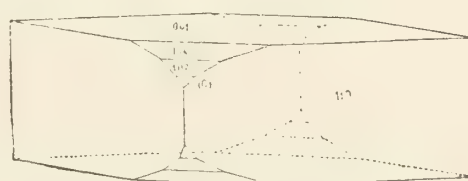


Fig. 605.

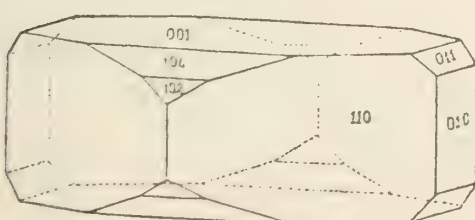
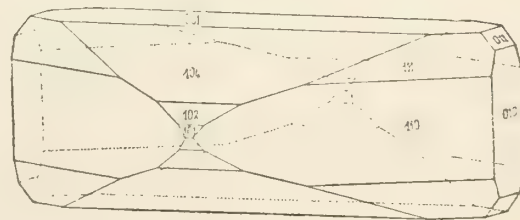


Fig. 606.



Baryt

Fig. 607.

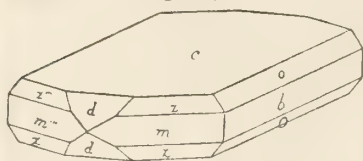


Fig. 608.

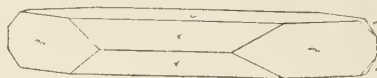


Fig. 609.



Fig. 610.

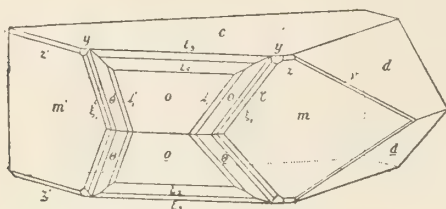


Fig. 611.

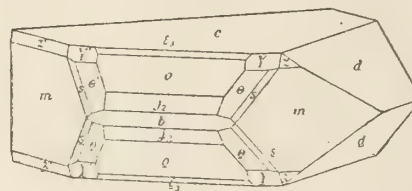


Fig. 612.

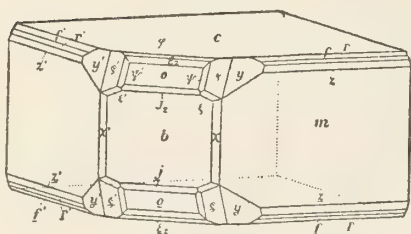


Fig. 613.

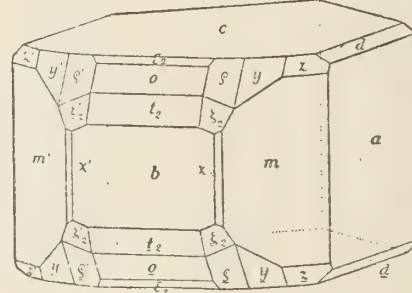


Fig. 614.

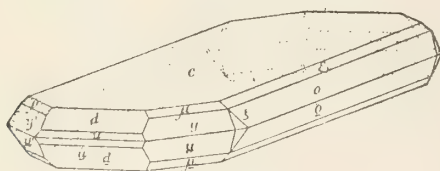


Fig. 615.

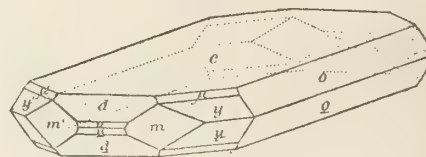


Fig. 616.

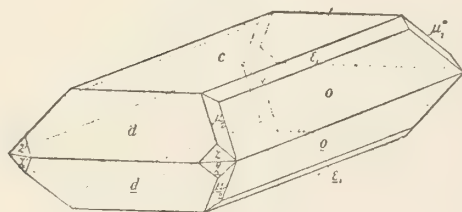


Fig. 617.

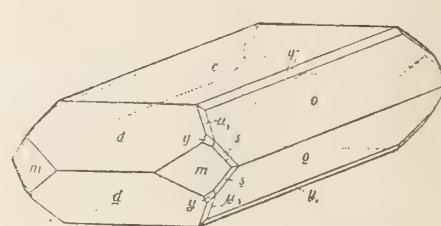


Fig. 618.

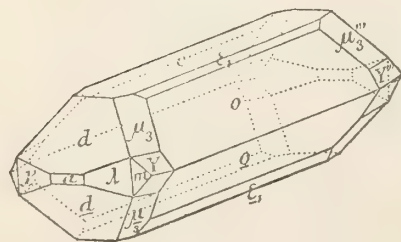
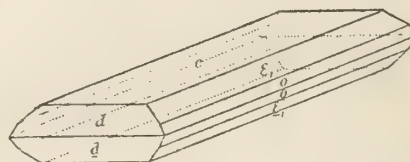


Fig. 619.



Baryt

Fig. 633.

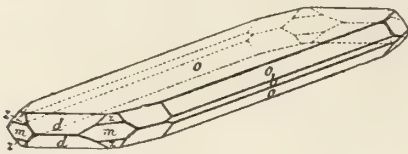


Fig. 634.

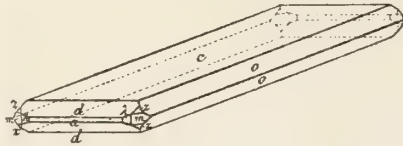


Fig. 635.

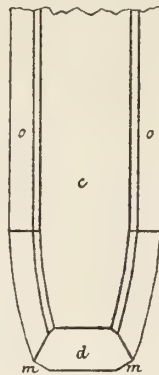


Fig. 636.

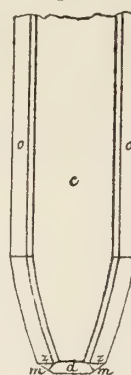


Fig. 637.



Fig. 638.



Fig. 639.

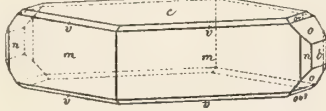


Fig. 640.

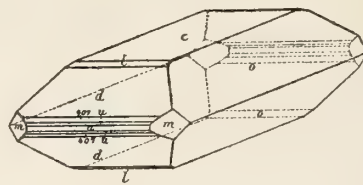


Fig. 641.

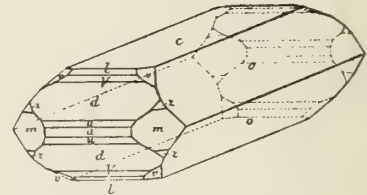


Fig. 642.

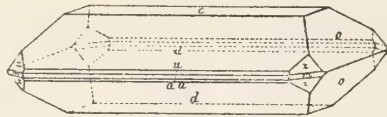


Fig. 643.

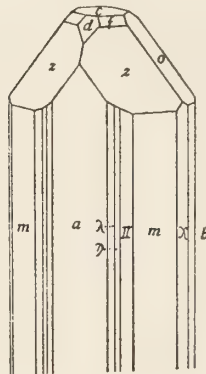


Fig. 644.

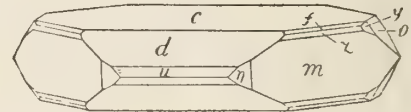


Fig. 645.

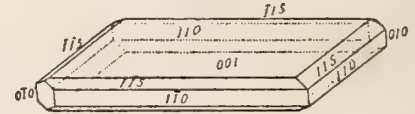


Fig. 646.

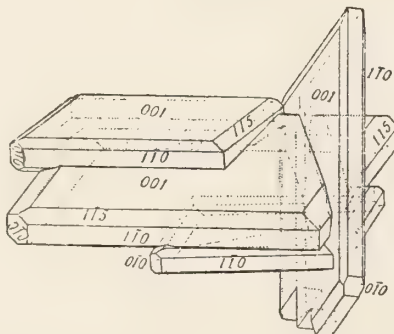


Fig. 647.



Fig. 648.

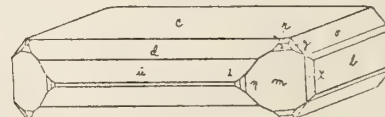


Fig. 649.

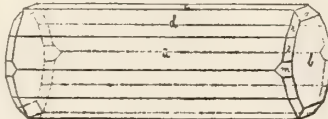
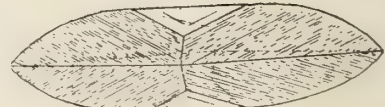


Fig. 650.



Fig. 651.



Baryt

Fig. 652.

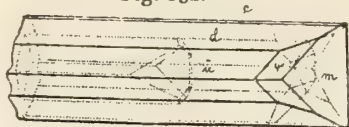


Fig. 653.



Fig. 654.

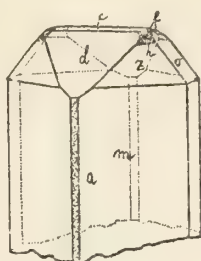


Fig. 655.

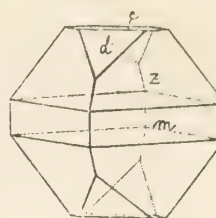


Fig. 656.

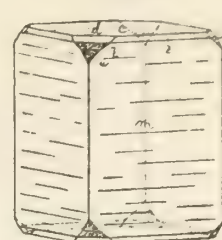


Fig. 657.

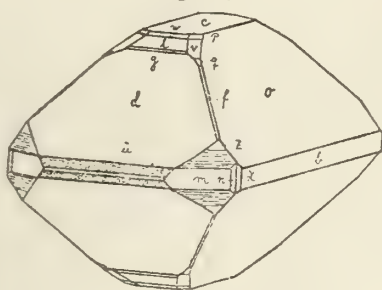


Fig. 658.

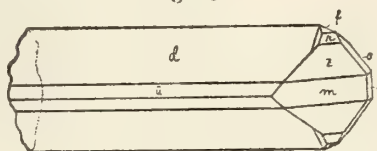


Fig. 659.

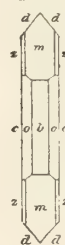


Fig. 660.

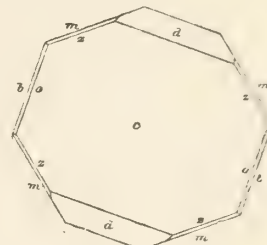


Fig. 661.



Fig. 662.

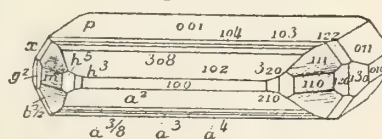


Fig. 663.

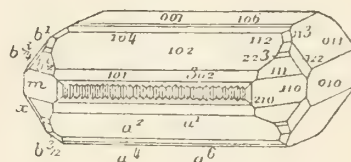


Fig. 664.

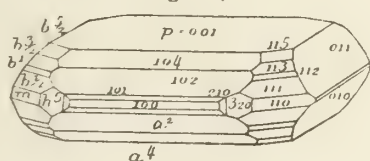


Fig. 665.

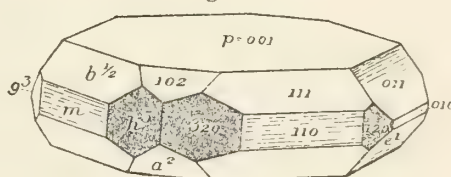


Fig. 666.

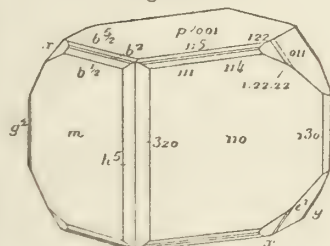


Fig. 667.

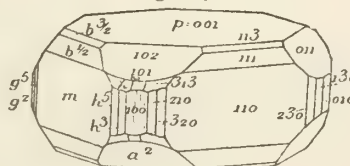


Fig. 668.

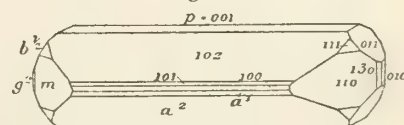


Fig. 669.

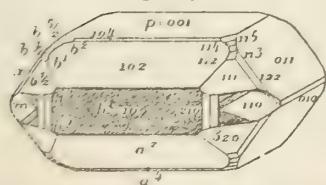


Fig. 670.

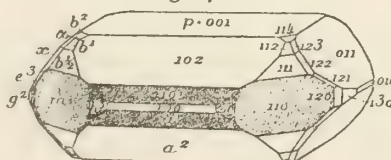
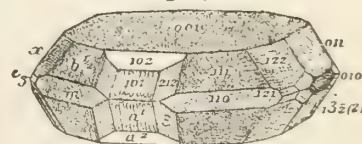
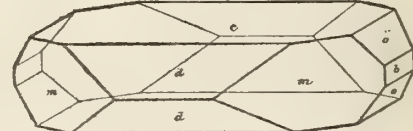
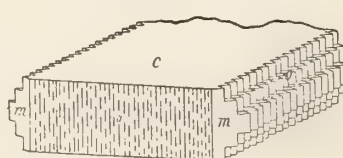
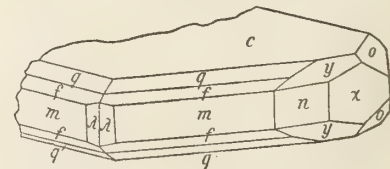
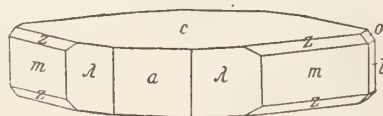
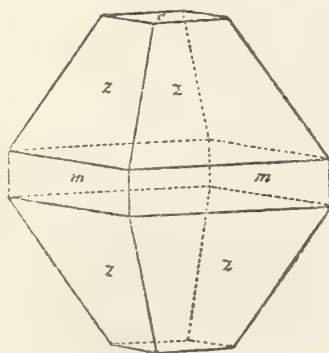
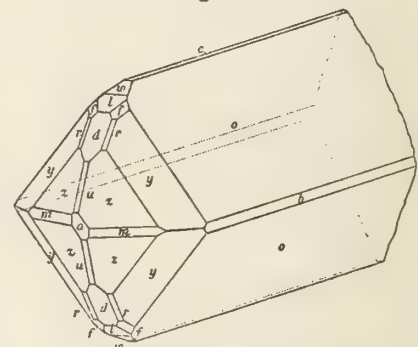
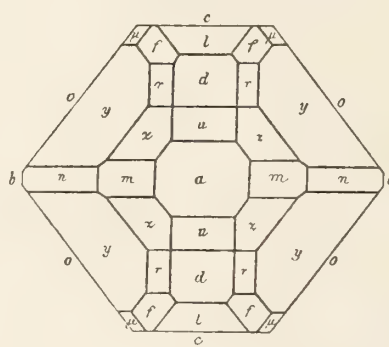
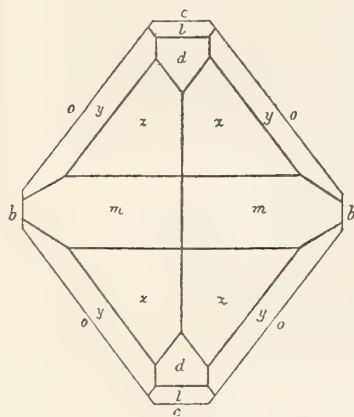
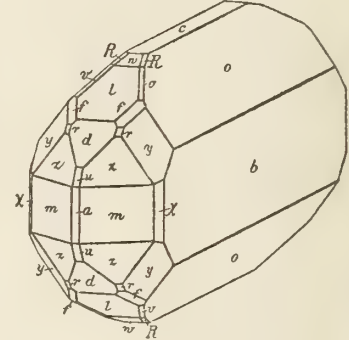
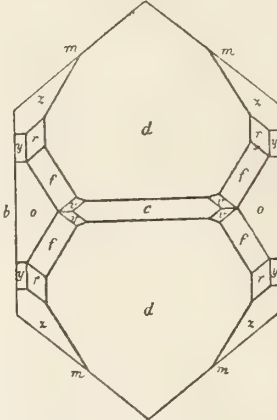
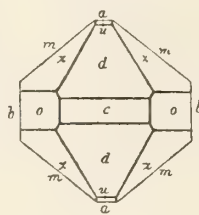
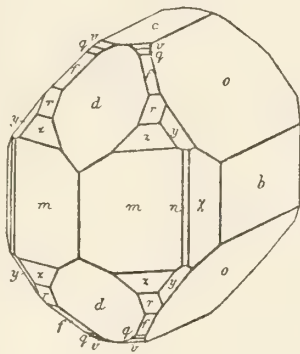
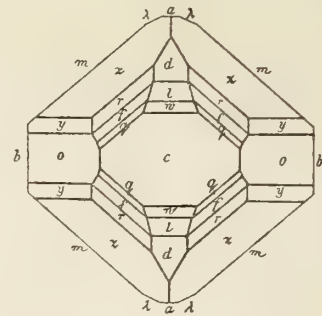
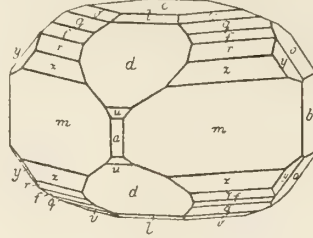
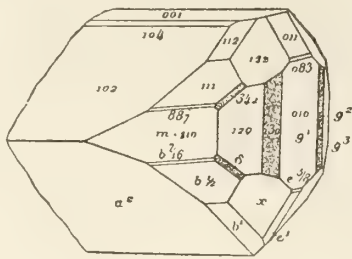


Fig. 671.



Baryt

Fig. 672.



Baryt

Fig. 703.

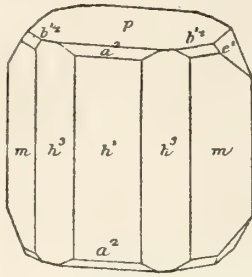


Fig. 704.

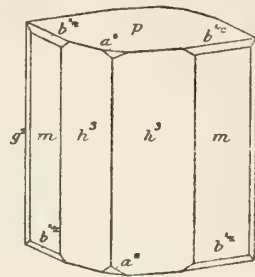


Fig. 705.

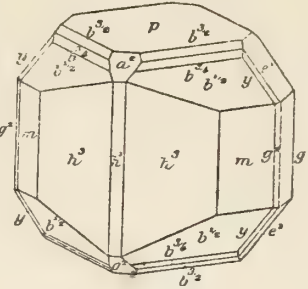


Fig. 706.

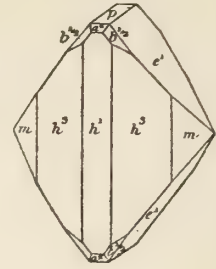


Fig. 707.

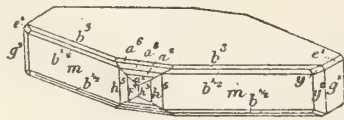


Fig. 708.

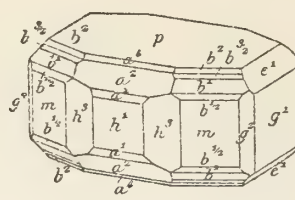


Fig. 709.

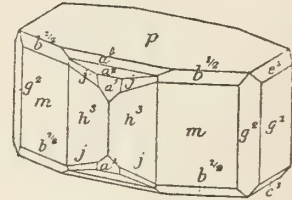


Fig. 710.

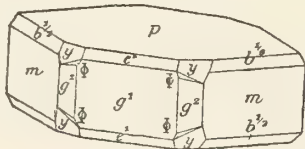


Fig. 711.

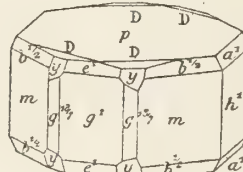


Fig. 712.

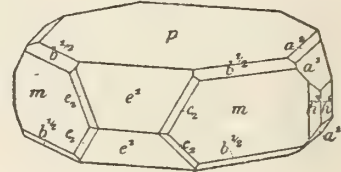


Fig. 713.

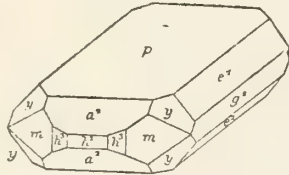


Fig. 714.

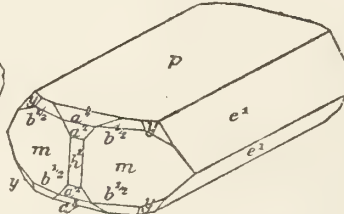


Fig. 715.

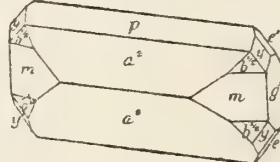


Fig. 716.

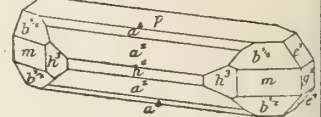


Fig. 717.

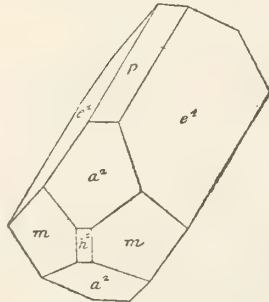


Fig. 718.

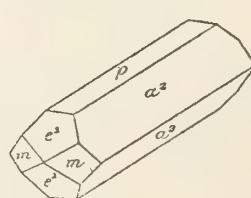


Fig. 719.

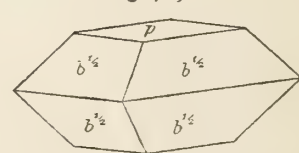


Fig. 721.

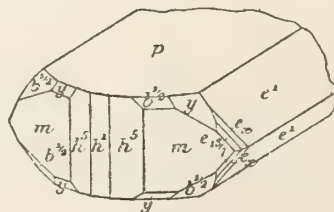


Fig. 722.

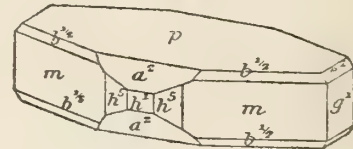


Fig. 720.



Baryt

Fig. 723.

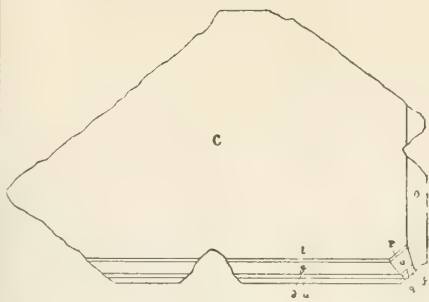


Fig. 724.

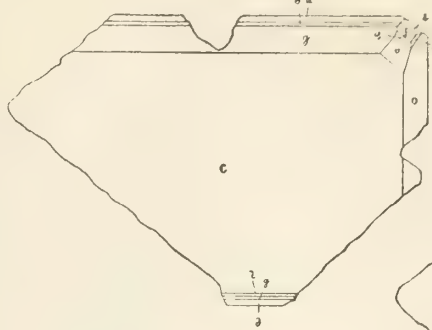


Fig. 725.

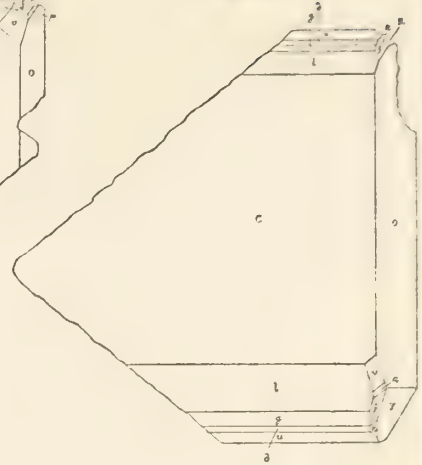


Fig. 726.

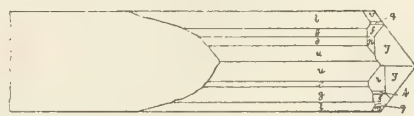


Fig. 727.

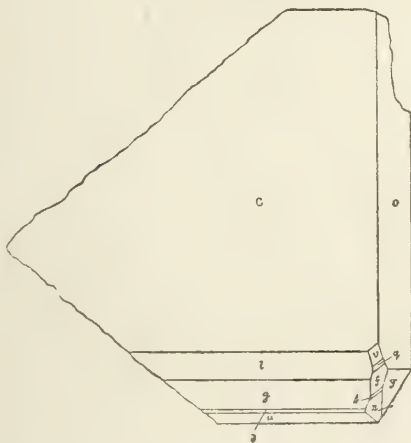


Fig. 728.

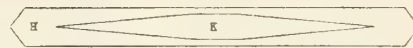


Fig. 729.

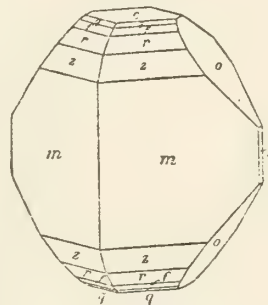


Fig. 730.

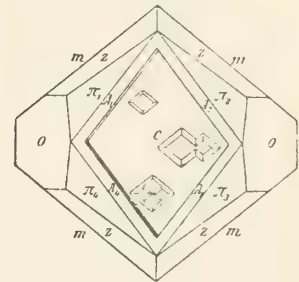


Fig. 731.

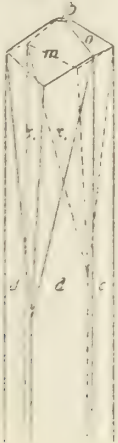


Fig. 732.

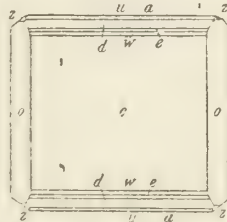


Fig. 733.

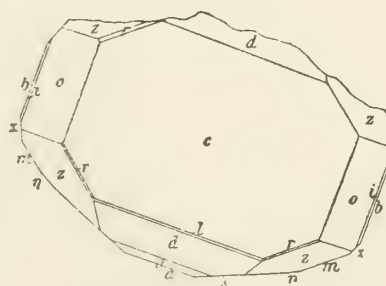
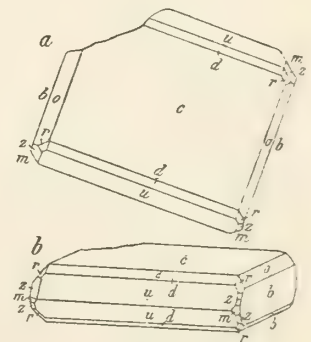


Fig. 734.



Baryt

Fig. 735.

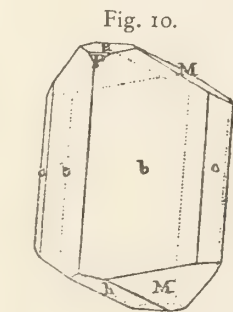
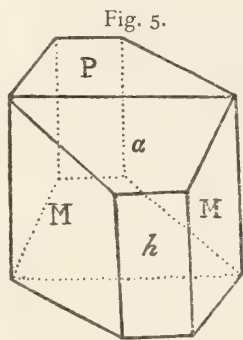
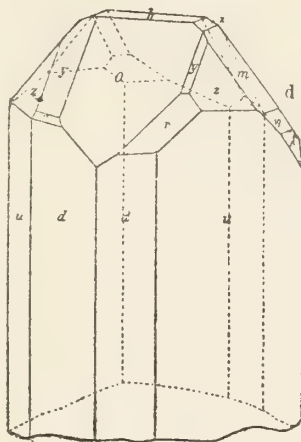
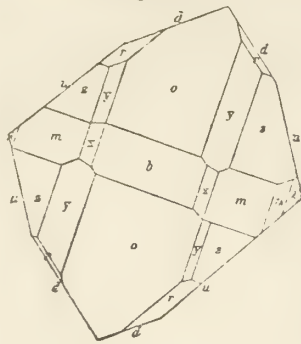


Fig. 736.

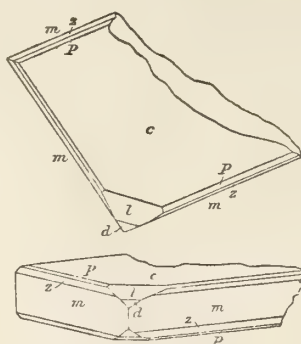


Fig. 737.

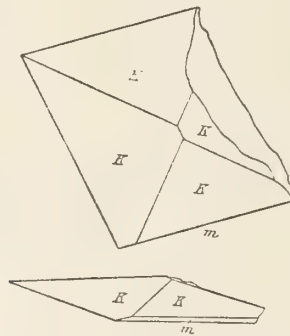


Fig. 6.

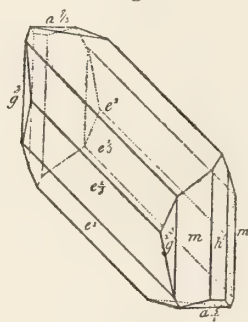
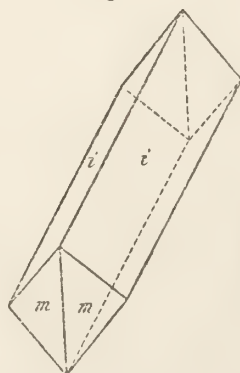


Fig. 11.



Barytocalcit

Fig. 1.



Fig. 3.

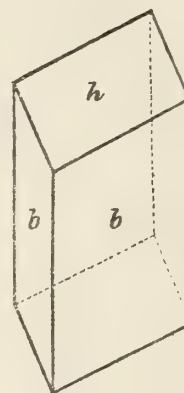


Fig. 2.

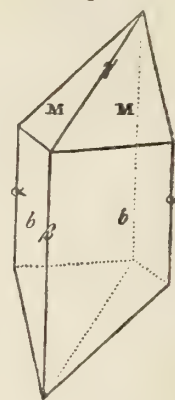


Fig. 4.

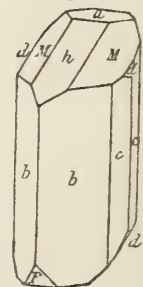


Fig. 9.

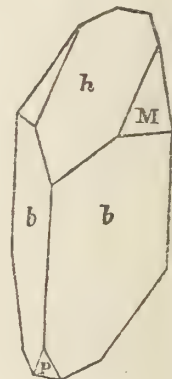


Fig. 7.

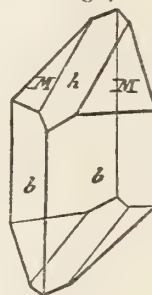


Fig. 8.

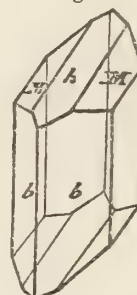


Fig. 12.

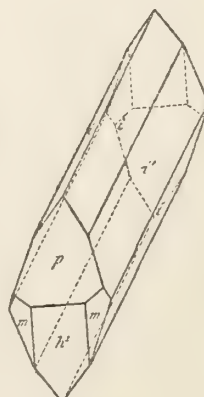


Fig. 13.

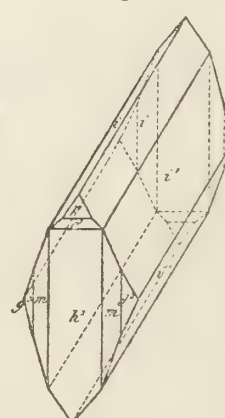
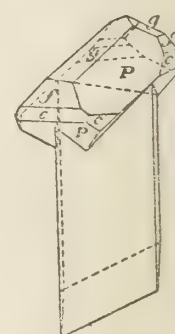


Fig. 14.



$$i' = (b' \frac{1}{2} a' v_3 g')$$

Barytsalpeter

Fig. 10.

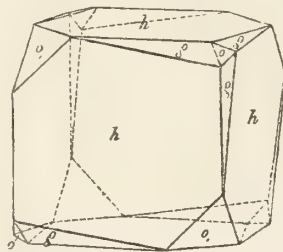


Fig. 11.

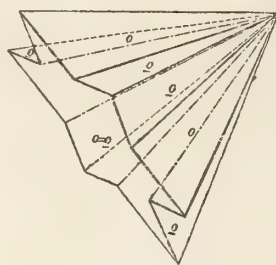
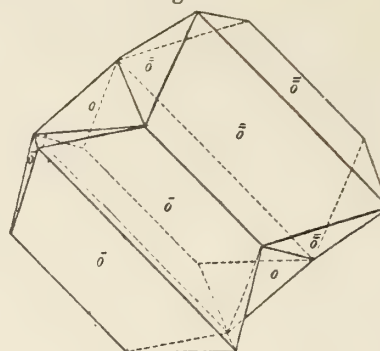


Fig. 12.



Baumhauerit

Fig. 1.

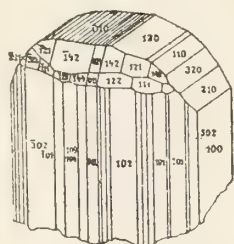
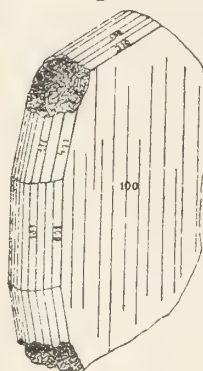
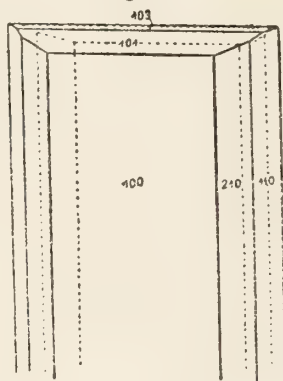


Fig. 2.



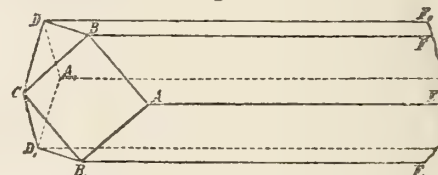
Bavenit

Fig. 1.



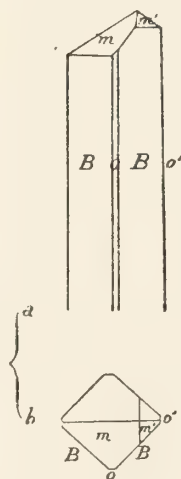
Beegerit

Fig. 1.



Belonesit

Fig. 1.



Benitoit

Fig. 1.

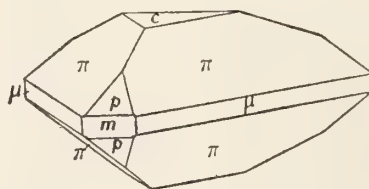


Fig. 2.

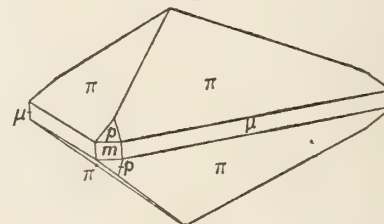


Fig. 3.

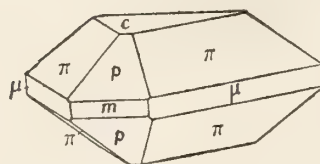


Fig. 4.

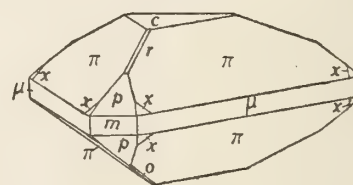


Fig. 5.

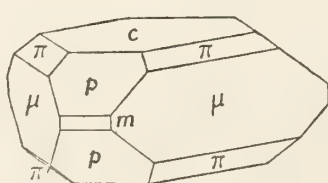


Fig. 6.

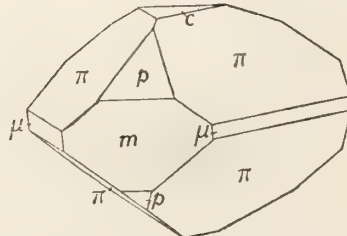
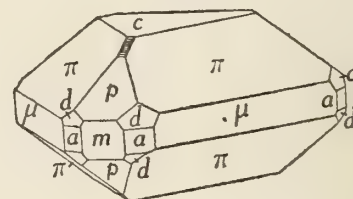


Fig. 7.



Benitoit

Fig. 8.

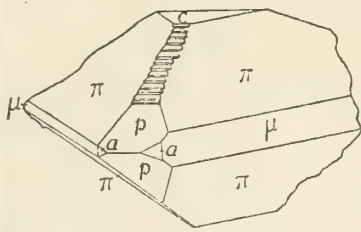


Fig. 9.

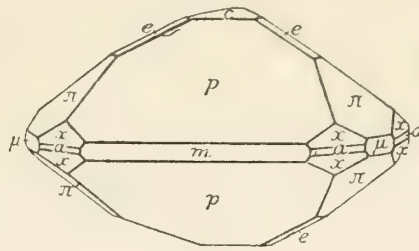


Fig. 10.

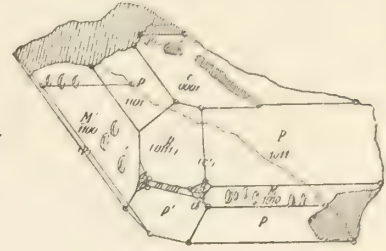


Fig. 11.

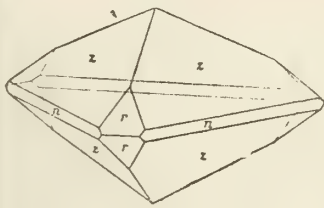
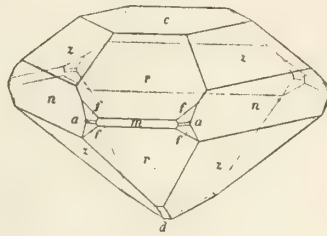


Fig. 12.



Bertrandit

Fig. 1.

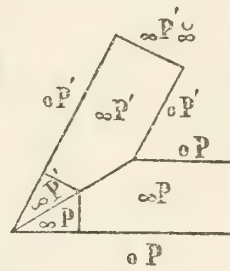


Fig. 2.

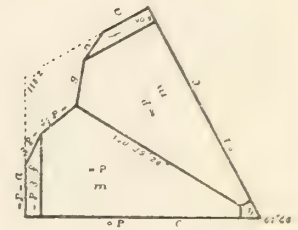


Fig. 3.

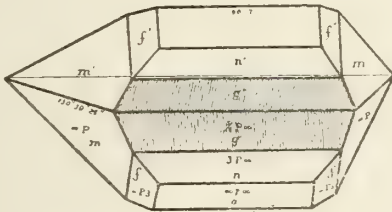


Fig. 4.

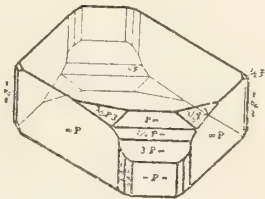


Fig. 5.

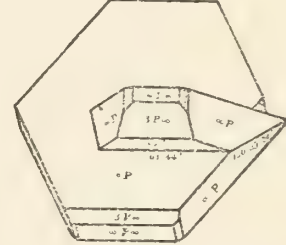


Fig. 6.

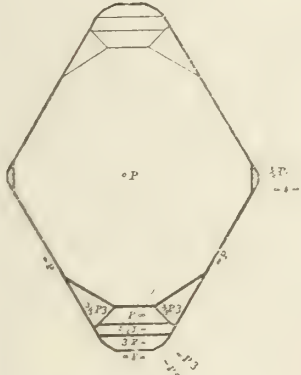


Fig. 7.

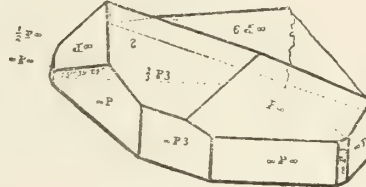


Fig. 8.

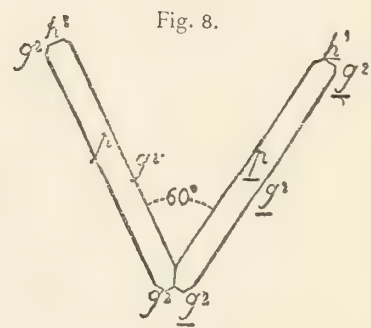


Fig. 9.

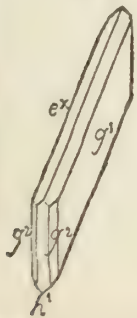


Fig. 10.

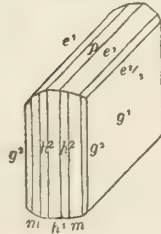


Fig. 11.

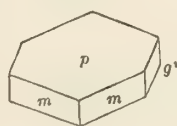


Fig. 12.

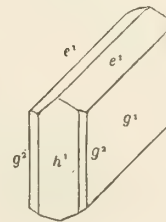


Fig. 13.

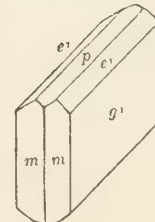
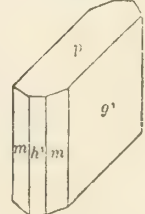


Fig. 14.



Bertrandit

Fig. 15.

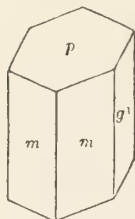


Fig. 16.



Fig. 17.

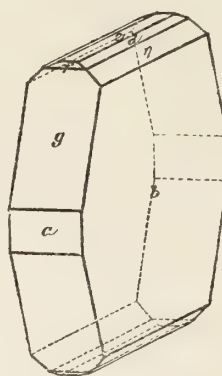


Fig. 18.

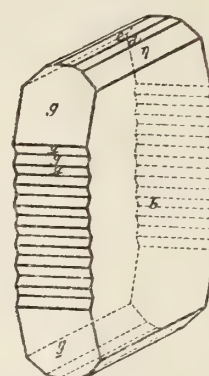


Fig. 19.

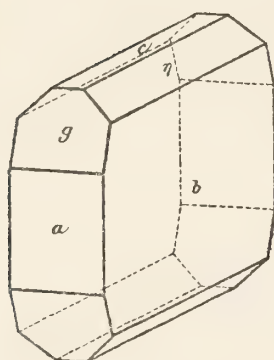


Fig. 20.

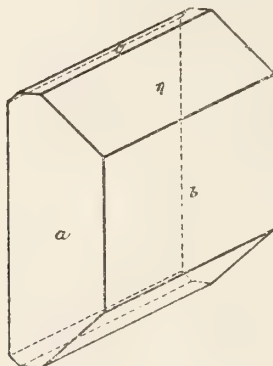


Fig. 21.

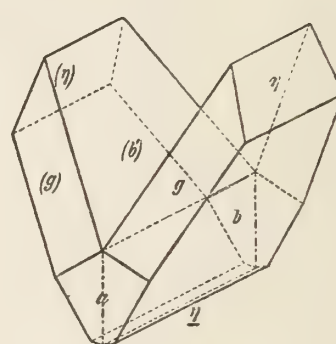


Fig. 23.

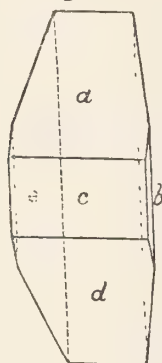


Fig. 24.

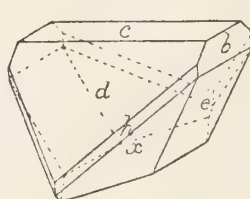


Fig. 25.

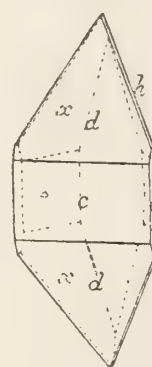


Fig. 26.

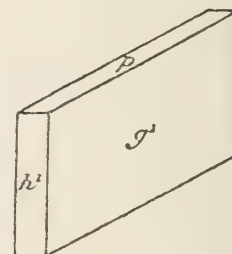


Fig. 22.

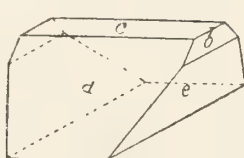


Fig. 28.

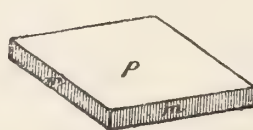


Fig. 29.

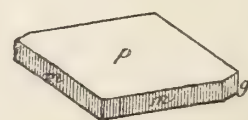


Fig. 27.

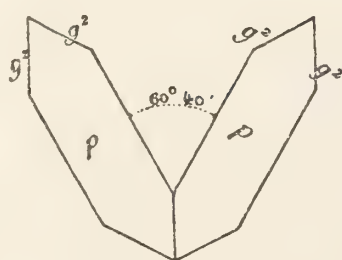


Fig. 30.

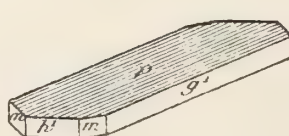
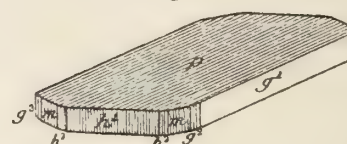


Fig. 31.



Bertrandit

Fig. 32.

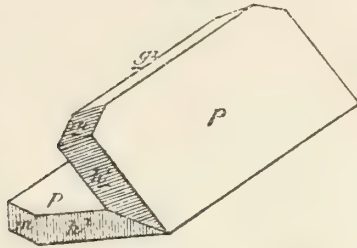


Fig. 33.

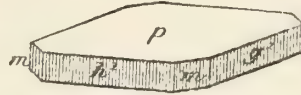


Fig. 34.

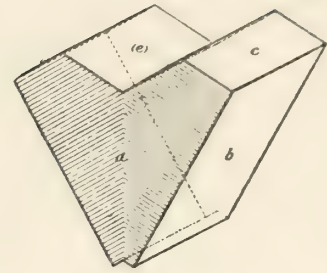


Fig. 35.

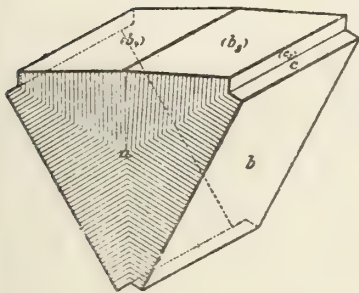


Fig. 36.

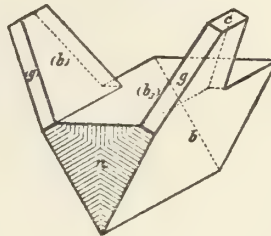


Fig. 37.

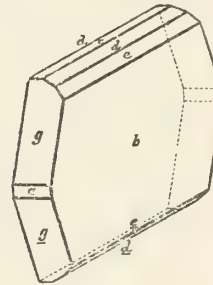


Fig. 38.

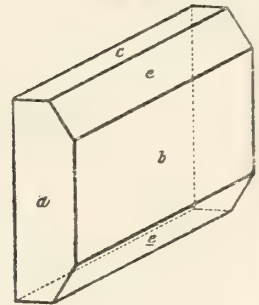


Fig. 39.

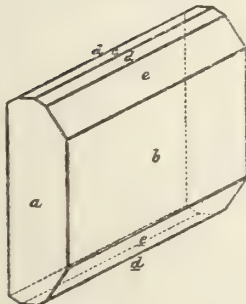


Fig. 40.

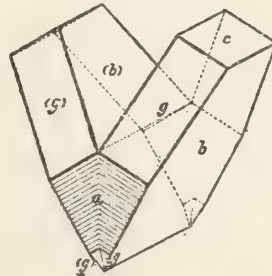


Fig. 41.

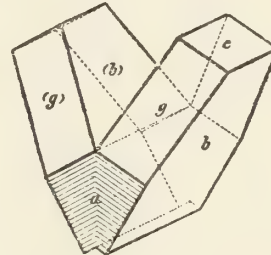


Fig. 42.

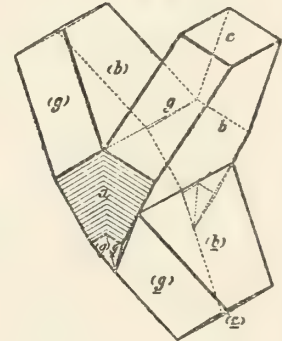


Fig. 43.

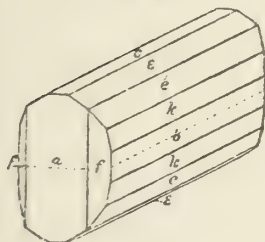


Fig. 44.

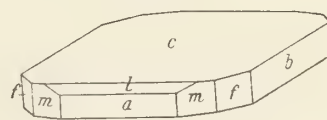


Fig. 45.

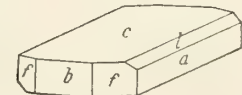


Fig. 46.

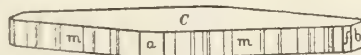


Fig. 47.

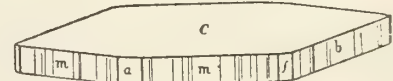


Fig. 49.

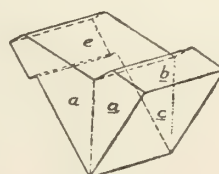


Fig. 50.

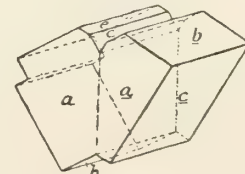


Fig. 48.



Beryll

Fig. 1.

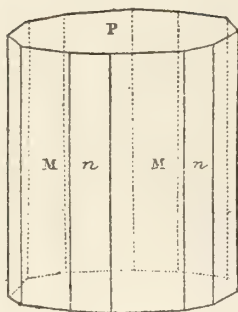


Fig. 2.

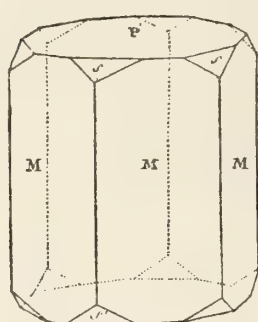


Fig. 3.

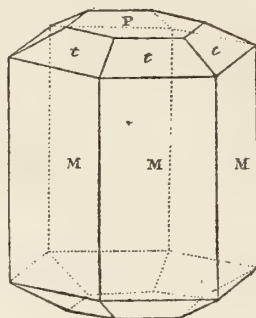


Fig. 4.

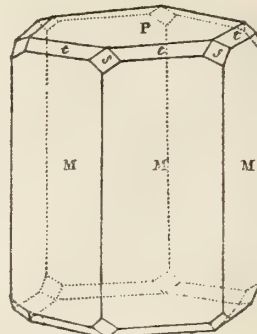


Fig. 5.

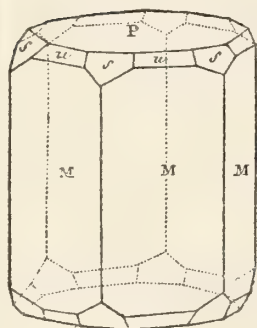


Fig. 6.

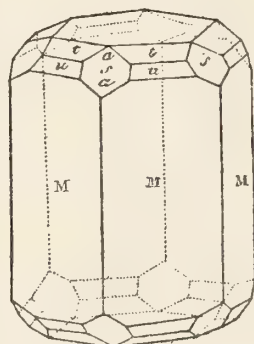


Fig. 7.

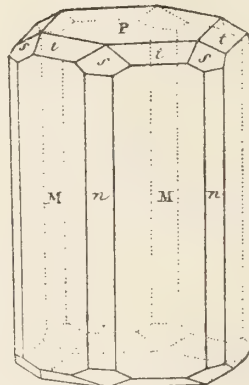


Fig. 8.

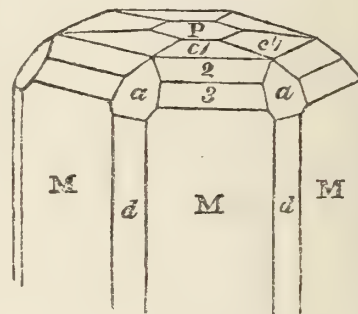


Fig. 9.

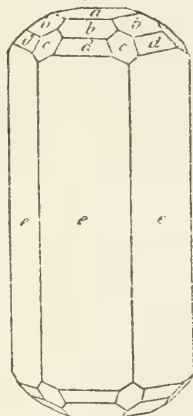


Fig. 10.

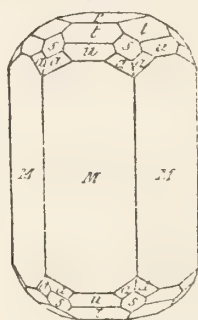


Fig. 11.

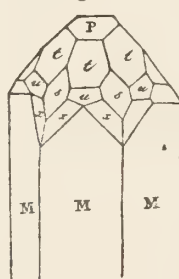


Fig. 12.

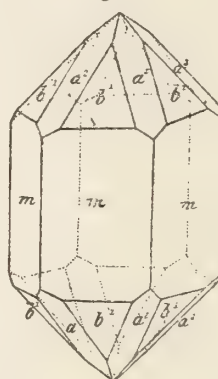


Fig. 13.

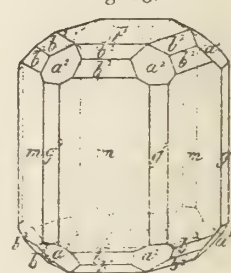


Fig. 14.

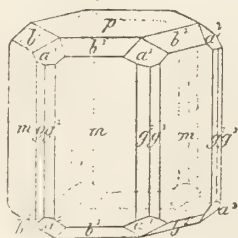


Fig. 15.

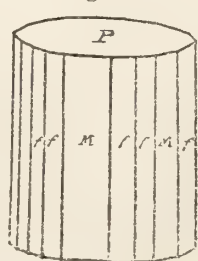


Fig. 16.

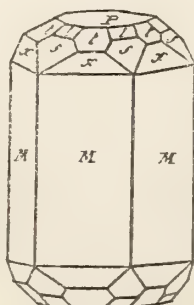


Fig. 17.

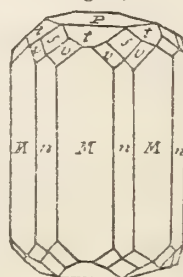
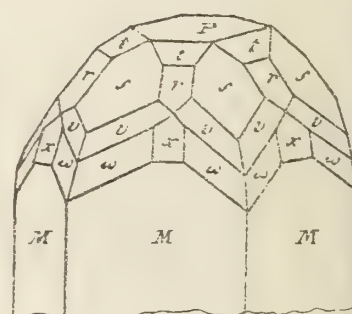


Fig. 18.



Beryll

Fig. 19.

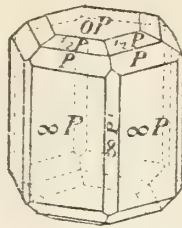


Fig. 20.

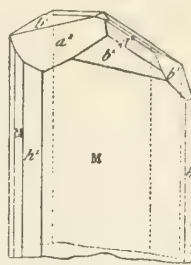


Fig. 21.

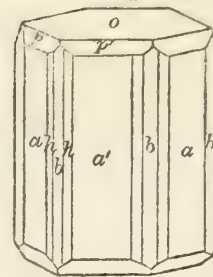


Fig. 22.



Fig. 23.

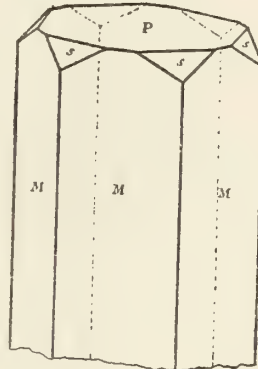


Fig. 24.

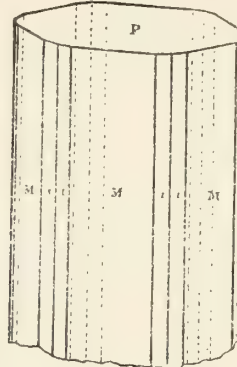


Fig. 25.

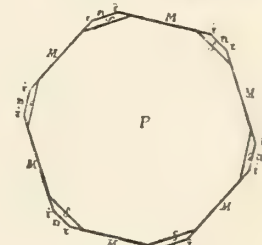
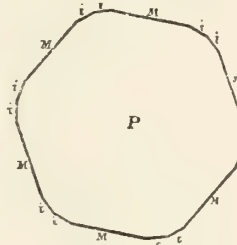
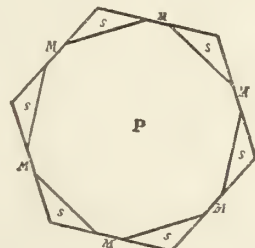
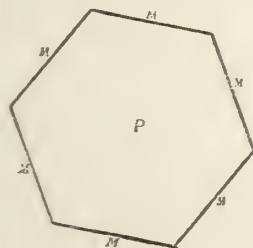
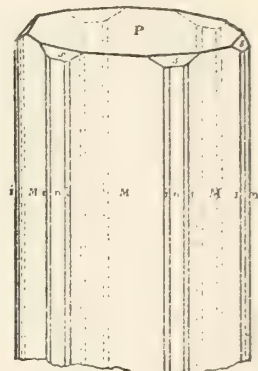


Fig. 26.

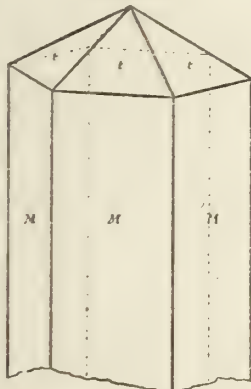


Fig. 27.

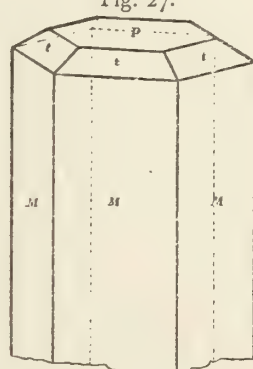


Fig. 28.

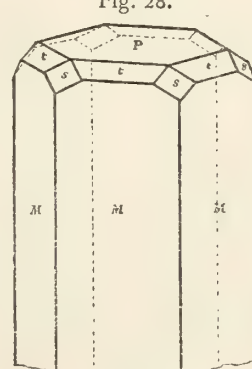
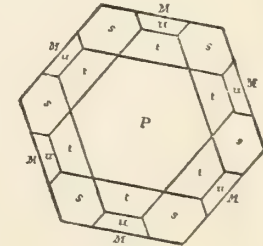
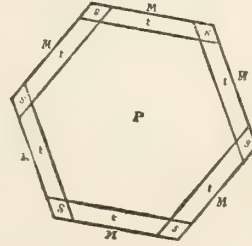
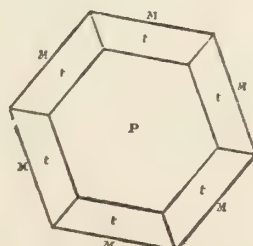
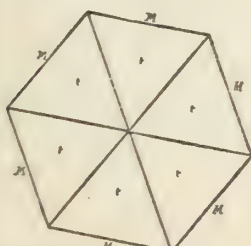
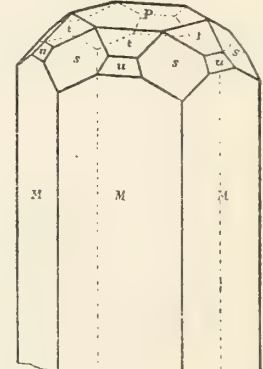


Fig. 29.



Beryll

Fig. 30.

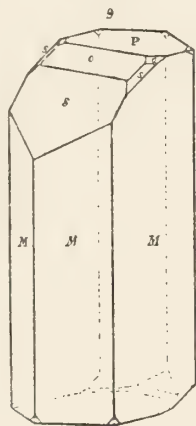
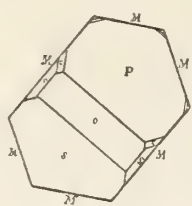


Fig. 31.

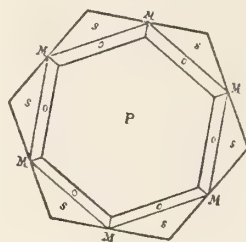
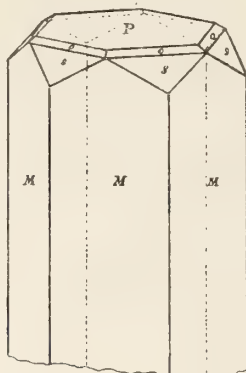


Fig. 32.

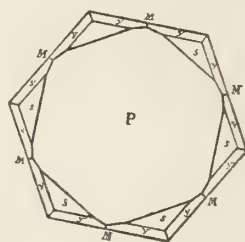
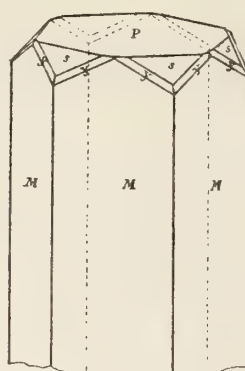


Fig. 33.

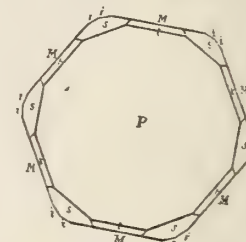
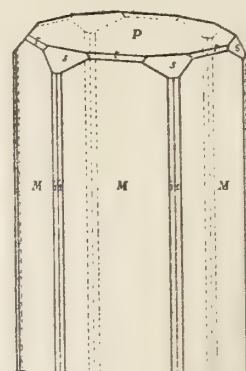


Fig. 34.

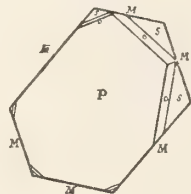


Fig. 35.

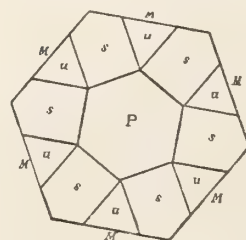
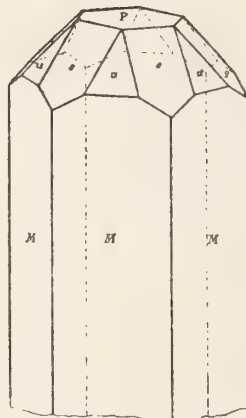


Fig. 36.

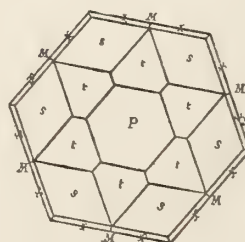
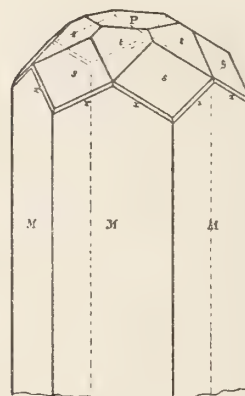
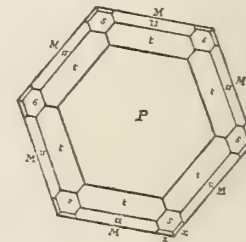
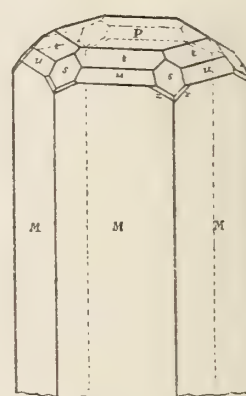


Fig. 37.



Beryll

Fig. 38.

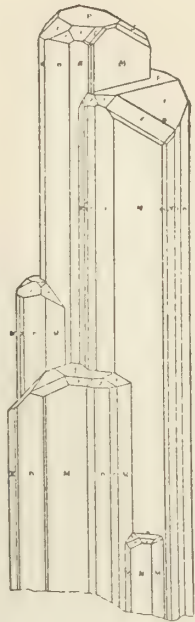


Fig. 40.

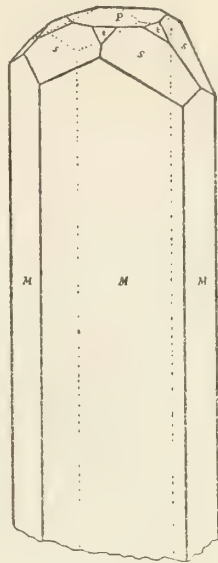


Fig. 41.

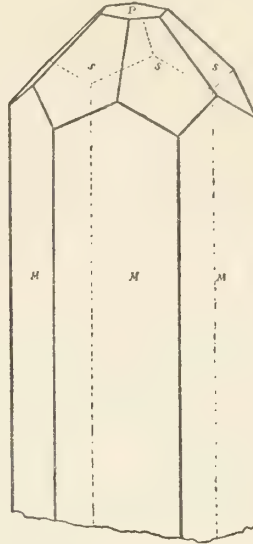


Fig. 42.

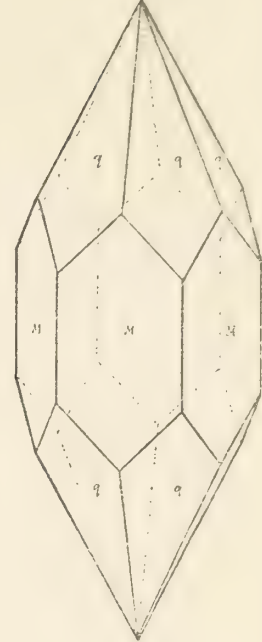


Fig. 39.

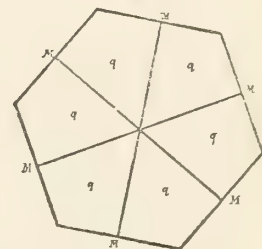
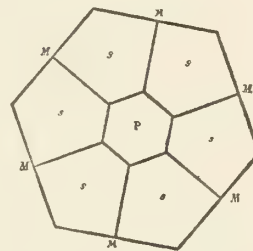
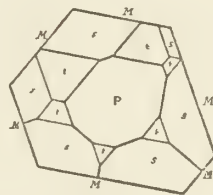
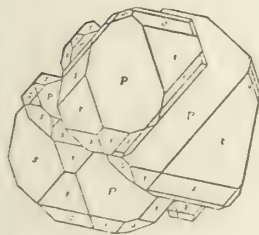


Fig. 43.

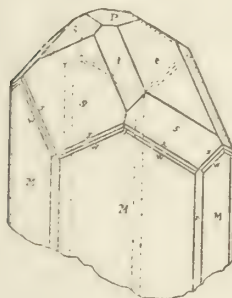


Fig. 44.

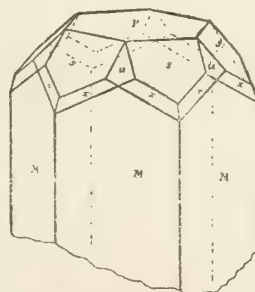
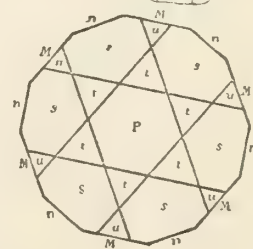
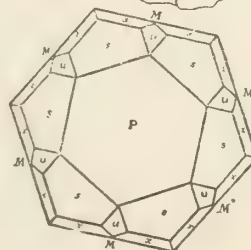
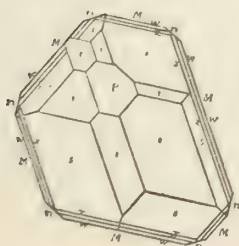
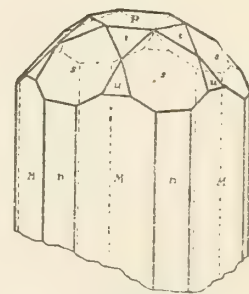


Fig. 45.



Beryll

Fig. 46.

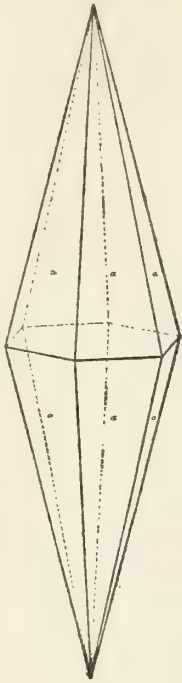


Fig. 47.

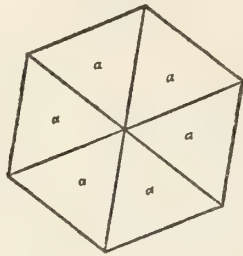


Fig. 48.

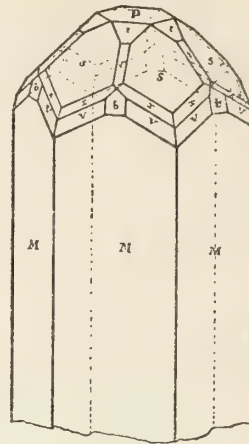


Fig. 49.

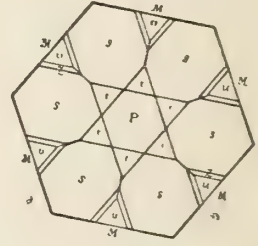
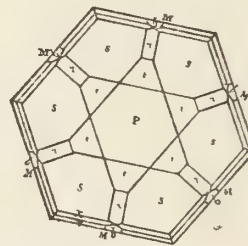
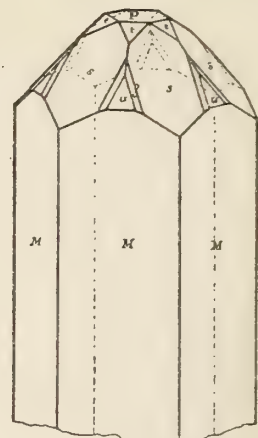


Fig. 50.

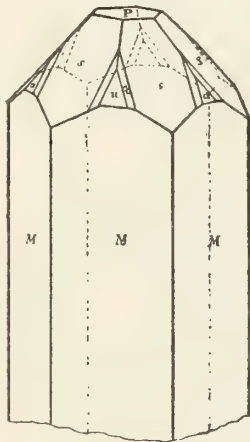


Fig. 51.

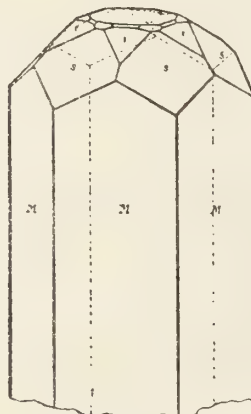


Fig. 52.

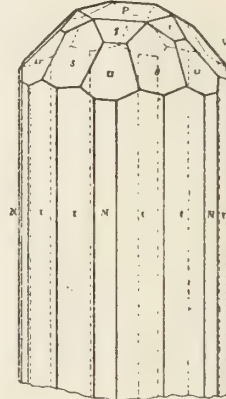
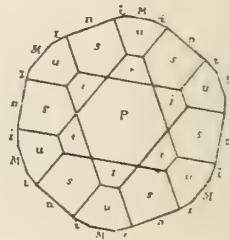
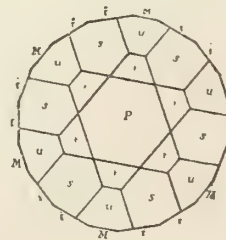
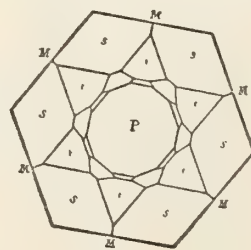
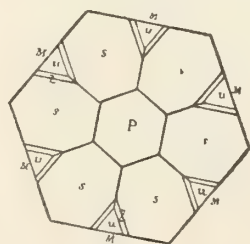
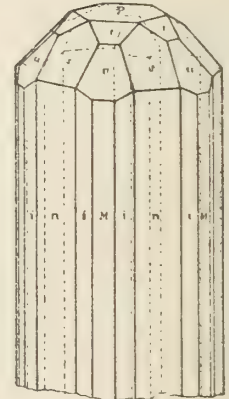


Fig. 53.



Beryll

Fig. 54.

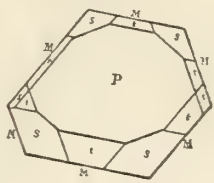


Fig. 55.

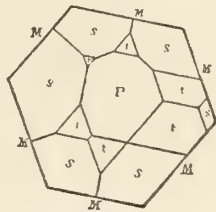


Fig. 56.

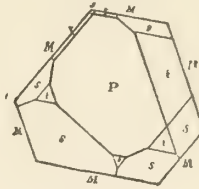


Fig. 57.

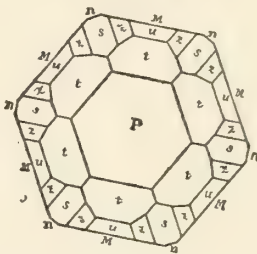
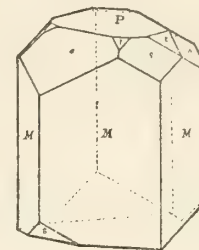
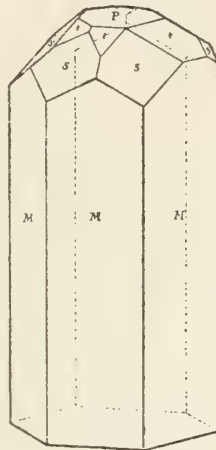
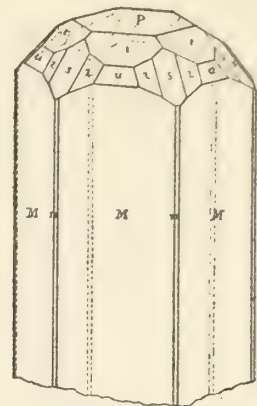


Fig. 60.

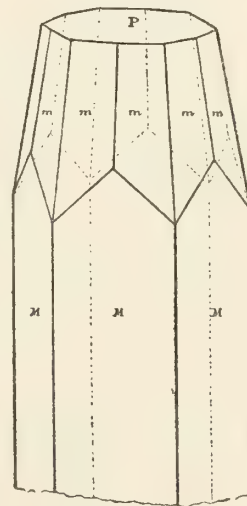


Fig. 61.

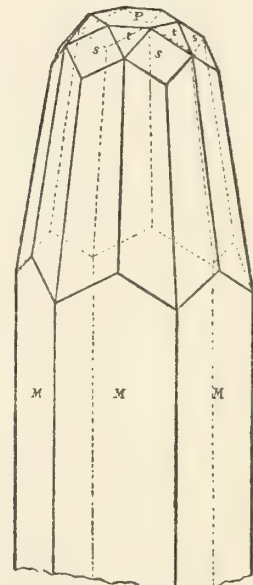


Fig. 58.

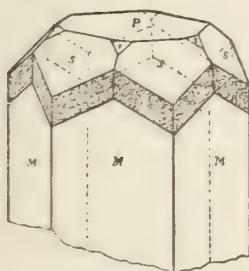
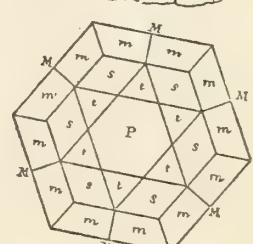
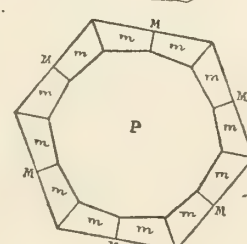
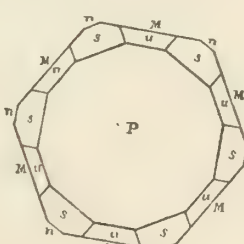
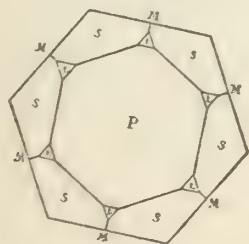
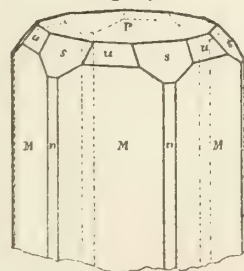


Fig. 59.



Beryll

Fig. 62.

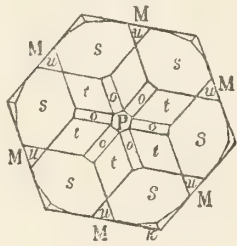
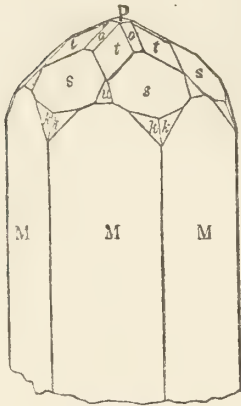


Fig. 63.

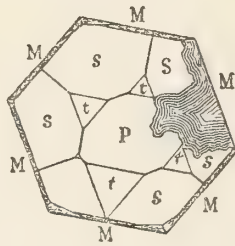
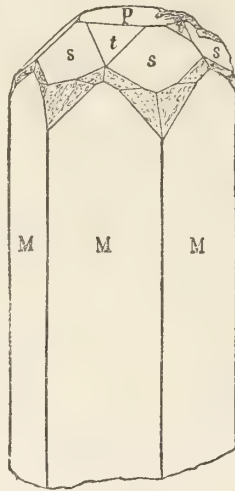


Fig. 64.

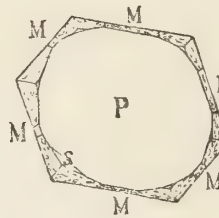
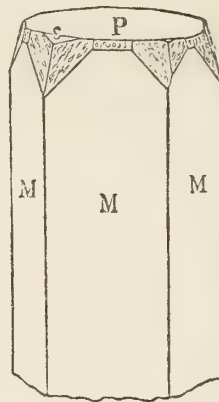


Fig. 65.

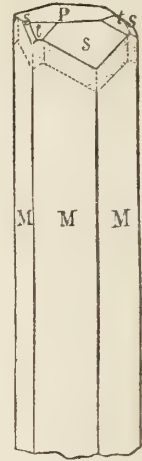


Fig. 66.

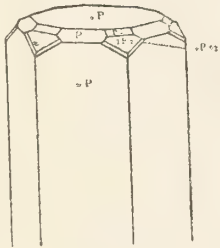


Fig. 67.

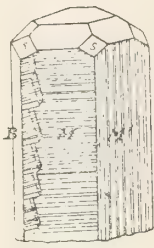


Fig. 68.

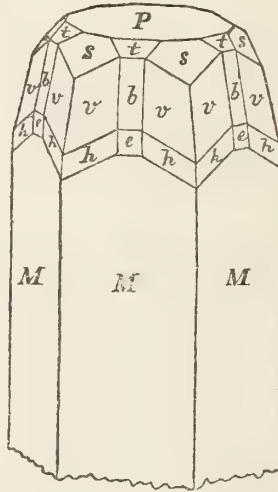


Fig. 69.

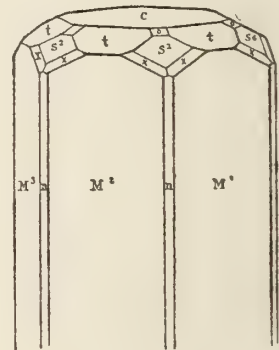


Fig. 70.

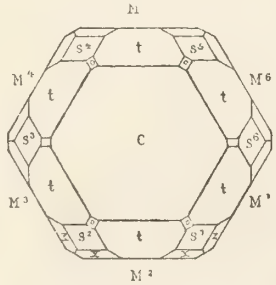


Fig. 71.

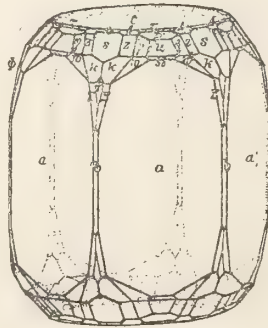


Fig. 72.

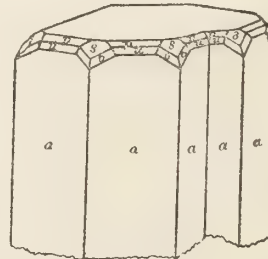
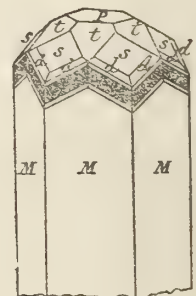


Fig. 73.



Beryll

Fig. 74.

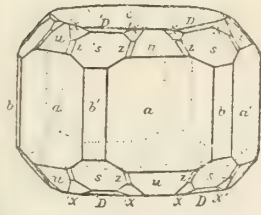


Fig. 75.

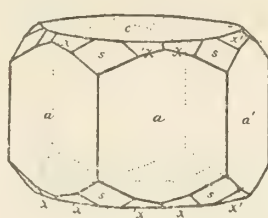


Fig. 76.

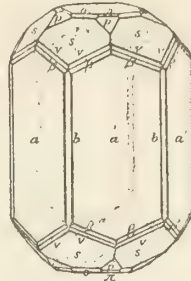


Fig. 77.

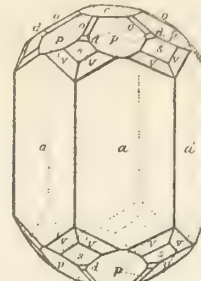


Fig. 78.

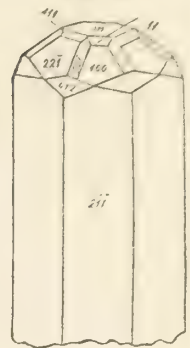


Fig. 79.

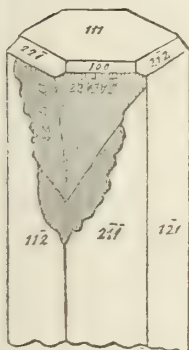


Fig. 80.

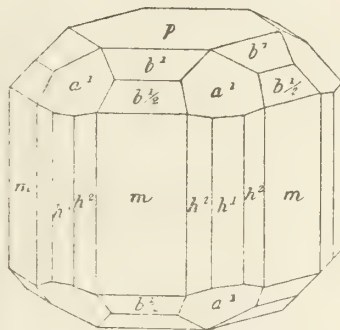


Fig. 81.

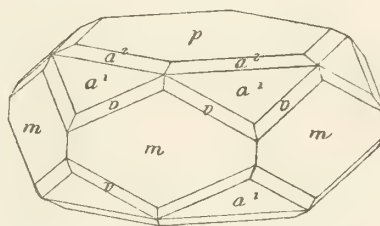


Fig. 82.

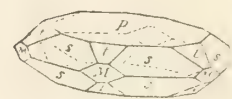


Fig. 83.

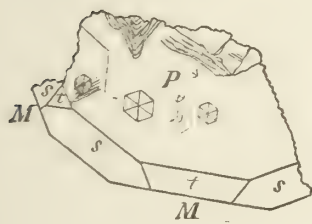


Fig. 84.

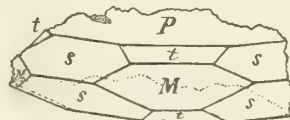


Fig. 85.

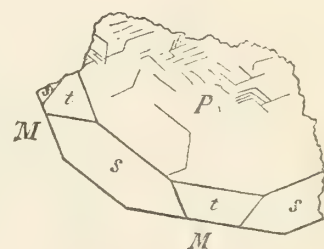


Fig. 86.

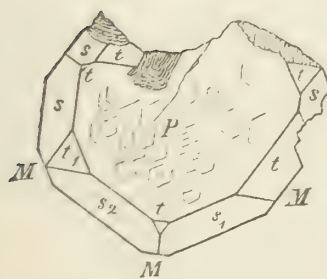


Fig. 87.

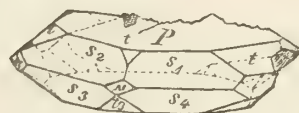
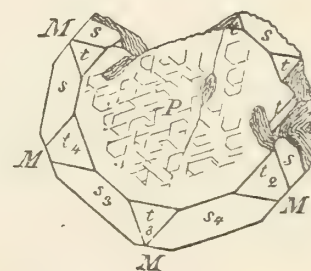


Fig. 88.



Beryll

Fig. 89.

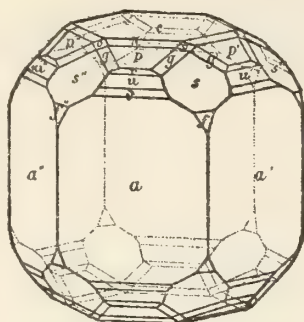


Fig. 90.

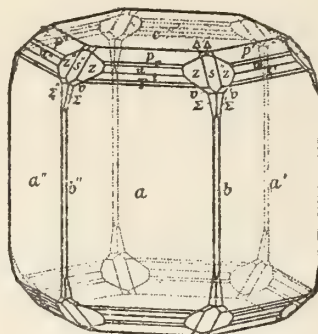


Fig. 91.

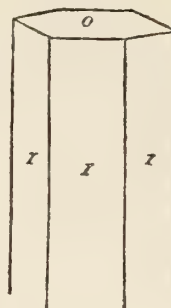


Fig. 92.

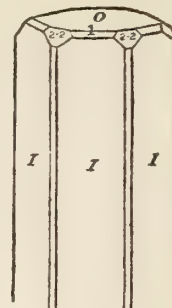


Fig. 93.

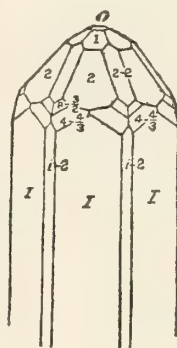


Fig. 94.

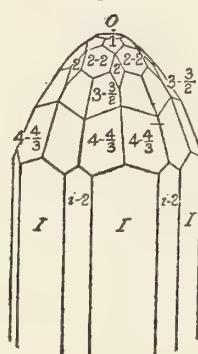


Fig. 95.

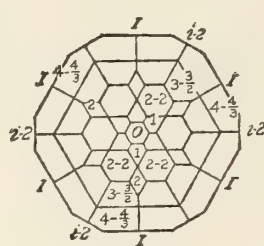


Fig. 96.

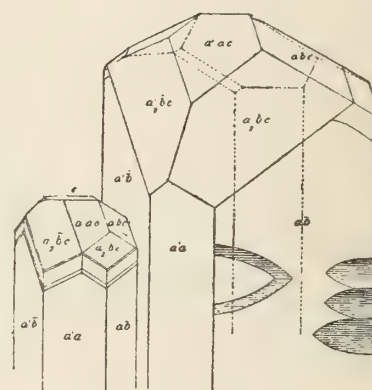


Fig. 97.

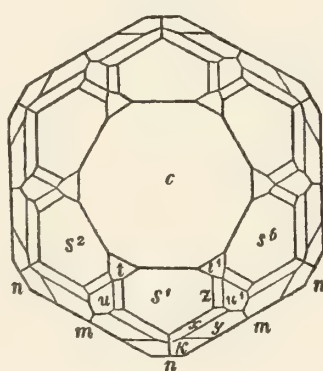


Fig. 98.

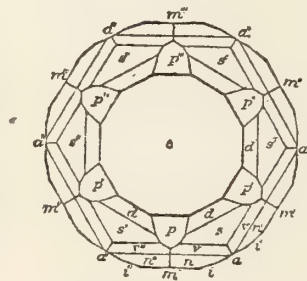


Fig. 99.

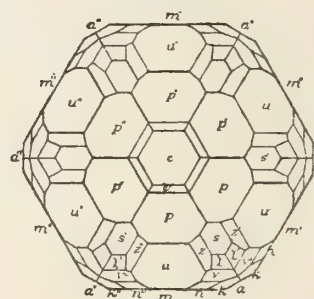


Fig. 100.

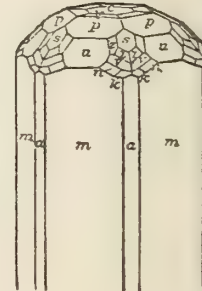
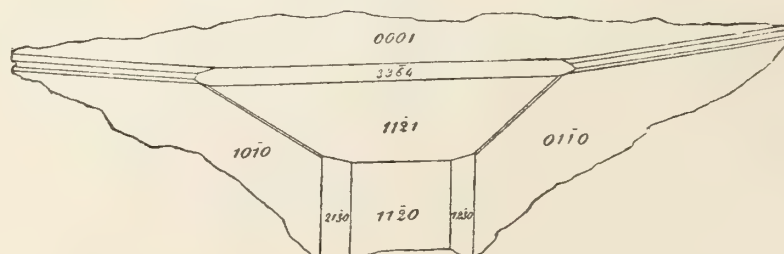


Fig. 101.



Beryll

Fig. 102.

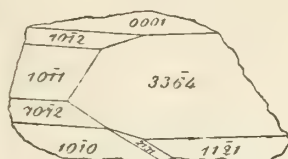


Fig. 103.

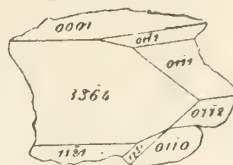


Fig. 104.



Fig. 105.



Fig. 106.

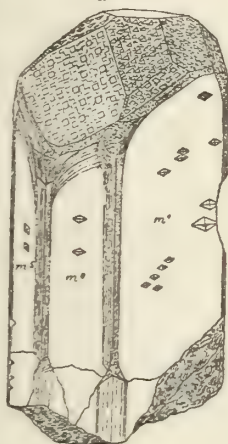


Fig. 107.

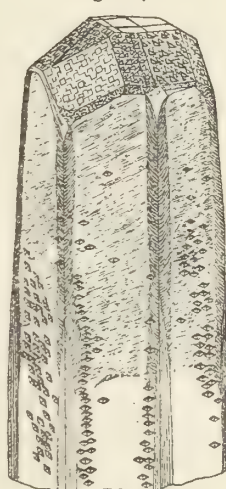


Fig. 108.



Fig. 109.

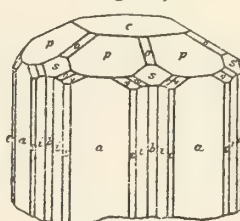


Fig. 110.

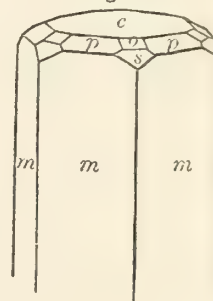


Fig. 112.

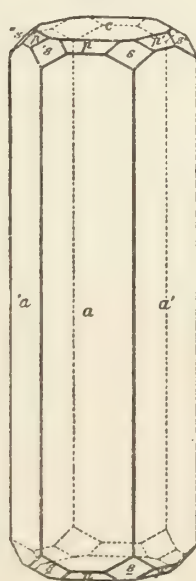


Fig. 113.

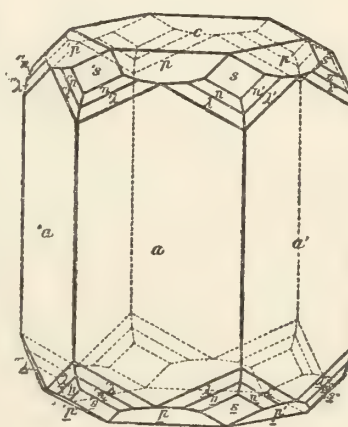


Fig. 114.

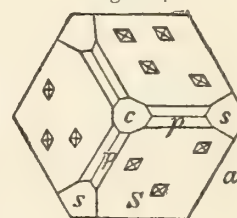


Fig. 111.

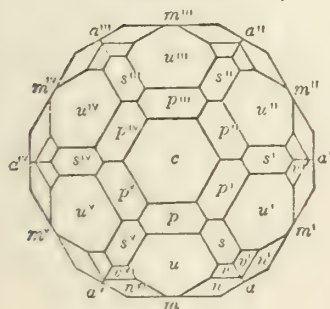
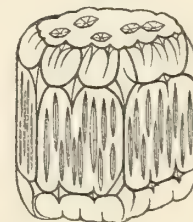


Fig. 115.



Beryll

Fig. 116.



Fig. 117.

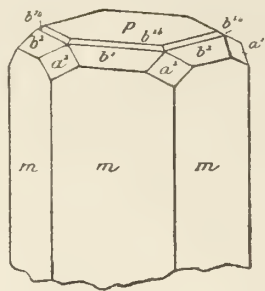


Fig. 118.

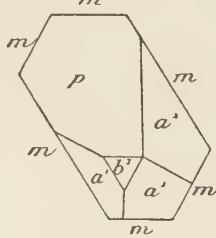


Fig. 119.

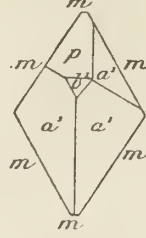


Fig. 120.

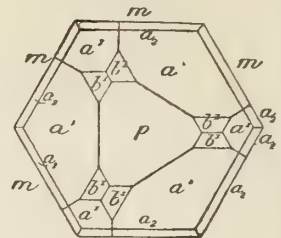


Fig. 121.

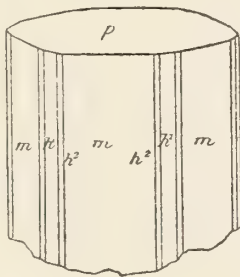


Fig. 122.

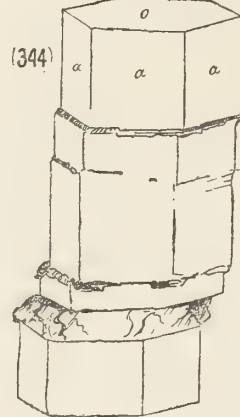


Fig. 123.

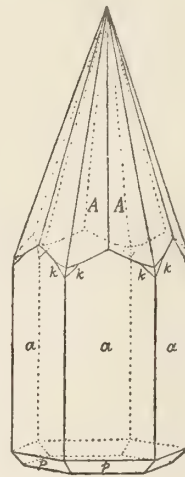


Fig. 124.

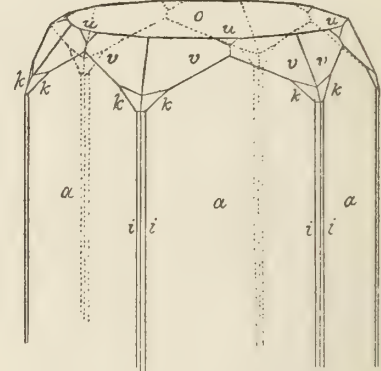


Fig. 125.

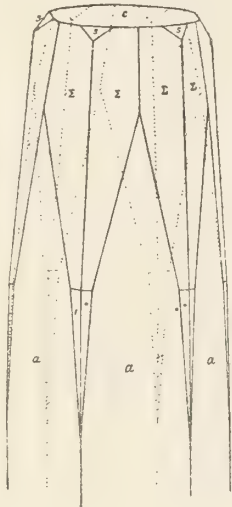


Fig. 126.

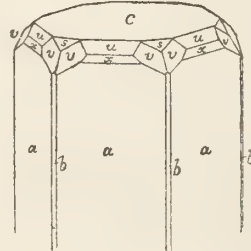


Fig. 127.

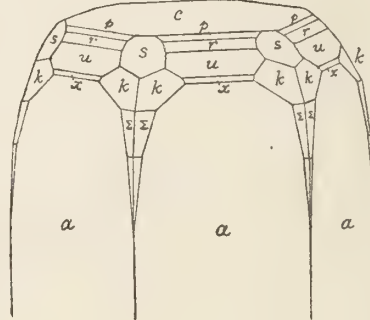


Fig. 128.

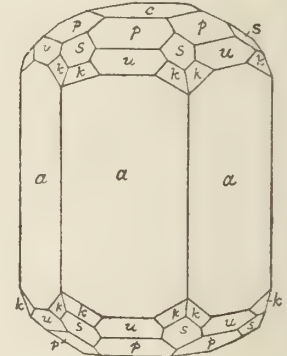


Fig. 132.

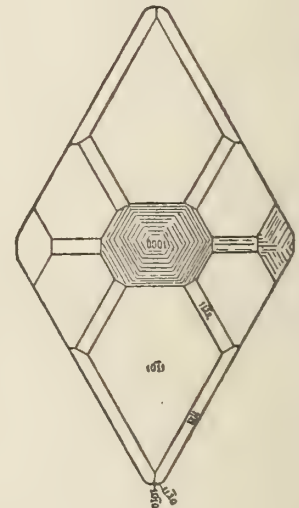


Fig. 129.

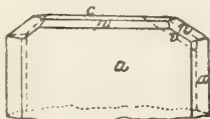


Fig. 130.

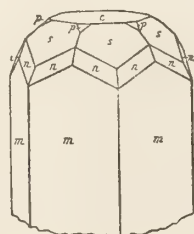
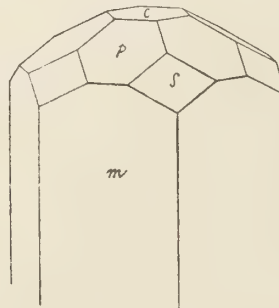


Fig. 131.



Beryll

Fig. 133.

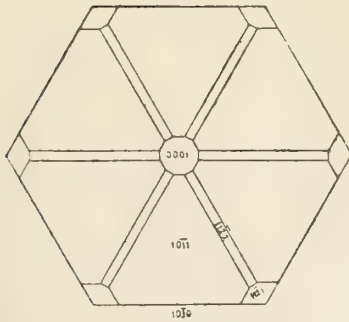


Fig. 134.

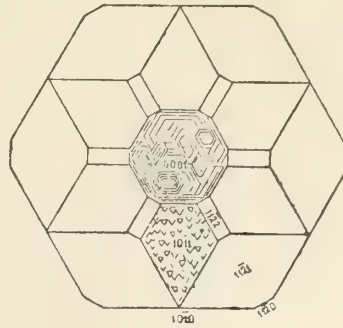


Fig. 135.

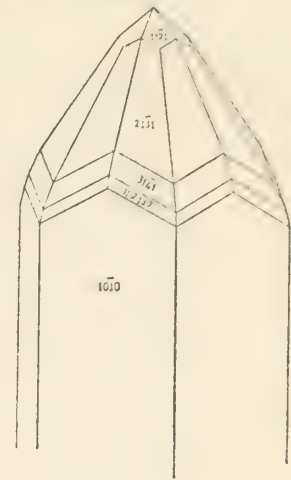


Fig. 137.

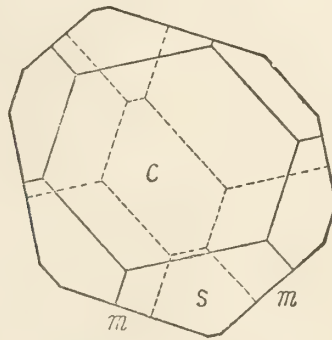


Fig. 138.

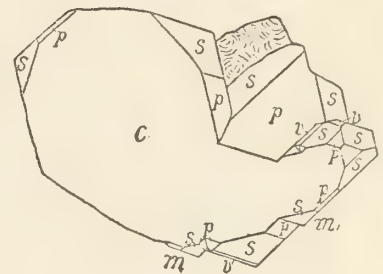


Fig. 136.

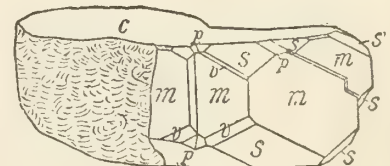
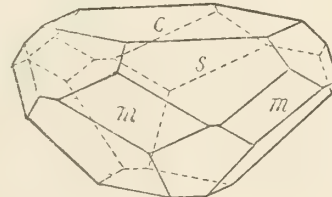
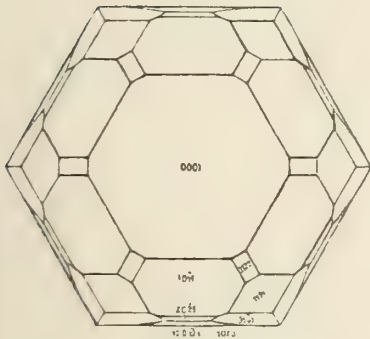


Fig. 139.

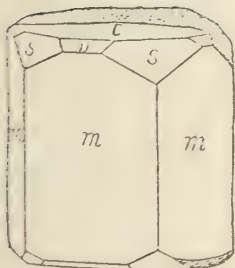


Fig. 140.

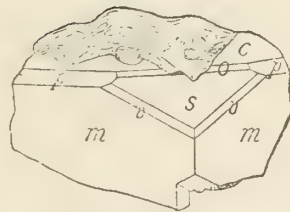


Fig. 141.

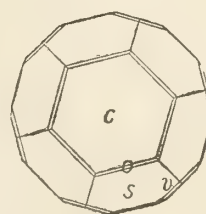


Fig. 143.



Fig. 142.

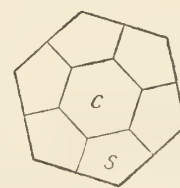
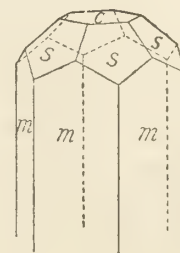
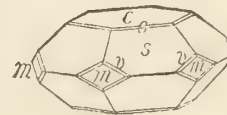
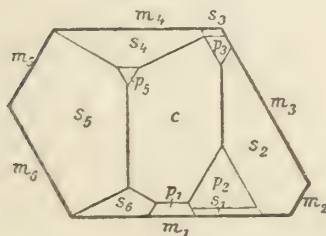


Fig. 144.



Beryll

Fig. 145.

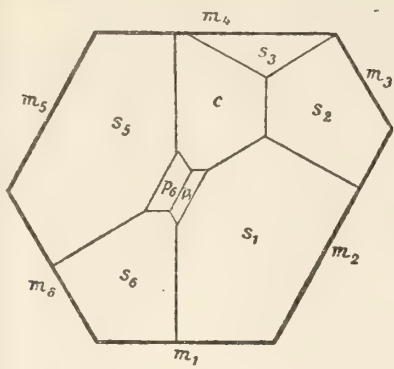


Fig. 146.

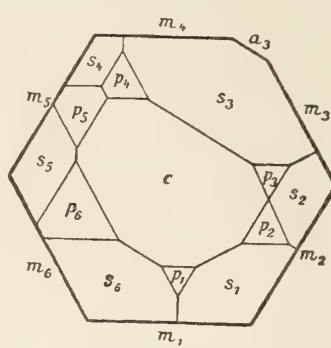


Fig. 147.

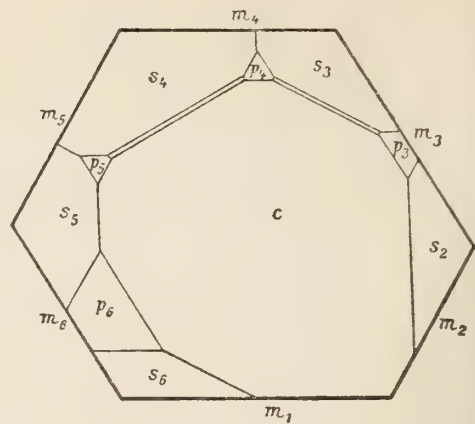


Fig. 148.

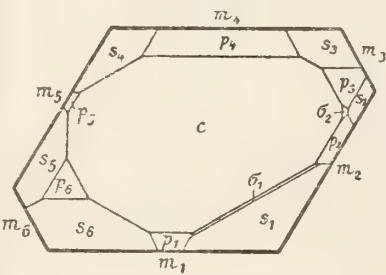


Fig. 149.

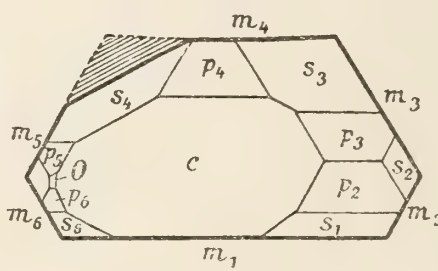


Fig. 150.

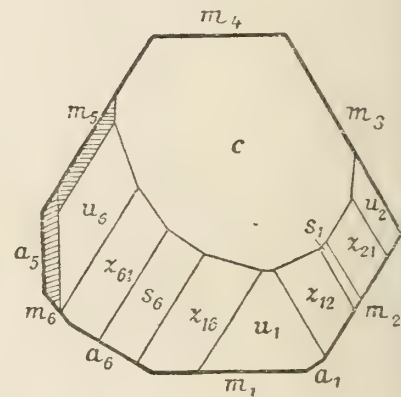


Fig. 151.

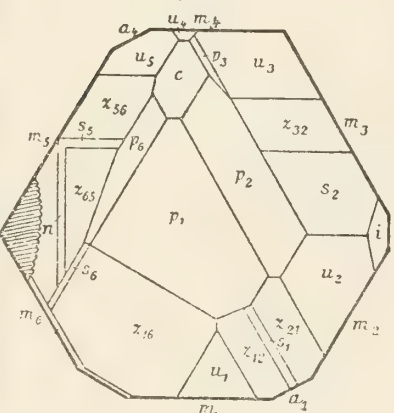


Fig. 152.

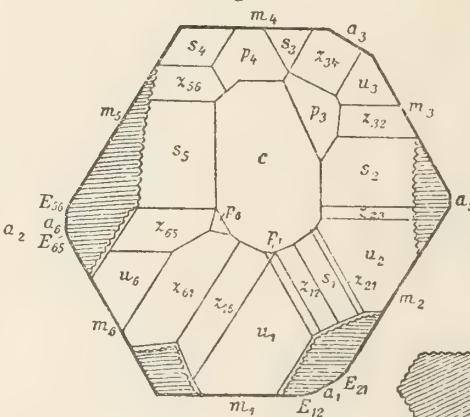


Fig. 153.

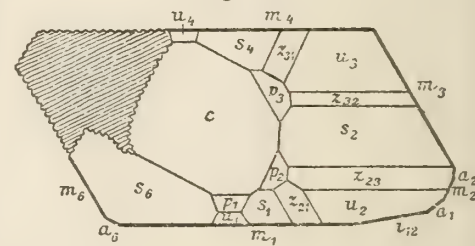


Fig. 154.

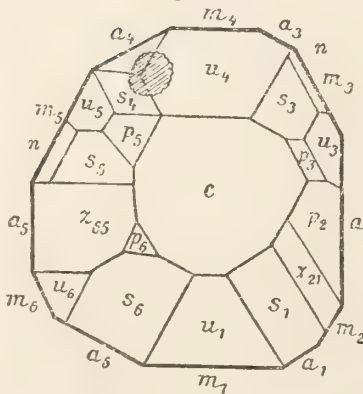


Fig. 155.

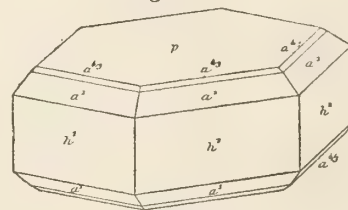


Fig. 156.

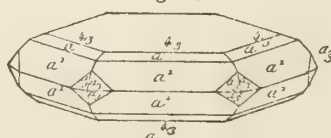
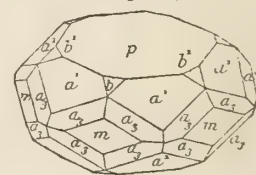


Fig. 157.



Beryll

Fig. 158.



Fig. 159.

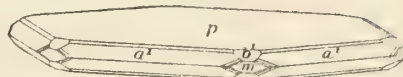
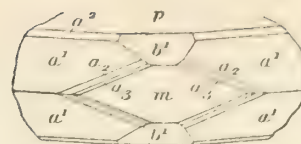


Fig. 160.



Beryllonit Fig. 1.

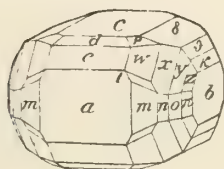


Fig. 2.

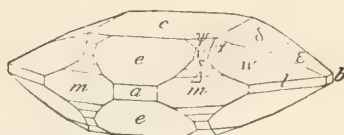


Fig. 3.

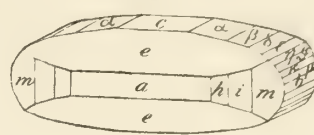


Fig. 5.

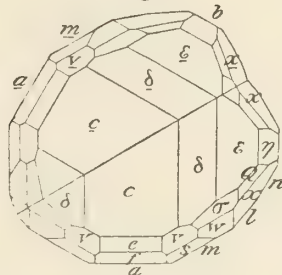


Fig. 6.

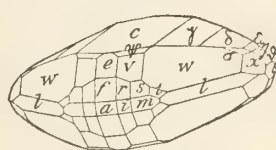


Fig. 7.

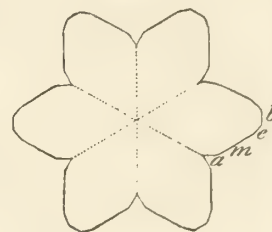


Fig. 4.

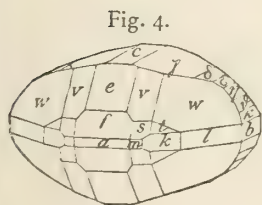
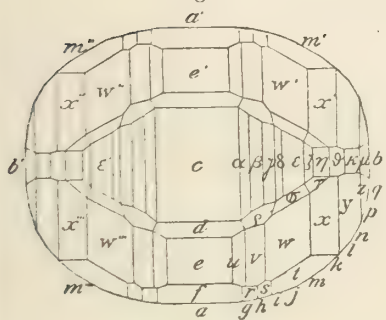


Fig. 8.



Berzeliit

Fig. 1.

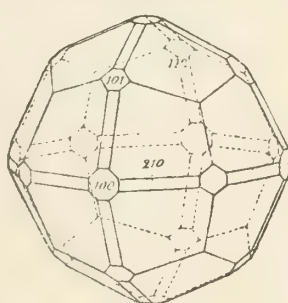


Fig. 2.

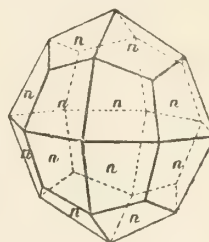
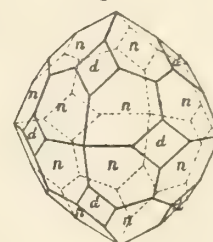


Fig. 3.



Beudantit

Fig. 1.

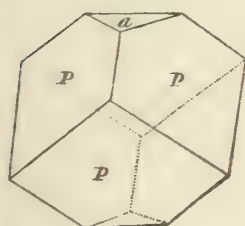


Fig. 2.

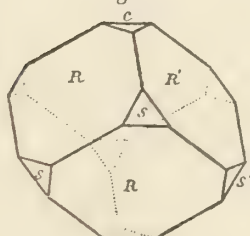


Fig. 3.

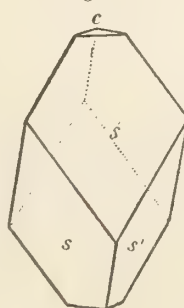
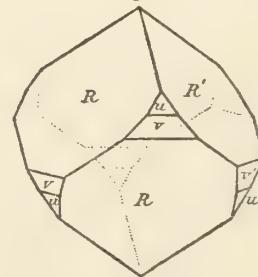


Fig. 4.



Fig. 5.



Beyrichit

Fig. 1.

Fig. 2.

Fig. 3.

Beudantit

Fig. 6.

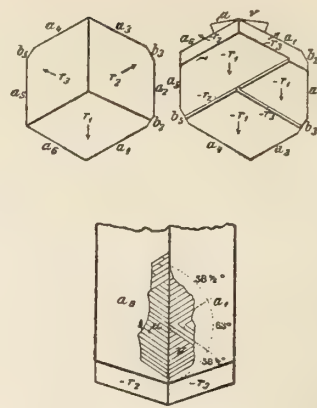
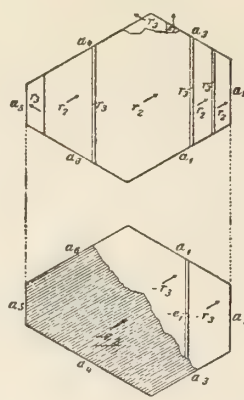
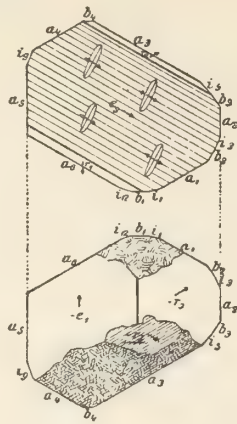
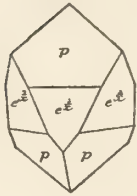
**Bieberit**

Fig. 1.

Fig. 3.

Fig. 4.

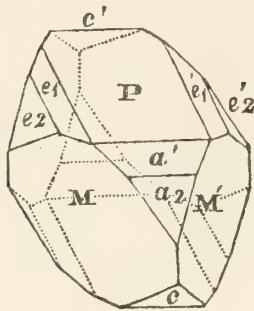


Fig. 2.

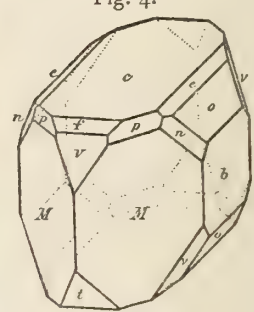
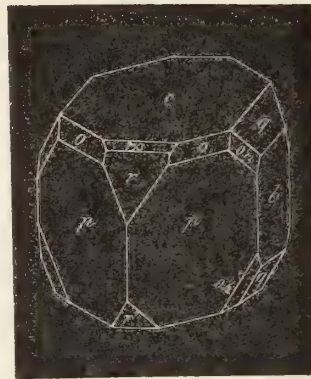
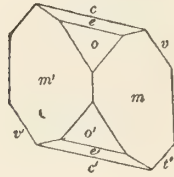
**Bischoffit**

Fig. 1.

Fig. 2.

Fig. 3.

Fig. 4.

Fig. 5.

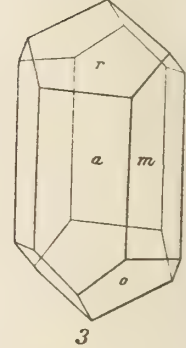
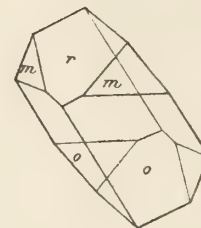
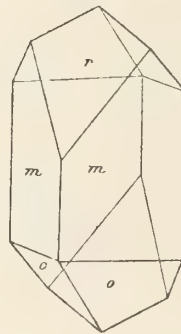
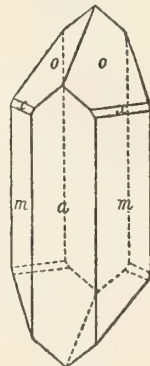
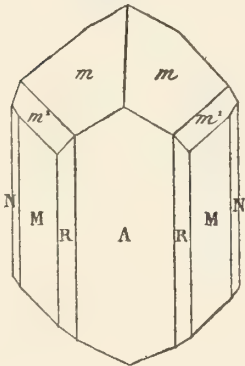


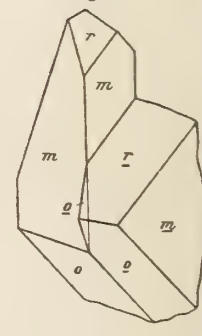
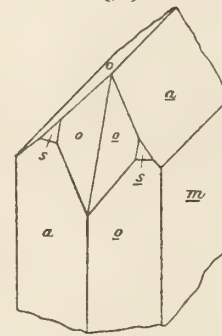
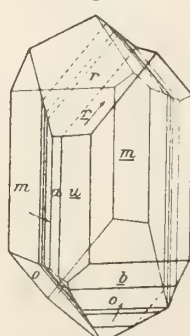
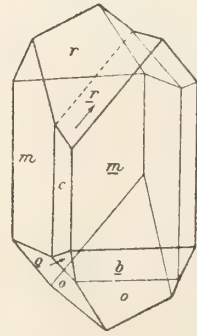
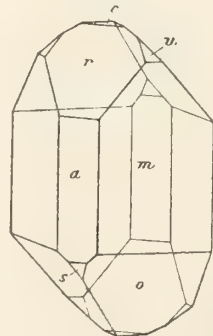
Fig. 6.

Fig. 7.

Fig. 8.

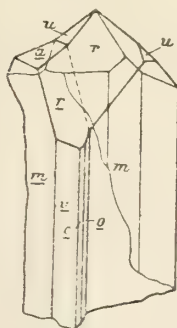
Fig. 9.

Fig. 10.



Bischoffit

Fig. 11.



Bismit

Fig. 1.

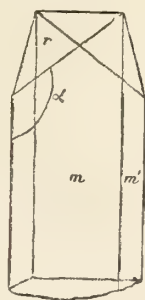


Fig. 2.

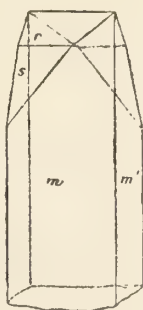


Fig. 3.

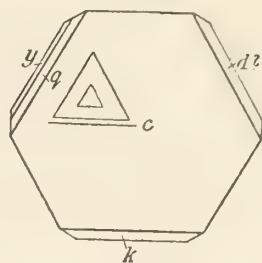
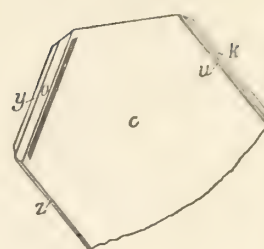
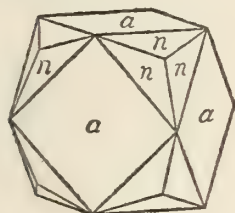


Fig. 4.



Bixbyit

Fig. 1.



Blei

Fig. 1.

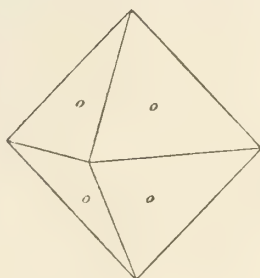


Fig. 2.

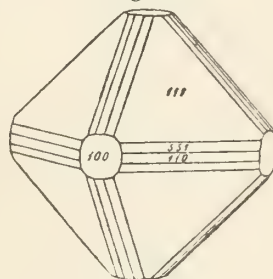


Fig. 3.

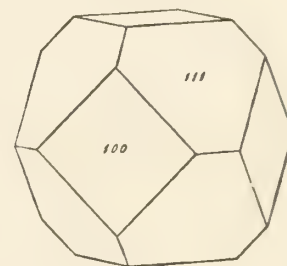


Fig. 4.

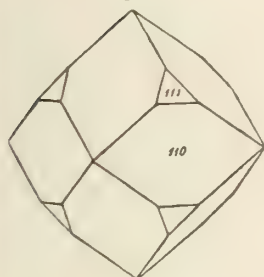


Fig. 5.

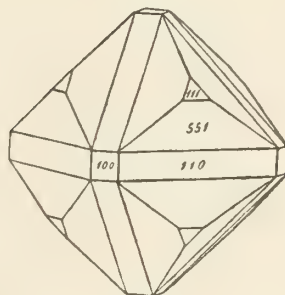


Fig. 6.

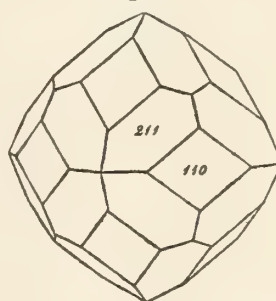


Fig. 7.

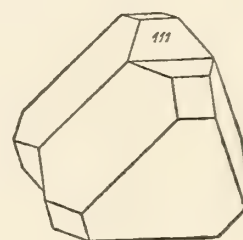


Fig. 8.

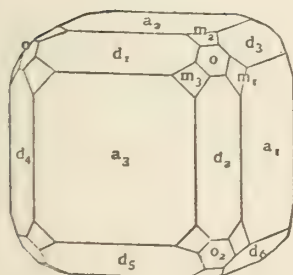
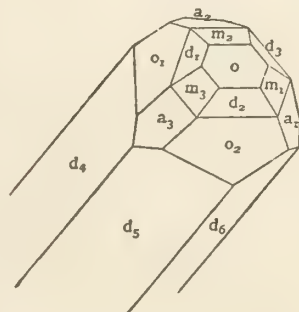


Fig. 9.



Bleiglanz

Fig. 1.

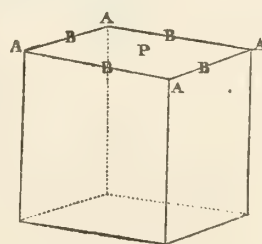
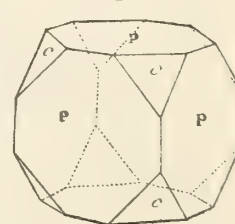


Fig. 2.



Bleiglanz

Fig. 3.

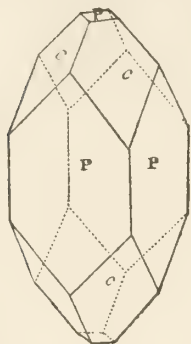


Fig. 4.

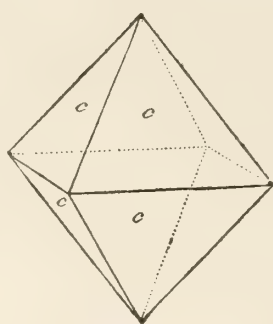


Fig. 5.

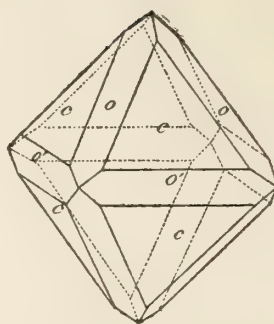


Fig. 6.

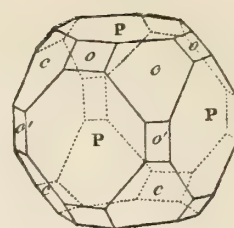


Fig. 7.

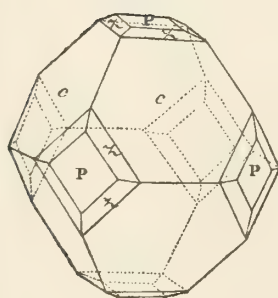


Fig. 8.

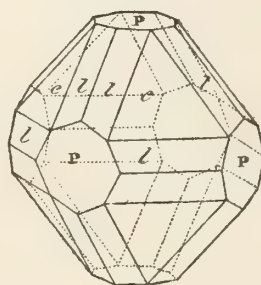


Fig. 9.

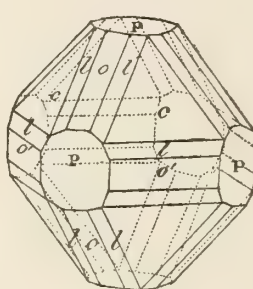


Fig. 10.

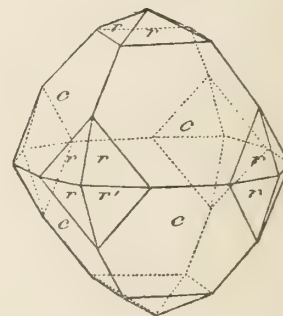


Fig. 11.

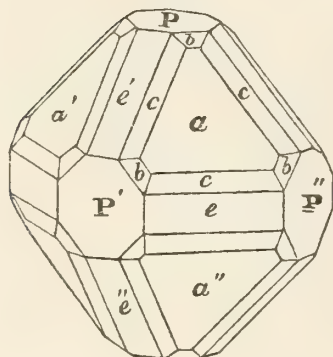


Fig. 12.

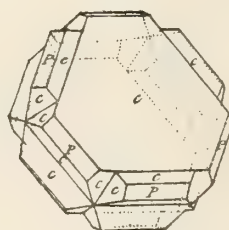


Fig. 13.

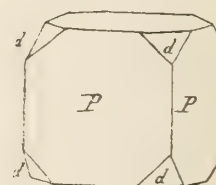


Fig. 14.

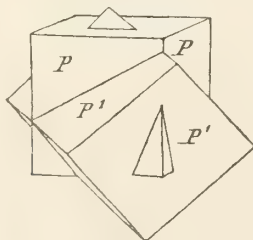


Fig. 15.

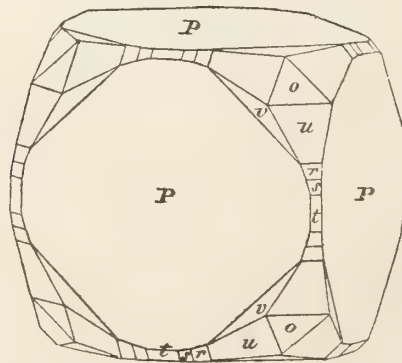
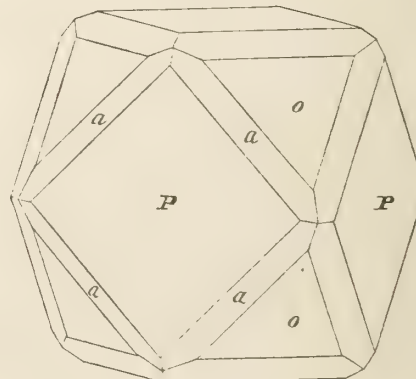


Fig. 16.



Bleiglanz

Fig. 17.

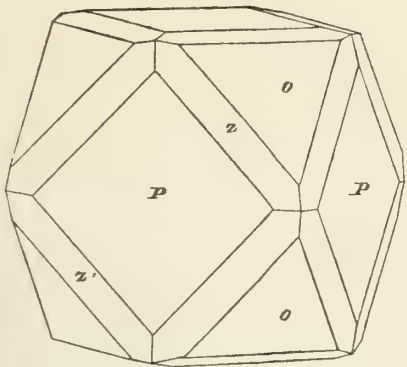


Fig. 18.

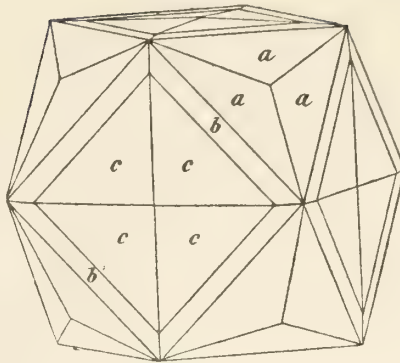


Fig. 19.

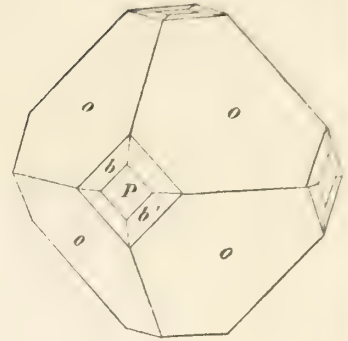


Fig. 20.

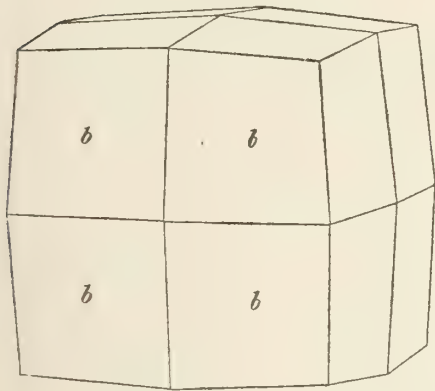


Fig. 21.

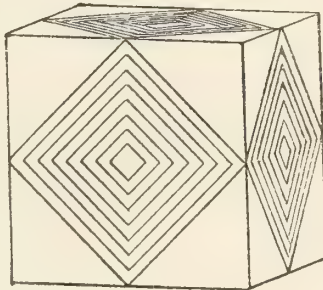


Fig. 22.

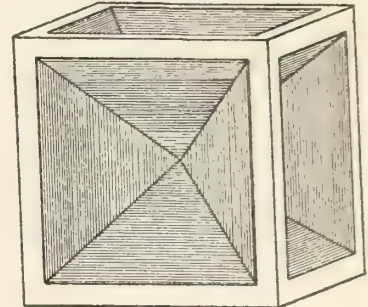


Fig. 23.

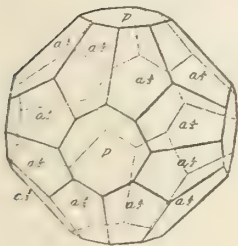


Fig. 24.

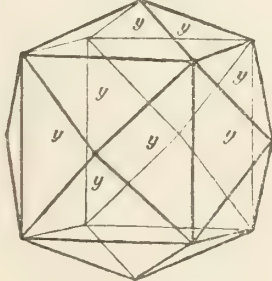


Fig. 25.

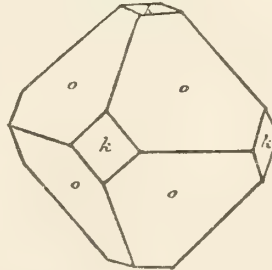


Fig. 26.

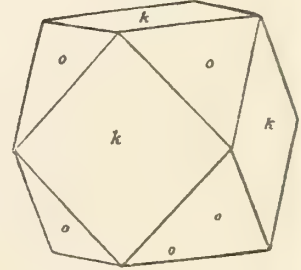


Fig. 27.

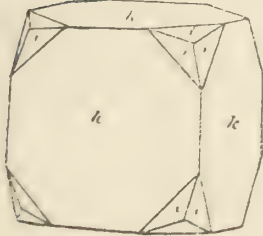


Fig. 28.

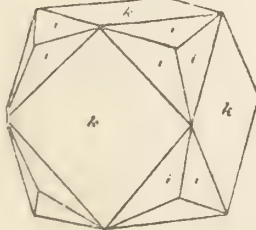


Fig. 29.

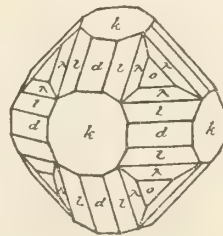
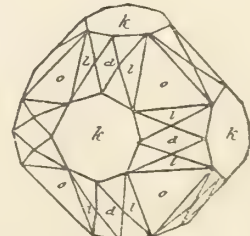


Fig. 30.



Bleiglanz

Fig. 31.

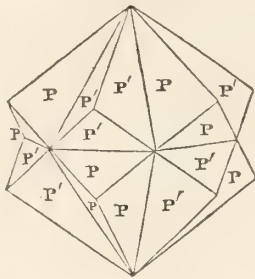


Fig. 32.

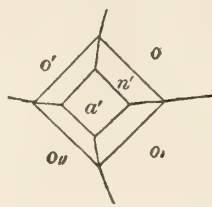


Fig. 33.

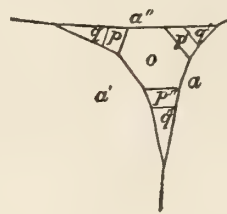


Fig. 34.

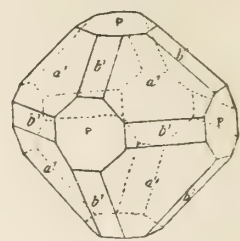


Fig. 35.

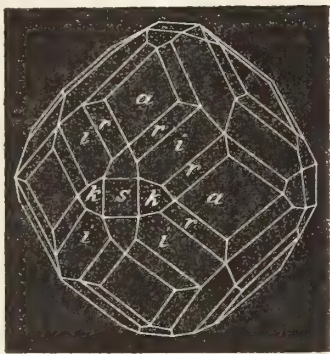


Fig. 36.

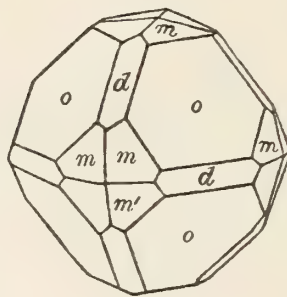


Fig. 37.

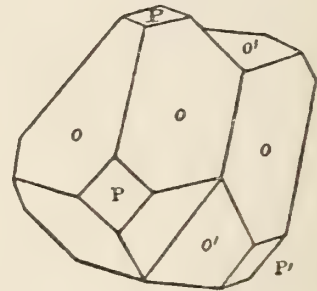


Fig. 38.

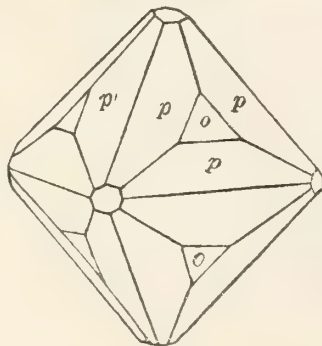


Fig. 39.

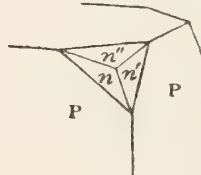


Fig. 40.

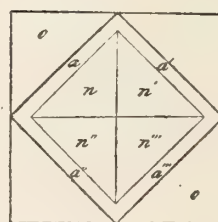


Fig. 41.

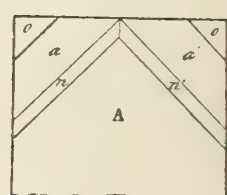


Fig. 42.

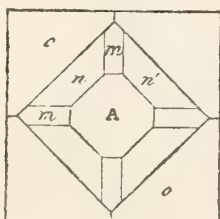


Fig. 43.

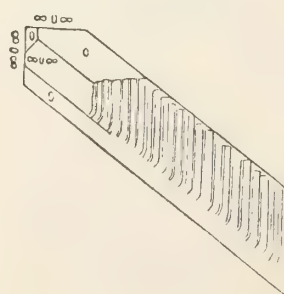


Fig. 44.

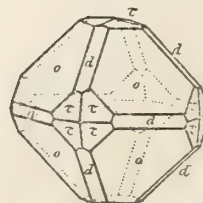
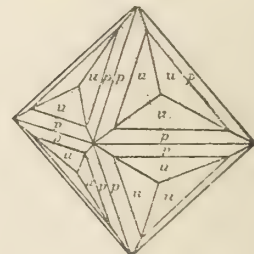


Fig. 45.



Bleiglanz

Fig. 46.

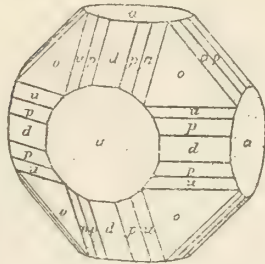


Fig. 47.

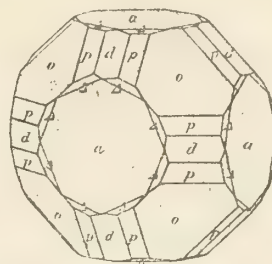


Fig. 48.

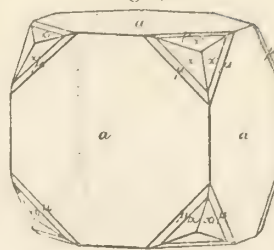


Fig. 49.

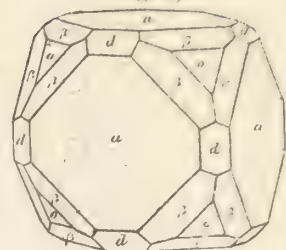


Fig. 51.

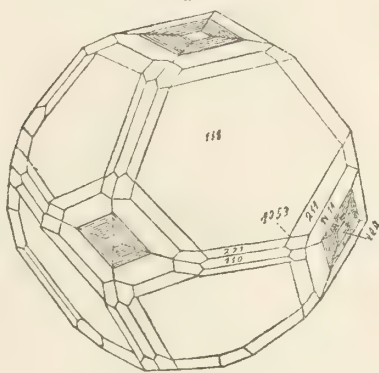


Fig. 50.

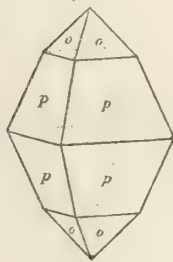


Fig. 52.

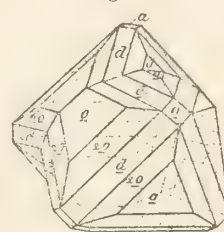


Fig. 53.

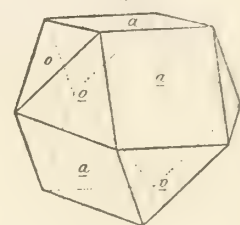


Fig. 54.

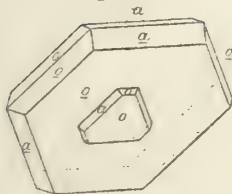


Fig. 55.

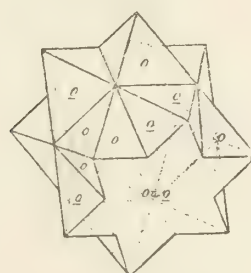


Fig. 56.

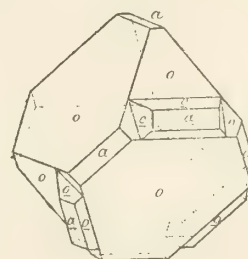


Fig. 57.

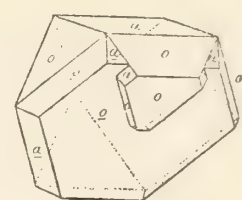


Fig. 58.

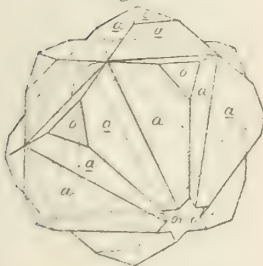


Fig. 59.

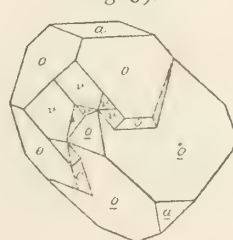


Fig. 60.

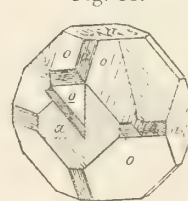


Fig. 61.

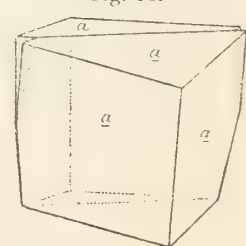


Fig. 62.

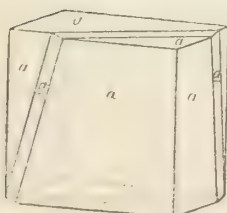


Fig. 63.

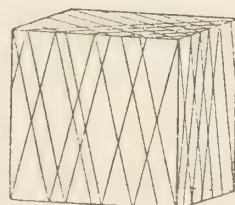
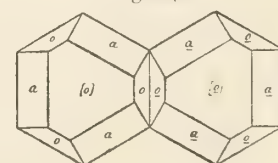


Fig. 64.



Bleiglanz

Fig. 65.

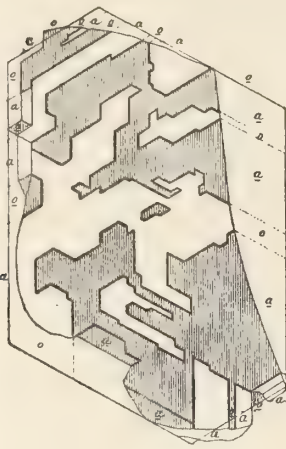


Fig. 66.

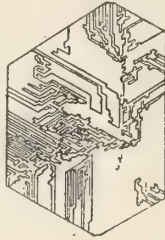


Fig. 67.

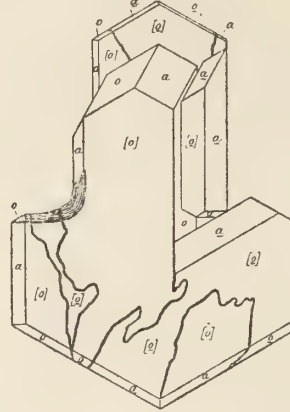


Fig. 68.

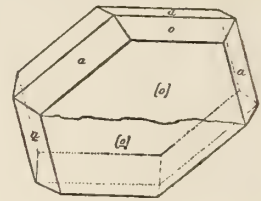


Fig. 69.

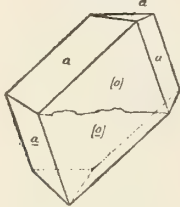


Fig. 70.

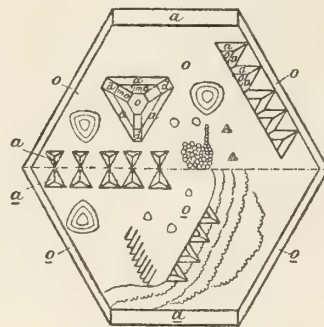


Fig. 71.



Fig. 72.

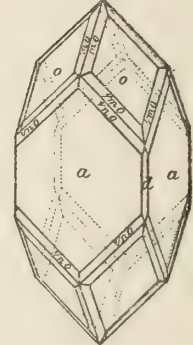


Fig. 73.

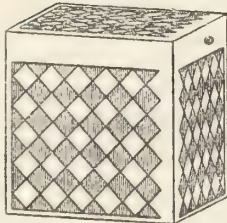


Fig. 74.

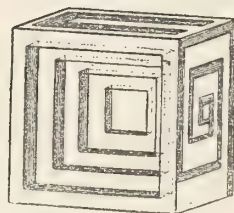


Fig. 75.

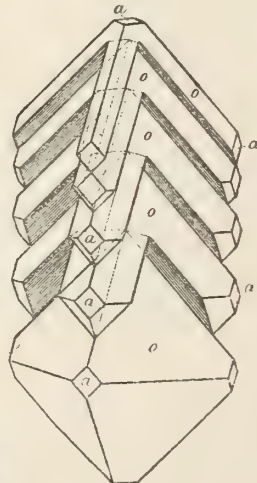


Fig. 76.

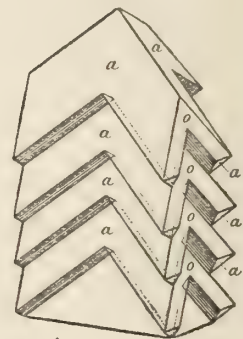


Fig. 77.

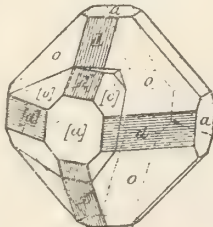


Fig. 78.

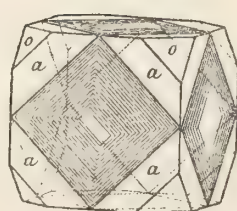
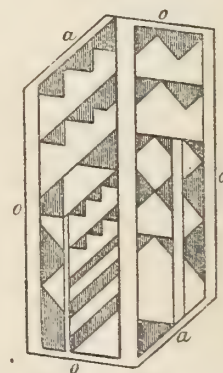


Fig. 79.



Bleiglanz

Fig. 80.

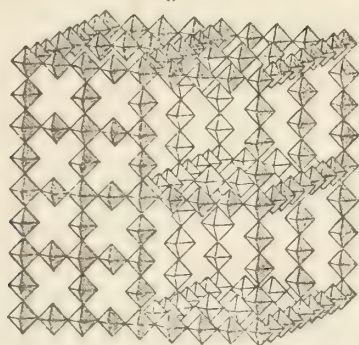


Fig. 81.

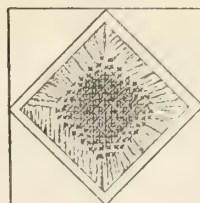


Fig. 82.

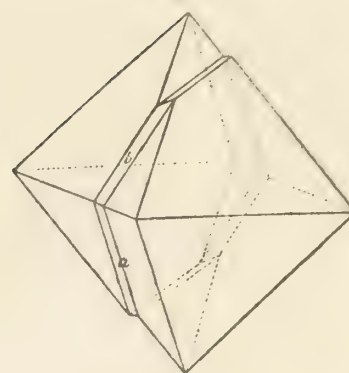


Fig. 83.

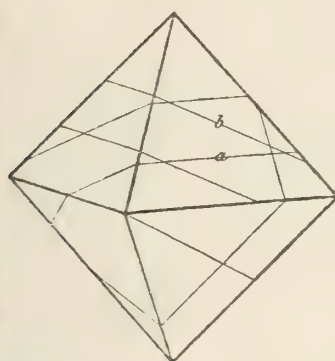


Fig. 84.

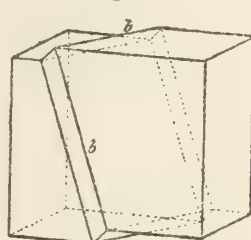


Fig. 85.

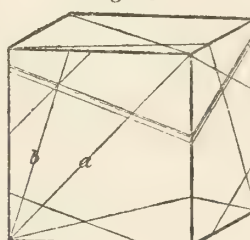


Fig. 86.

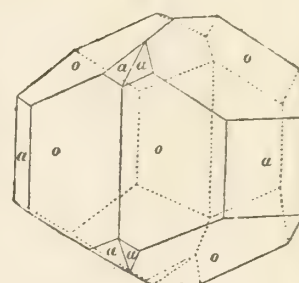


Fig. 87.

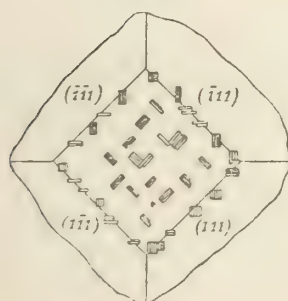


Fig. 88.

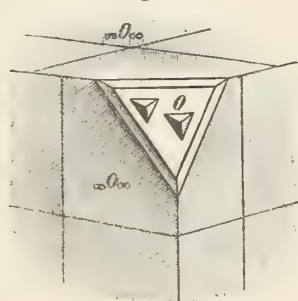


Fig. 89.

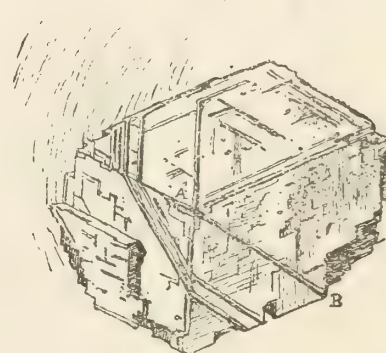


Fig. 90.

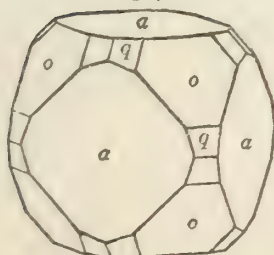


Fig. 91.

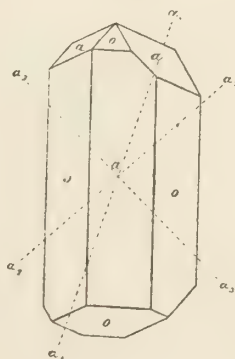


Fig. 92.

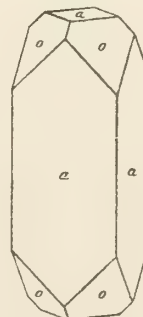
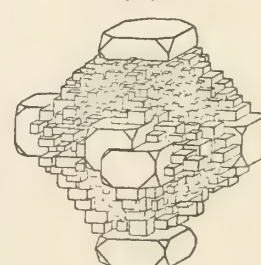


Fig. 93.



Bleiglanz

Fig. 94.

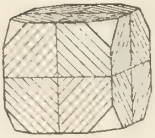


Fig. 95.

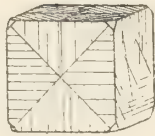


Fig. 96.

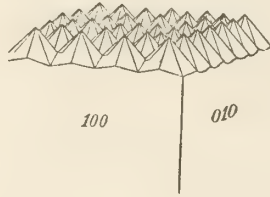


Fig. 97.

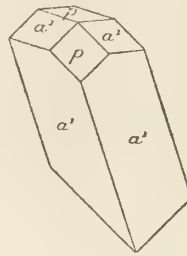


Fig. 98.

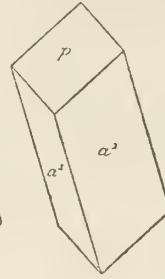


Fig. 99.

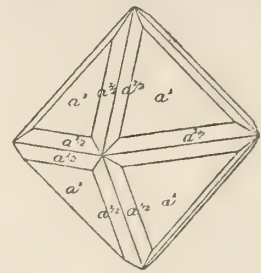


Fig. 100.

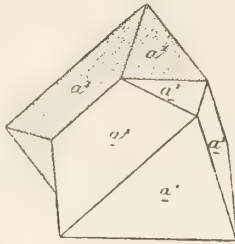


Fig. 101.

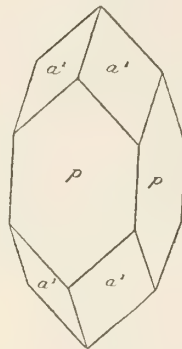


Fig. 102.

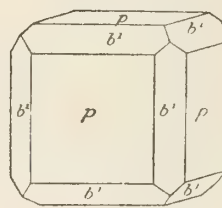


Fig. 103.

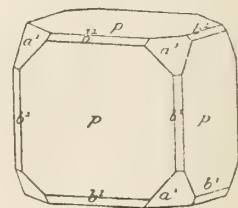


Fig. 104.

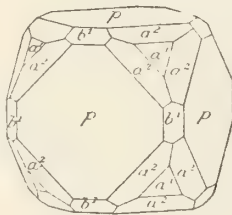


Fig. 105.

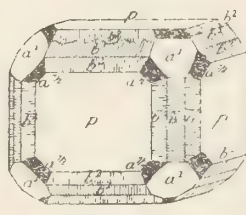


Fig. 106.

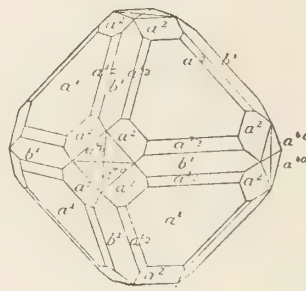


Fig. 107.

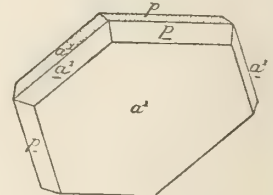


Fig. 108.

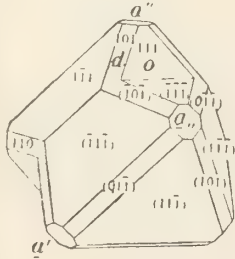


Fig. 109.

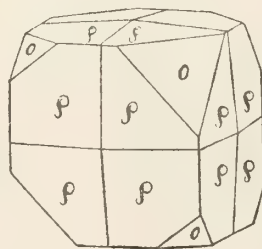


Fig. 110.

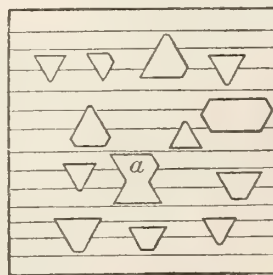
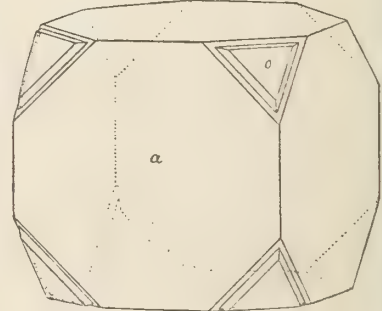


Fig. 111.



Bleiglanz

Fig. 112.

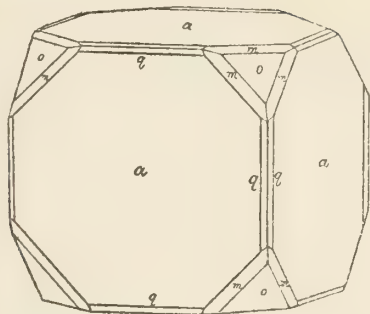


Fig. 113.

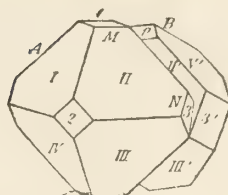
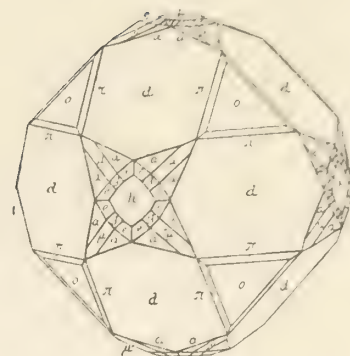


Fig. 114.



Bleioxyd

Fig. 1.

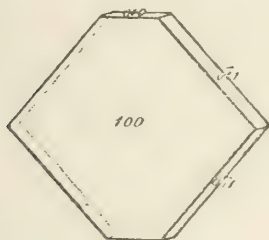


Fig. 2.

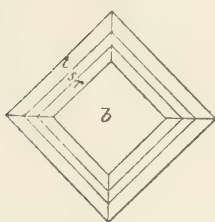
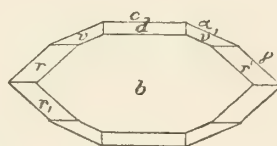


Fig. 3.



Blödit

Fig. 1.

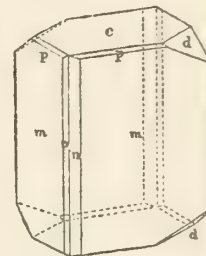


Fig. 2.

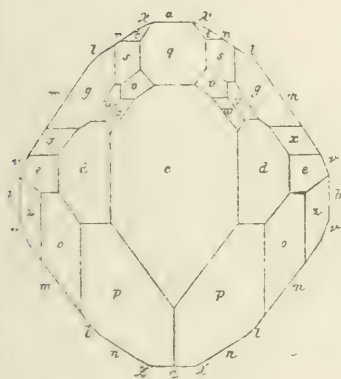


Fig. 3.

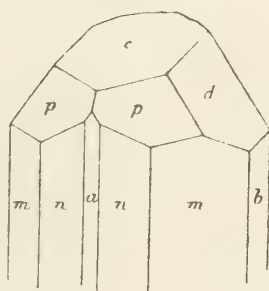


Fig. 4.

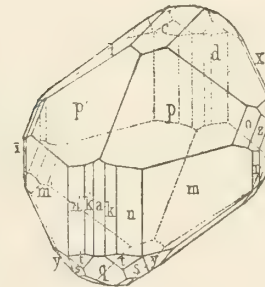


Fig. 5.

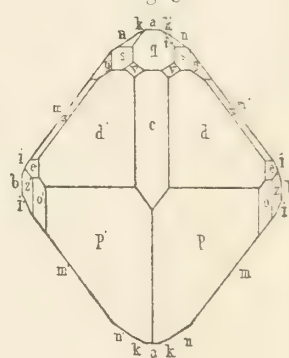


Fig. 6.

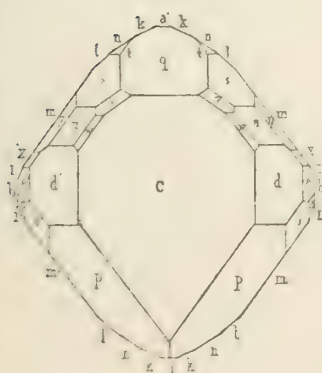


Fig. 7.

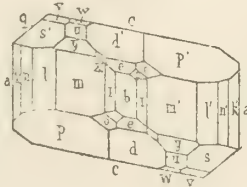


Fig. 8.

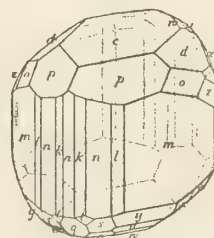
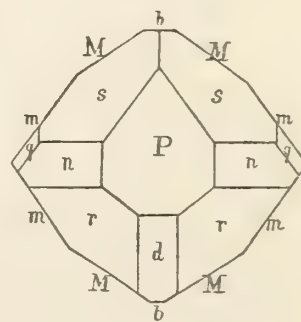


Fig. 9.



Blödit

Fig. 10.

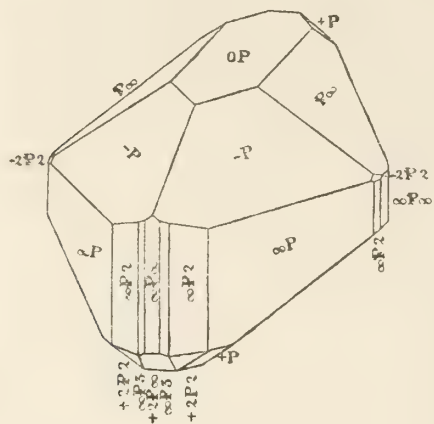


Fig. 11.

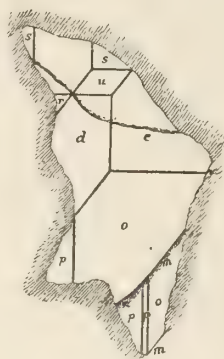


Fig. 12.

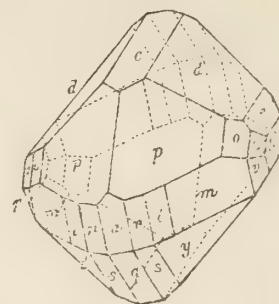


Fig. 13.

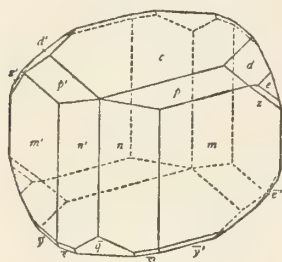
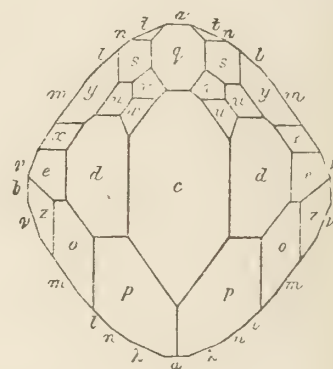
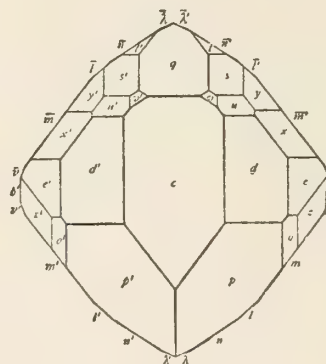


Fig. 14.



Blomstrandin

Fig. 1.

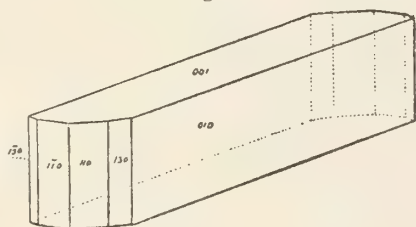


Fig. 2.

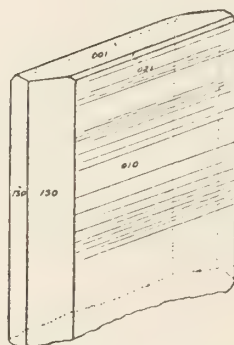


Fig. 3.

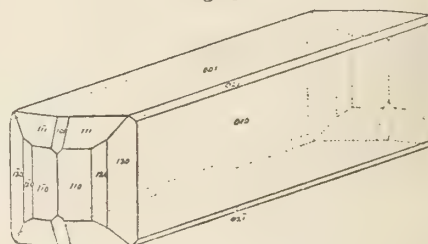


Fig. 4.

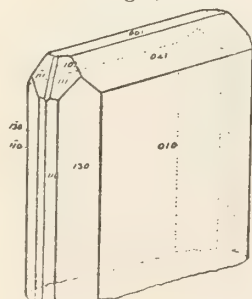


Fig. 5.

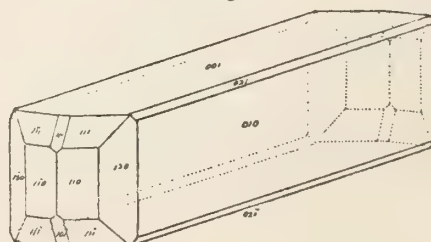
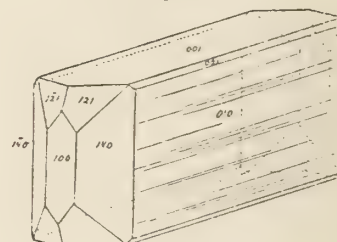


Fig. 6.



Blomstrandin

Fig. 7.

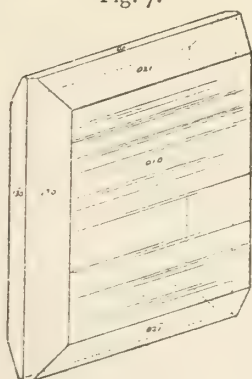


Fig. 8.

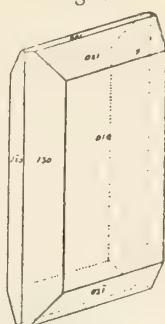


Fig. 9.

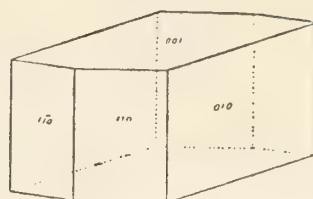
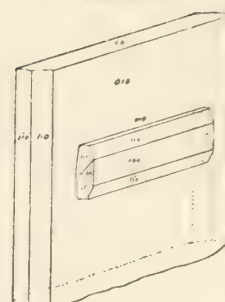


Fig. 10.



Bobierit

Fig. 1.

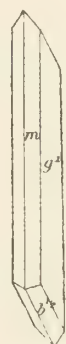
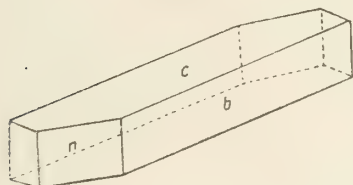


Fig. 11.



Boothit

Fig. 1.

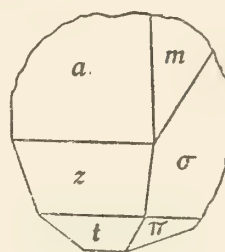
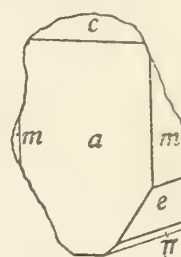


Fig. 2.



Boracit

Fig. 1.

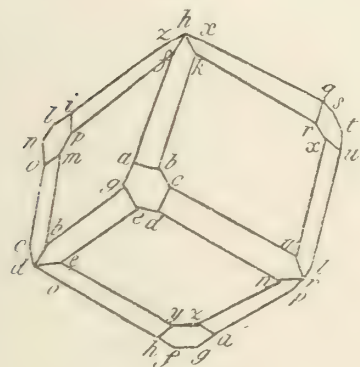


Fig. 2.

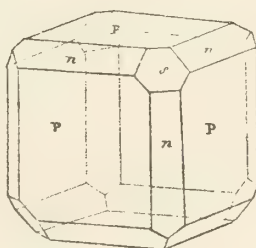


Fig. 3.

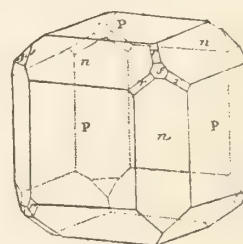


Fig. 4.

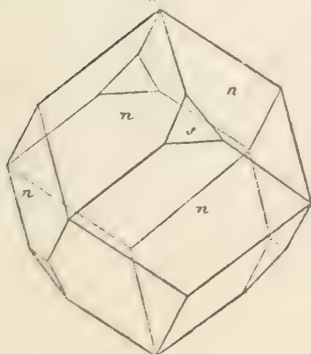


Fig. 5.

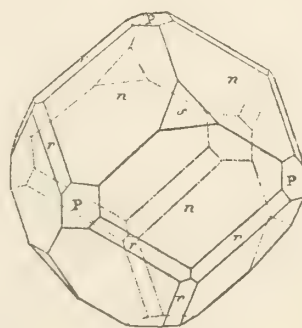
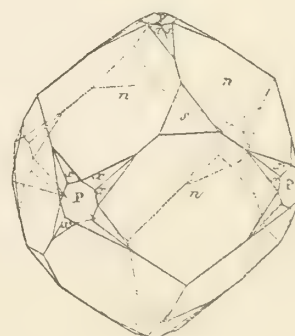


Fig. 6.



Boracit

Fig. 7.

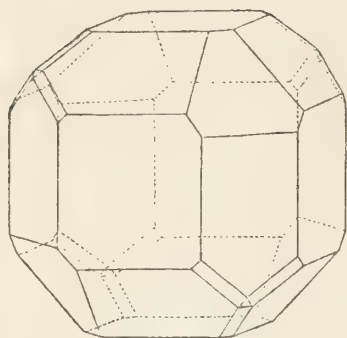


Fig. 8.

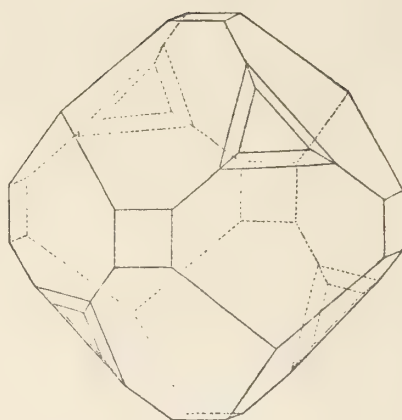


Fig. 9.

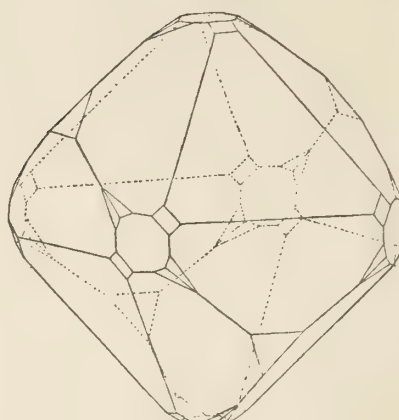


Fig. 10.

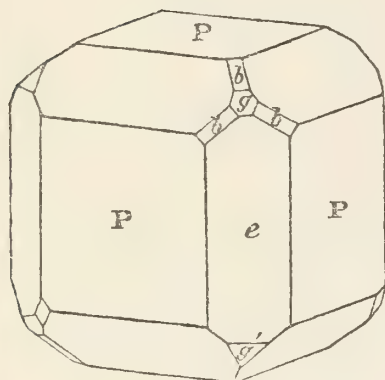


Fig. 11.

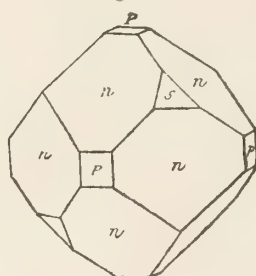


Fig. 12.

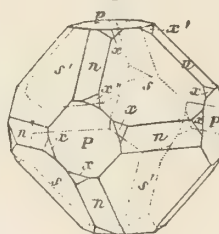


Fig. 13.

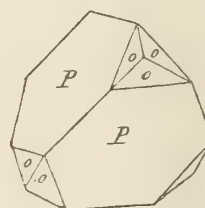


Fig. 14.

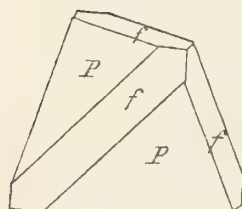


Fig. 15.

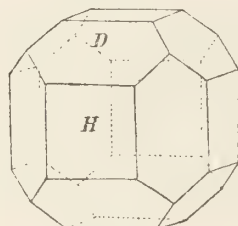


Fig. 16.

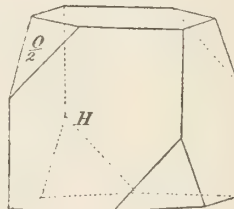


Fig. 17.

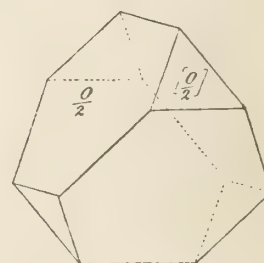


Fig. 18.

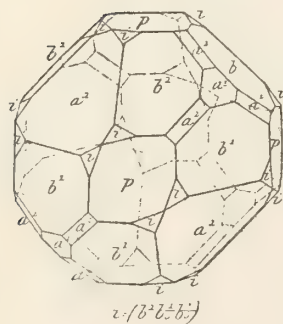


Fig. 19.

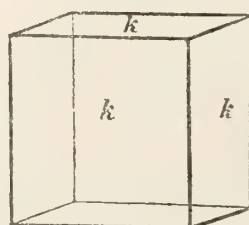


Fig. 20.

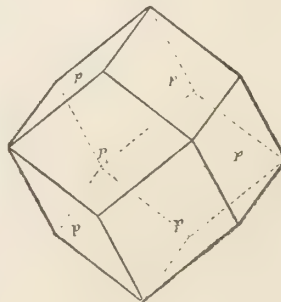
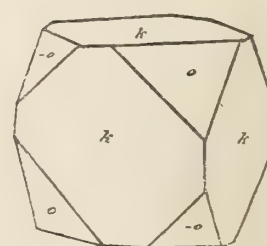


Fig. 21.



Boracit

Fig. 22.

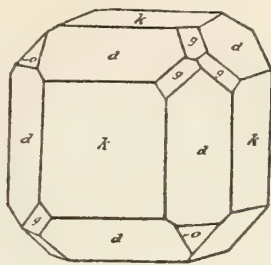


Fig. 23.

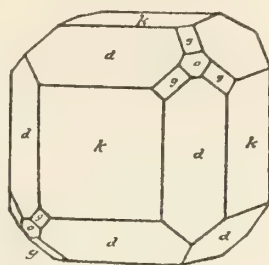


Fig. 24.

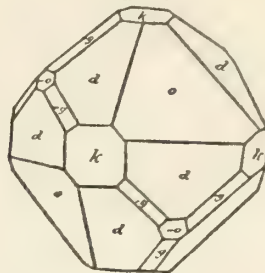


Fig. 25.

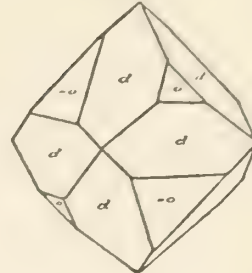


Fig. 26.

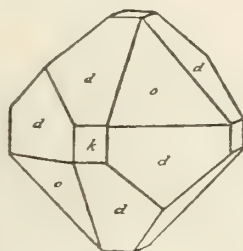


Fig. 27.

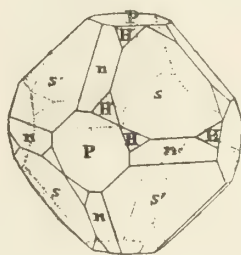


Fig. 28.

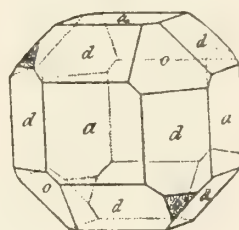


Fig. 29.

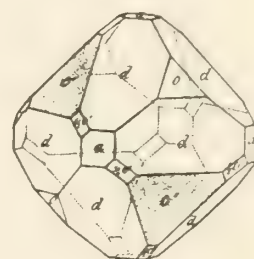


Fig. 30.

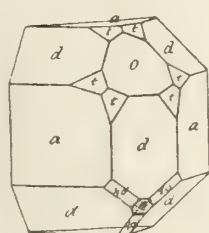


Fig. 31.

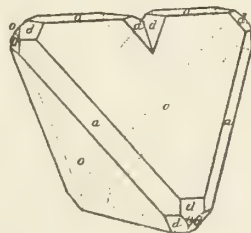


Fig. 32.

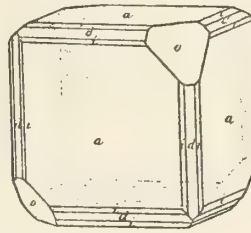


Fig. 33.

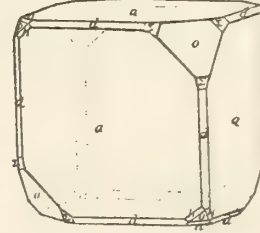


Fig. 34.

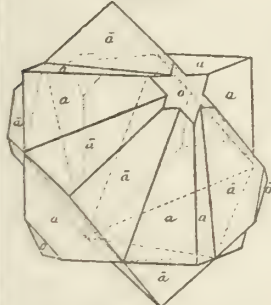


Fig. 35.

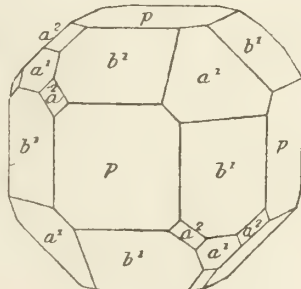


Fig. 36.

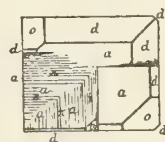


Fig. 37.

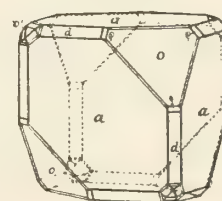


Fig. 38.

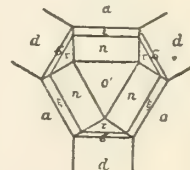


Fig. 39.

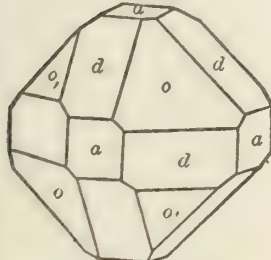


Fig. 40.

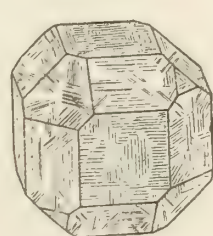
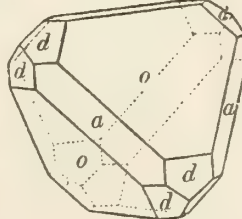


Fig. 41.



Borax Fig. 1.

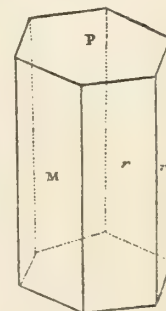
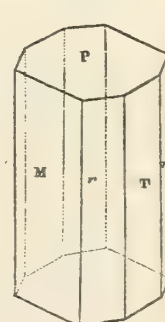


Fig. 2.



Borax

Fig. 3.



Fig. 4.

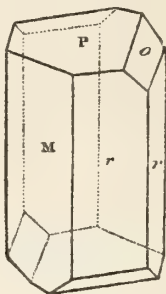


Fig. 5.



Fig. 6.

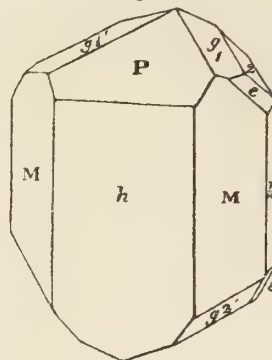


Fig. 7.

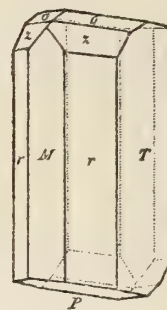


Fig. 8.

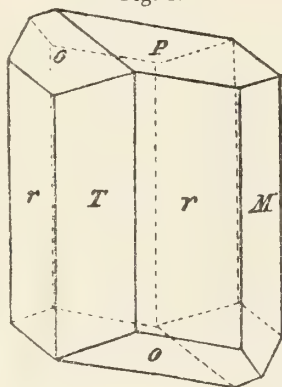


Fig. 9.

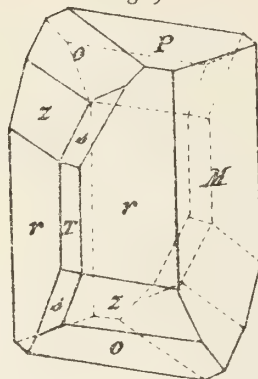


Fig. 10.

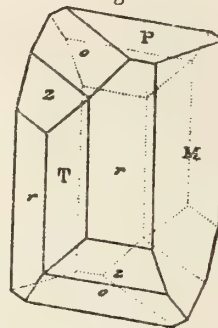


Fig. 11.

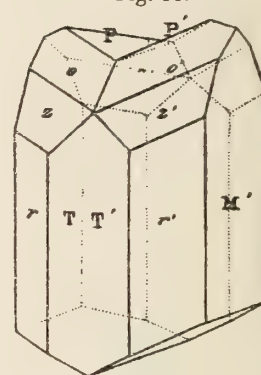


Fig. 12.

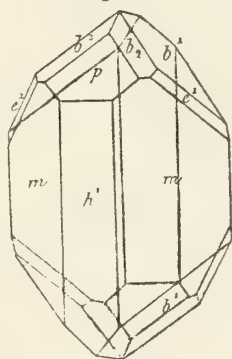


Fig. 13.

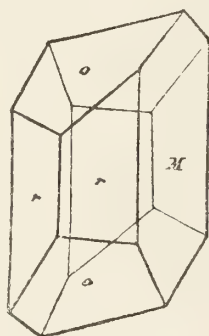


Fig. 14.



Fig. 15.

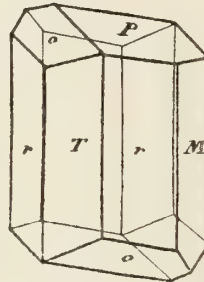


Fig. 16.

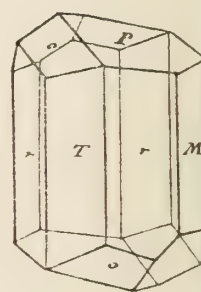


Fig. 17.

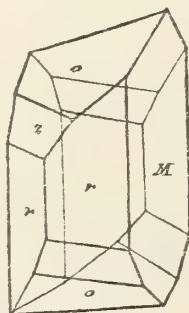


Fig. 18.

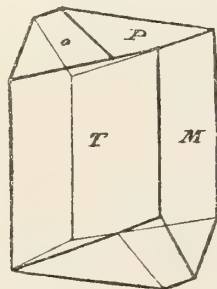


Fig. 19.

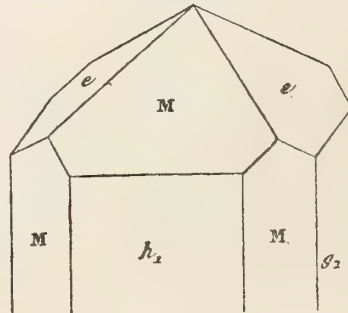
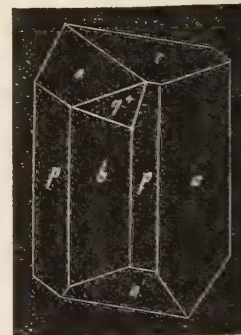


Fig. 20.



Borax

Fig. 21.



Fig. 22.



Fig. 23.

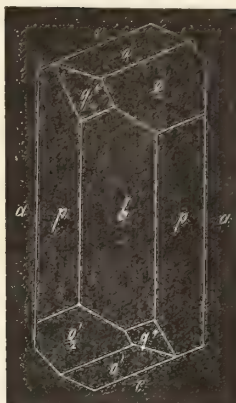


Fig. 24.

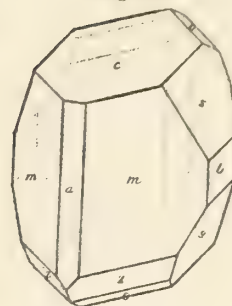


Fig. 25.

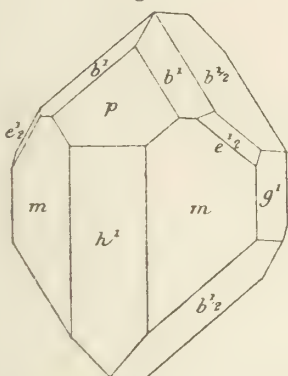


Fig. 26.

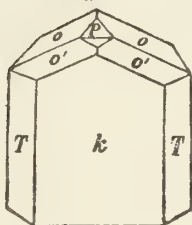
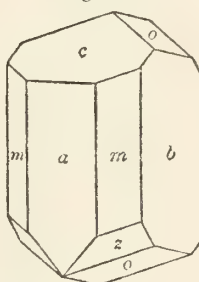


Fig. 28.



Botryogen

Fig. 1.

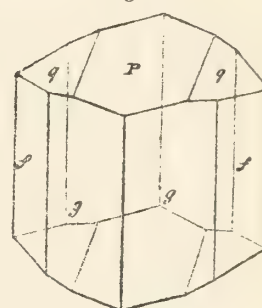


Fig. 27.

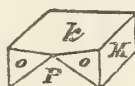


Fig. 2.

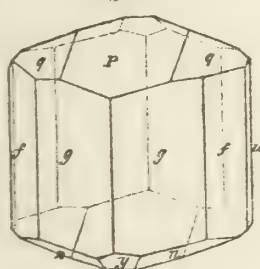


Fig. 3.

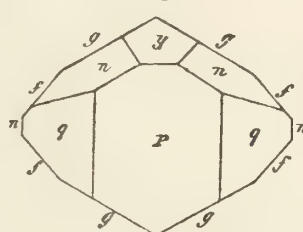


Fig. 4.

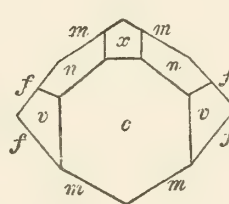
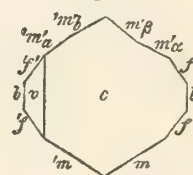


Fig. 5.



Bournonit

Fig. 1.

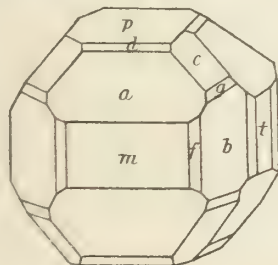


Fig. 2.

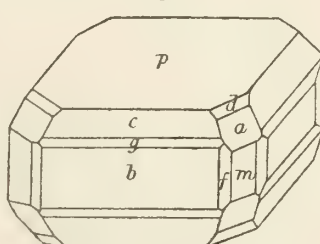
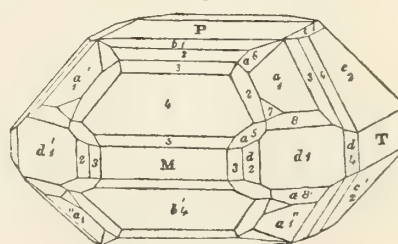


Fig. 3.



Bournonit

Fig. 4.

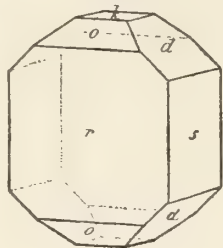


Fig. 5.

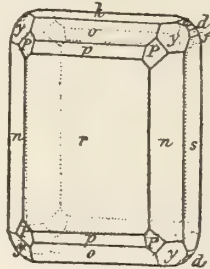


Fig. 6.

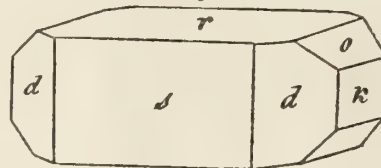


Fig. 7.

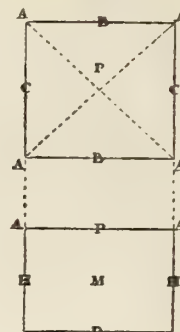


Fig. 8.

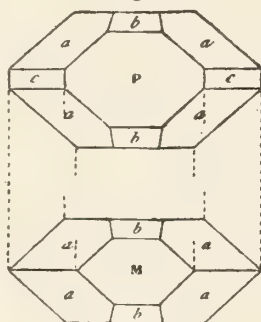


Fig. 9.

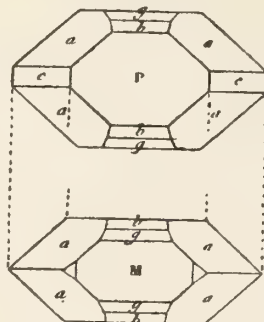


Fig. 10.

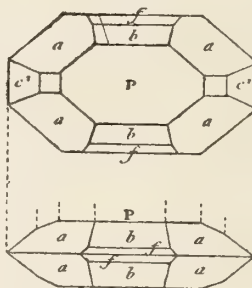


Fig. 11.

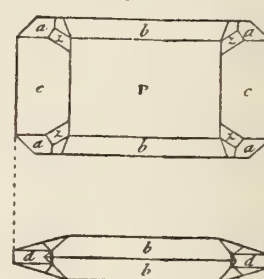


Fig. 12.

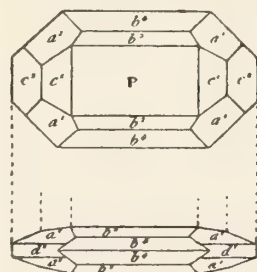


Fig. 13.

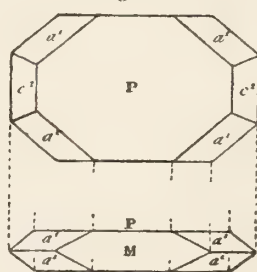


Fig. 14.

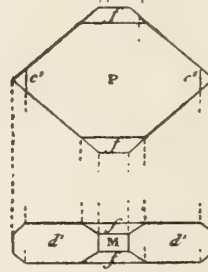


Fig. 15.

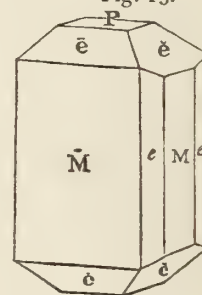


Fig. 16.

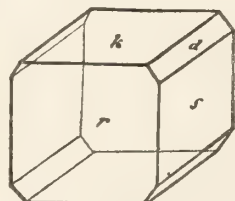


Fig. 17.

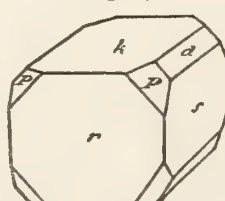


Fig. 18.

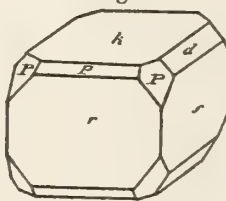


Fig. 19.

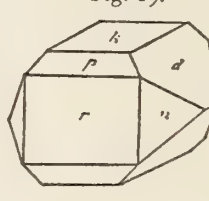


Fig. 20.

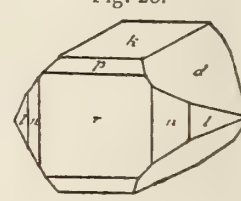


Fig. 21.

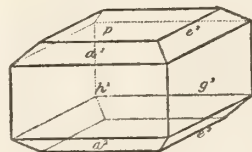


Fig. 22.

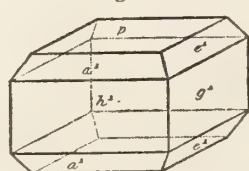
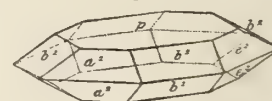


Fig. 23.



Fig. 24.



Bourbonit

Fig. 25.

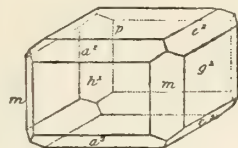


Fig. 26.

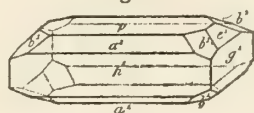


Fig. 27.

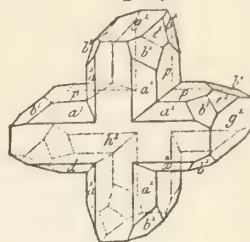


Fig. 28.

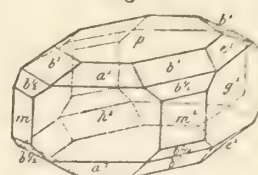


Fig. 29.

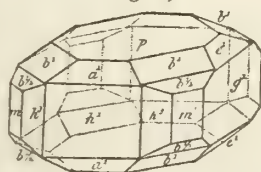


Fig. 30.

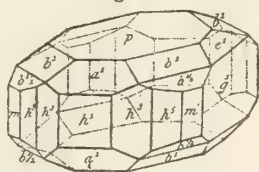


Fig. 31.

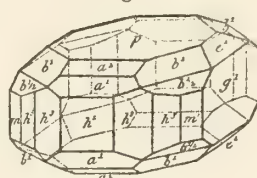


Fig. 32.

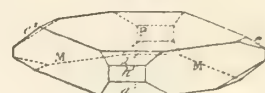


Fig. 33.

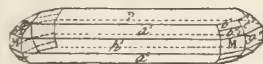


Fig. 34.



Fig. 35.

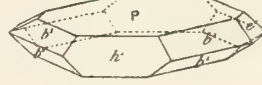


Fig. 36.



Fig. 37.



Fig. 38.



Fig. 39.

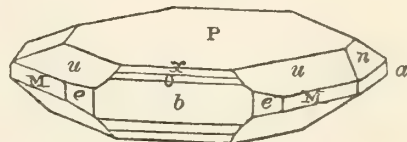


Fig. 40.

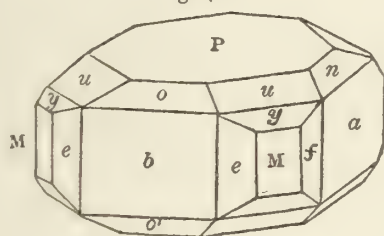


Fig. 41.

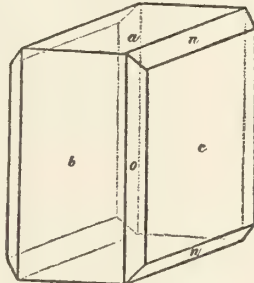


Fig. 42.

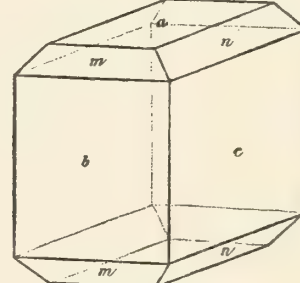


Fig. 43.

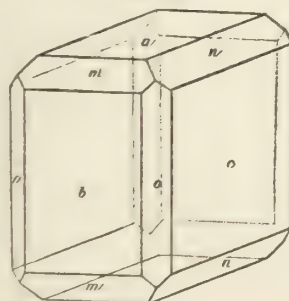


Fig. 44.

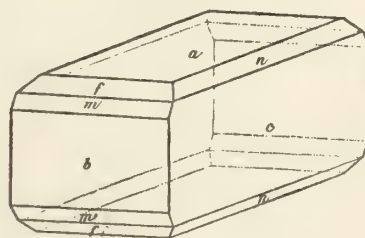
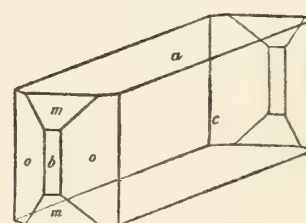


Fig. 45.



Bournonit

Fig. 46.

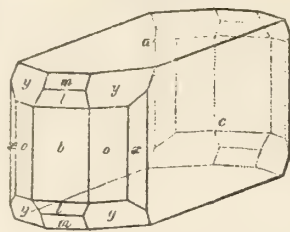


Fig. 47.

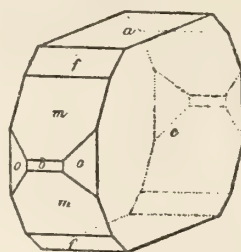


Fig. 48.

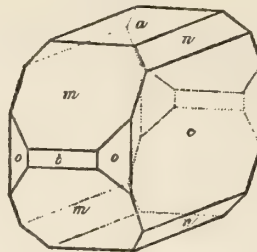


Fig. 49.

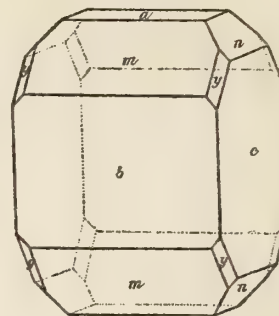


Fig. 50.

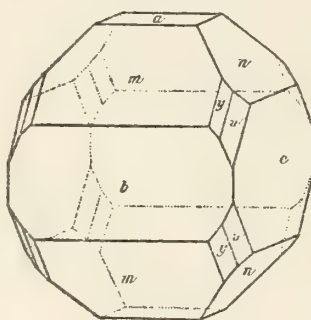


Fig. 51.

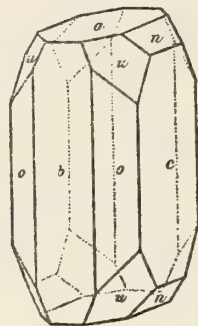


Fig. 52.

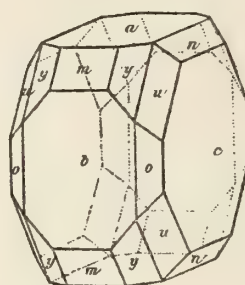


Fig. 53.

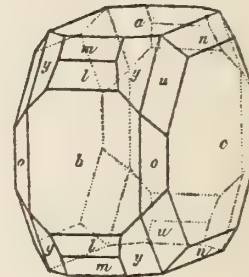


Fig. 54.

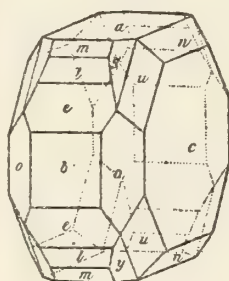


Fig. 55.

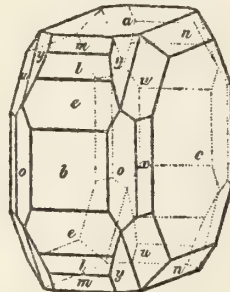


Fig. 56.

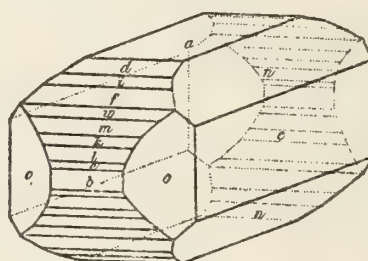


Fig. 57.

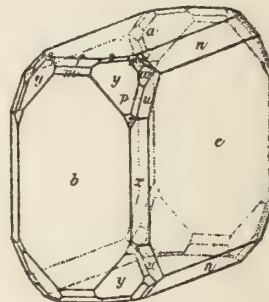


Fig. 58.

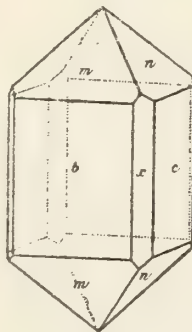


Fig. 59.

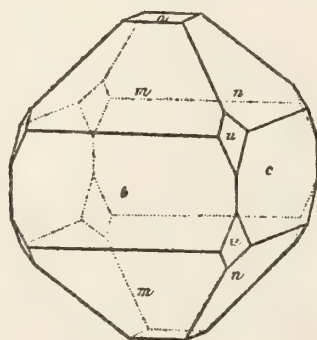


Fig. 60.

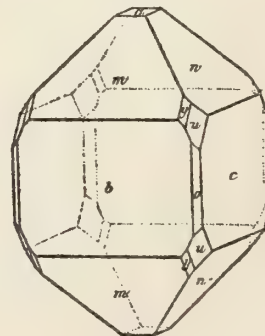
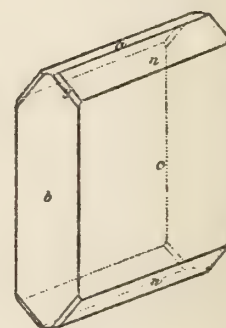


Fig. 61.



Bournonit

Fig. 62.

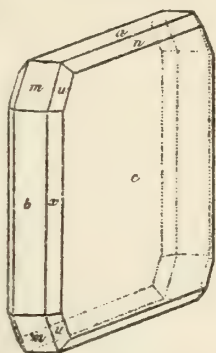


Fig. 63.

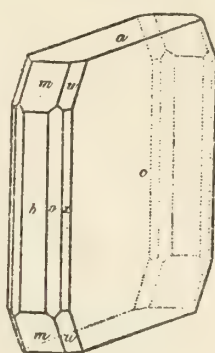


Fig. 64.

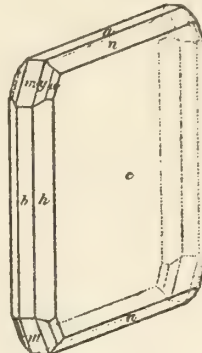


Fig. 65.

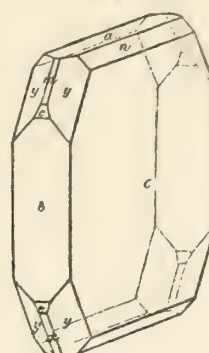


Fig. 66.

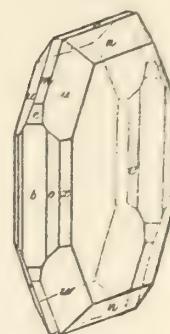


Fig. 67.

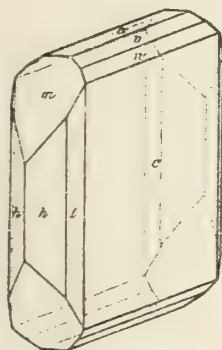


Fig. 68.

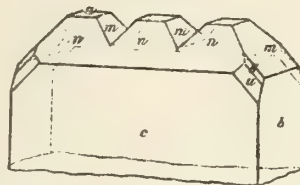


Fig. 69.

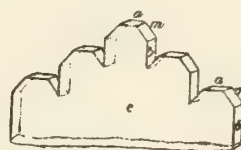


Fig. 70.

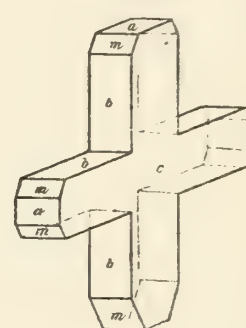


Fig. 71.

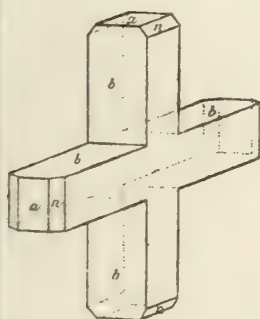


Fig. 72.

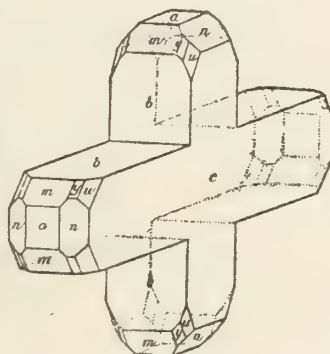


Fig. 73.

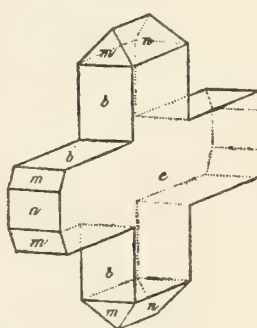


Fig. 74.

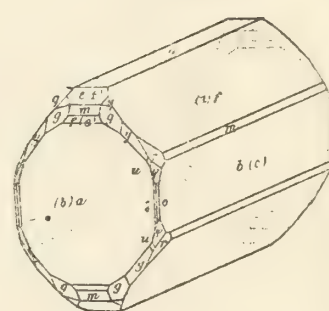


Fig. 75.

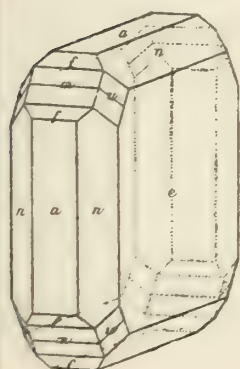


Fig. 76.

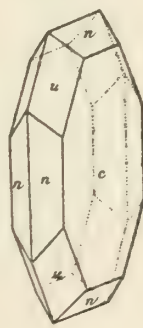


Fig. 77.

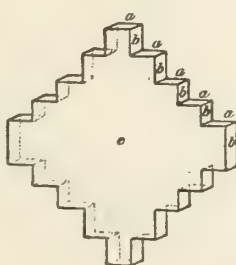


Fig. 78.

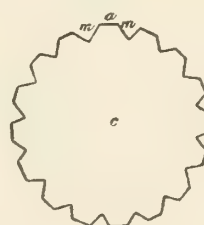
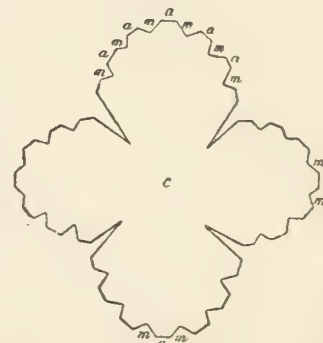


Fig. 79.



Bournonit

Fig. 80.

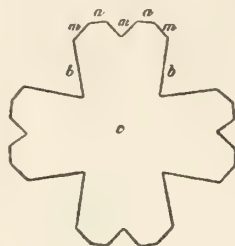


Fig. 81.

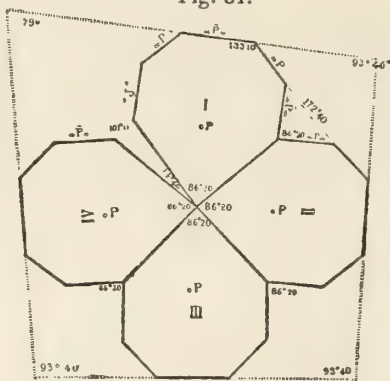


Fig. 82.

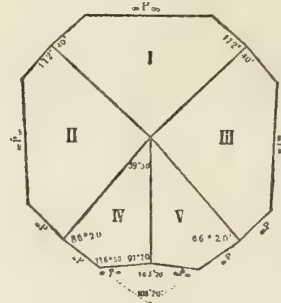


Fig. 83.

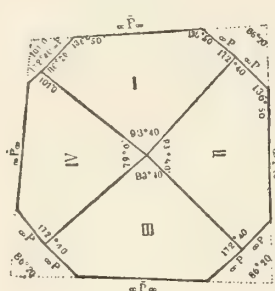


Fig. 84.

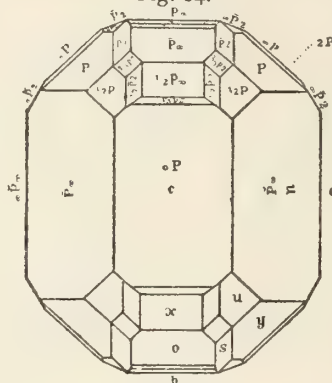


Fig. 85.

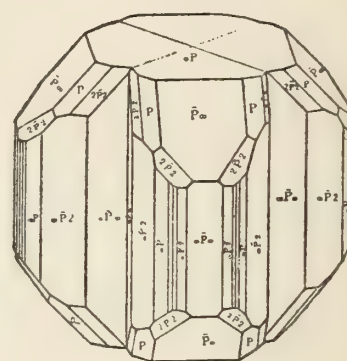


Fig. 86.

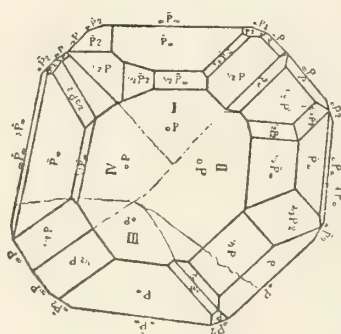


Fig. 87.

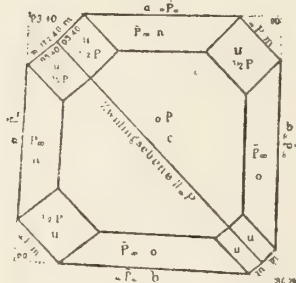


Fig. 88.

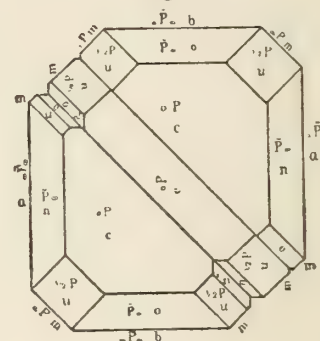


Fig. 90.

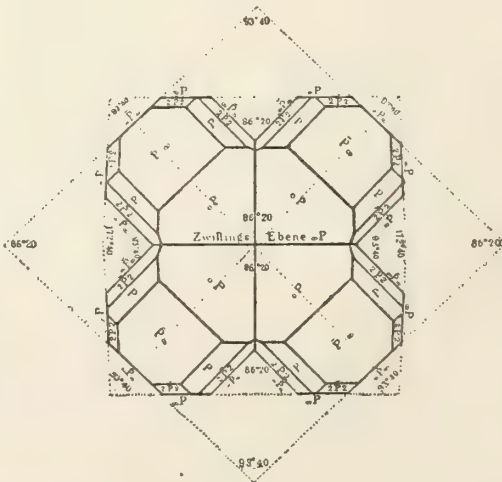


Fig. 89.

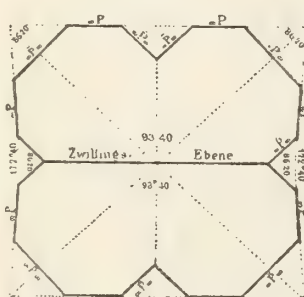
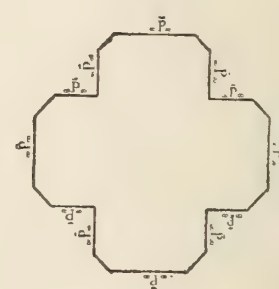


Fig. 91.



Bourbonit

Fig. 92.

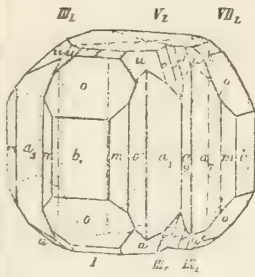


Fig. 93.

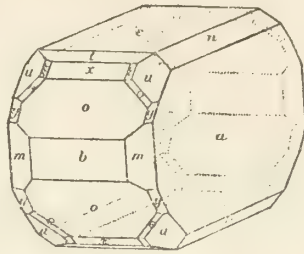


Fig. 94.

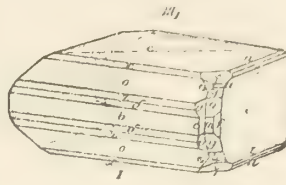


Fig. 95.

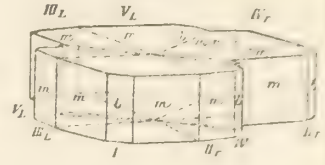


Fig. 96.

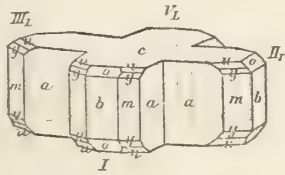


Fig. 97.

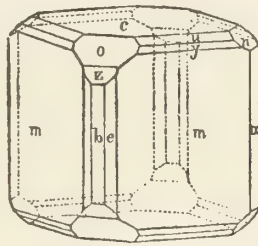


Fig. 98.

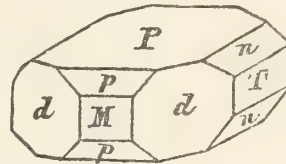


Fig. 99.

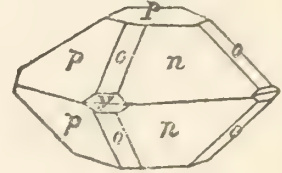


Fig. 100.

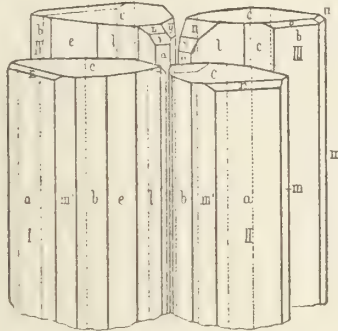


Fig. 101.

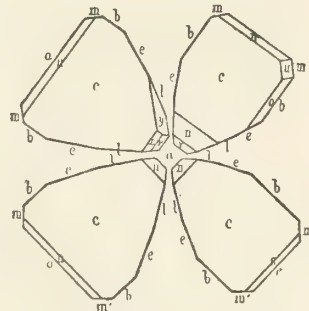


Fig. 102.

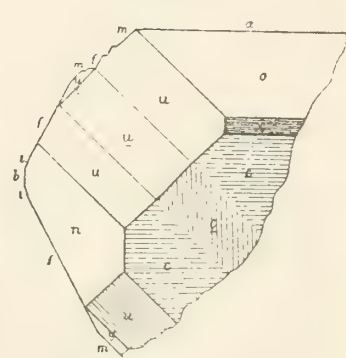


Fig. 103.



Fig. 104.

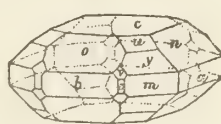


Fig. 105.

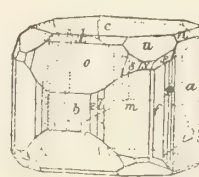


Fig. 106.

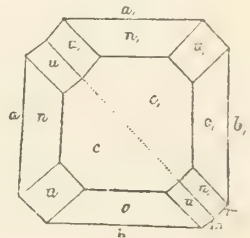


Fig. 107.



Fig. 108.

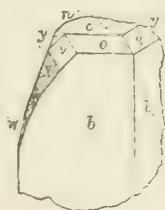


Fig. 109.



Fig. 110.

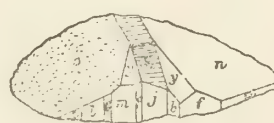
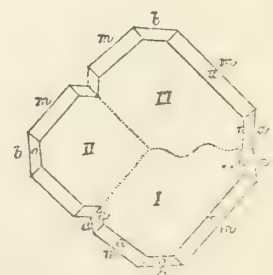


Fig. 111.



Bournonit

Fig. 112.

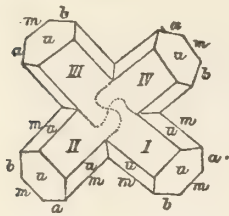


Fig. 113.

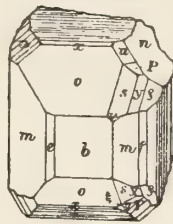


Fig. 114.

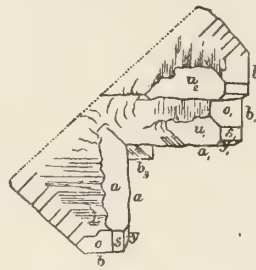


Fig. 115.

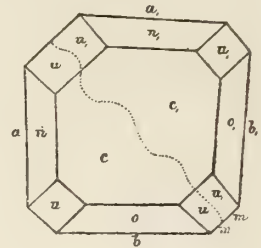


Fig. 116.

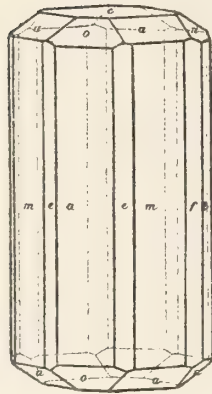


Fig. 117.

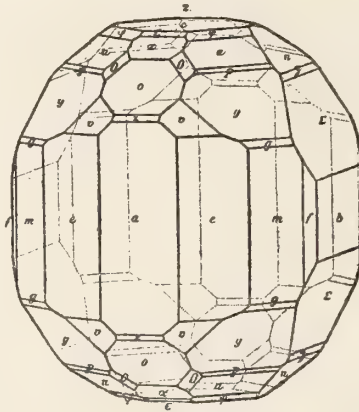


Fig. 118.

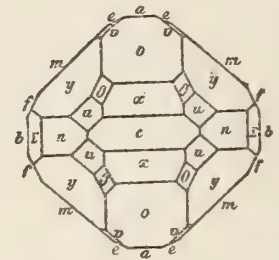


Fig. 119.

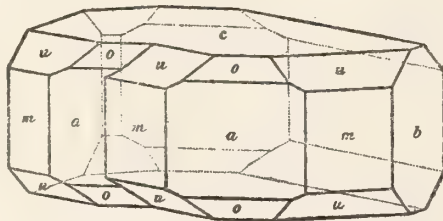


Fig. 120.

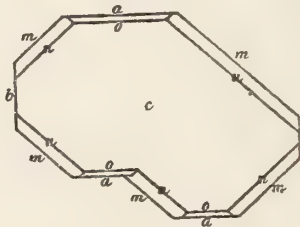


Fig. 121.

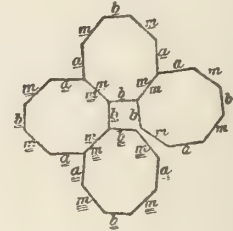


Fig. 122.

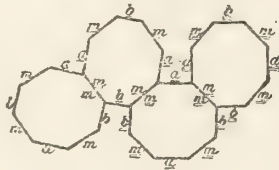


Fig. 123.

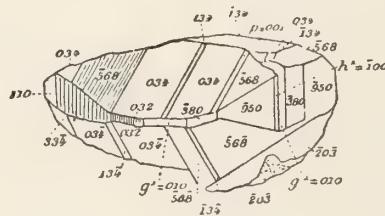


Fig. 124.

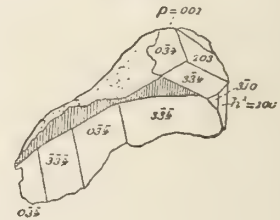


Fig. 125.

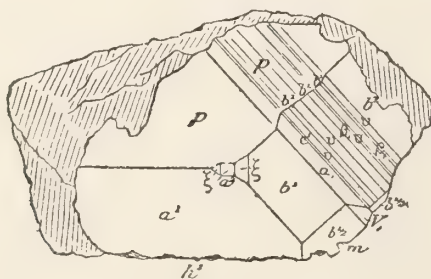
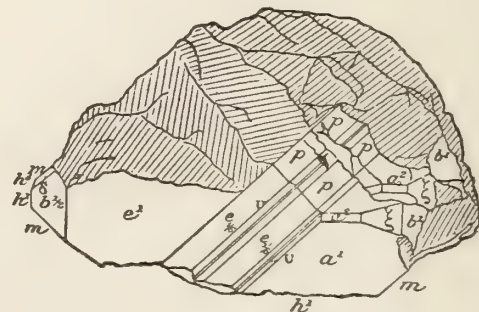


Fig. 126.



Bournonit

Fig. 127.

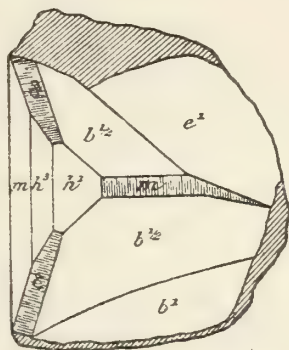


Fig. 128.

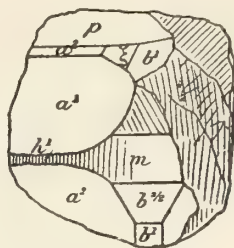


Fig. 129.

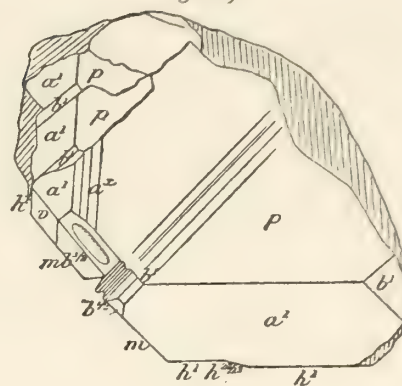


Fig. 130.

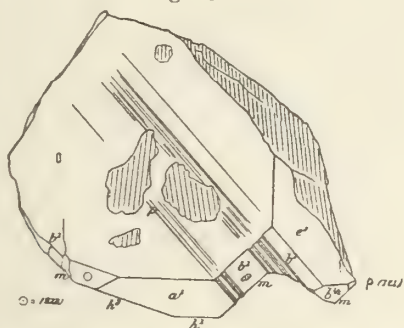


Fig. 131.

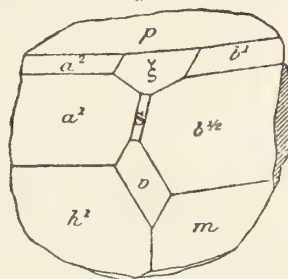


Fig. 132.

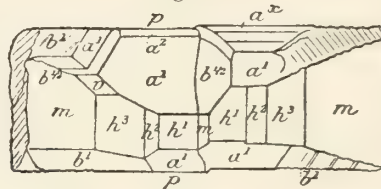


Fig. 133.

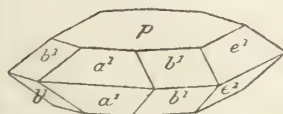


Fig. 134.

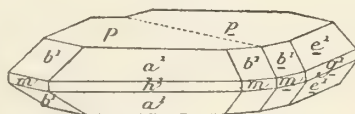


Fig. 135.

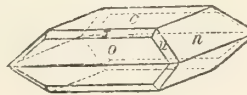


Fig. 136.



Fig. 137.



Fig. 138.

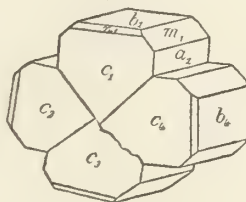


Fig. 139.

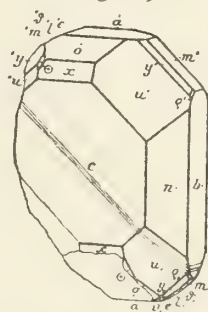


Fig. 140.

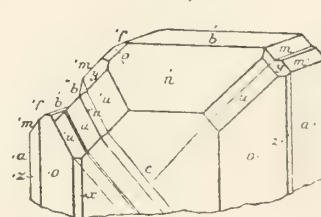


Fig. 141.



Fig. 142.

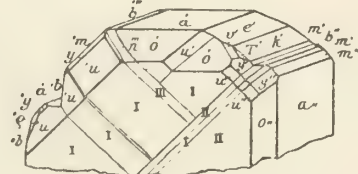
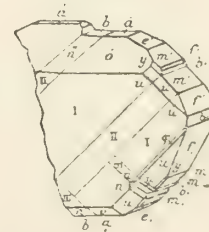


Fig. 143.



Bournonit

Fig. 144.

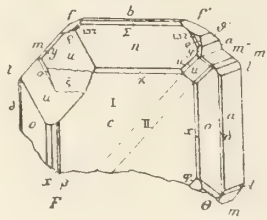


Fig. 145.

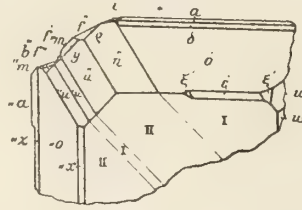


Fig. 146.

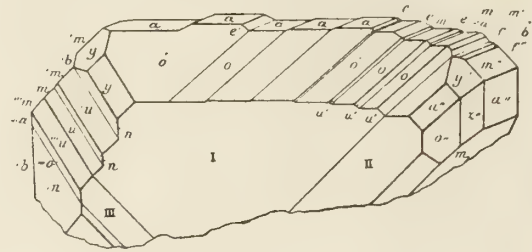


Fig. 147.

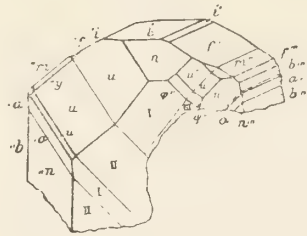


Fig. 148.

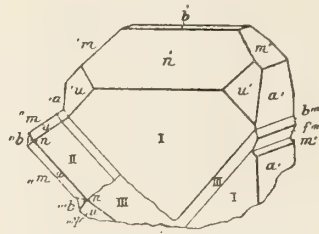


Fig. 149.

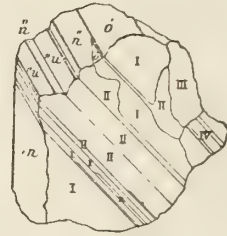


Fig. 150.

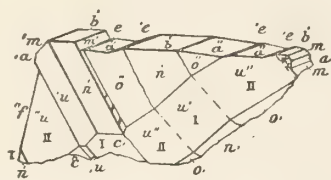


Fig. 151.

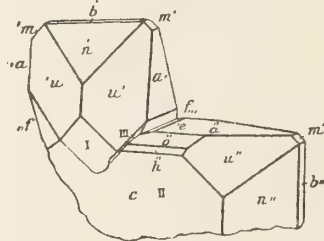


Fig. 152.

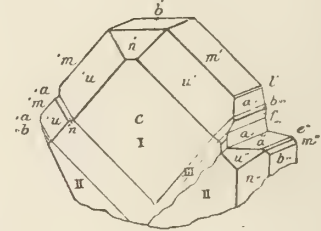


Fig. 153.

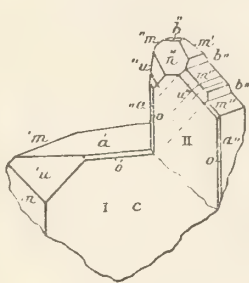


Fig. 154.

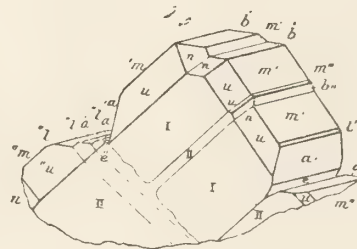


Fig. 155.

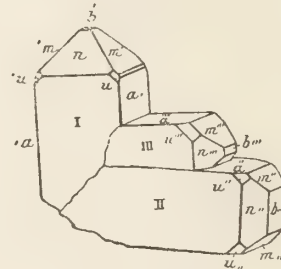


Fig. 156.

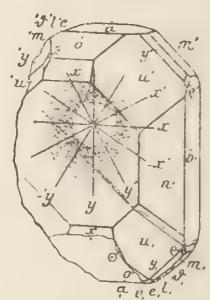


Fig. 157.

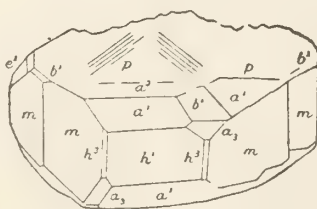


Fig. 158.

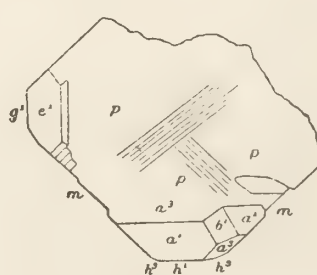
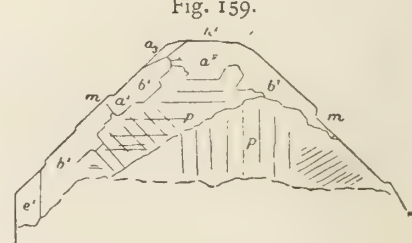


Fig. 159.



Bournonit

Fig. 160.

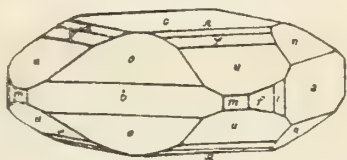


Fig. 161.

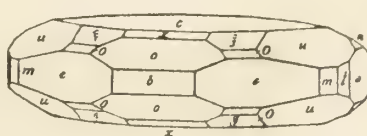


Fig. 162.

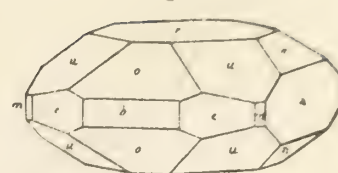


Fig. 163.

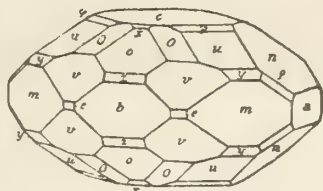


Fig. 164.

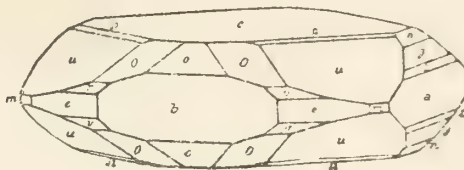


Fig. 165.

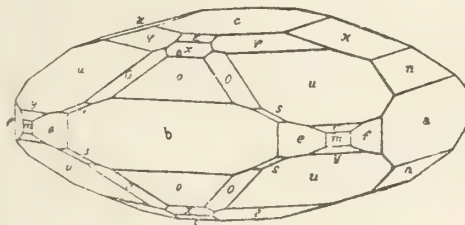


Fig. 166.

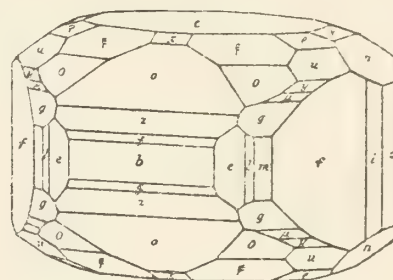


Fig. 167.

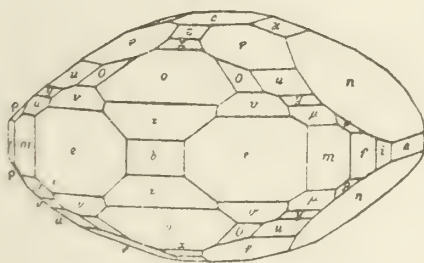


Fig. 168.

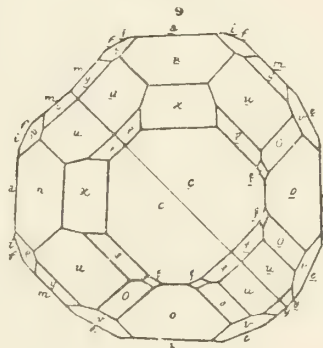


Fig. 169.

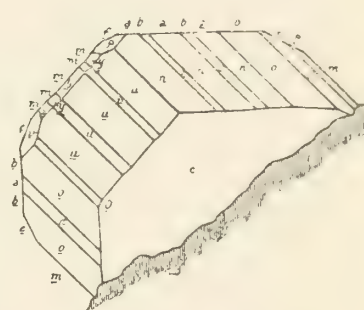


Fig. 170.



Fig. 172.

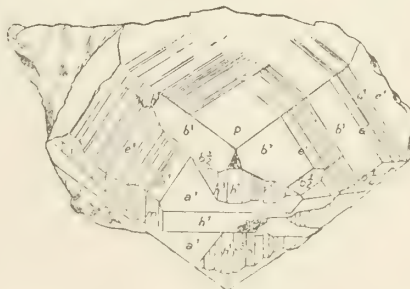


Fig. 171.

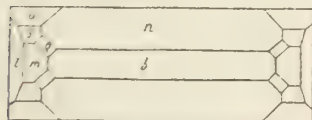


Fig. 173.



Bournonit

Fig. 174.

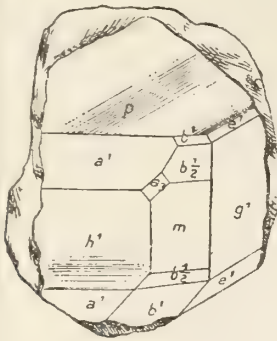
**Boussingaultit**

Fig. 1.

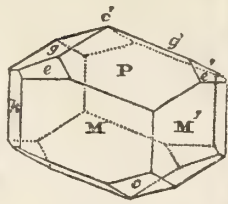


Fig. 2.

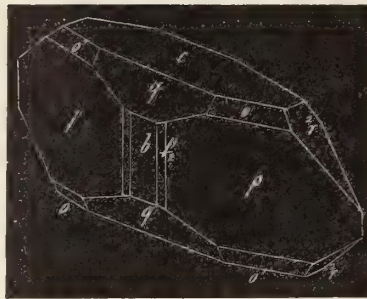


Fig. 3.

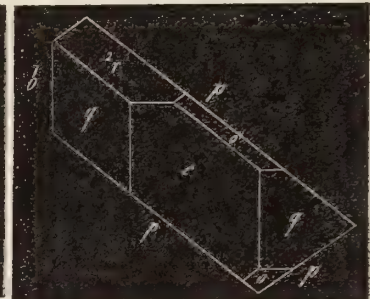


Fig. 4.

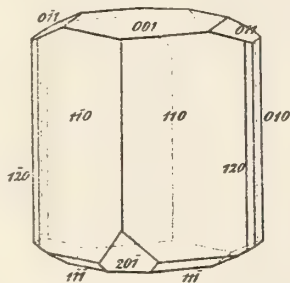


Fig. 5.

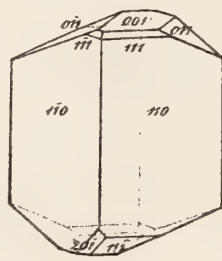


Fig. 6.

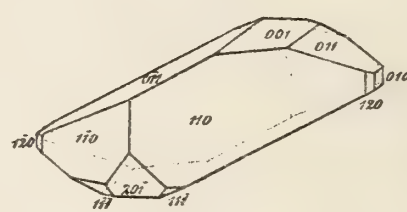


Fig. 7.

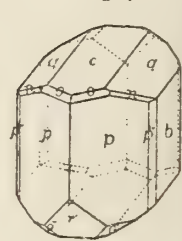
**Brandtit**

Fig. 1.

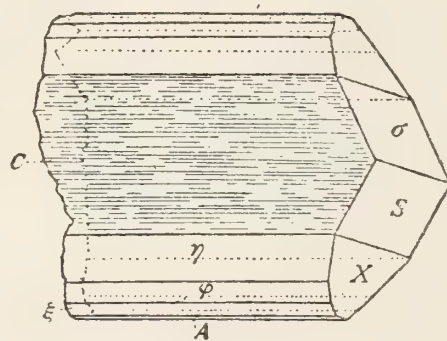


Fig. 8.

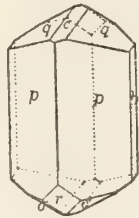


Fig. 2.

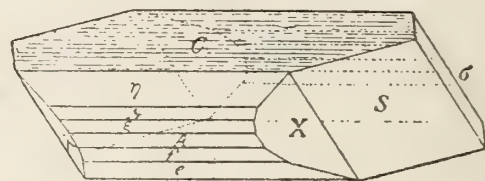
**Braunit**

Fig. 1.

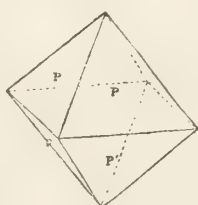


Fig. 2.

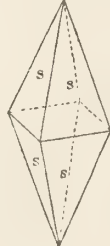


Fig. 3.

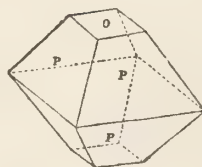


Fig. 4.

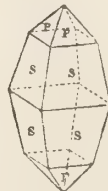


Fig. 5.

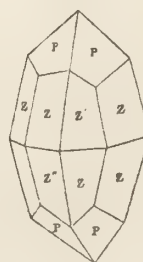
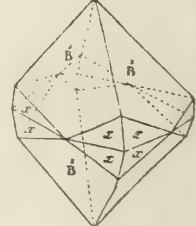


Fig. 6.



Fig. 7.



Braunit

Fig. 8.

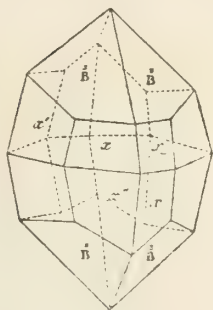


Fig. 9.

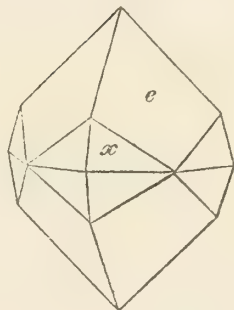


Fig. 10.

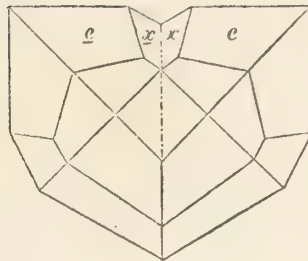


Fig. 11.

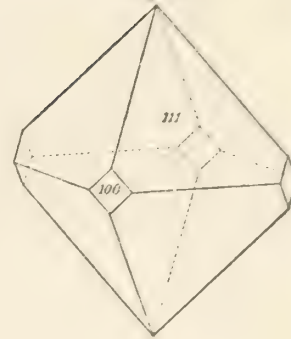


Fig. 12.

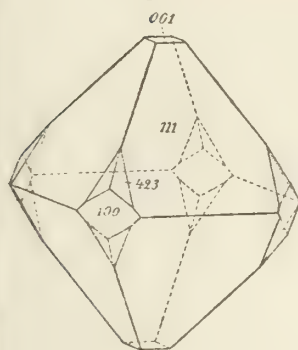


Fig. 13.

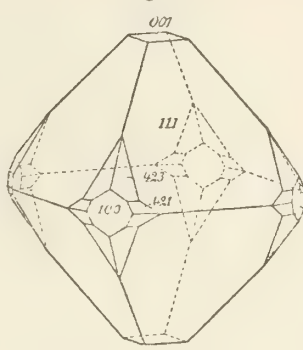


Fig. 14.

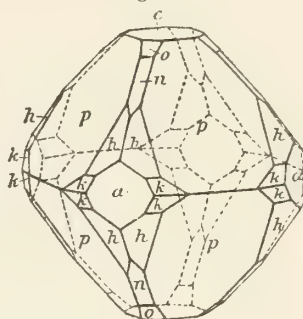


Fig. 15.

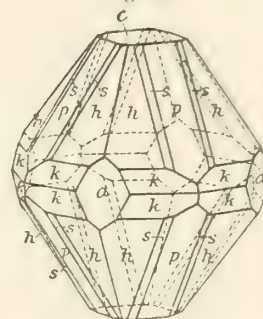


Fig. 16.

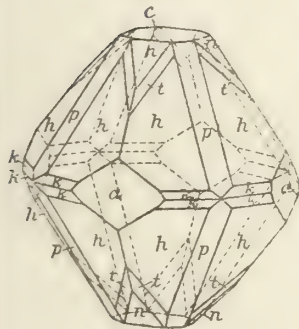


Fig. 17.

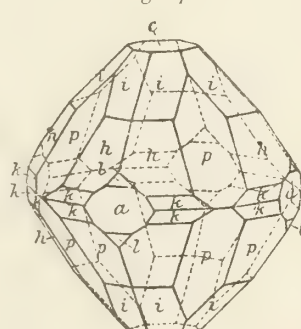


Fig. 18.

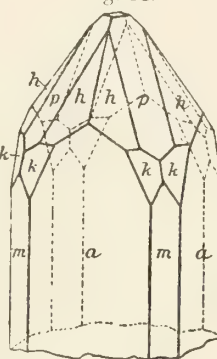


Fig. 19.

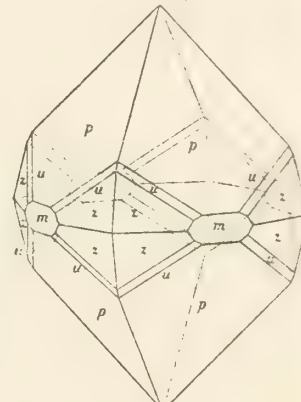


Fig. 20.

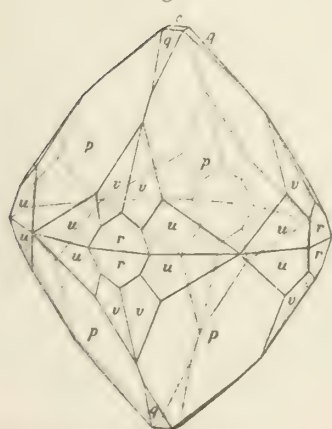


Fig. 21.

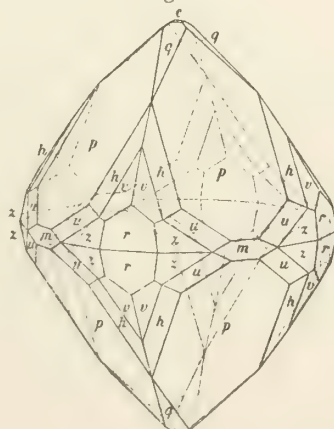
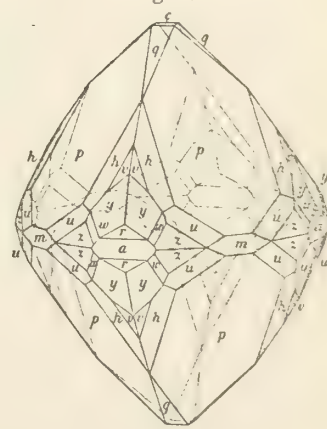


Fig. 22.



Braunit

Fig. 23.

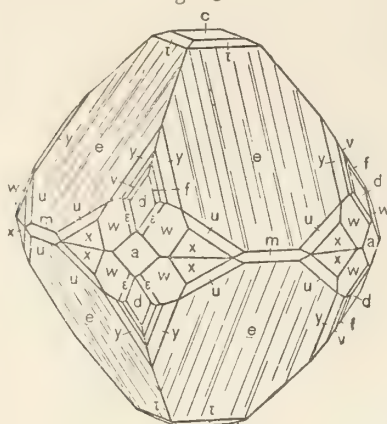


Fig. 24.

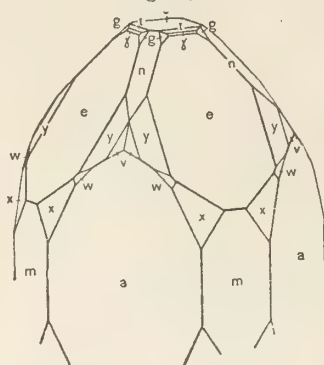


Fig. 25.

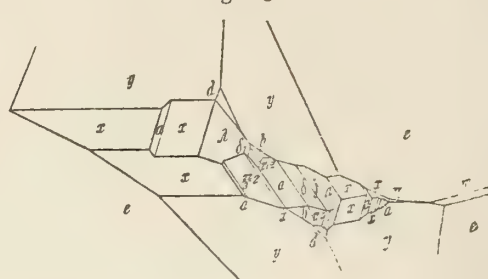
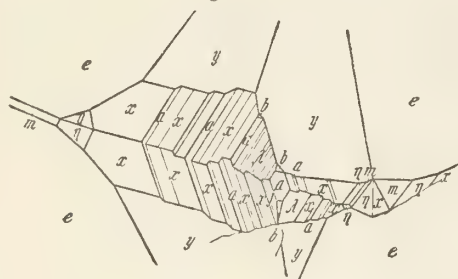


Fig. 26.



Breithauptit

Fig. 1.

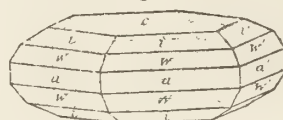


Fig. 2.

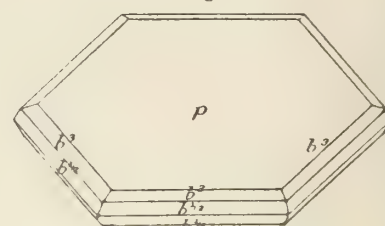


Fig. 3.

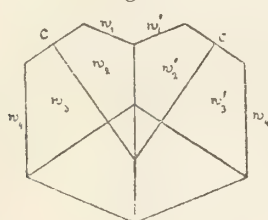
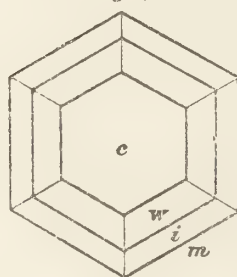


Fig. 4.



Brewsterit

Fig. 1.

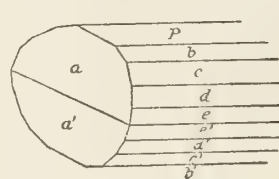


Fig. 2.

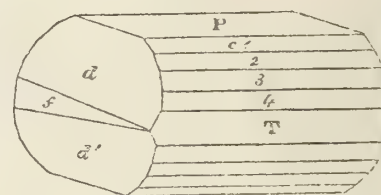


Fig. 3.

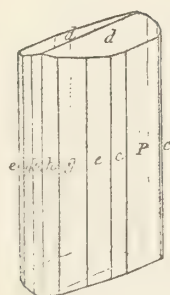


Fig. 4.

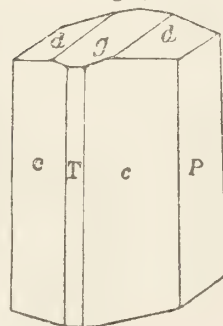


Fig. 5.

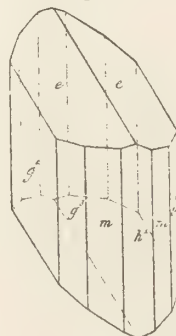
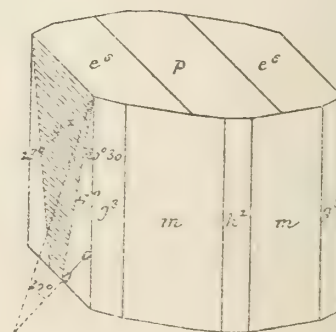


Fig. 6.



Fig. 7.



Brewsterit

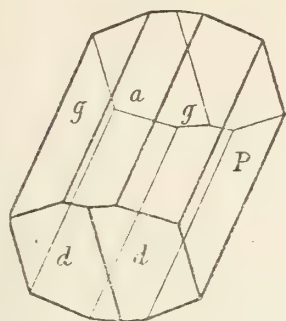


Fig. 9.

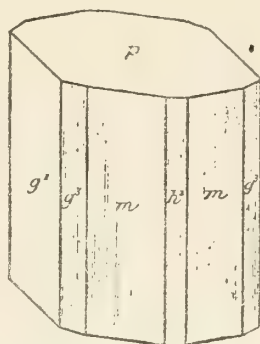
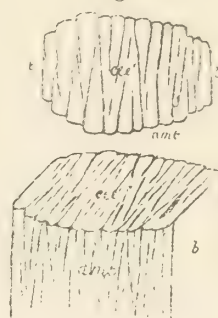
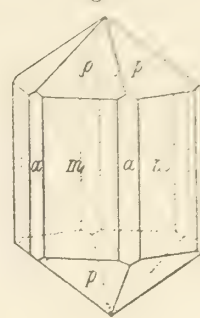


Fig. 10.



Britholith

Fig. 1.



Brochantit

Fig. 1.

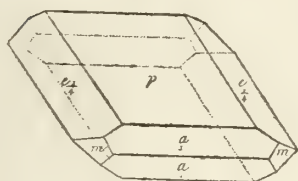


Fig. 2.

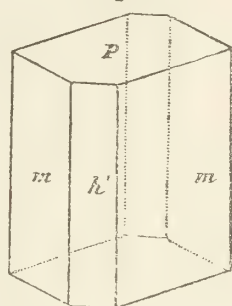


Fig. 3.

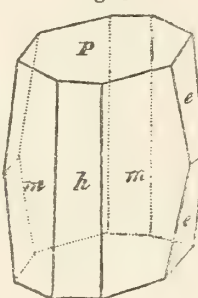


Fig. 4.

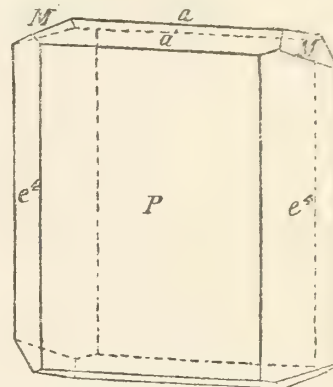


Fig. 5.

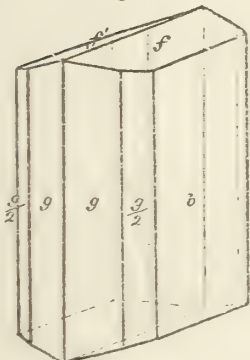


Fig. 6.

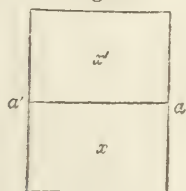


Fig. 7.



Fig. 8.

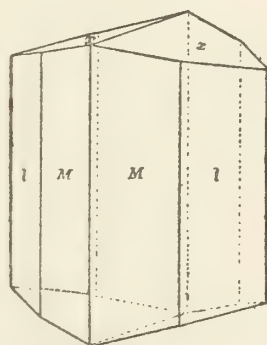


Fig. 9.

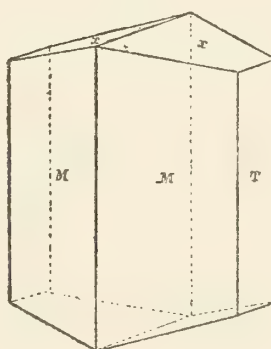
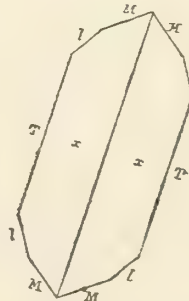
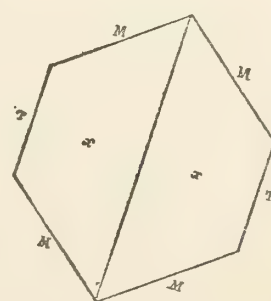
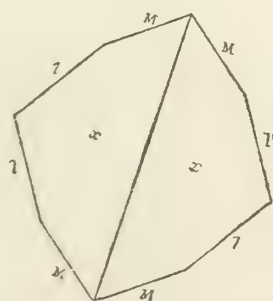
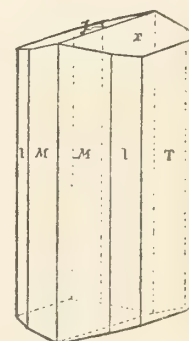


Fig. 10.



Brochantit

Fig. 11.

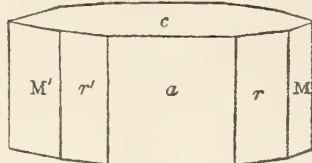


Fig. 12.

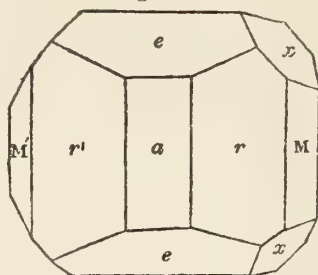


Fig. 13.

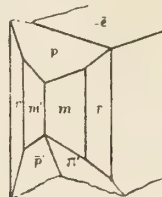


Fig. 14.

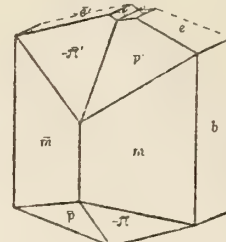


Fig. 15.

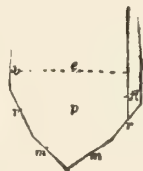


Fig. 16.



Fig. 17.

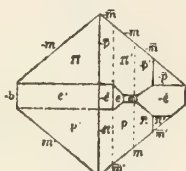


Fig. 18.

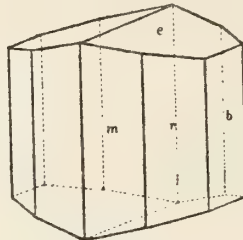


Fig. 19.

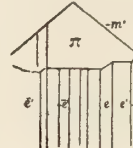


Fig. 20.

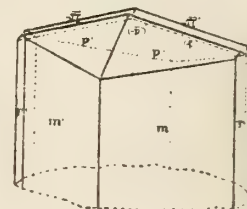


Fig. 21.

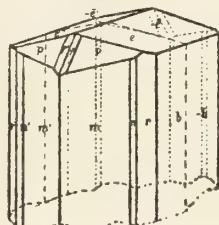


Fig. 22.

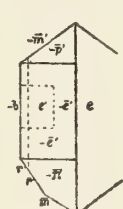


Fig. 23.

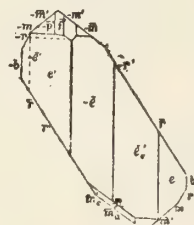


Fig. 24.

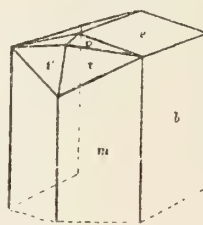


Fig. 25.

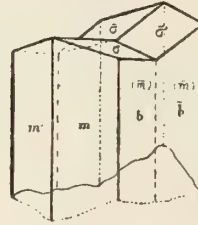


Fig. 26.

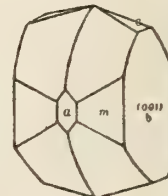


Fig. 27.

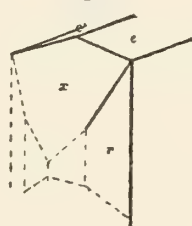


Fig. 28.

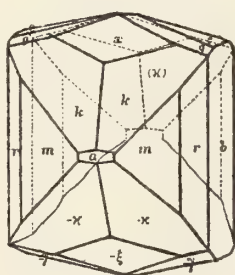


Fig. 29.

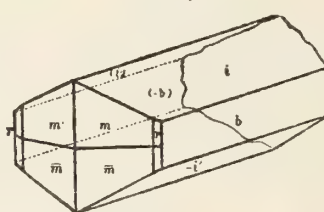


Fig. 30.

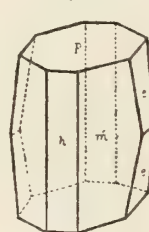


Fig. 31.

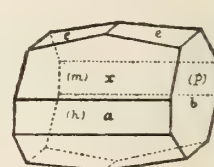


Fig. 32.

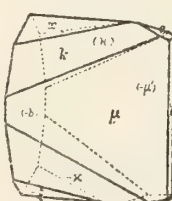


Fig. 33.

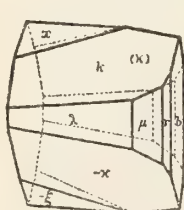


Fig. 34.

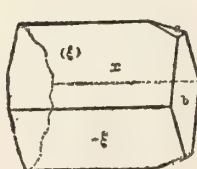
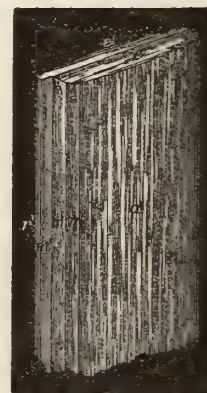


Fig. 35.



Fig. 36.



Brochantit
Fig. 37.

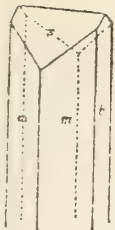


Fig. 38.

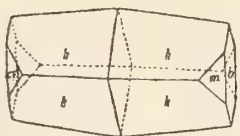


Fig. 39.

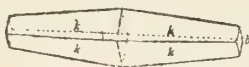


Fig. 40.

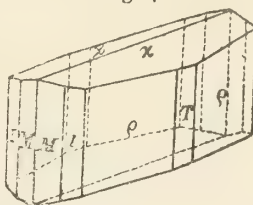


Fig. 41.

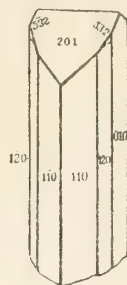


Fig. 43.



Fig. 42.

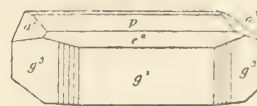
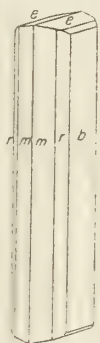


Fig. 44.



Bromsilber
Fig. 1.

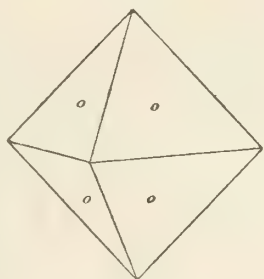


Fig. 2.

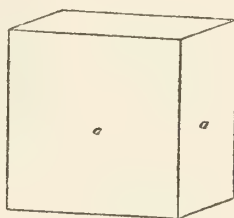
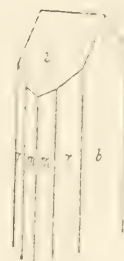
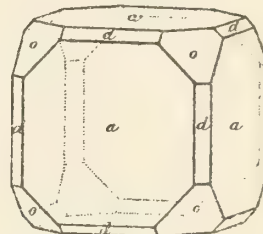
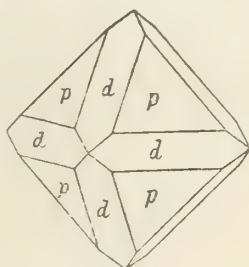


Fig. 3.



Brongniartit

Fig. 1.



Brookit

Fig. 1.

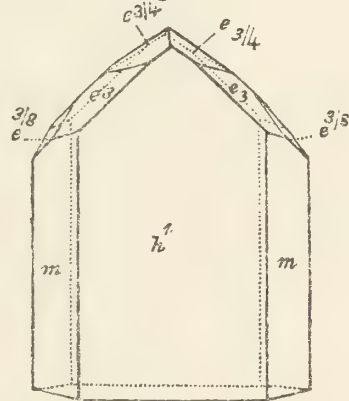


Fig. 2.

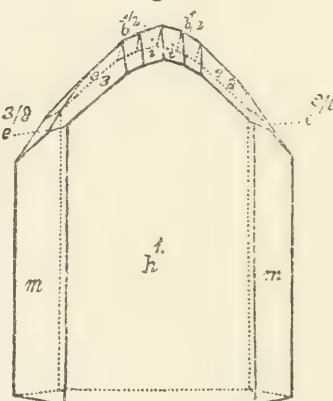


Fig. 3.

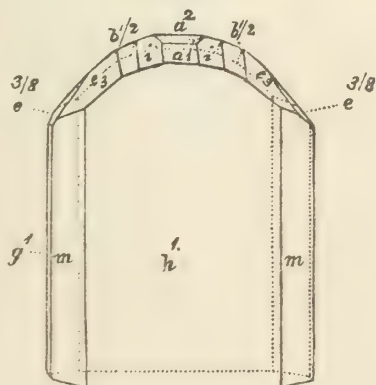


Fig. 4.

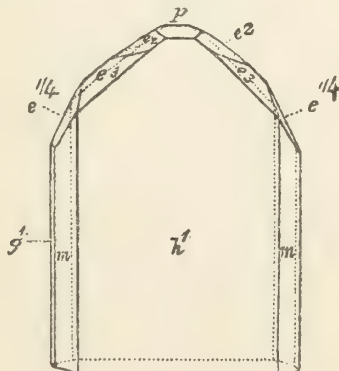
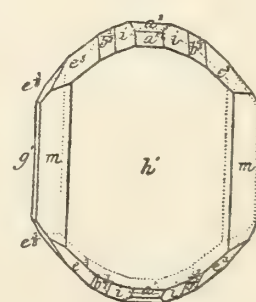


Fig. 5.



Brookit

Fig. 6.

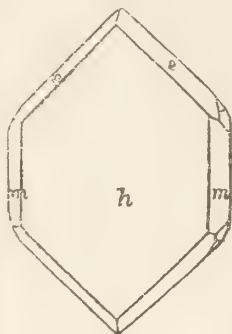


Fig. 7.

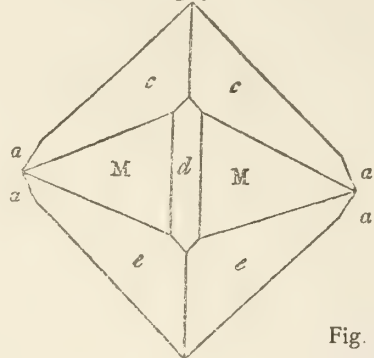


Fig. 8.

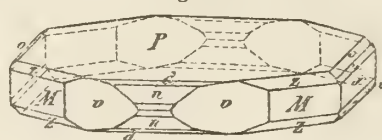


Fig. 9.



Fig. 10.

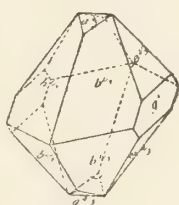


Fig. 11.

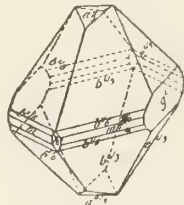


Fig. 12.

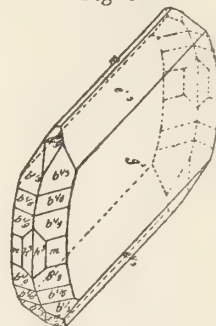


Fig. 13.

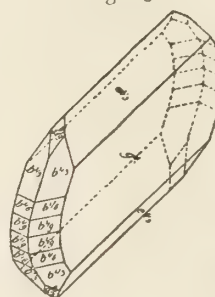


Fig. 14.

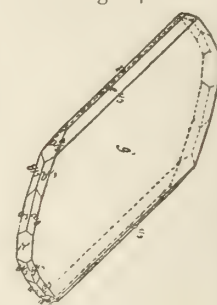


Fig. 15.

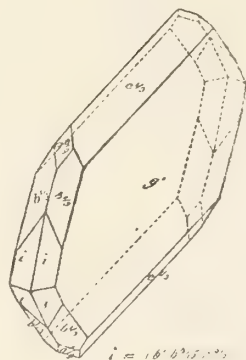


Fig. 16.

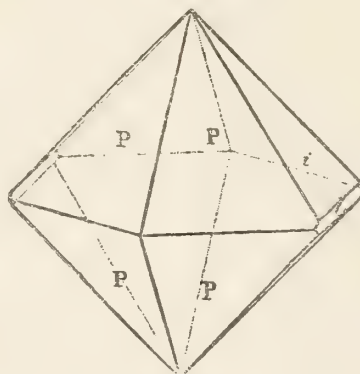


Fig. 17.

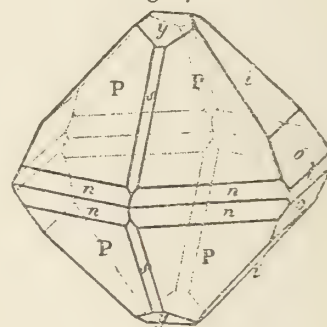


Fig. 18.

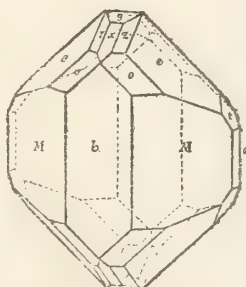


Fig. 19.

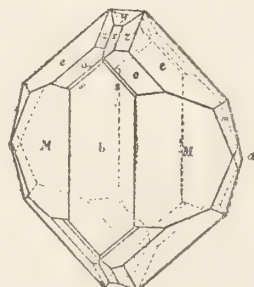


Fig. 20.

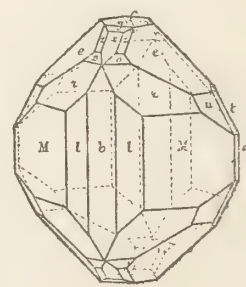
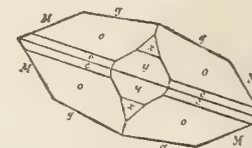
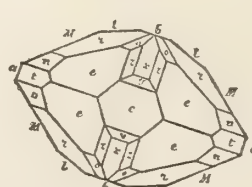
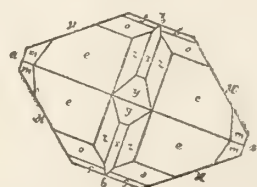
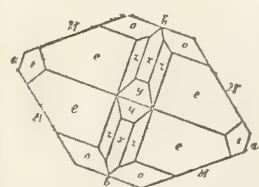
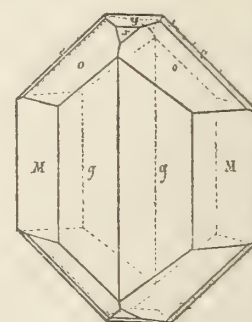


Fig. 21.



Brookit

Fig. 22.

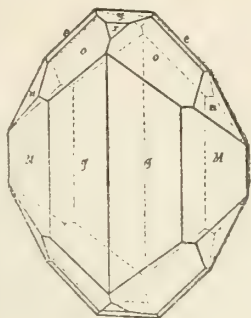


Fig. 23.

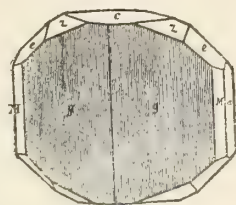


Fig. 24.

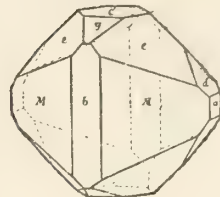


Fig. 25.

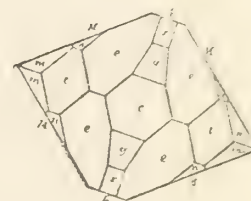
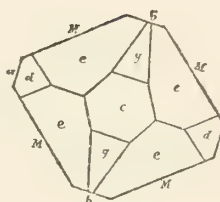
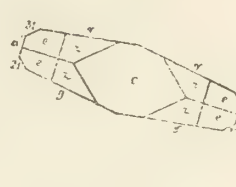
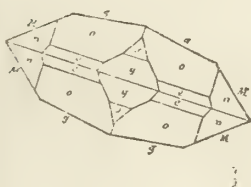
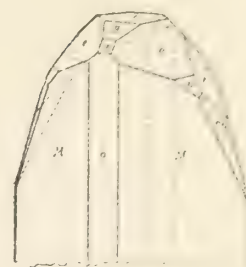


Fig. 26.

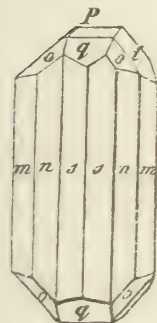


Fig. 27.

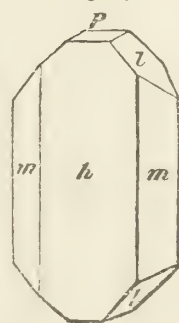


Fig. 28.

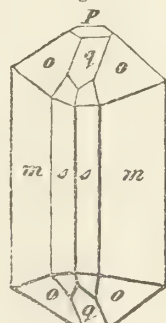


Fig. 29.

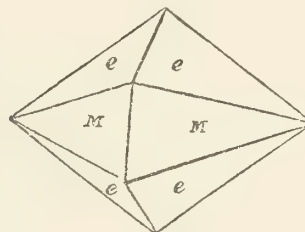


Fig. 30.

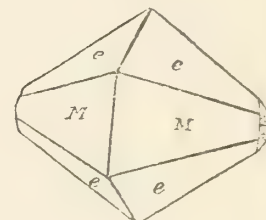


Fig. 31.

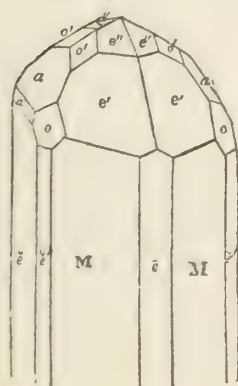


Fig. 32.

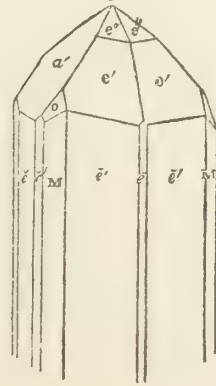


Fig. 33.

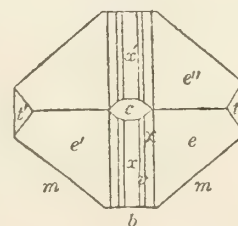
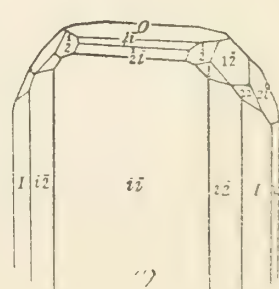


Fig. 34.



Brookit

Fig. 35.

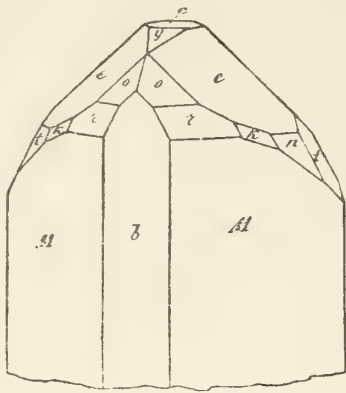


Fig. 36.

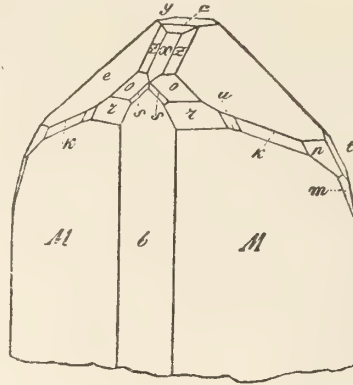


Fig. 37.

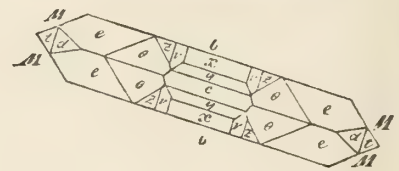
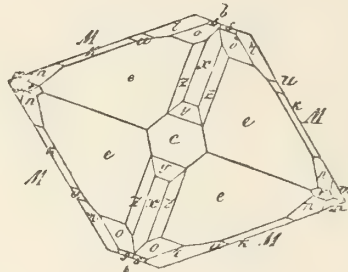
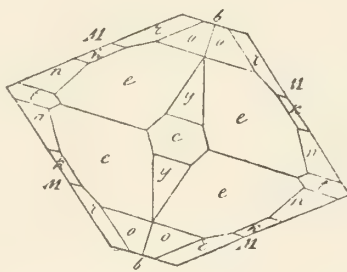
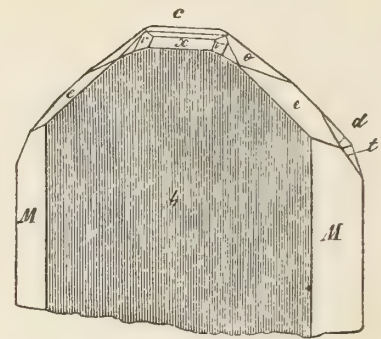


Fig. 38.

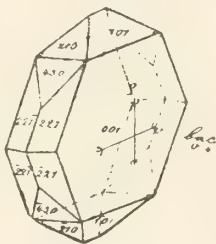


Fig. 39.

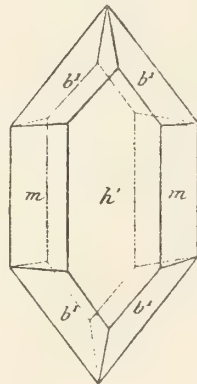


Fig. 40.

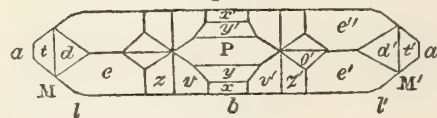


Fig. 41.

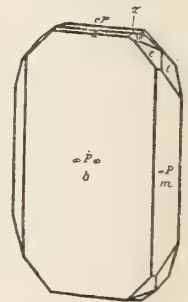


Fig. 42.

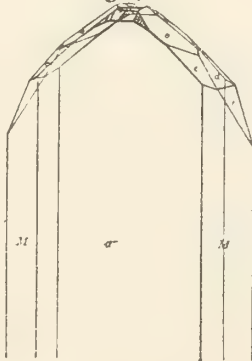


Fig. 43.

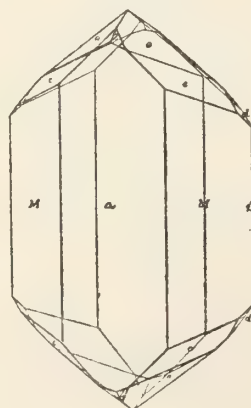


Fig. 44.

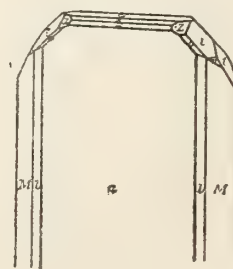
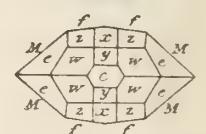
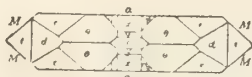
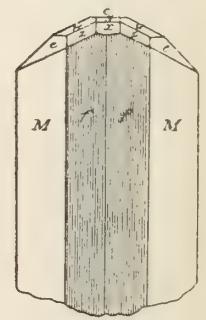


Fig. 45.



Brookit

Fig. 46.

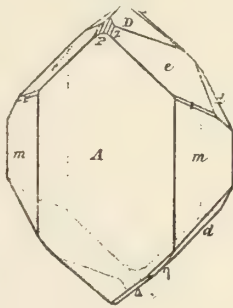


Fig. 47.

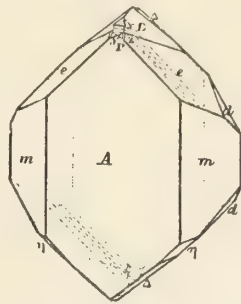


Fig. 48.

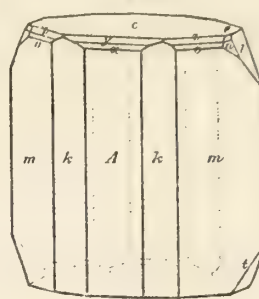


Fig. 49.

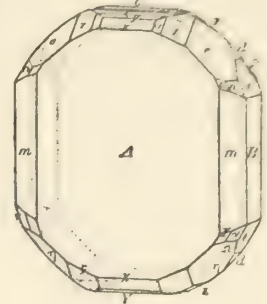


Fig. 50.

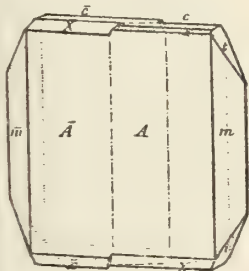


Fig. 51.

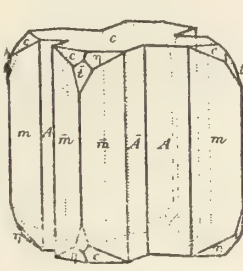


Fig. 52.

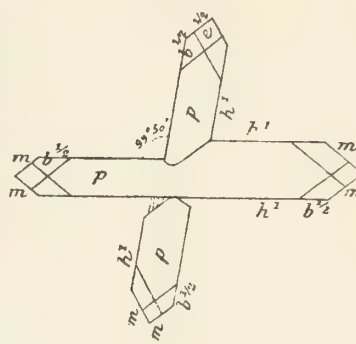


Fig. 53.

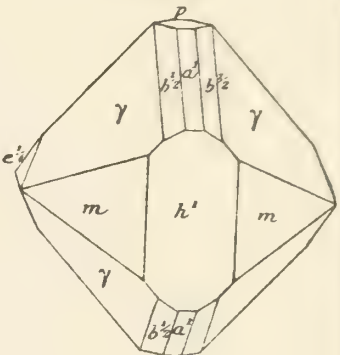


Fig. 54.

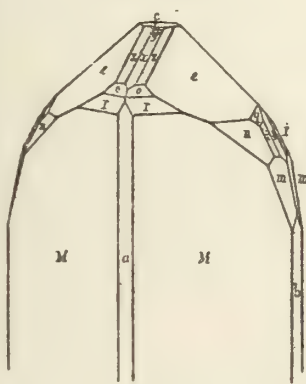


Fig. 55.

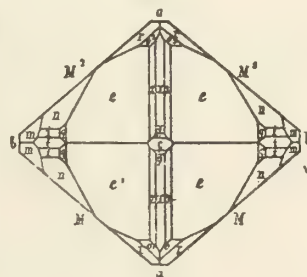


Fig. 56.

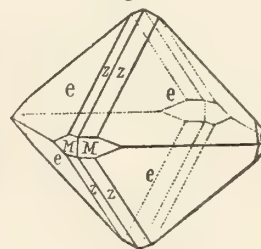


Fig. 57.

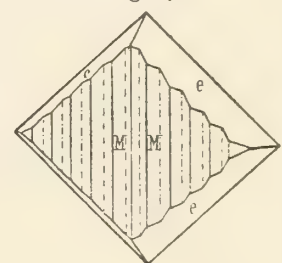


Fig. 58.

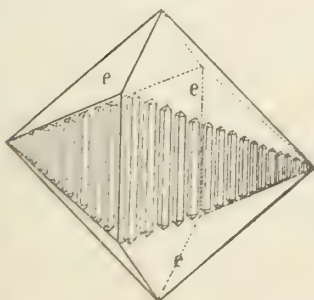


Fig. 59.

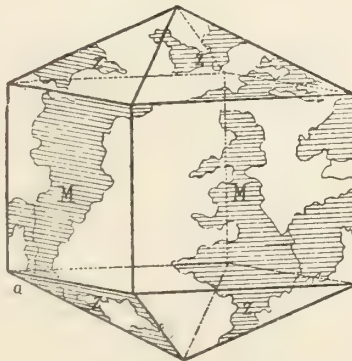


Fig. 60.

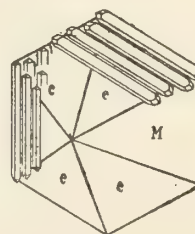
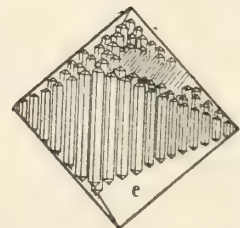


Fig. 61.



Brookit

Fig. 62.

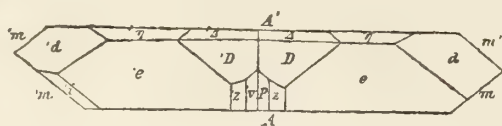


Fig. 63.

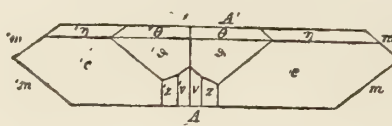


Fig. 64.

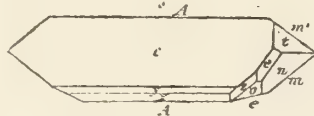


Fig. 65.

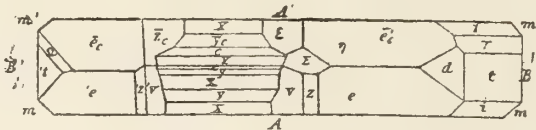


Fig. 66.

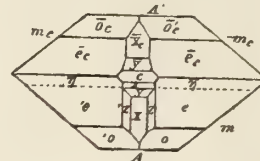


Fig. 69.

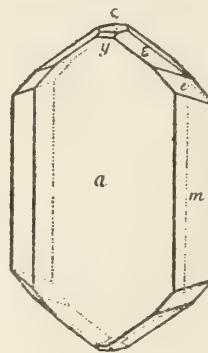


Fig. 68.

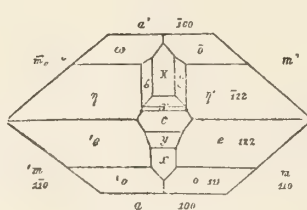


Fig. 70.

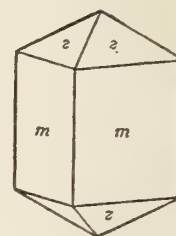


Fig. 67.

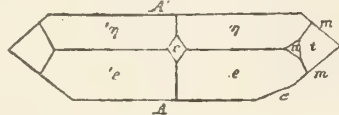


Fig. 71.

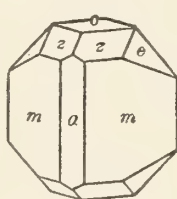


Fig. 72.

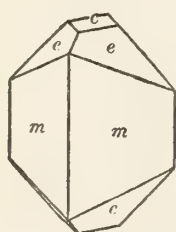


Fig. 73.

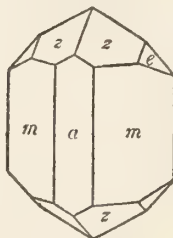


Fig. 74.

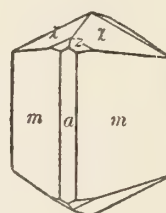


Fig. 75.

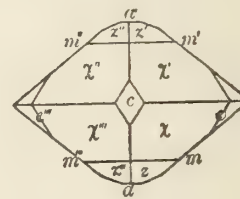


Fig. 76.

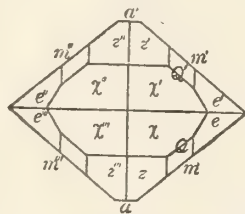


Fig. 77.

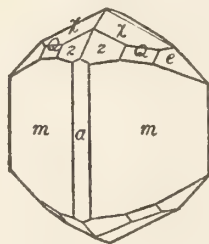


Fig. 78.

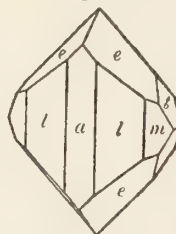


Fig. 79.

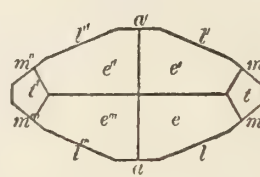


Fig. 80.

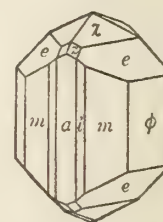


Fig. 81.

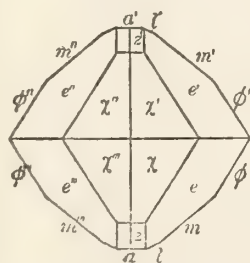


Fig. 82.

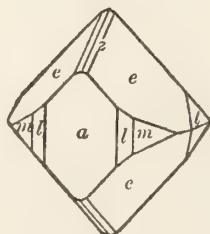


Fig. 83.

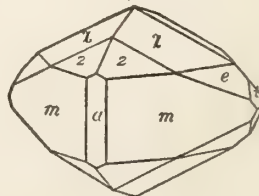


Fig. 84.

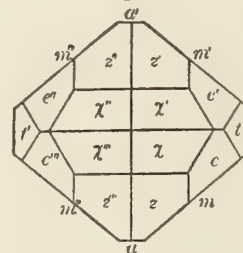


Fig. 85.



Brookit

Fig. 86.

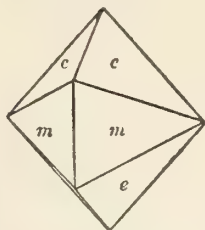


Fig. 87.

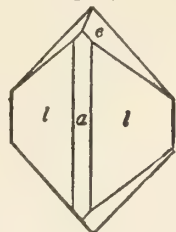


Fig. 88.

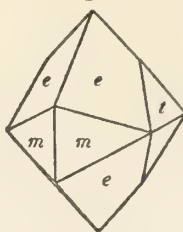


Fig. 89.

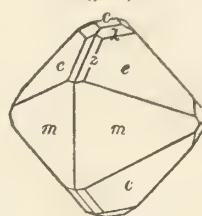


Fig. 90.

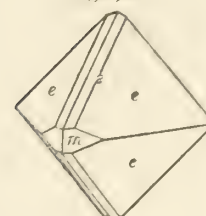


Fig. 91.

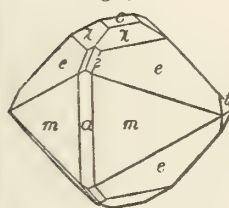


Fig. 92.

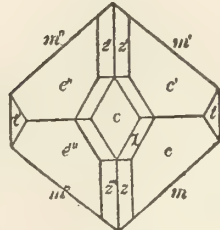


Fig. 93.

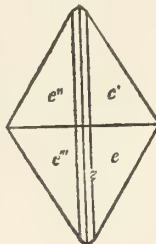


Fig. 94.

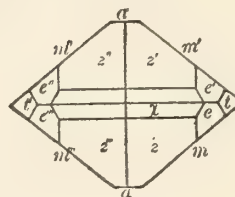


Fig. 95.

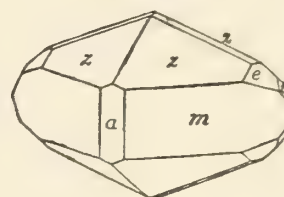


Fig. 96.

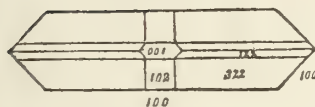


Fig. 98.

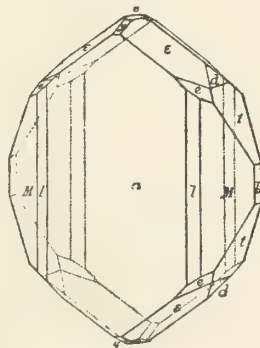


Fig. 99.

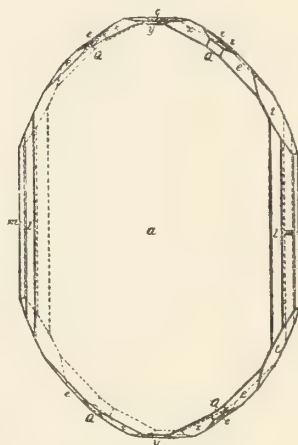


Fig. 100.

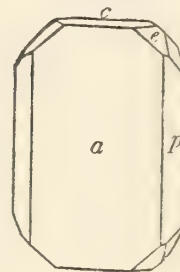


Fig. 97.

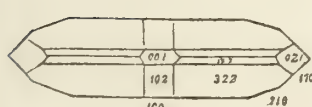


Fig. 101.

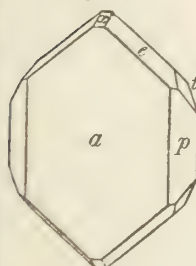


Fig. 102.

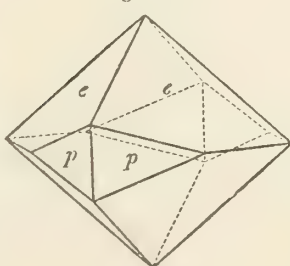


Fig. 103.

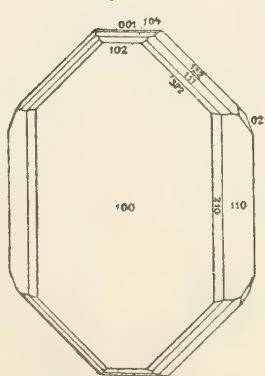


Fig. 104.

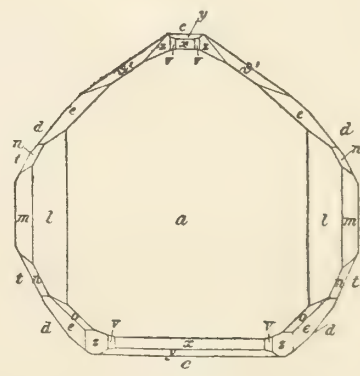
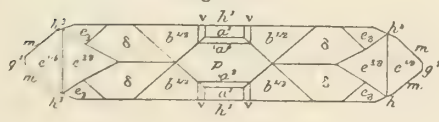


Fig. 105.



Brookit

Fig. 106.

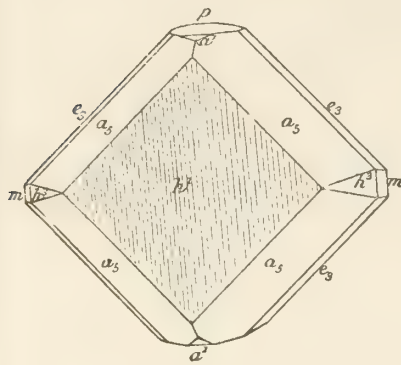


Fig. 107.

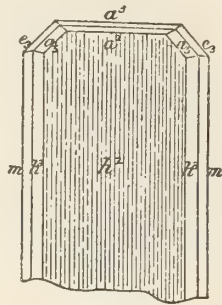


Fig. 108.

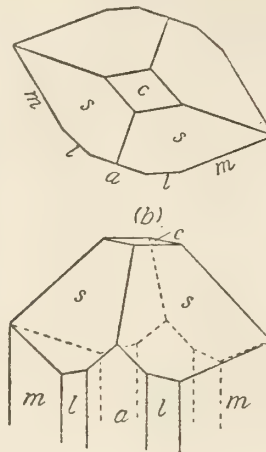


Fig. 109.

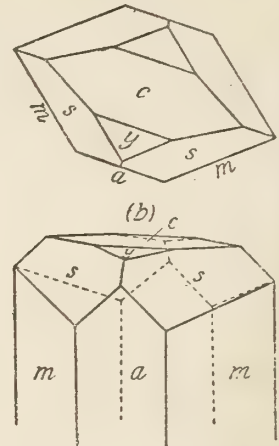


Fig. 110.

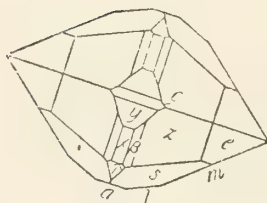


Fig. 111.

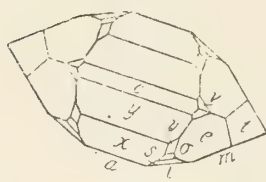


Fig. 112.

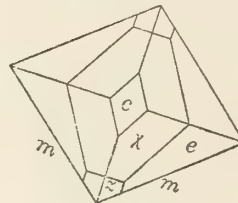


Fig. 113.

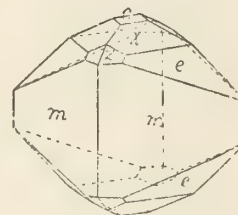
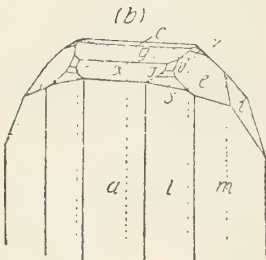
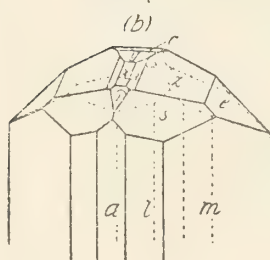
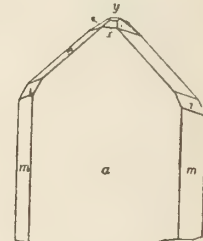


Fig. 114.

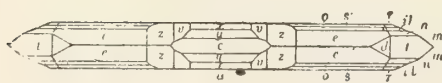


Fig. 116.

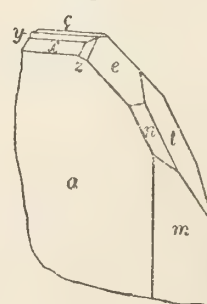


Fig. 117.

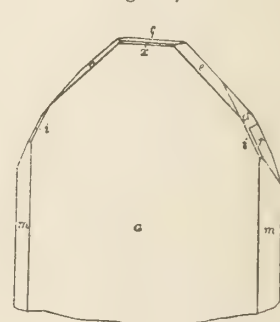


Fig. 115.



Brookit

Fig. 118.

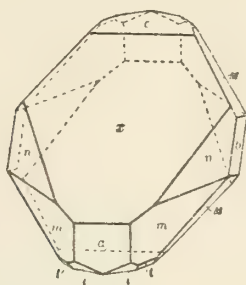


Fig. 119.

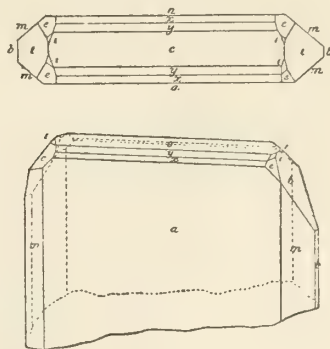


Fig. 120.

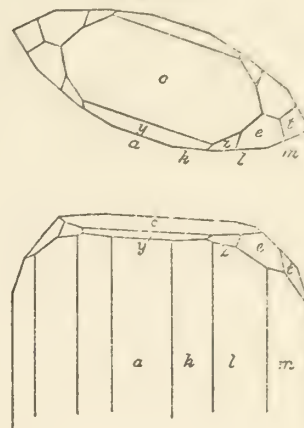
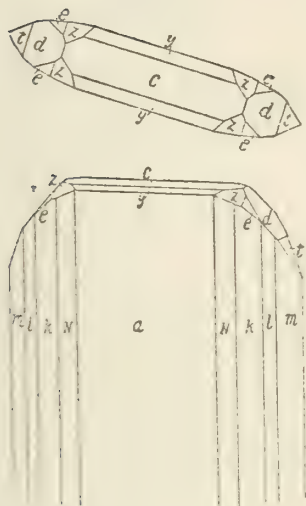


Fig. 121.



Brucit

Fig. 1.

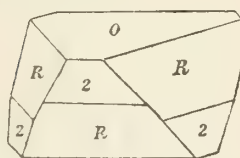


Fig. 2.

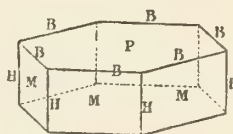


Fig. 3.

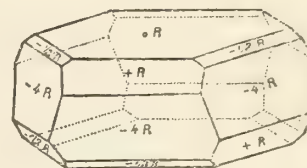


Fig. 4.

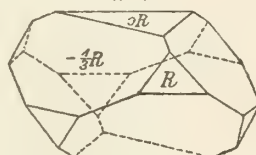


Fig. 5.



Brushit

Fig. 1

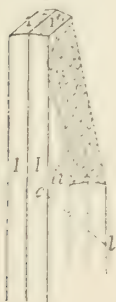


Fig. 2.

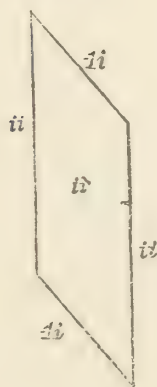


Fig. 3.

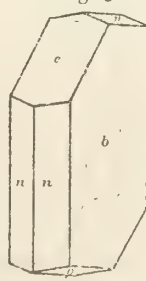


Fig. 4.

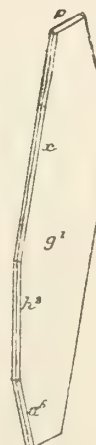
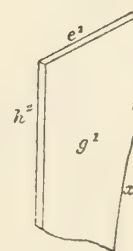


Fig. 5.



Bunsenit

Fig. 1.

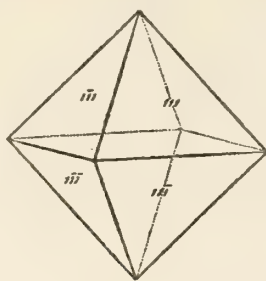


Fig. 2.

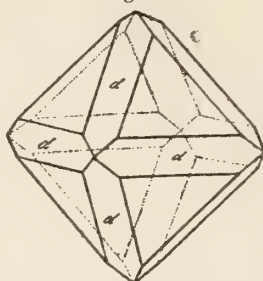


Fig. 3.

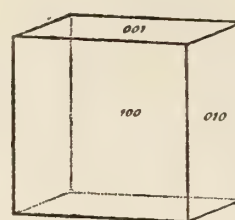
**Buntkupfererz**

Fig. 4.

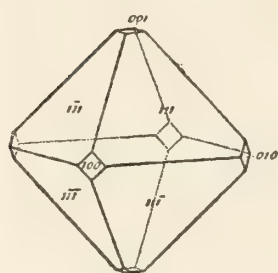


Fig. 1.

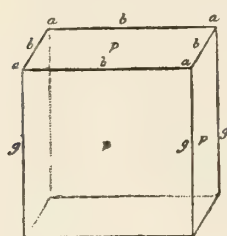


Fig. 2.

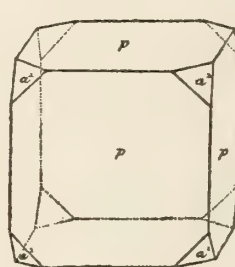


Fig. 3.

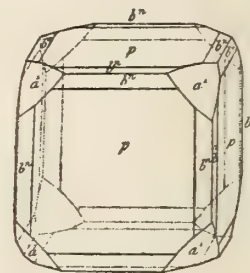


Fig. 4.

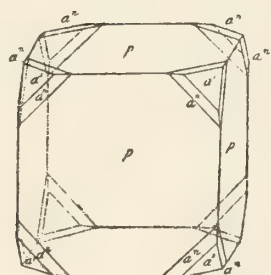


Fig. 5.

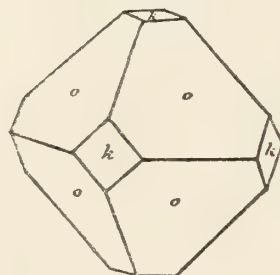


Fig. 6.



Fig. 7.

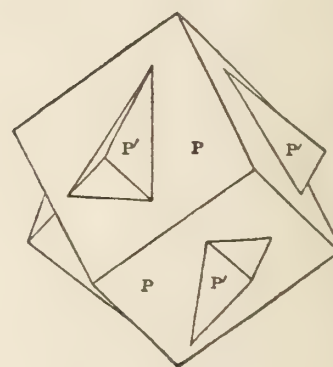


Fig. 8.

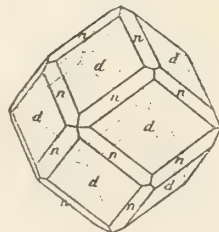


Fig. 9.

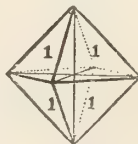


Fig. 10.



Fig. 11.



548
G572
A



